



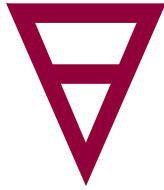
Svenska Geotekniska Föreningen
Swedish Geotechnical Society

Rapport 2:2016

Akustisk Jb-sondering

Resultat, etapp 2

Bilagor till Rapport 2:2016



Svenska Geotekniska Föreningen
Swedish Geotechnical Society

SGF Rapport 2:2016

Akustisk Jb-sondering

Resultat, etapp 2

Bilagor

Linköping 2017

SGF Rapport	Svenska Geotekniska Föreningen E-post: info@sgf.net
Beställning	Svenska Geotekniska Föreningen c/o Ermax Sveaborgsvägen 16 439 37 Fjärås Tel: 070-813 77 73 E-post: info@sgf.net
ISSN	1103-7237
ISRN	SGF-R-16/2-SE
Upplaga	Digital utgåva
Tryckeri	www.sgf.net

Innehåll - huvudrapport

1. Inledning.....	1
2. Jord-berg sondering.....	3
2.1 Jb-sonderingsutrustning	3
2.2 Seismisk mätanordning	4
3. Fältmätningar Råsunda	7
3.1 Geotekniska förutsättningar	7
3.2 Jb-totalsondering	8
3.3 Seismiska mätningar	10
3.4 Svängningshastighet	11
3.5 Frekvensinnehåll	13
4. Fältmätningar Åkersberga.....	17
4.1 Geotekniska förutsättningar	18
4.2 Seismiska mätningar	19
4.3 Svängningshastighet	19
4.4 Frekvensinnehåll	21
4.5 Spektrogram	23
5. Slutsatser	27
6. Referenser	29

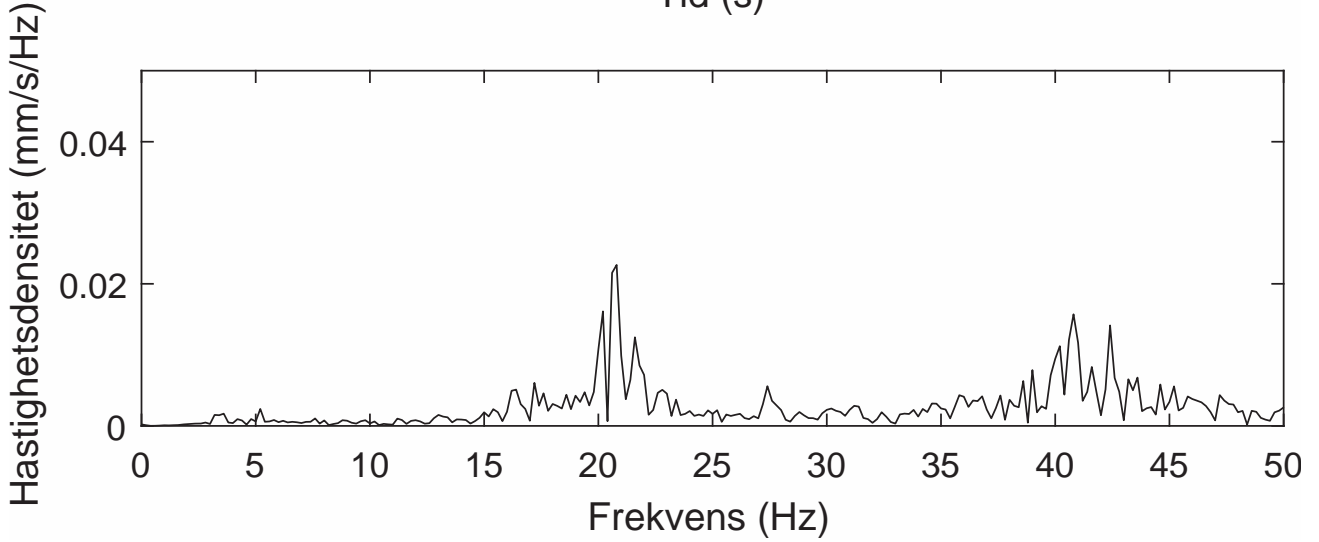
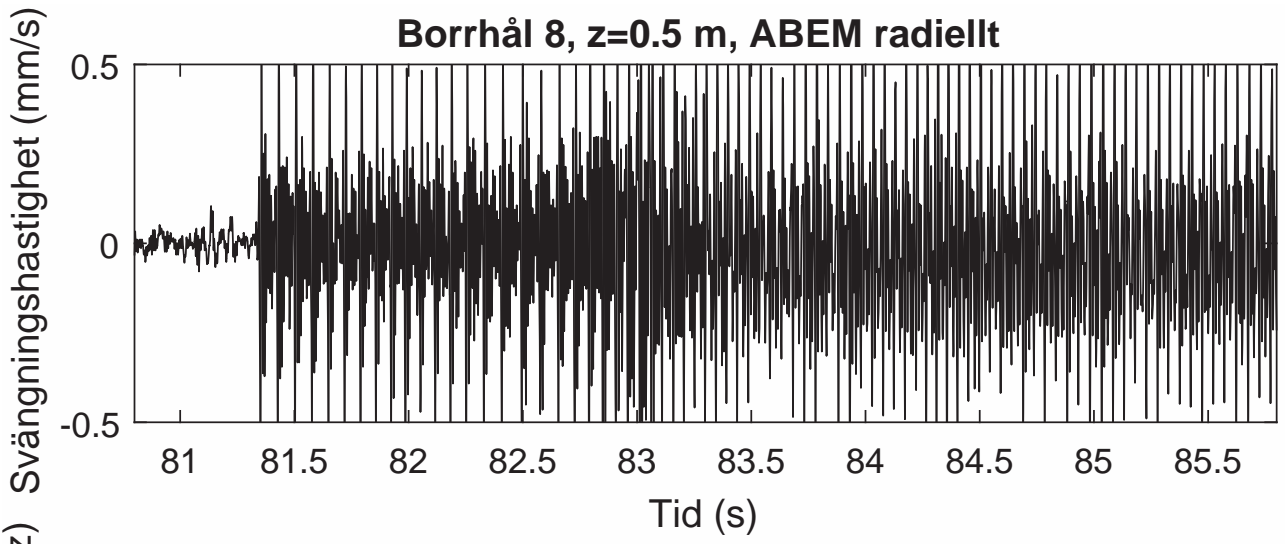
Bilagor

A. Svängningshastighetens tidsförlopp och tillhörande frekvensspektra, borrhål 8 och 9, Råsunda.....	1
B. Svängningshastighetens tidsförlopp och tillhörande frekvensspektra, borrhål S001 och S002, Åkersberga	75
C. Jämförelse av Jb-sonderingsresultat med seismiska mätningar (svängningshastighet och spektrogram) Borrhål S001 och S002, Åkersberga	91

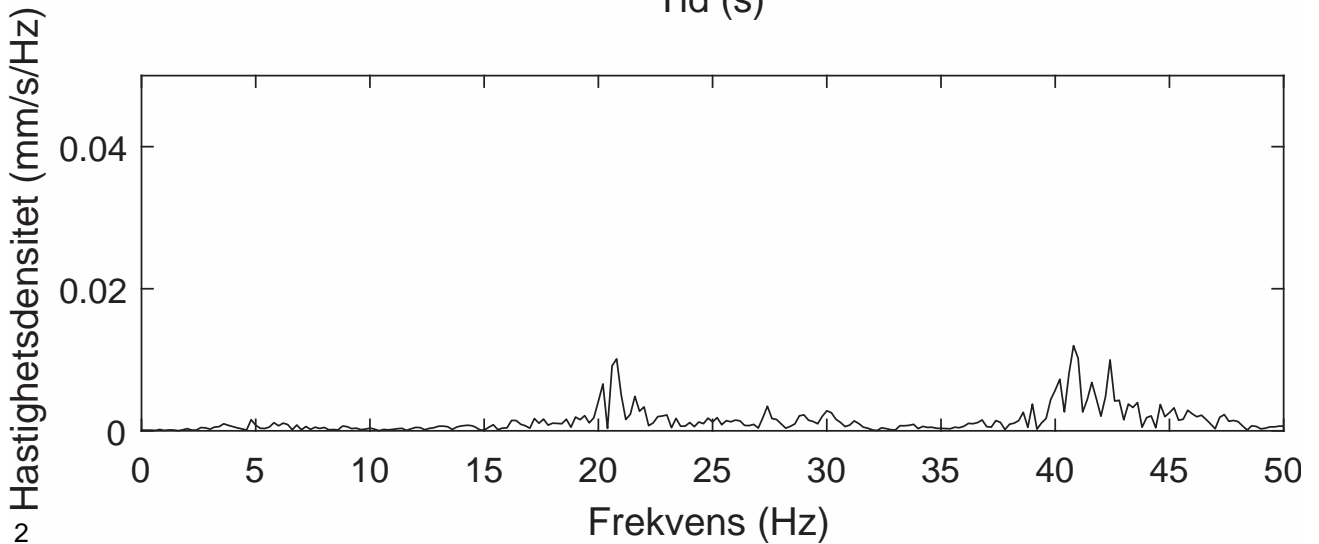
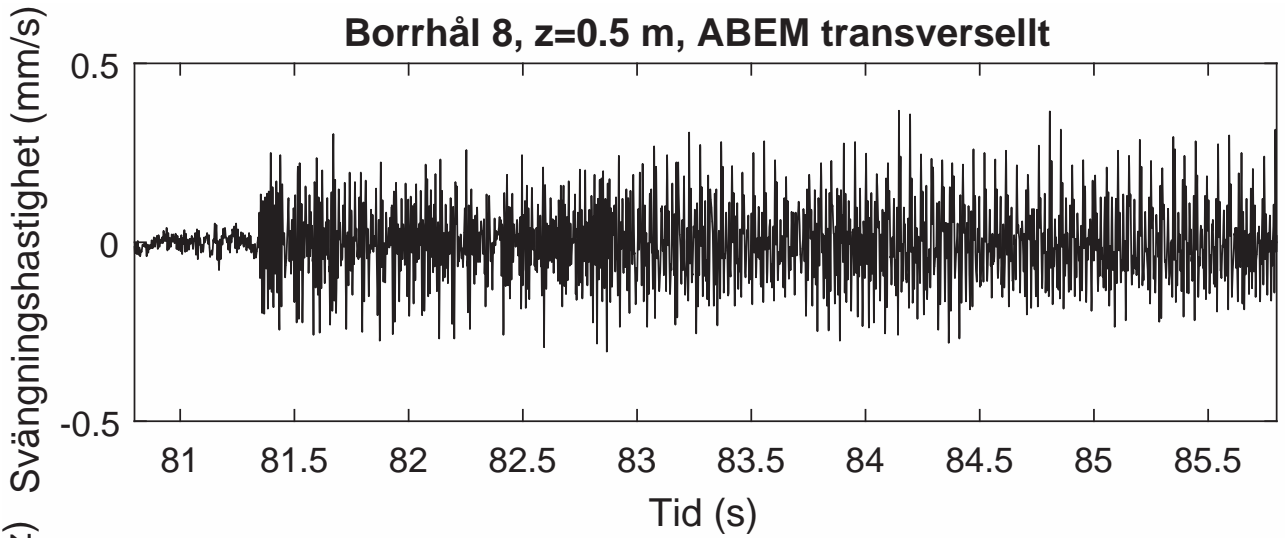
Bilaga A.

Svängningshastighetens
tidsförlopp och tillhörande
frekvensspektra, borrhål 8 och 9,
Råsunda.

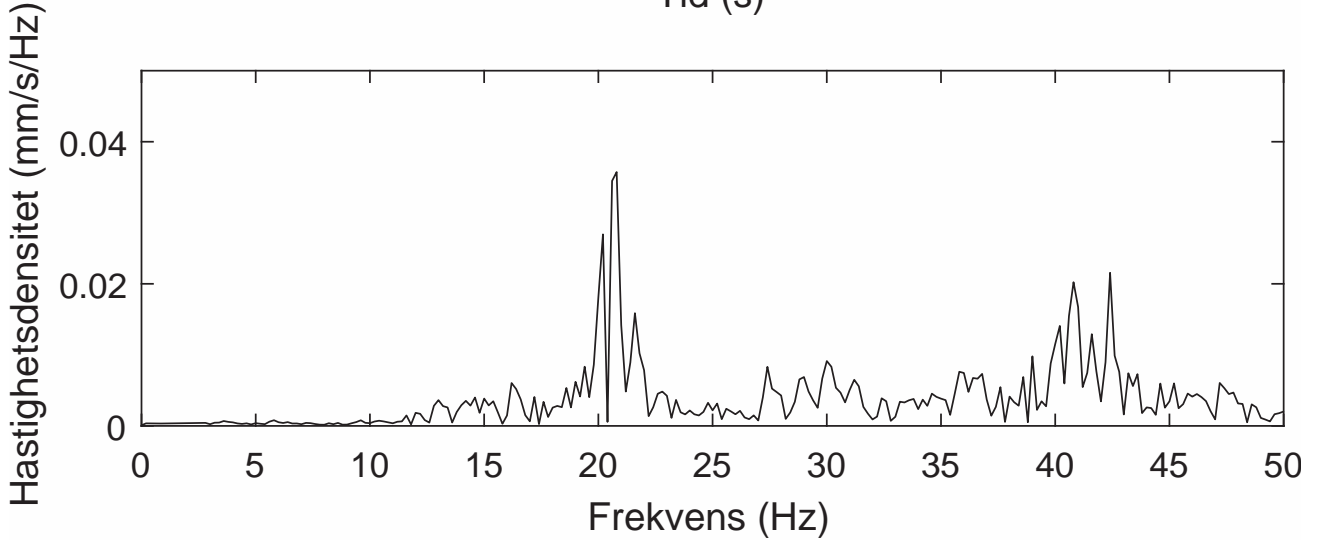
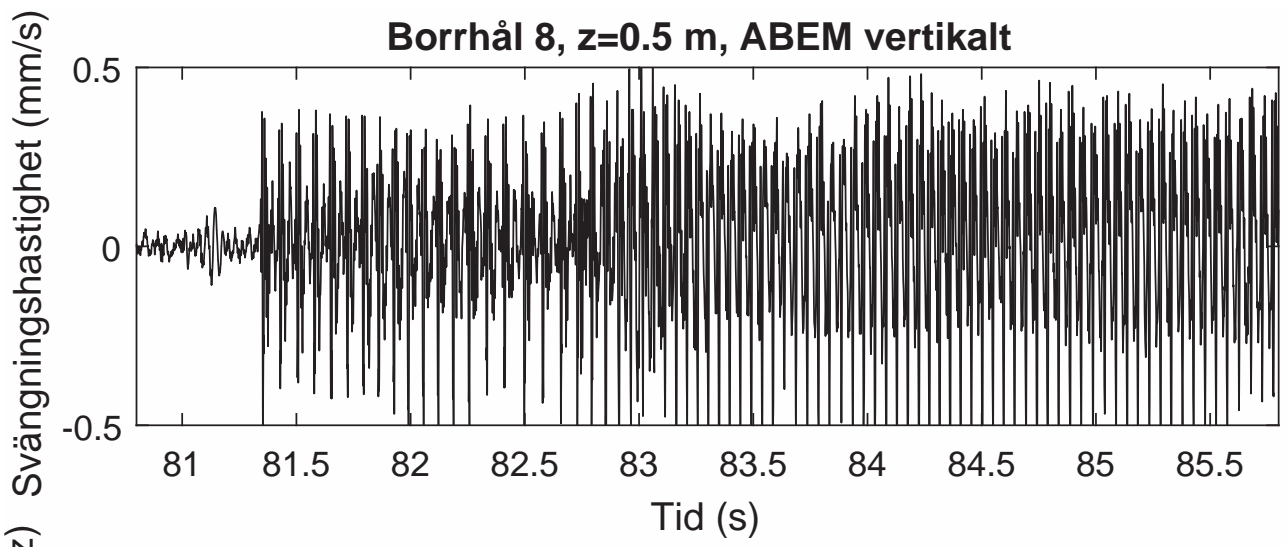
Borrhål 8, z=0.5 m, ABEM radiellt



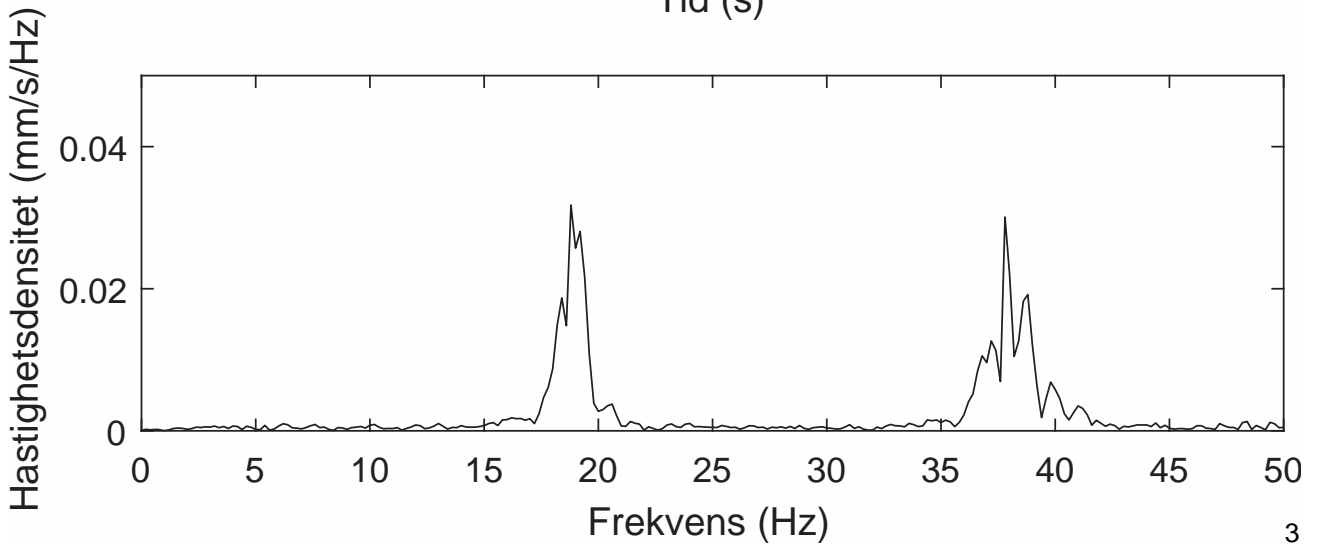
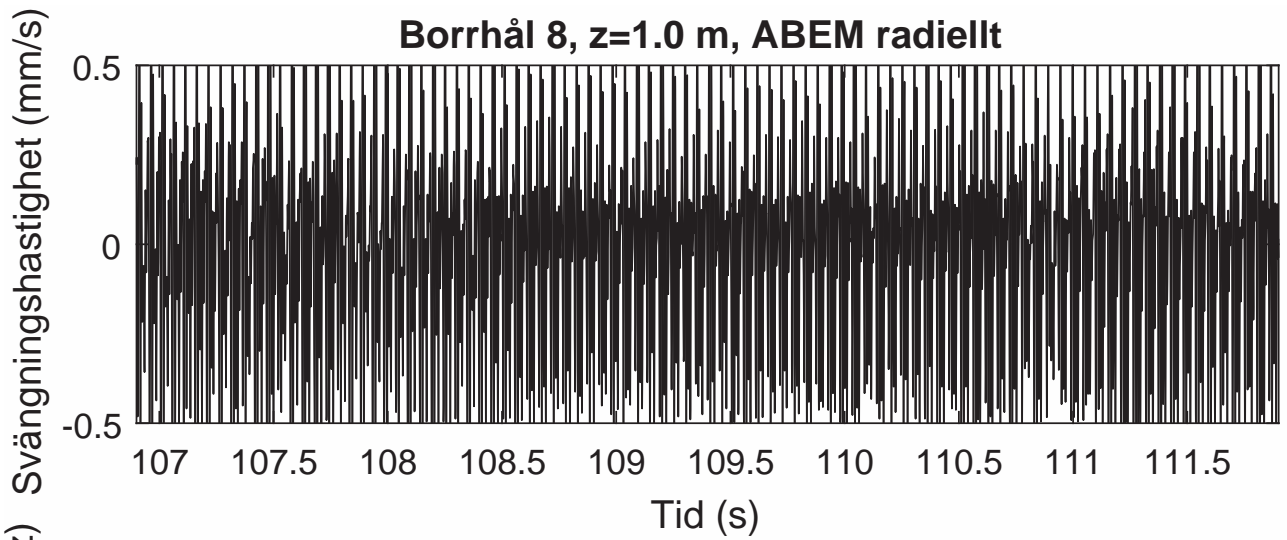
Borrhål 8, z=0.5 m, ABEM transversellt



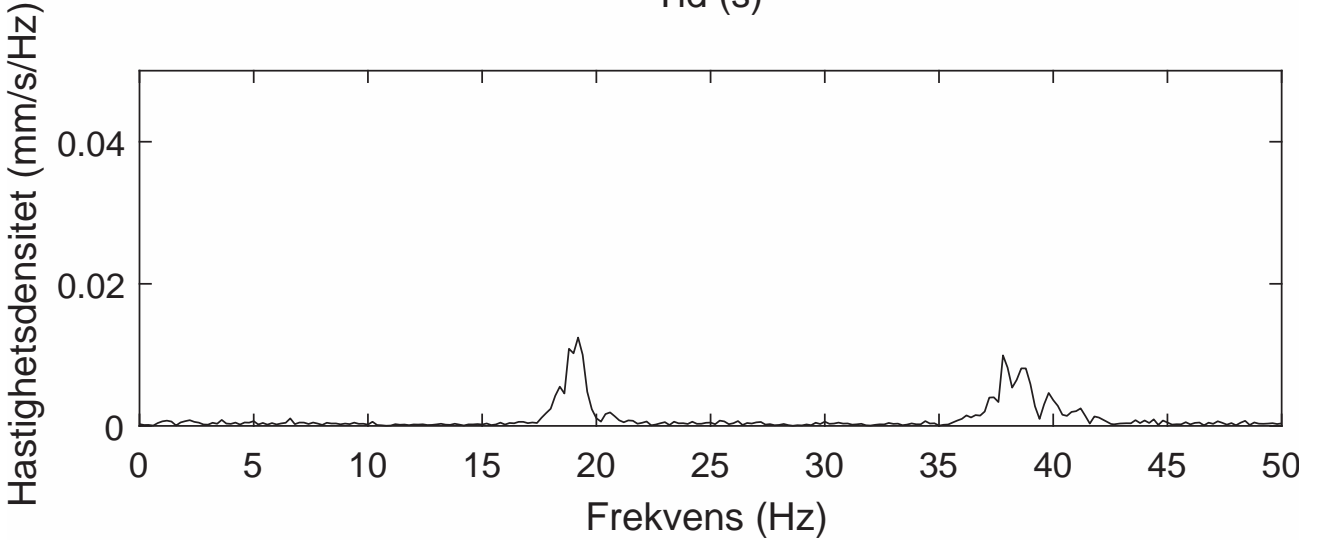
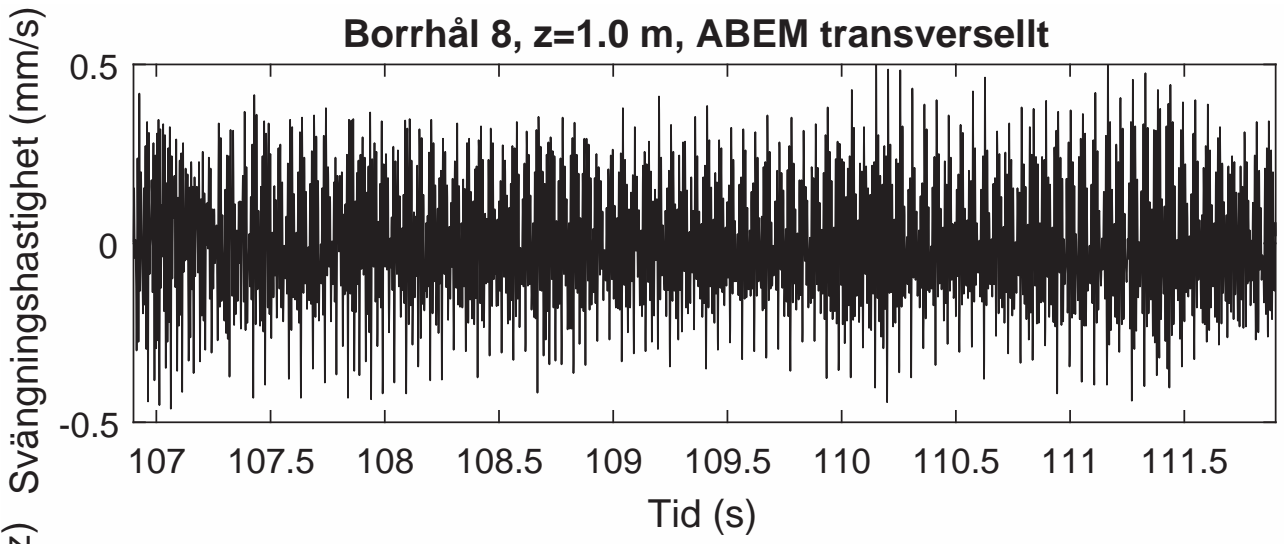
Borrhål 8, z=0.5 m, ABEM vertikalt



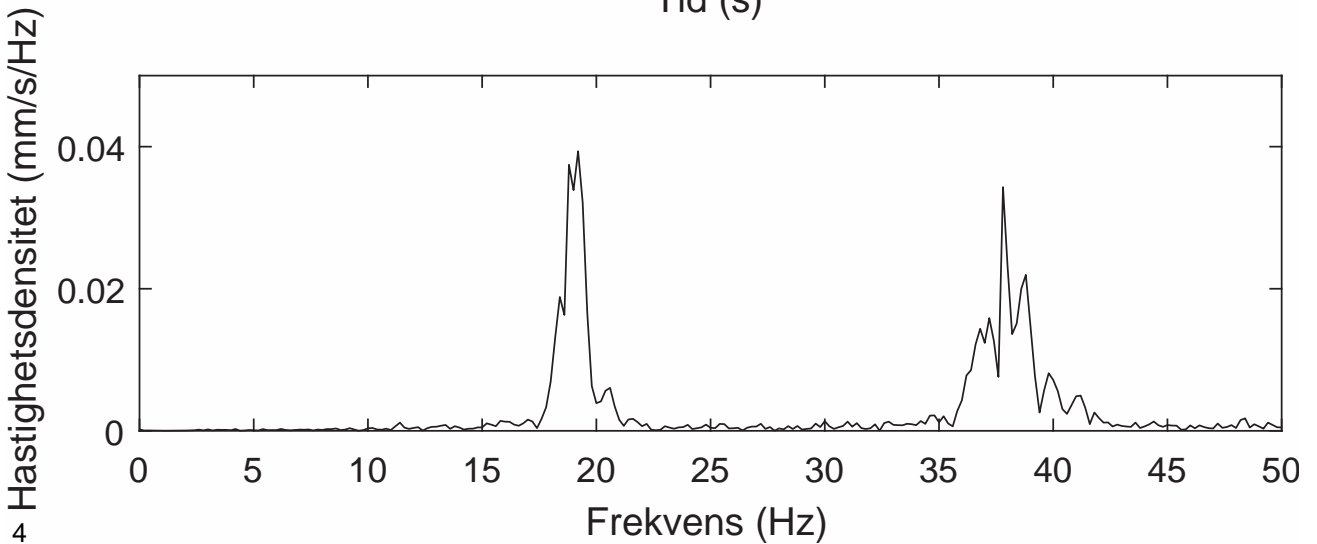
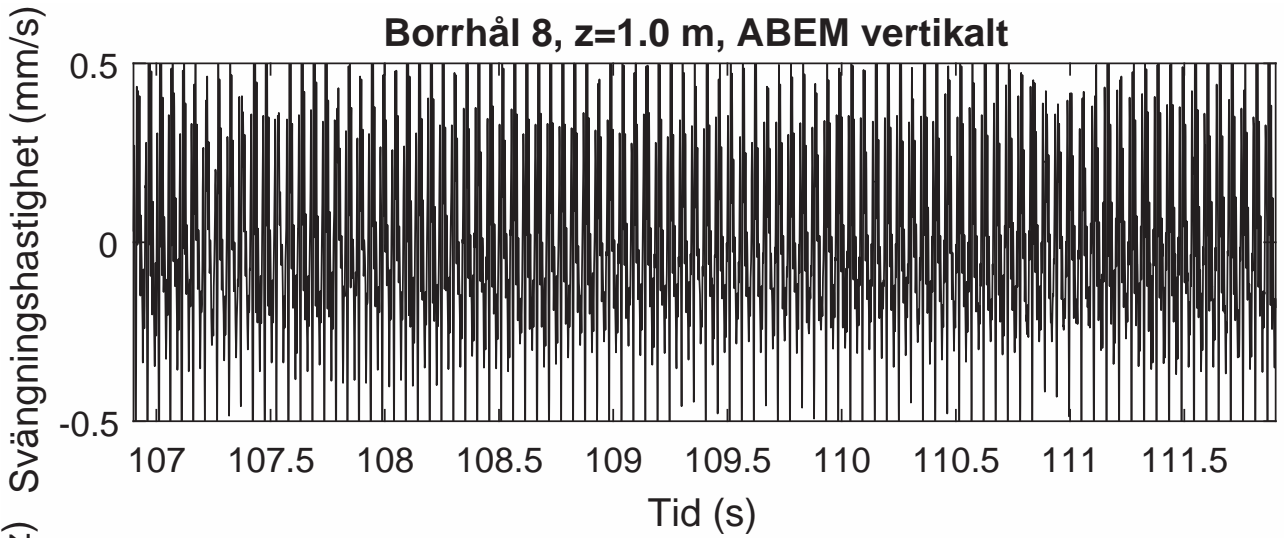
Borrhål 8, z=1.0 m, ABEM radiellt



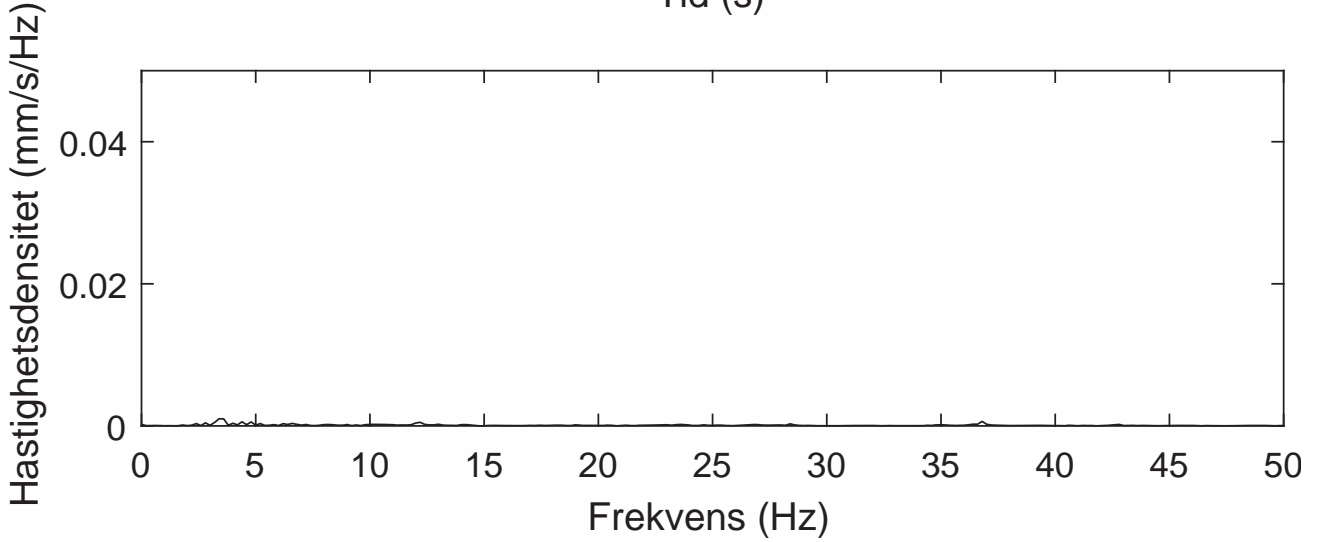
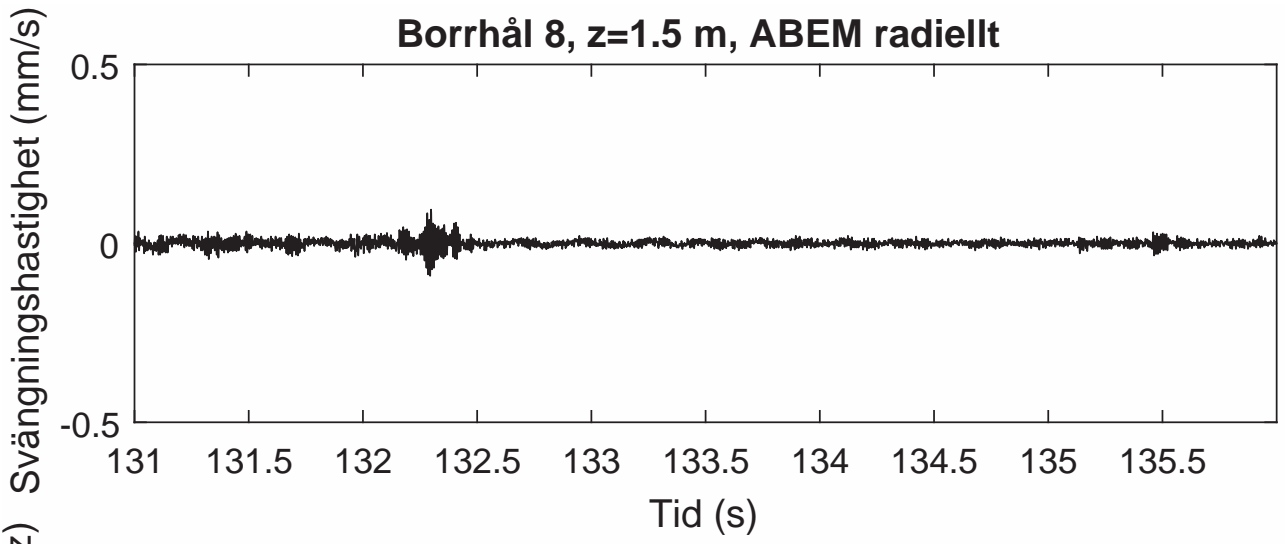
Borrhål 8, z=1.0 m, ABEM transversellt



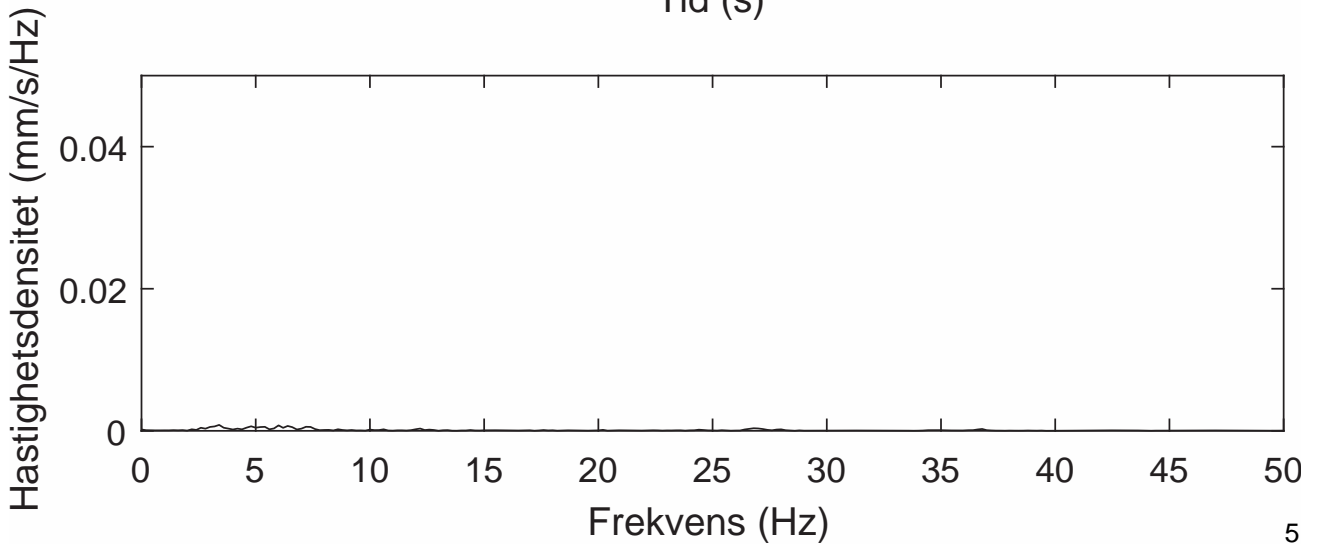
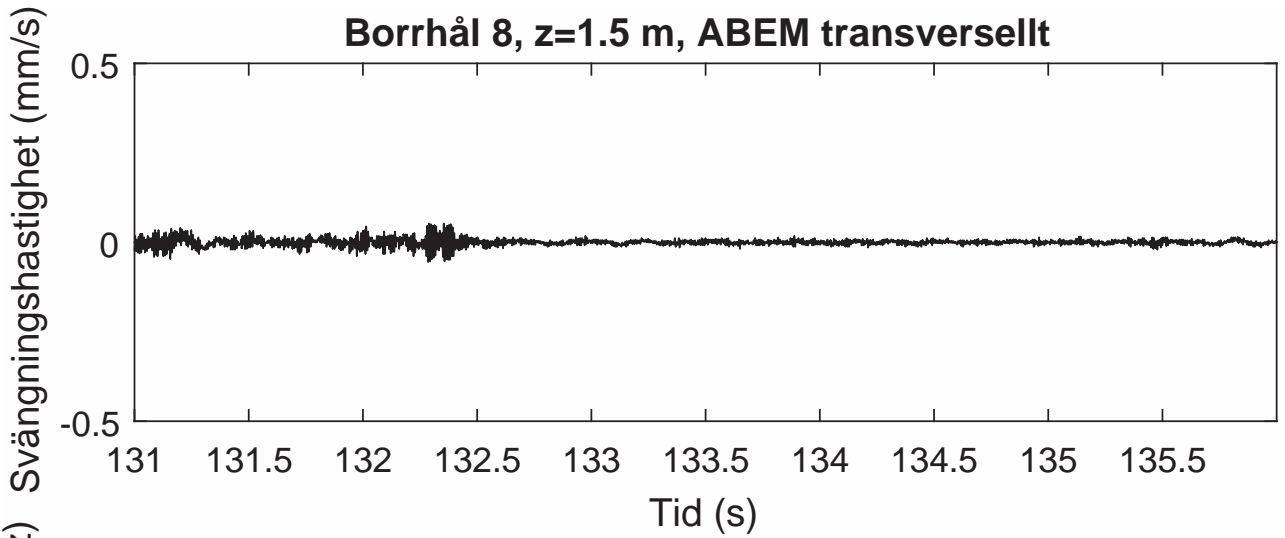
Borrhål 8, z=1.0 m, ABEM vertikalt



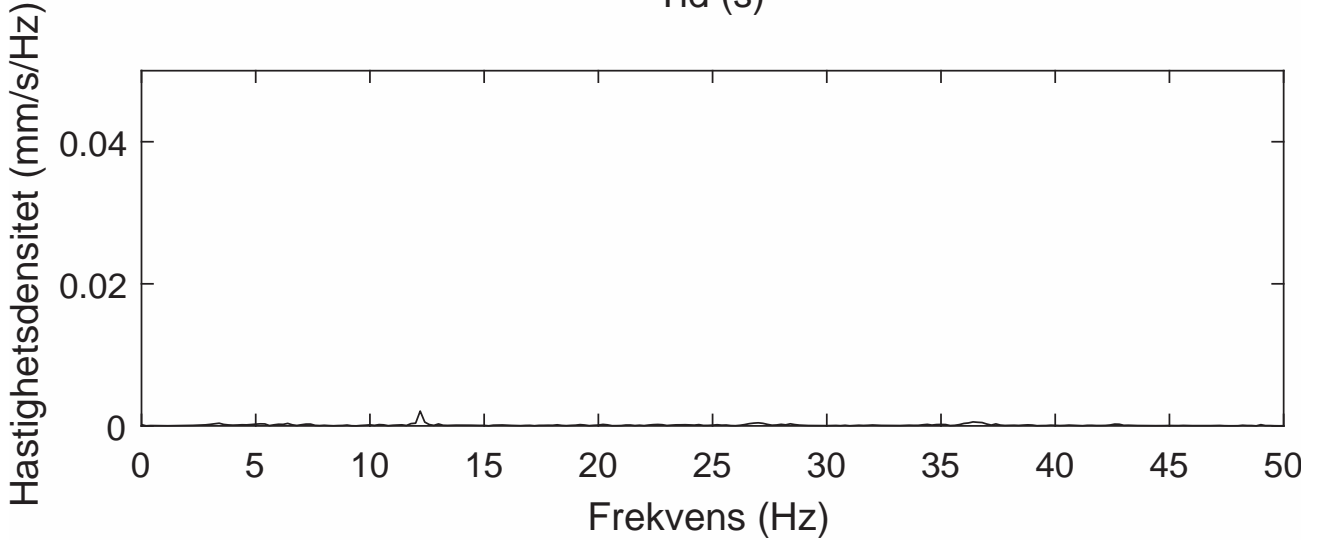
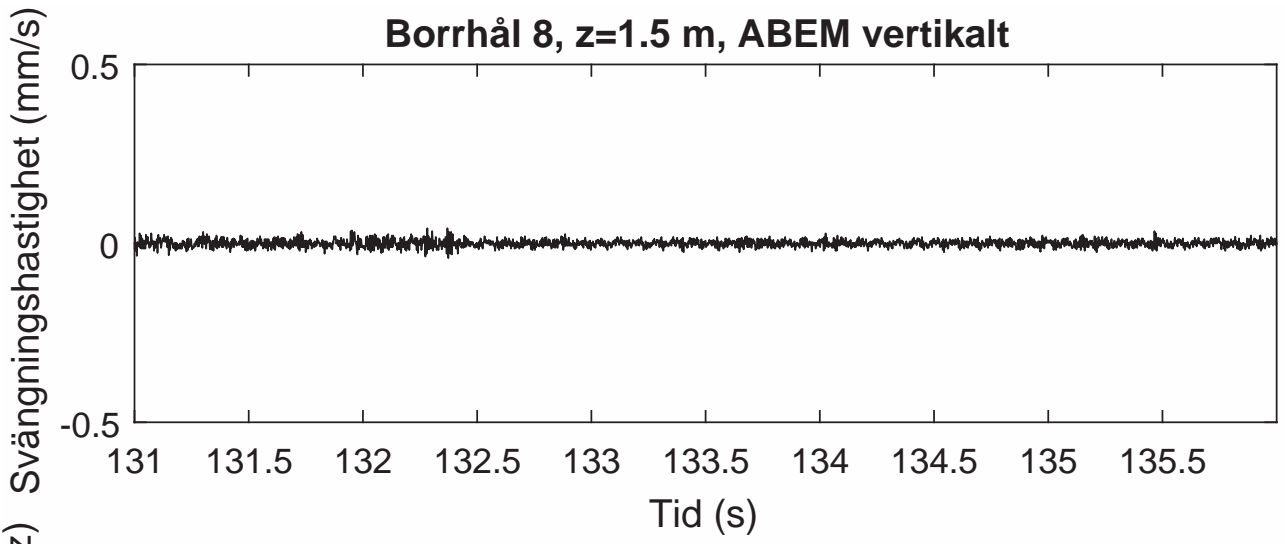
Borrhål 8, z=1.5 m, ABEM radiellt



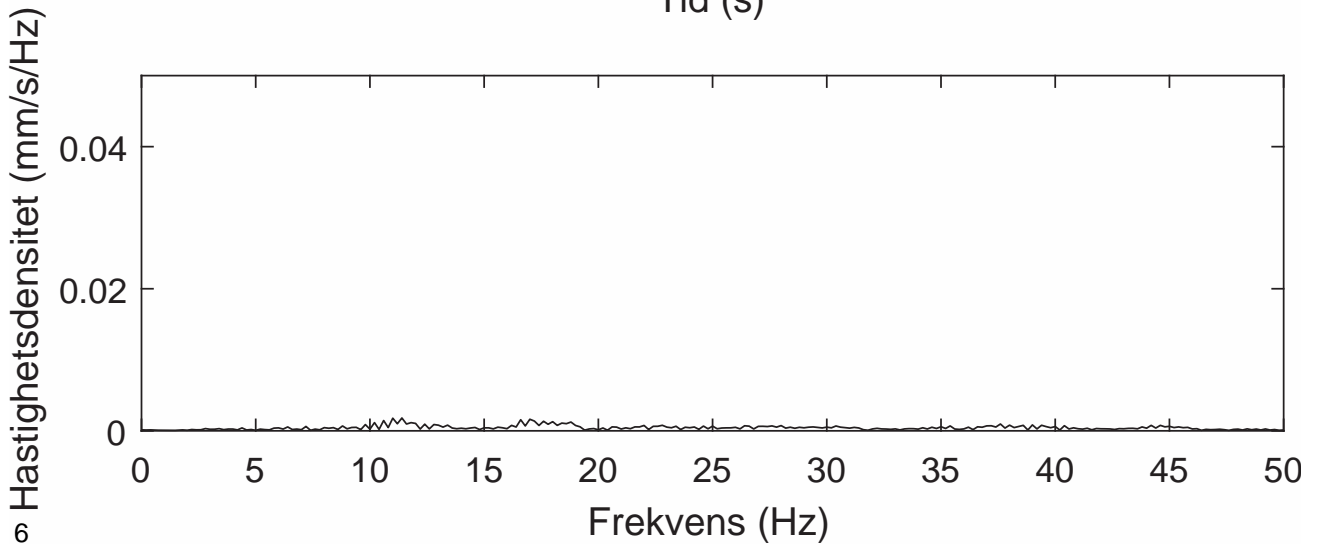
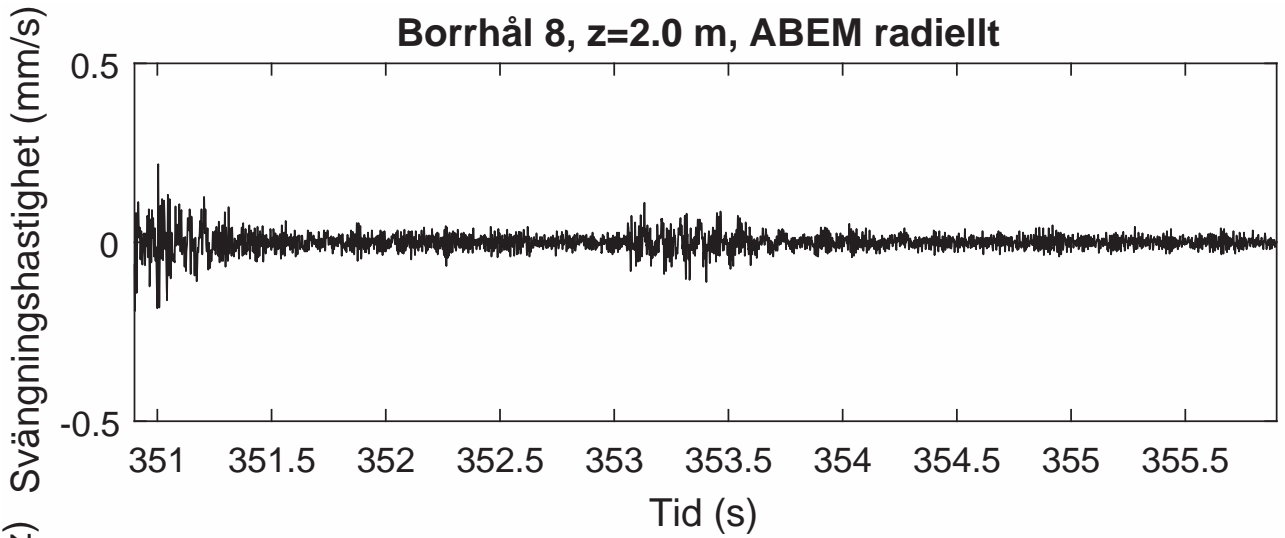
Borrhål 8, z=1.5 m, ABEM transversellt



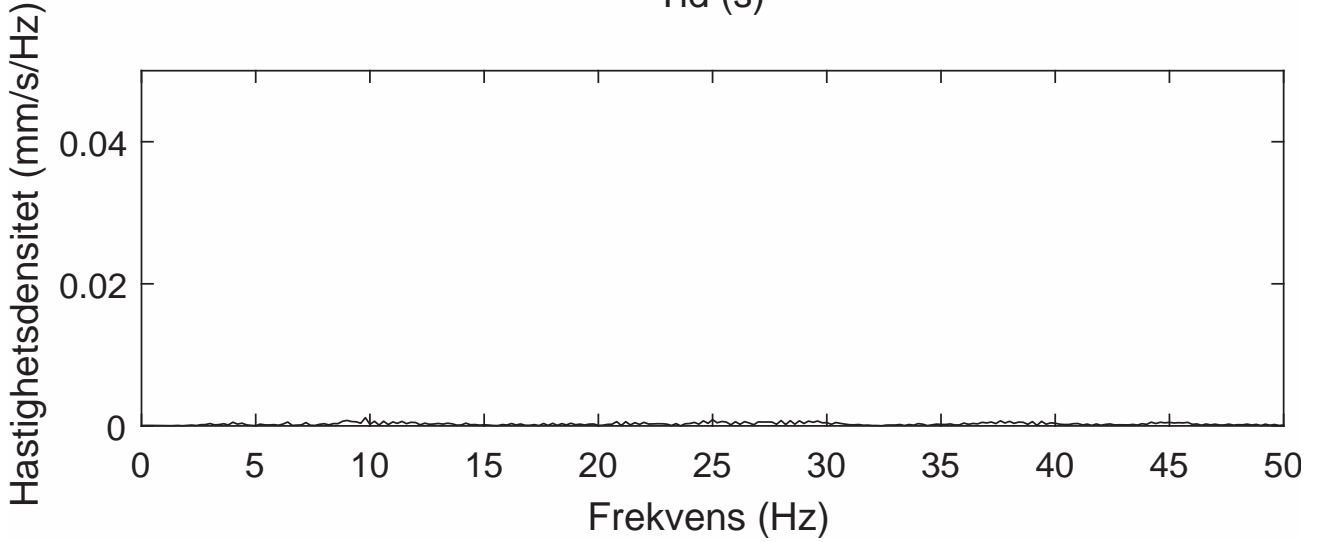
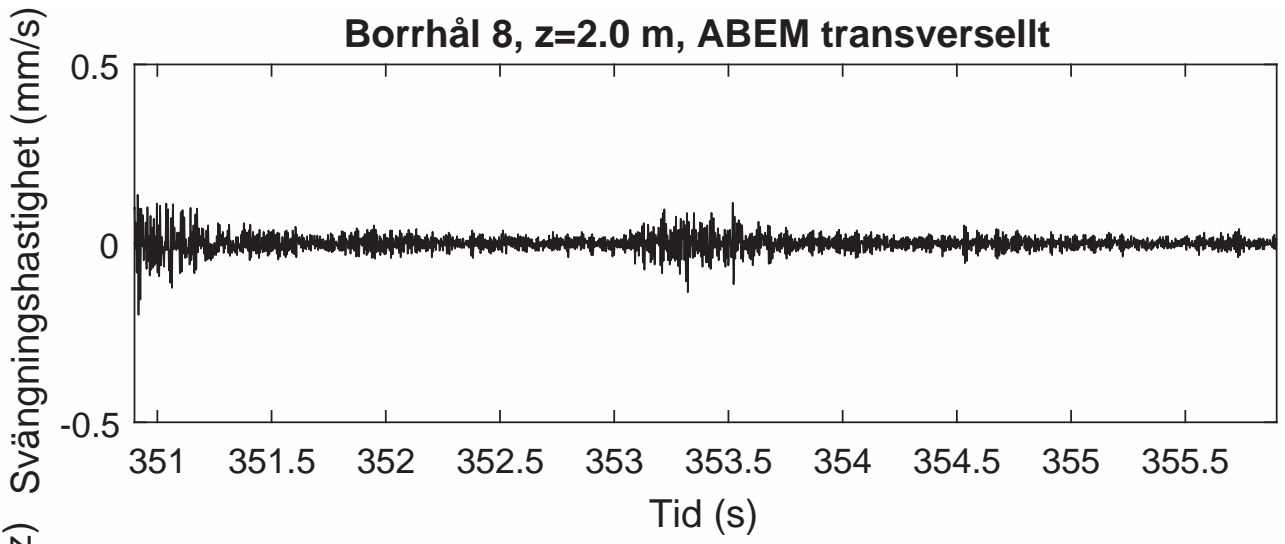
Borrhål 8, z=1.5 m, ABEM vertikalt



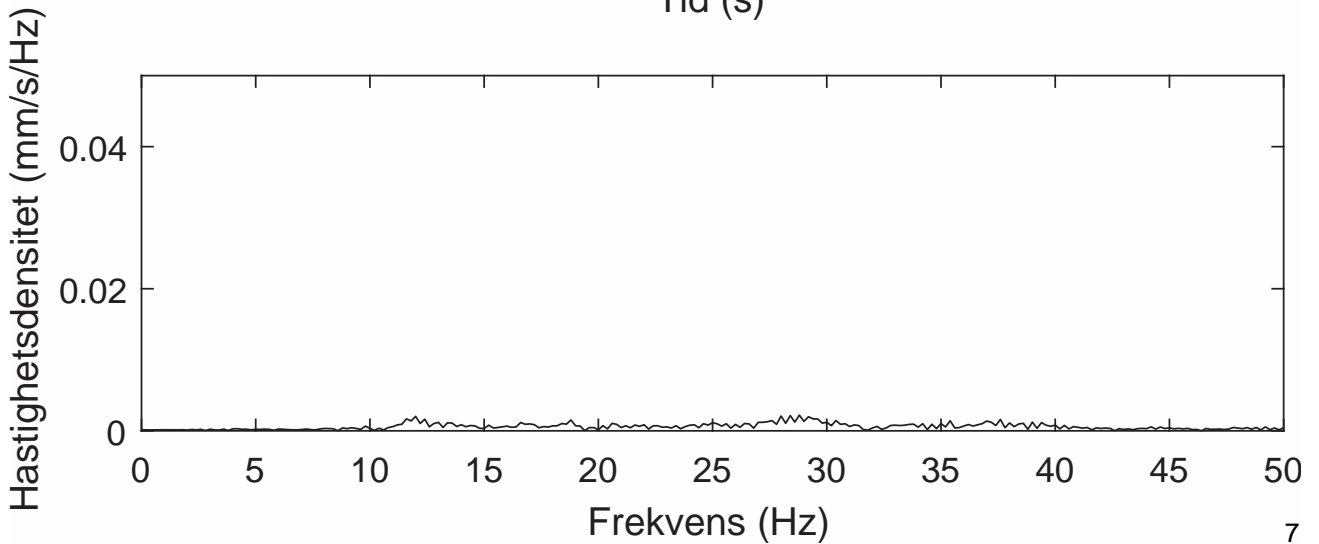
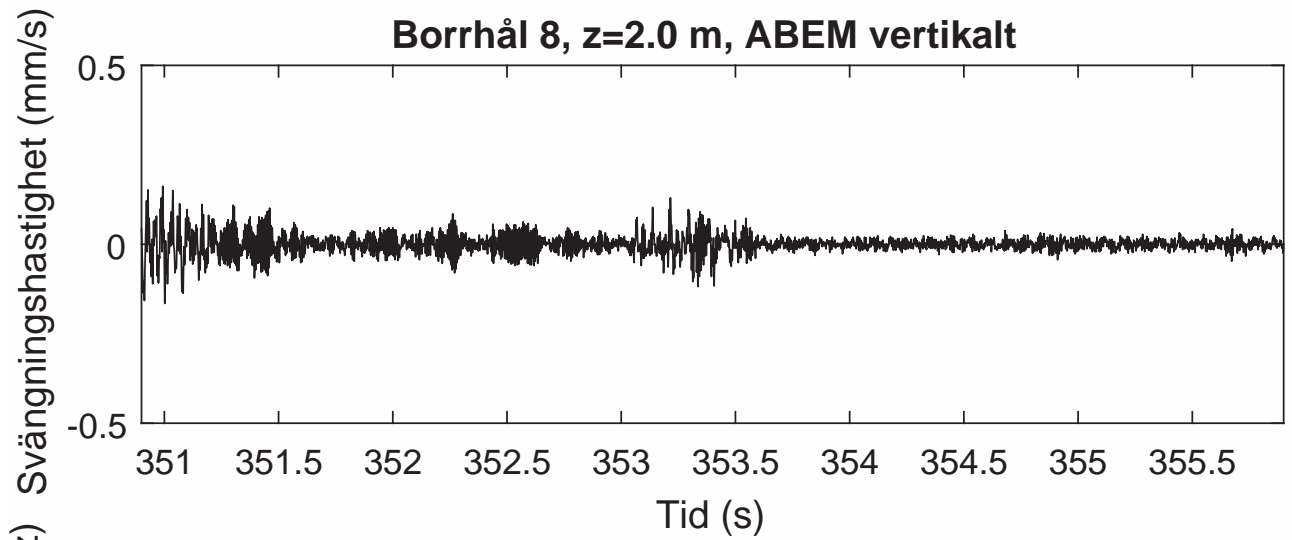
Borrhål 8, z=2.0 m, ABEM radiellt



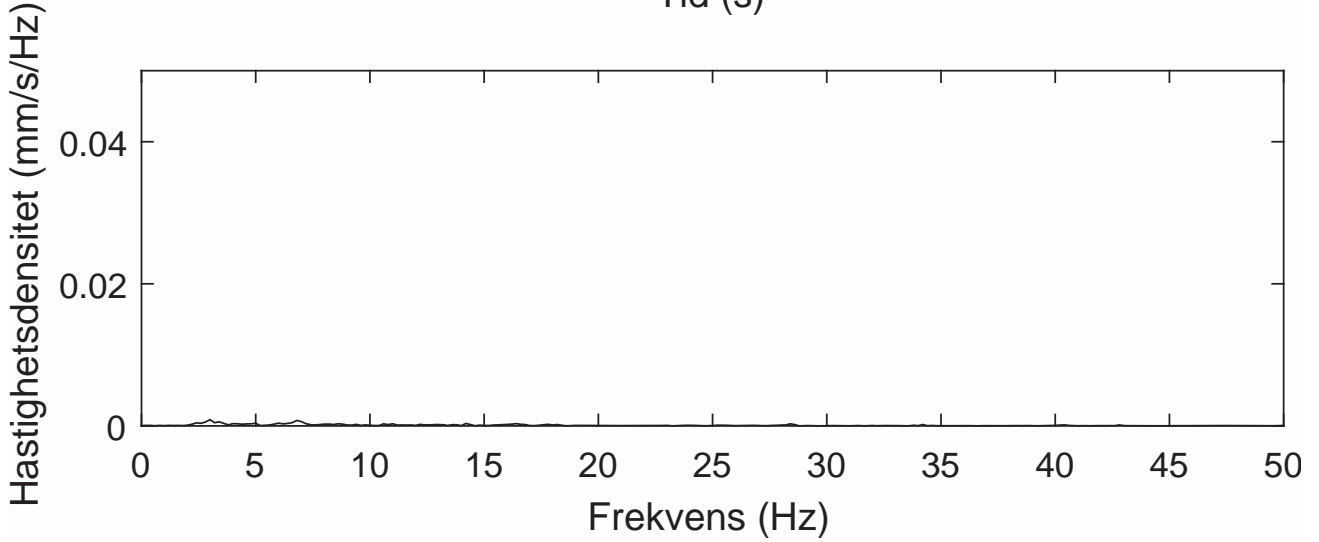
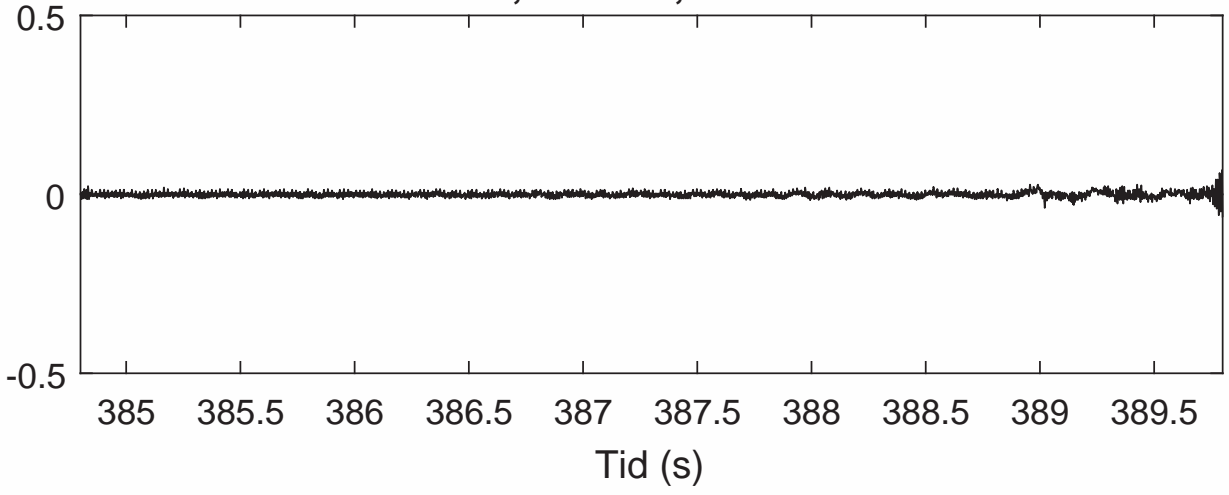
Borrhål 8, z=2.0 m, ABEM transversellt



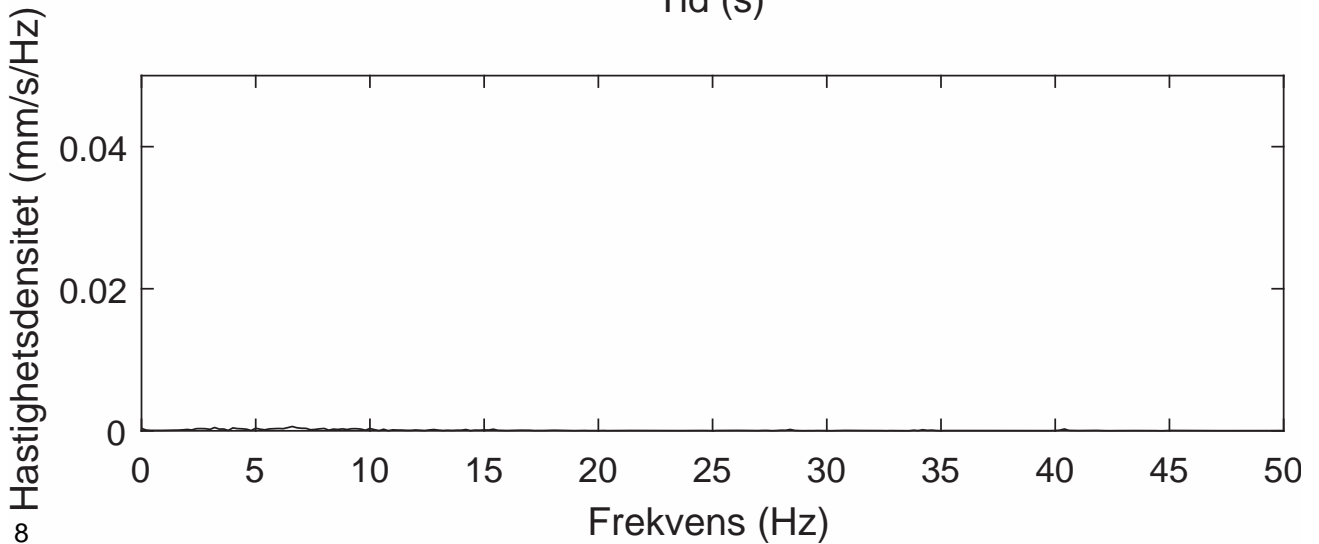
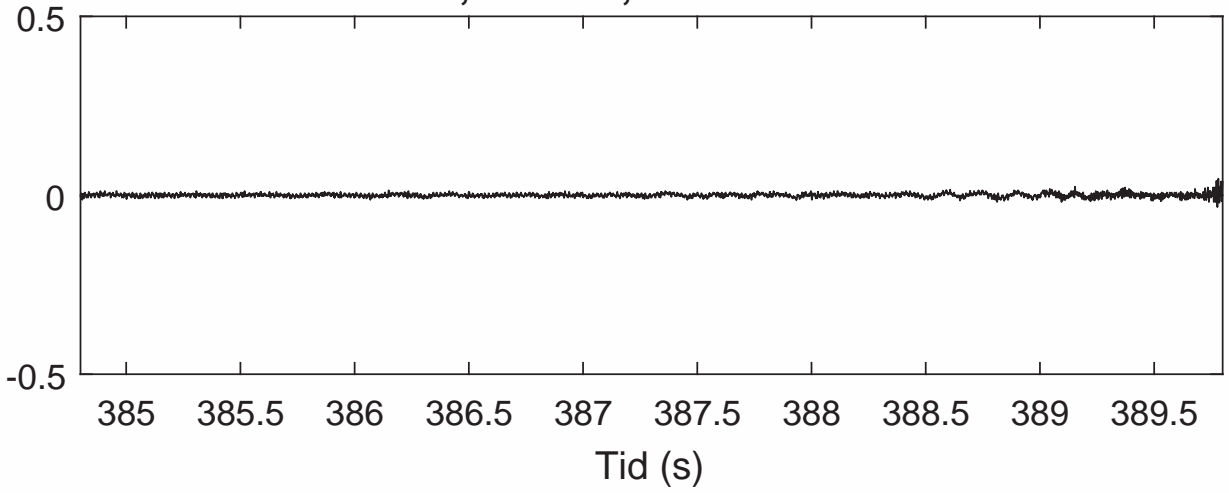
Borrhål 8, z=2.0 m, ABEM vertikalt



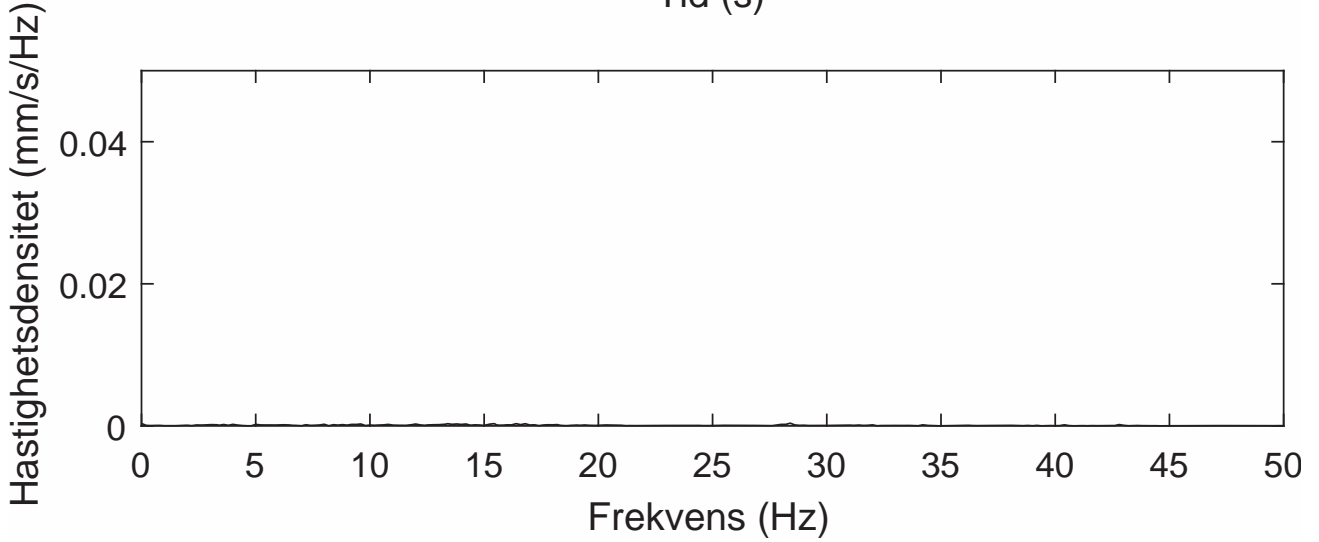
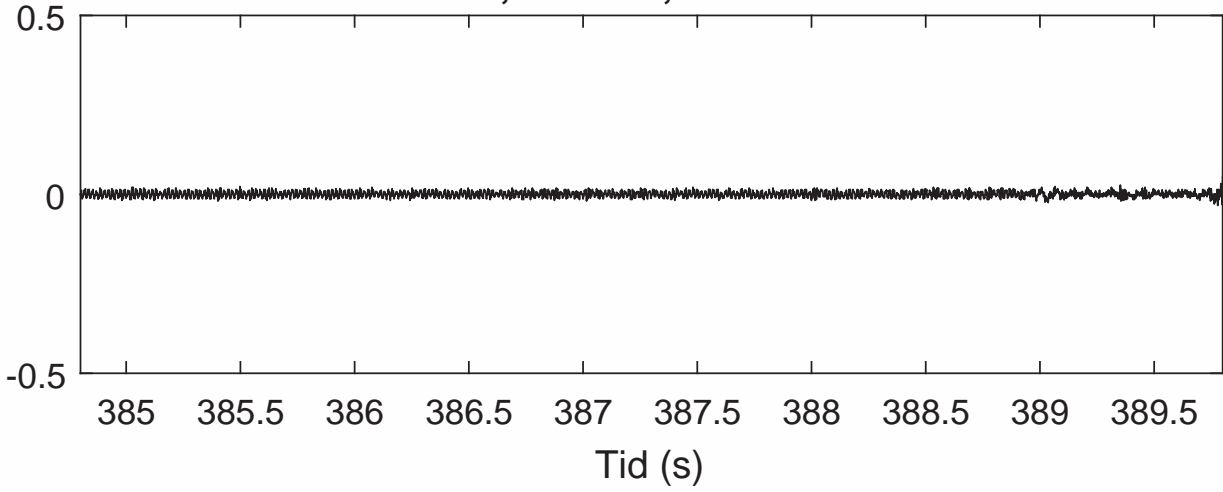
Borrhål 8, z=2.5 m, ABEM radiellt



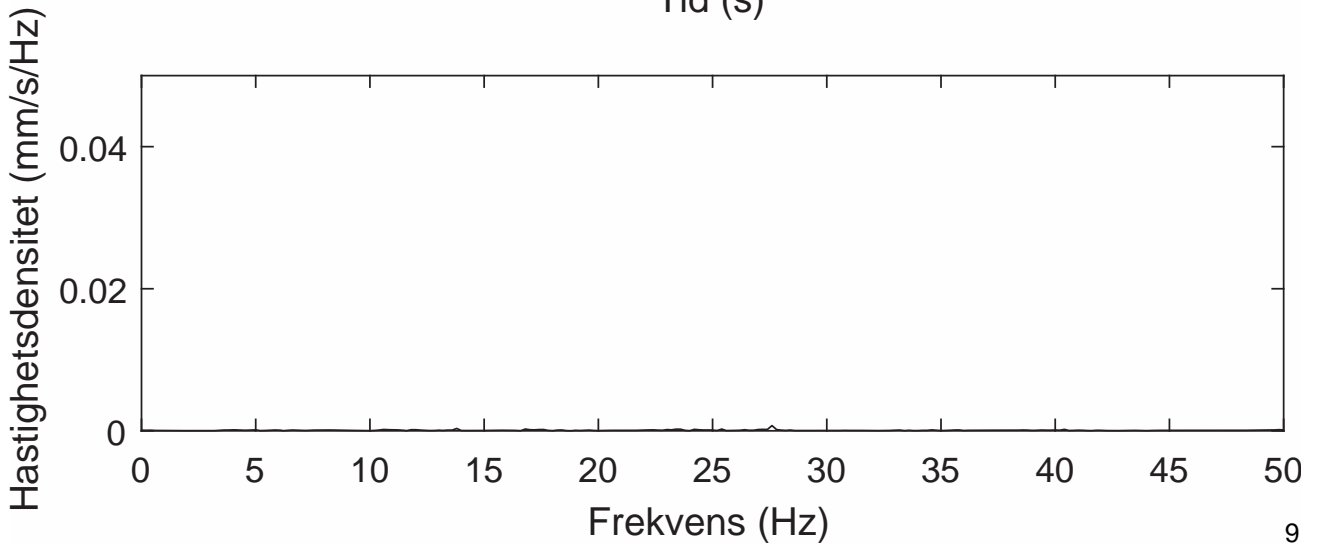
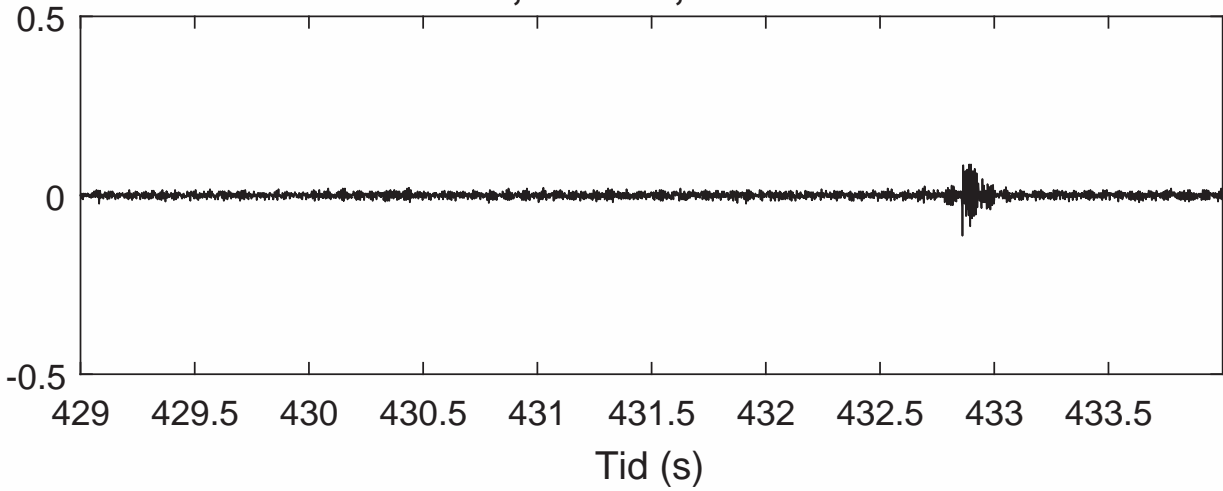
Borrhål 8, z=2.5 m, ABEM transversellt



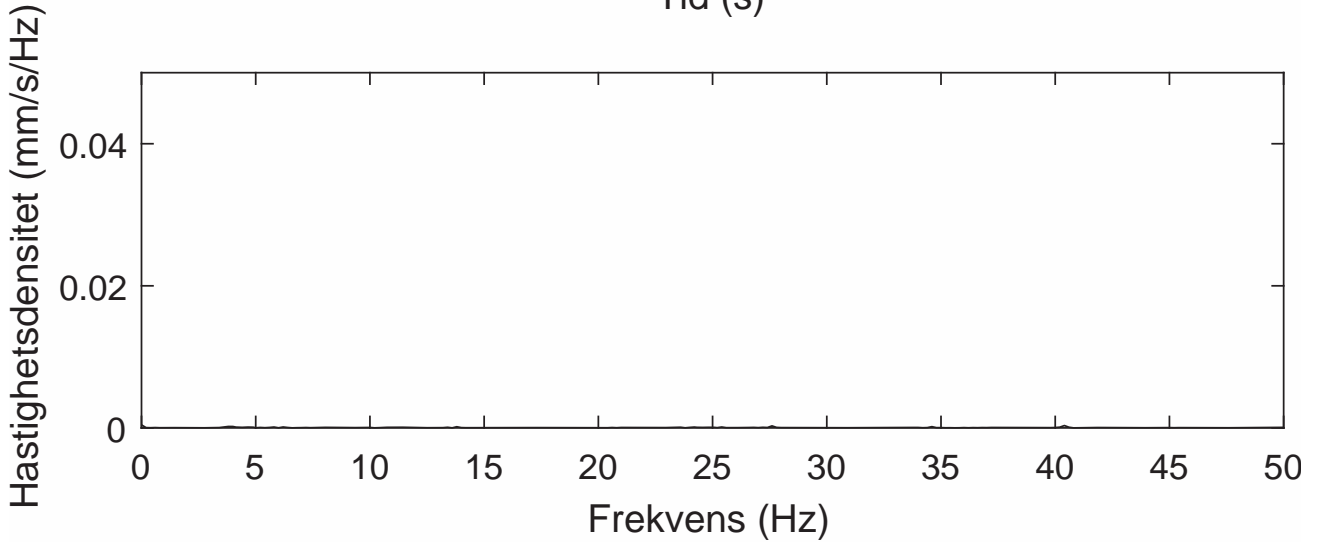
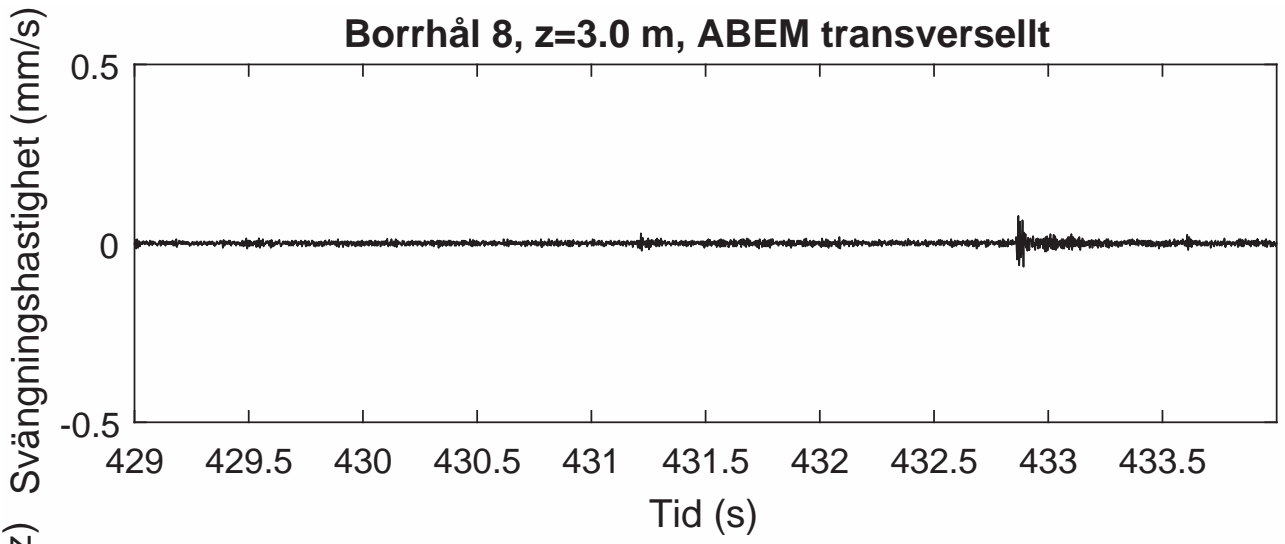
Borrhål 8, z=2.5 m, ABEM vertikalt



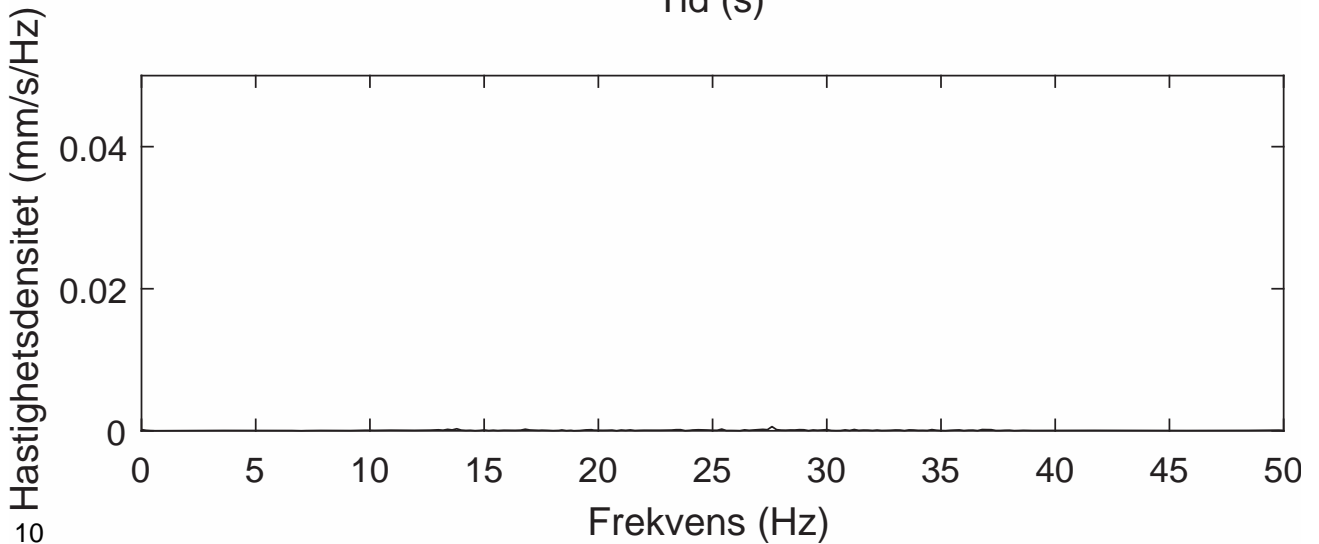
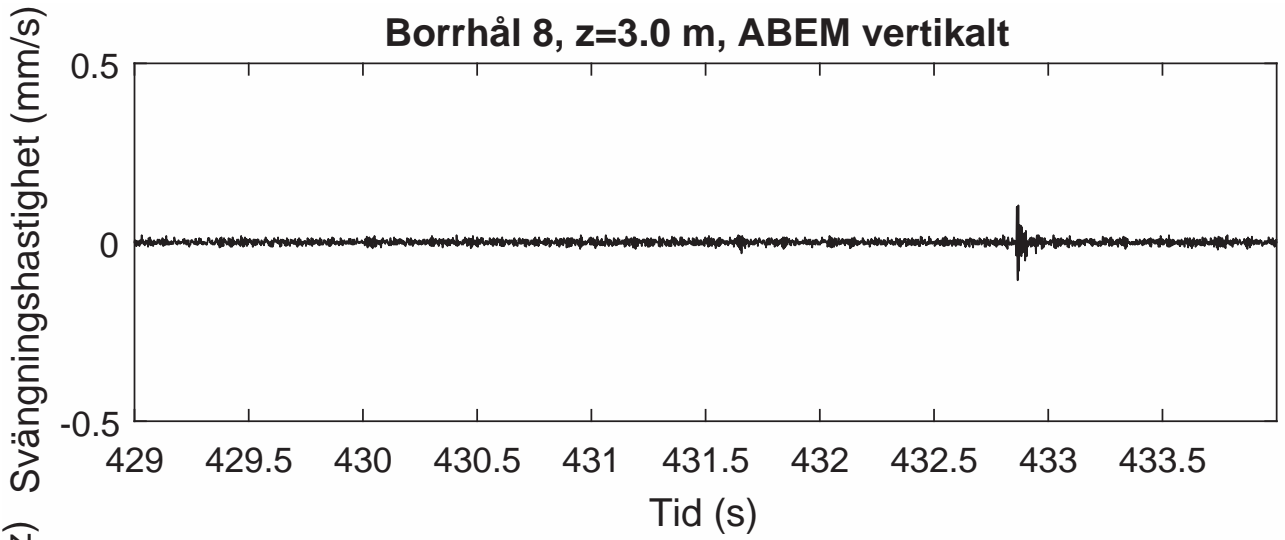
Borrhål 8, z=3.0 m, ABEM radiellt



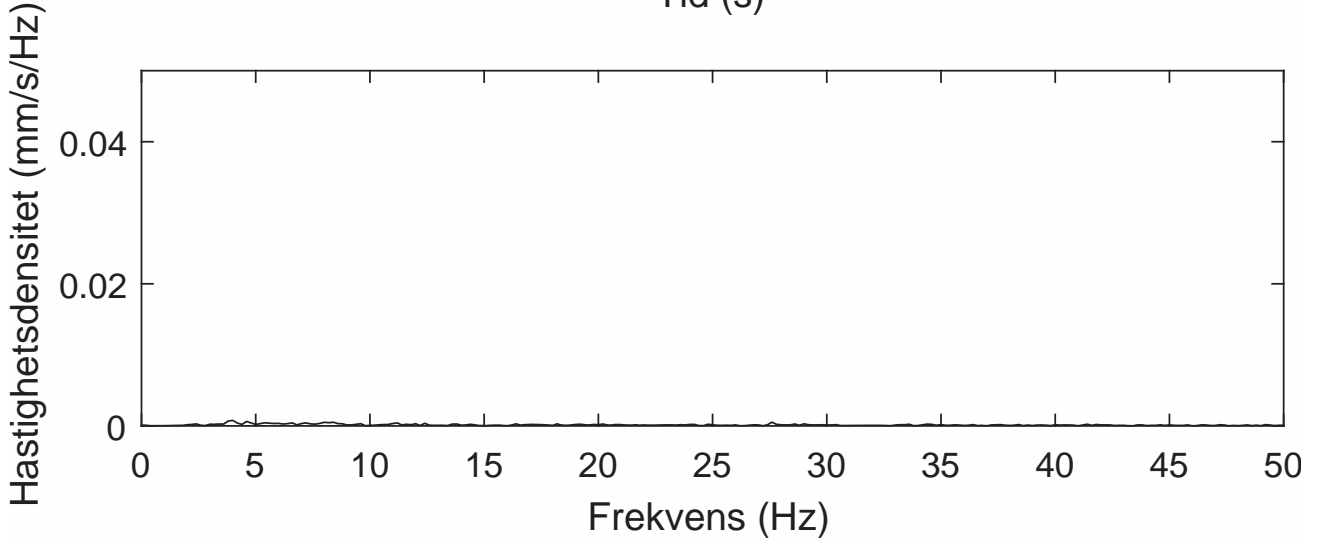
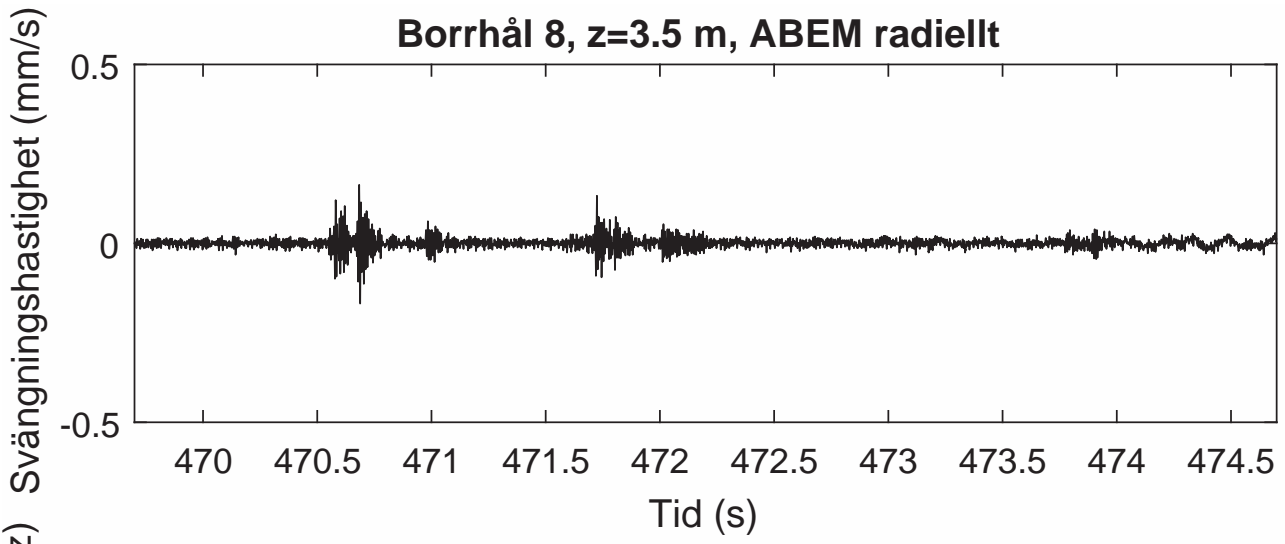
Borrhål 8, z=3.0 m, ABEM transversellt



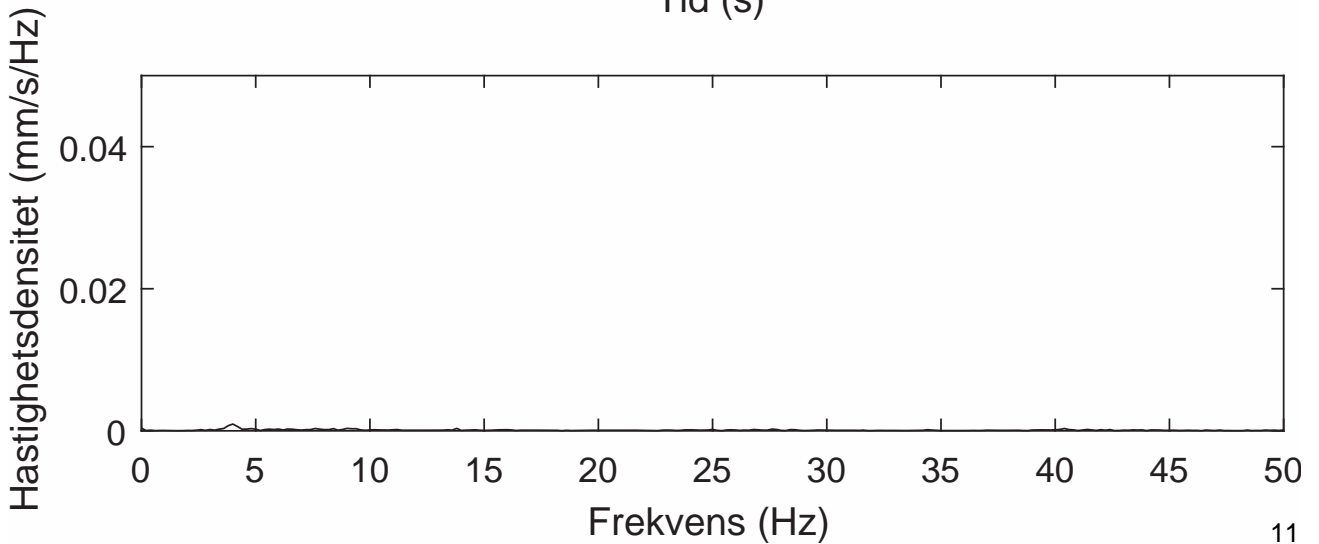
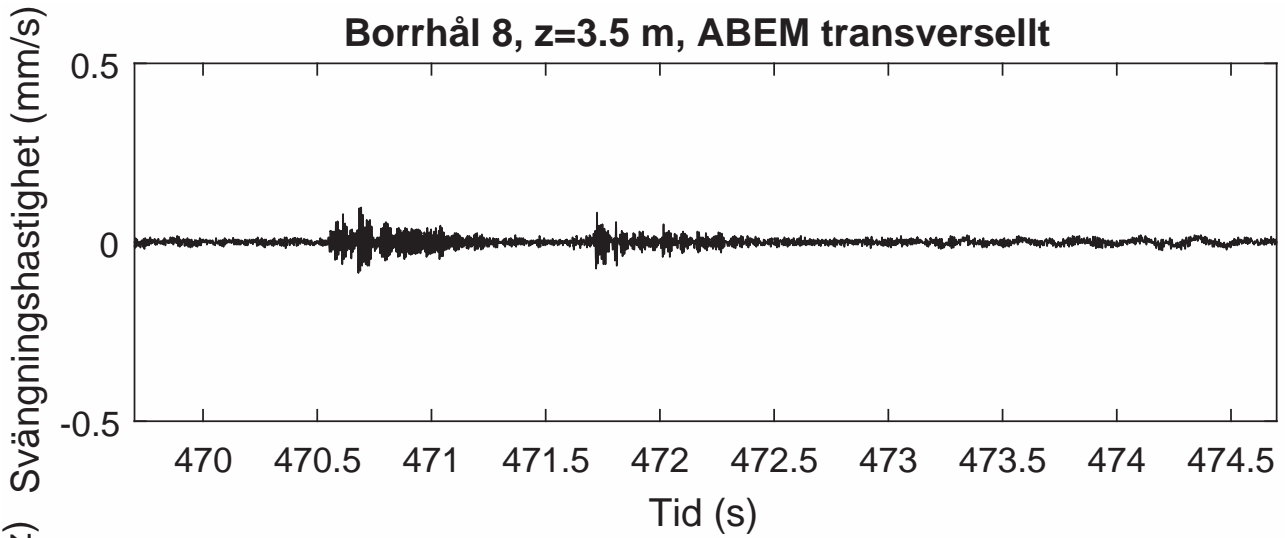
Borrhål 8, z=3.0 m, ABEM vertikalt



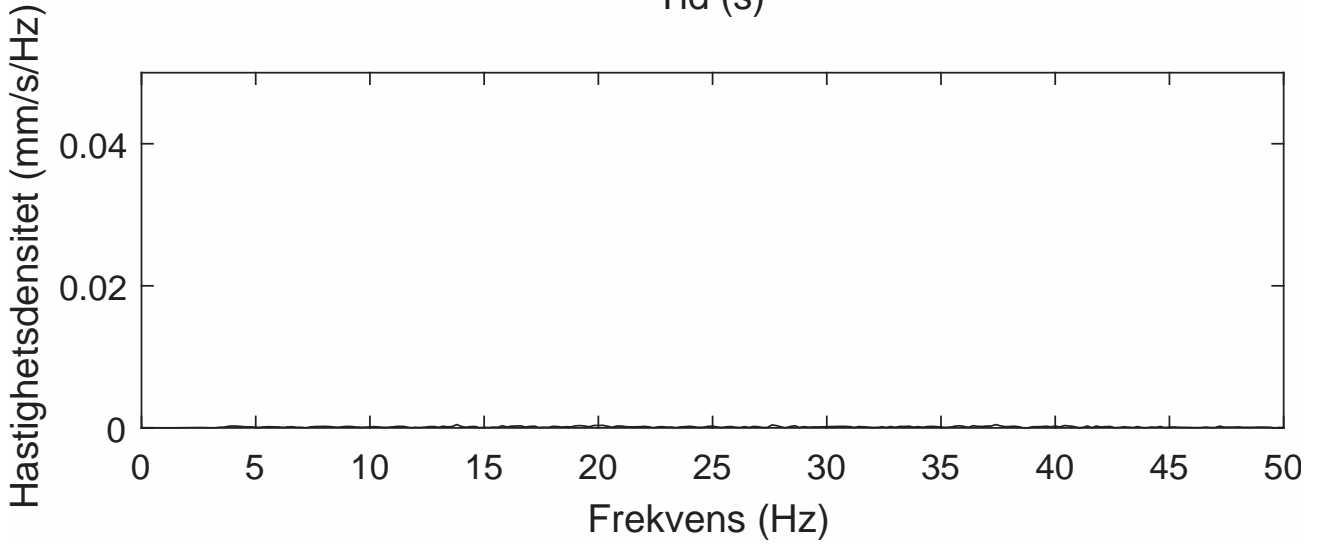
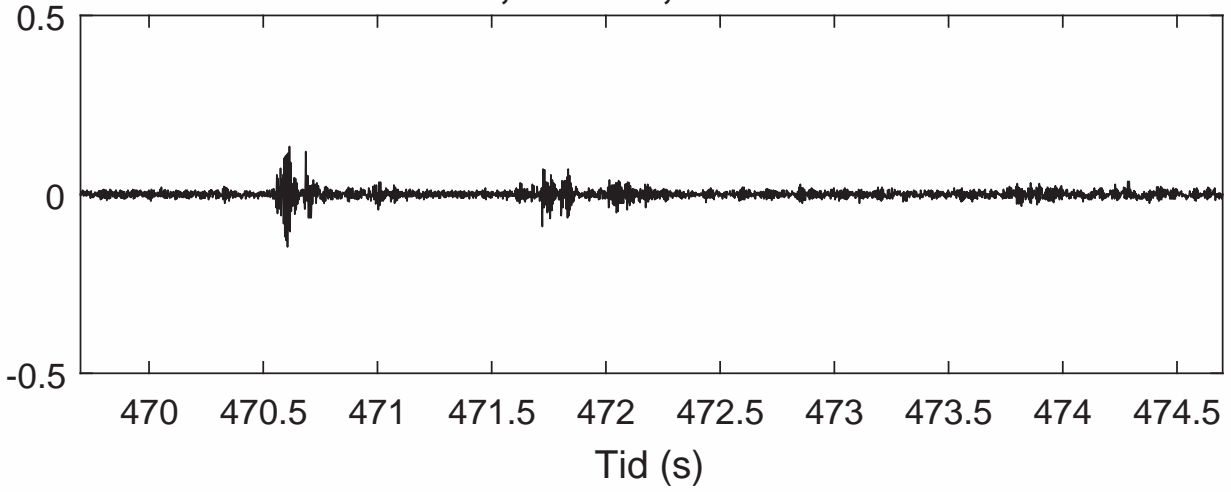
Borrhål 8, z=3.5 m, ABEM radiellt



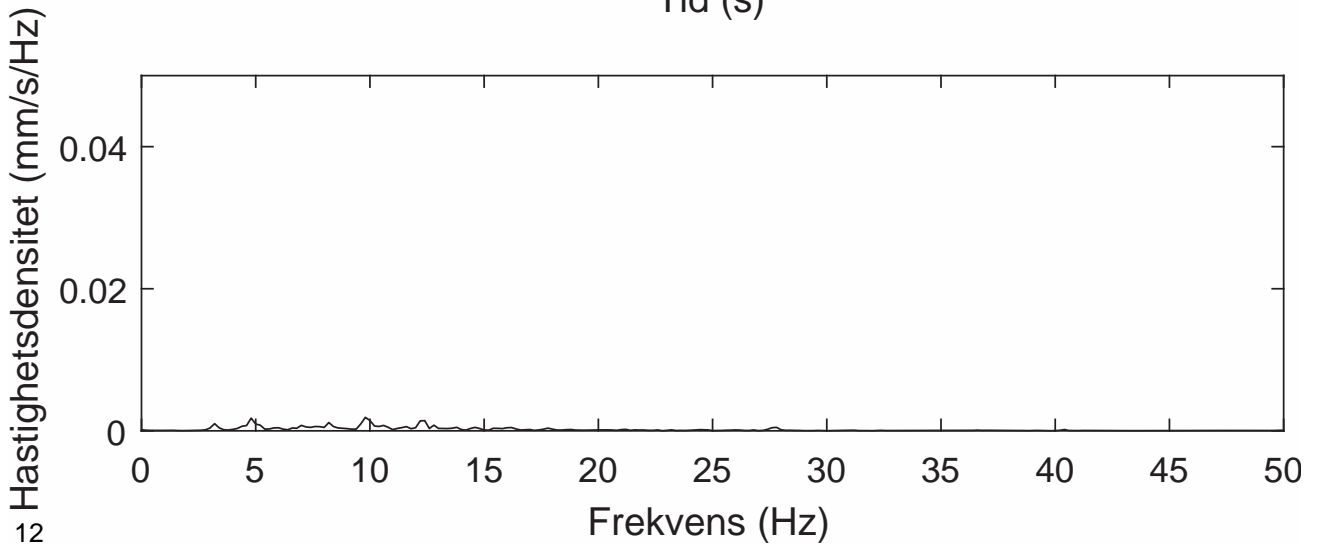
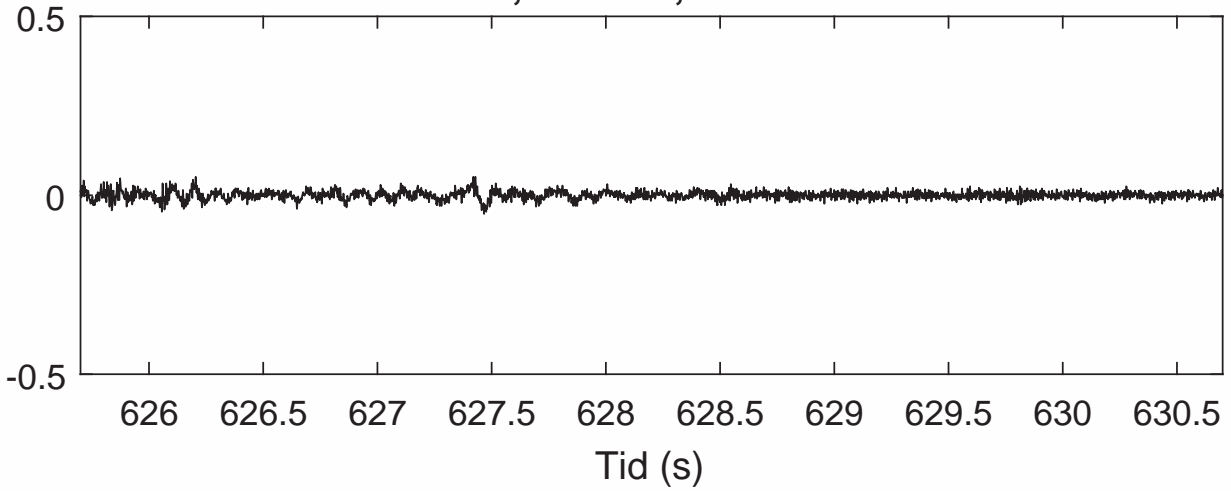
Borrhål 8, z=3.5 m, ABEM transversellt



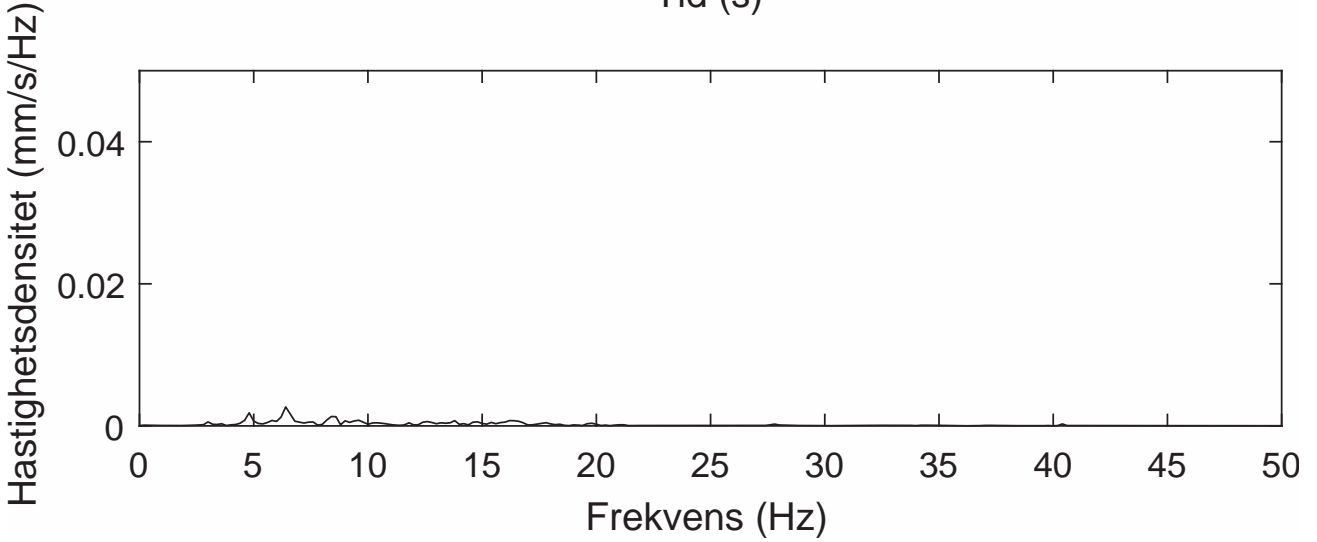
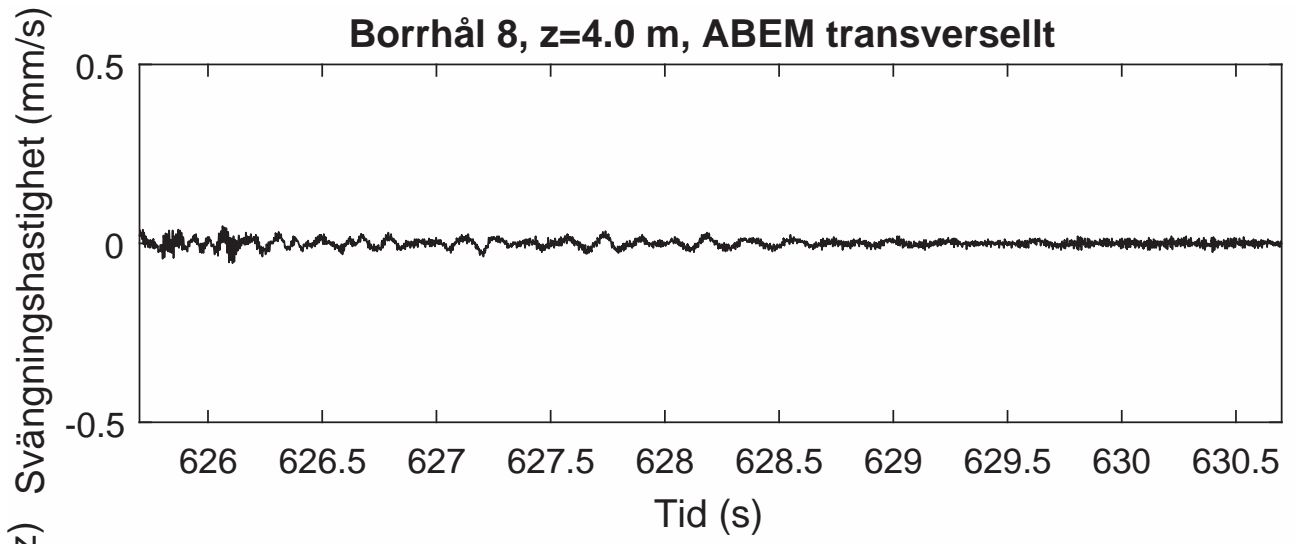
Borrhål 8, z=3.5 m, ABEM vertikalt



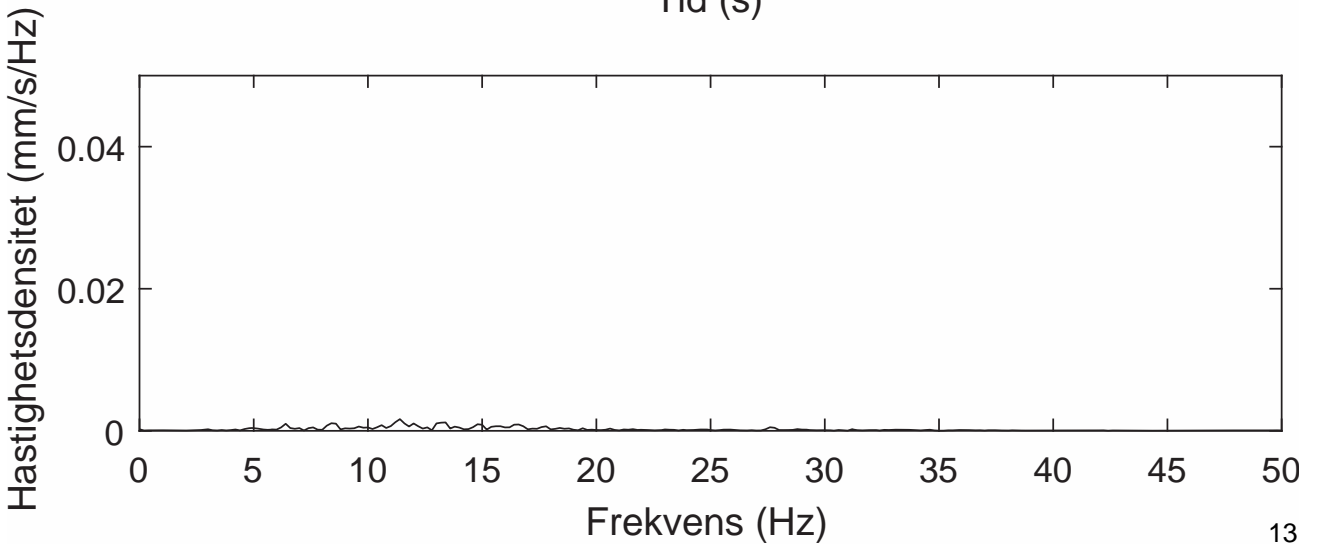
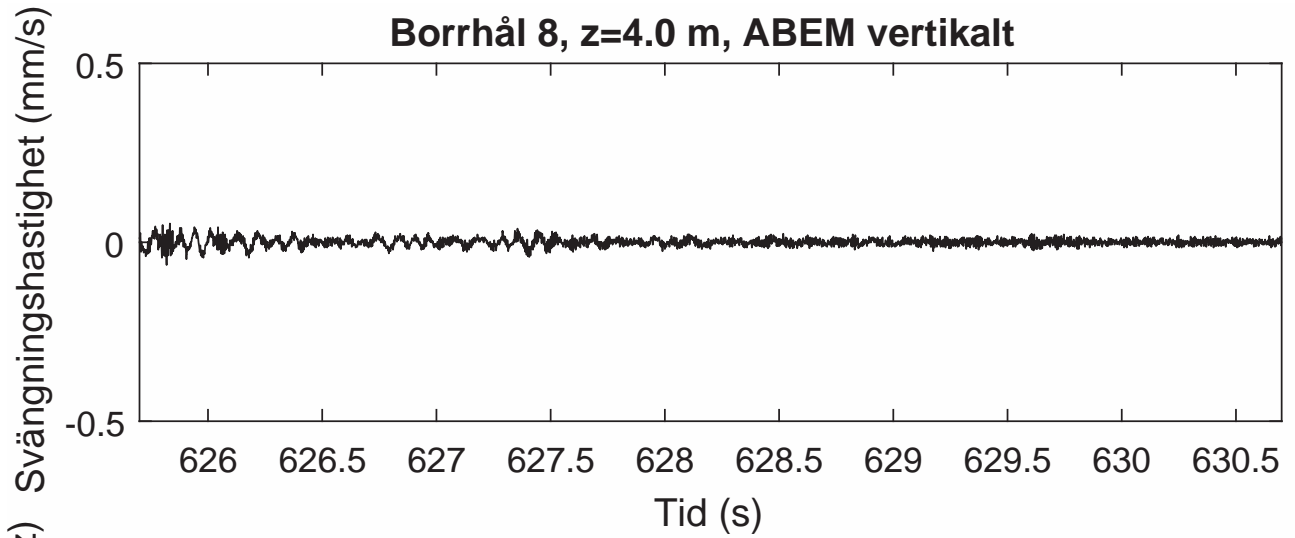
Borrhål 8, z=4.0 m, ABEM radiellt



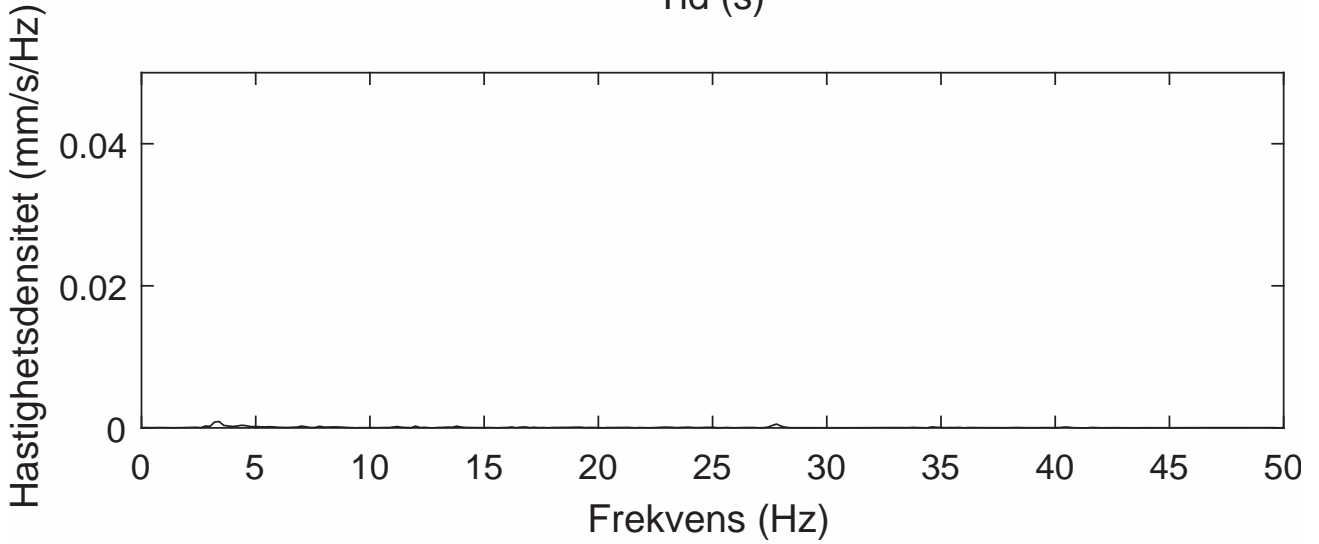
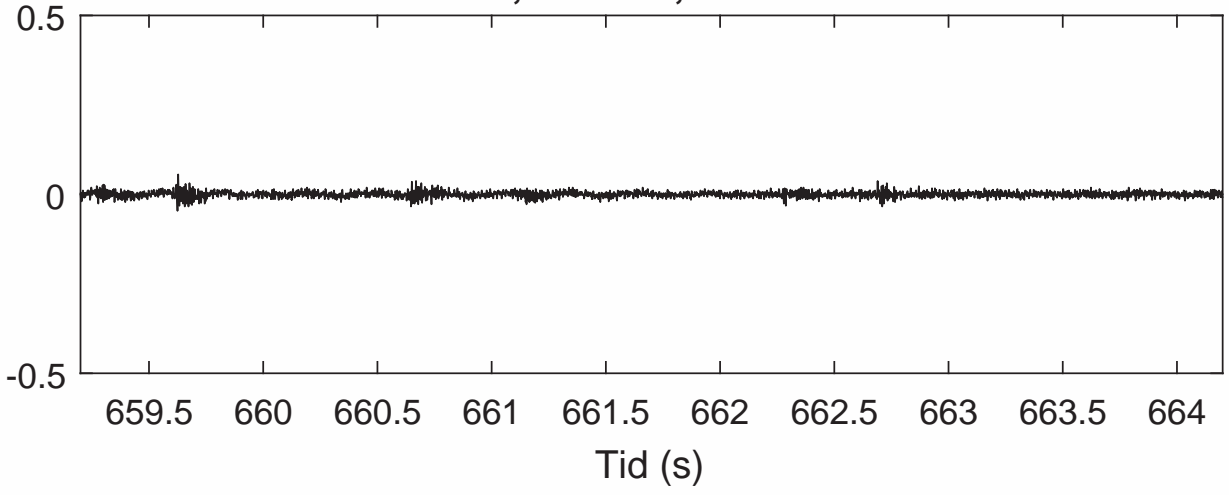
Borrhål 8, z=4.0 m, ABEM transversellt



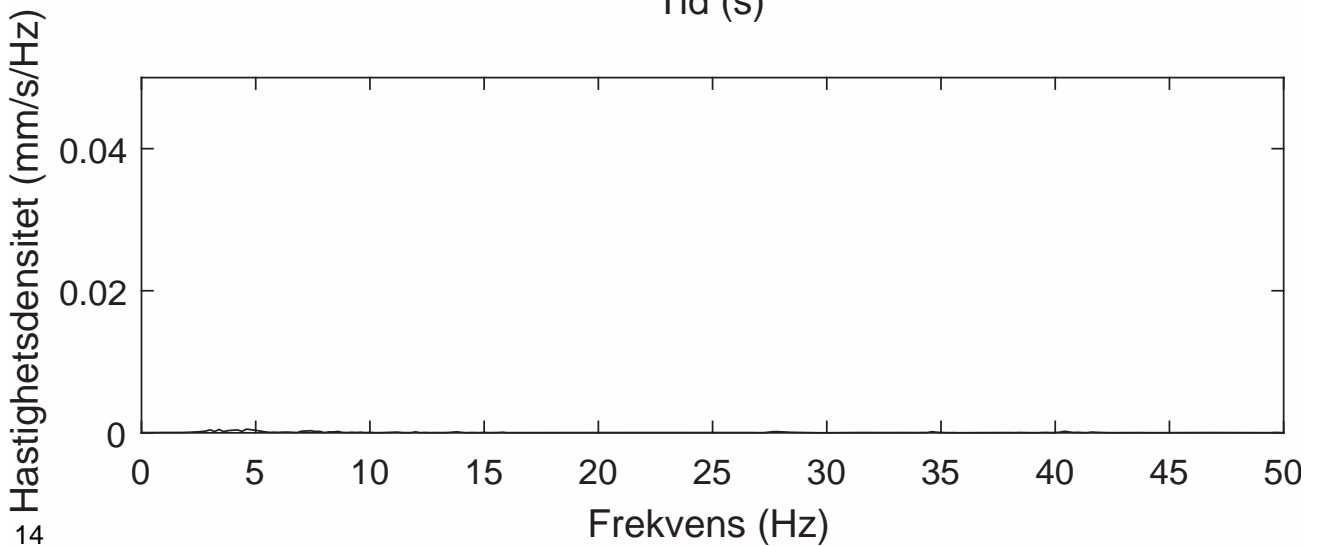
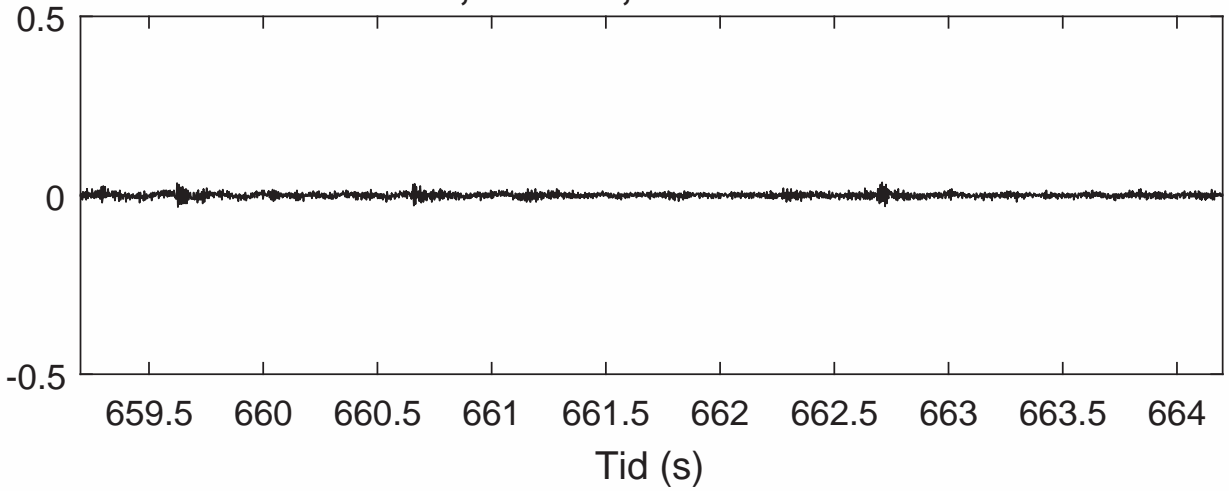
Borrhål 8, z=4.0 m, ABEM vertikalt



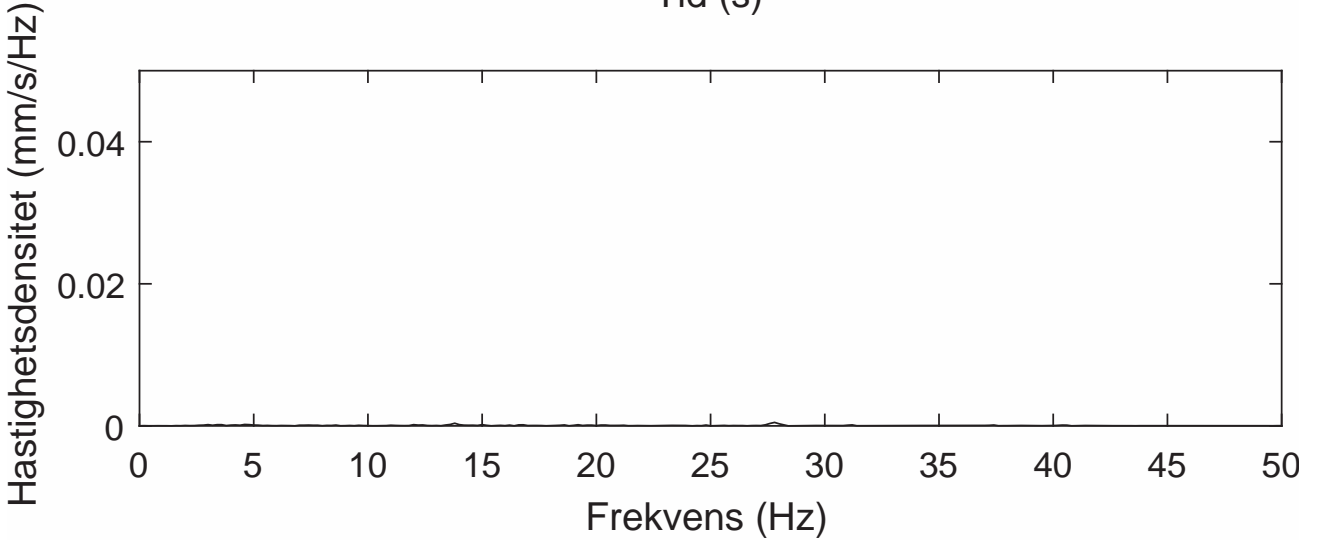
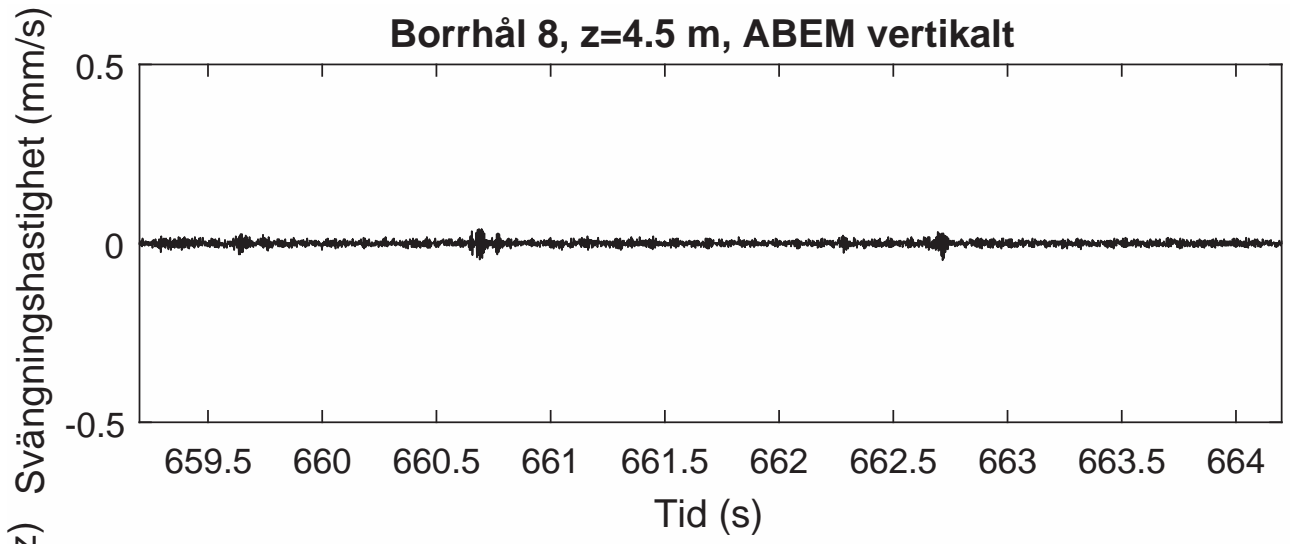
Borrhål 8, z=4.5 m, ABEM radiellt



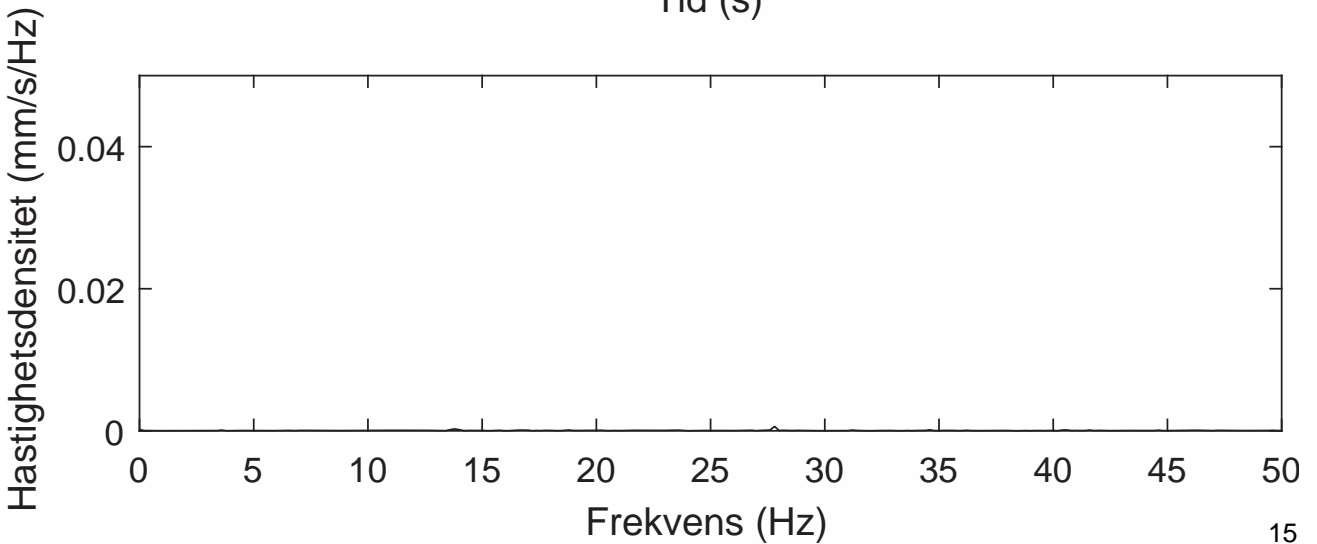
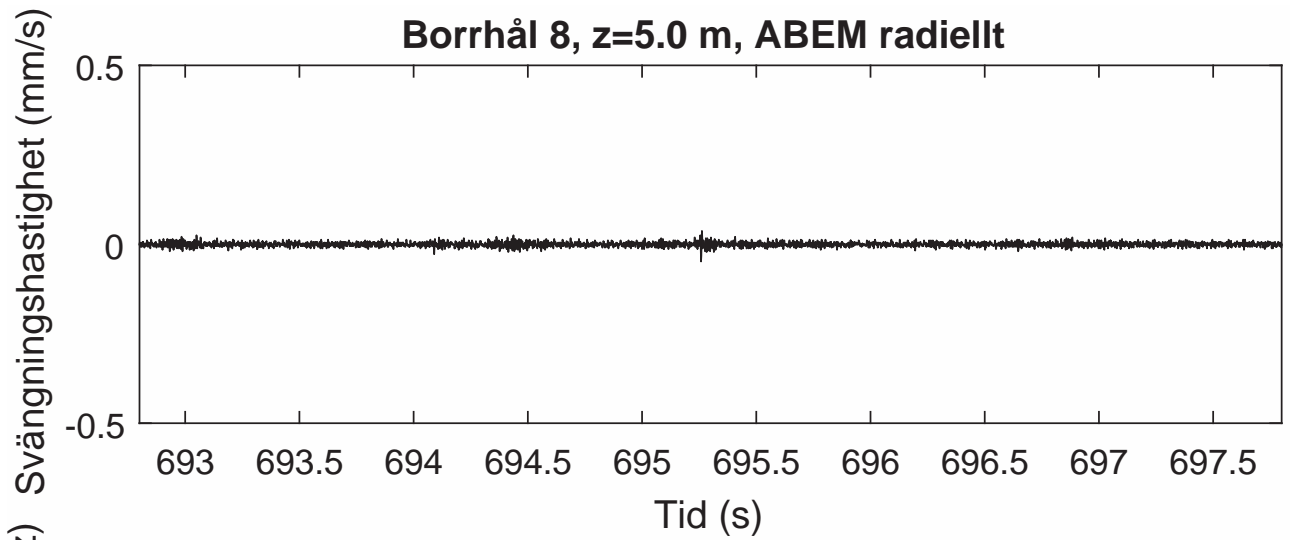
Borrhål 8, z=4.5 m, ABEM transversellt



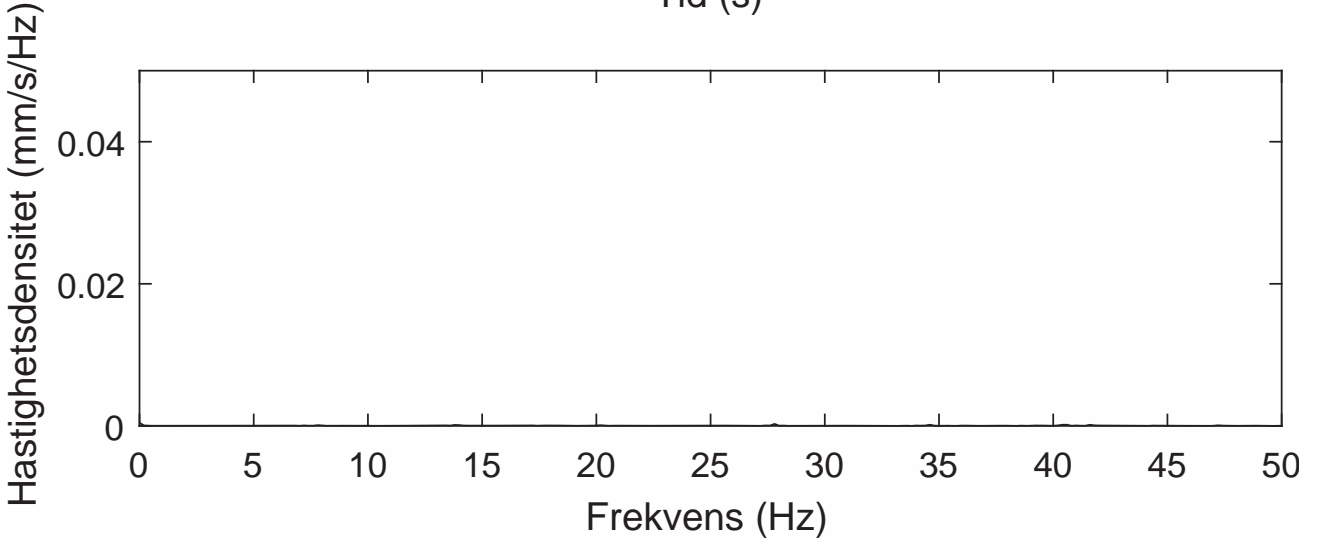
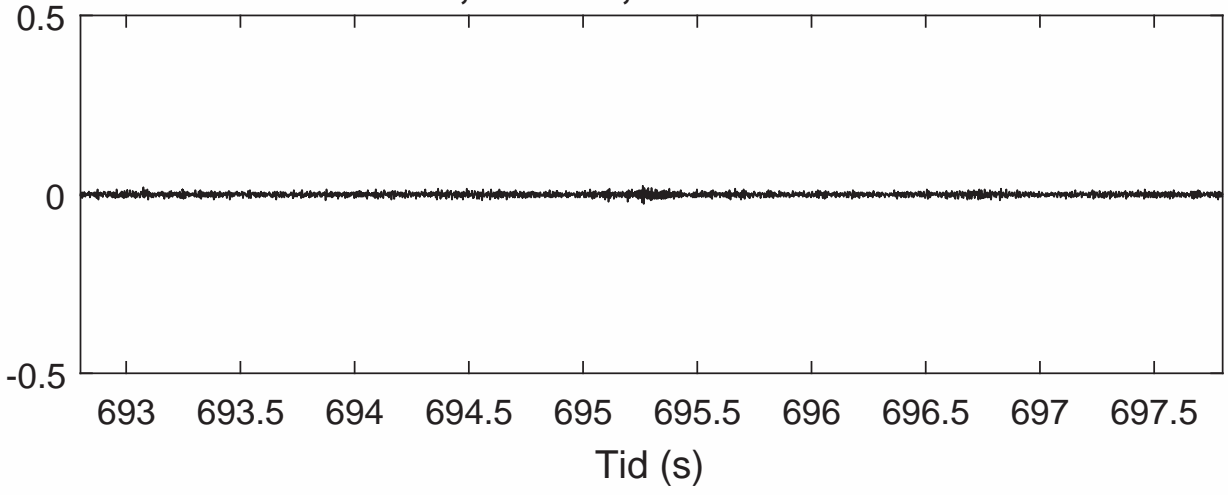
Borrhål 8, z=4.5 m, ABEM vertikalt



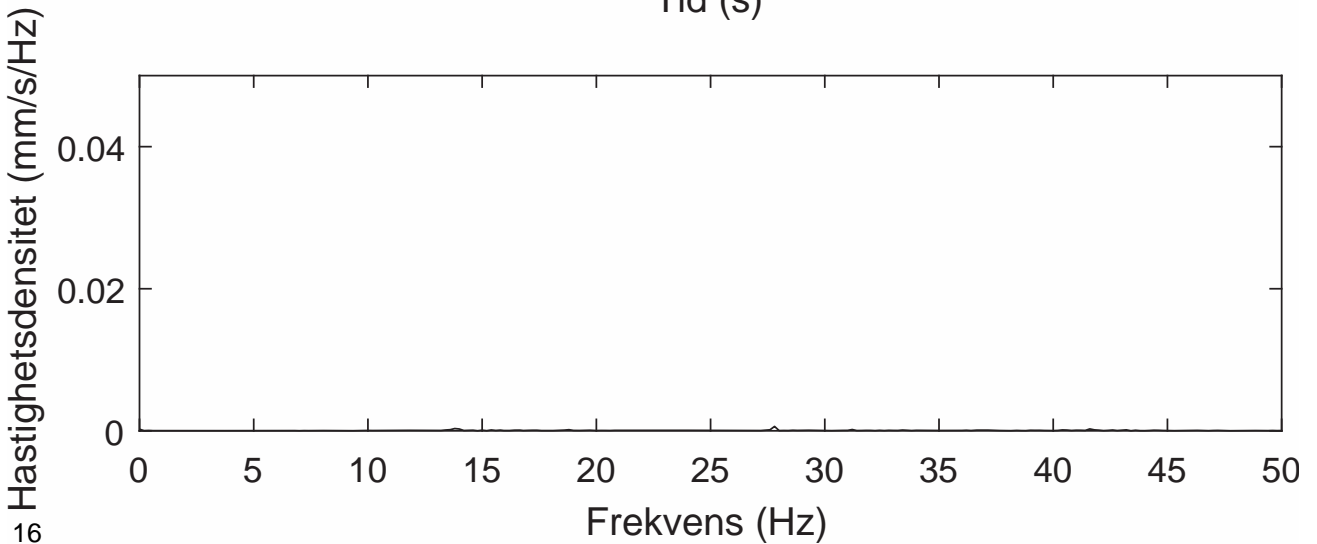
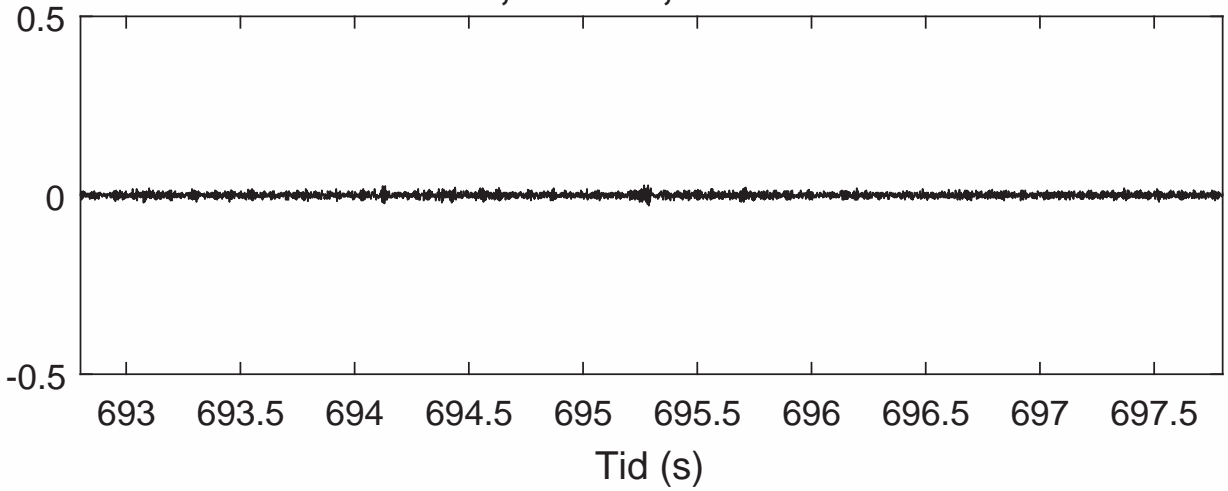
Borrhål 8, z=5.0 m, ABEM radiellt



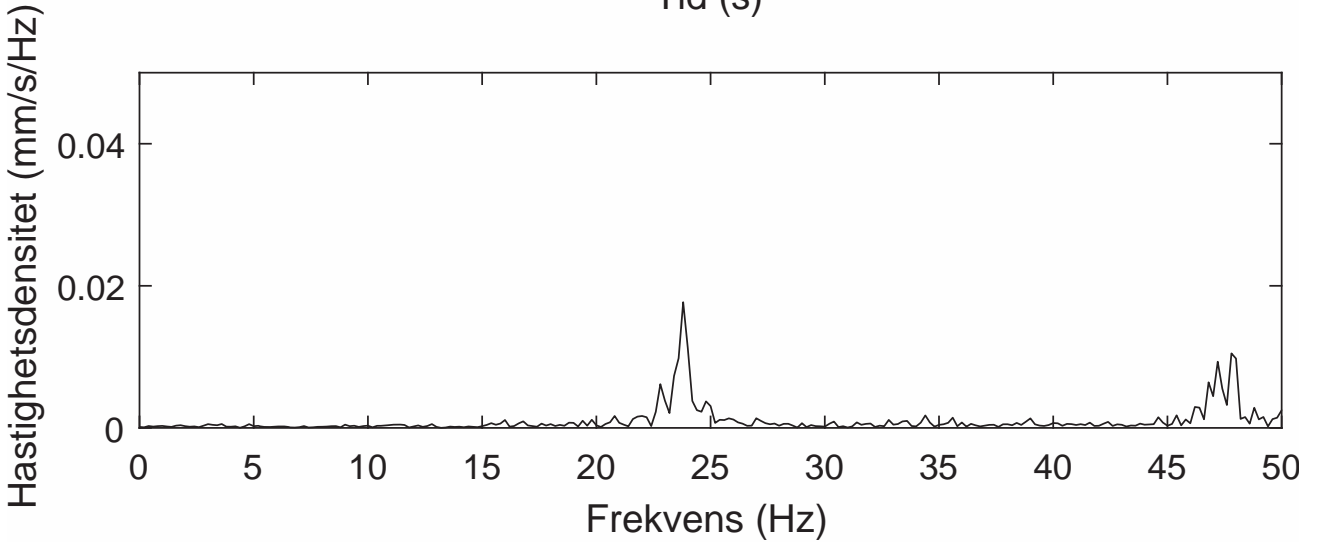
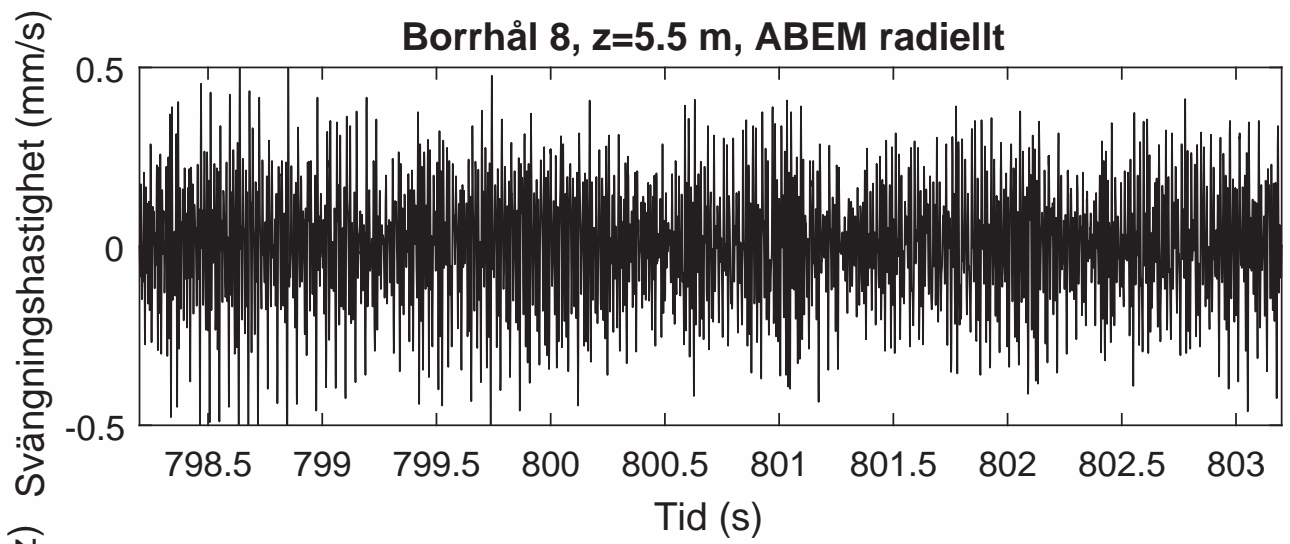
Borrhål 8, z=5.0 m, ABEM transversellt



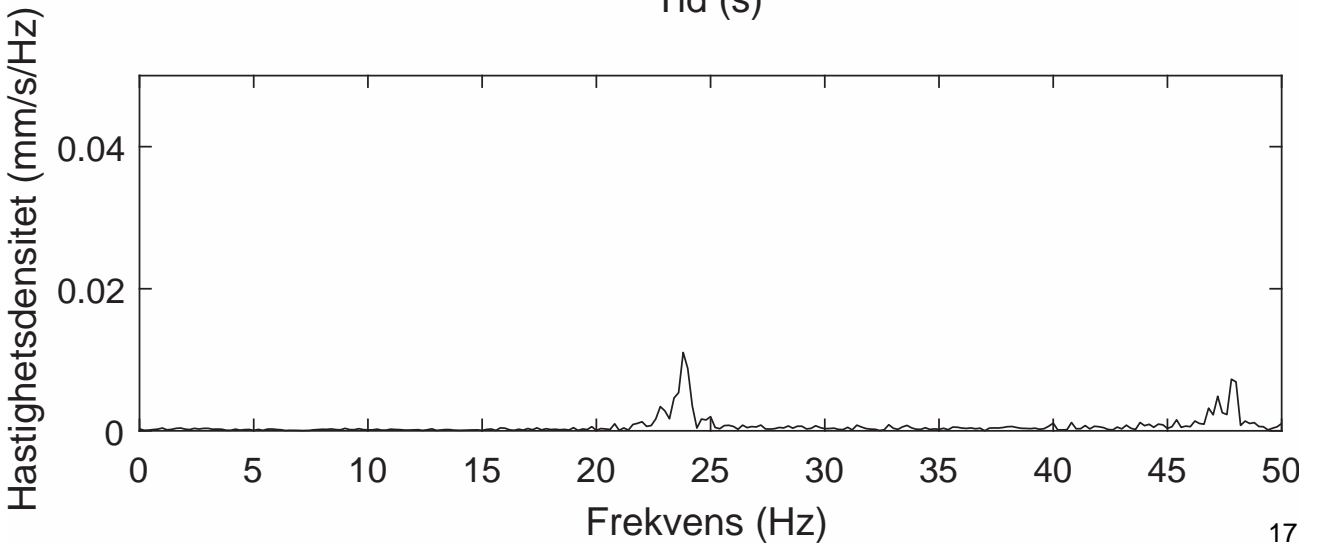
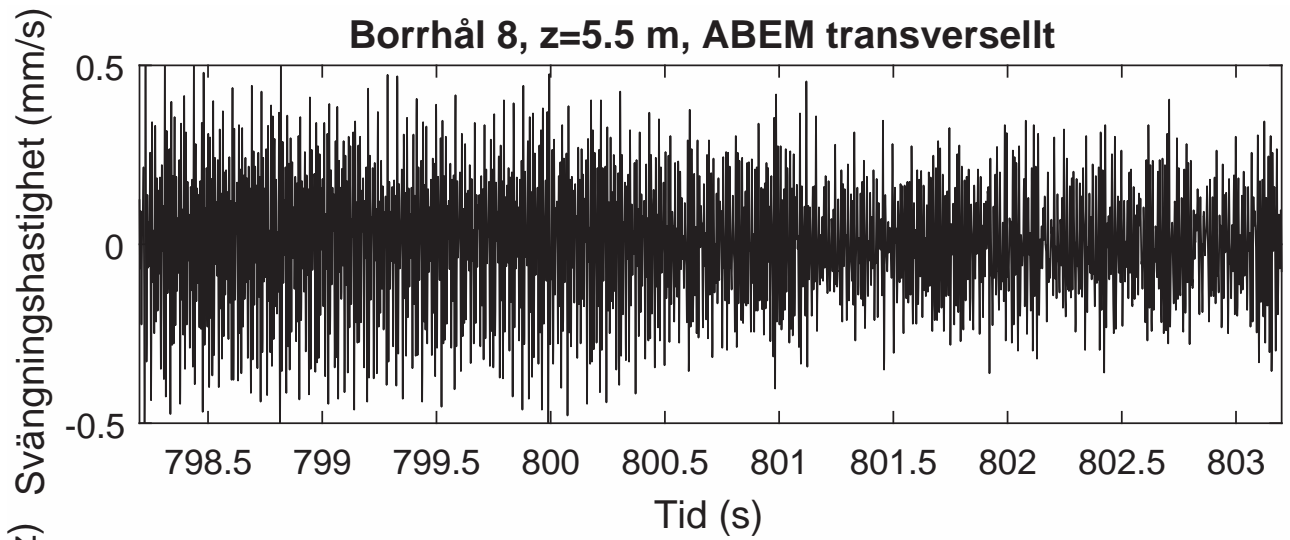
Borrhål 8, z=5.0 m, ABEM vertikalt



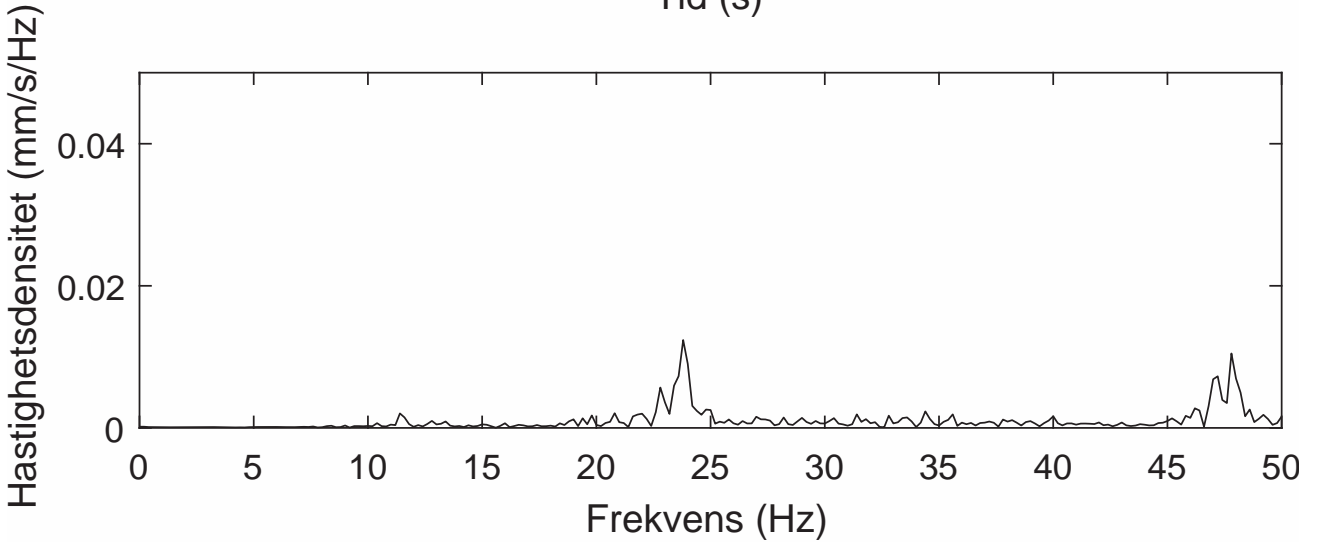
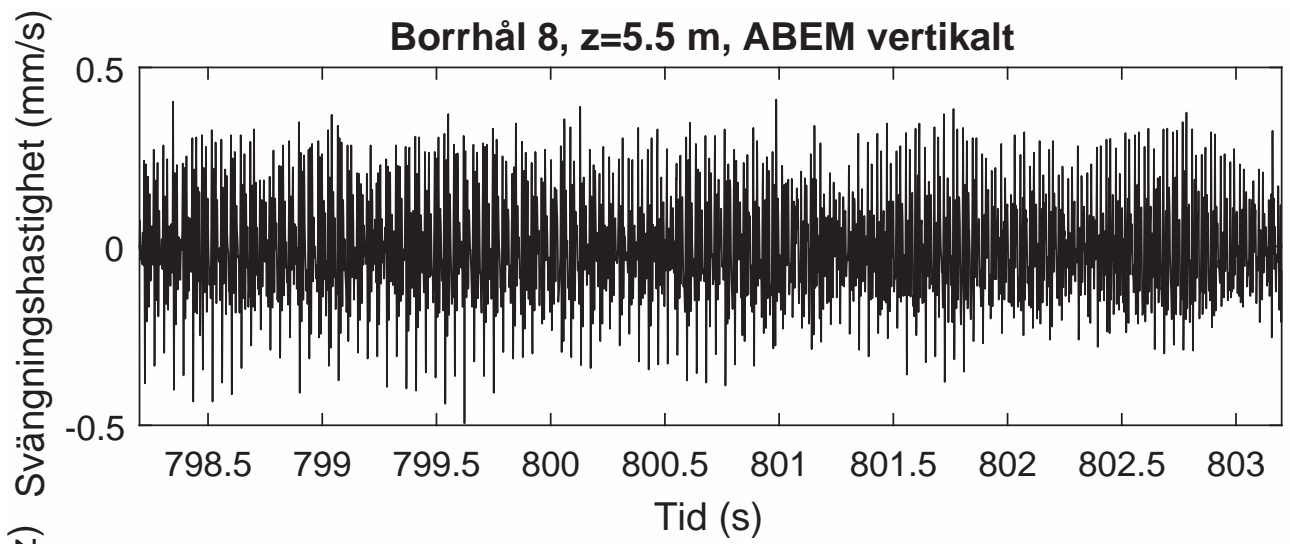
Borrhål 8, z=5.5 m, ABEM radiellt



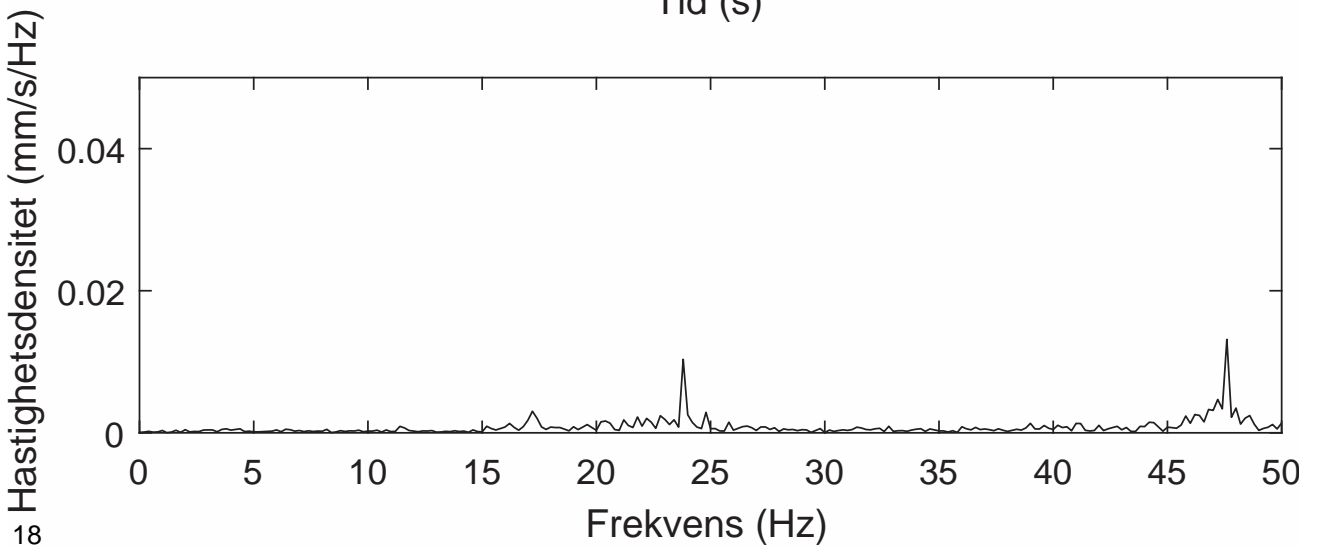
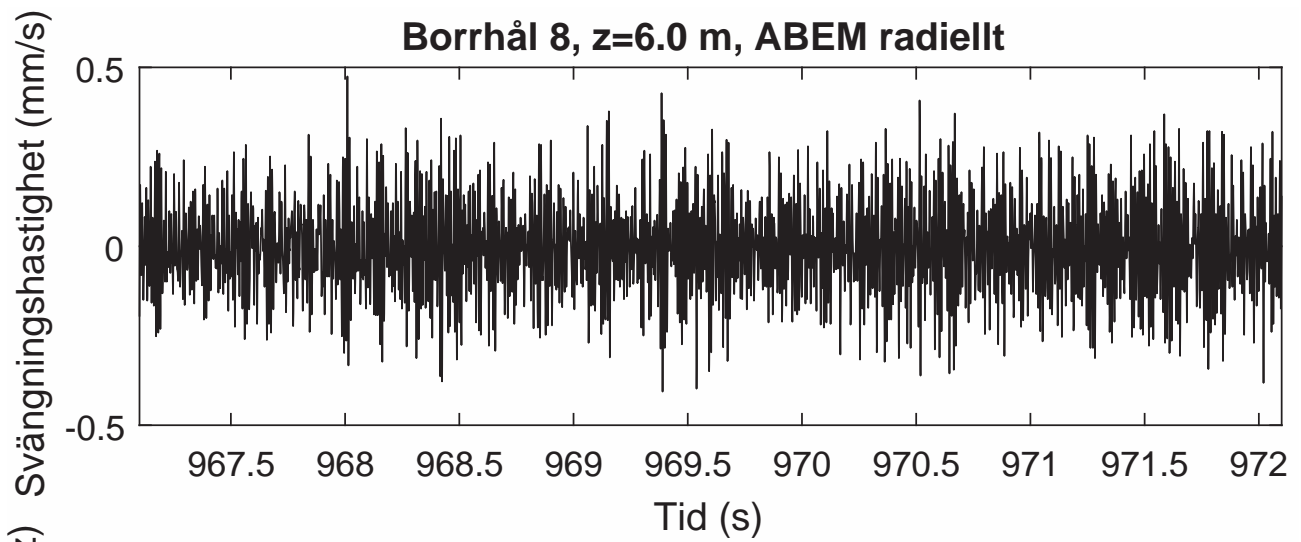
Borrhål 8, z=5.5 m, ABEM transversellt



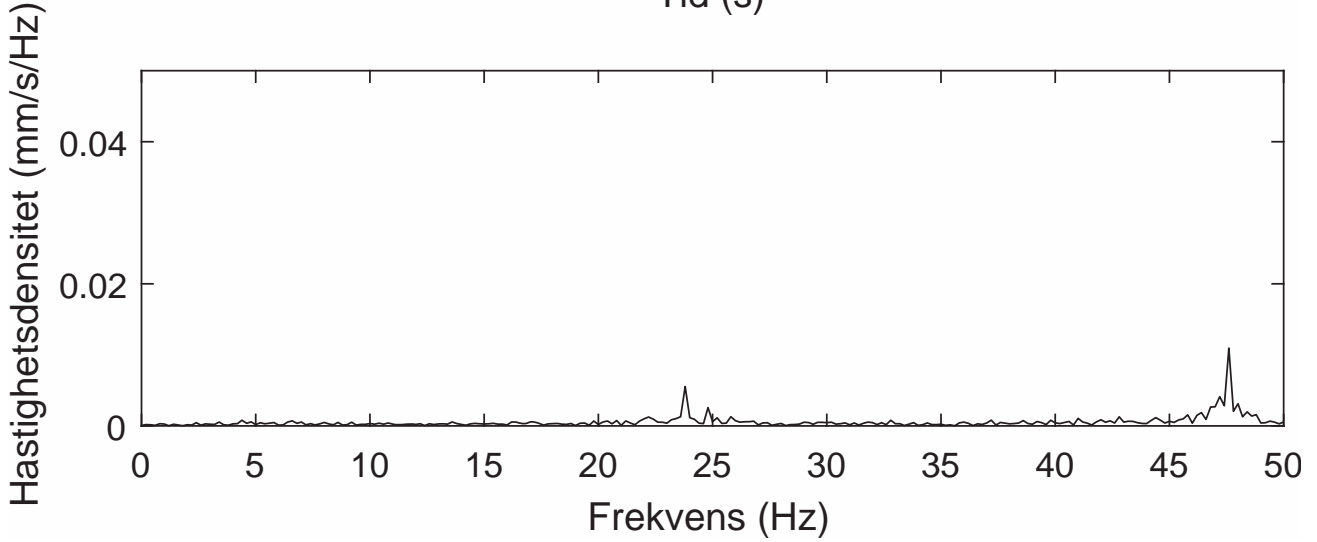
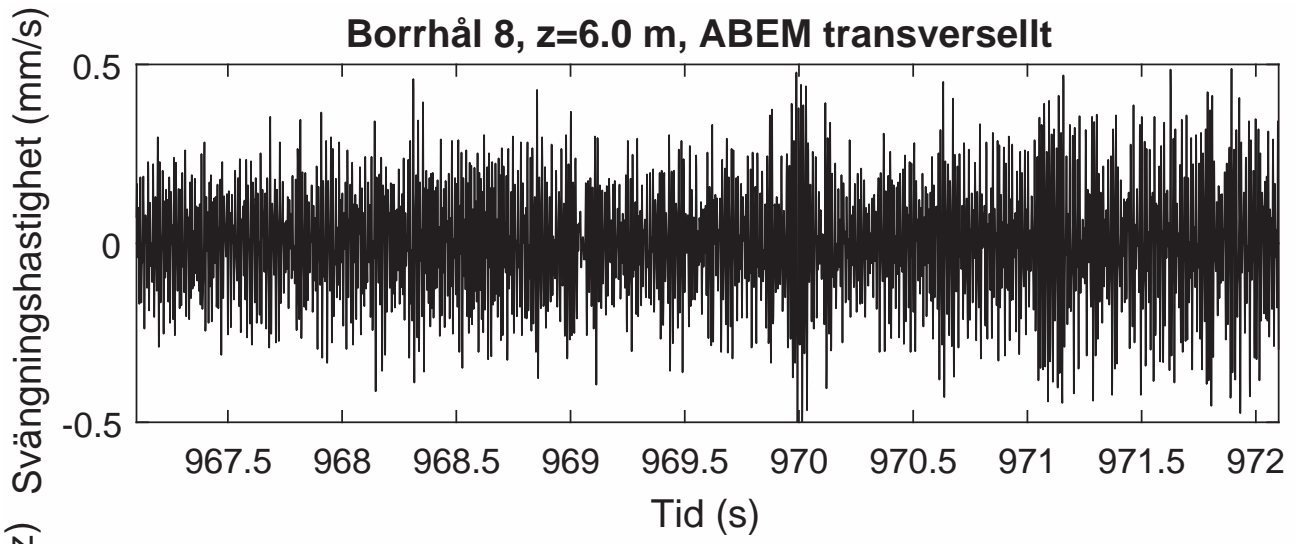
Borrhål 8, z=5.5 m, ABEM vertikalt



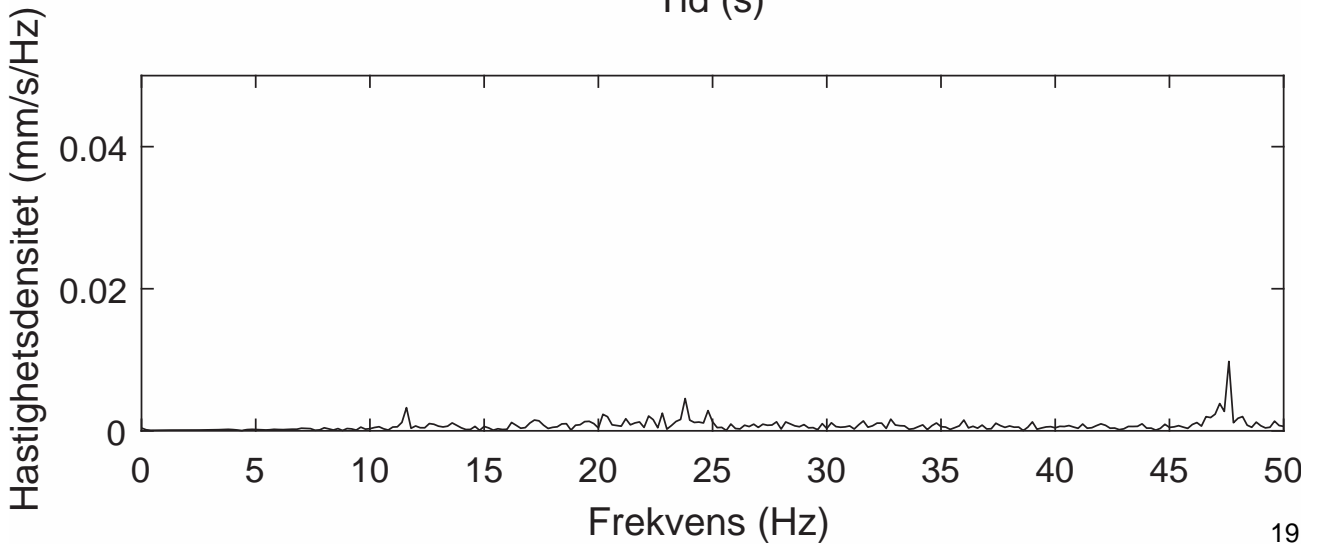
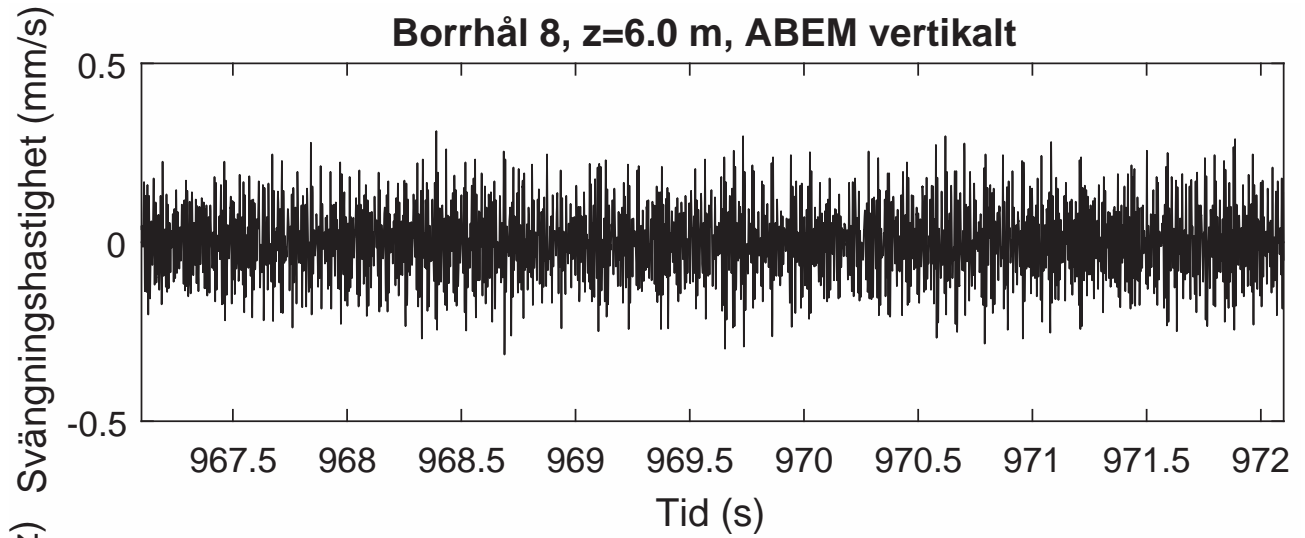
Borrhål 8, z=6.0 m, ABEM radiellt



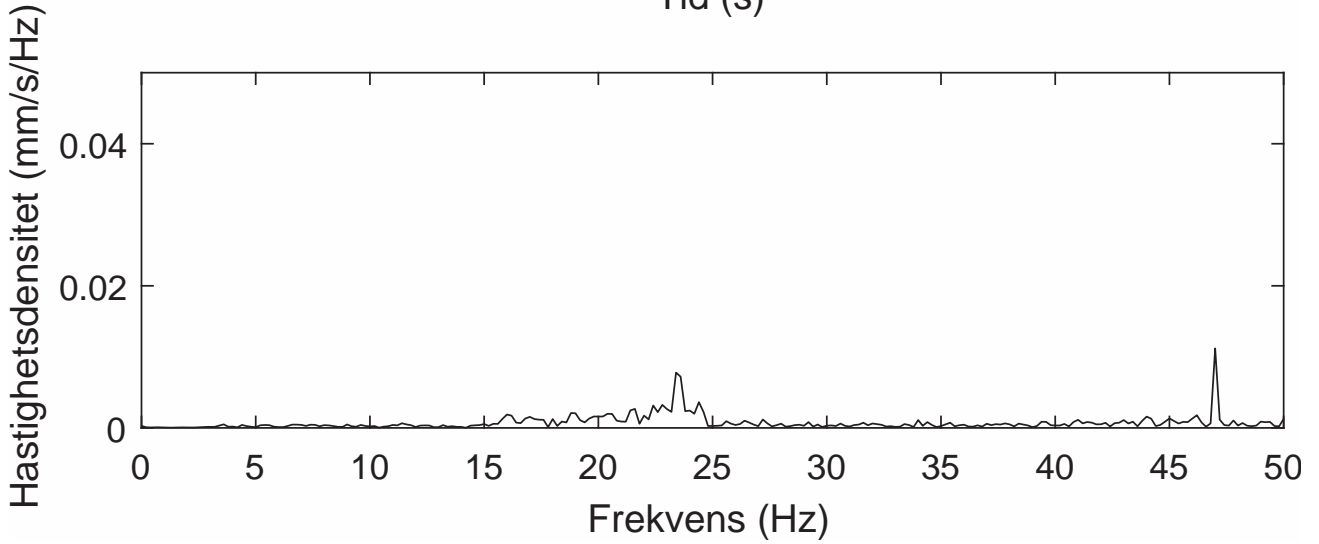
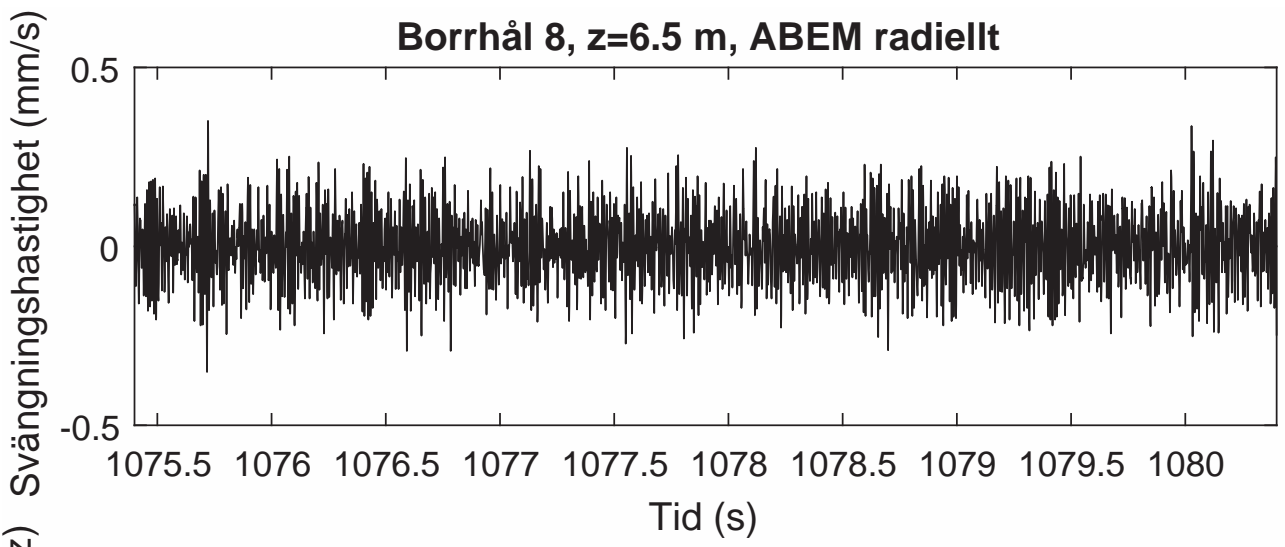
Borrhål 8, z=6.0 m, ABEM transversellt



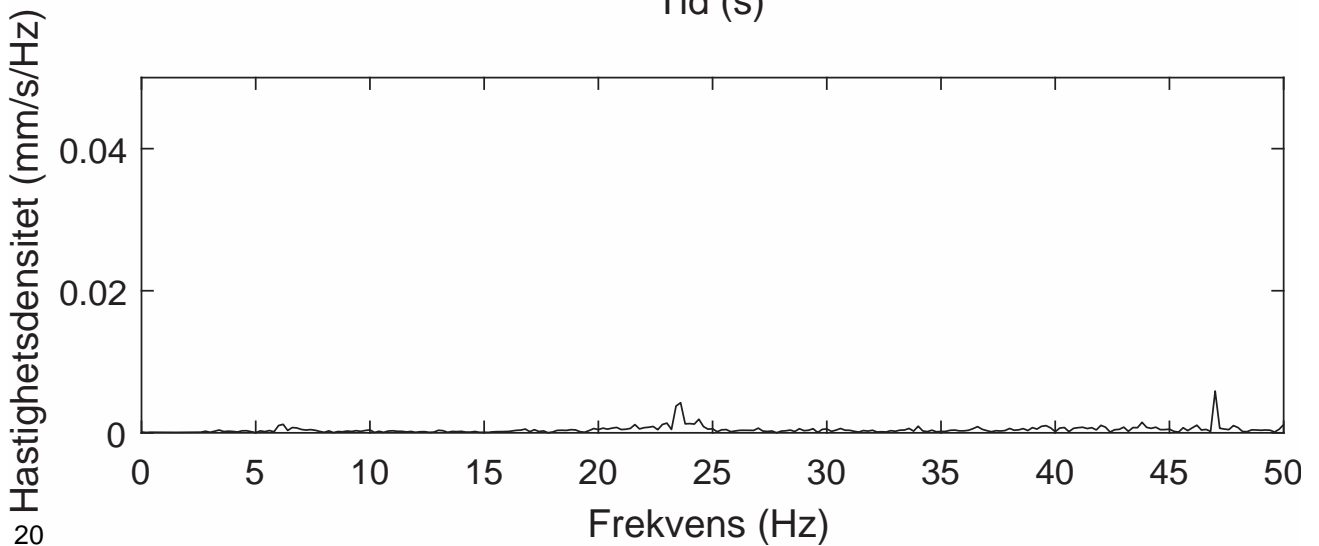
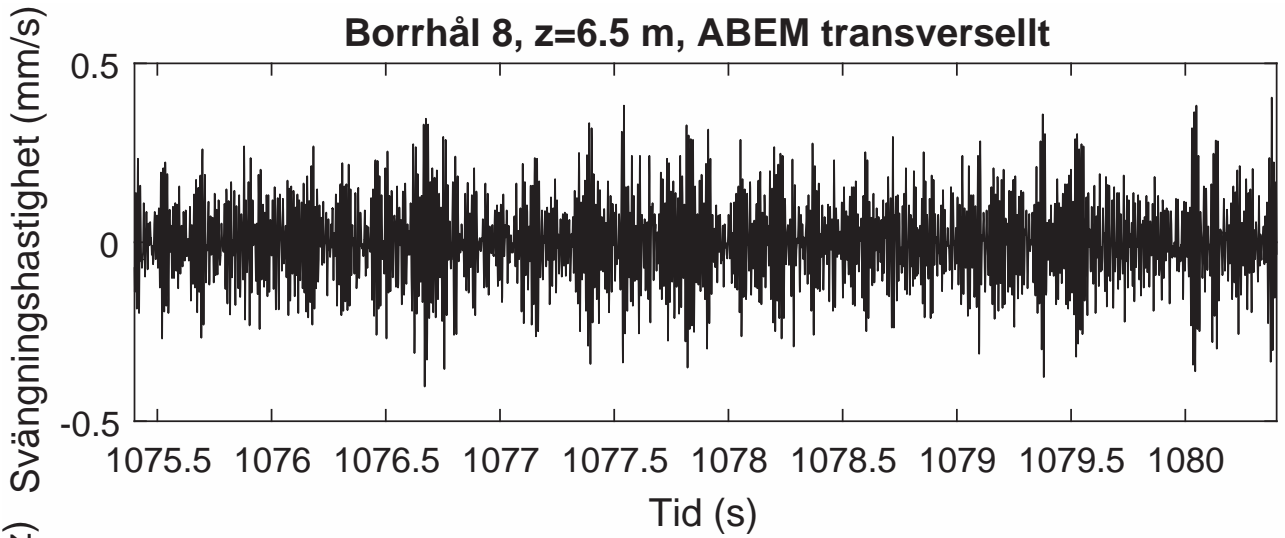
Borrhål 8, z=6.0 m, ABEM vertikalt



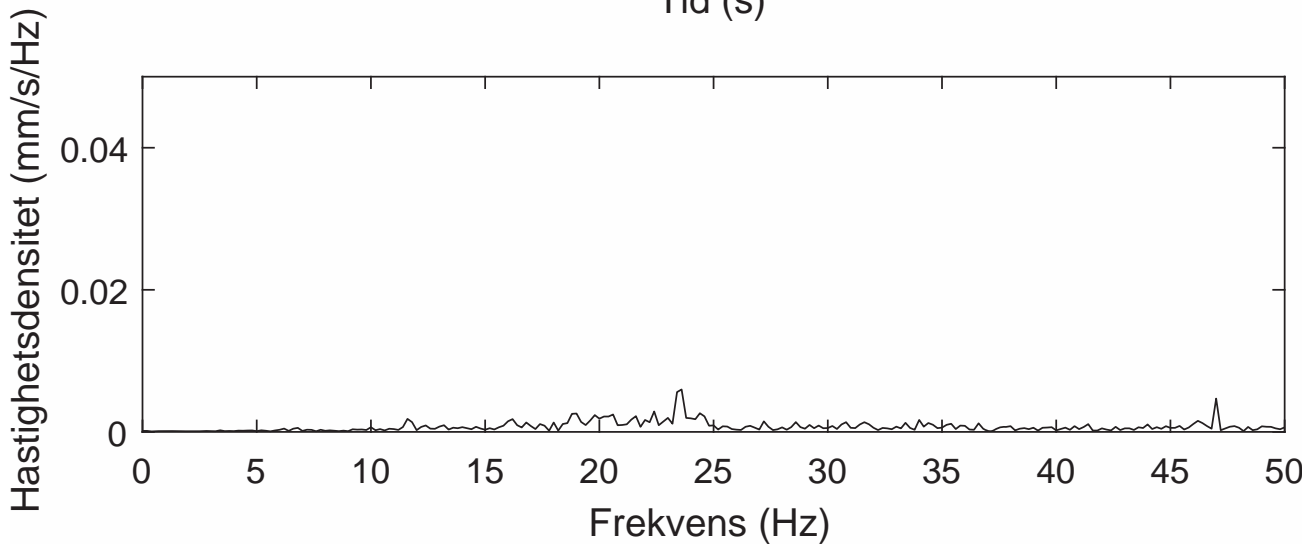
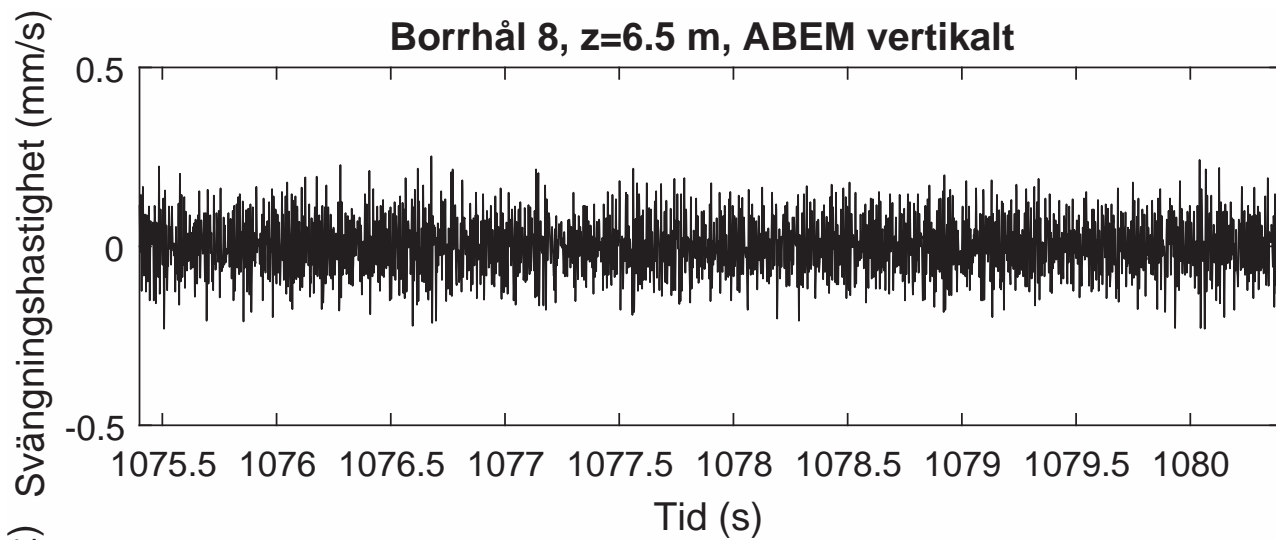
Borrhål 8, z=6.5 m, ABEM radiellt



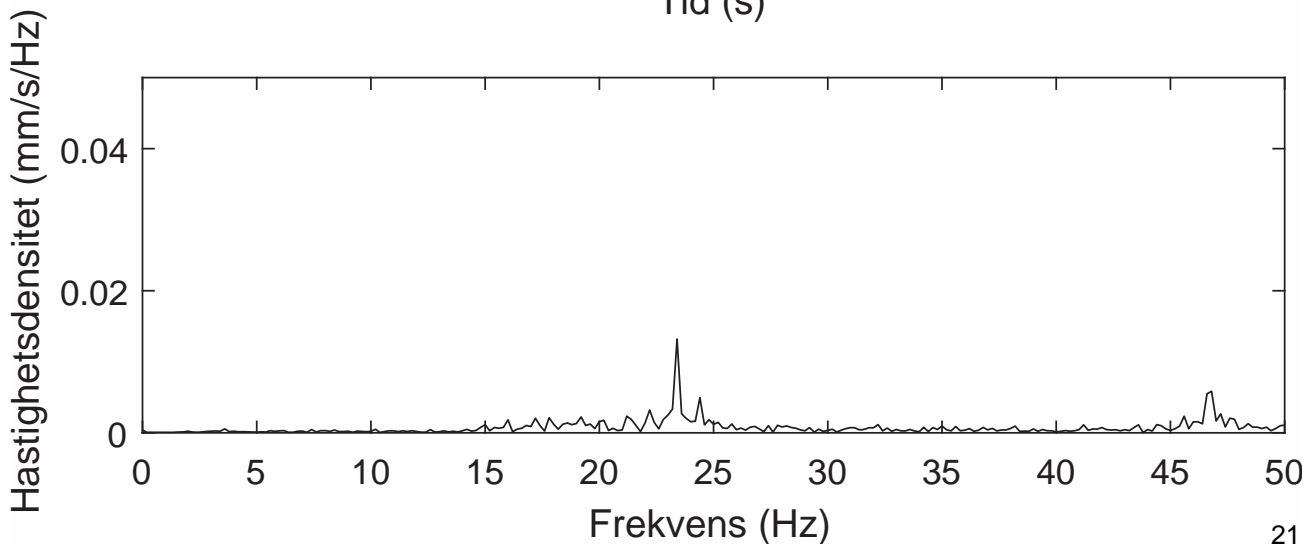
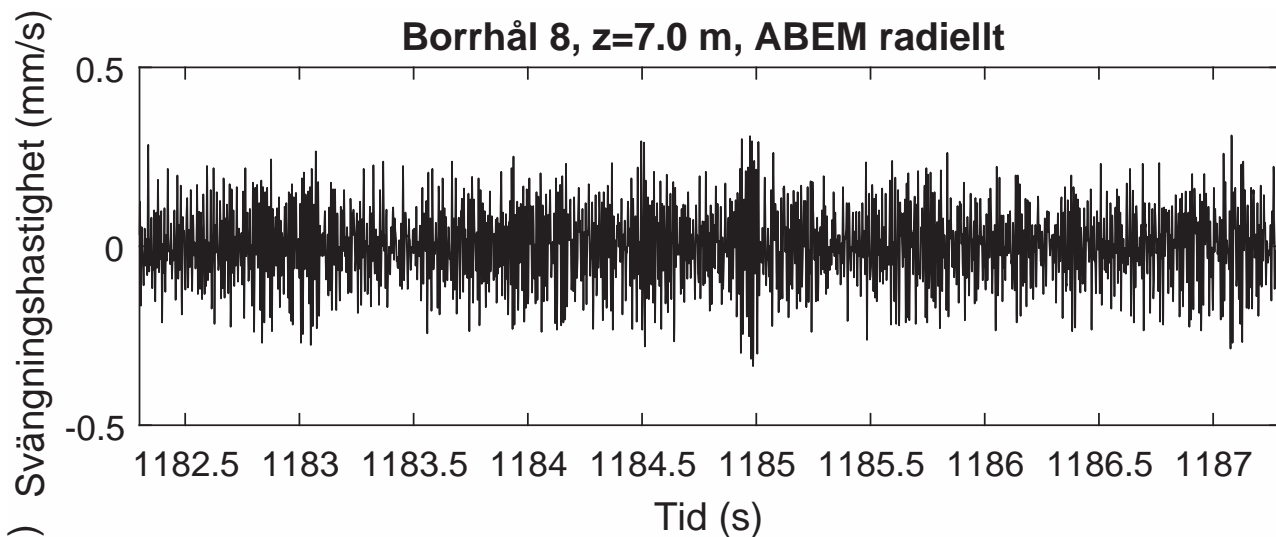
Borrhål 8, z=6.5 m, ABEM transversellt



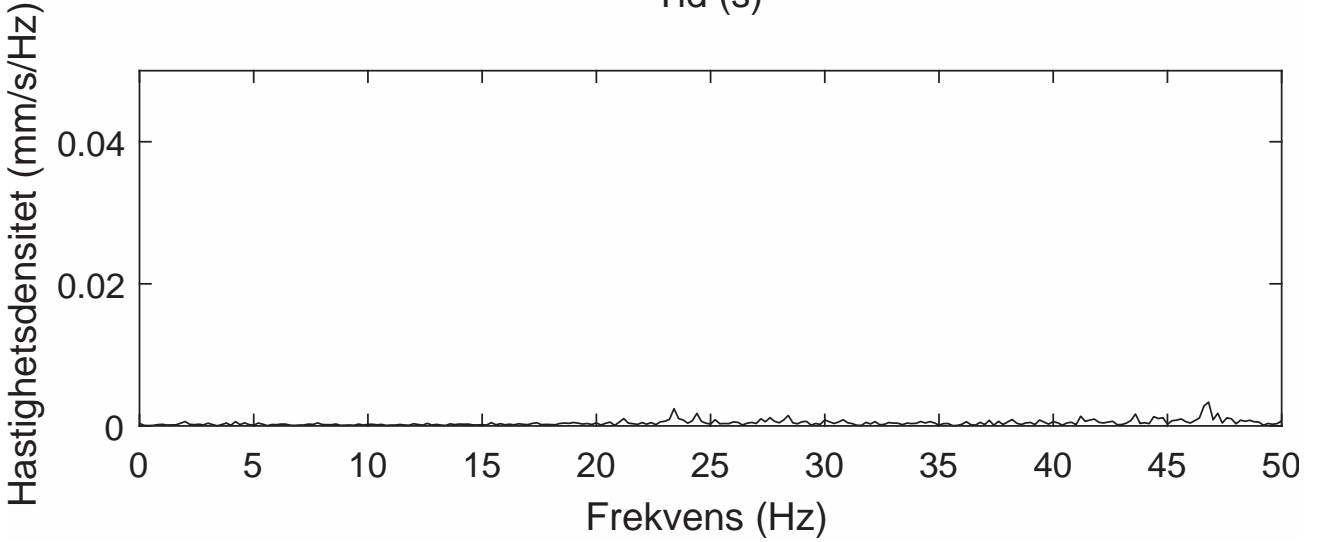
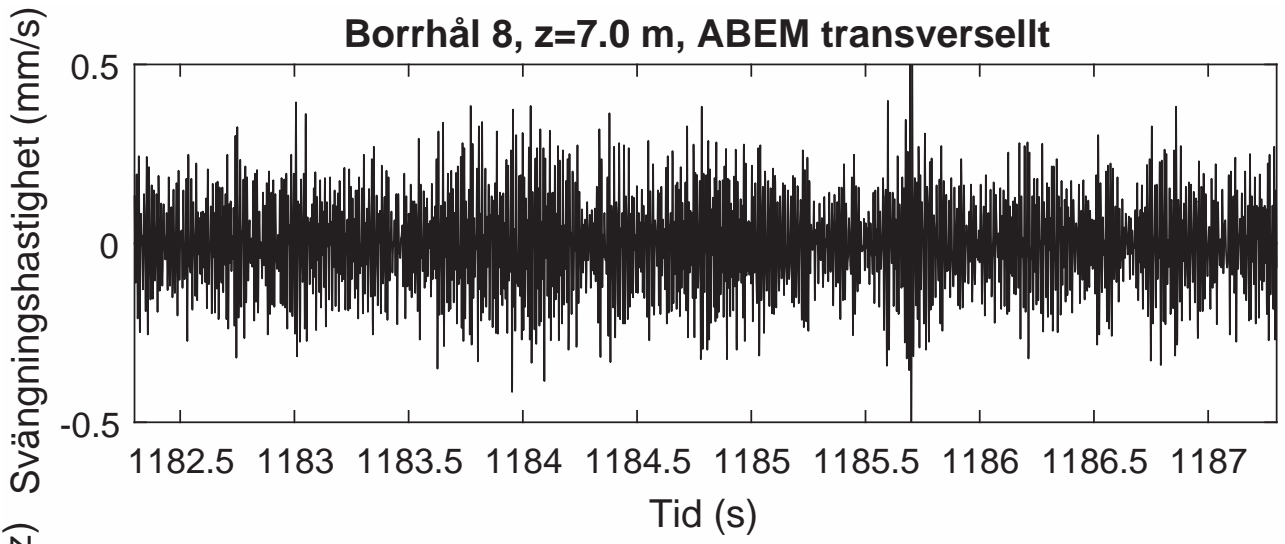
Borrhål 8, z=6.5 m, ABEM vertikalt



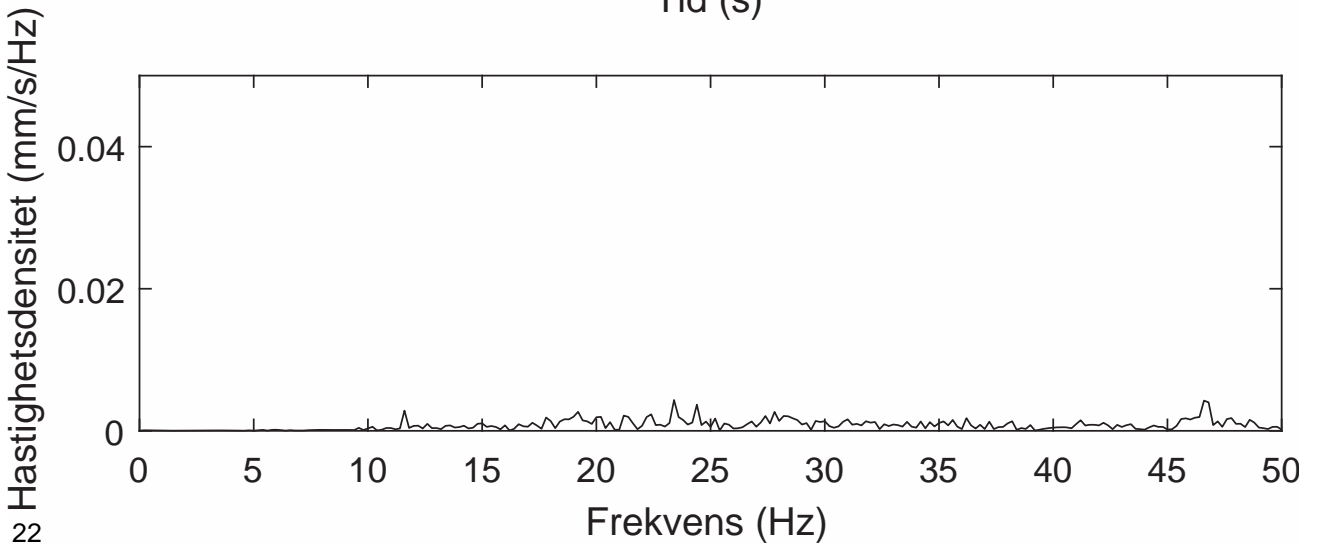
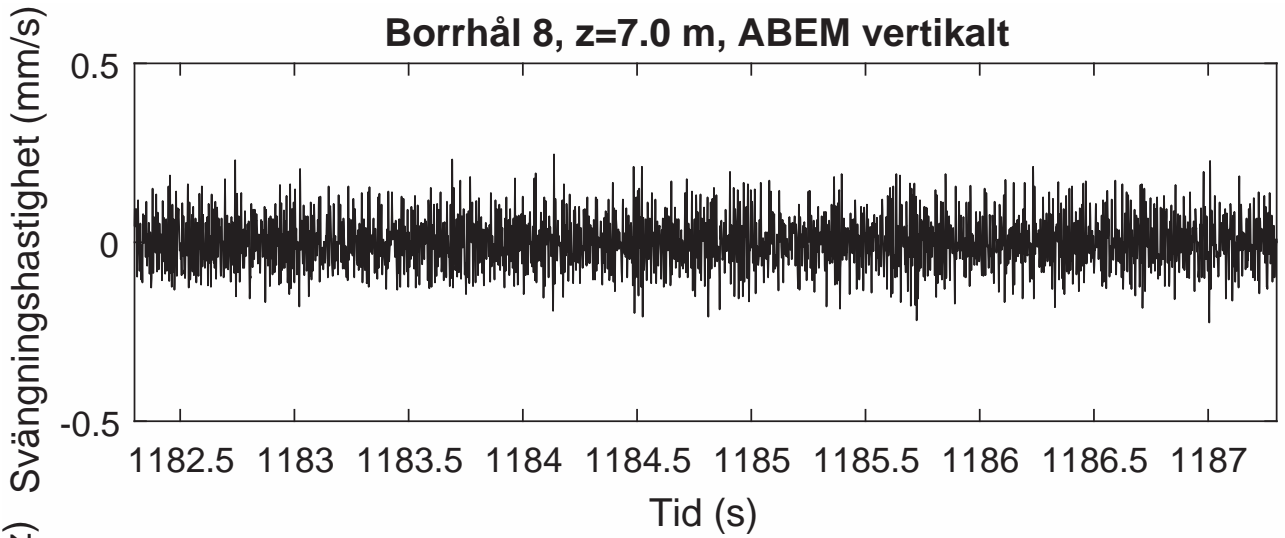
Borrhål 8, z=7.0 m, ABEM radiellt



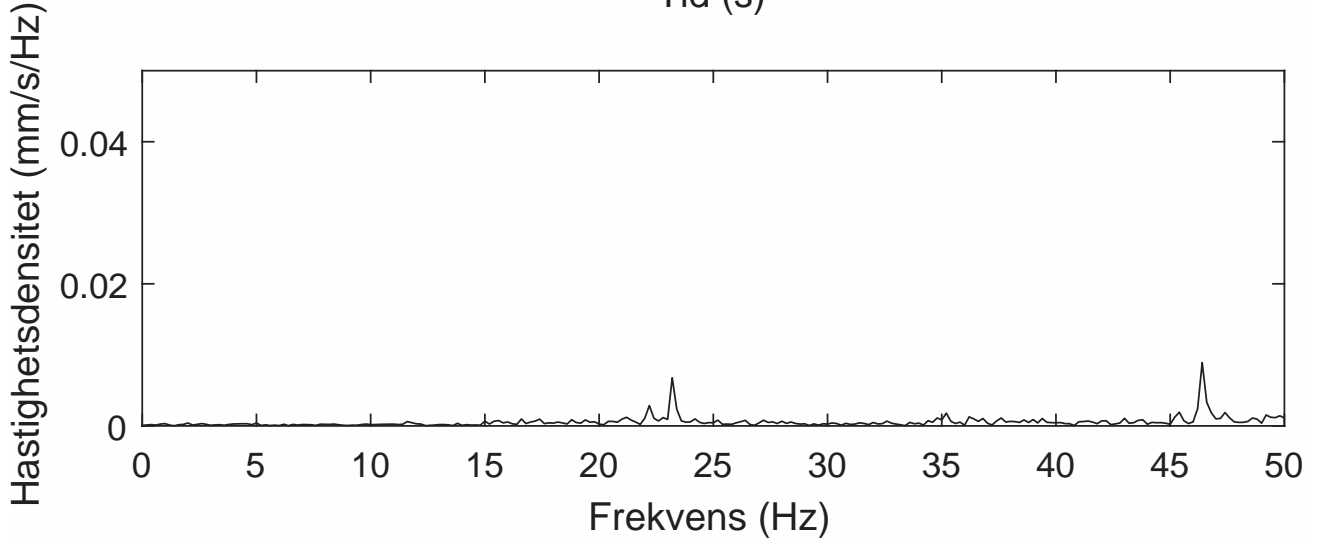
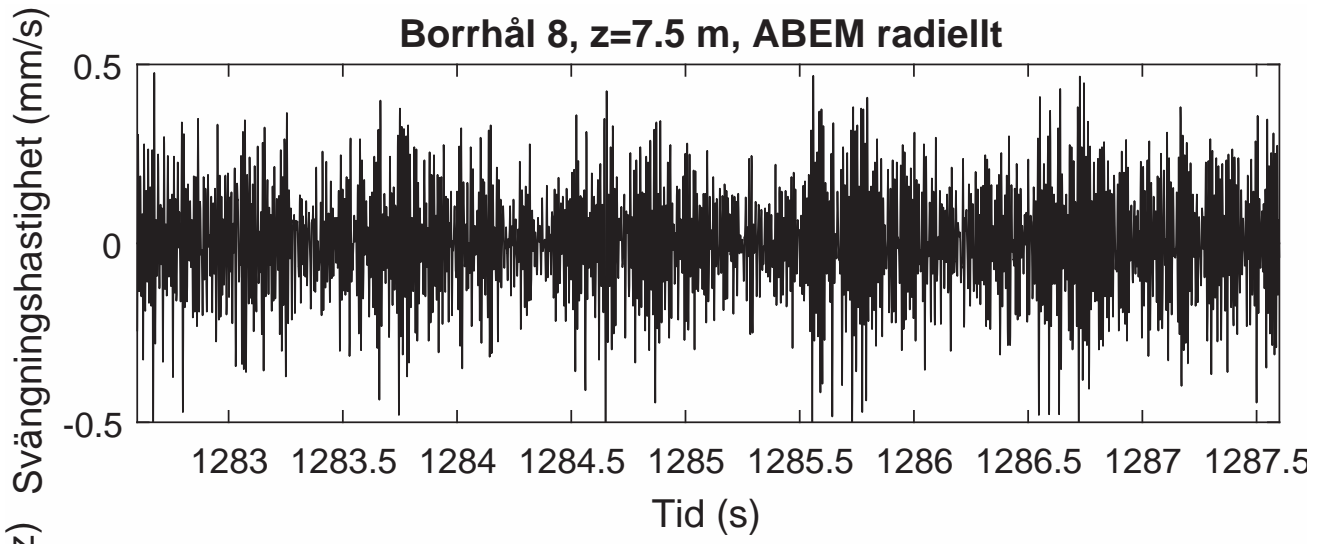
Borrhål 8, z=7.0 m, ABEM transversellt



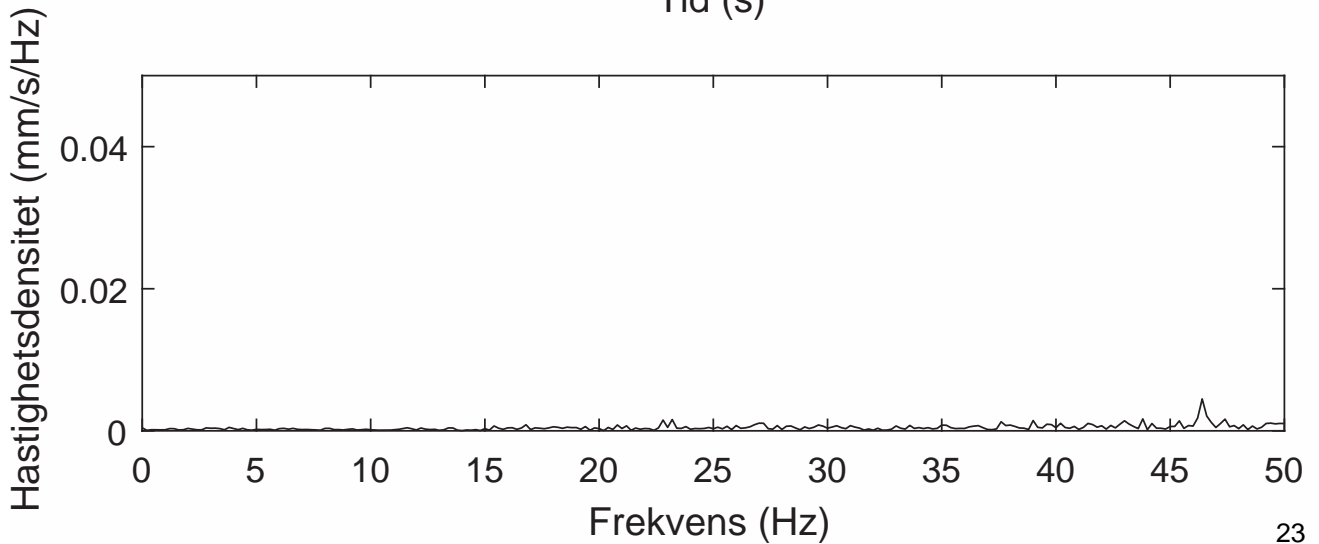
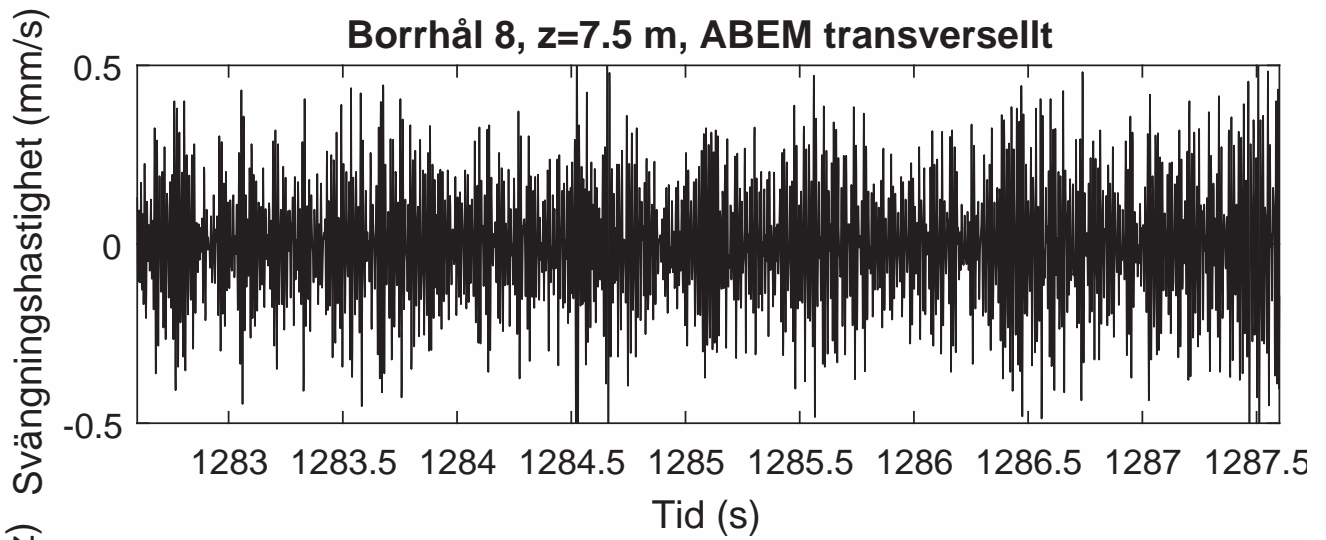
Borrhål 8, z=7.0 m, ABEM vertikalt



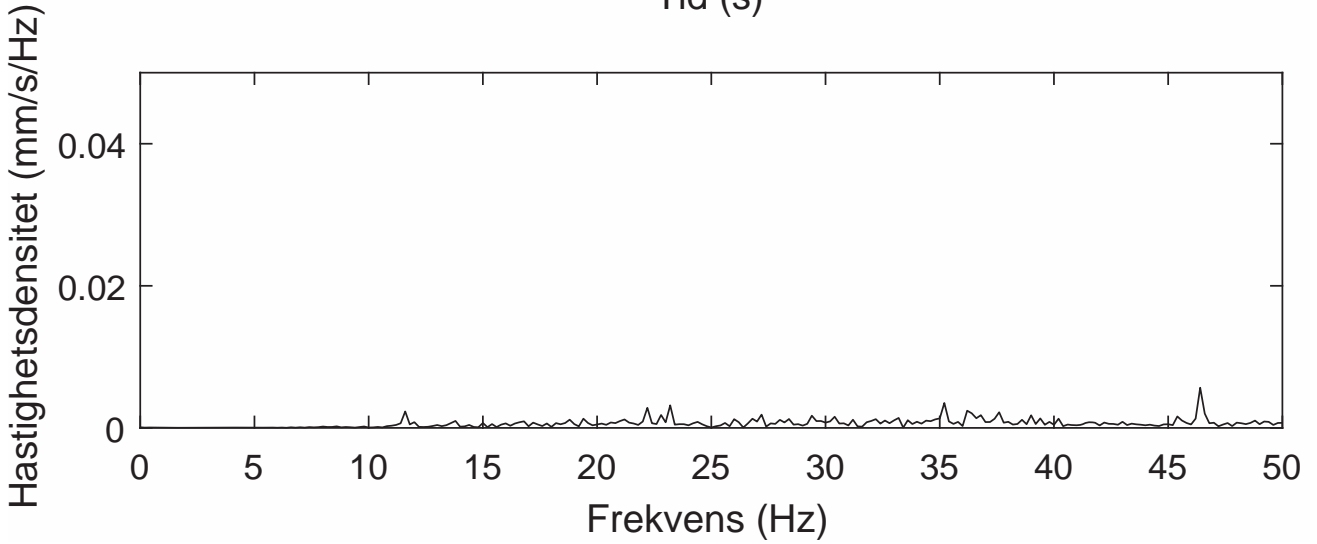
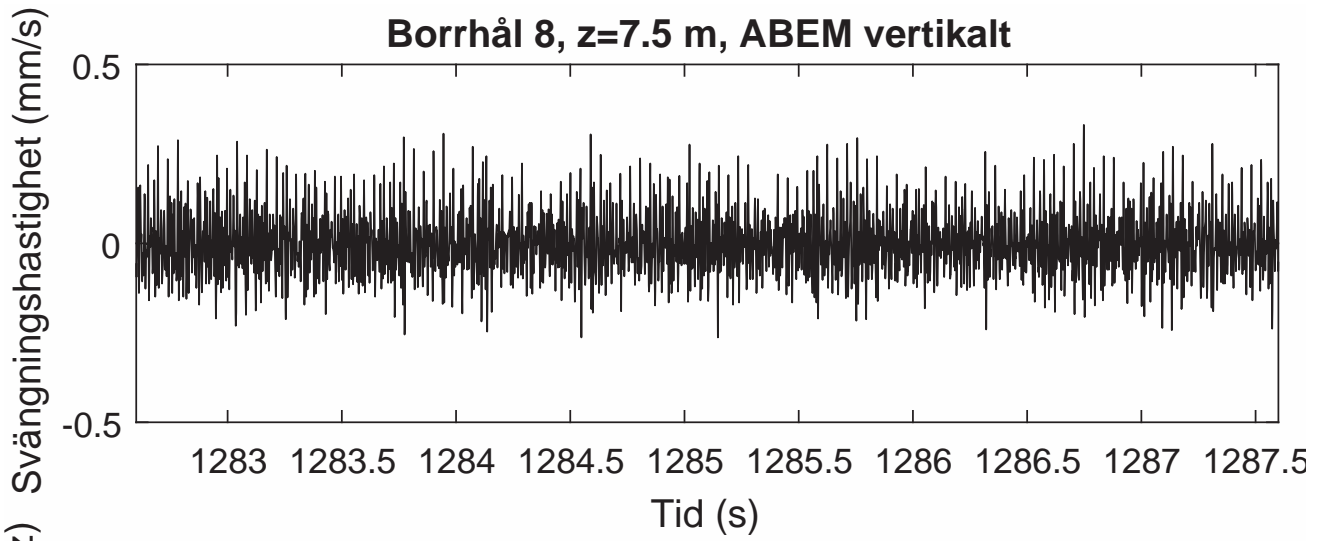
Borrhål 8, z=7.5 m, ABEM radiellt



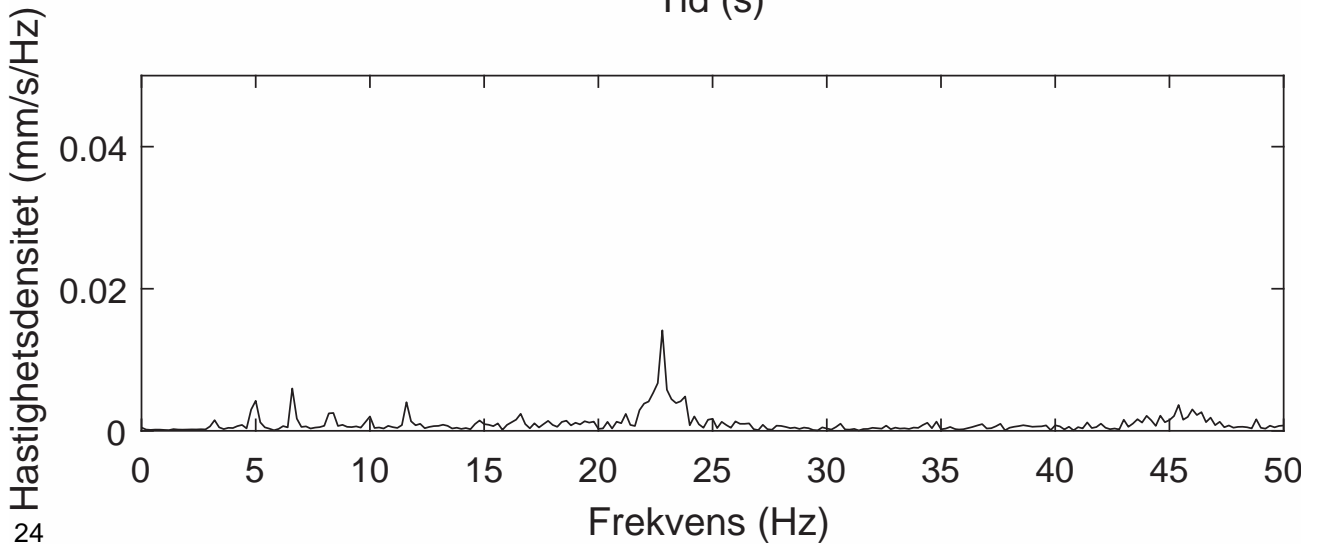
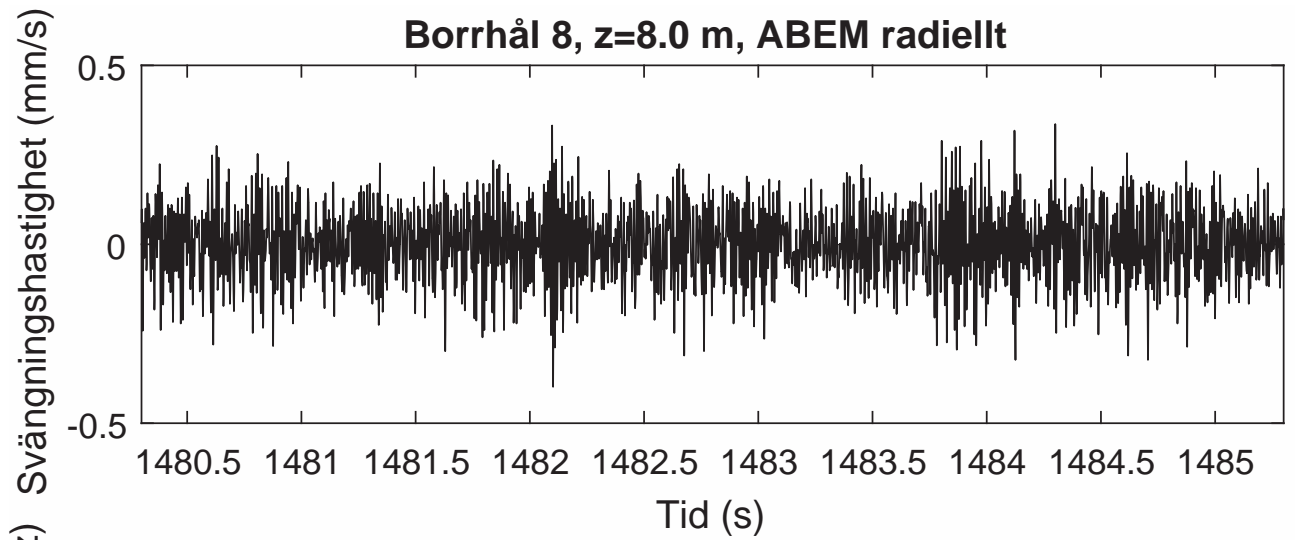
Borrhål 8, z=7.5 m, ABEM transversellt



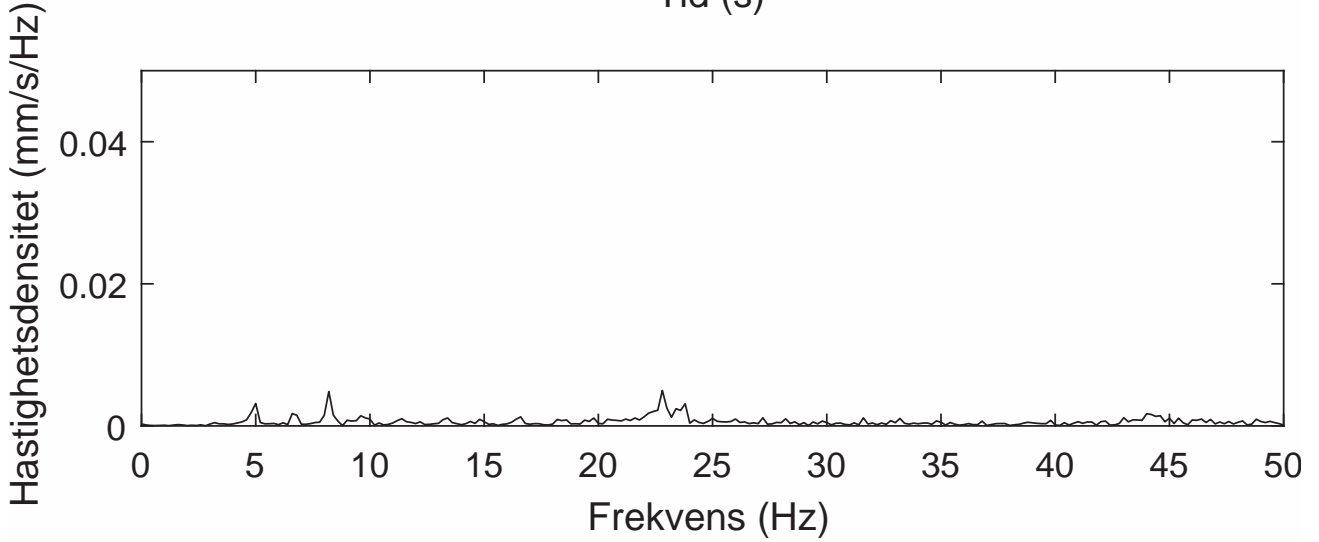
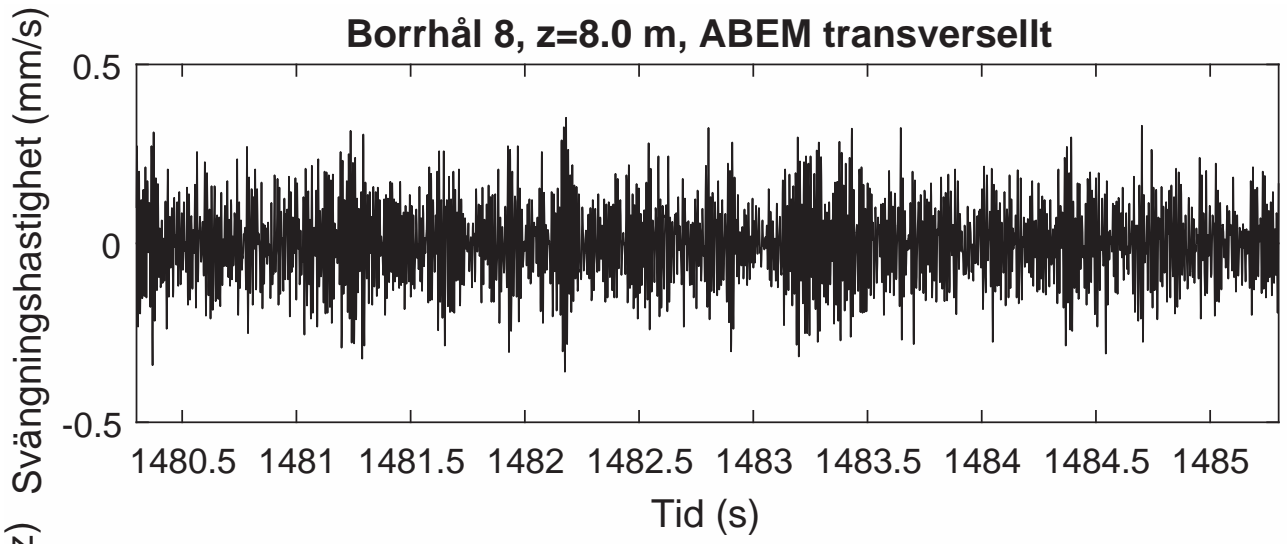
Borrhål 8, z=7.5 m, ABEM vertikalt



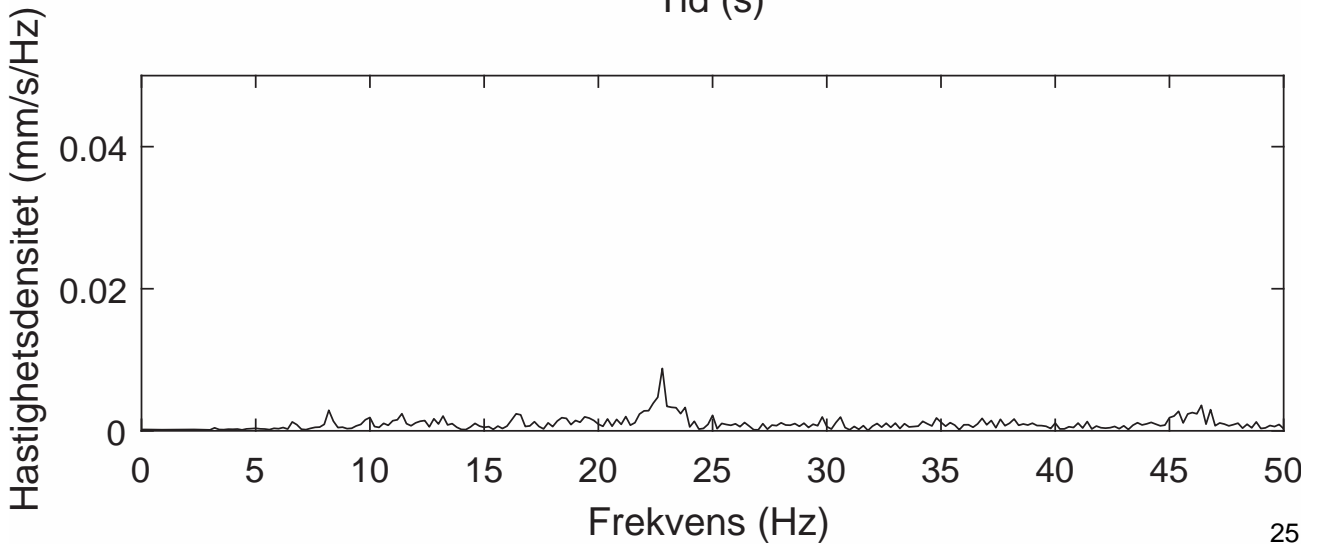
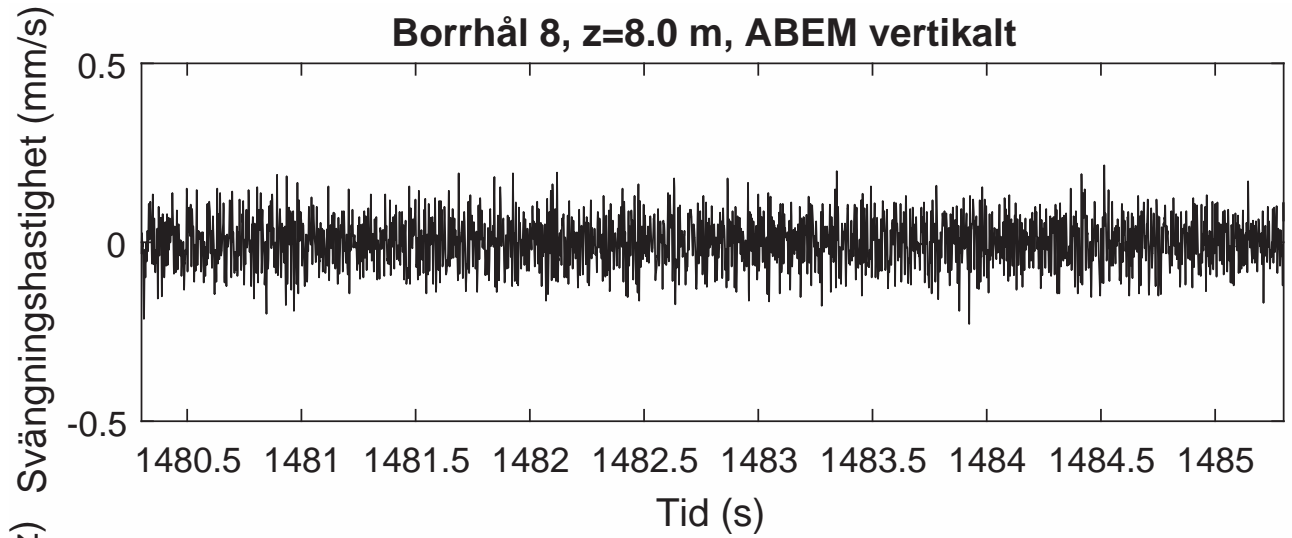
Borrhål 8, z=8.0 m, ABEM radiellt



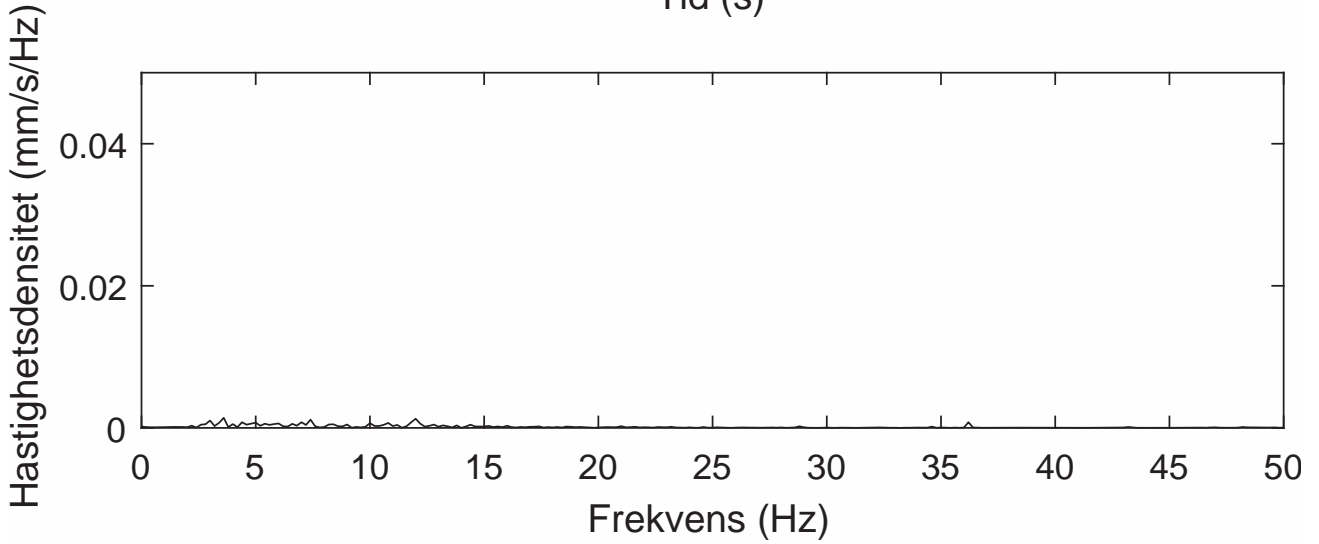
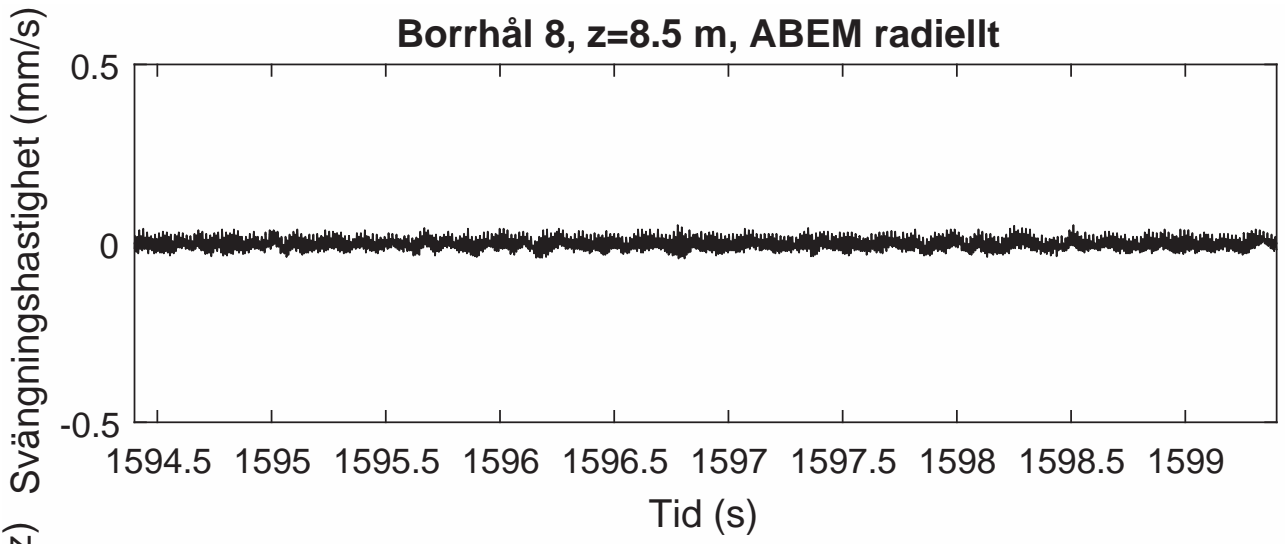
Borrhål 8, z=8.0 m, ABEM transversellt



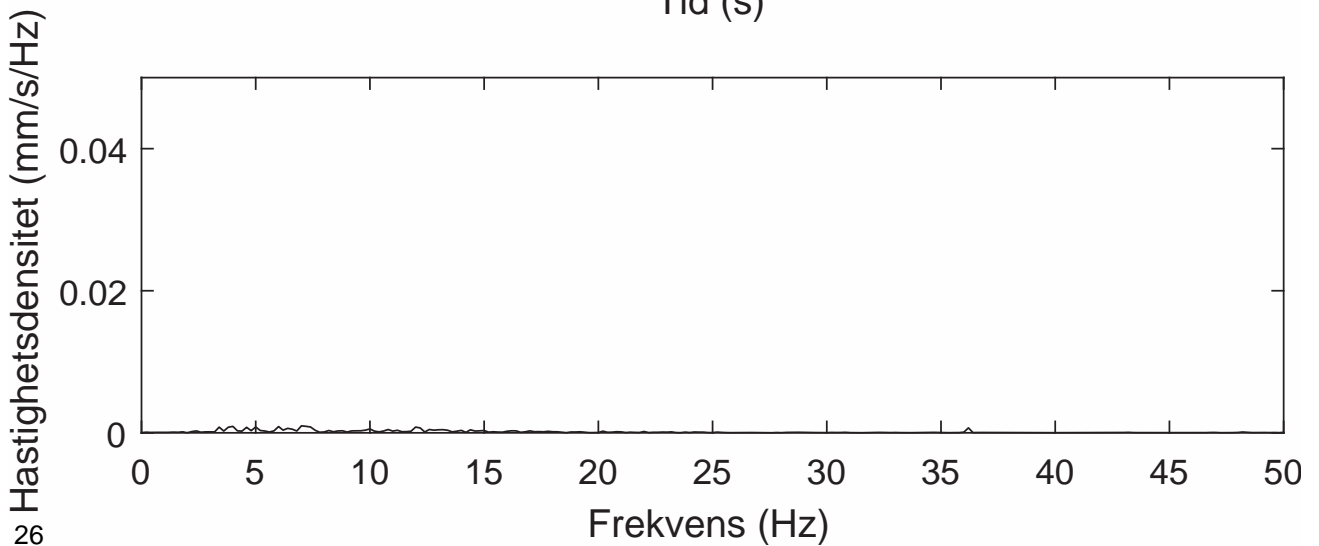
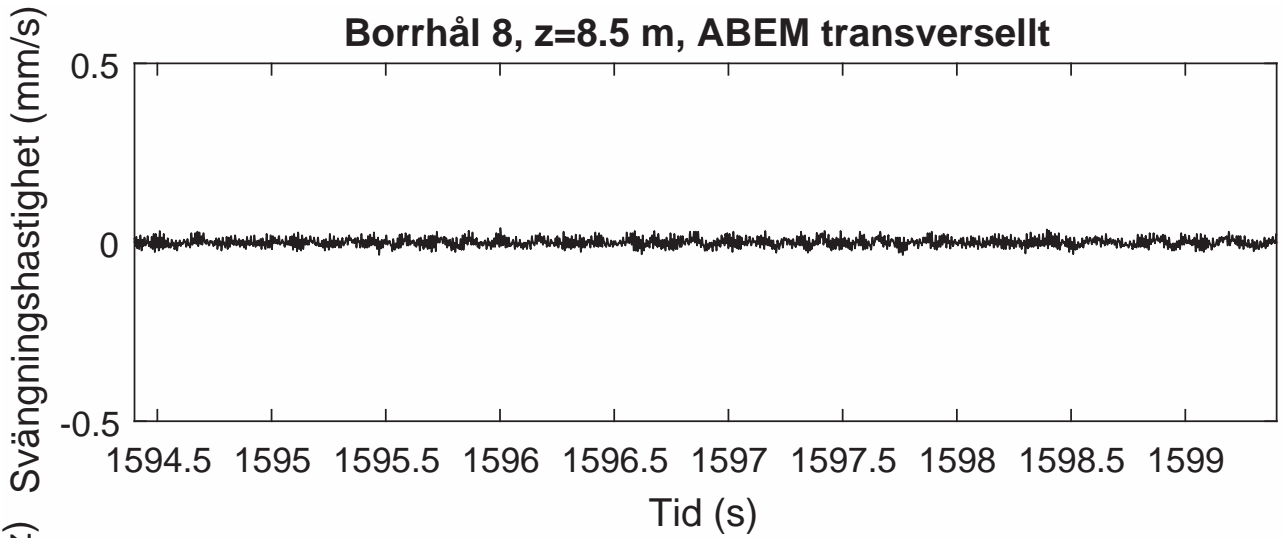
Borrhål 8, z=8.0 m, ABEM vertikalt



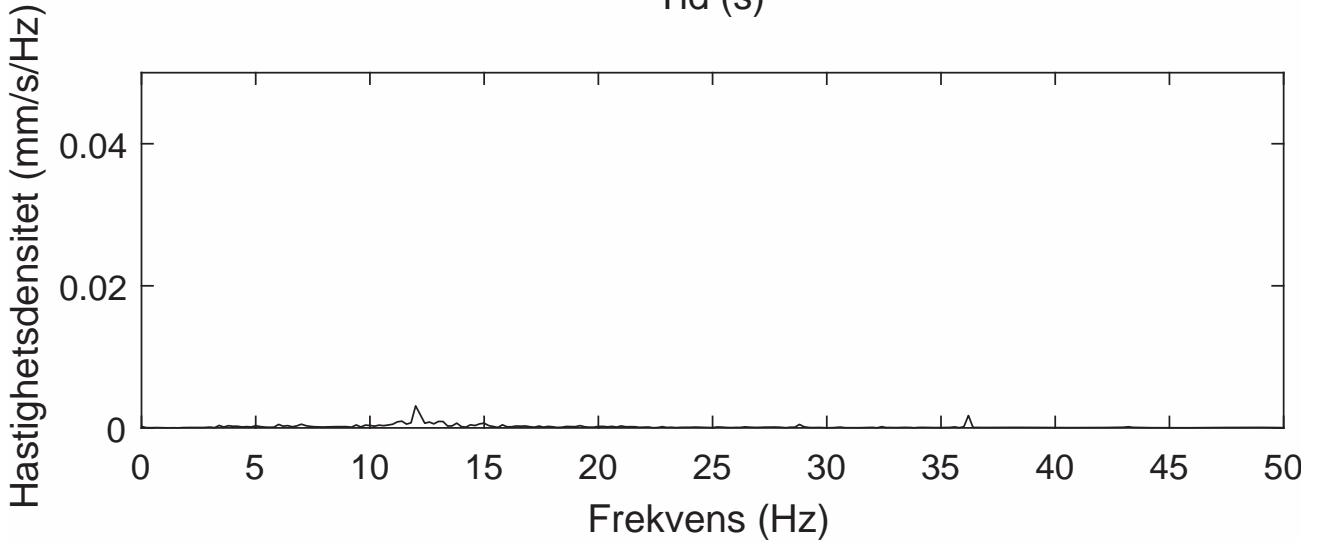
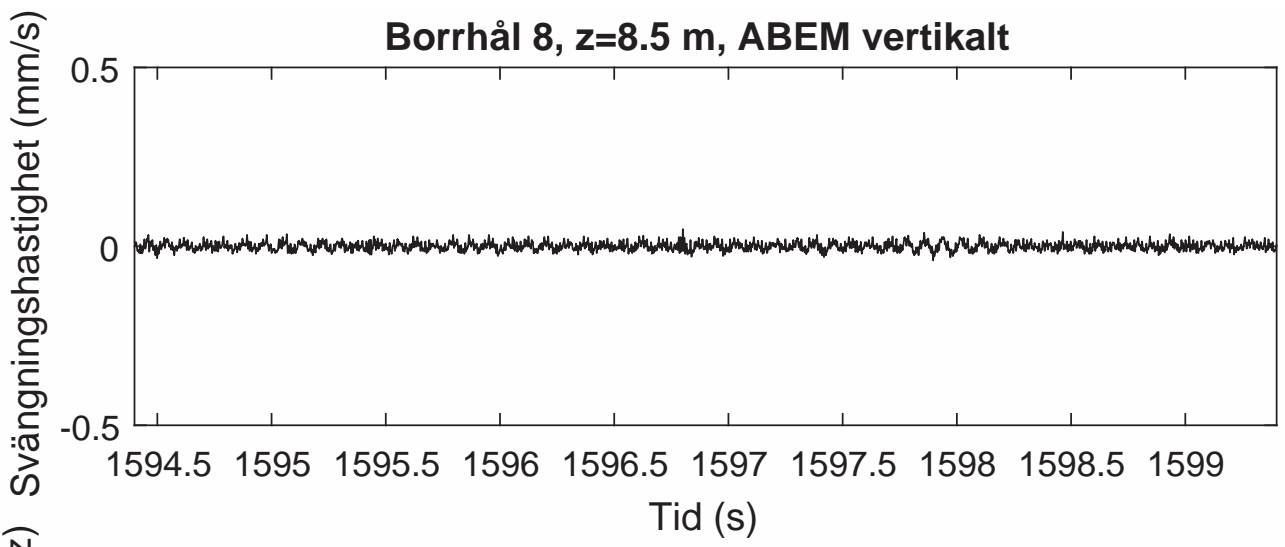
Borrhål 8, z=8.5 m, ABEM radiellt



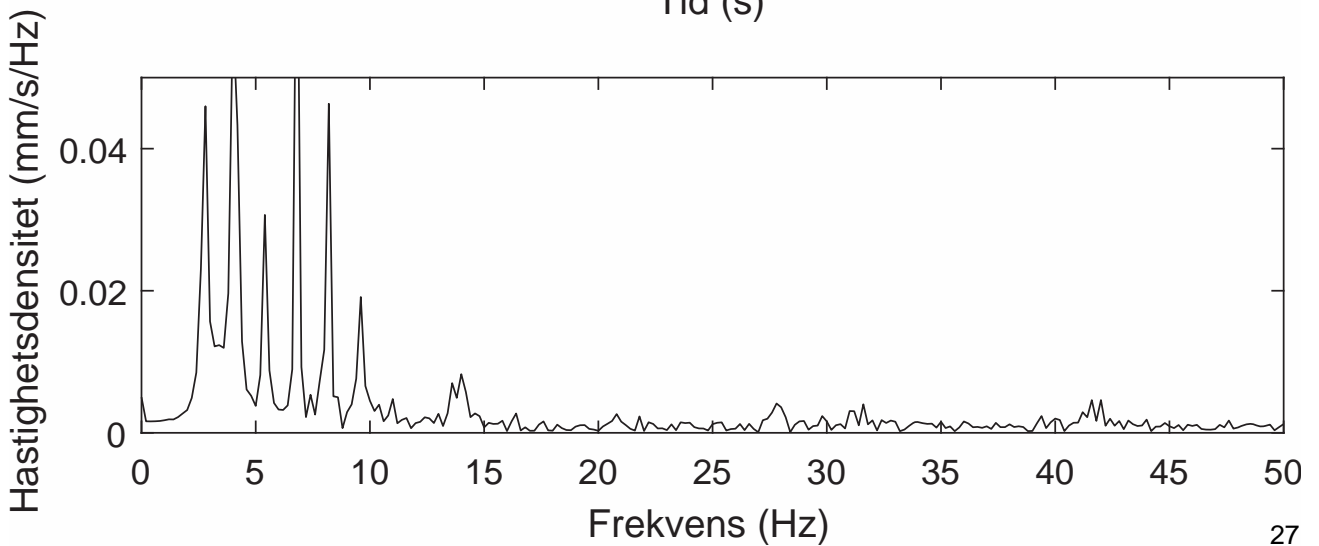
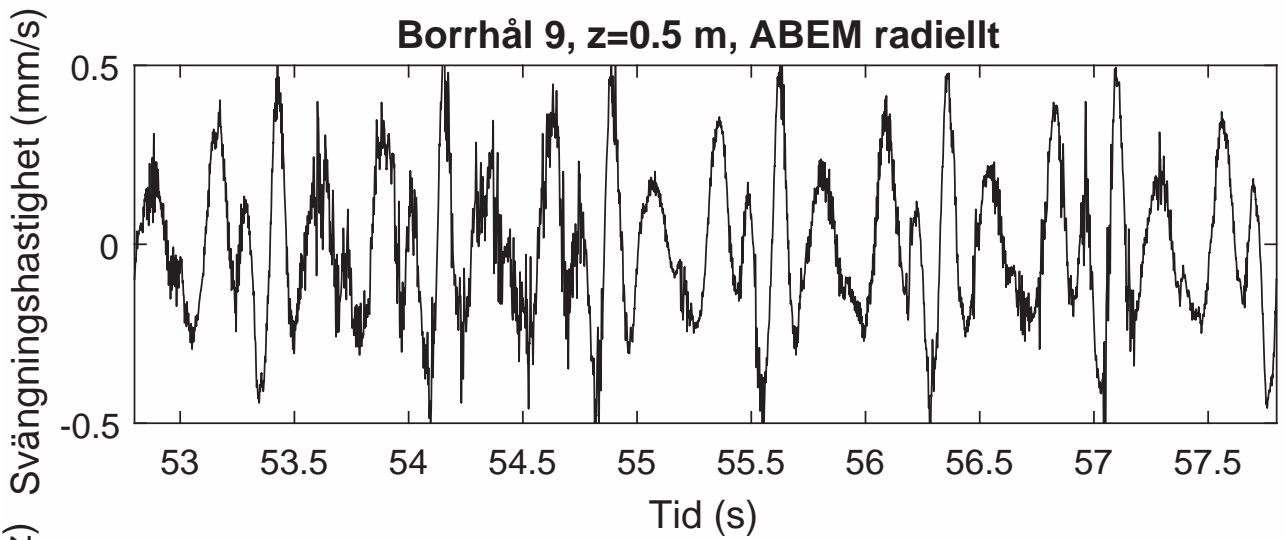
Borrhål 8, z=8.5 m, ABEM transversellt



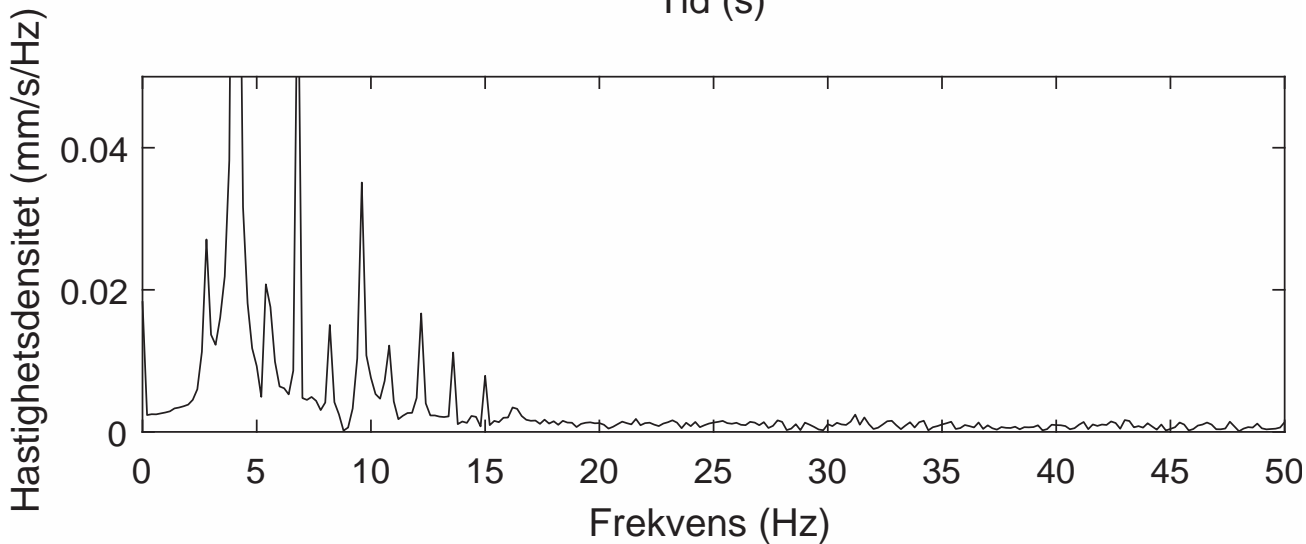
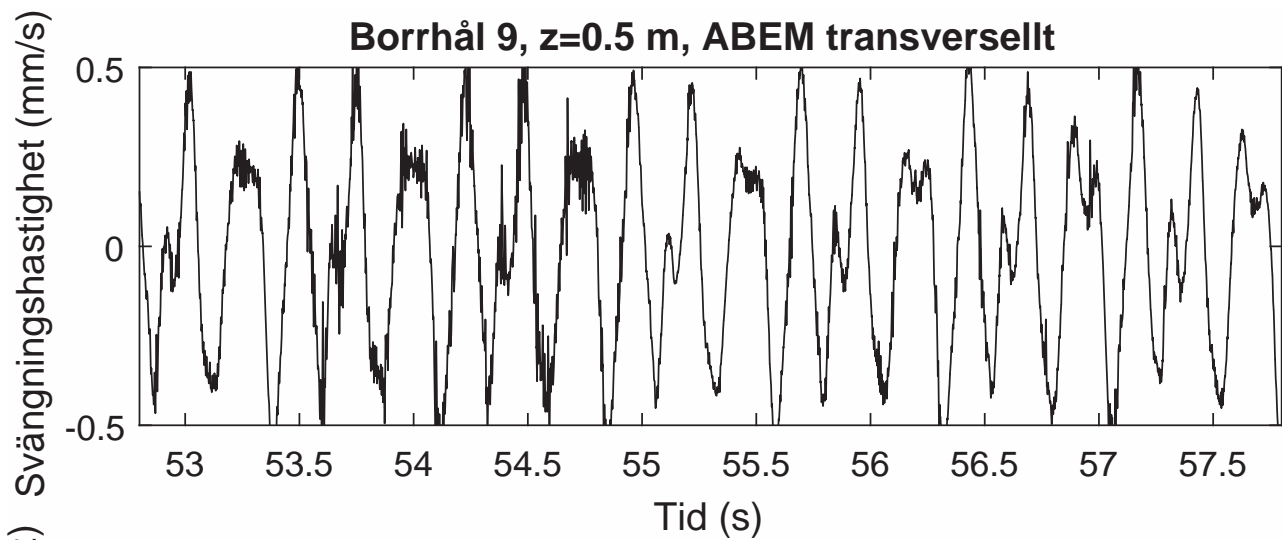
Borrhål 8, z=8.5 m, ABEM vertikalt



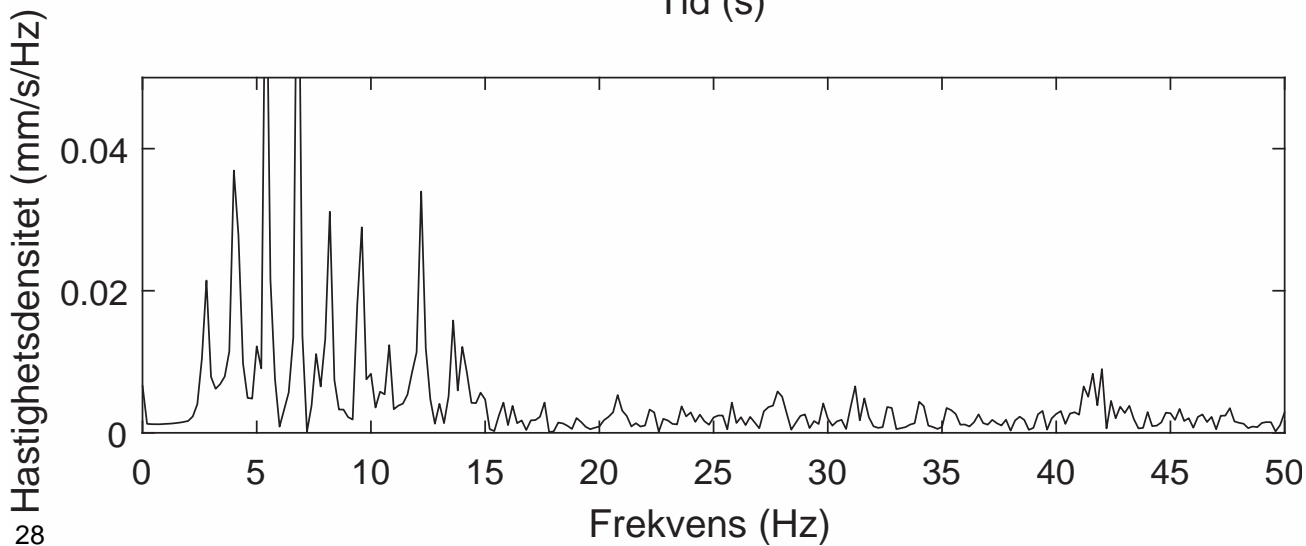
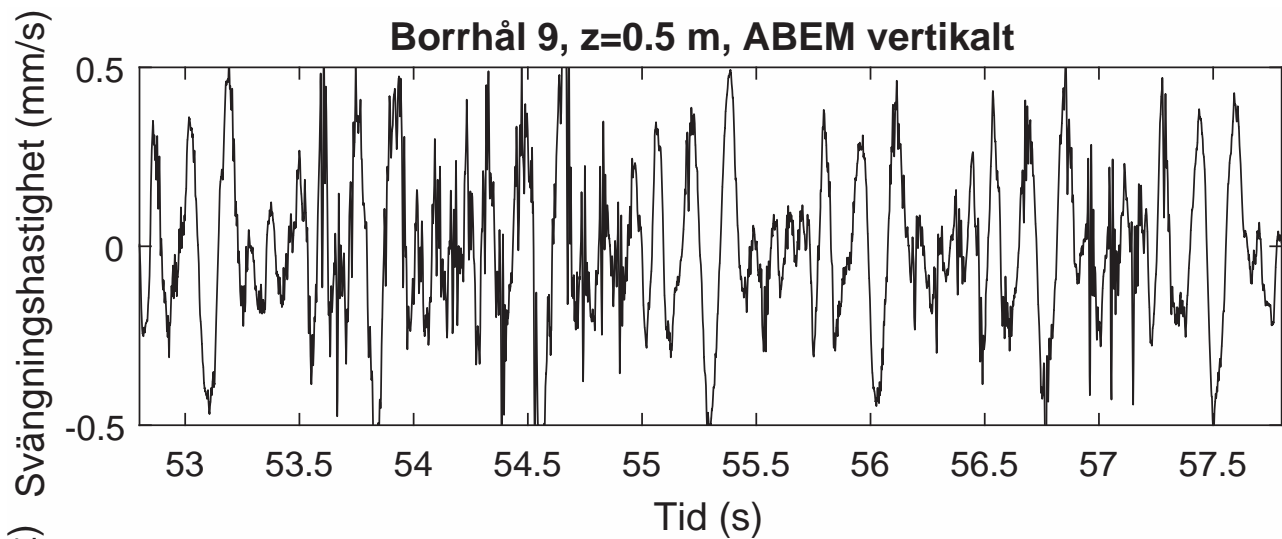
Borrhål 9, z=0.5 m, ABEM radiellt



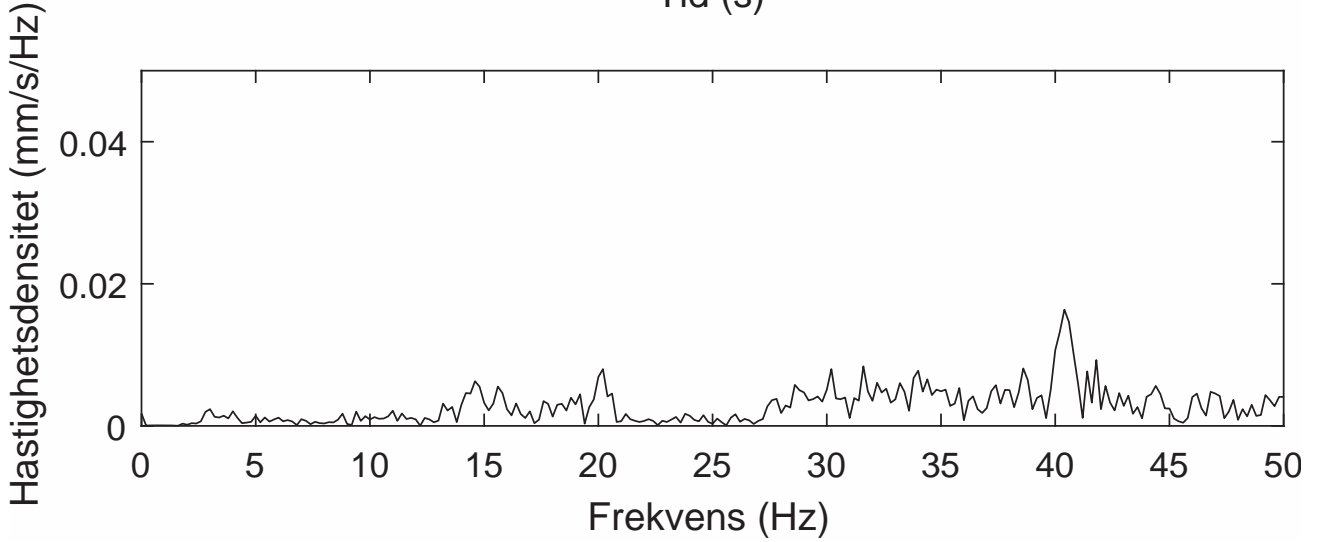
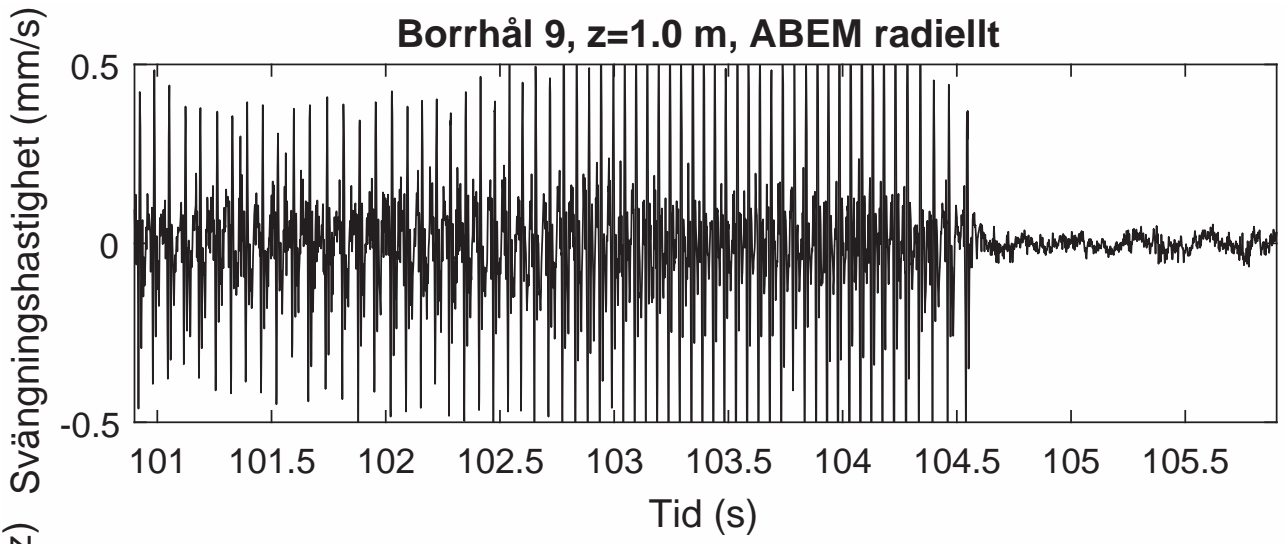
Borrhål 9, z=0.5 m, ABEM transversellt



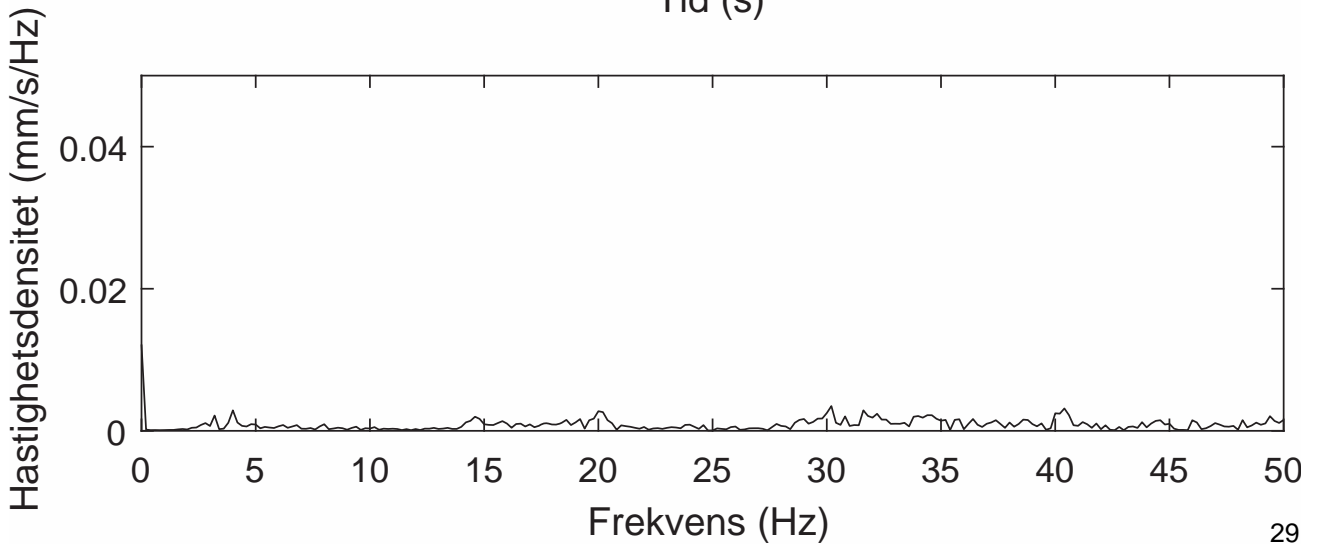
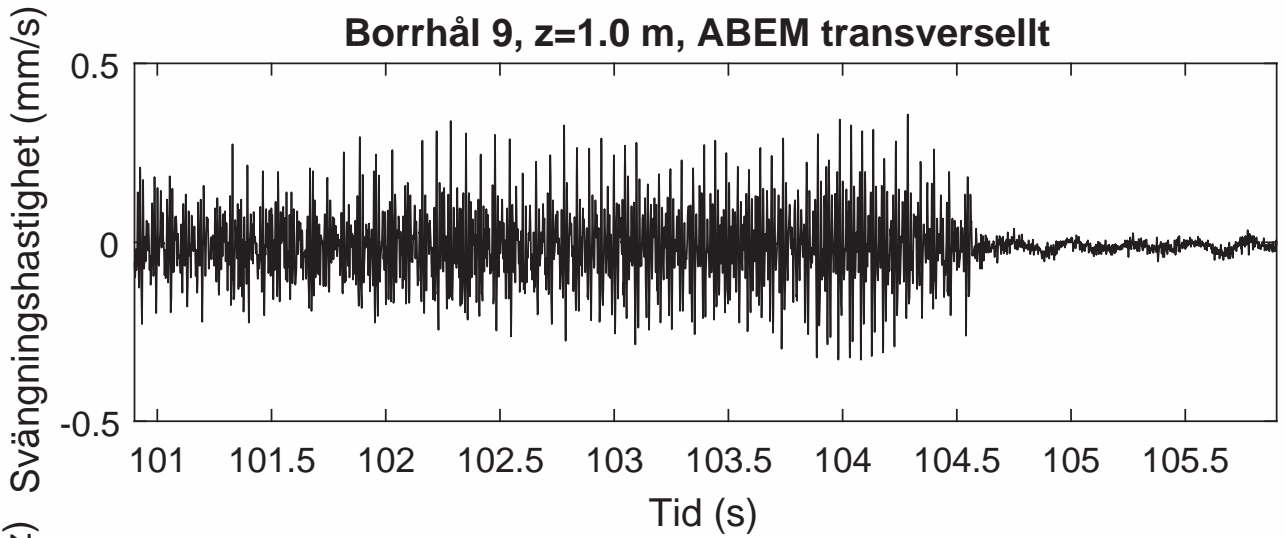
Borrhål 9, z=0.5 m, ABEM vertikalt



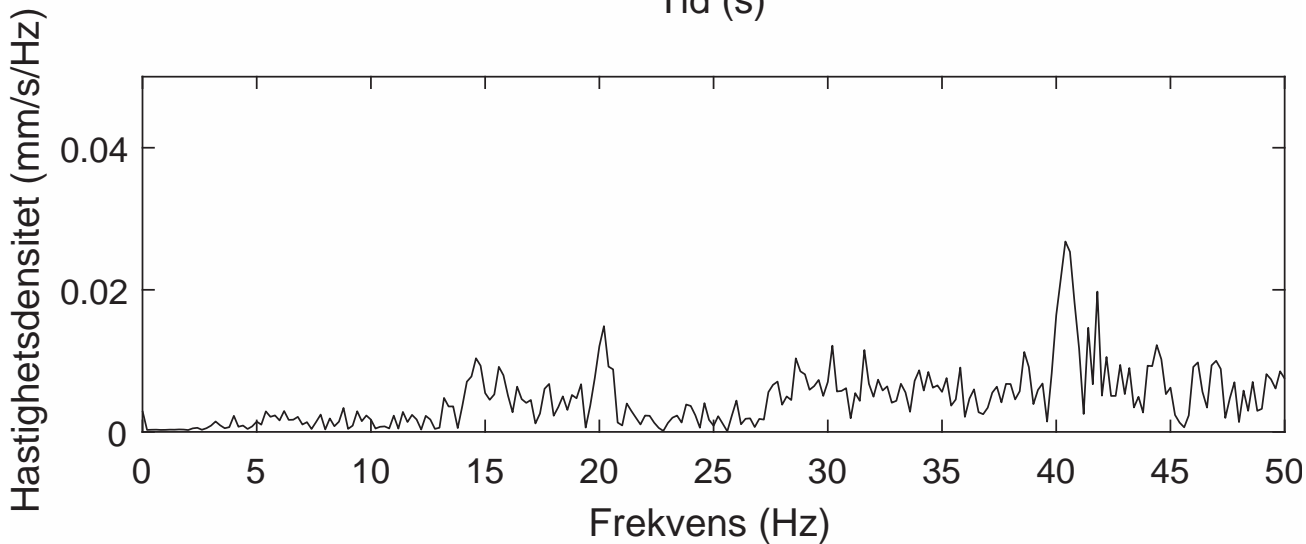
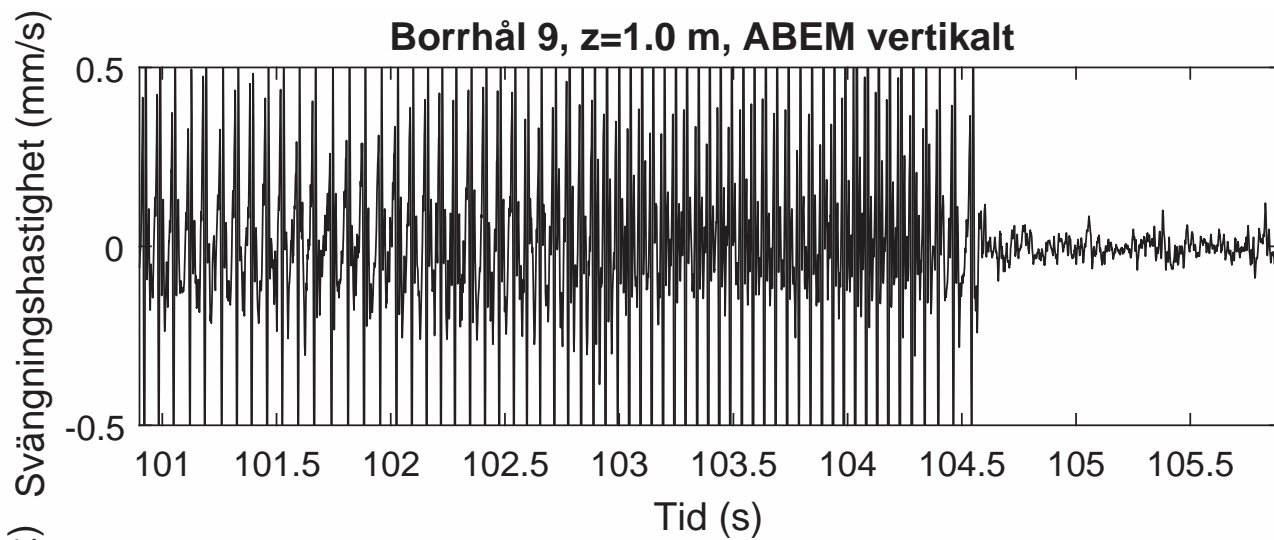
Borrhål 9, z=1.0 m, ABEM radiellt



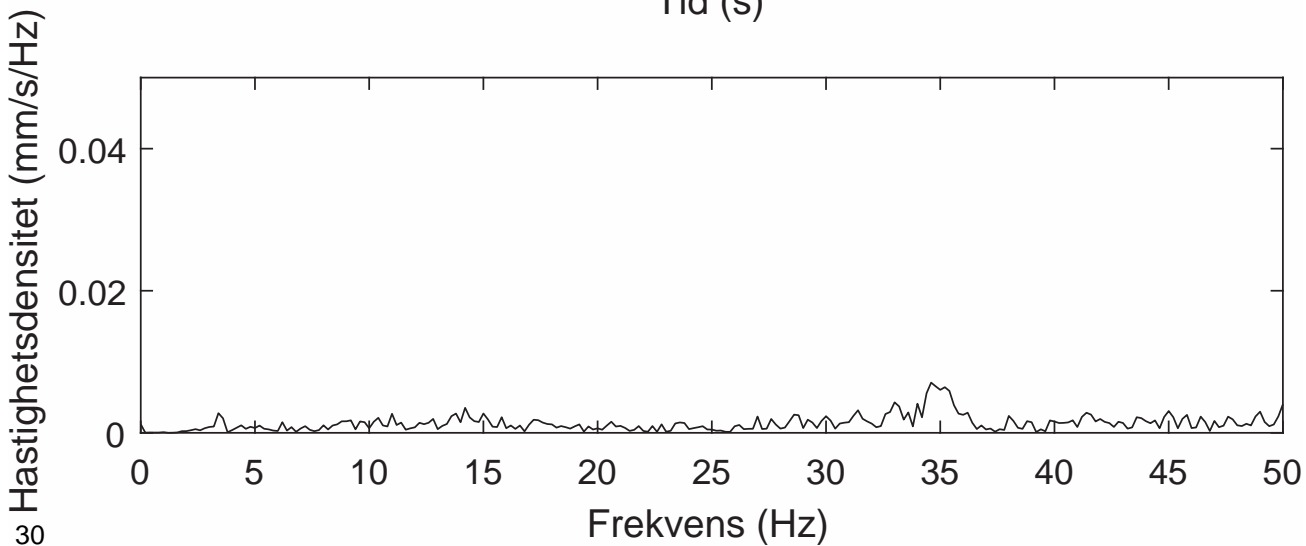
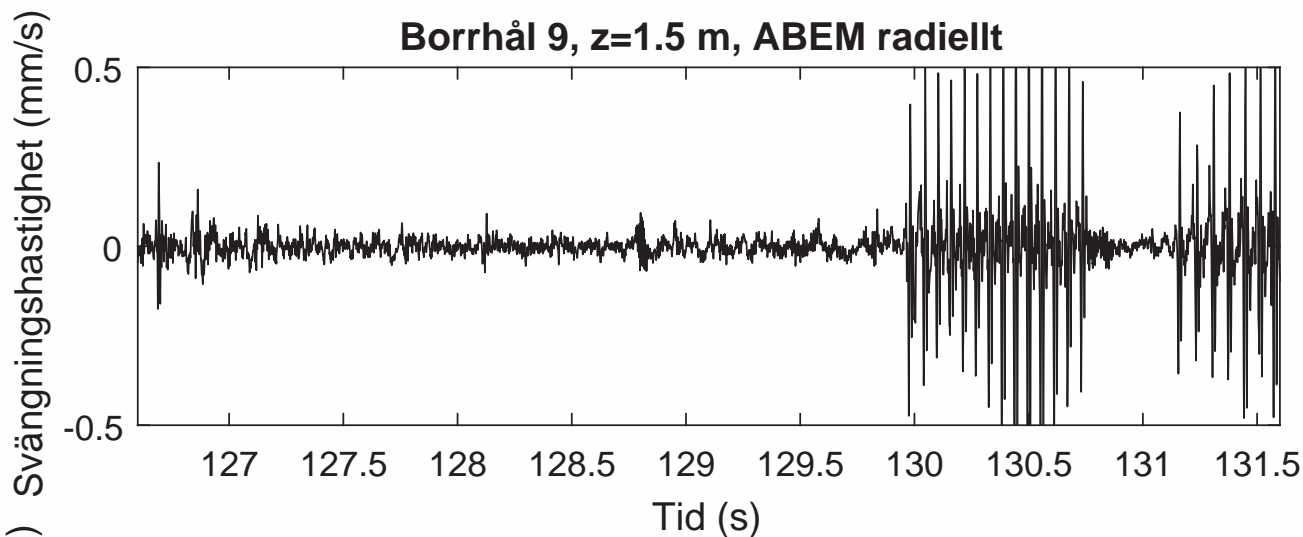
Borrhål 9, z=1.0 m, ABEM transversellt



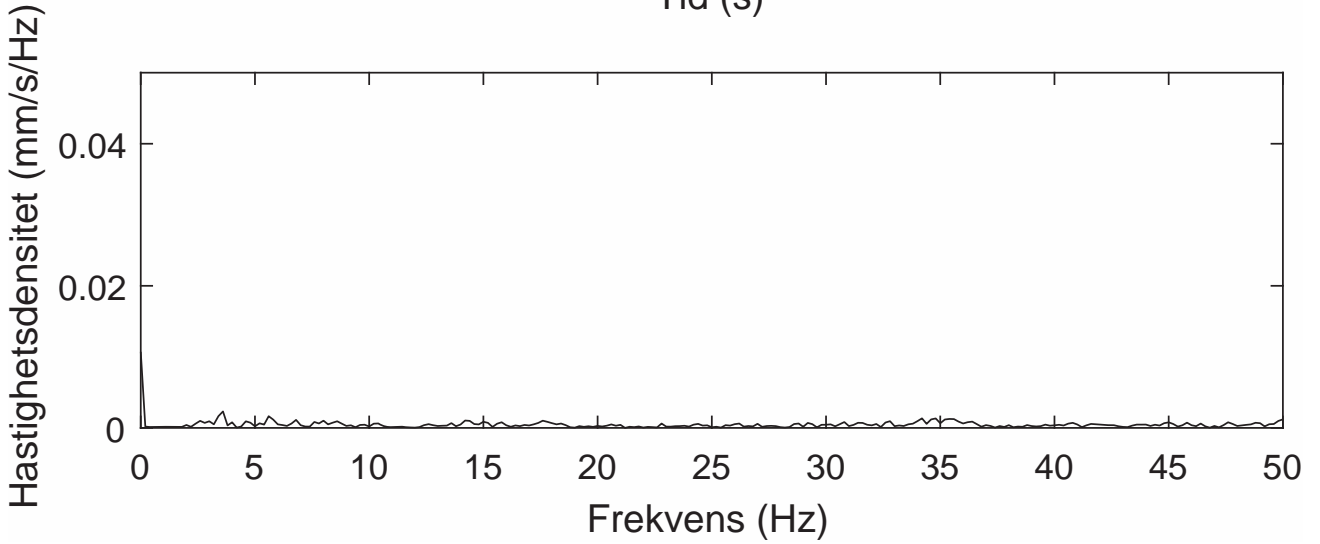
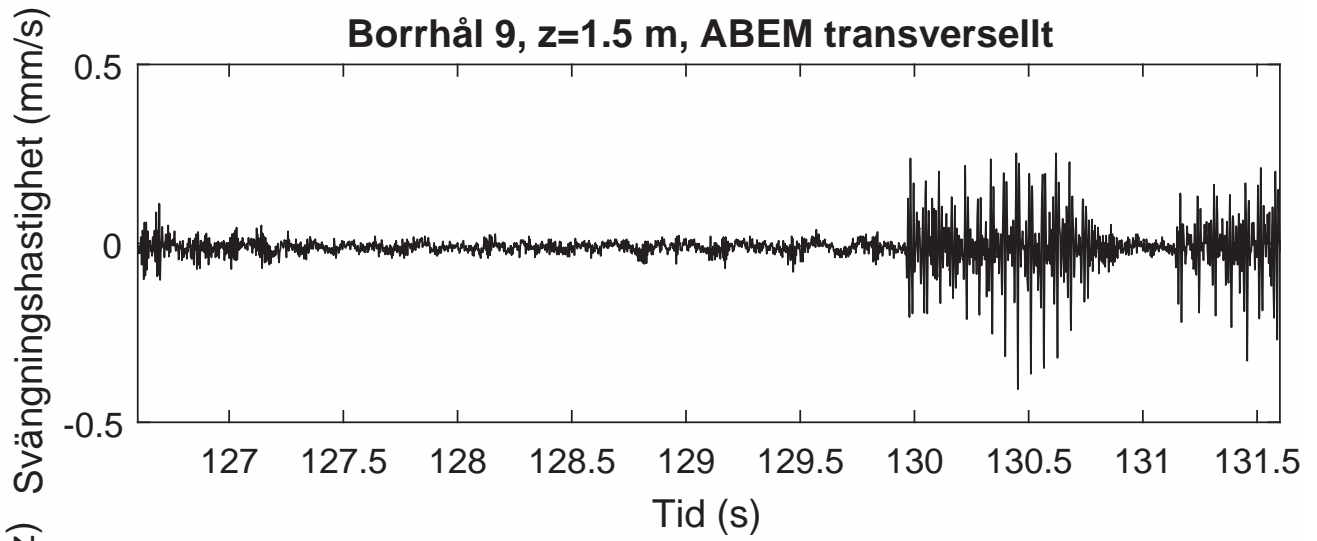
Borrhål 9, z=1.0 m, ABEM vertikalt



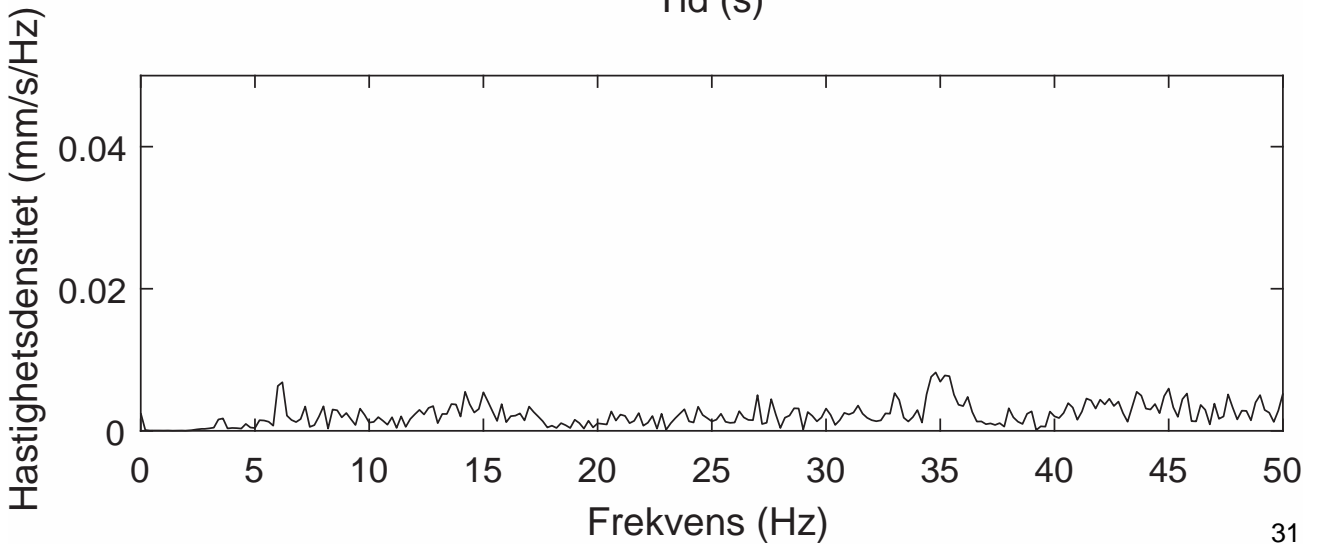
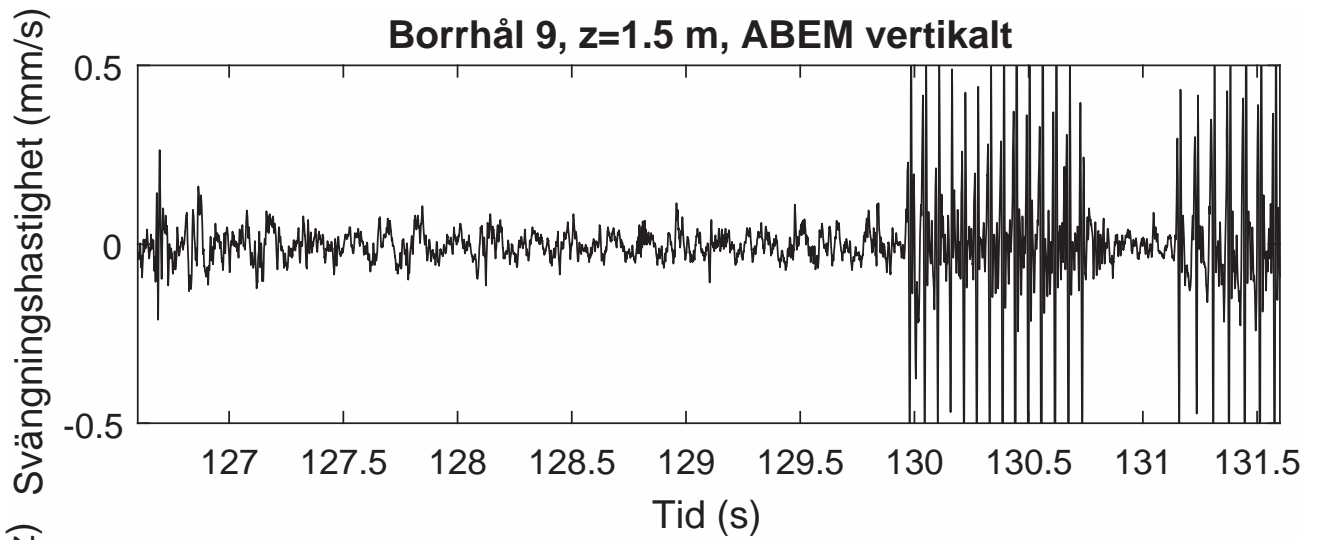
Borrhål 9, z=1.5 m, ABEM radiellt



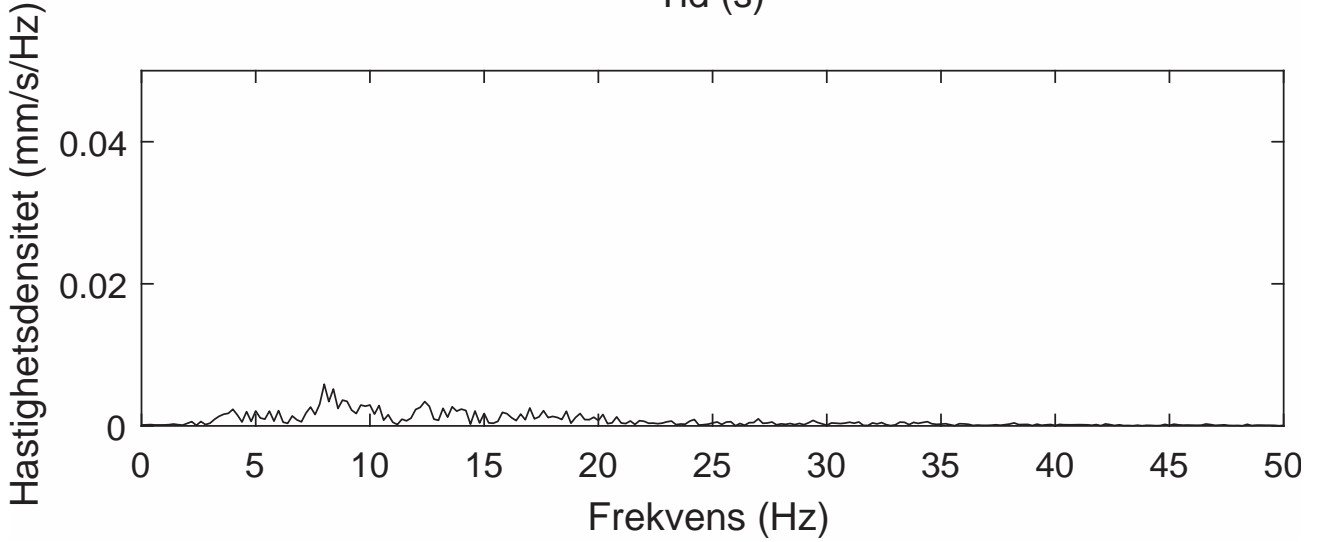
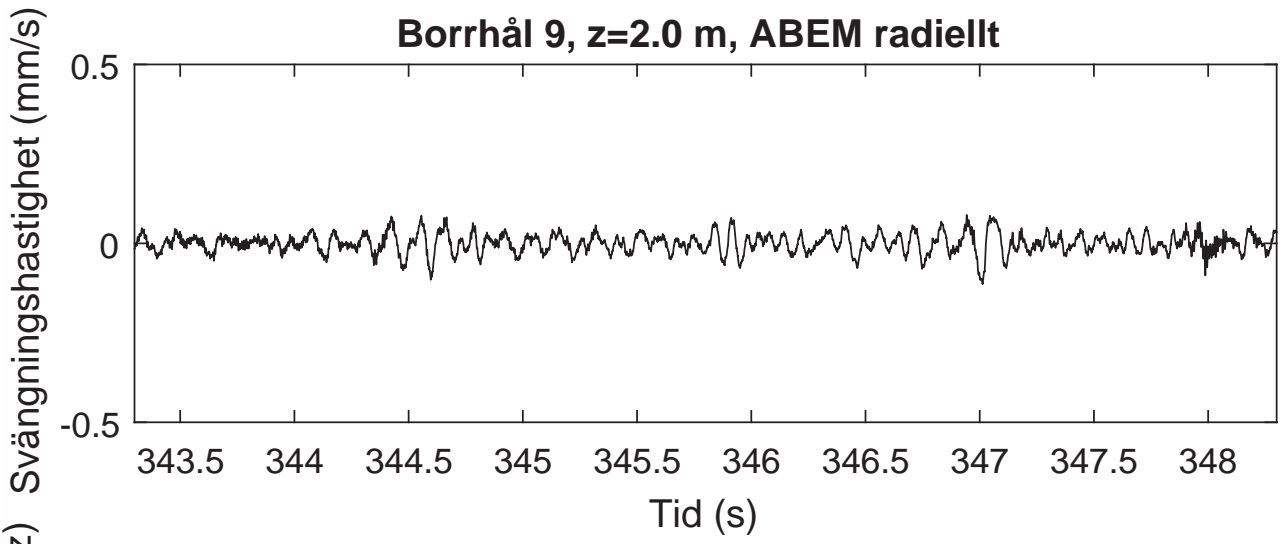
Borrhål 9, z=1.5 m, ABEM transversellt



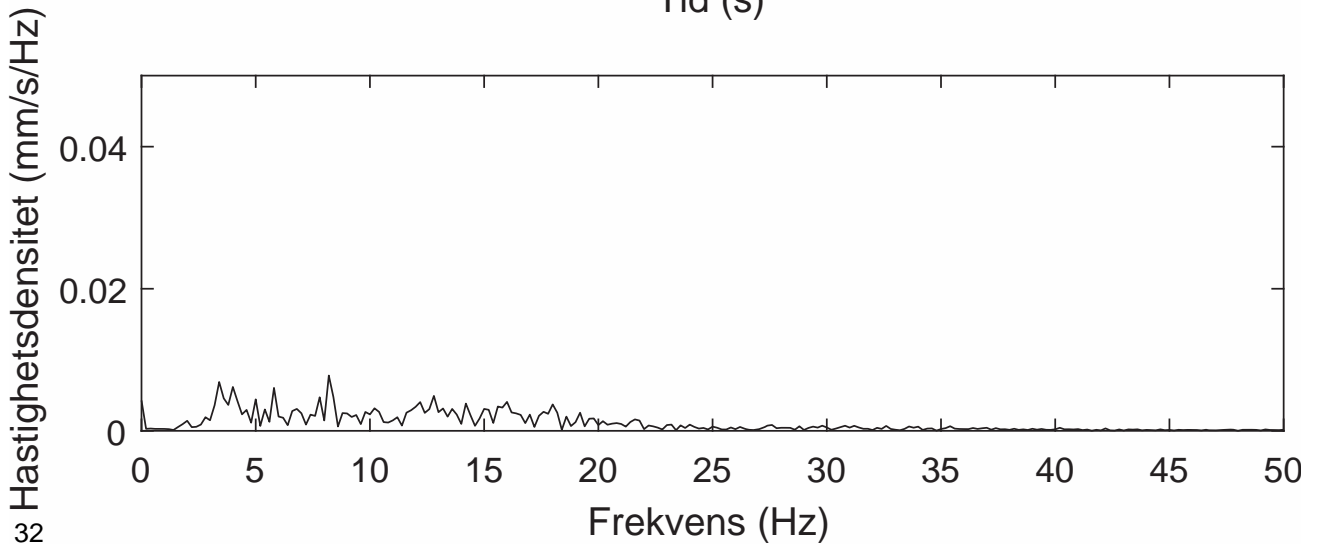
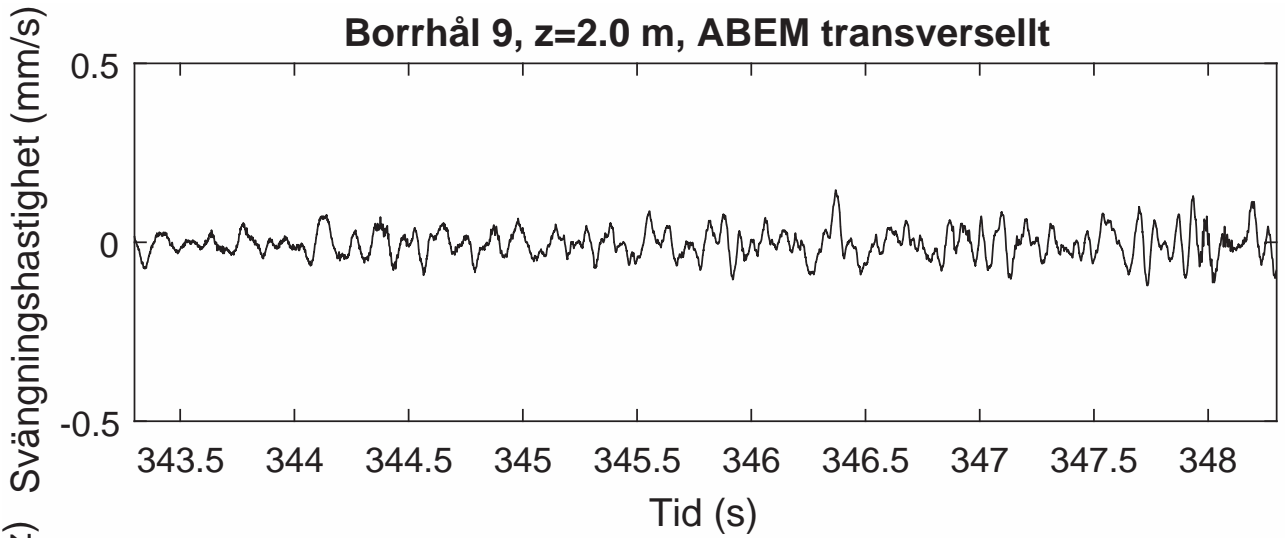
Borrhål 9, z=1.5 m, ABEM vertikalt



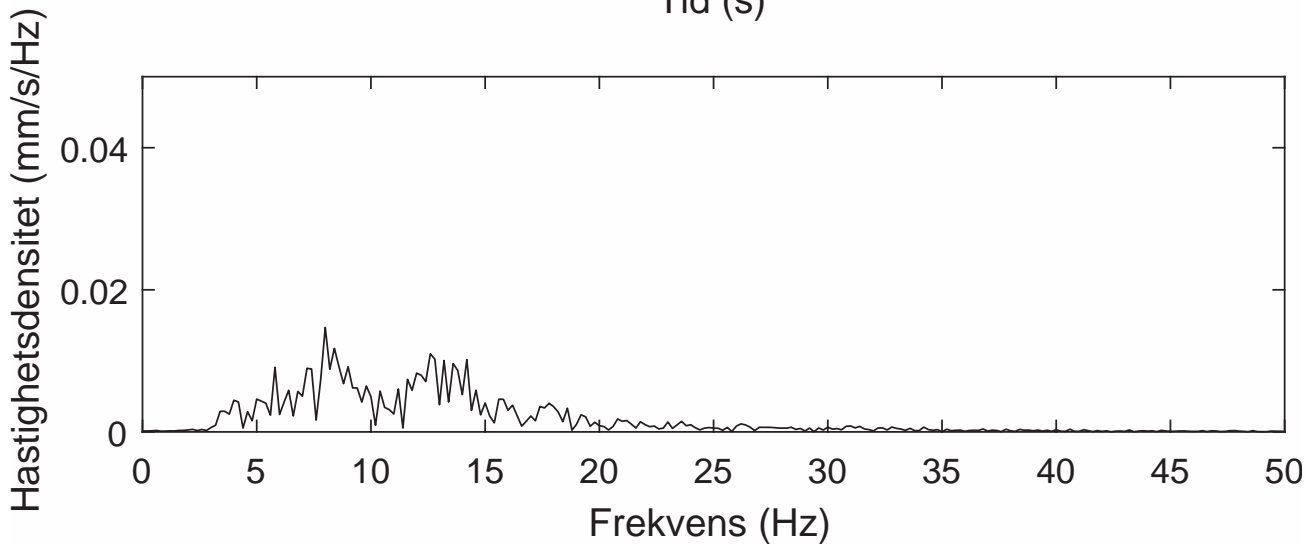
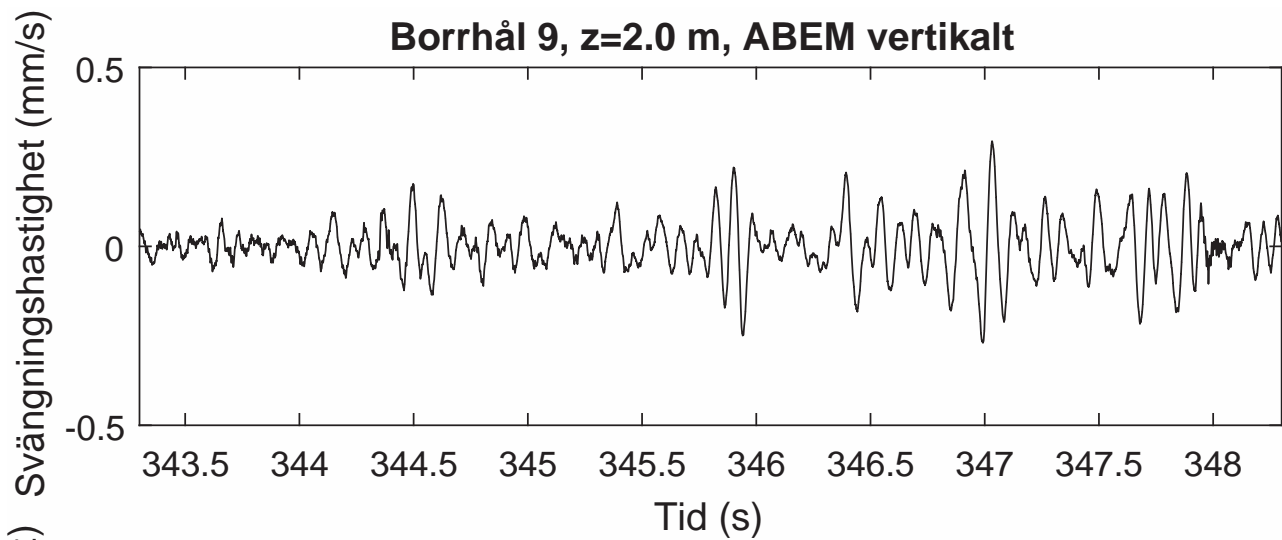
Borrhål 9, z=2.0 m, ABEM radiellt



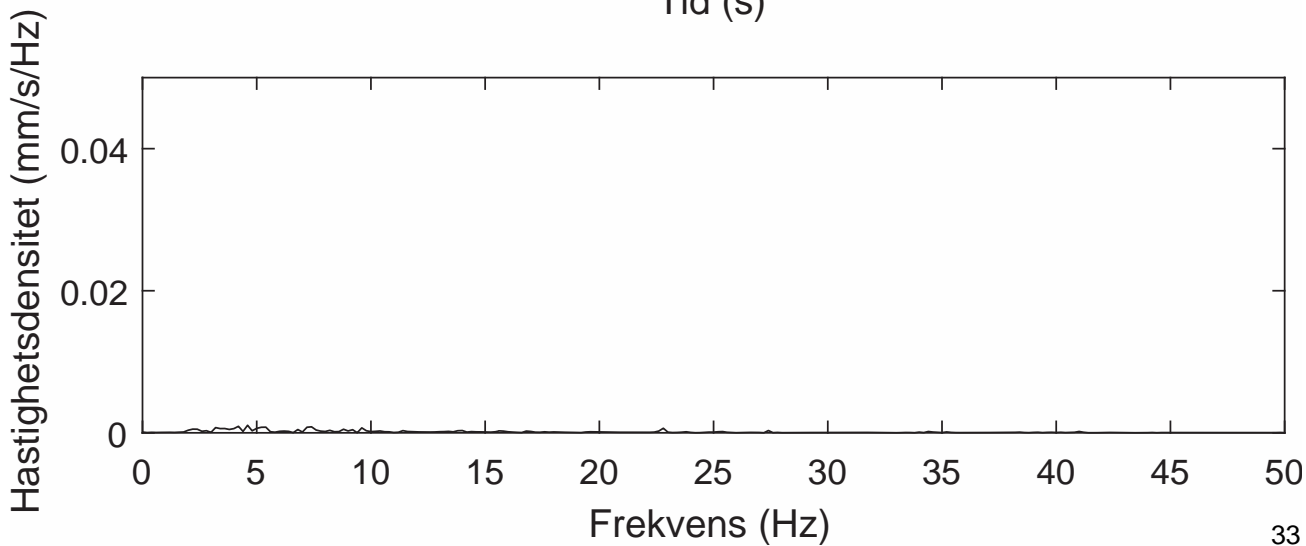
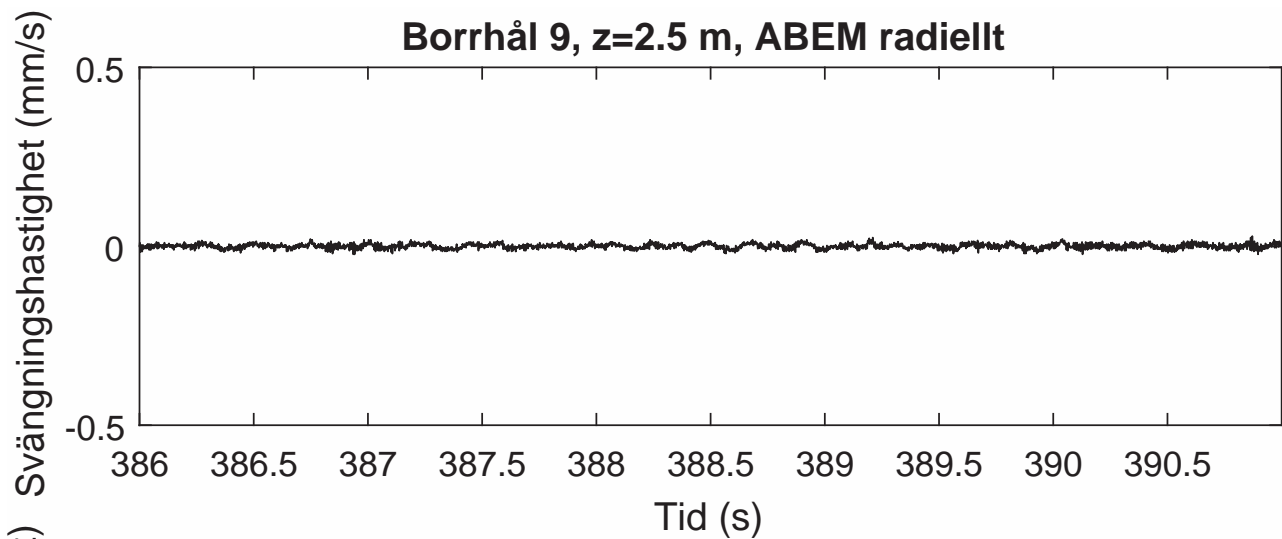
Borrhål 9, z=2.0 m, ABEM transversellt



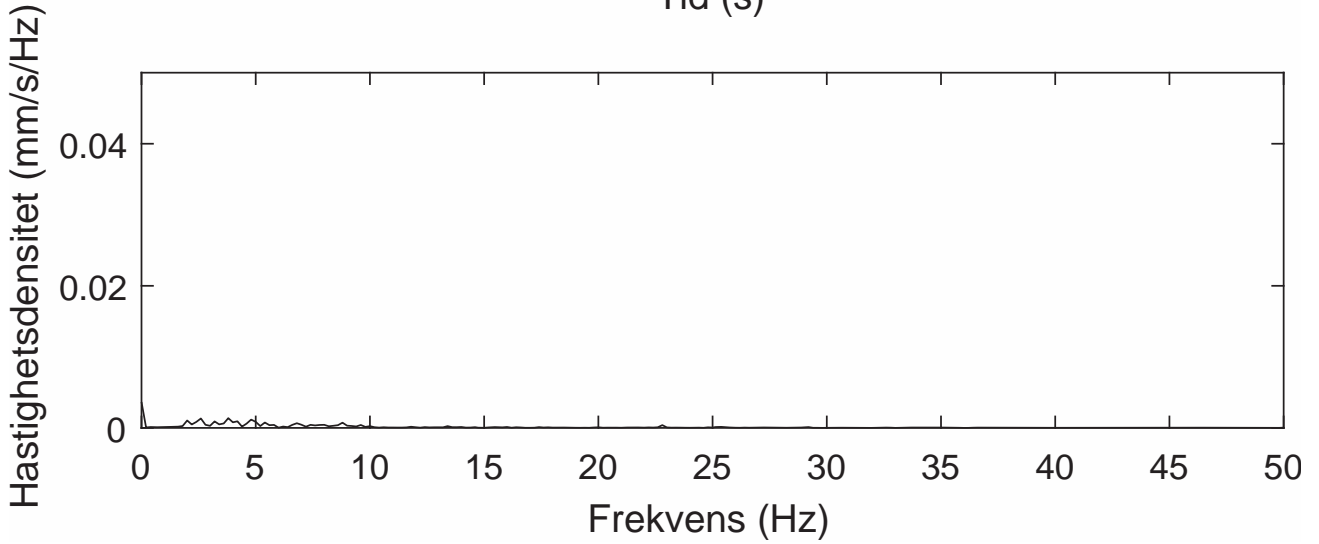
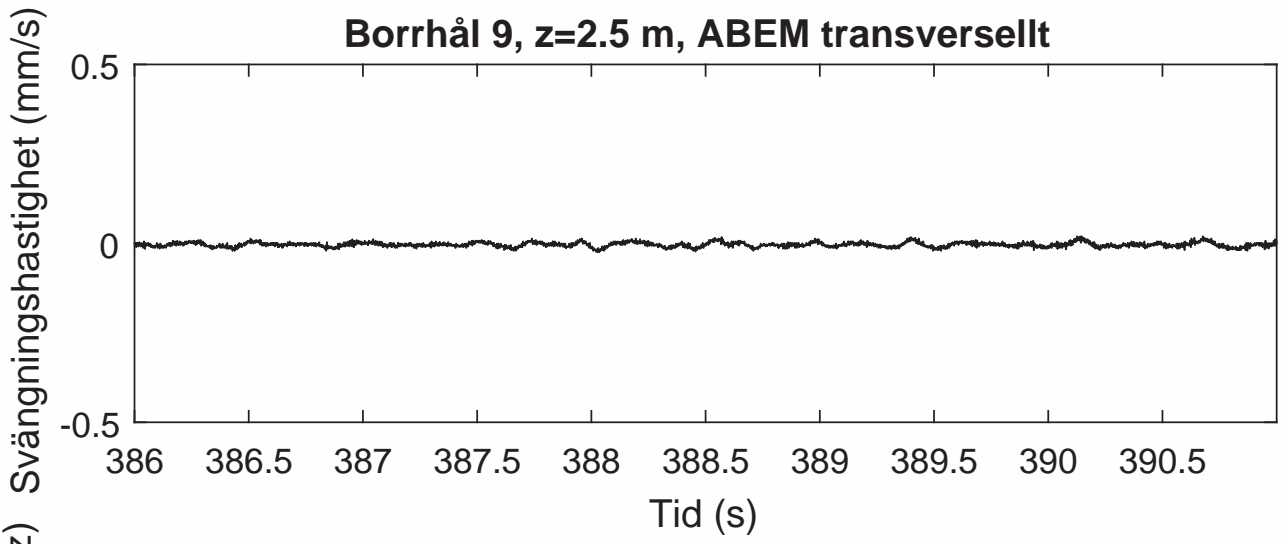
Borrhål 9, z=2.0 m, ABEM vertikalt



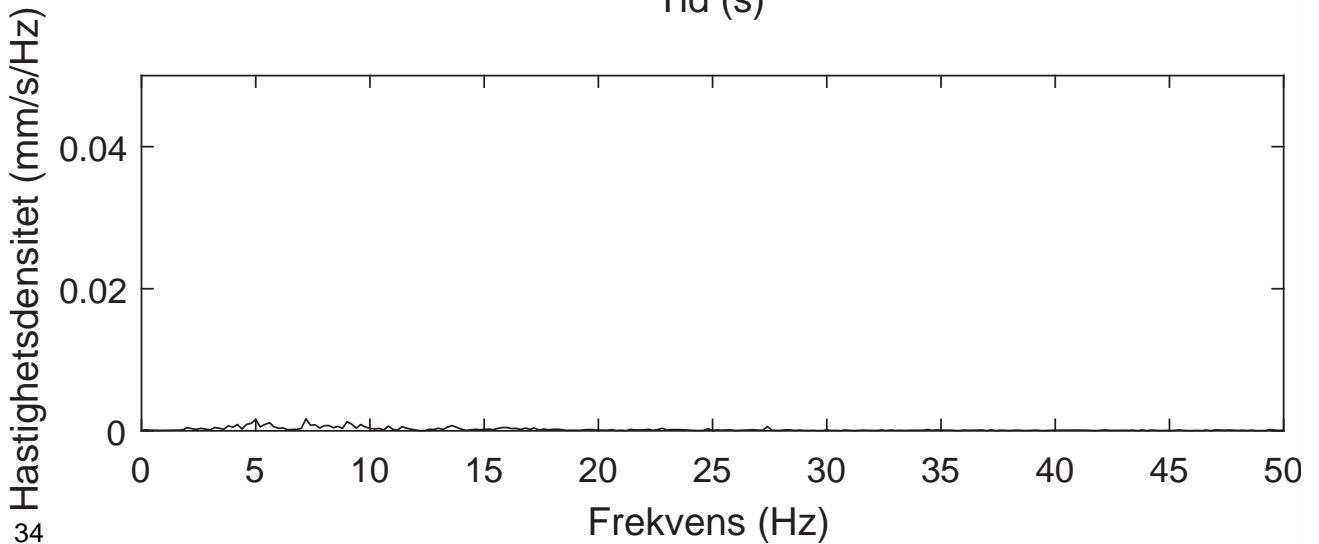
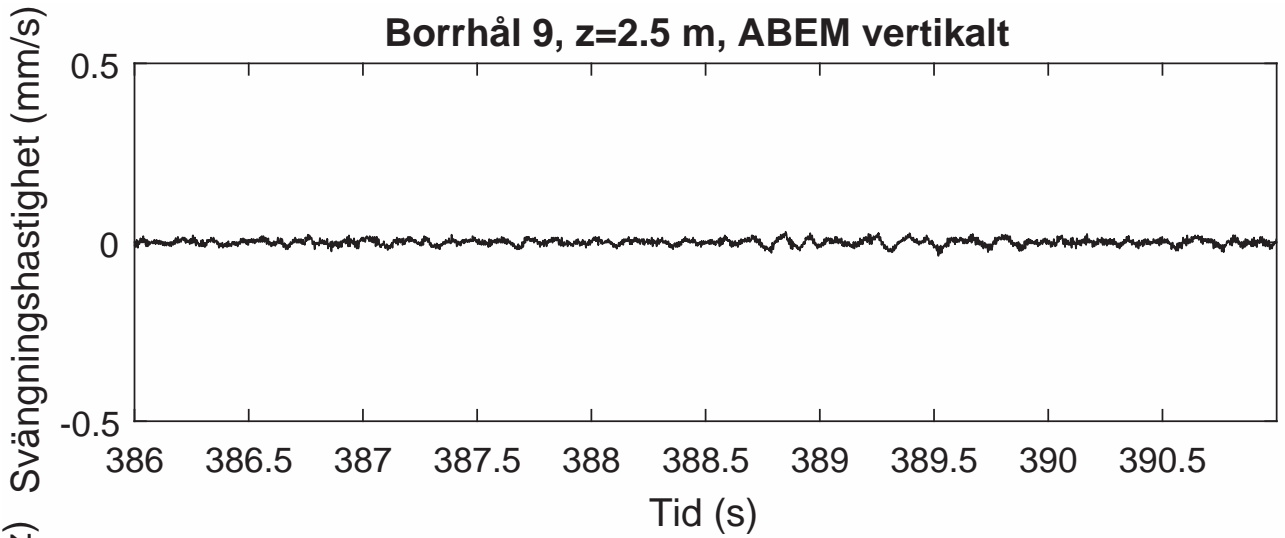
Borrhål 9, z=2.5 m, ABEM radiellt



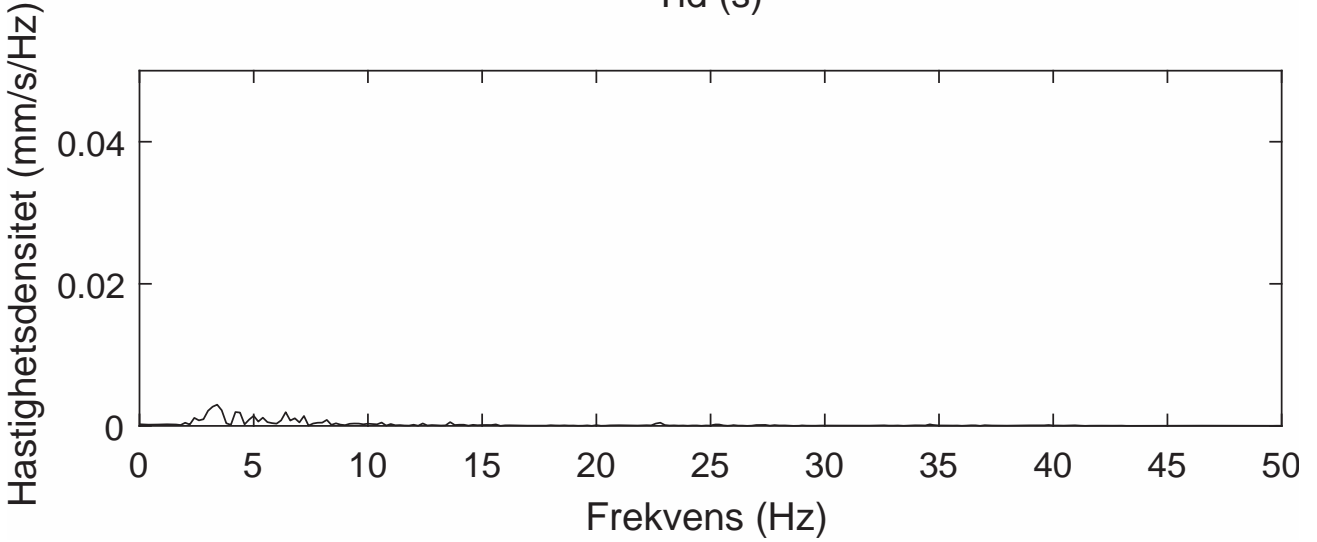
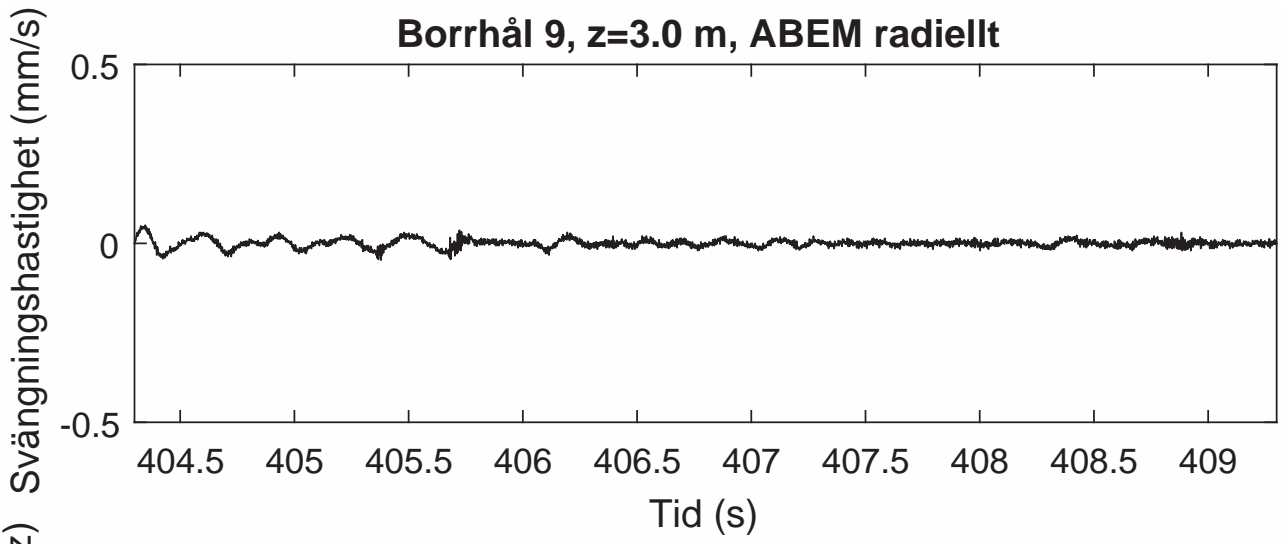
Borrhål 9, z=2.5 m, ABEM transversellt



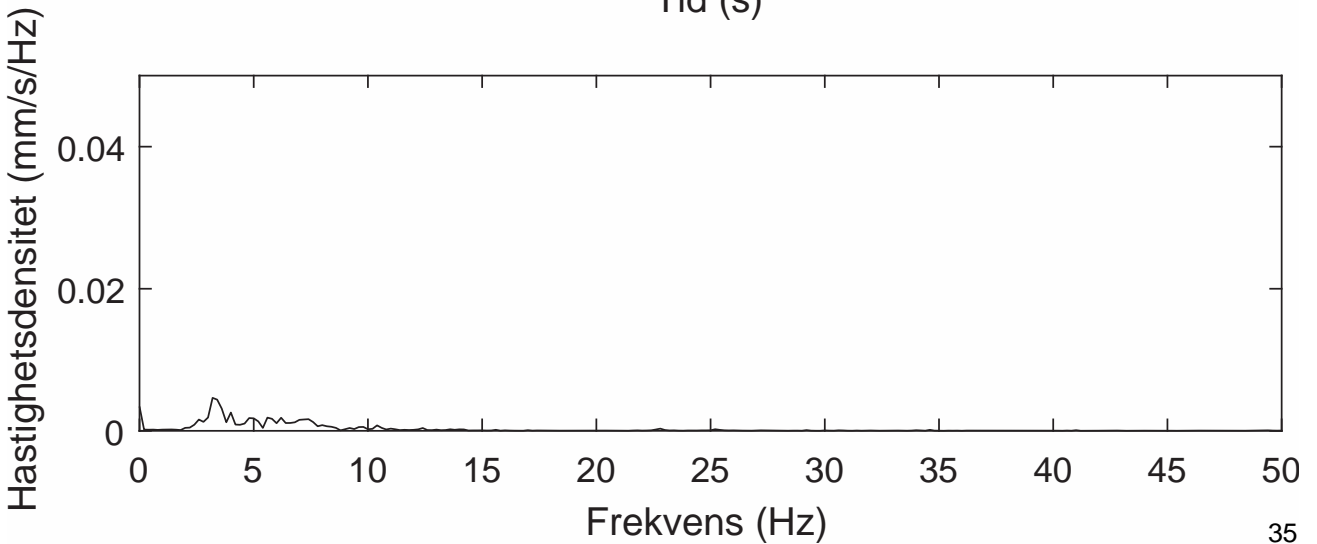
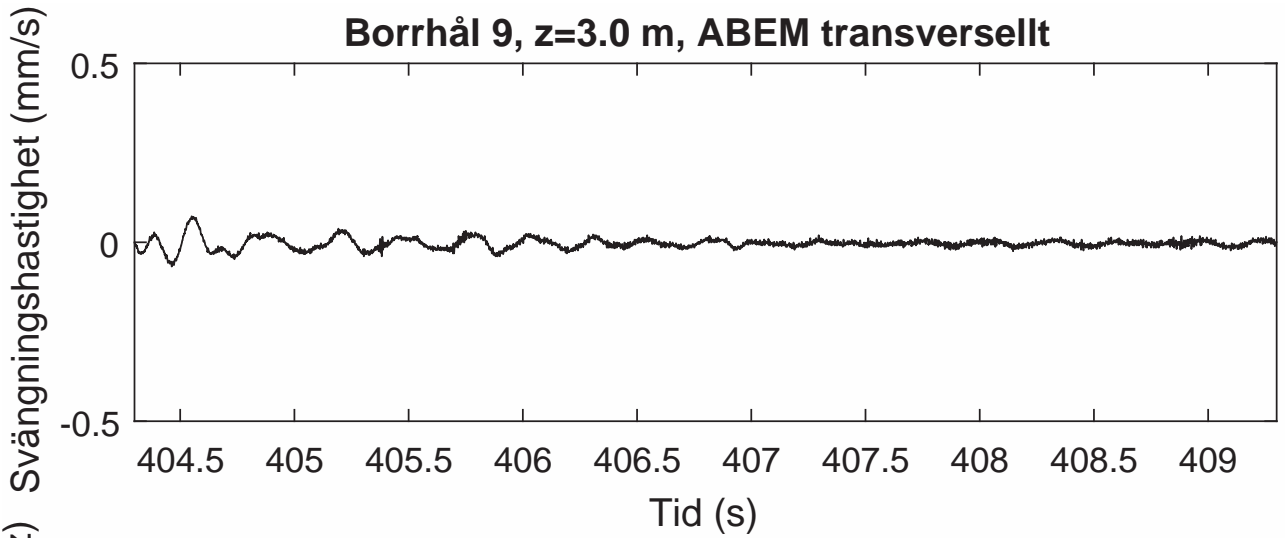
Borrhål 9, z=2.5 m, ABEM vertikalt



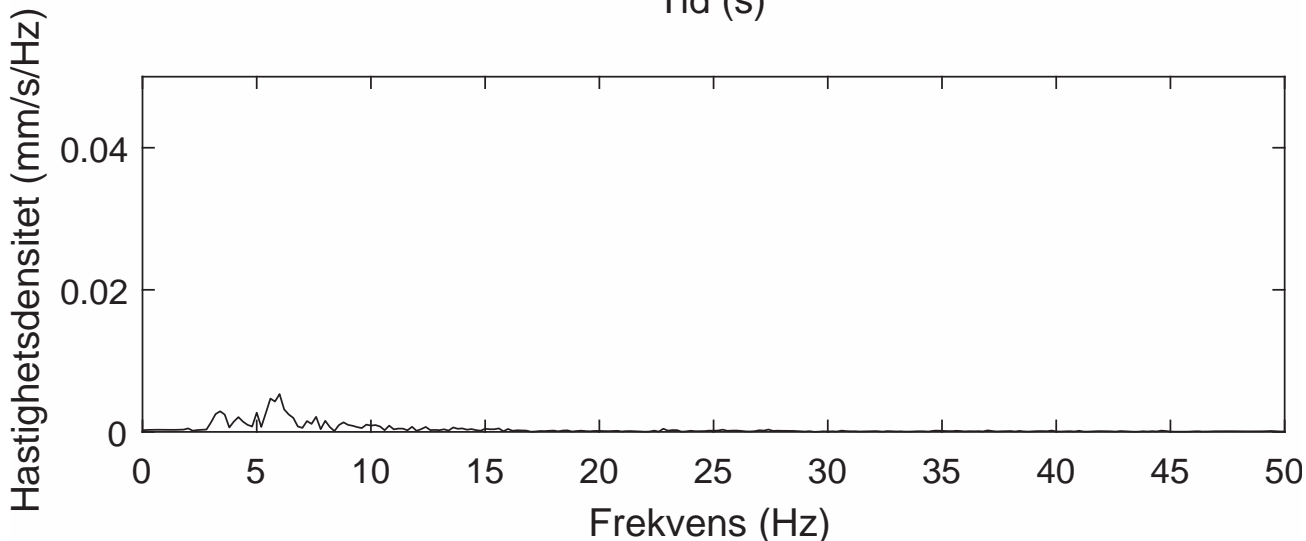
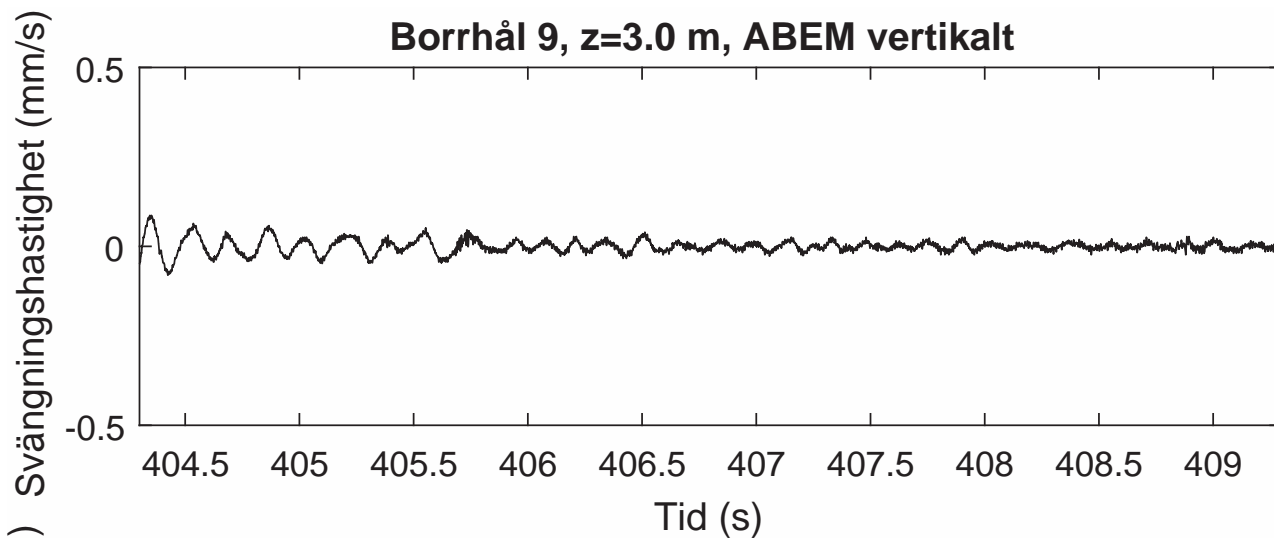
Borrhål 9, z=3.0 m, ABEM radiellt



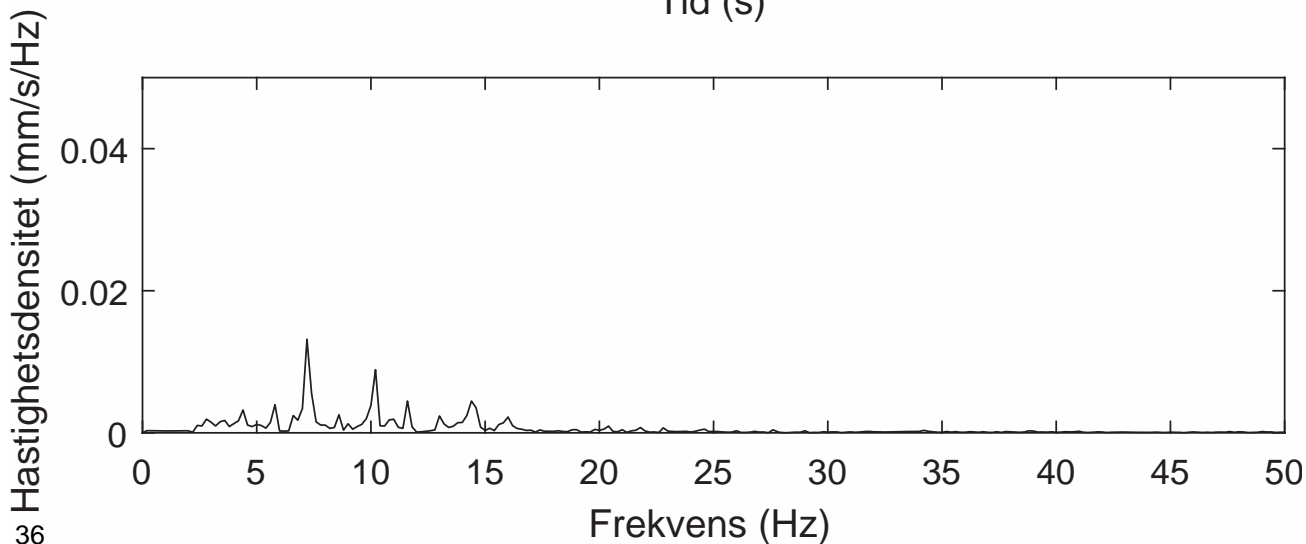
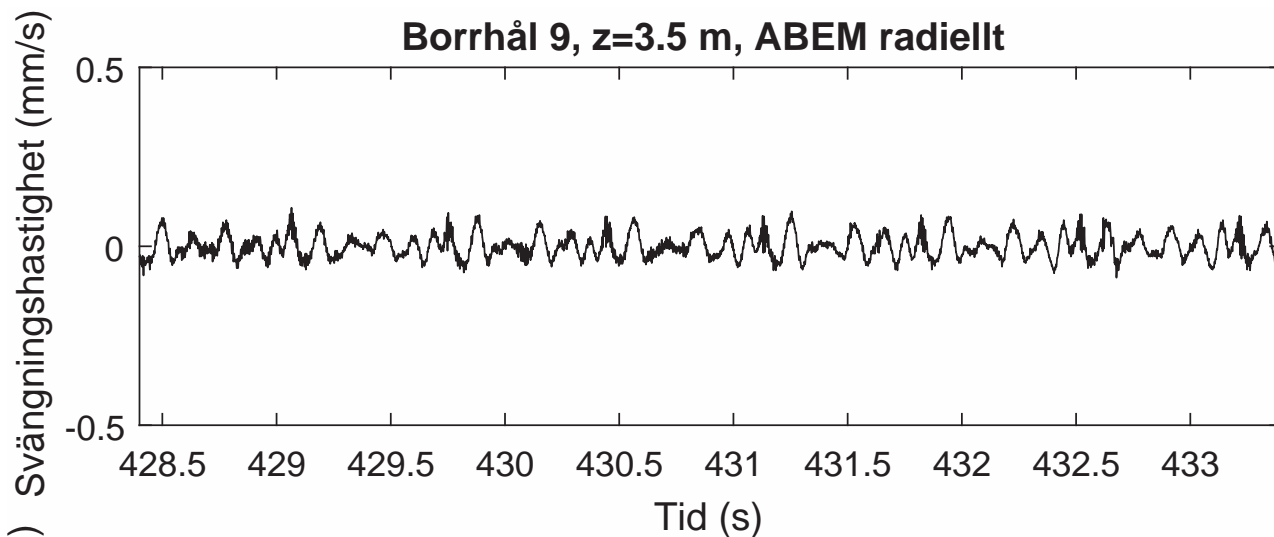
Borrhål 9, z=3.0 m, ABEM transversellt



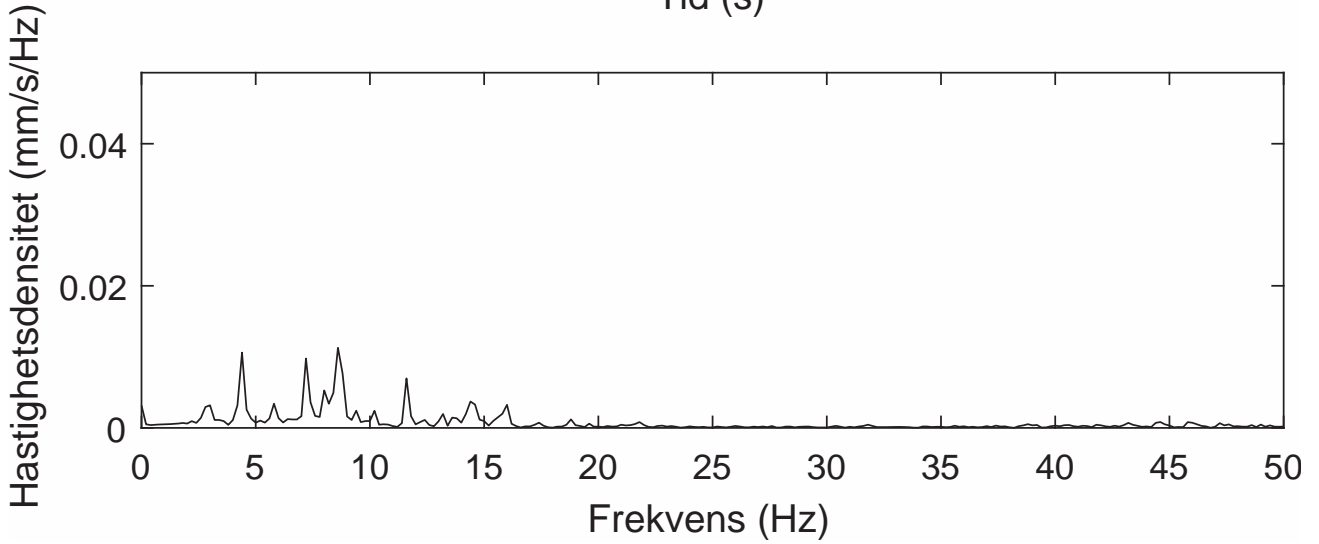
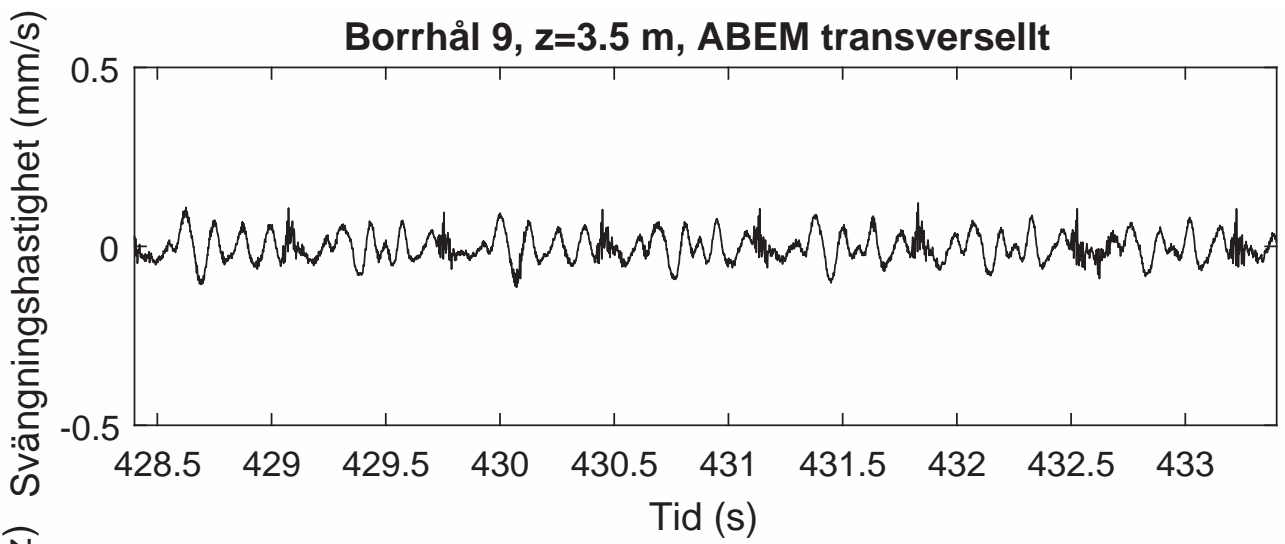
Borrhål 9, z=3.0 m, ABEM vertikalt



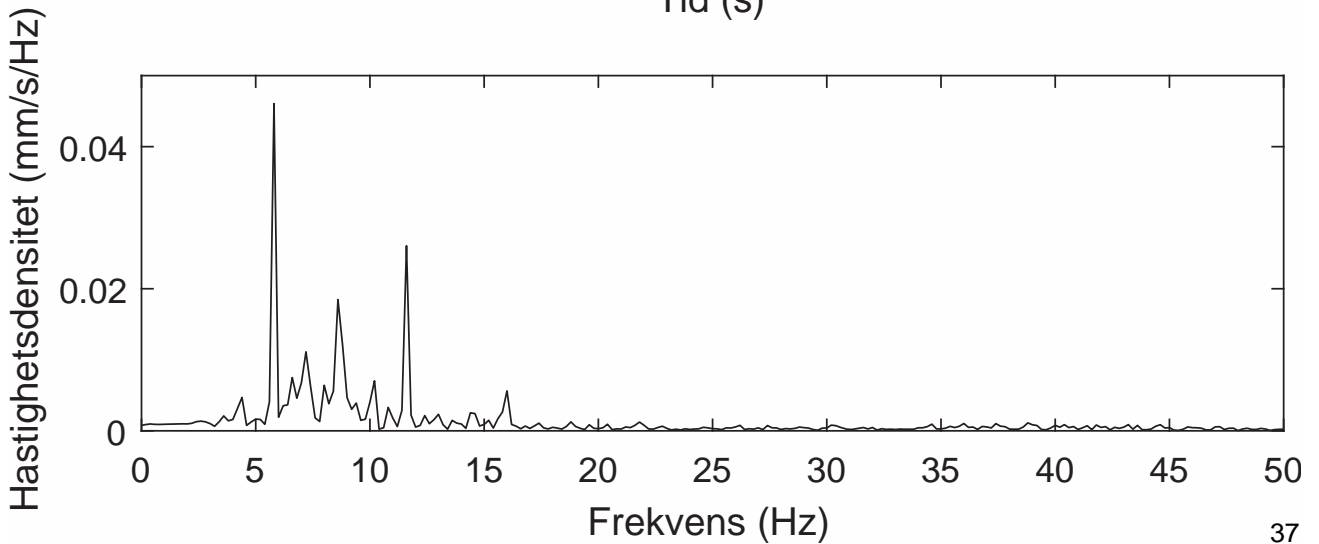
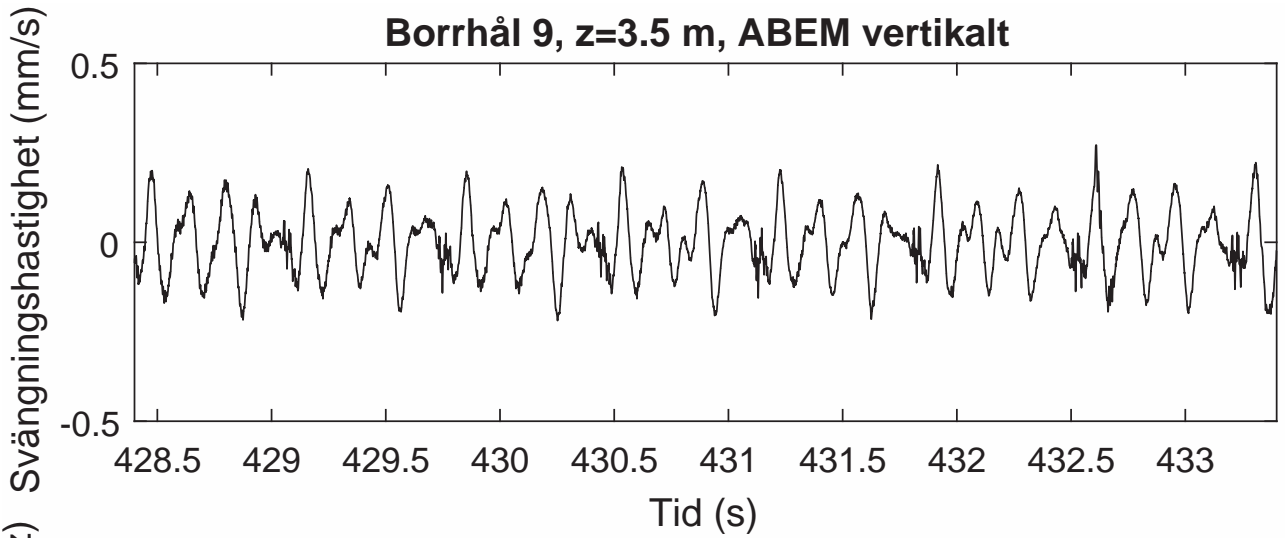
Borrhål 9, z=3.5 m, ABEM radiellt



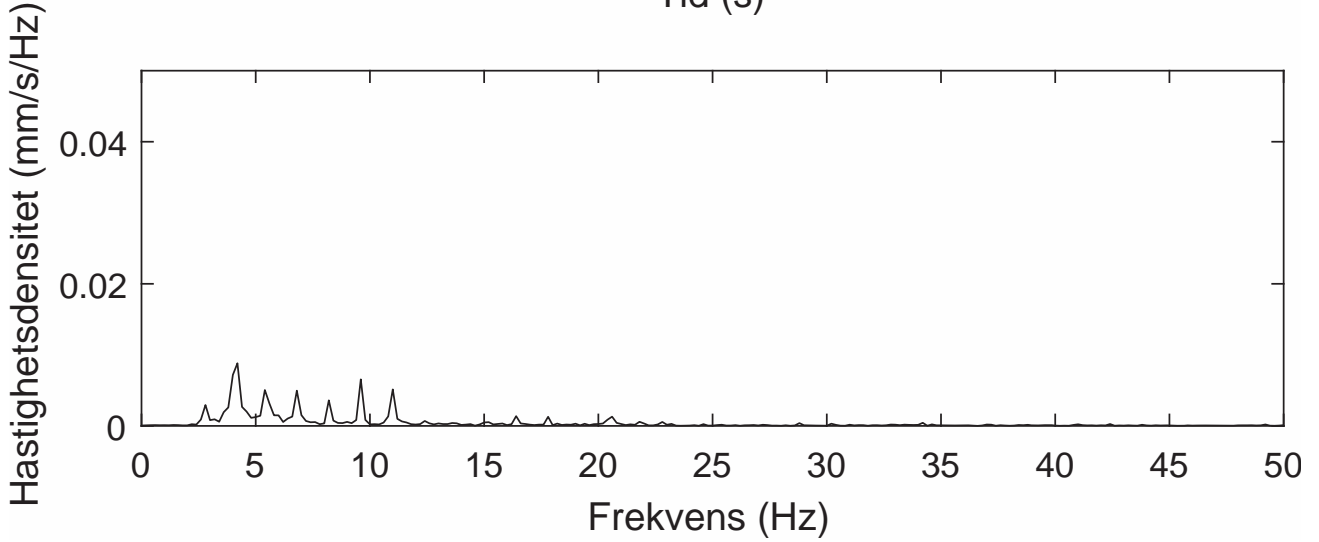
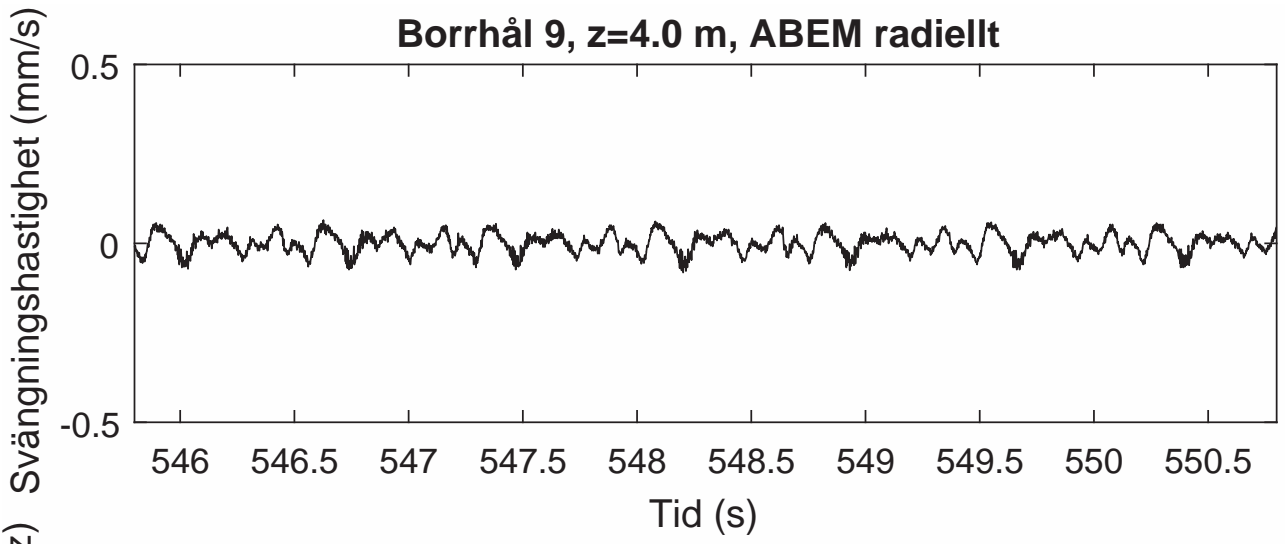
Borrhål 9, z=3.5 m, ABEM transversellt



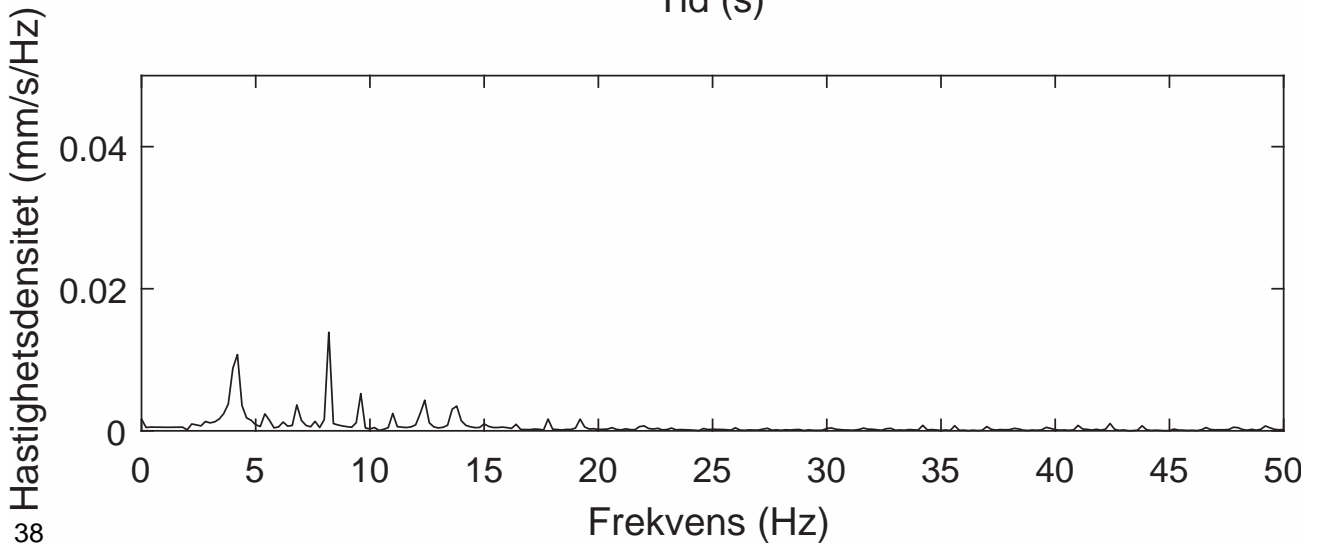
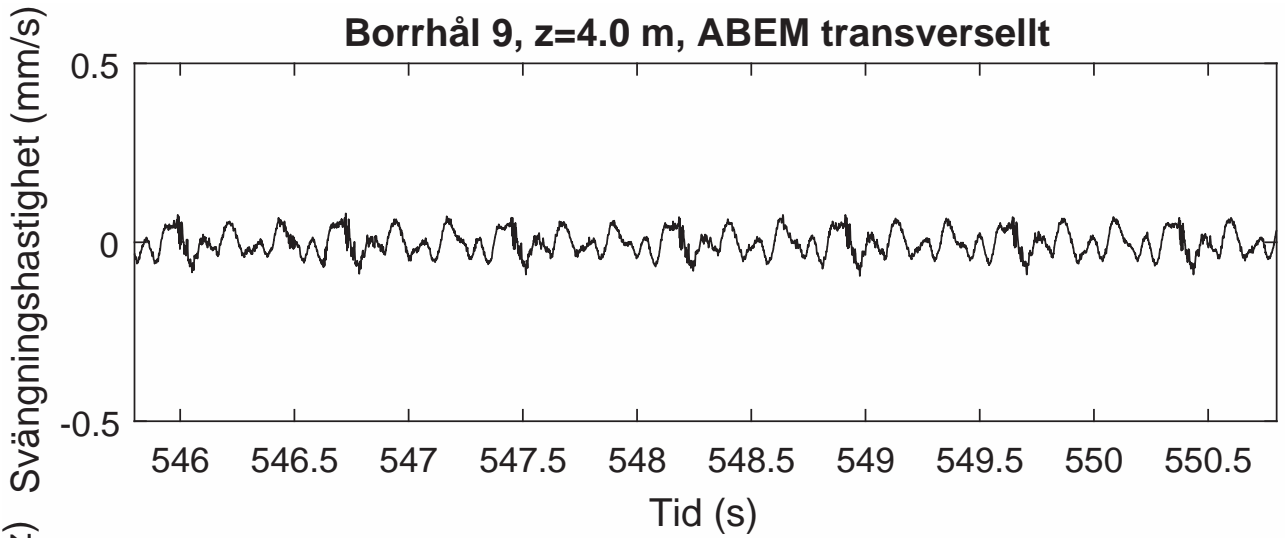
Borrhål 9, z=3.5 m, ABEM vertikalt



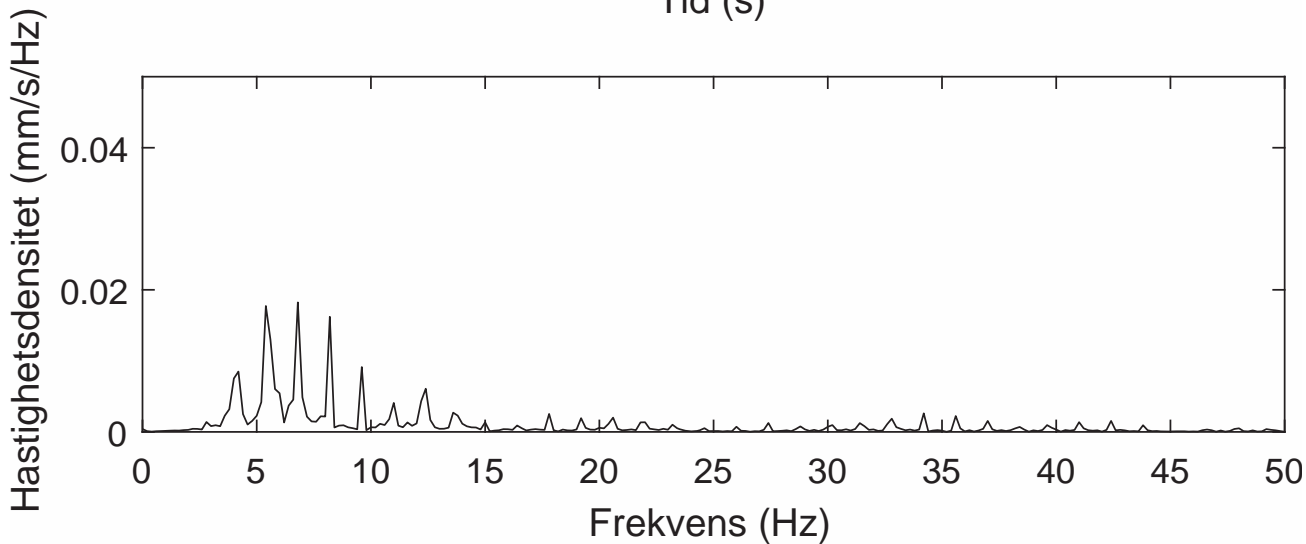
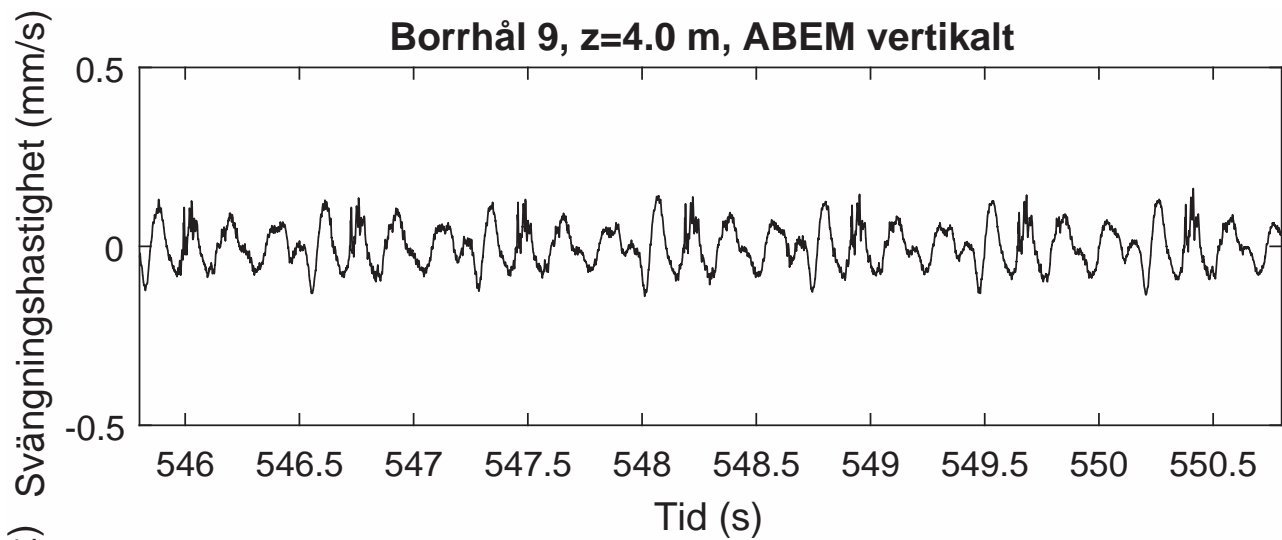
Borrhål 9, z=4.0 m, ABEM radiellt



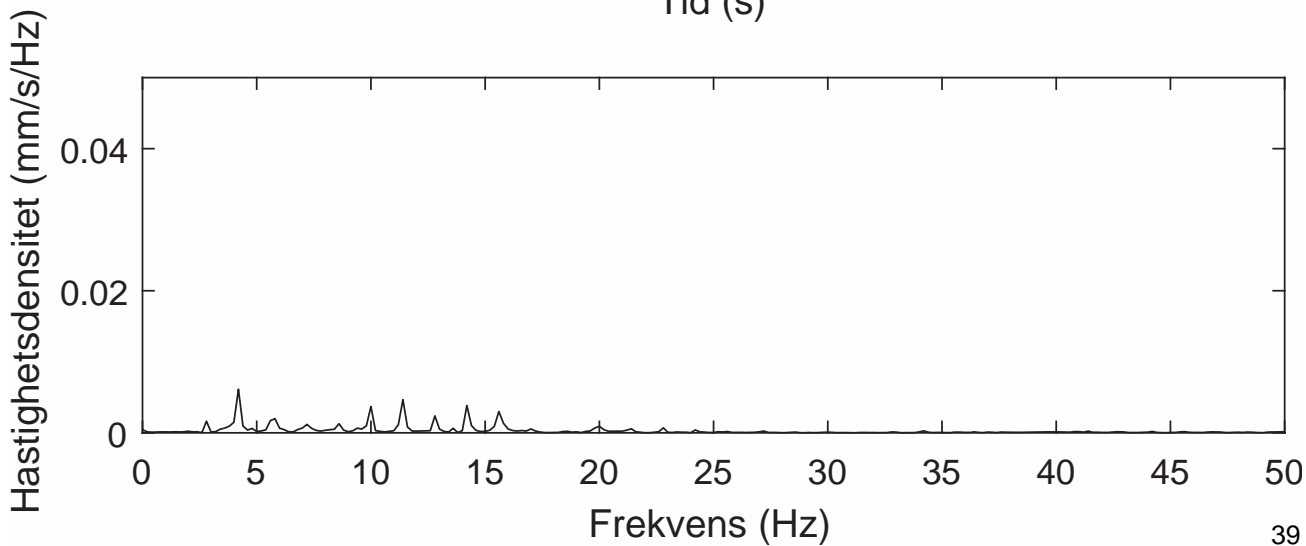
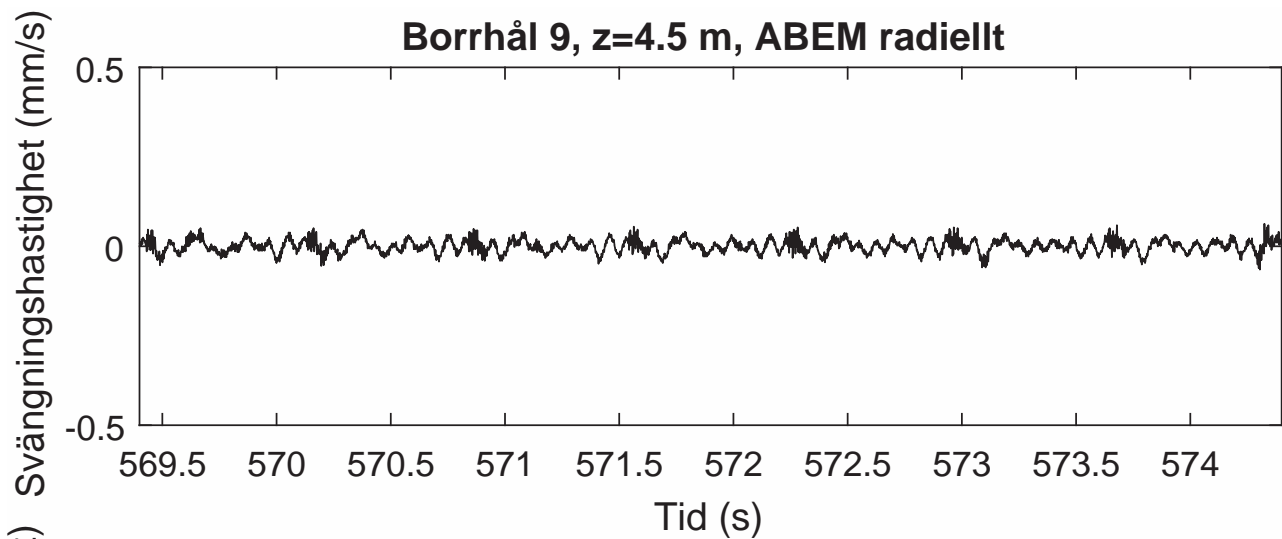
Borrhål 9, z=4.0 m, ABEM transversellt



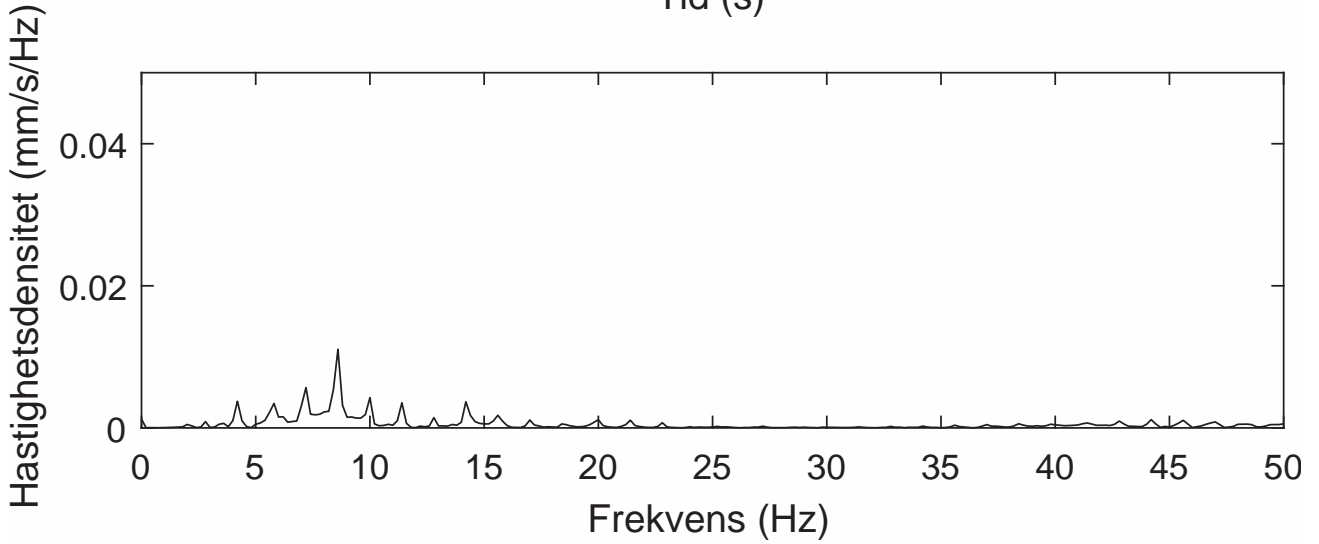
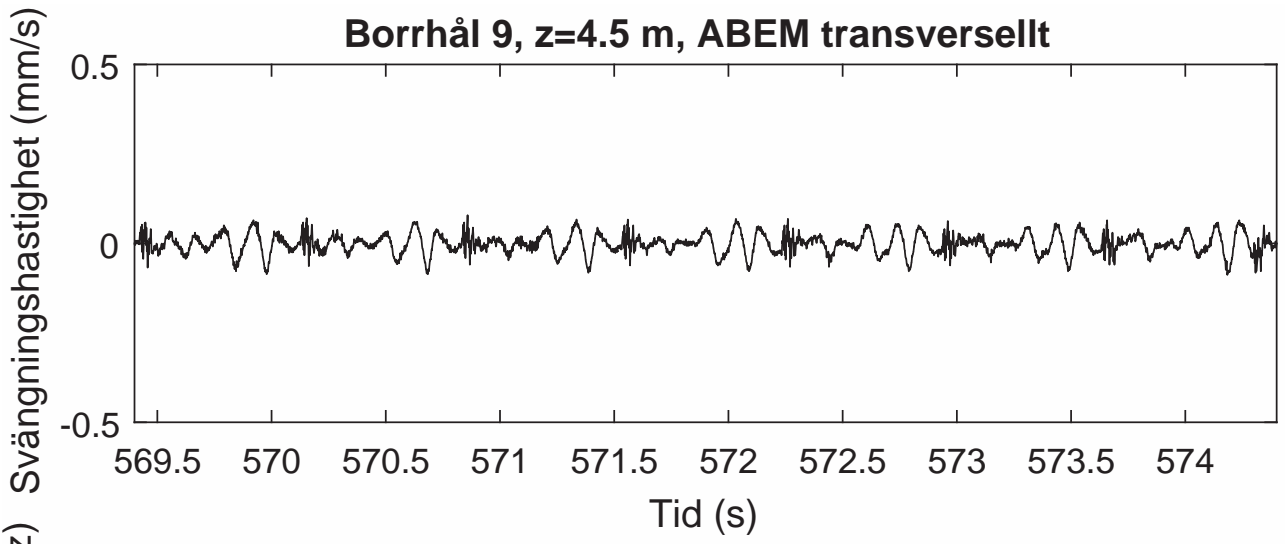
Borrhål 9, z=4.0 m, ABEM vertikalt



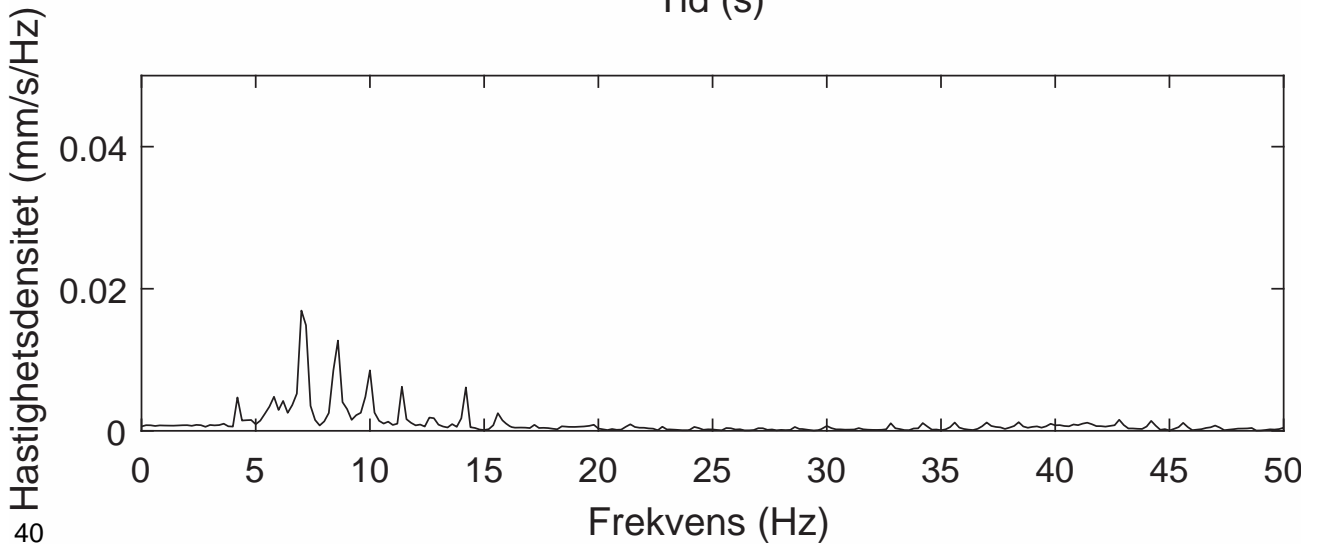
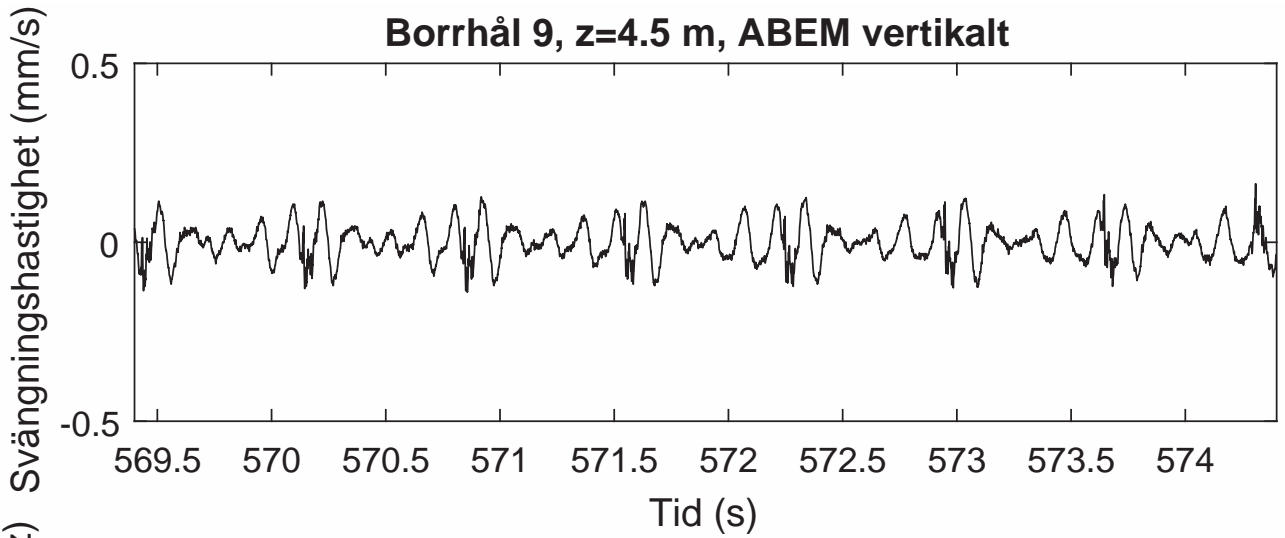
Borrhål 9, z=4.5 m, ABEM radiellt



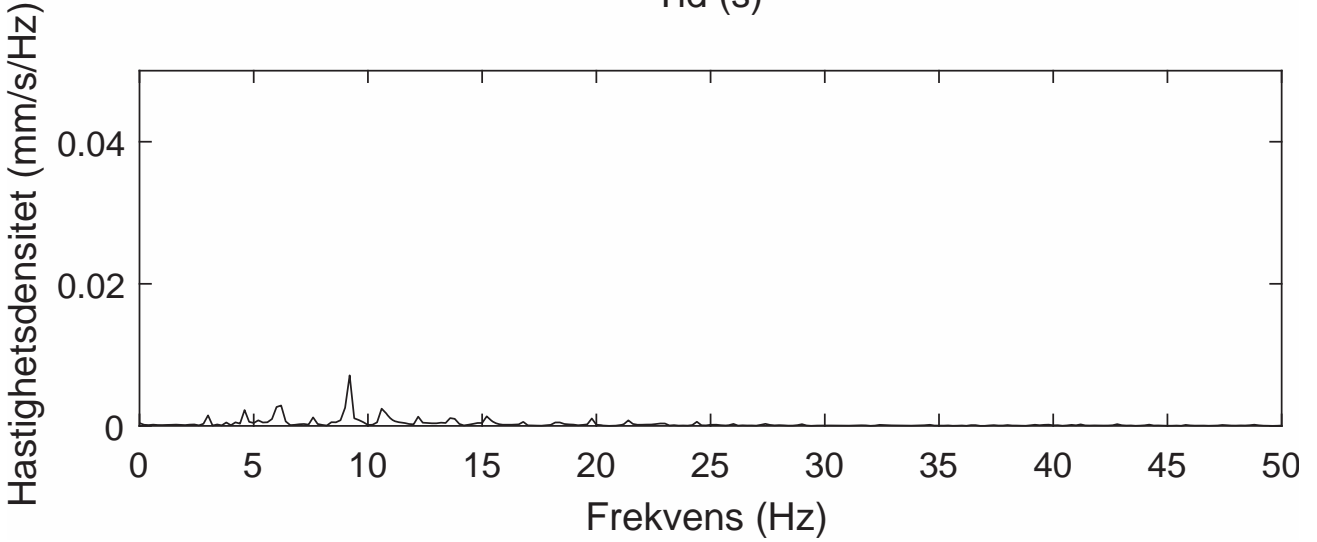
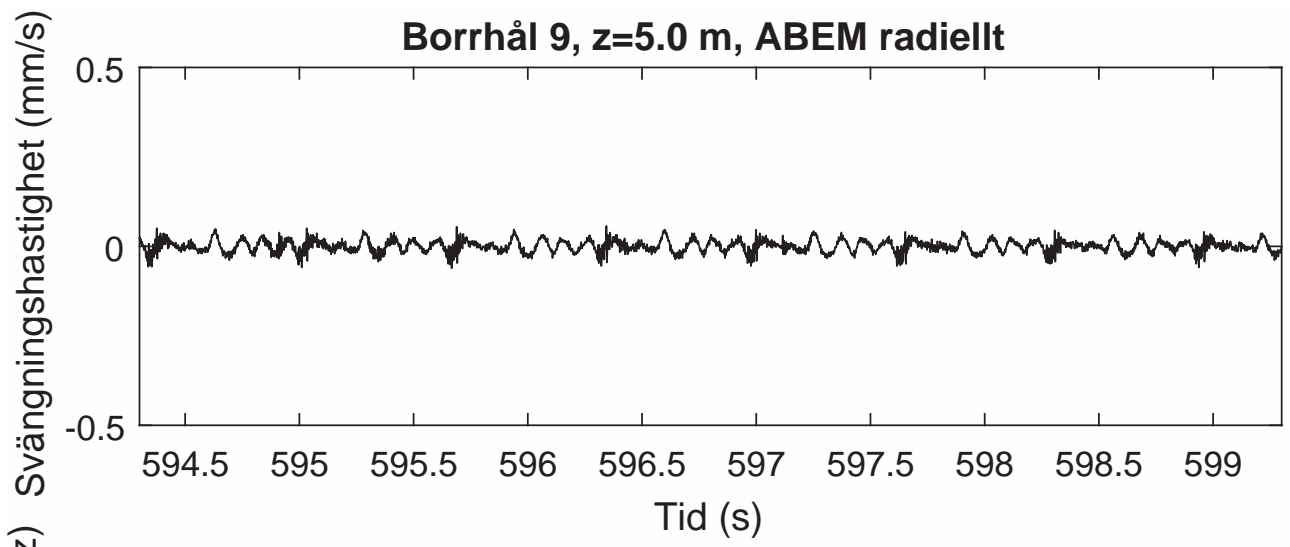
Borrhål 9, z=4.5 m, ABEM transversellt



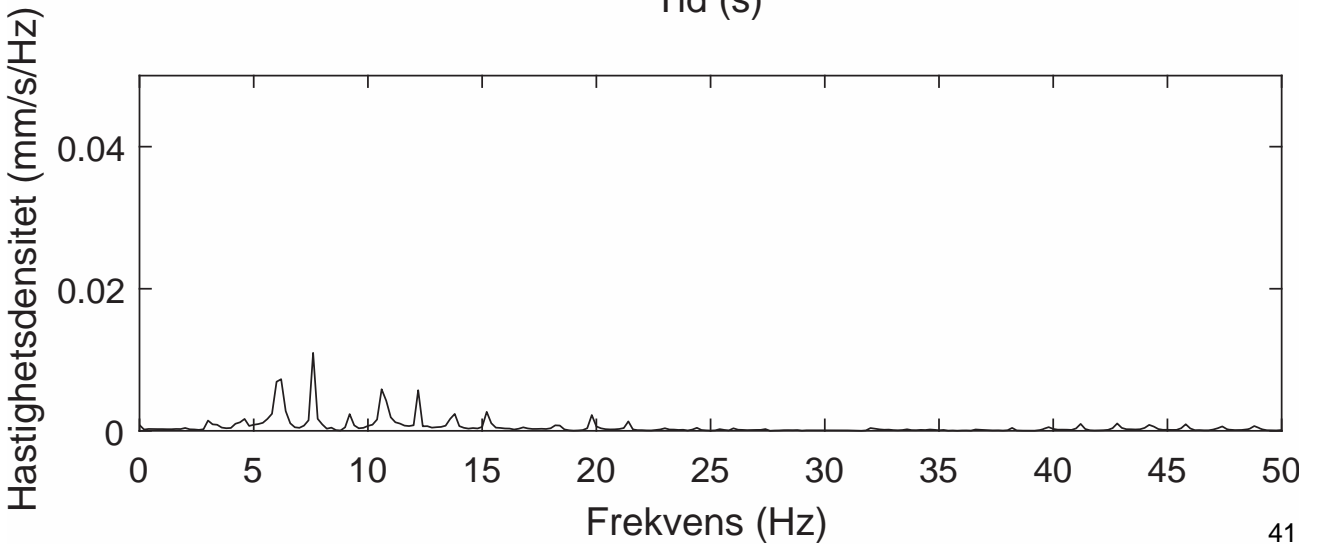
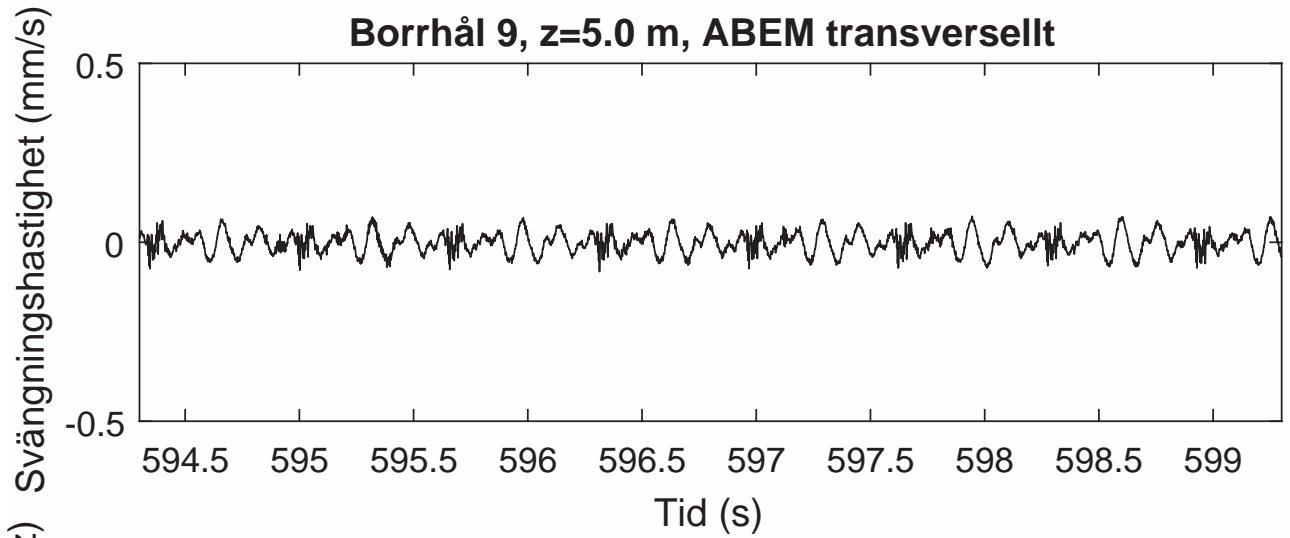
Borrhål 9, z=4.5 m, ABEM vertikalt



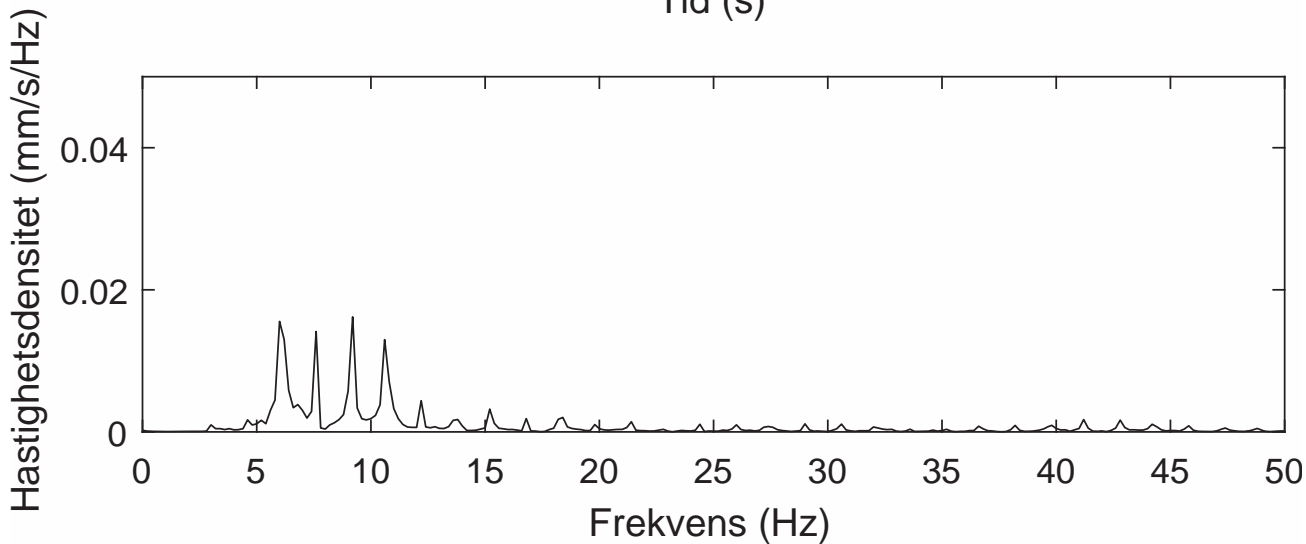
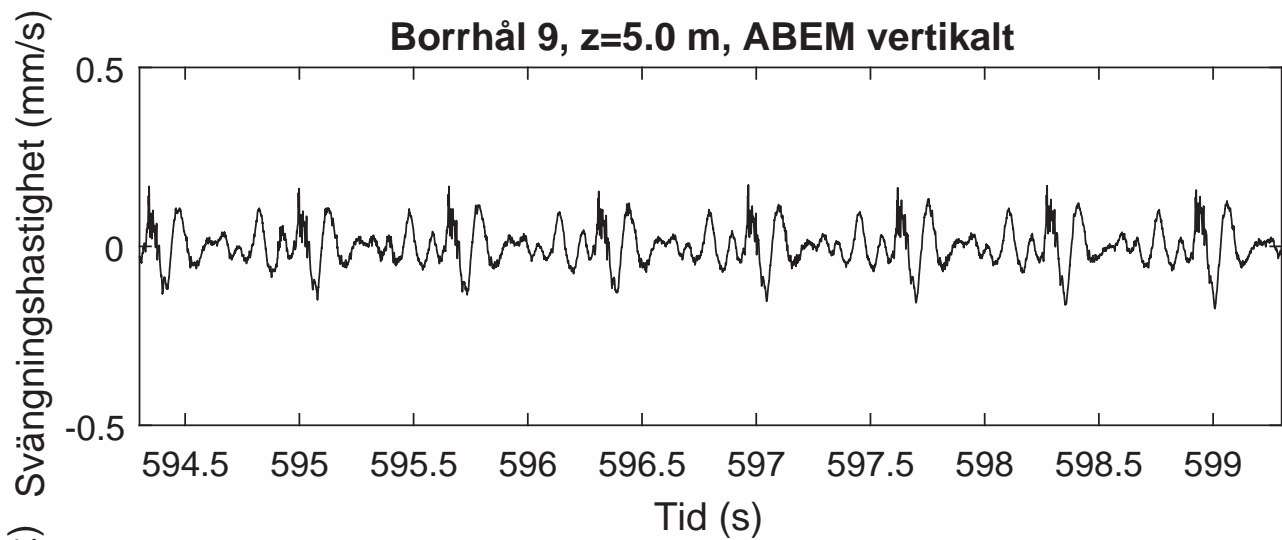
Borrhål 9, z=5.0 m, ABEM radiellt



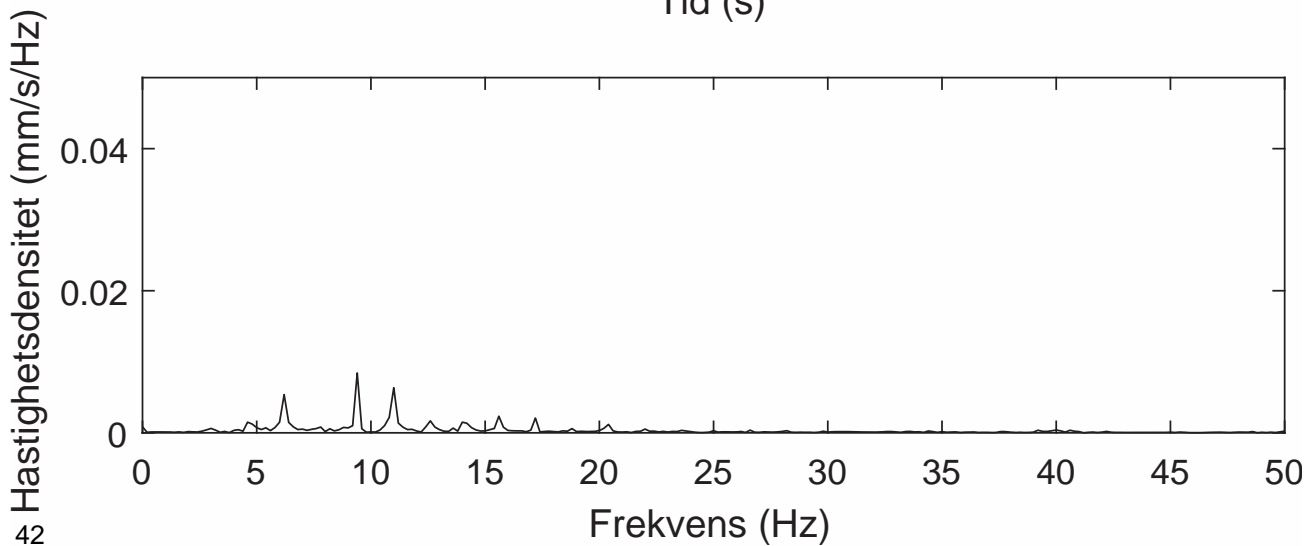
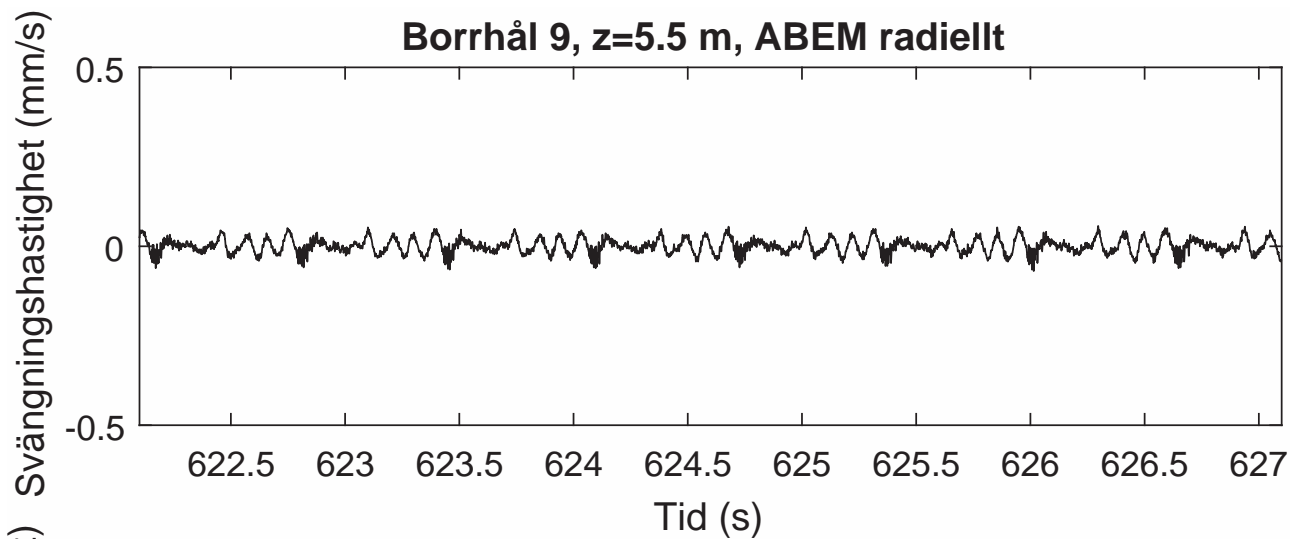
Borrhål 9, z=5.0 m, ABEM transversellt



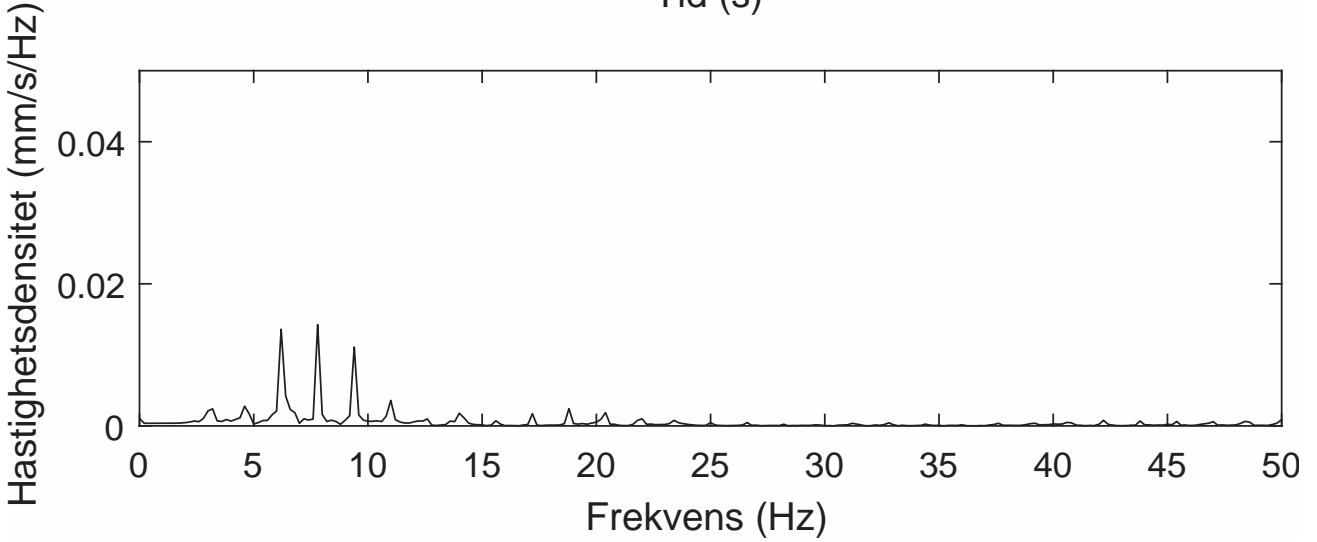
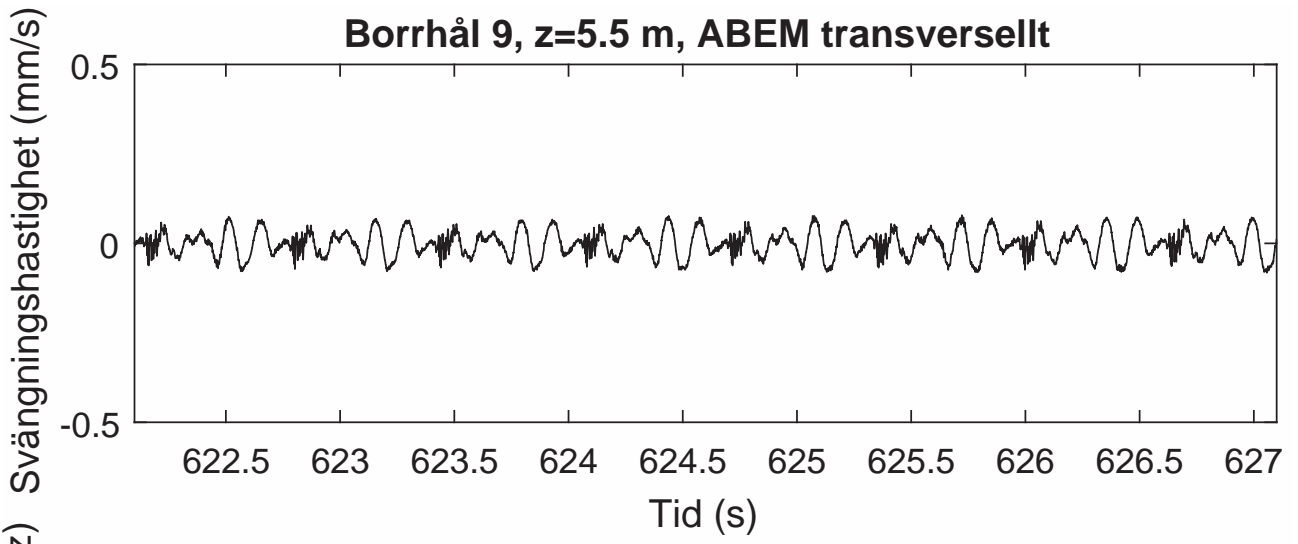
Borrhål 9, z=5.0 m, ABEM vertikalt



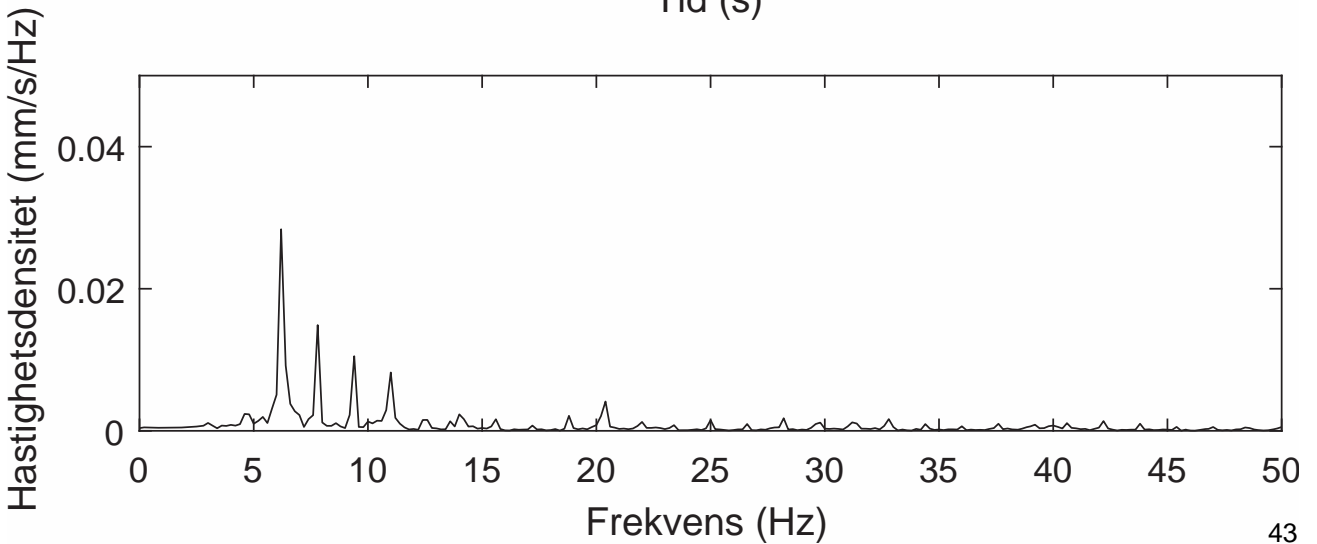
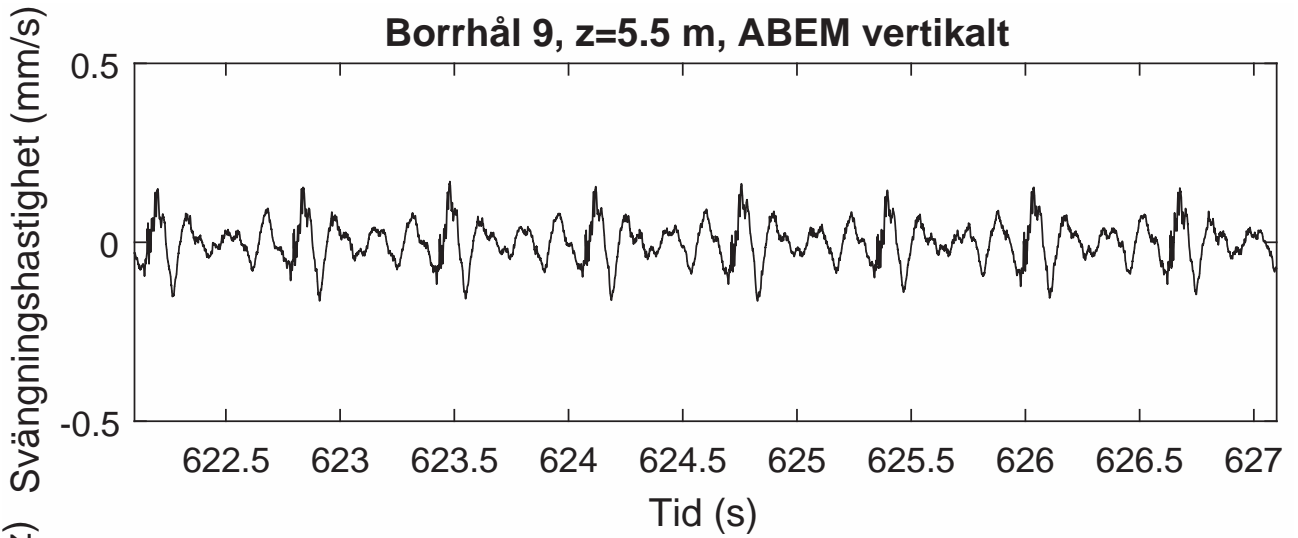
Borrhål 9, z=5.5 m, ABEM radiellt



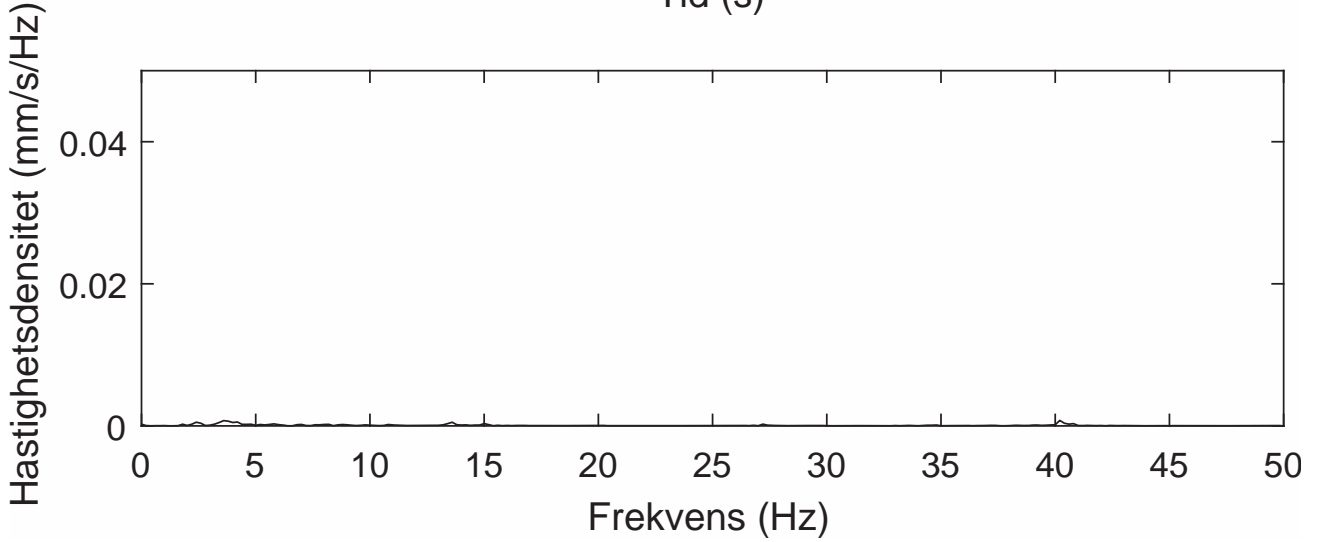
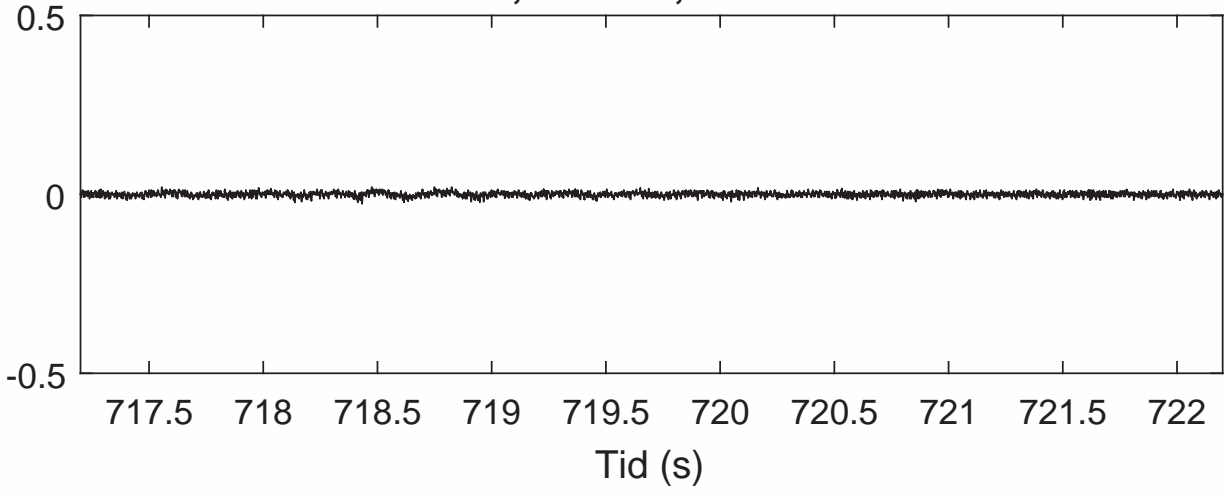
Borrhål 9, z=5.5 m, ABEM transversellt



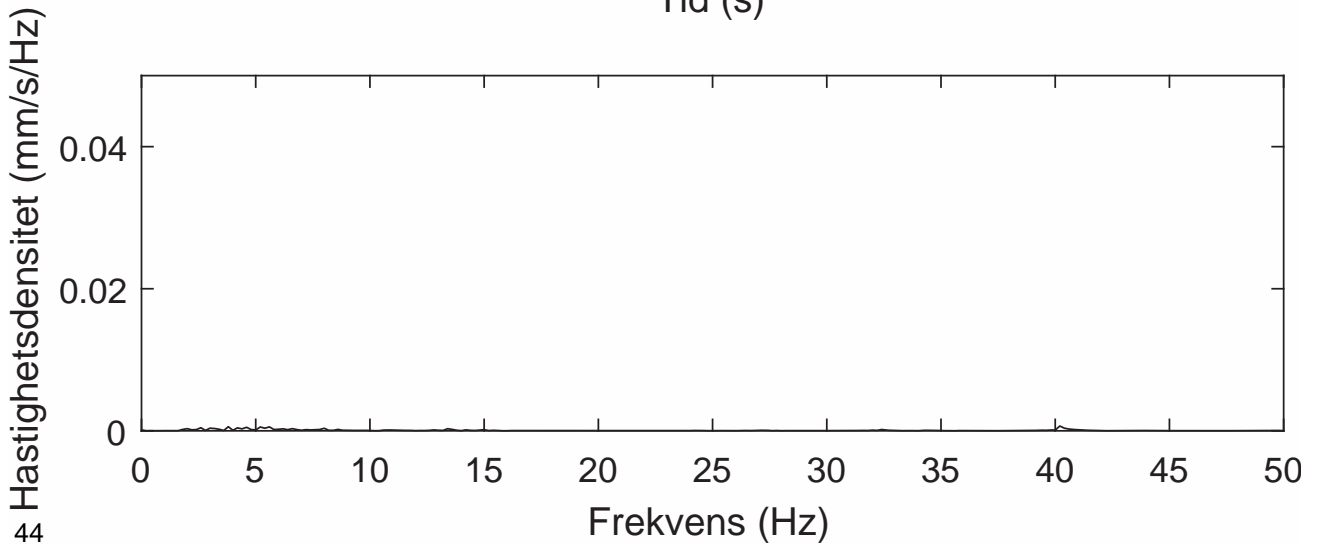
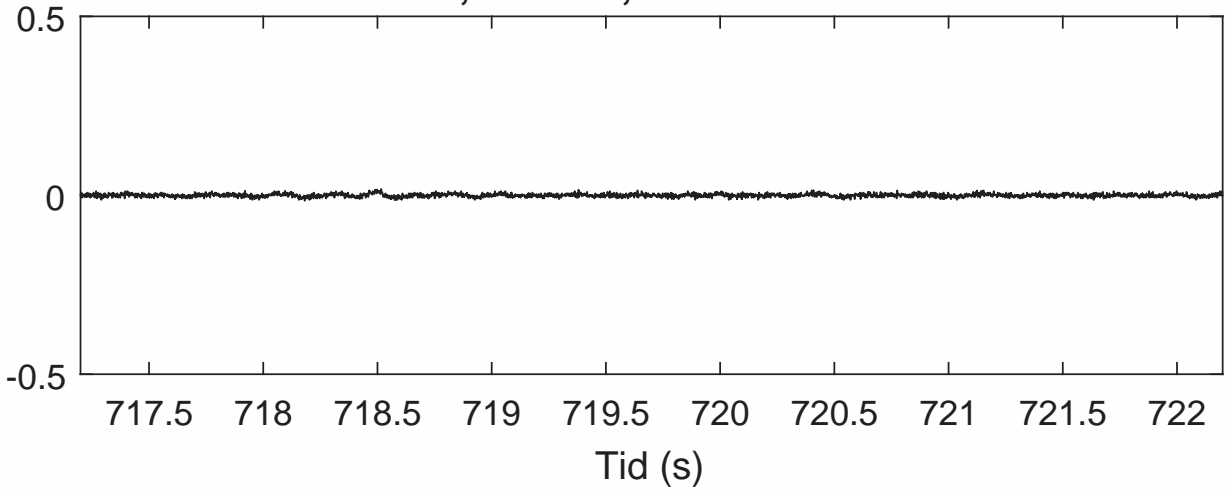
Borrhål 9, z=5.5 m, ABEM vertikalt



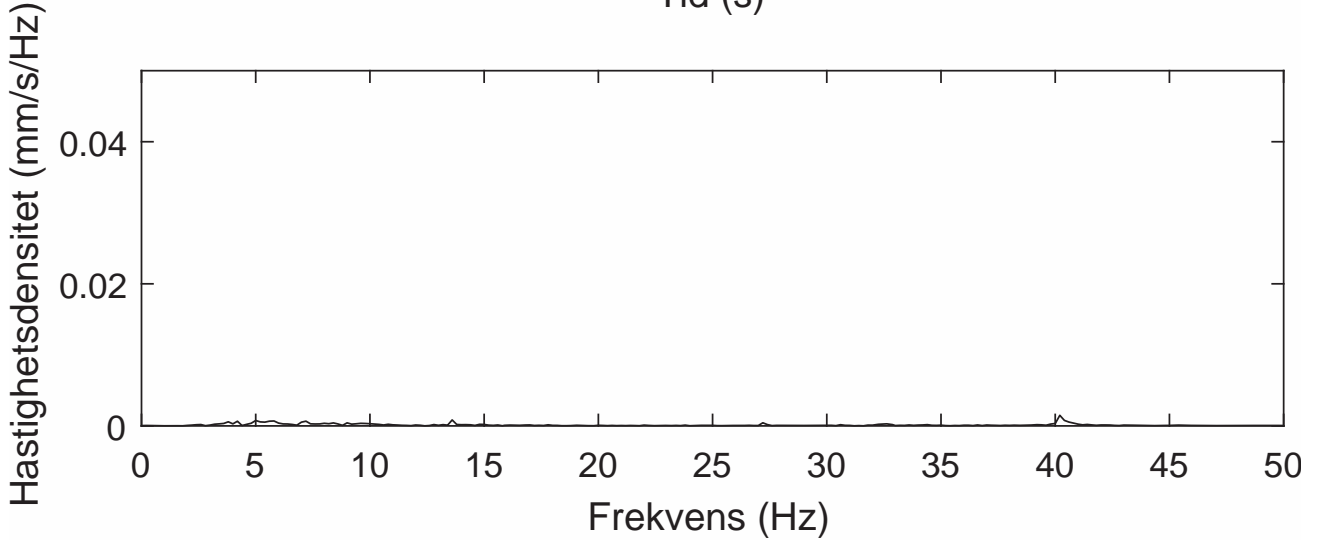
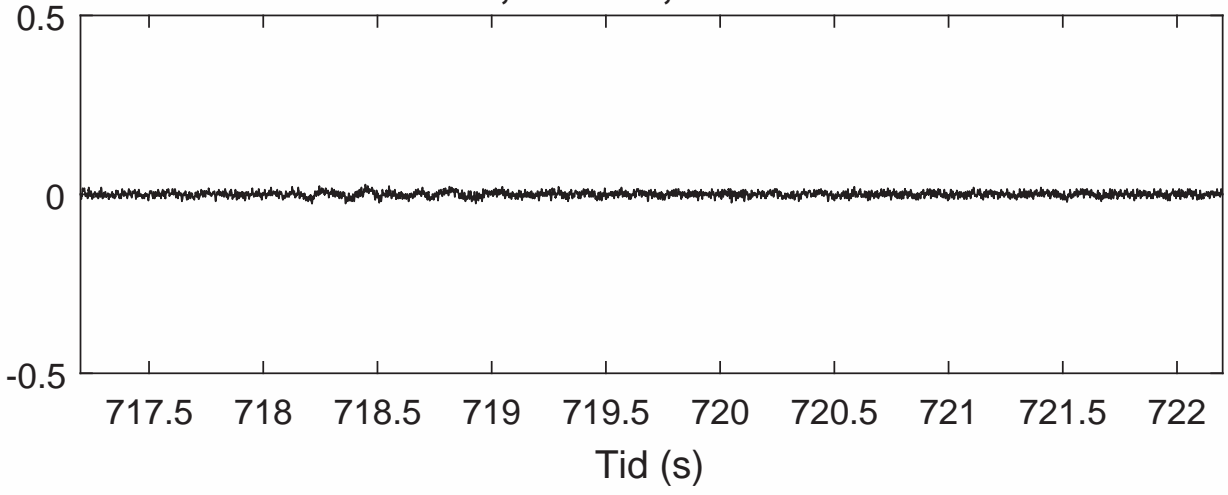
Borrhål 9, z=6.0 m, ABEM radiellt



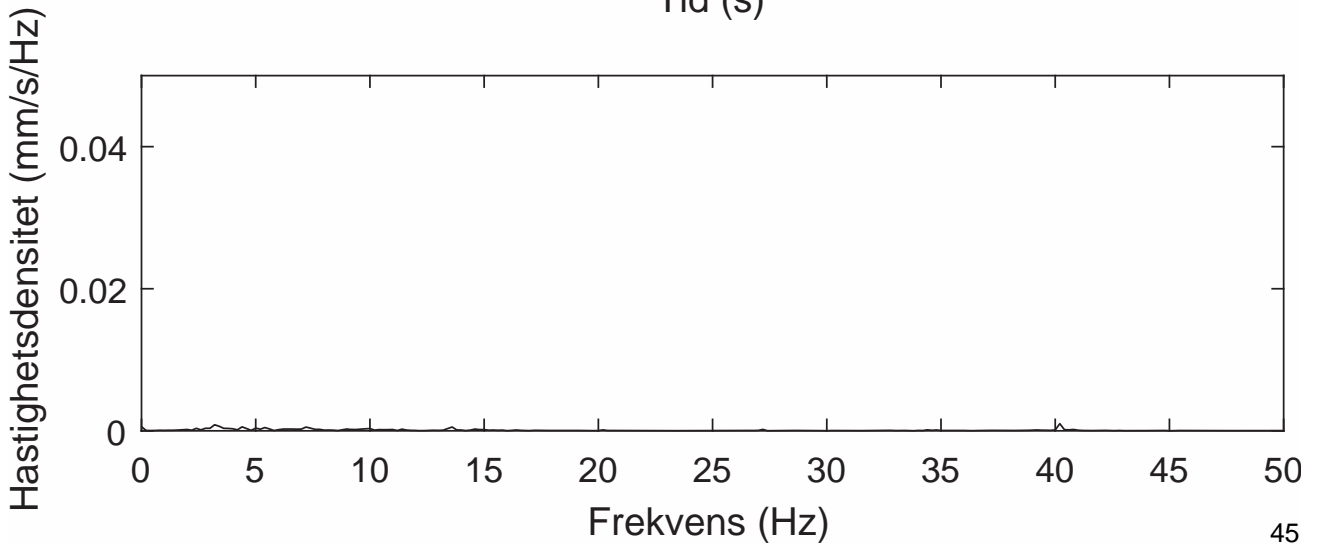
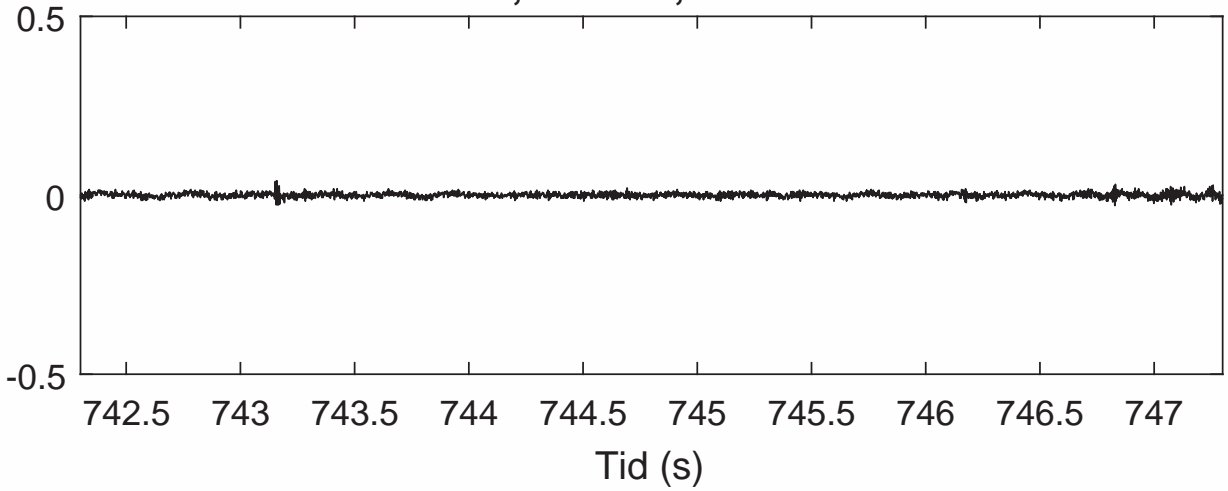
Borrhål 9, z=6.0 m, ABEM transversellt



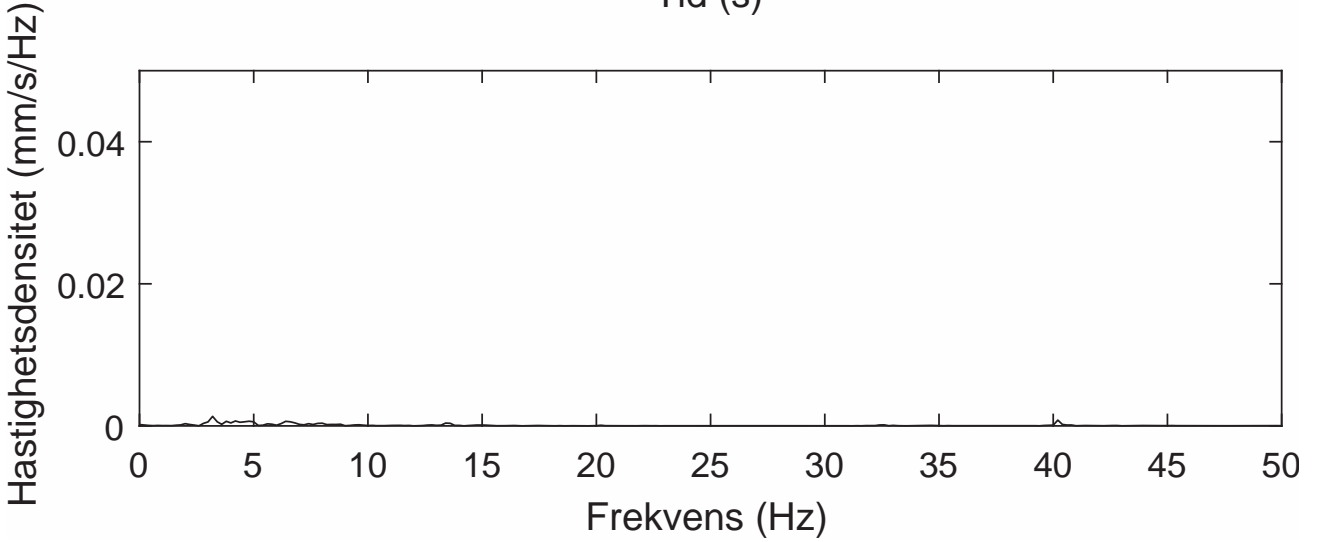
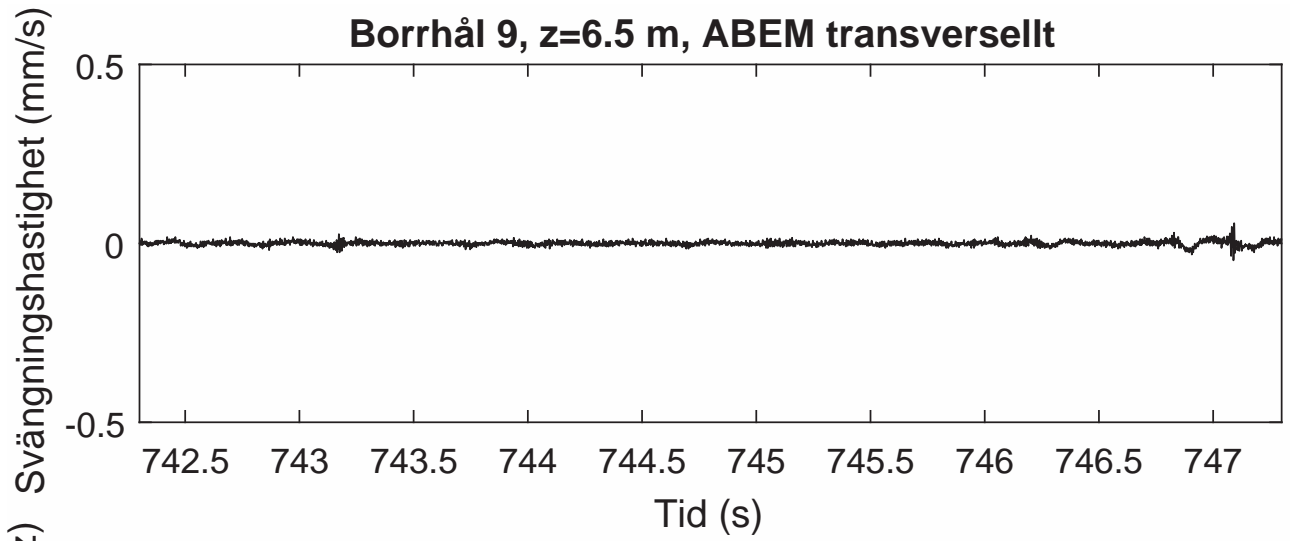
Borrhål 9, z=6.0 m, ABEM vertikalt



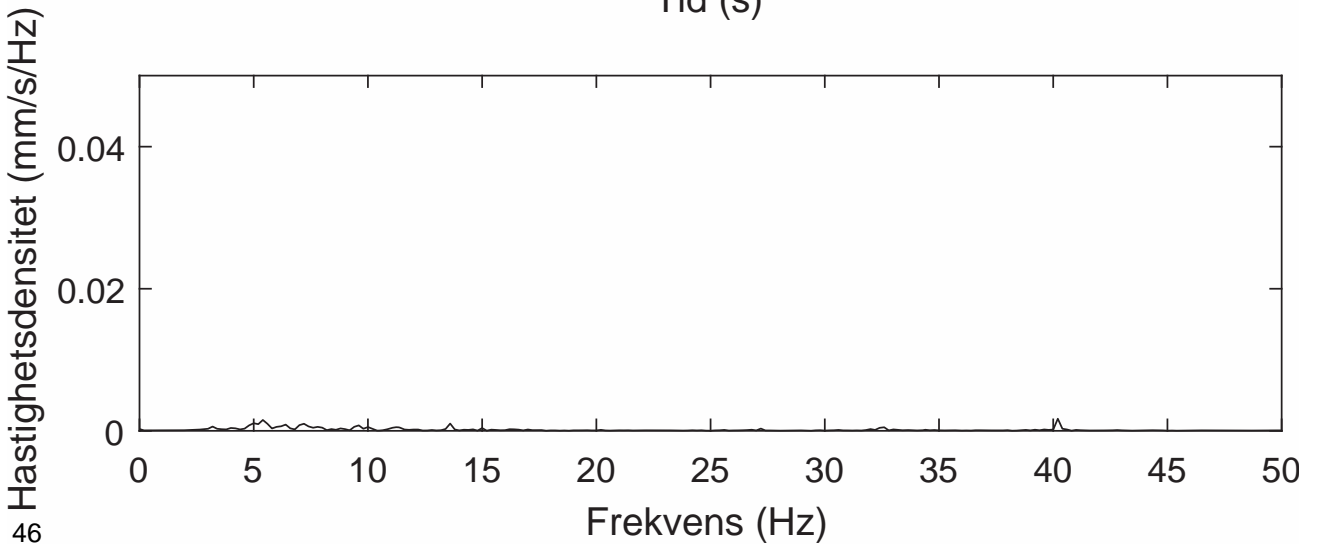
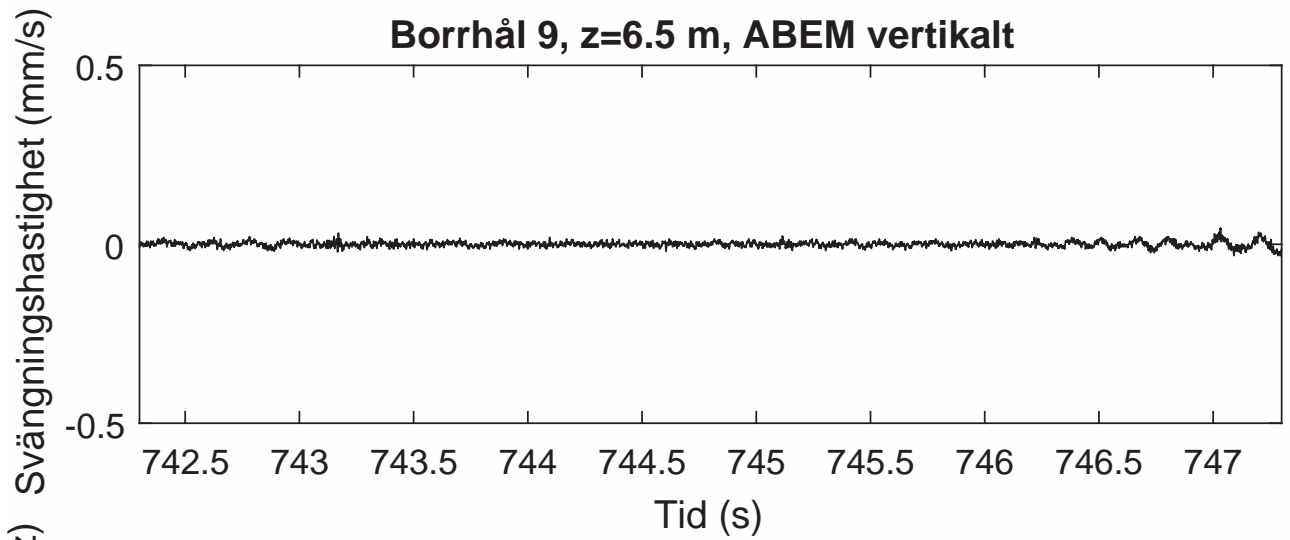
Borrhål 9, z=6.5 m, ABEM radiellt



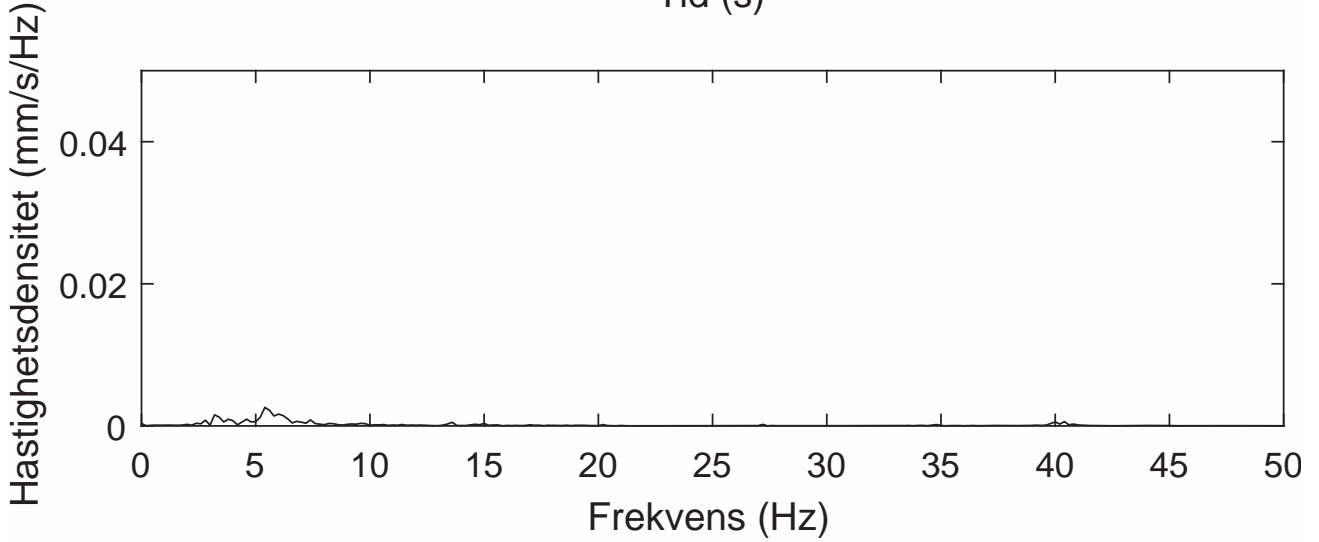
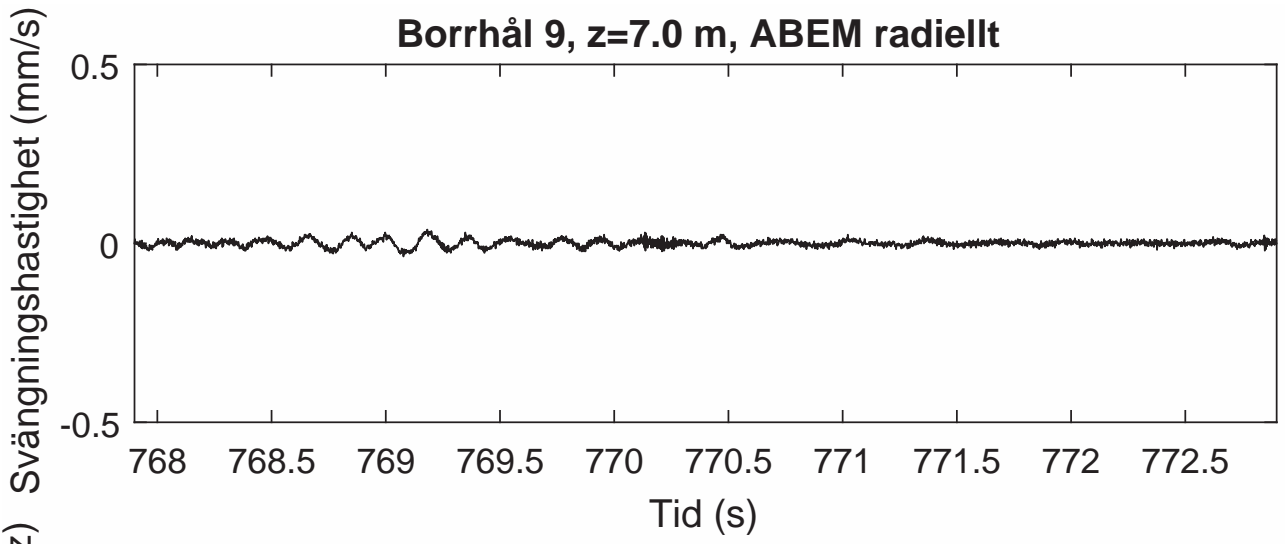
Borrhål 9, z=6.5 m, ABEM transversellt



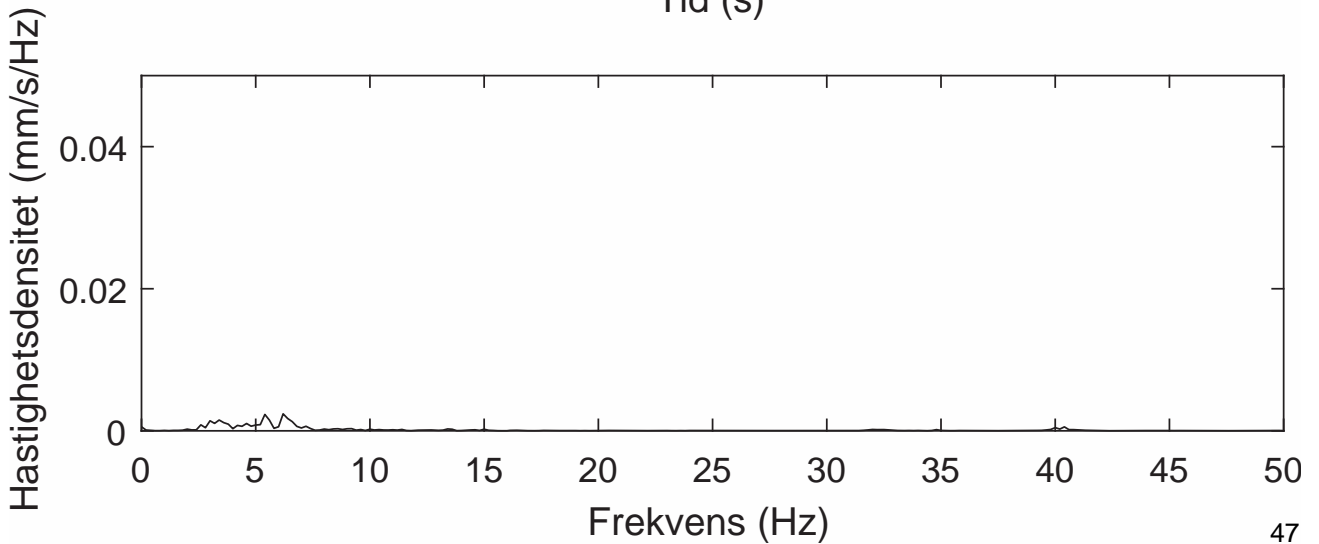
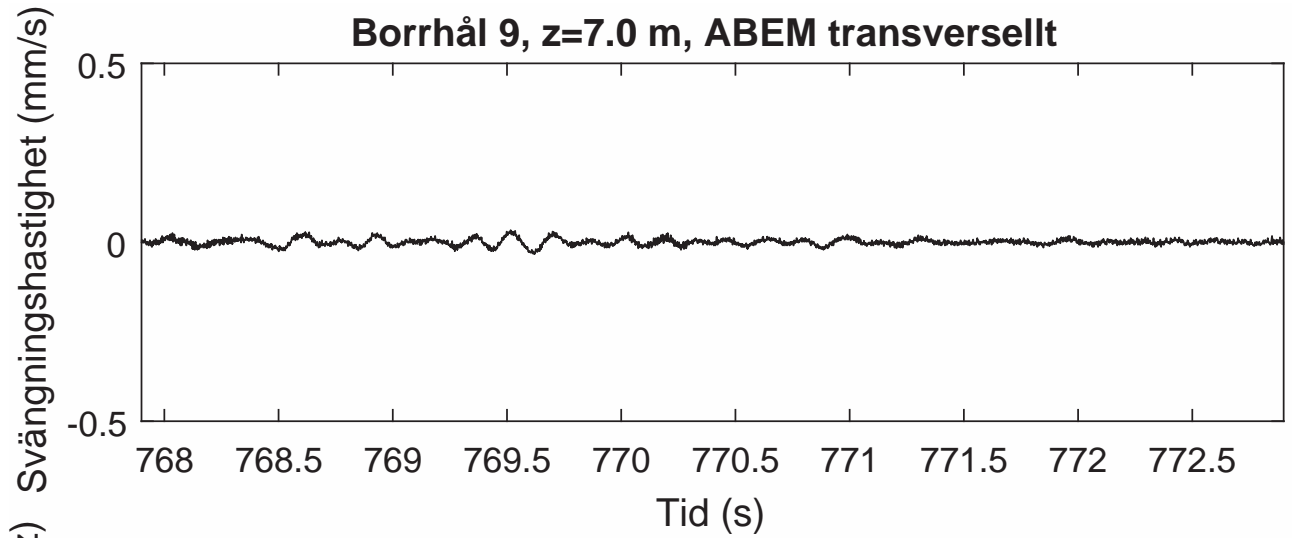
Borrhål 9, z=6.5 m, ABEM vertikalt



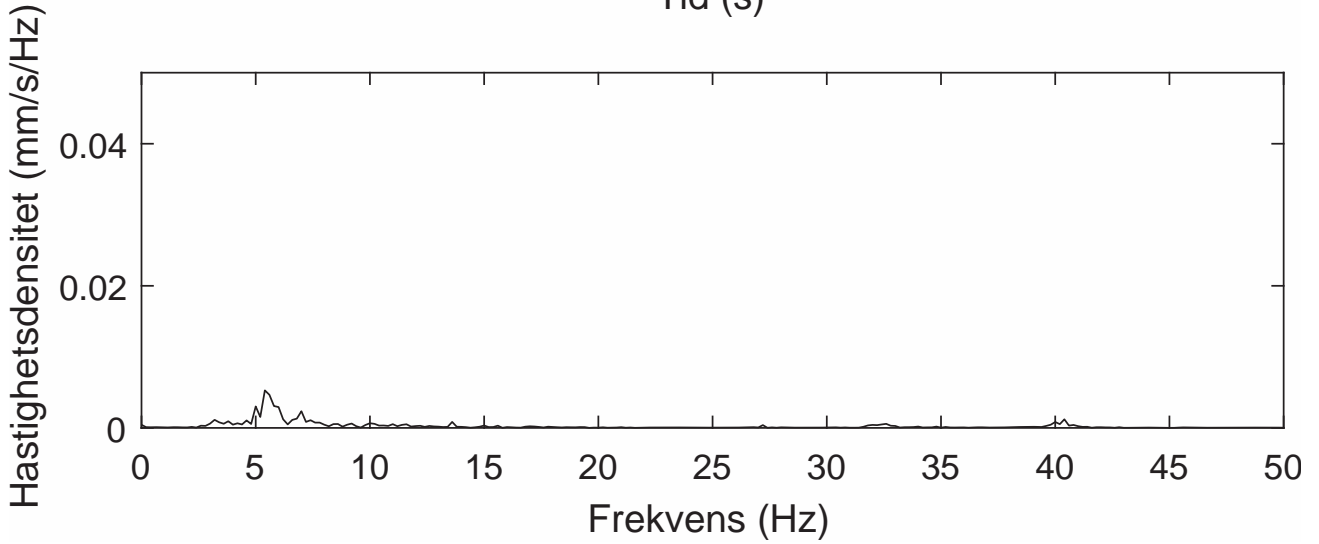
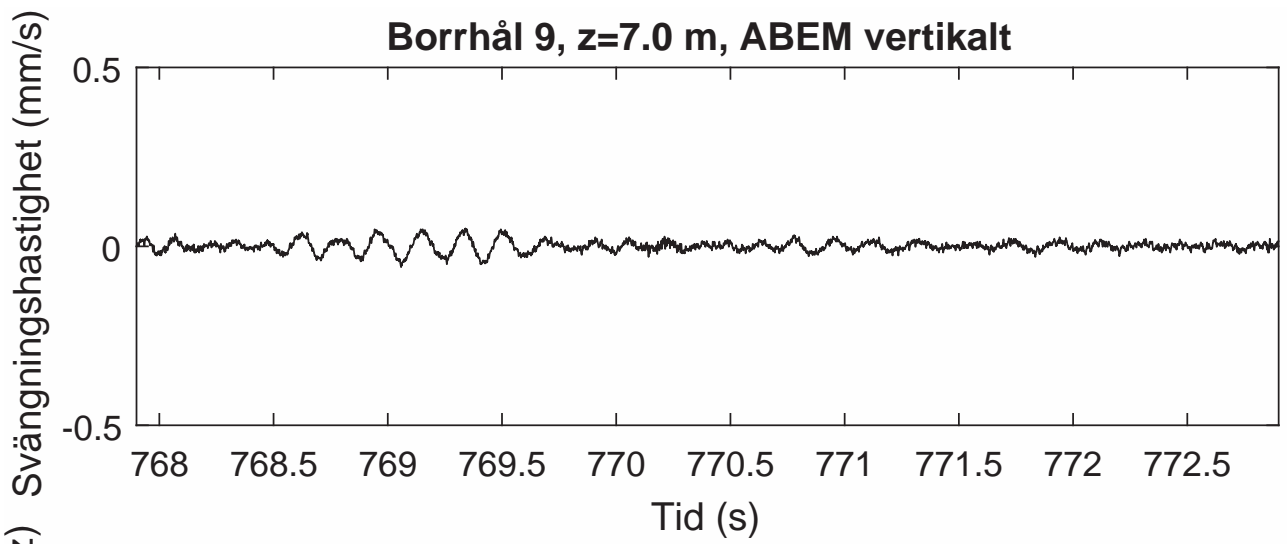
Borrhål 9, z=7.0 m, ABEM radiellt



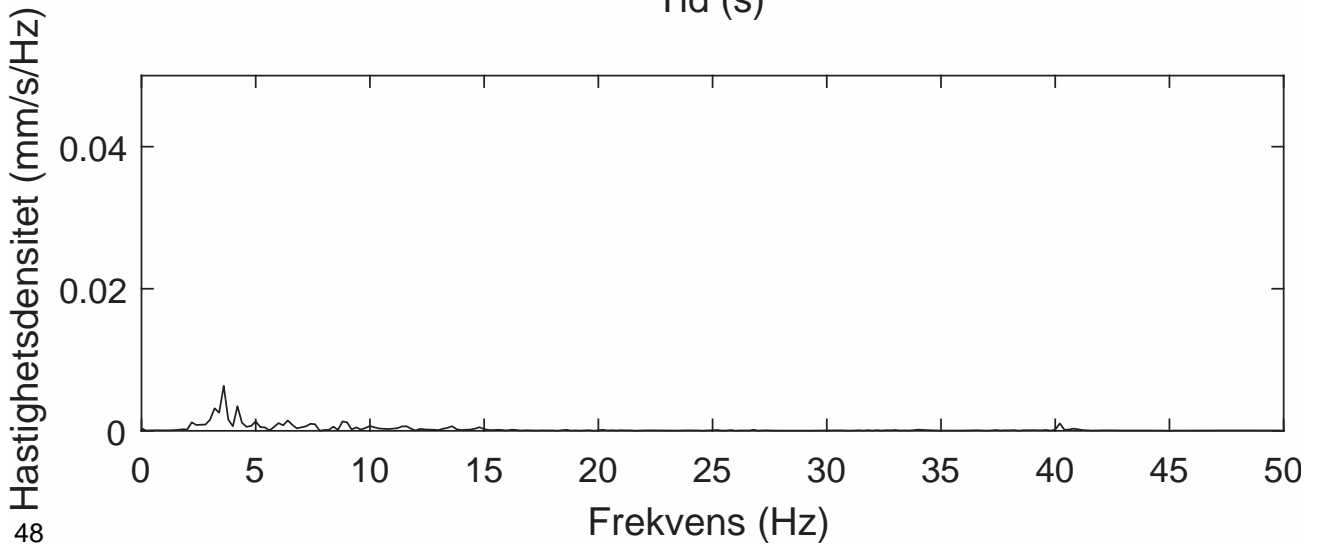
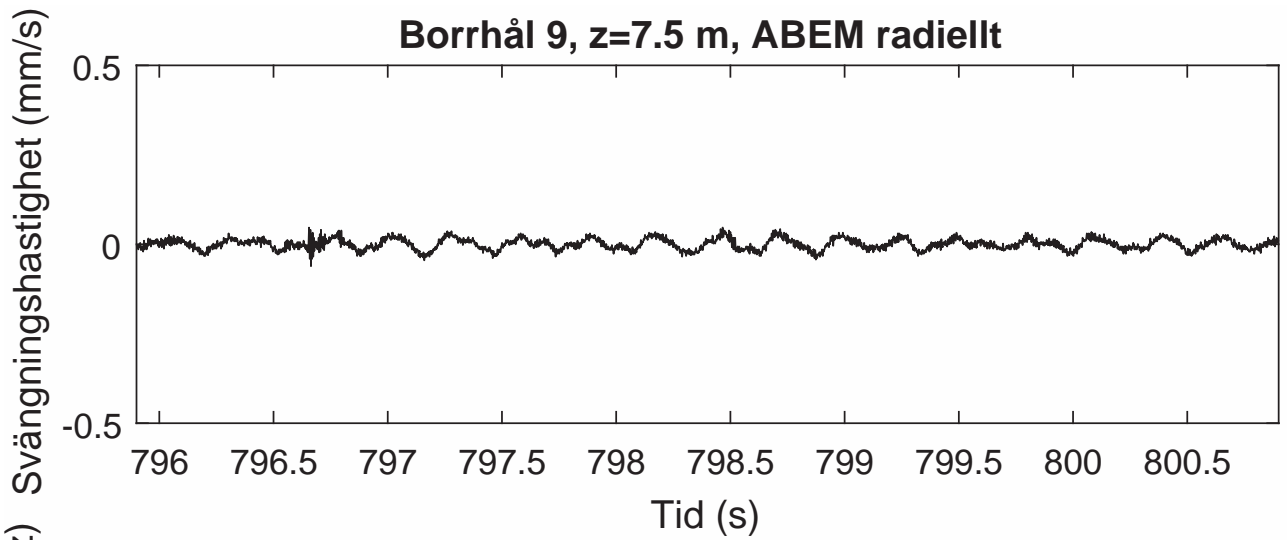
Borrhål 9, z=7.0 m, ABEM transversellt



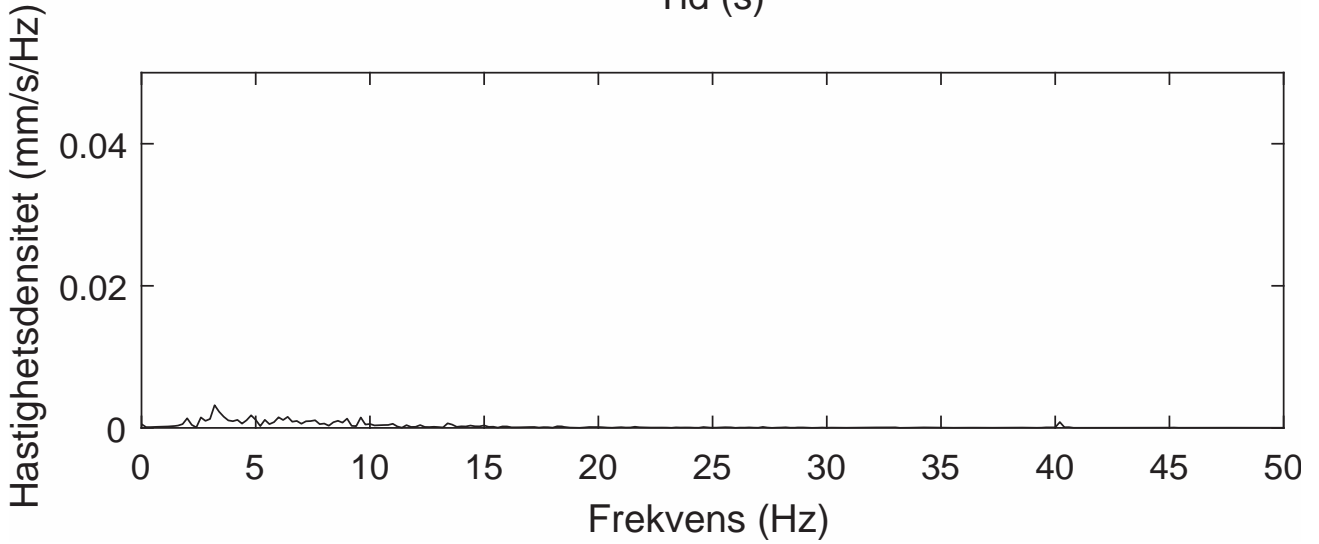
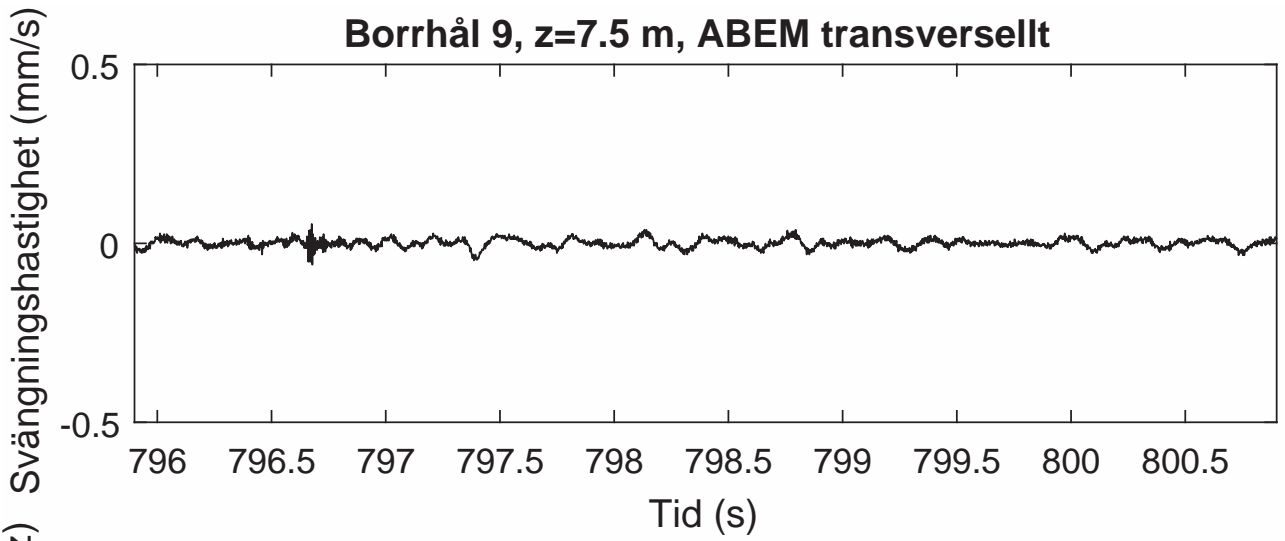
Borrhål 9, z=7.0 m, ABEM vertikalt



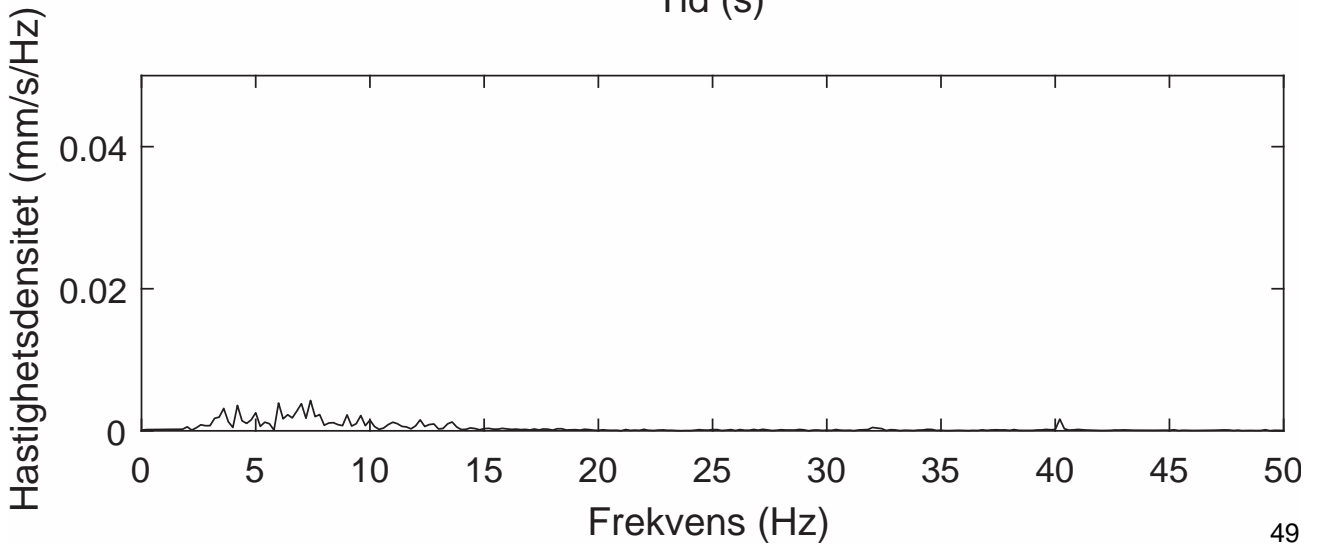
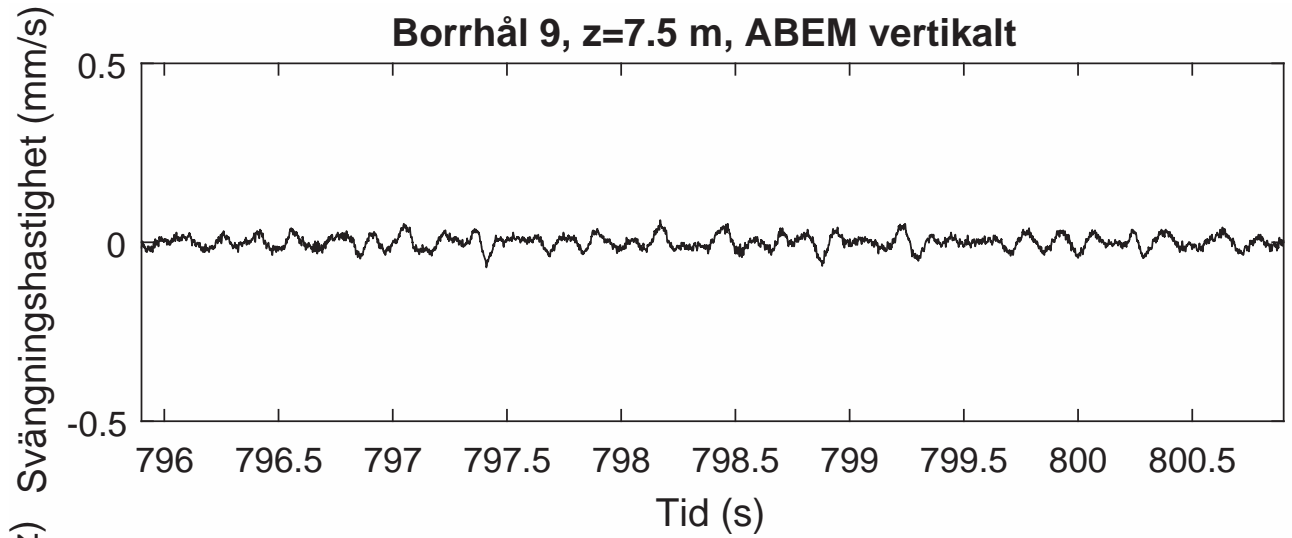
Borrhål 9, z=7.5 m, ABEM radiellt



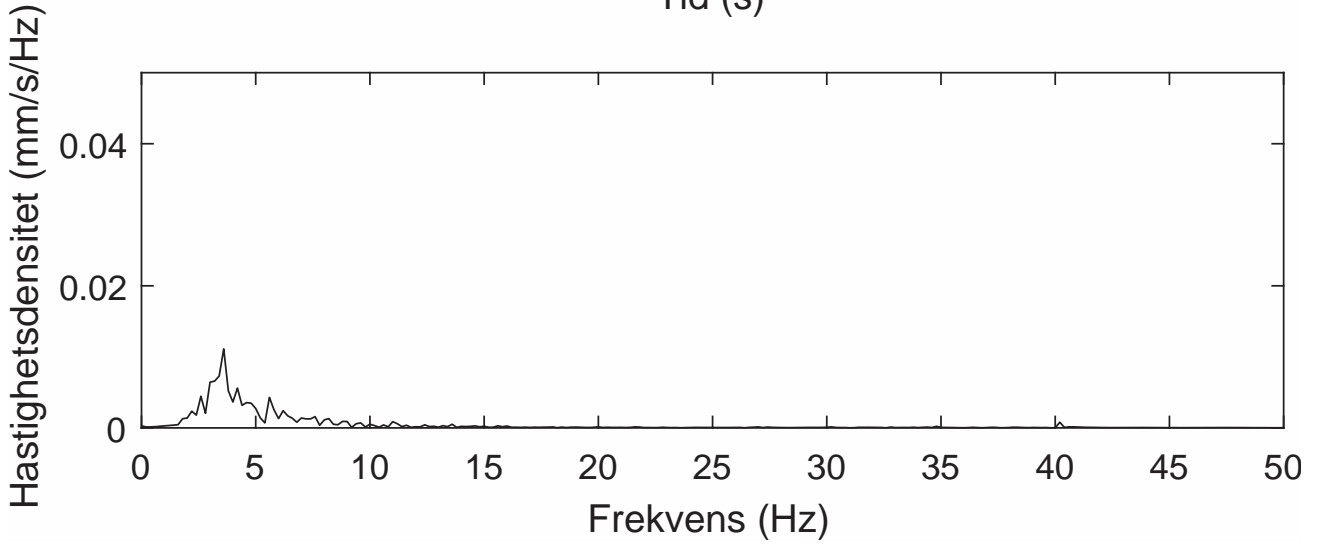
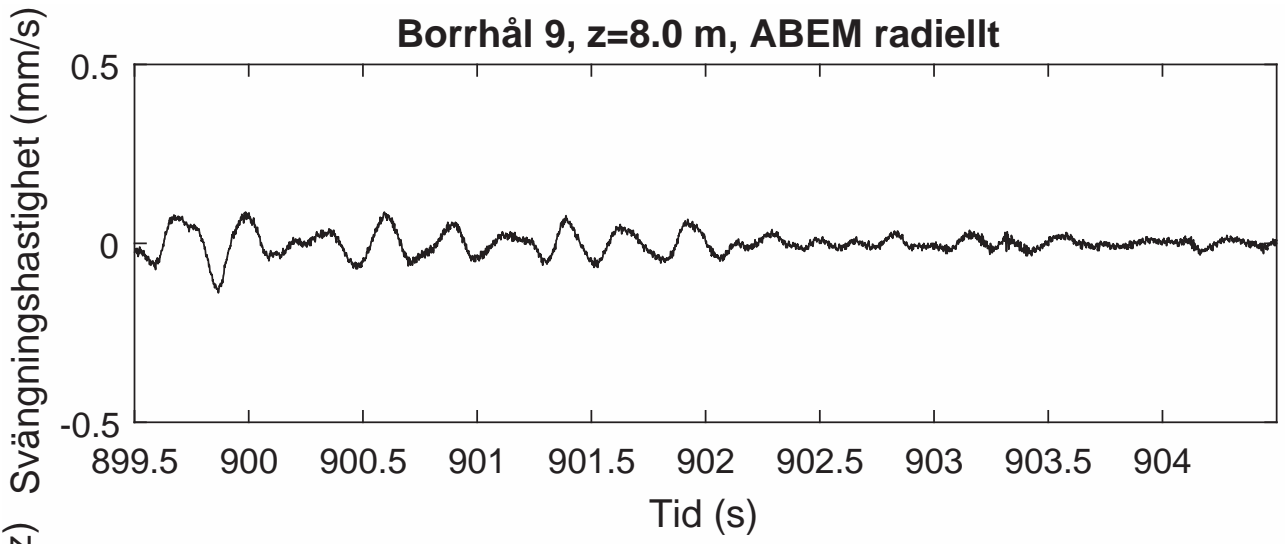
Borrhål 9, z=7.5 m, ABEM transversellt



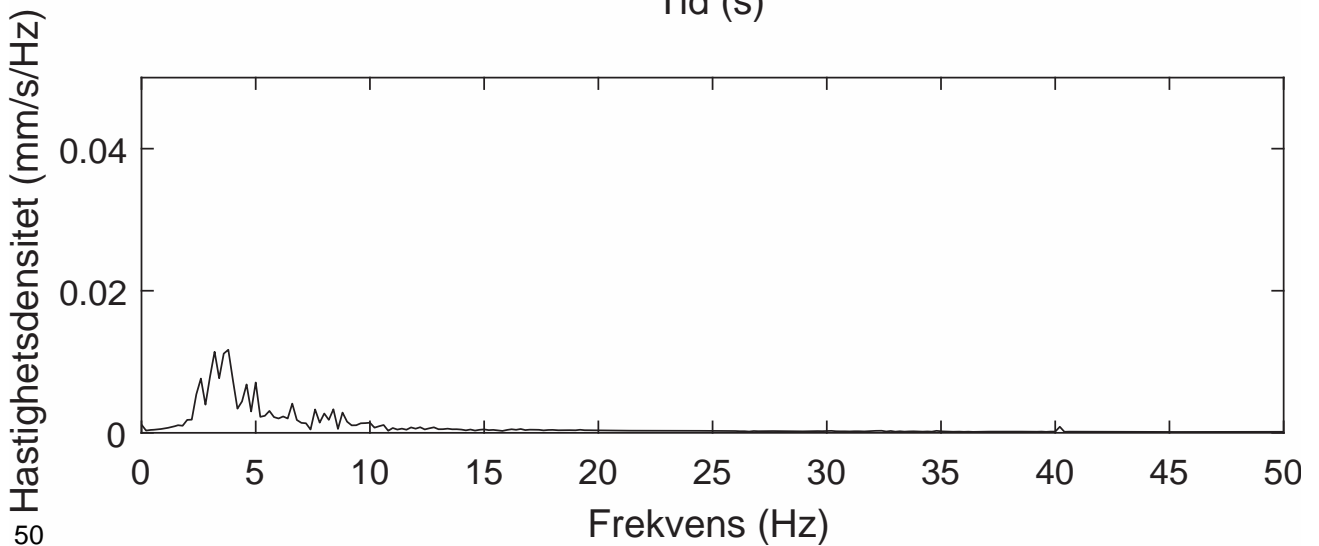
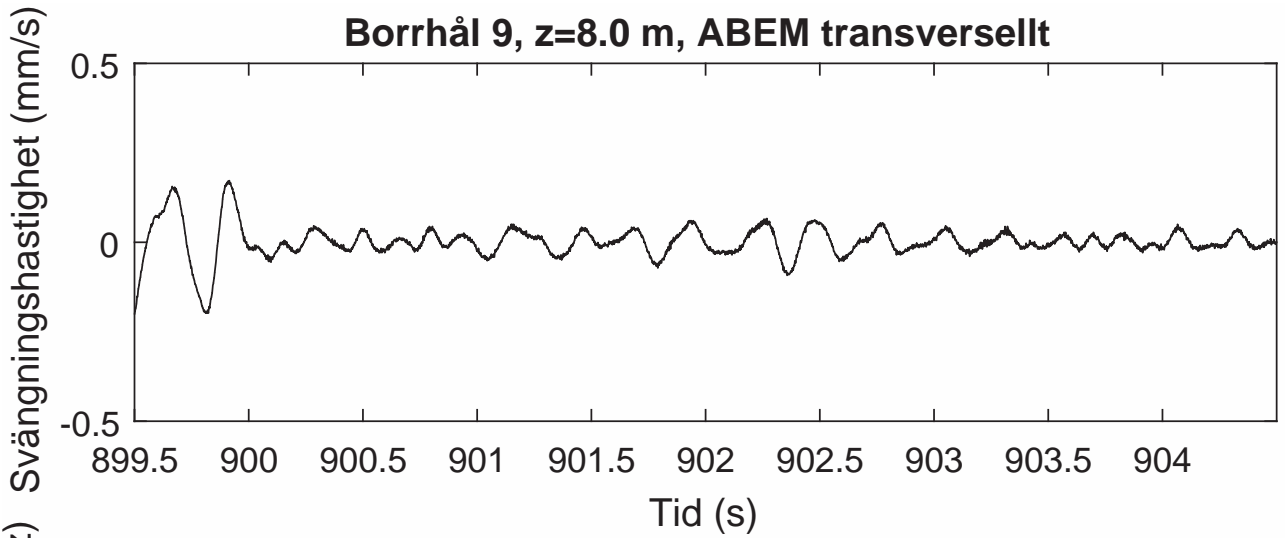
Borrhål 9, z=7.5 m, ABEM vertikalt



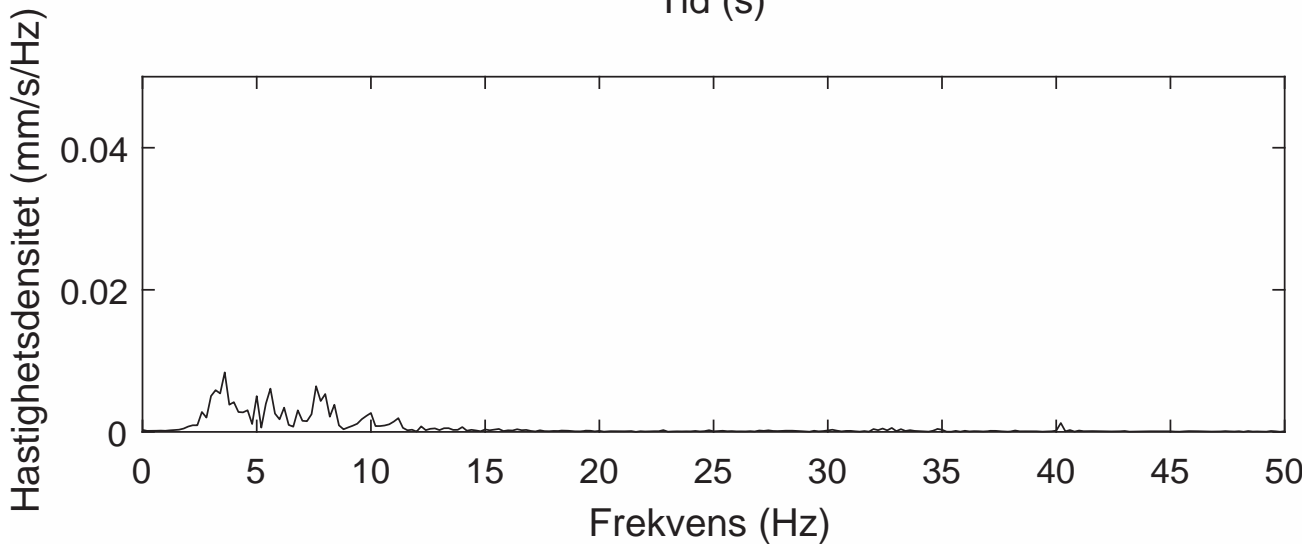
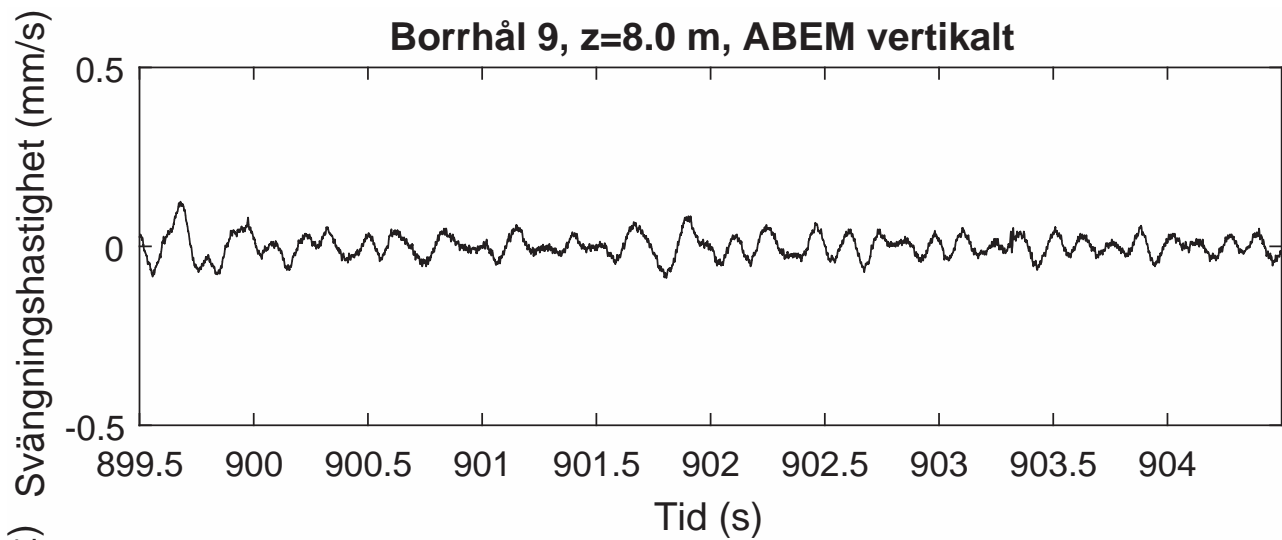
Borrhål 9, z=8.0 m, ABEM radiellt



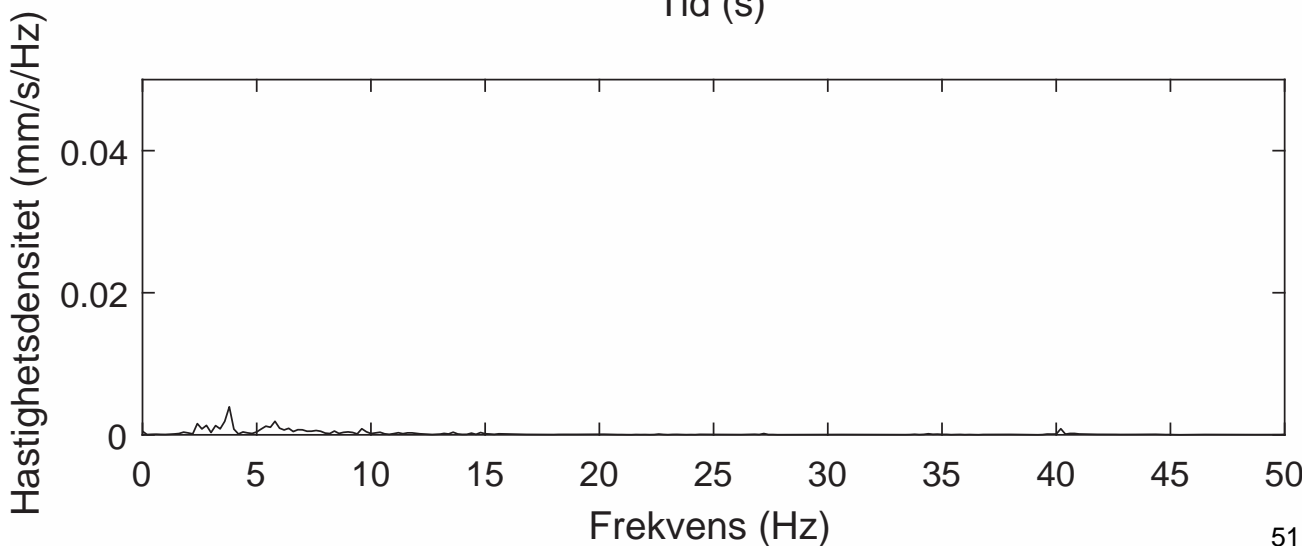
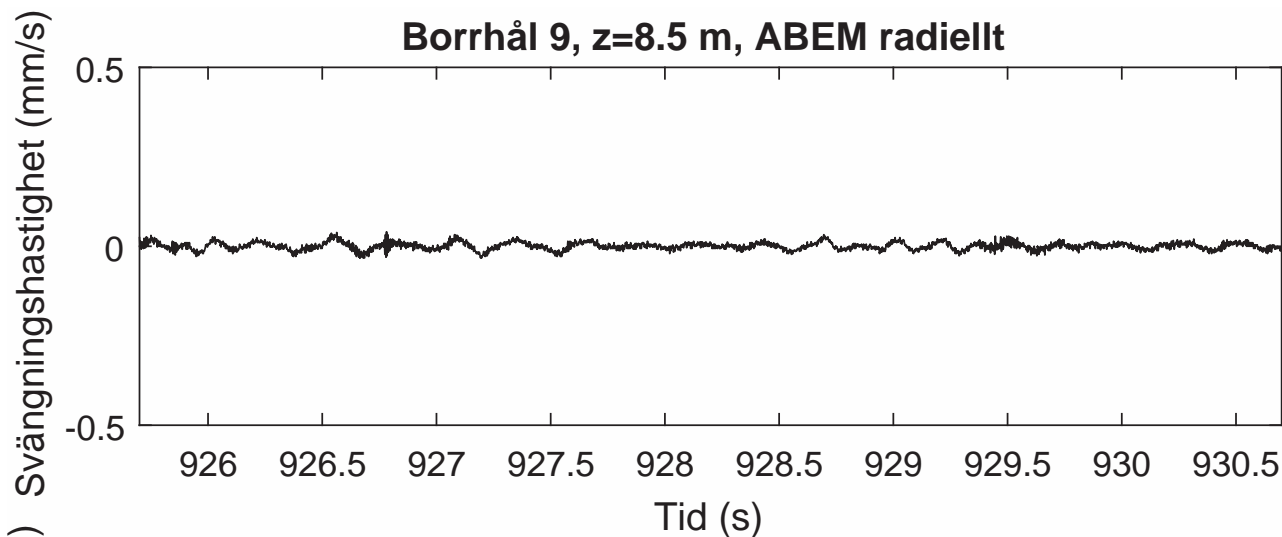
Borrhål 9, z=8.0 m, ABEM transversellt



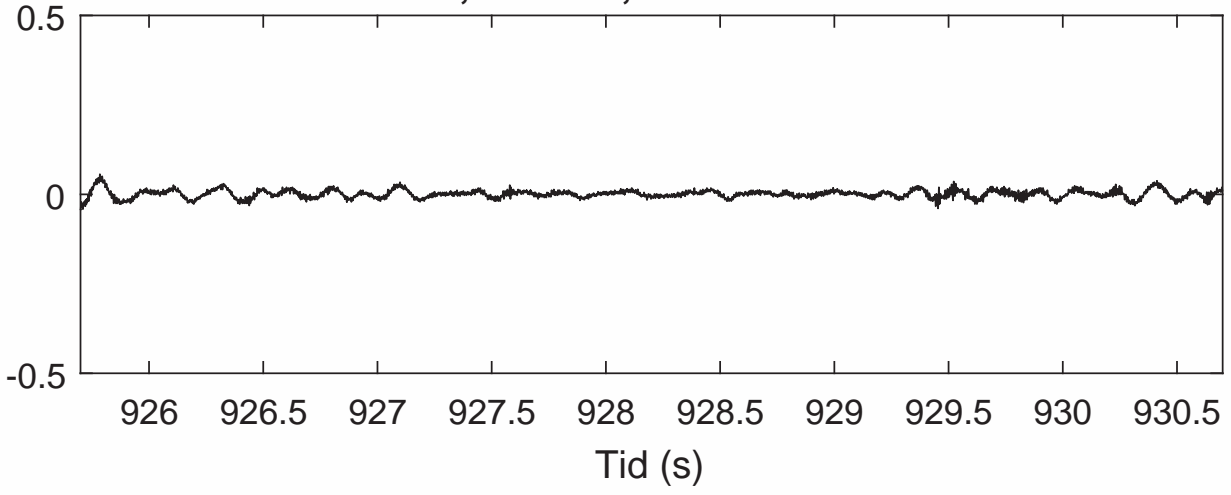
Borrhål 9, z=8.0 m, ABEM vertikalt



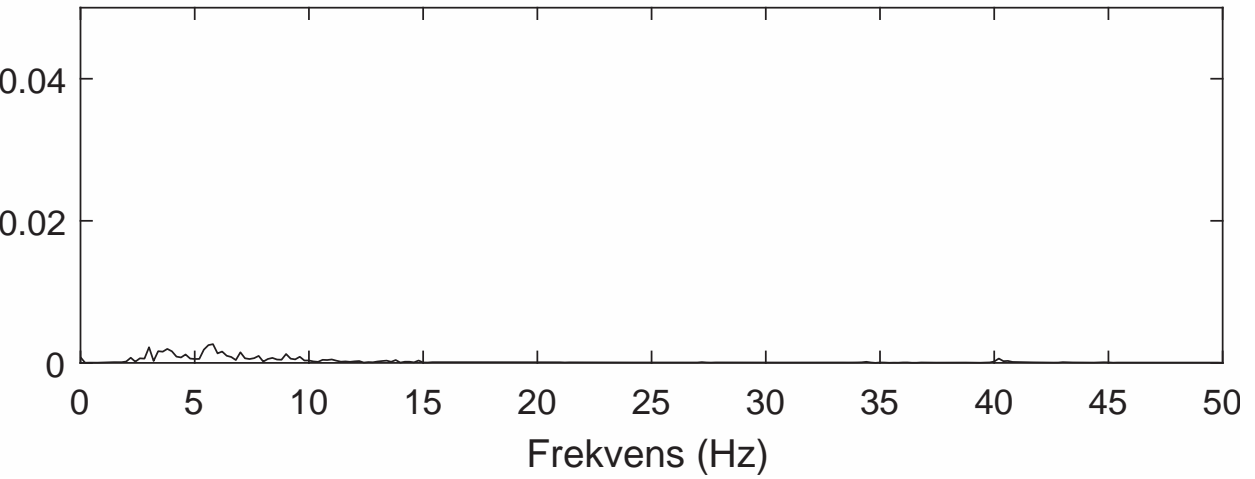
Borrhål 9, z=8.5 m, ABEM radiellt



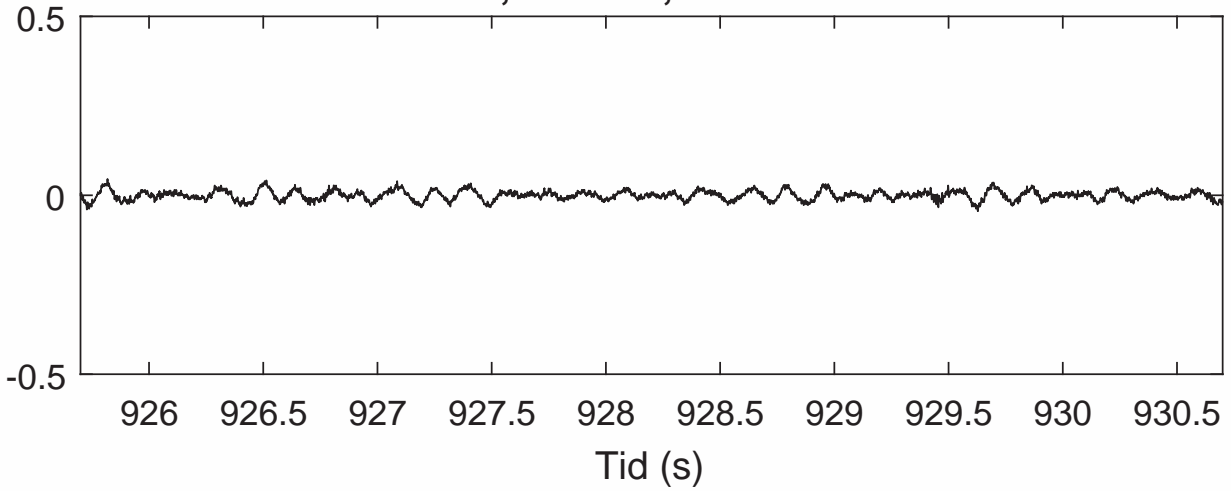
Borrhål 9, z=8.5 m, ABEM transversellt



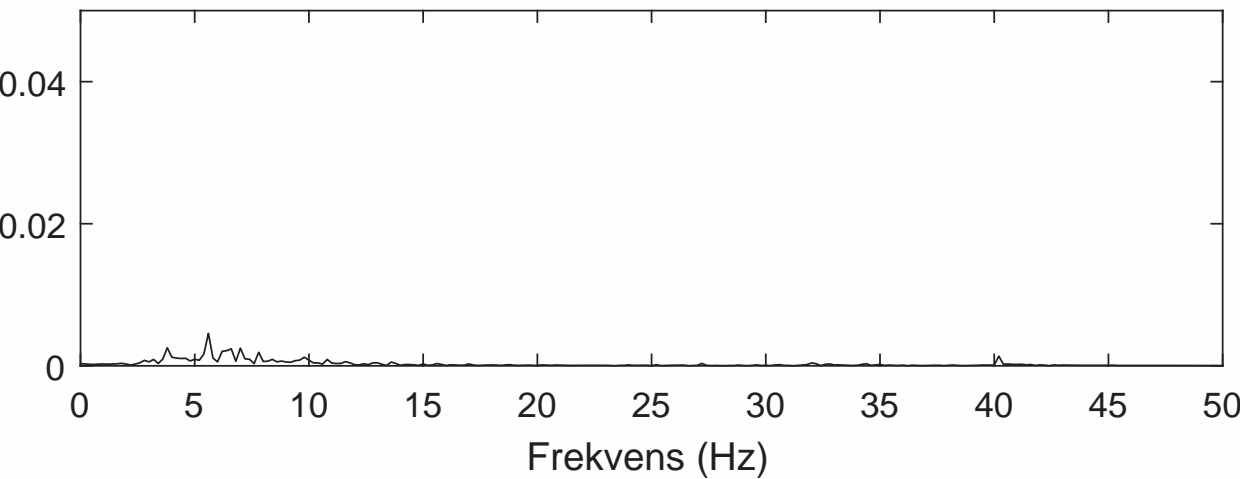
Hastighetsdensitet (mm/s/Hz)



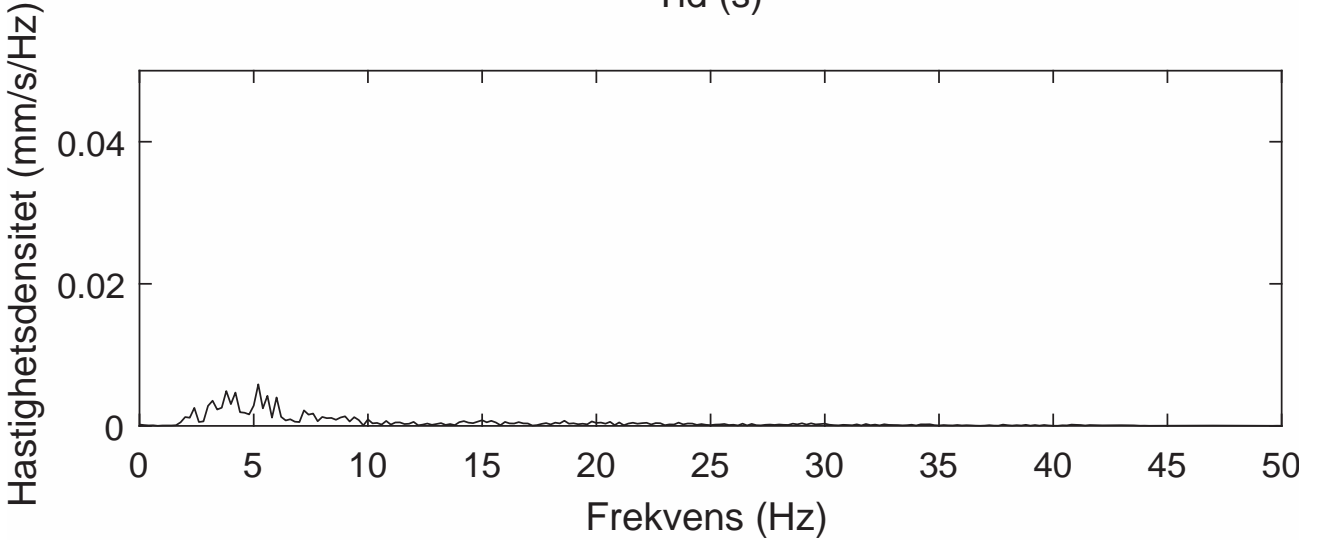
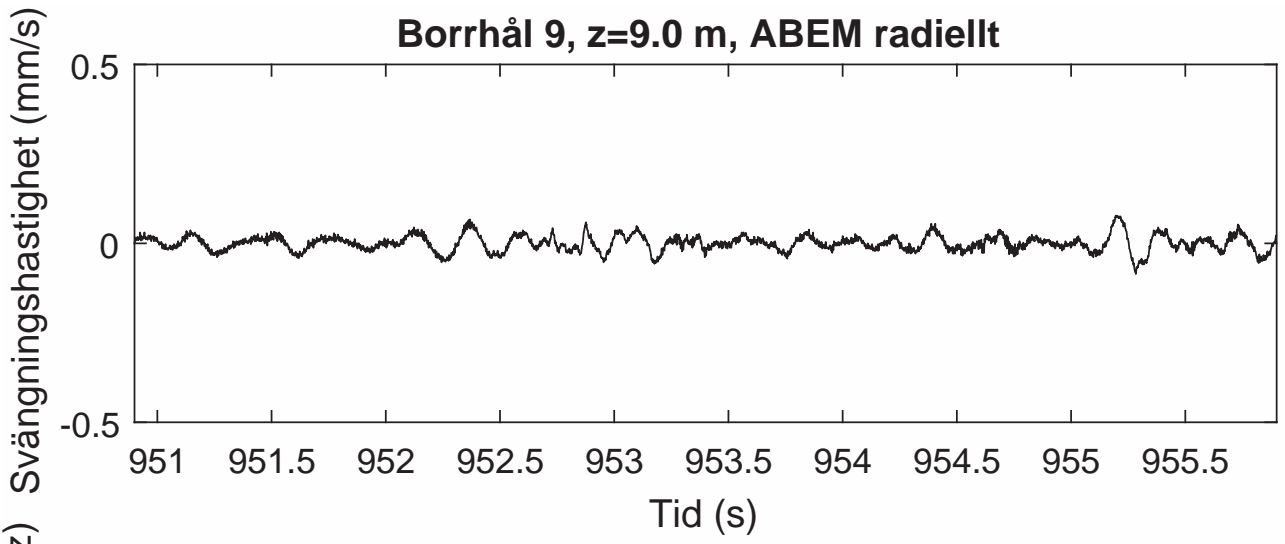
Borrhål 9, z=8.5 m, ABEM vertikalt



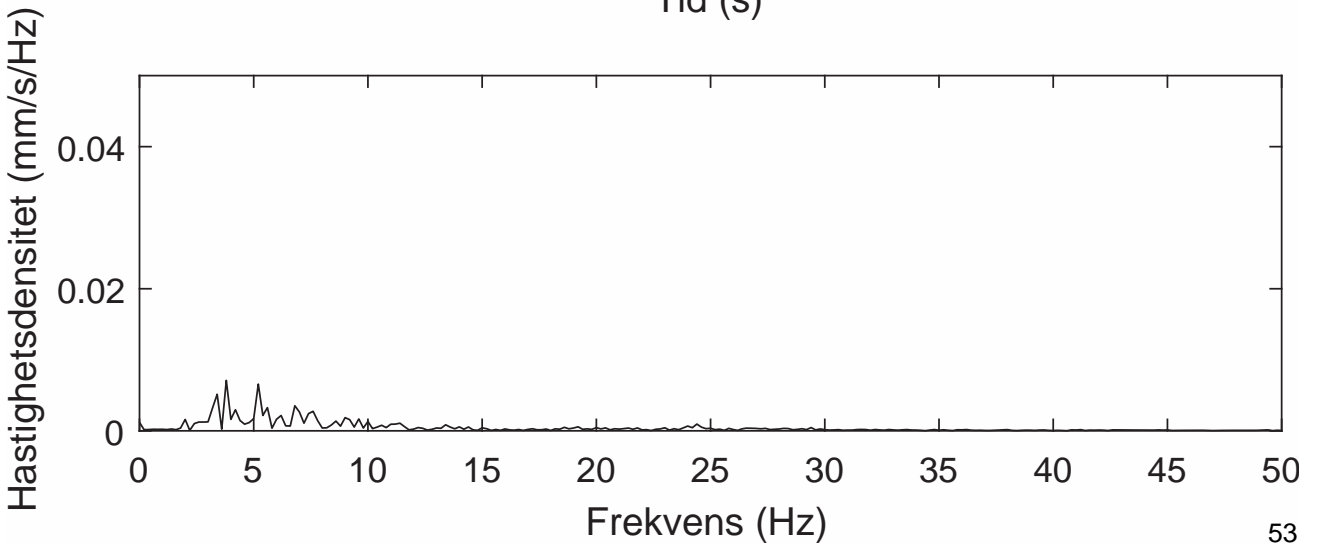
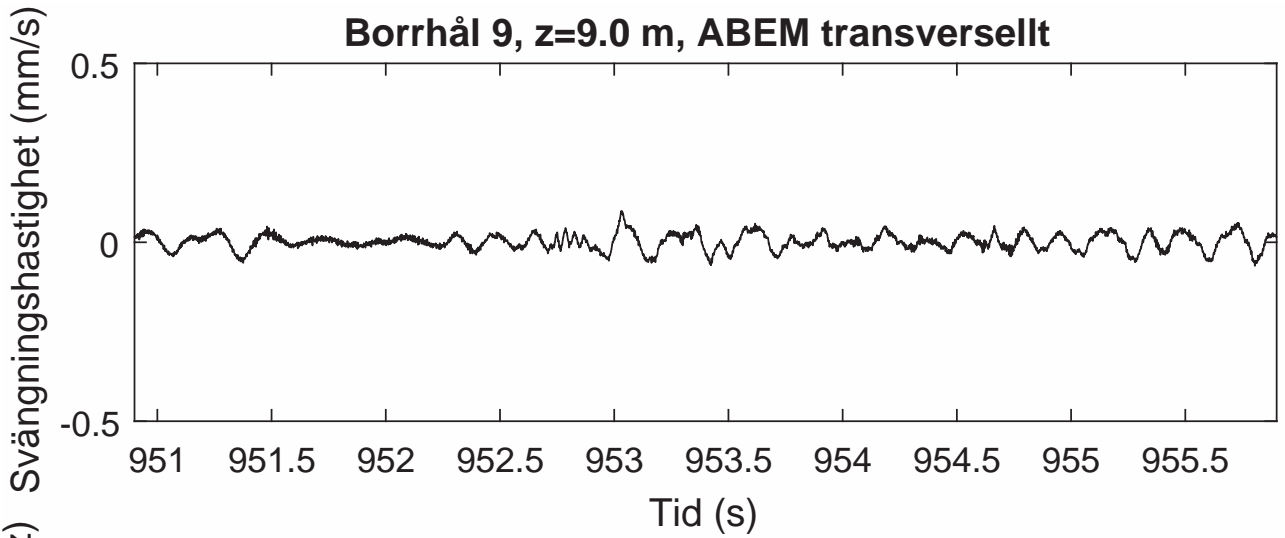
Hastighetsdensitet (mm/s/Hz)



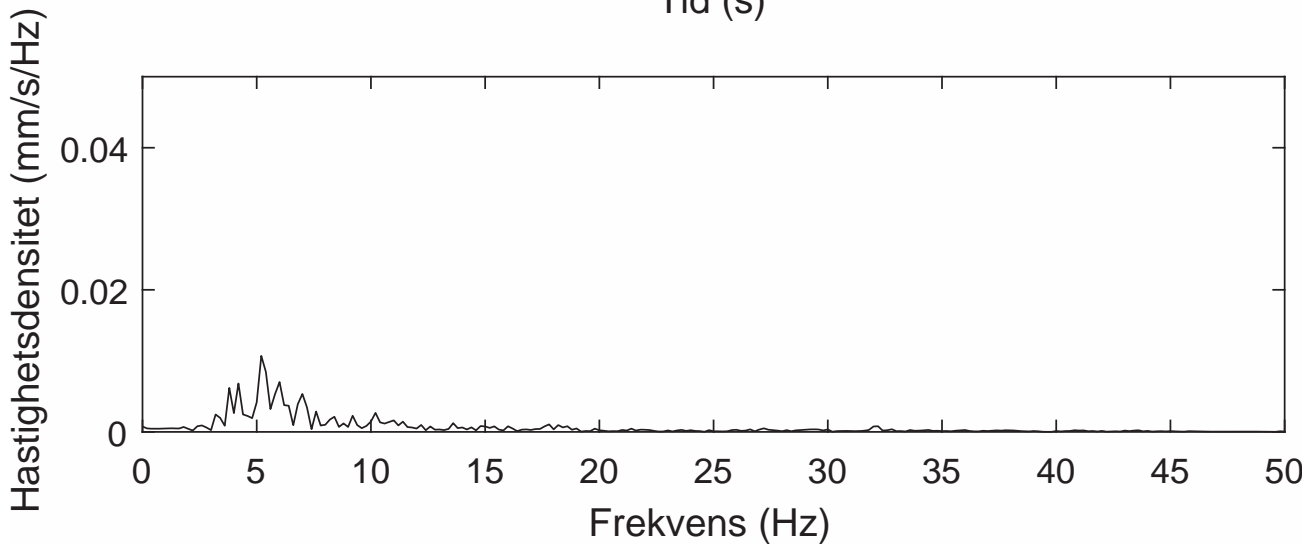
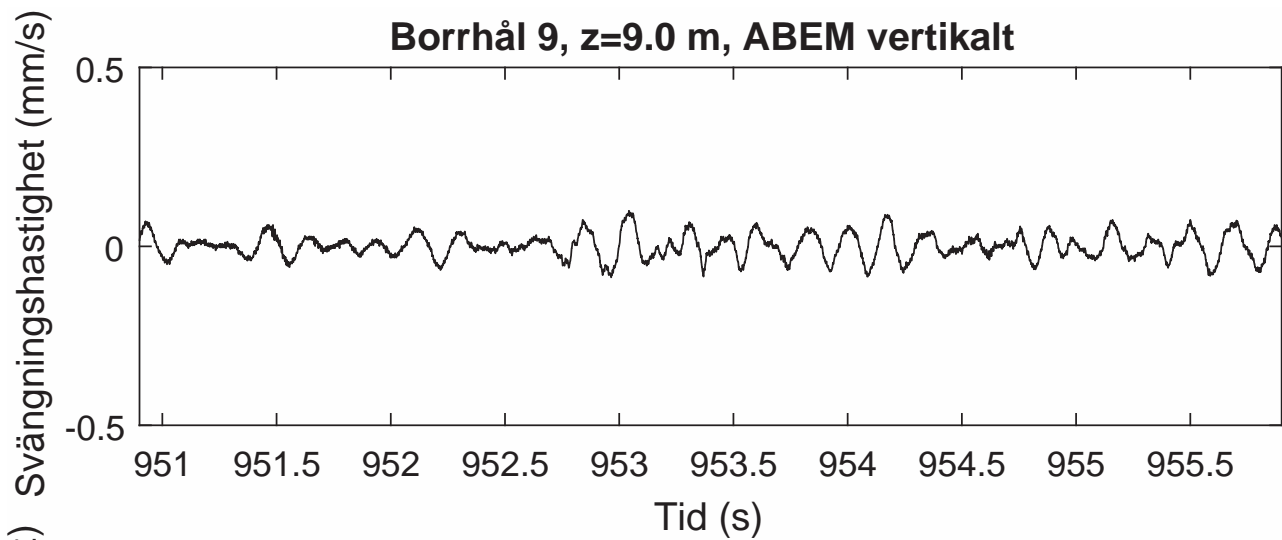
Borrhål 9, z=9.0 m, ABEM radiellt



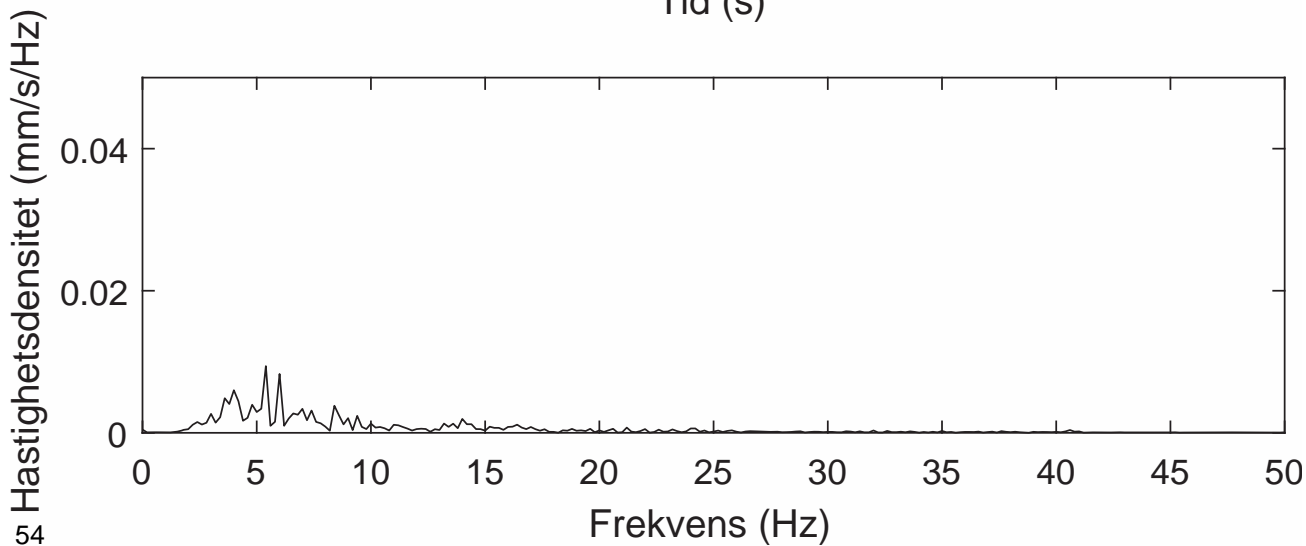
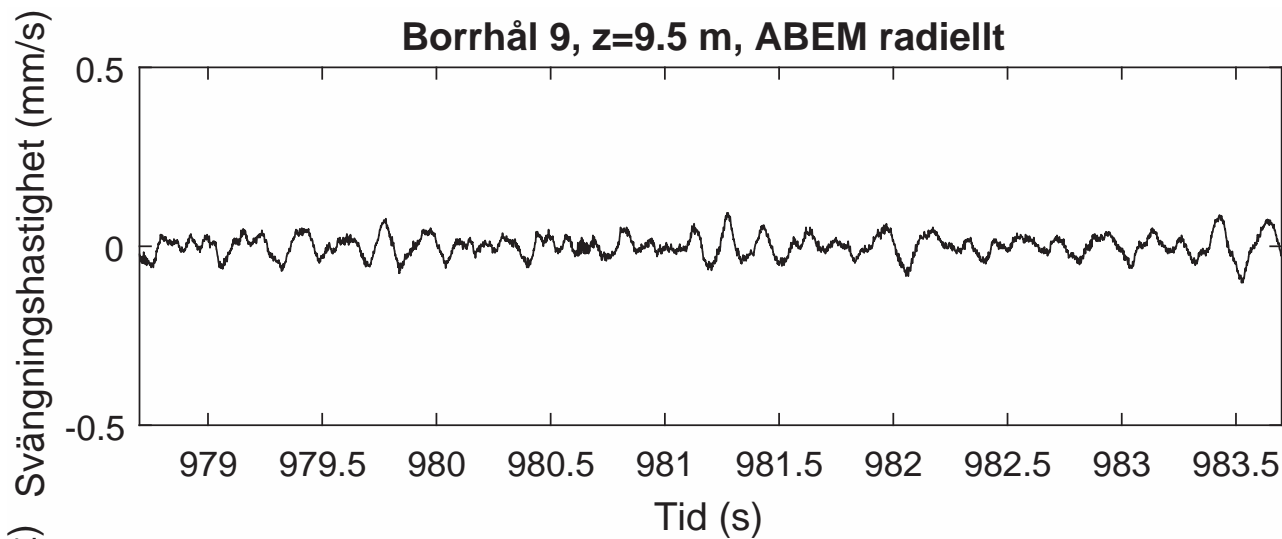
Borrhål 9, z=9.0 m, ABEM transversellt



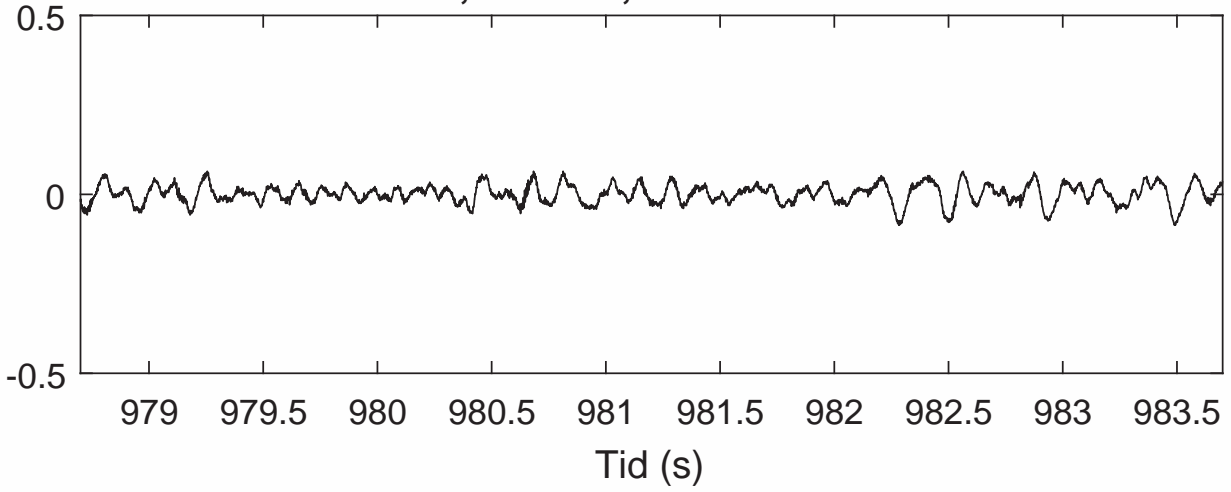
Borrhål 9, z=9.0 m, ABEM vertikalt



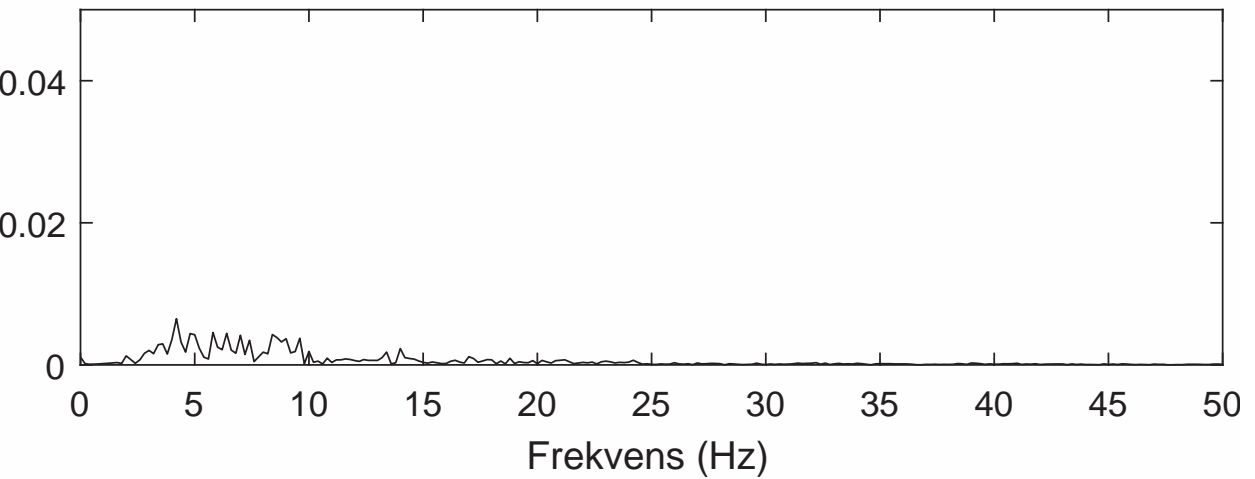
Borrhål 9, z=9.5 m, ABEM radiellt



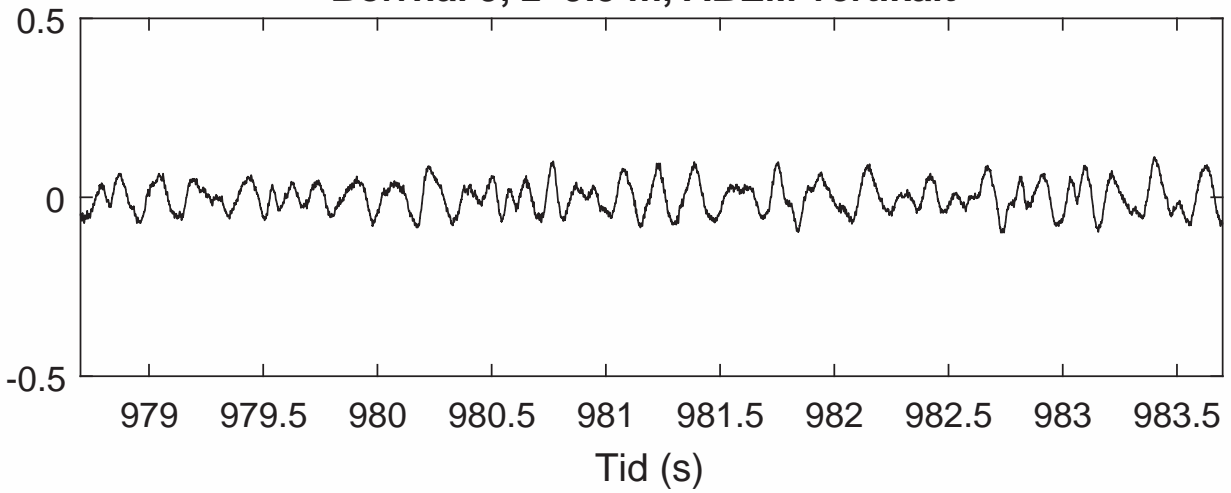
Borrhål 9, z=9.5 m, ABEM transversellt



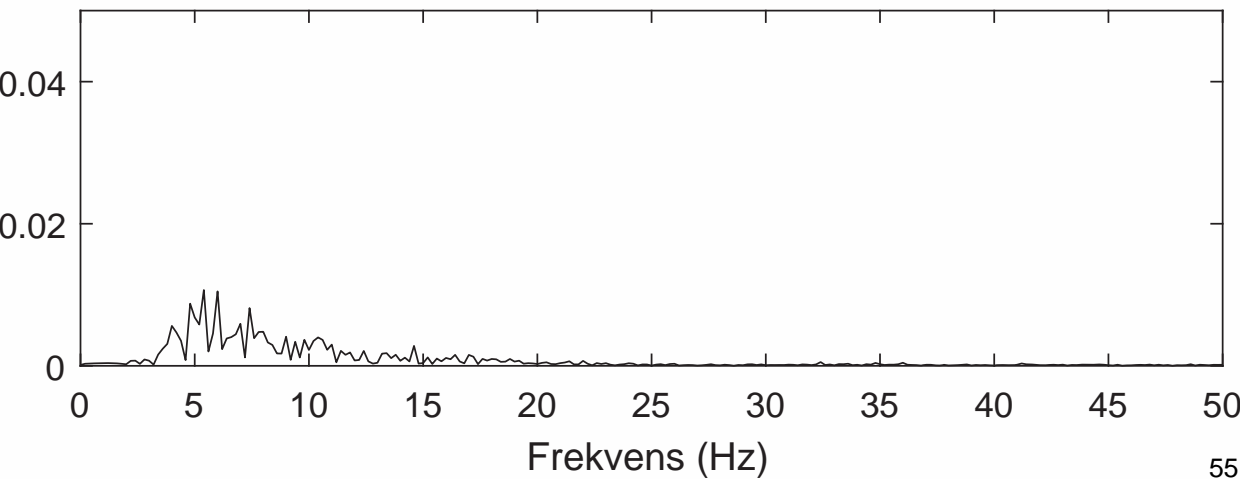
Hastighetsdensitet (mm/s/Hz)



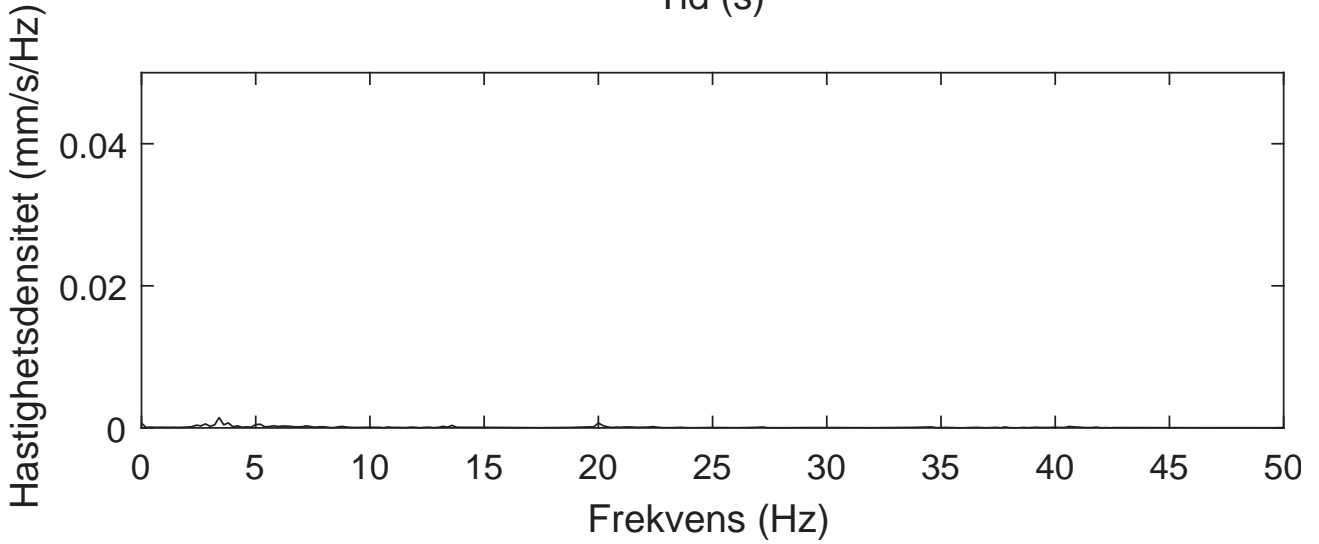
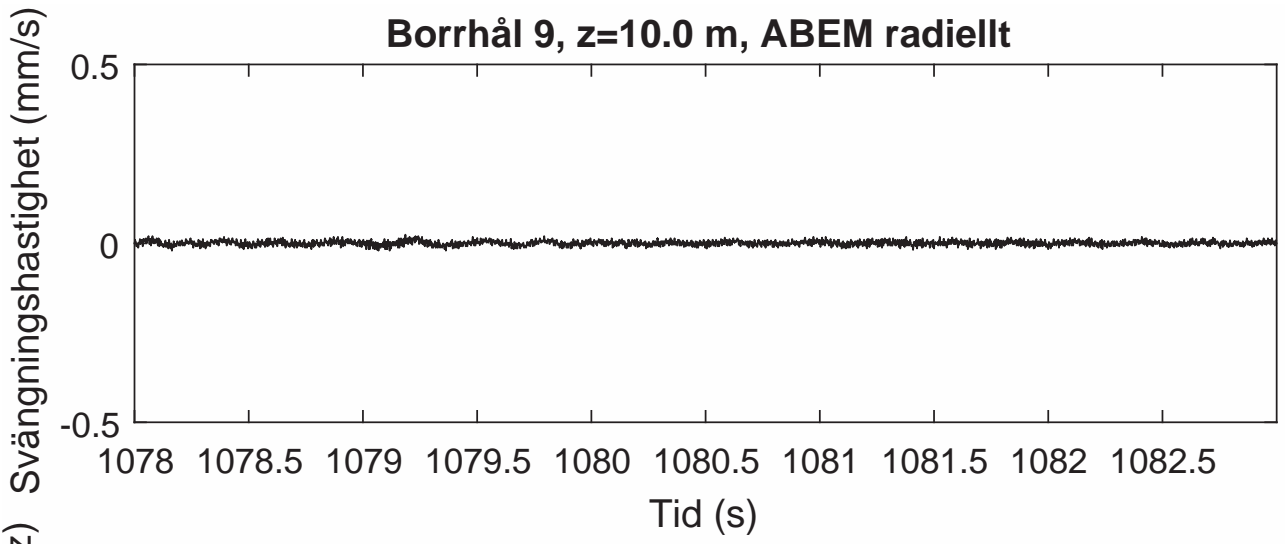
Borrhål 9, z=9.5 m, ABEM vertikalt



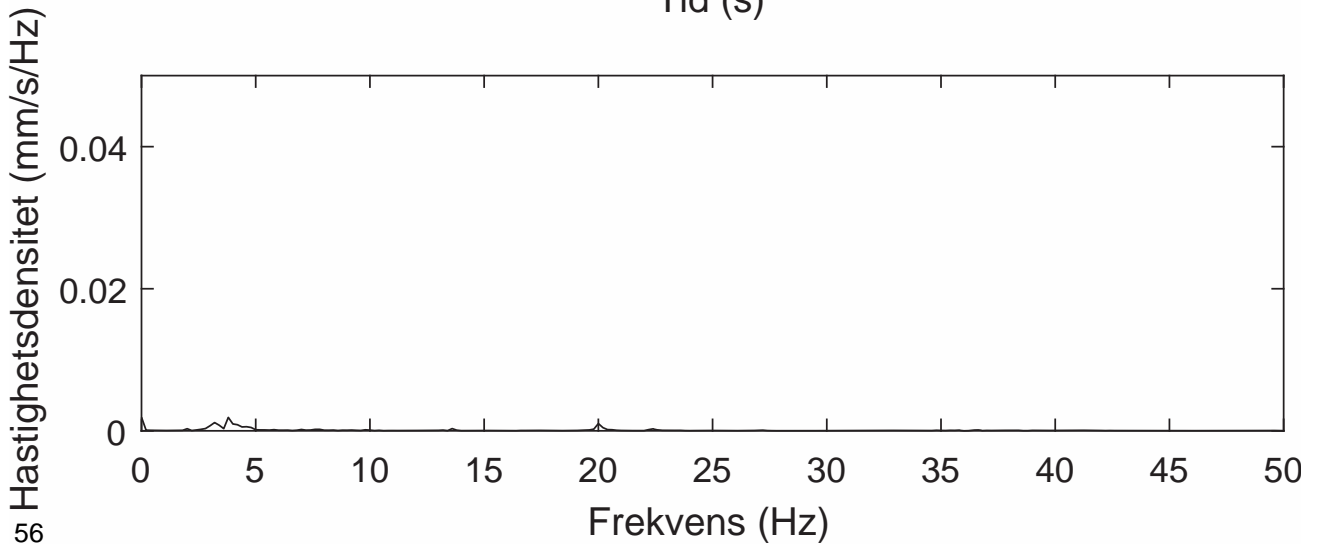
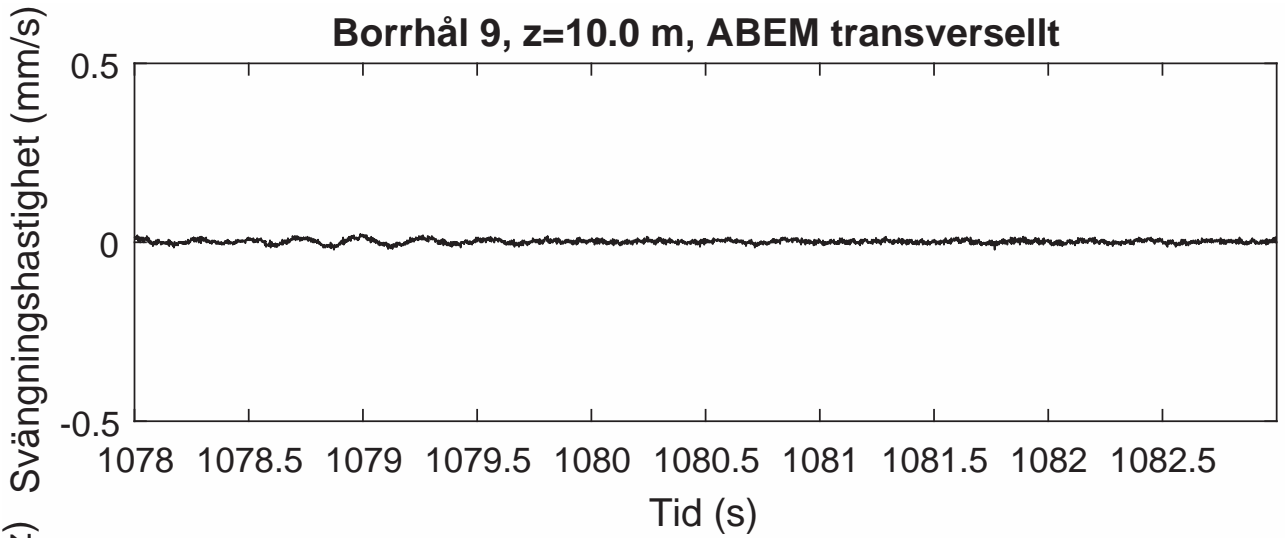
Hastighetsdensitet (mm/s/Hz)



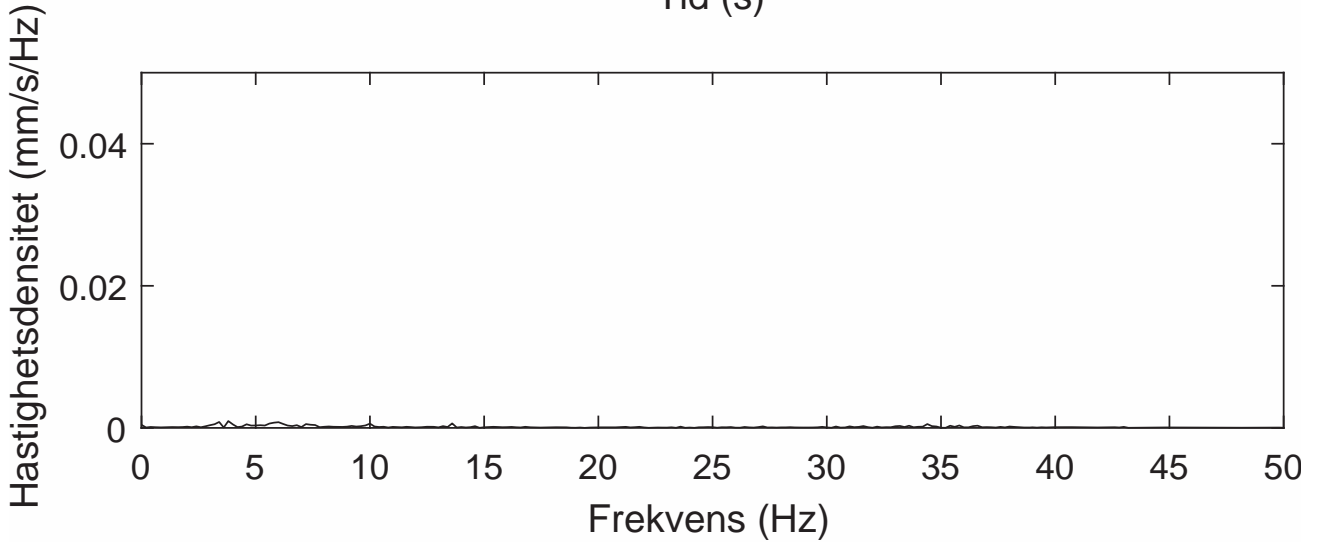
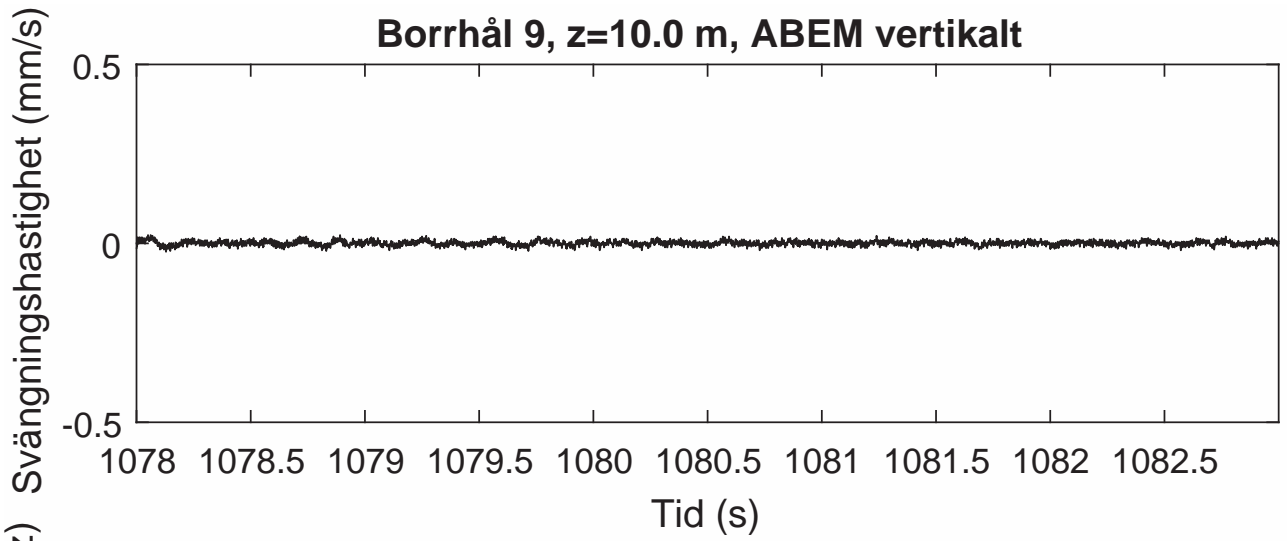
Borrhål 9, z=10.0 m, ABEM radiellt



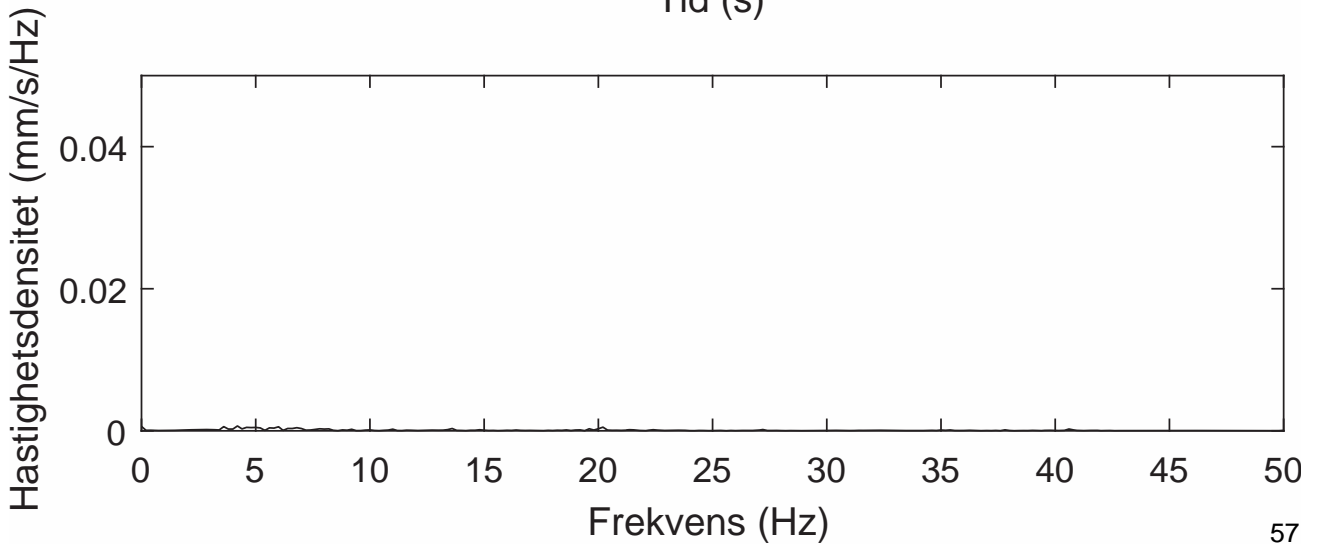
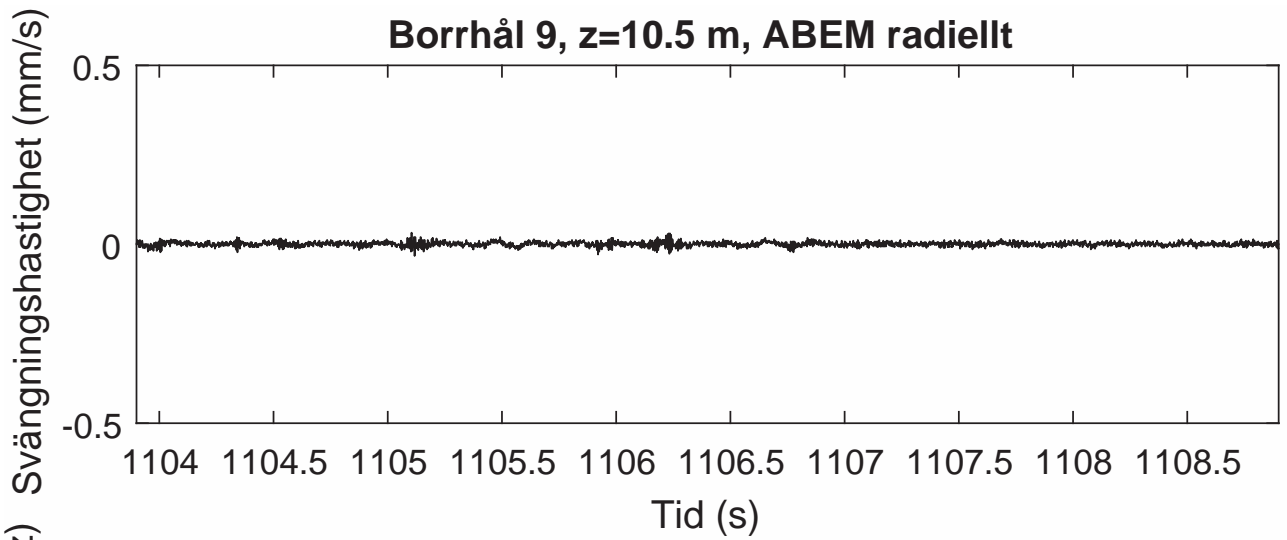
Borrhål 9, z=10.0 m, ABEM transversellt



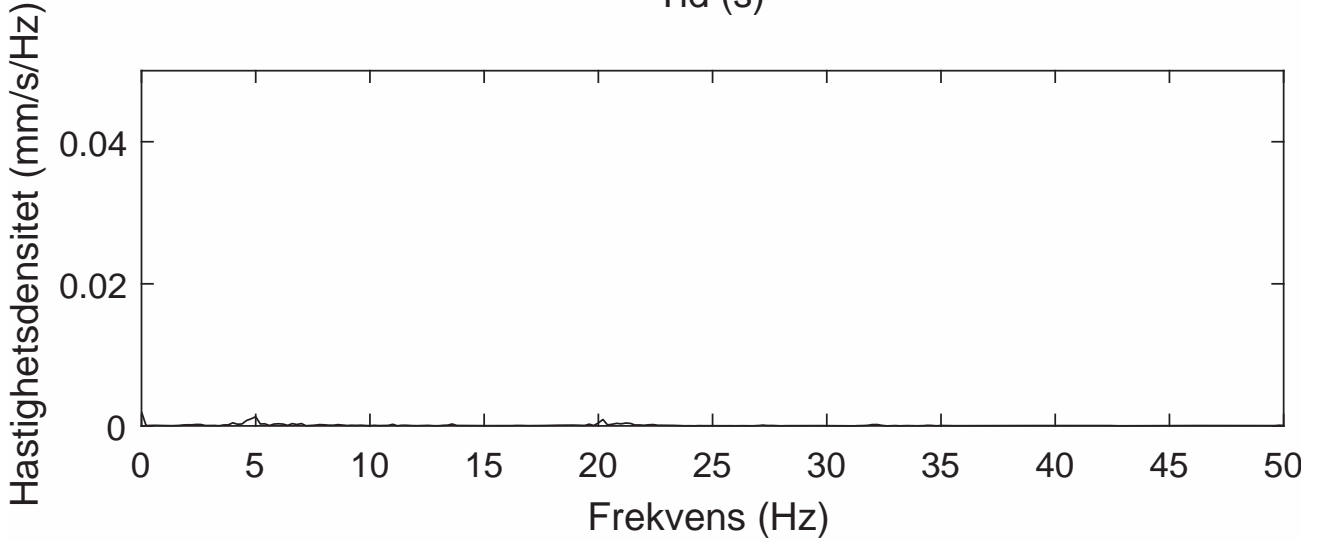
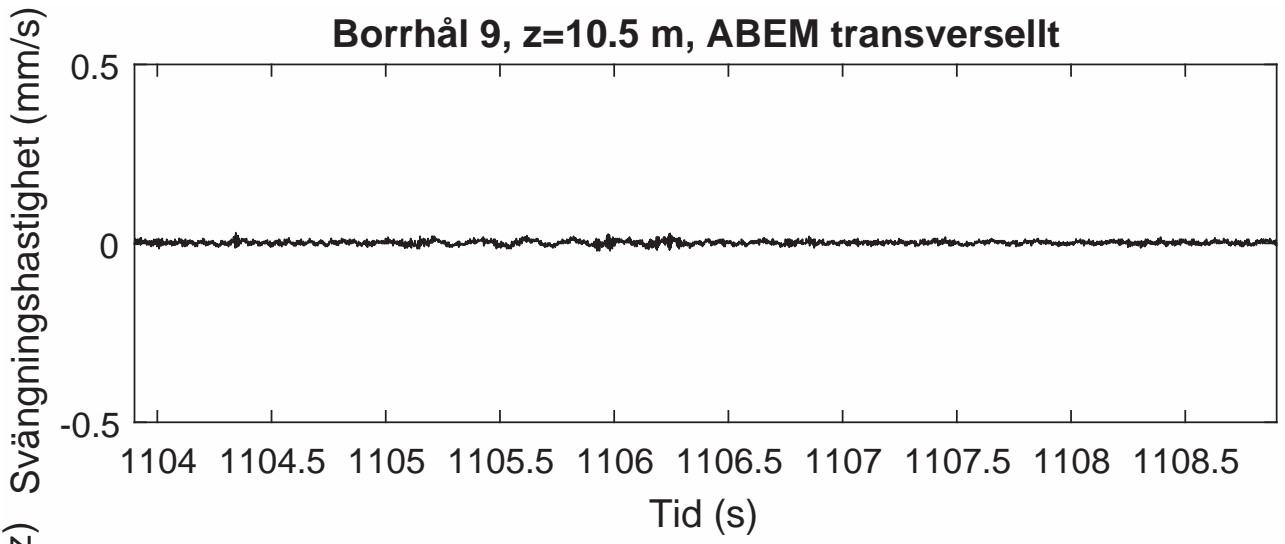
Borrhål 9, z=10.0 m, ABEM vertikalt



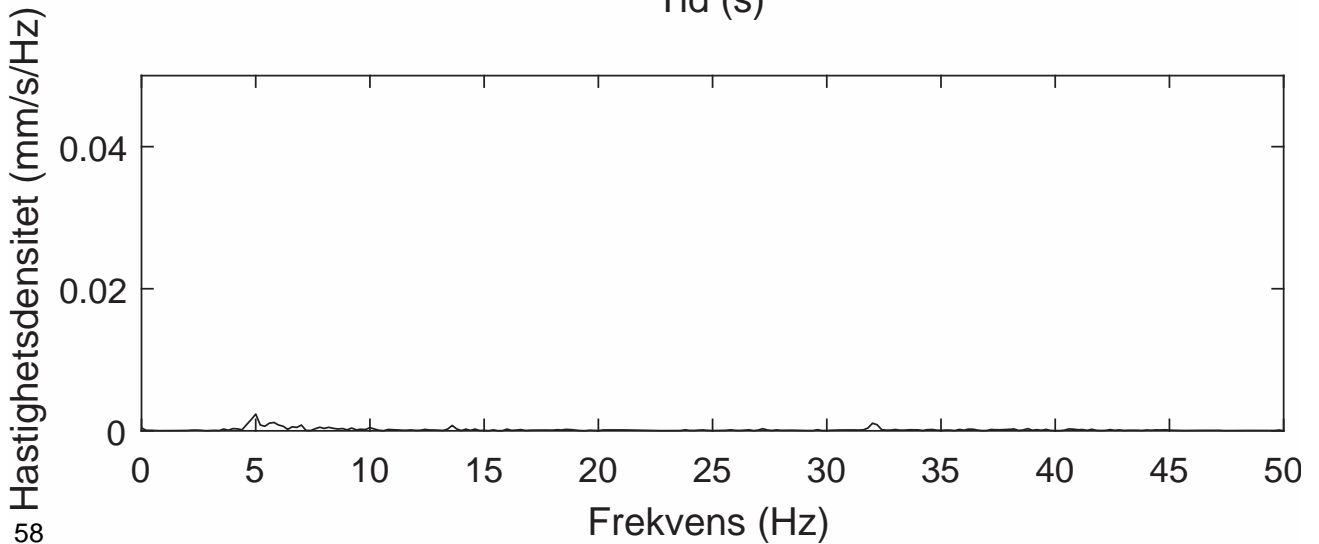
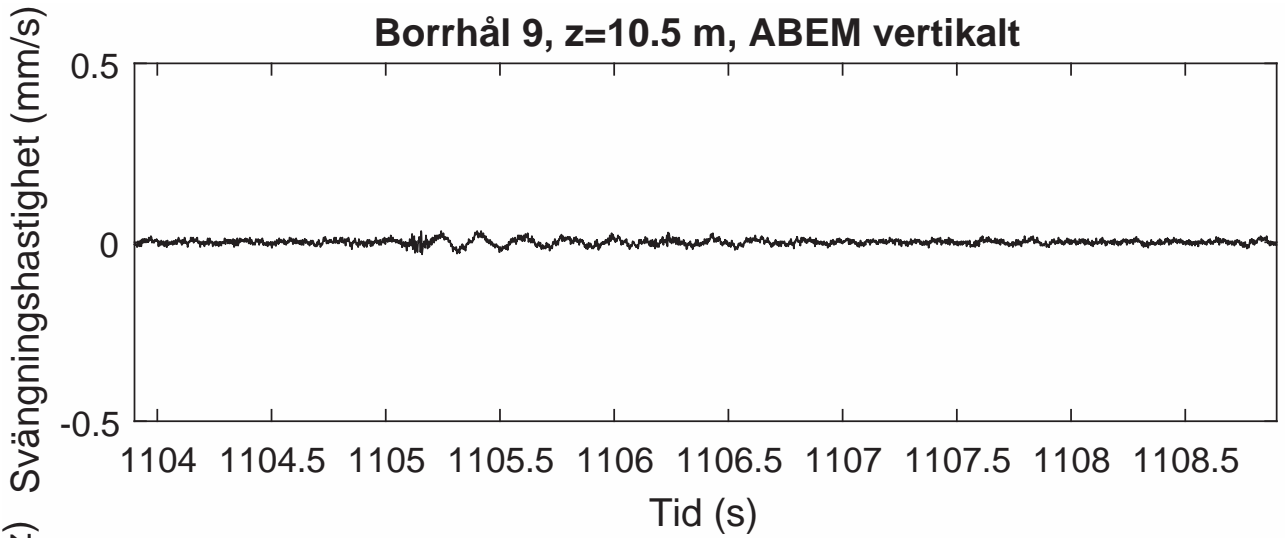
Borrhål 9, z=10.5 m, ABEM radiellt



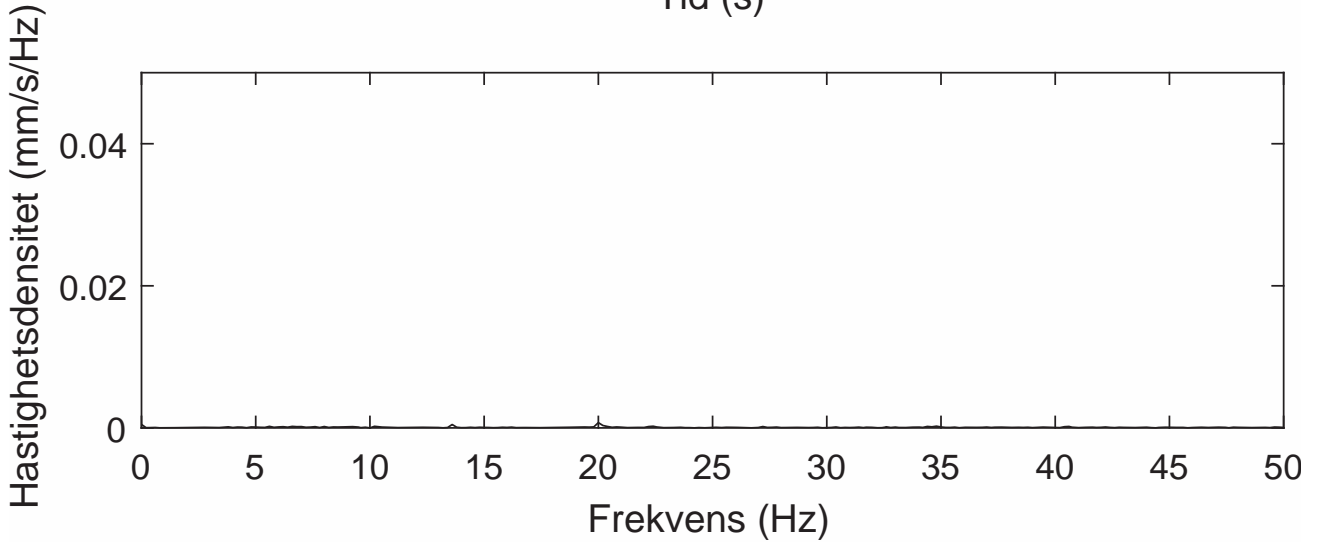
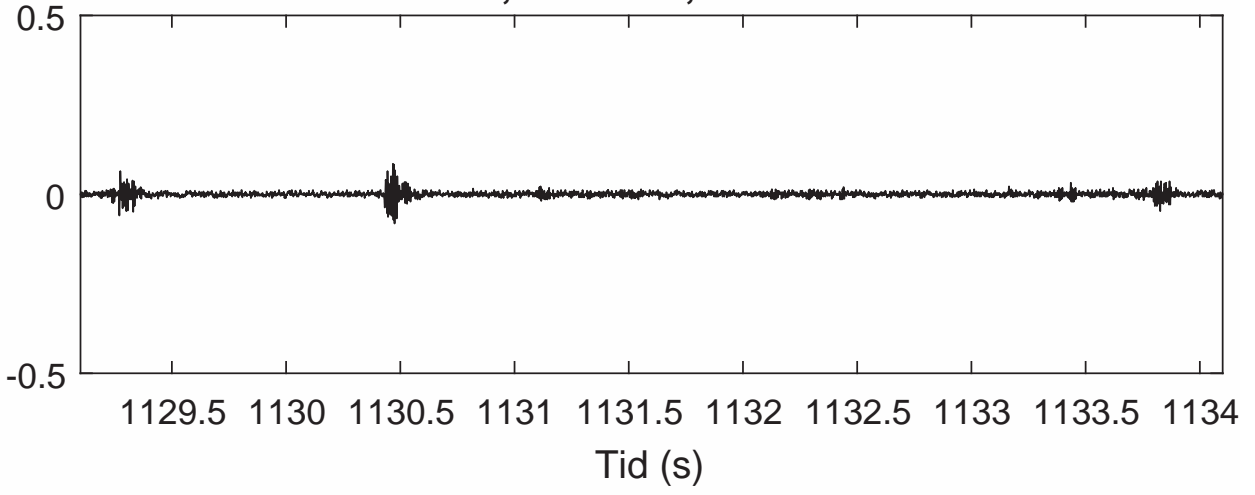
Borrhål 9, z=10.5 m, ABEM transverselt



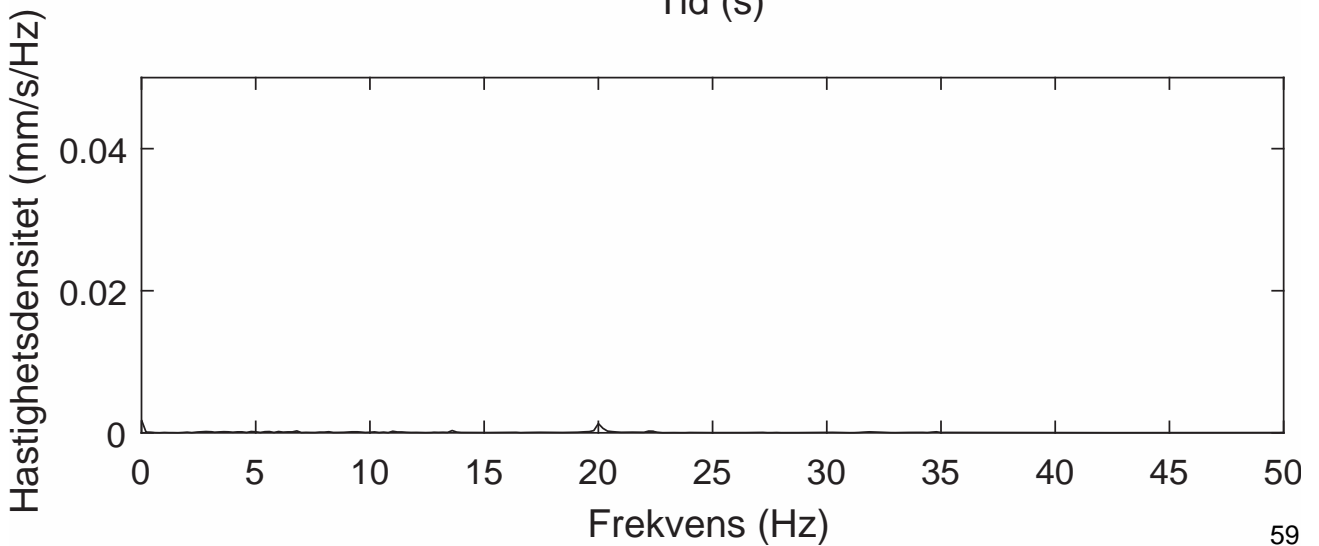
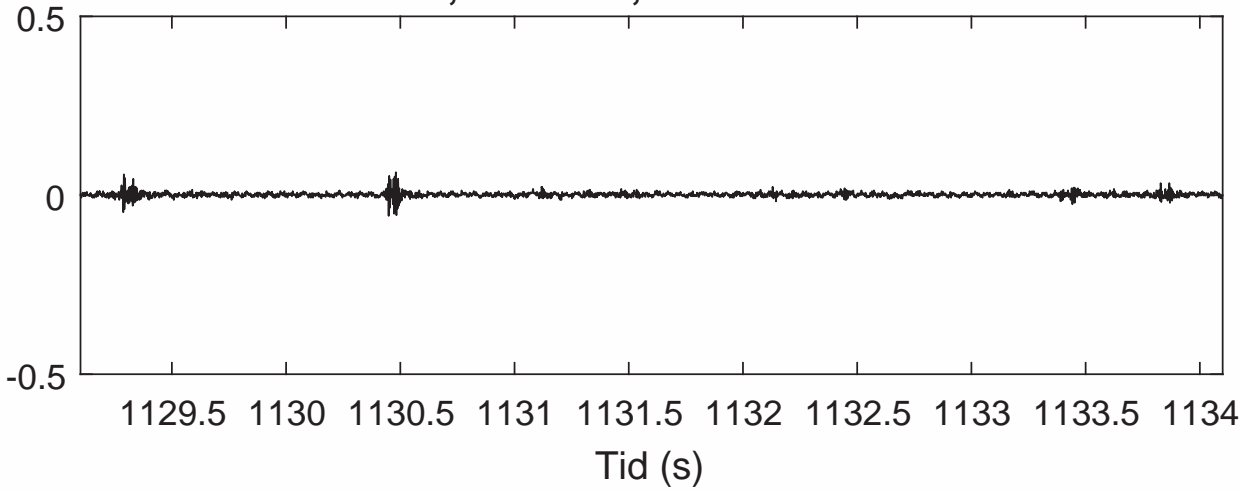
Borrhål 9, z=10.5 m, ABEM vertikalt



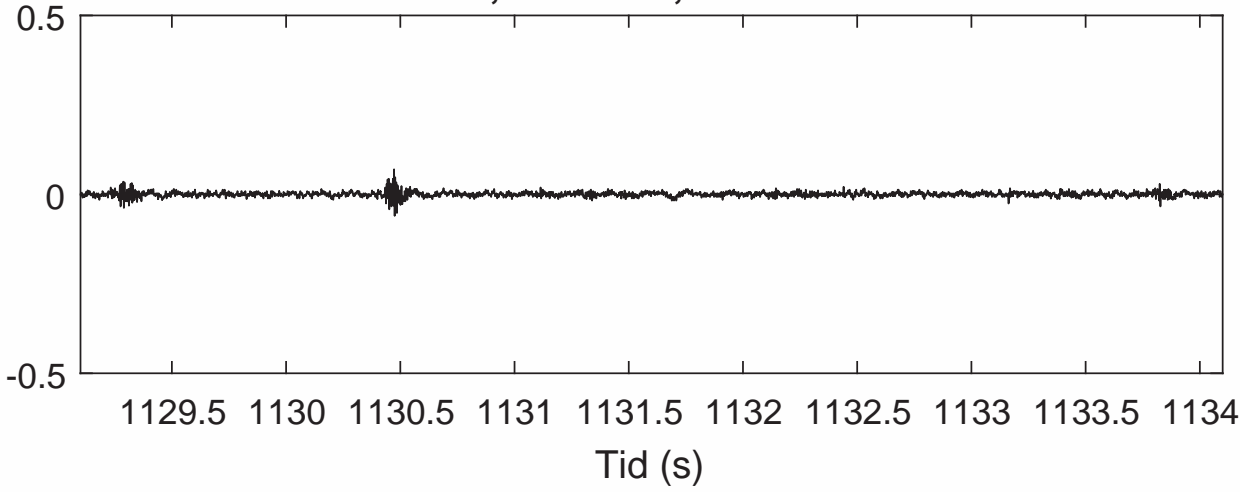
Borrhål 9, z=11.0 m, ABEM radiellt



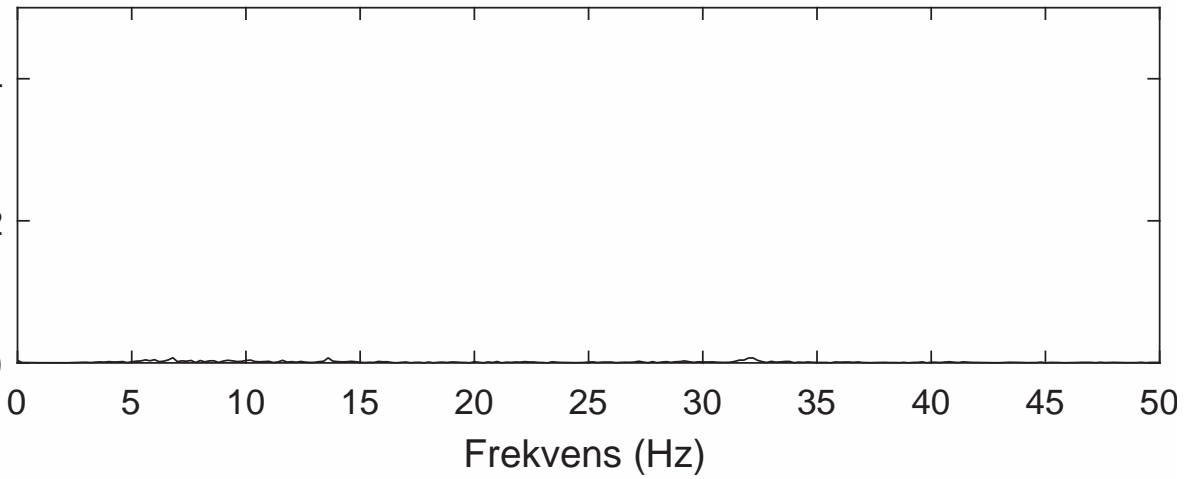
Borrhål 9, z=11.0 m, ABEM transversellt



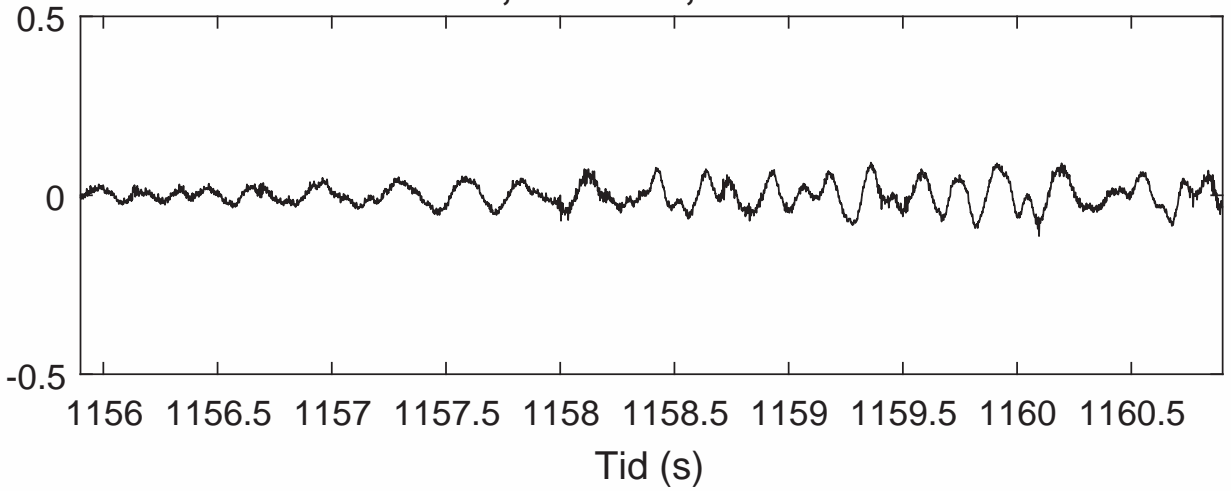
Borrhål 9, z=11.0 m, ABEM vertikalt



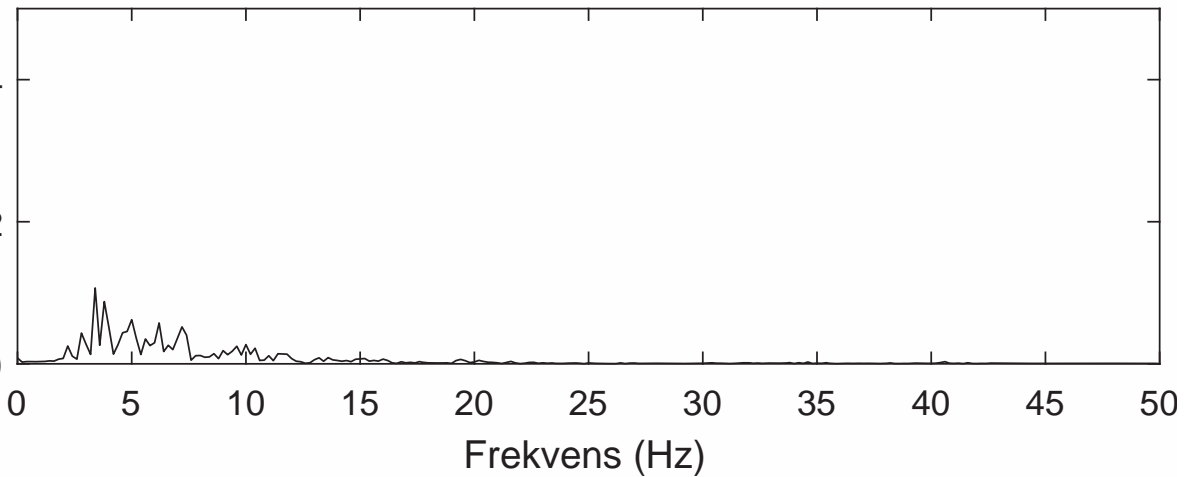
Hastighetsdensitet (mm/s/Hz)



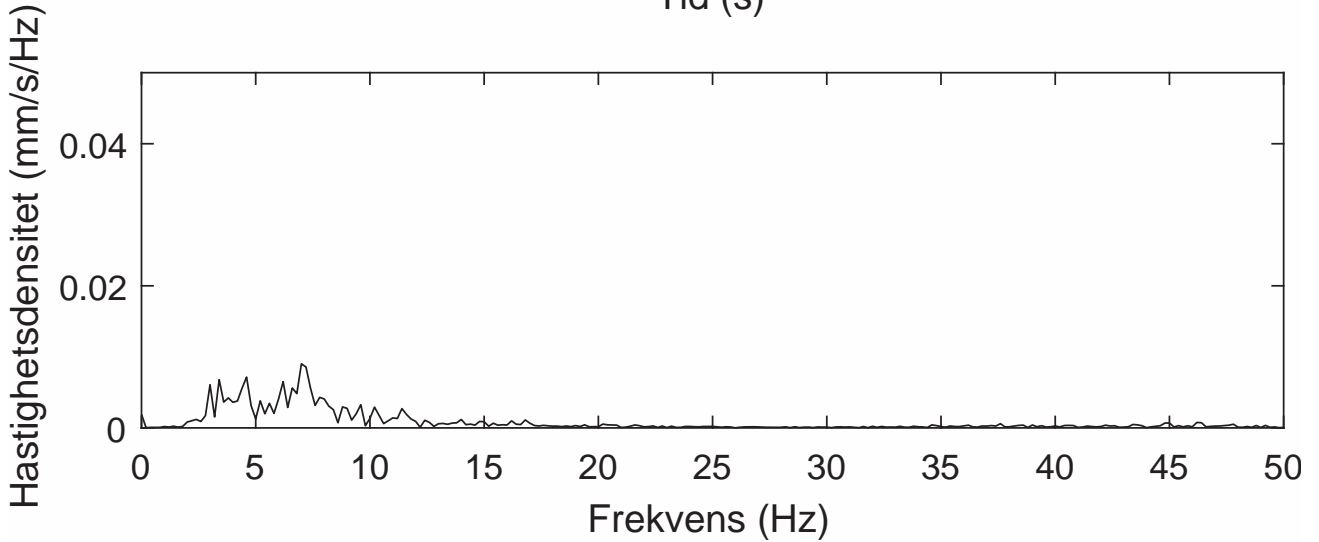
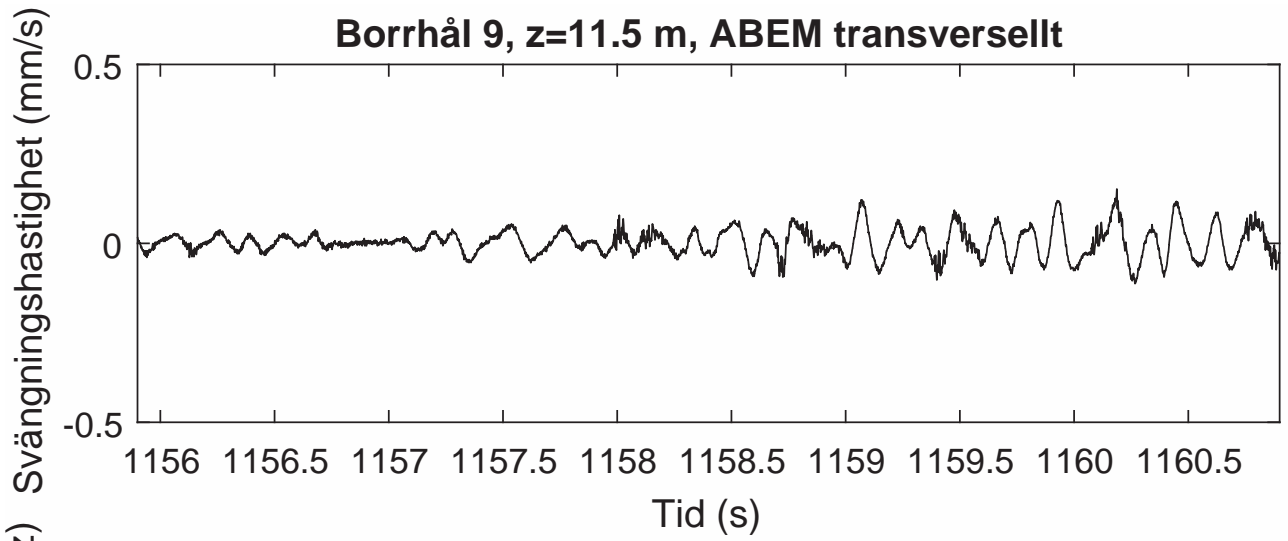
Borrhål 9, z=11.5 m, ABEM radiellt



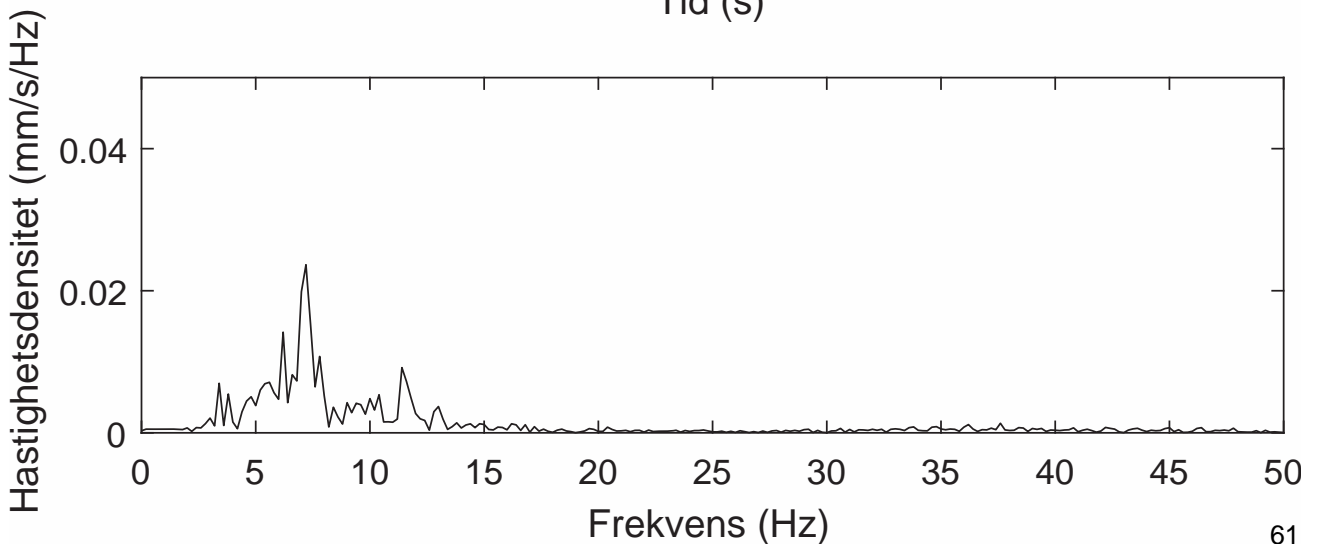
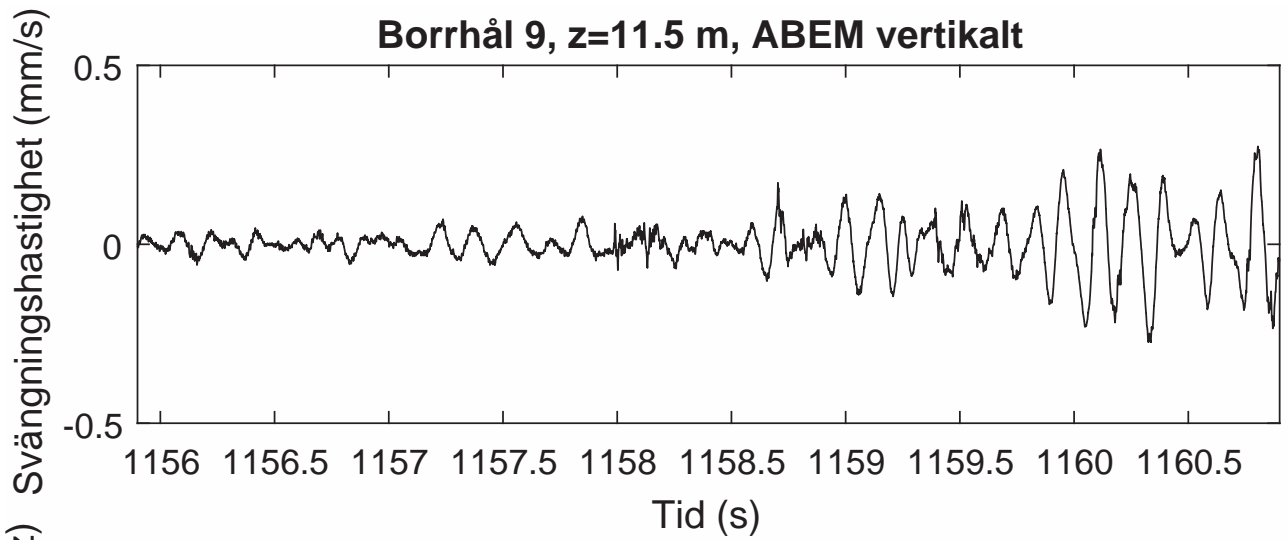
Hastighetsdensitet (mm/s/Hz)



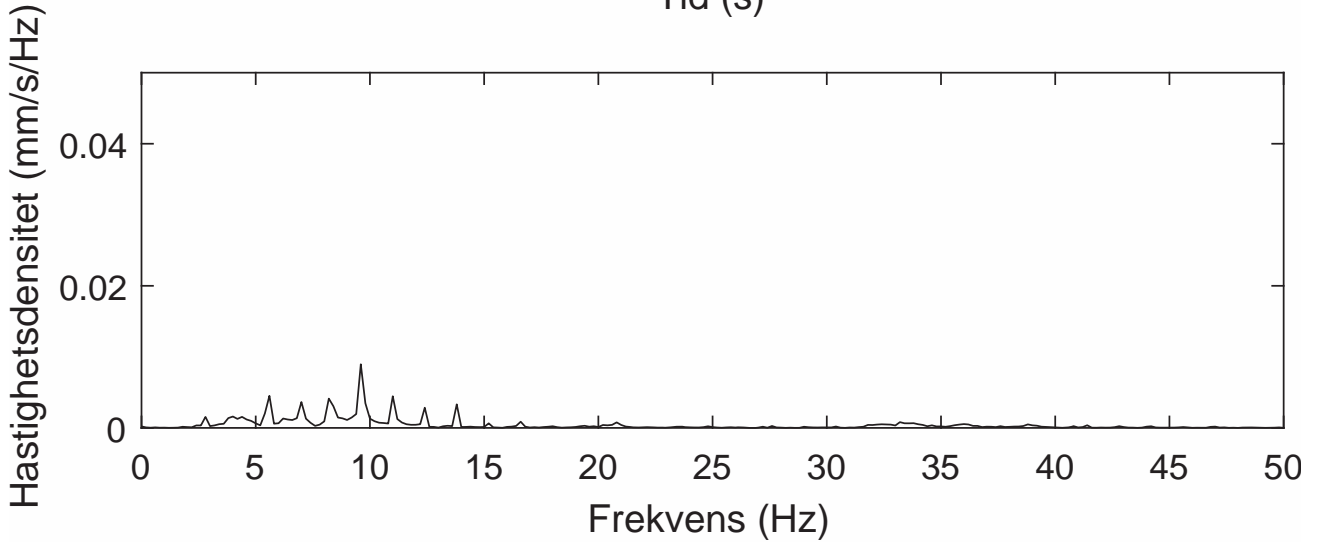
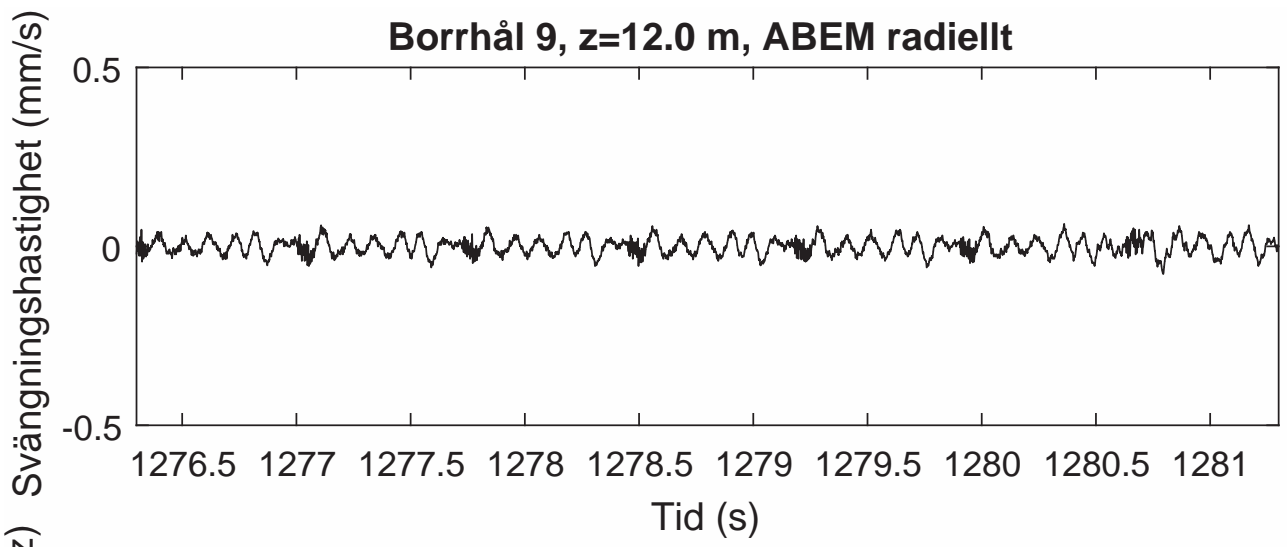
Borrhål 9, z=11.5 m, ABEM transverselt



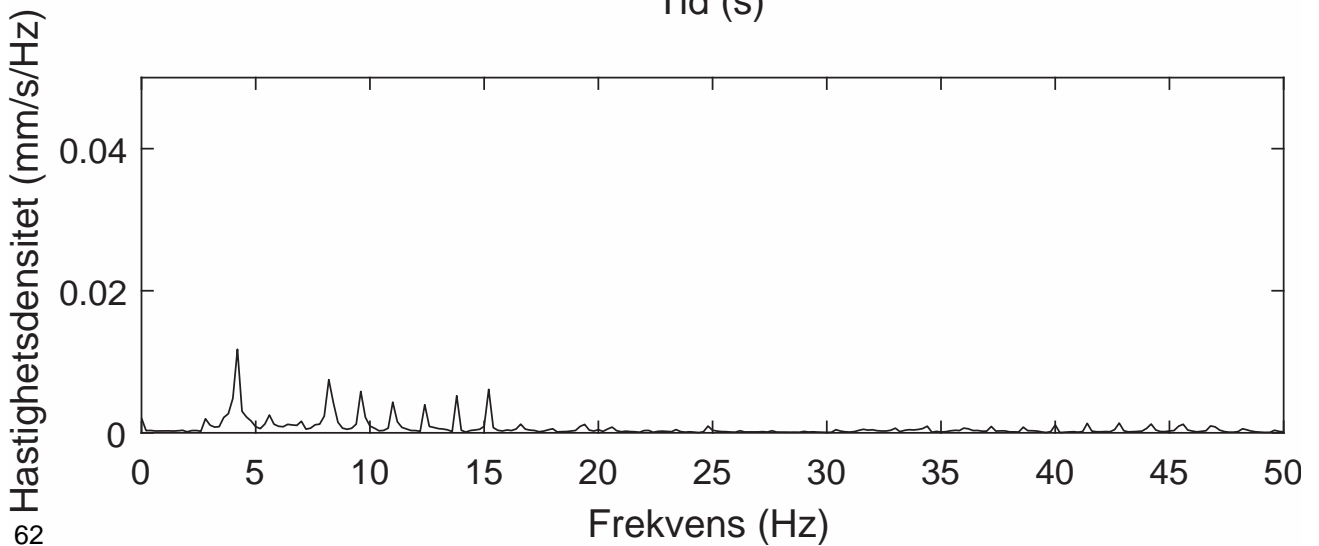
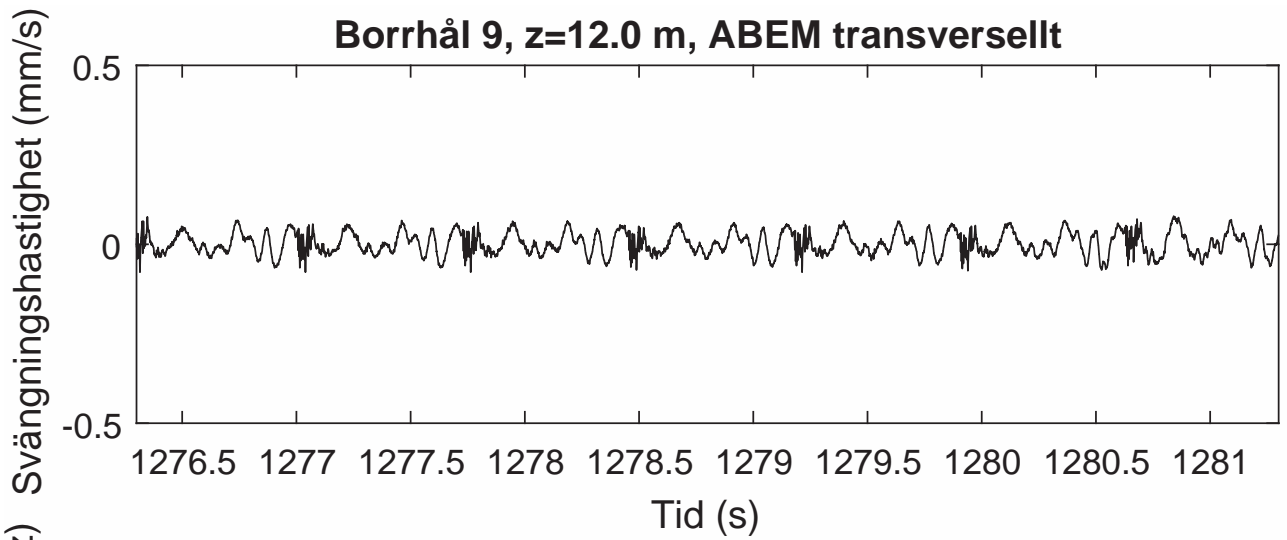
Borrhål 9, z=11.5 m, ABEM vertikalt



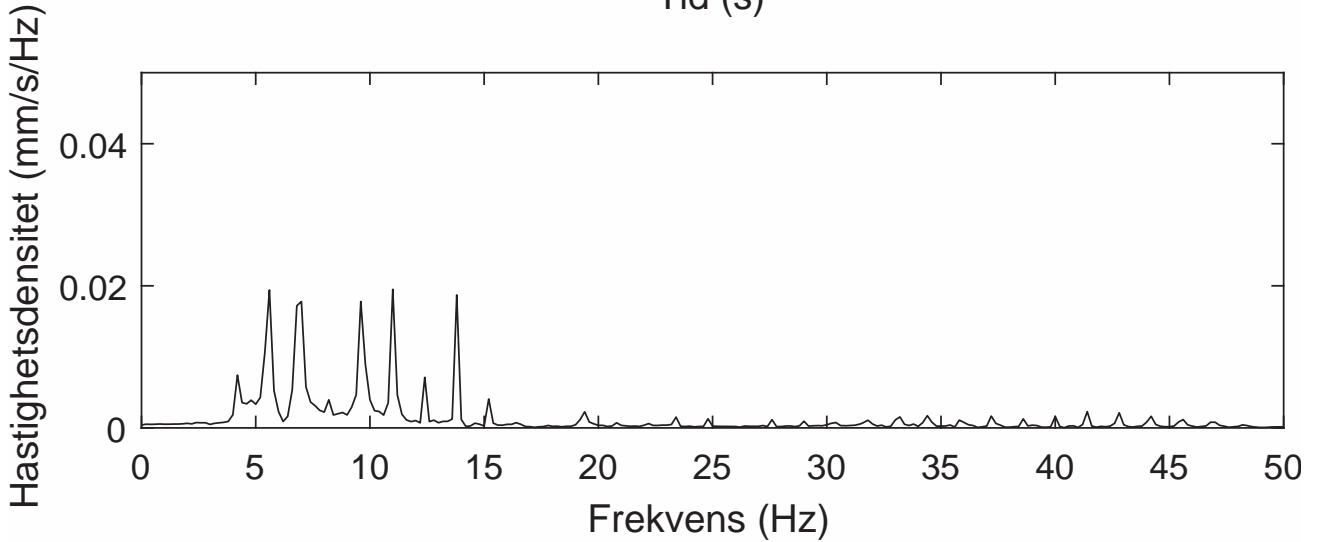
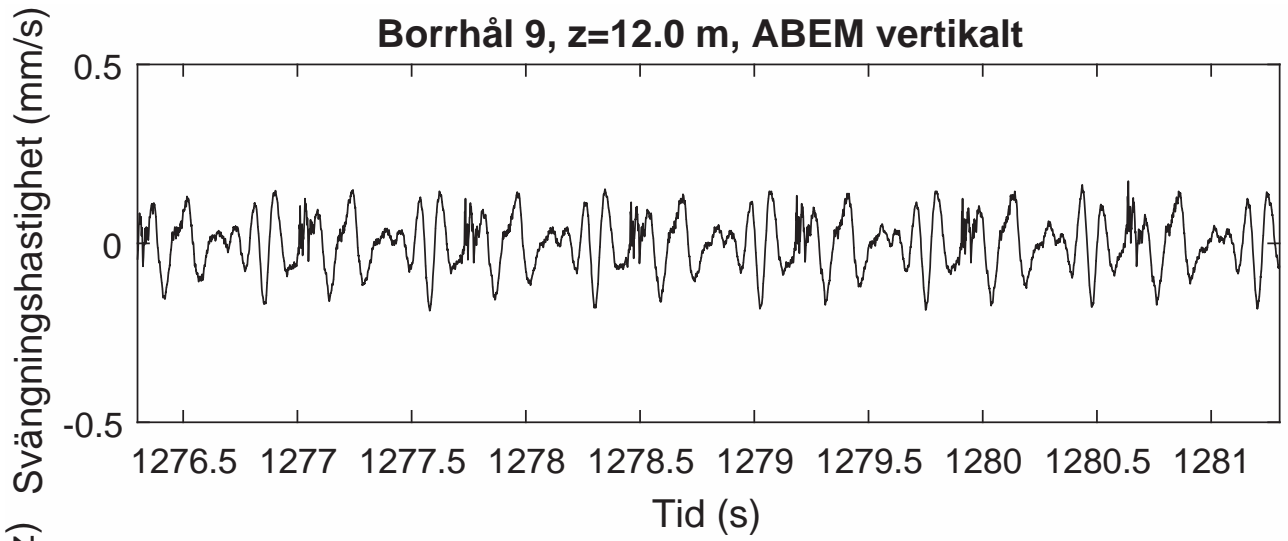
Borrhål 9, z=12.0 m, ABEM radiellt



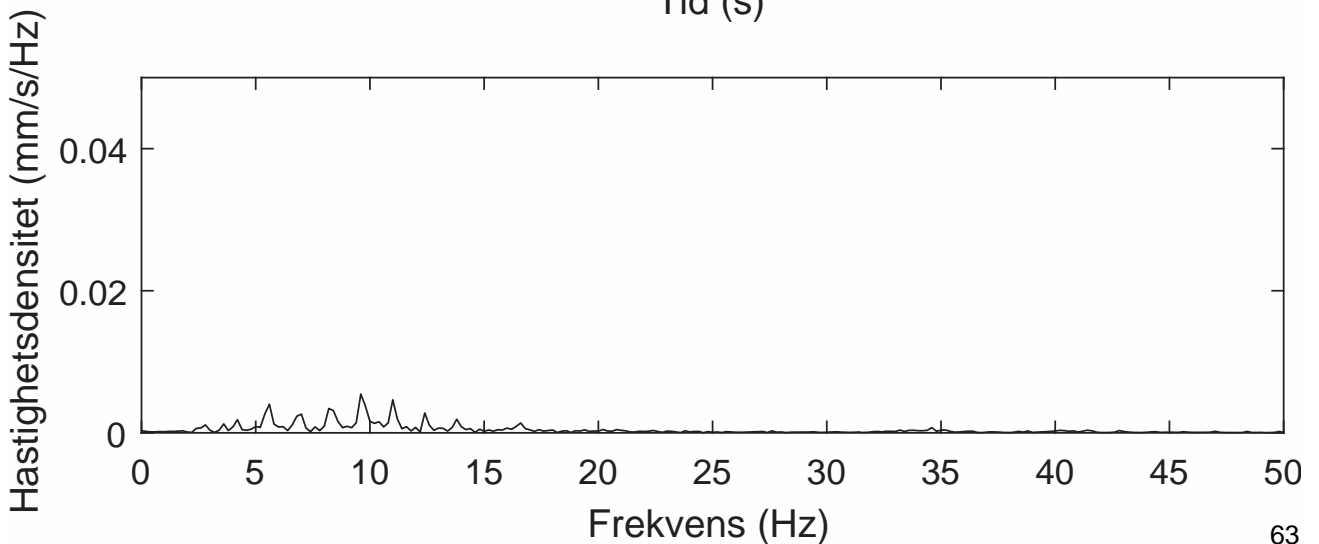
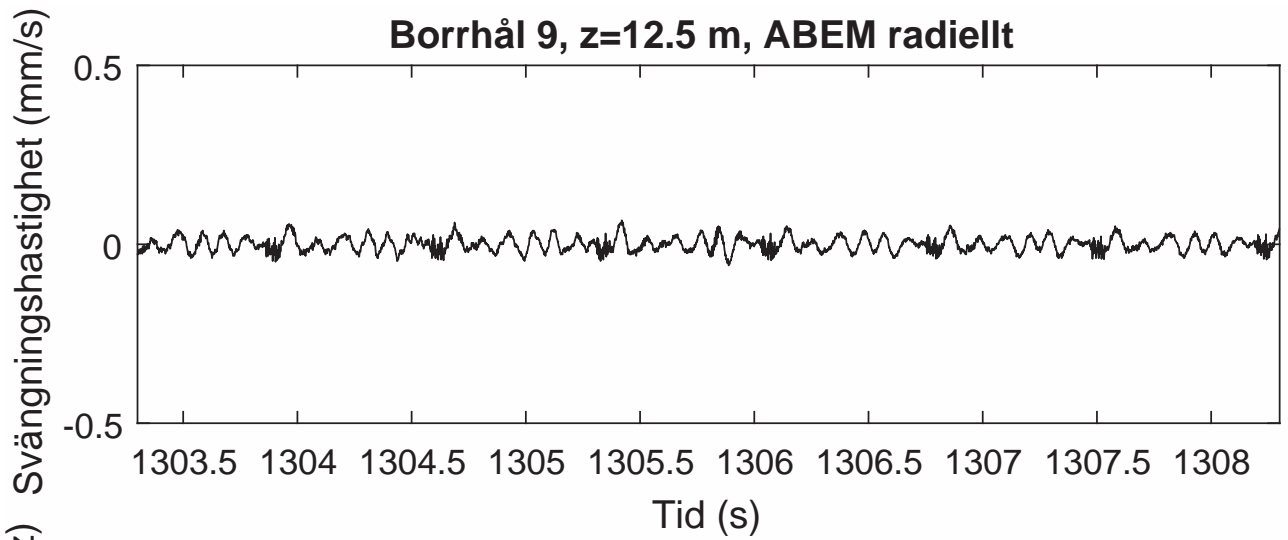
Borrhål 9, z=12.0 m, ABEM transversellt



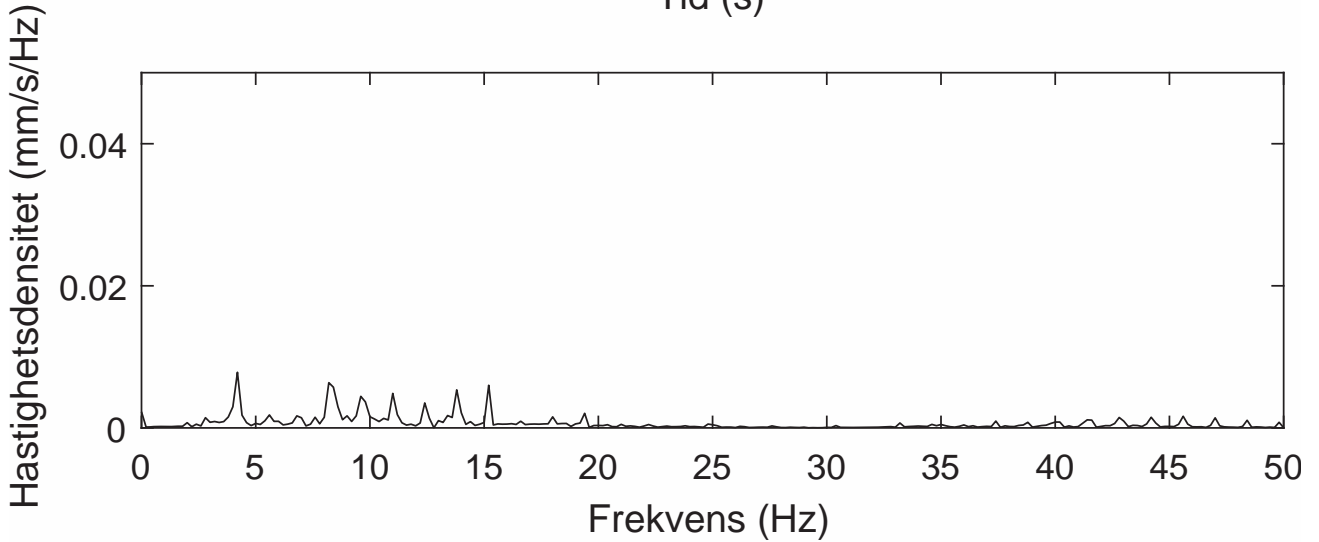
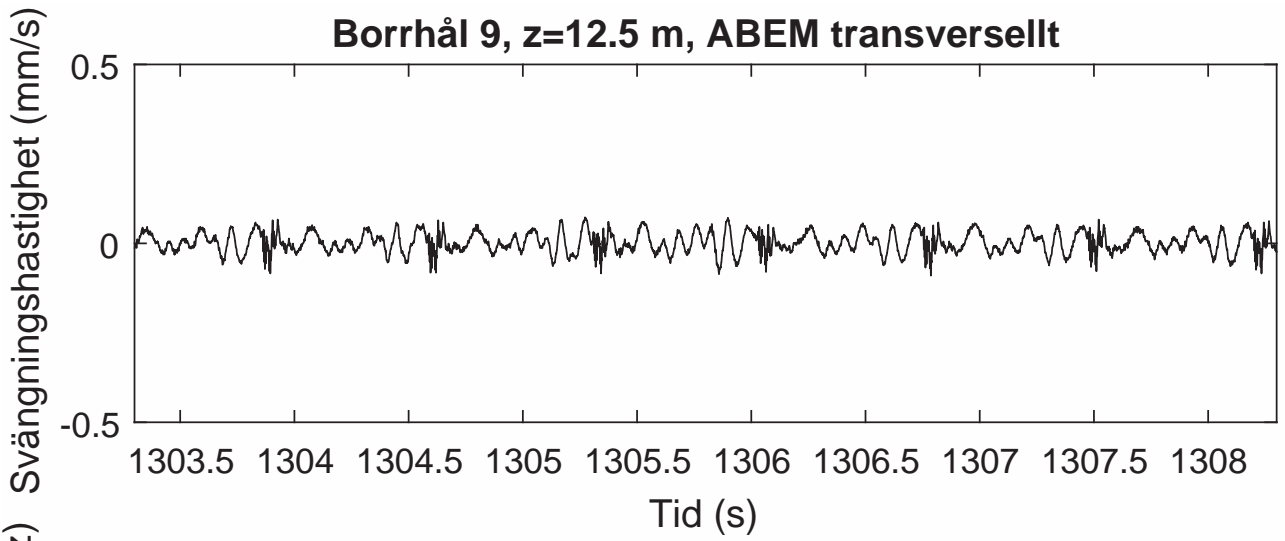
Borrhål 9, z=12.0 m, ABEM vertikalt



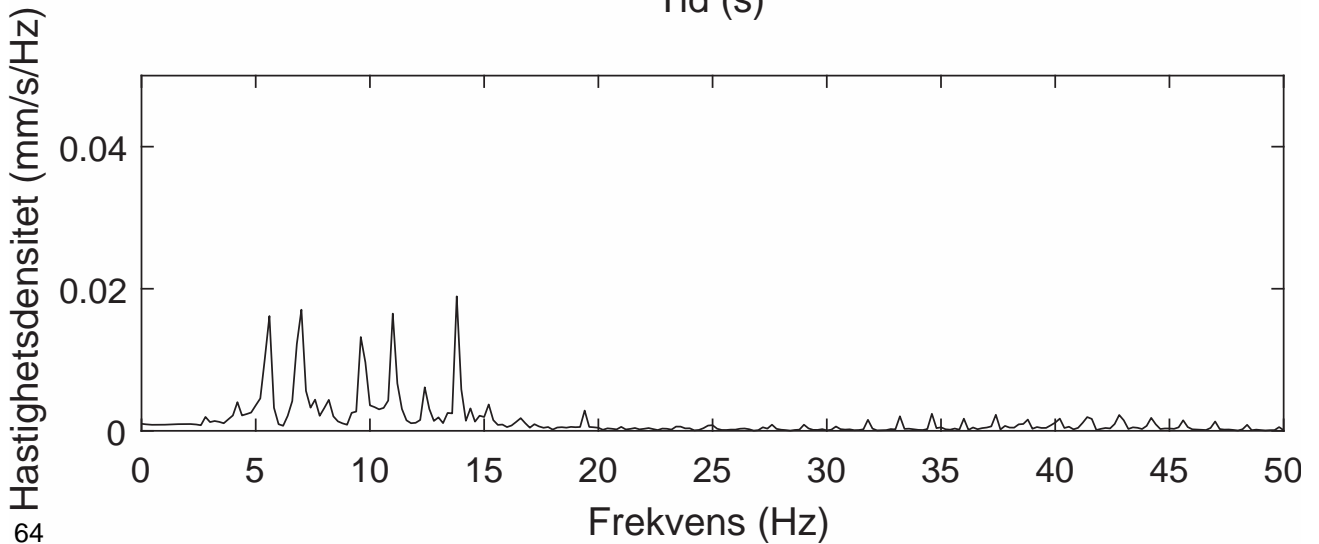
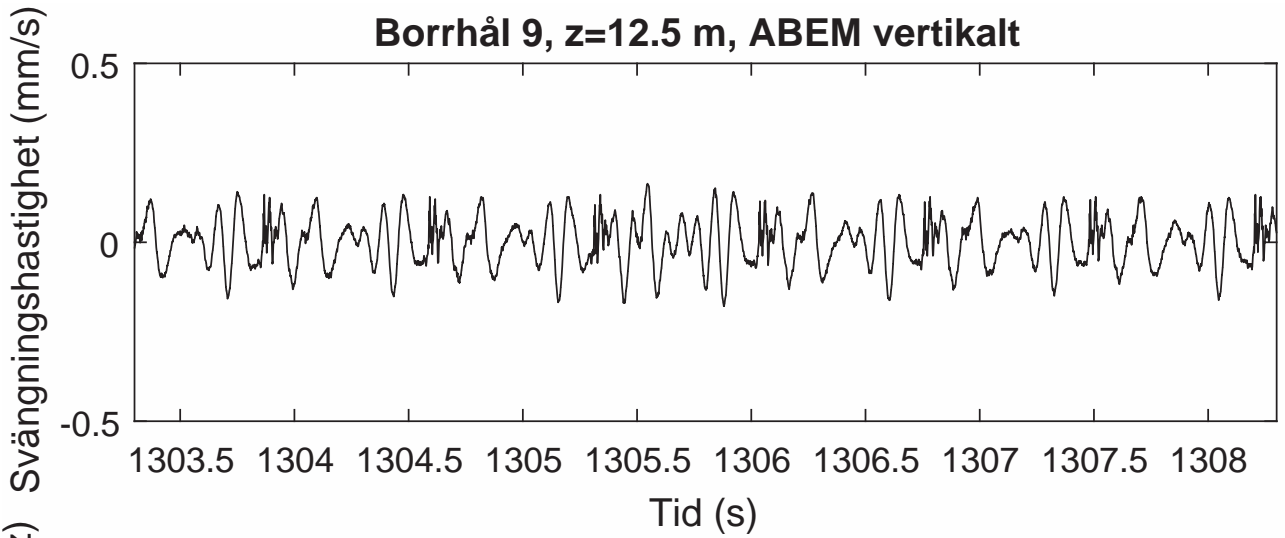
Borrhål 9, z=12.5 m, ABEM radiellt



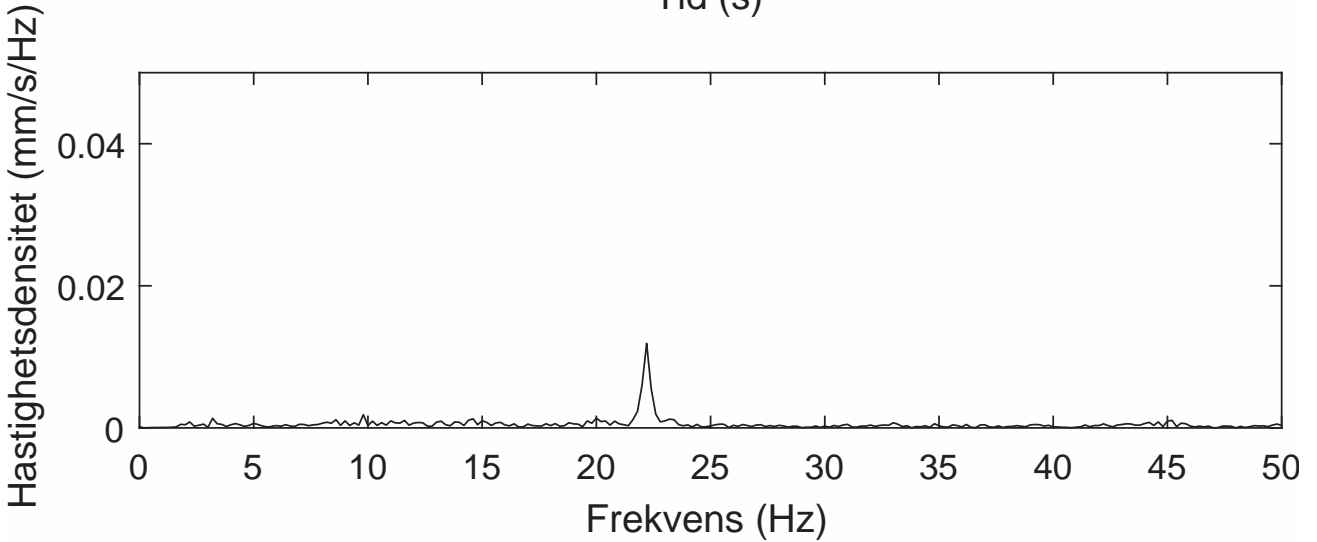
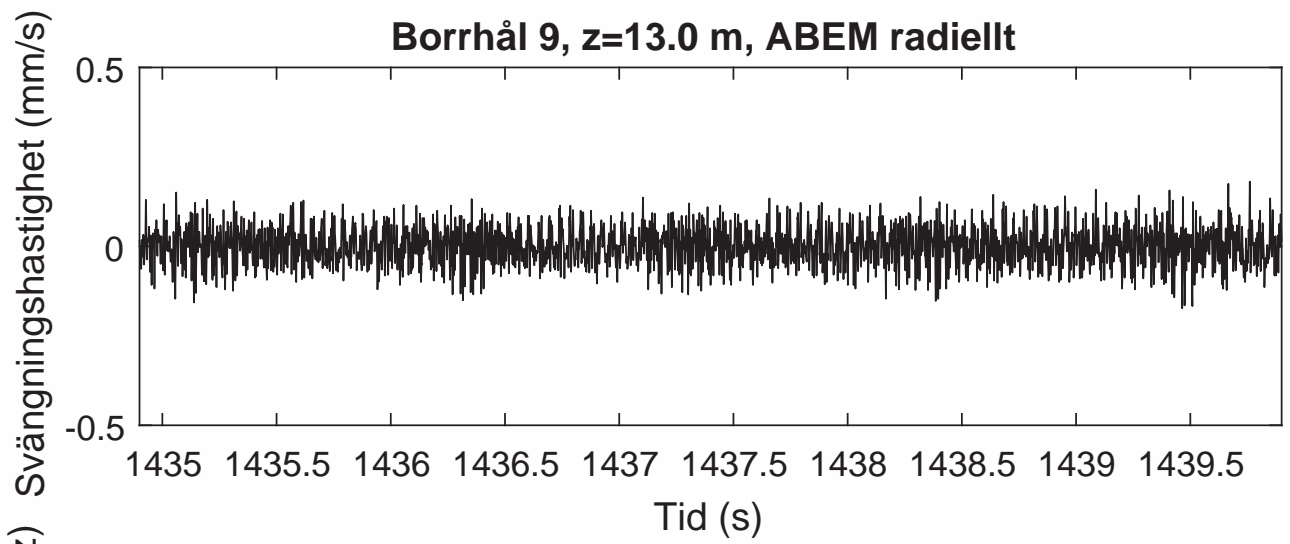
Borrhål 9, z=12.5 m, ABEM transverselt



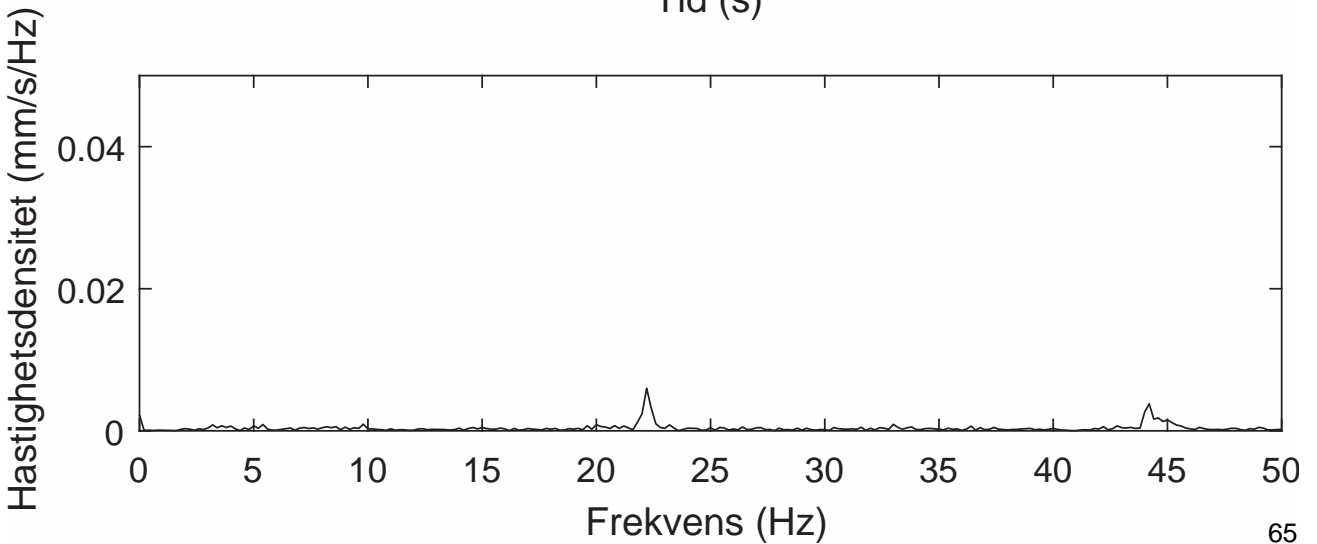
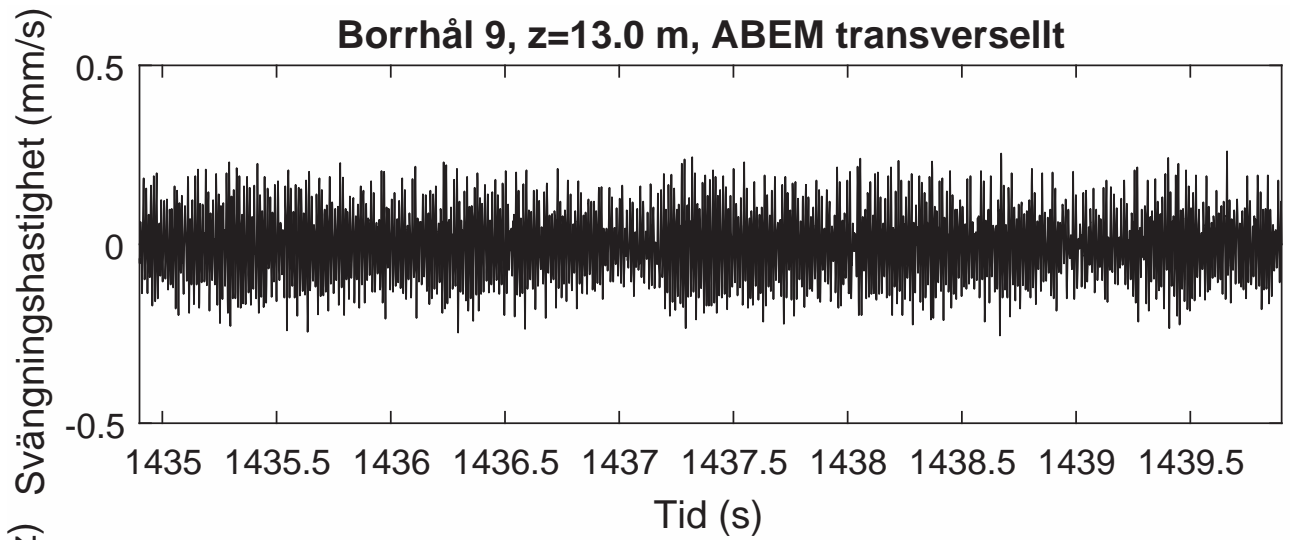
Borrhål 9, z=12.5 m, ABEM vertikalt



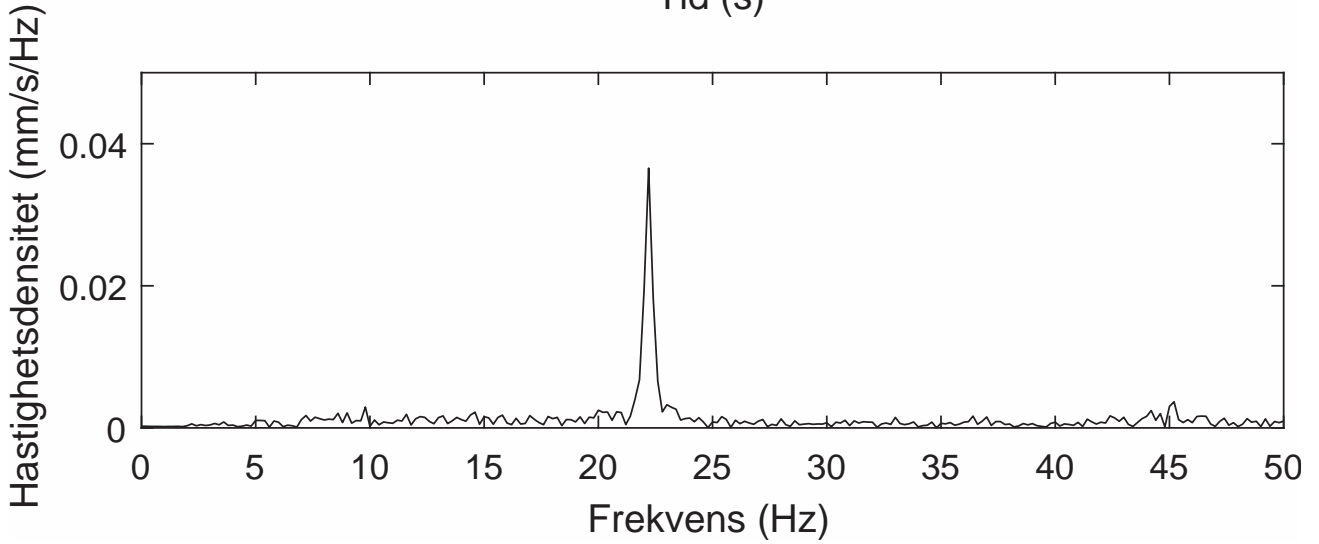
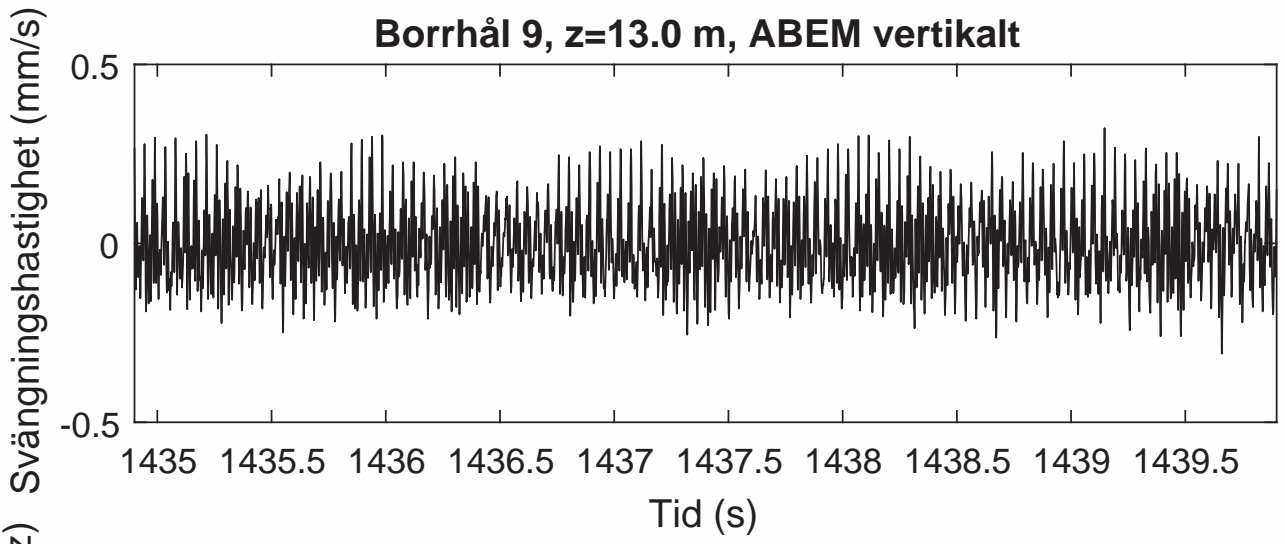
Borrhål 9, z=13.0 m, ABEM radiellt



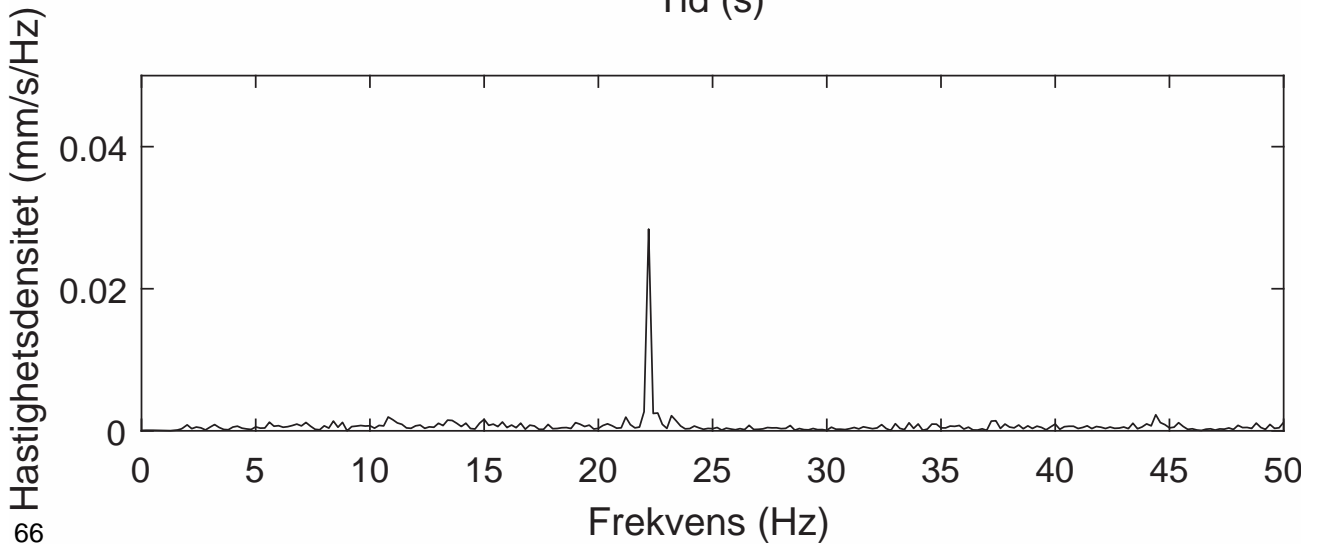
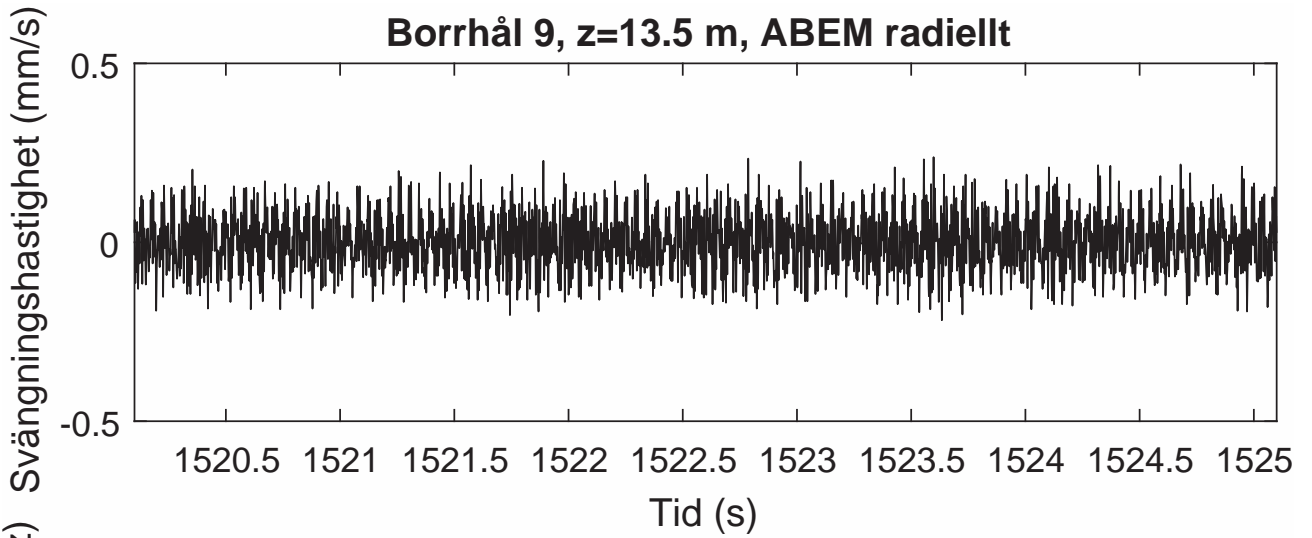
Borrhål 9, z=13.0 m, ABEM transversellt



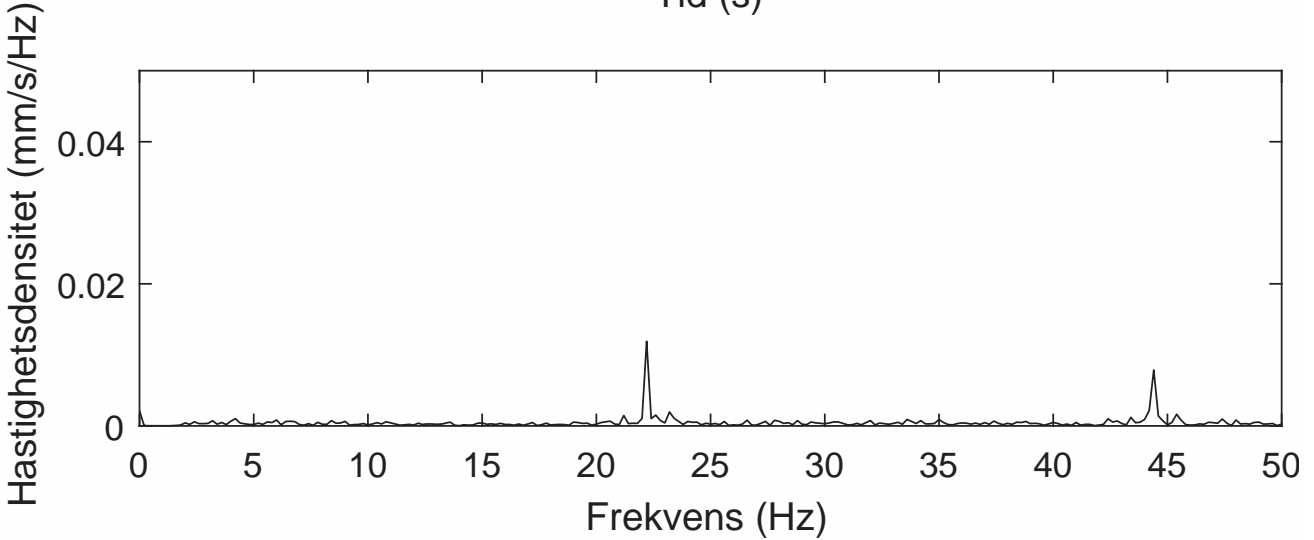
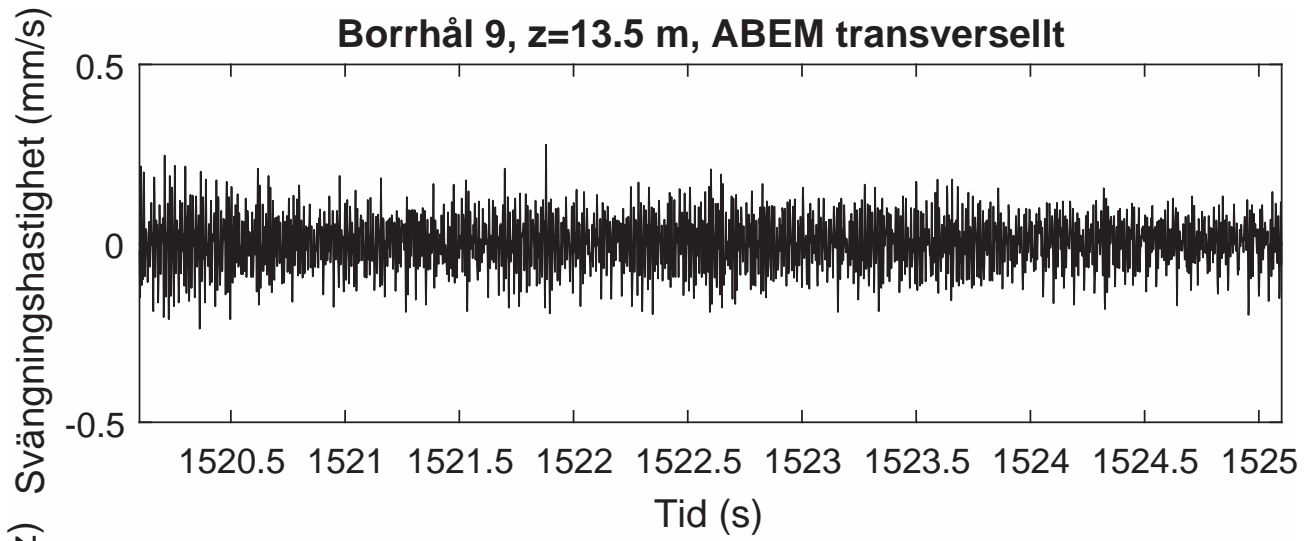
Borrhål 9, z=13.0 m, ABEM vertikalt



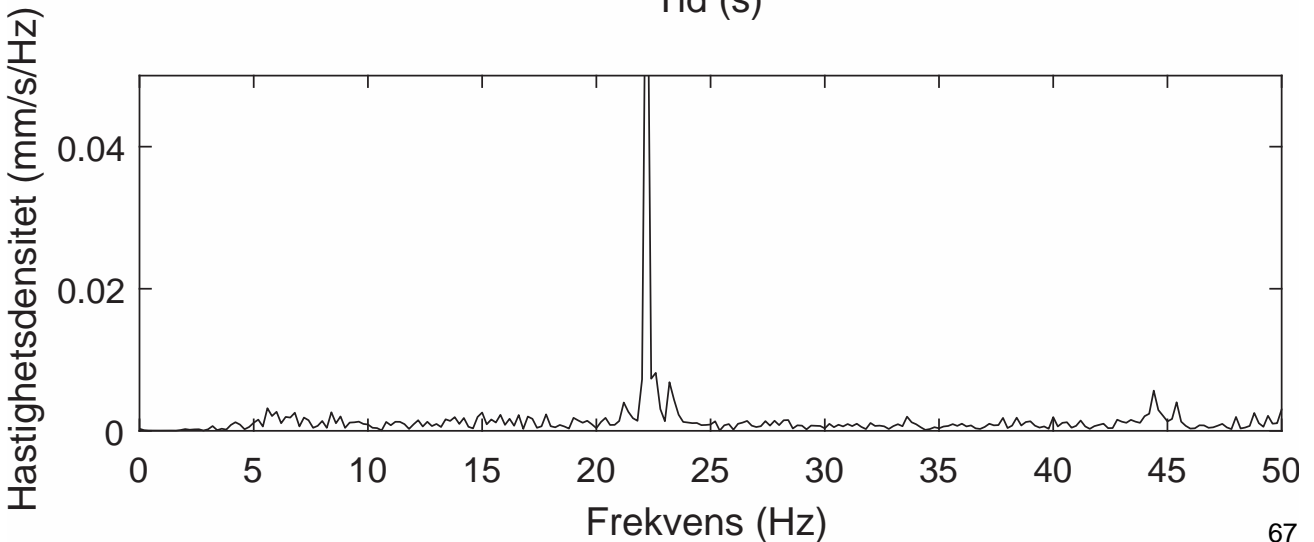
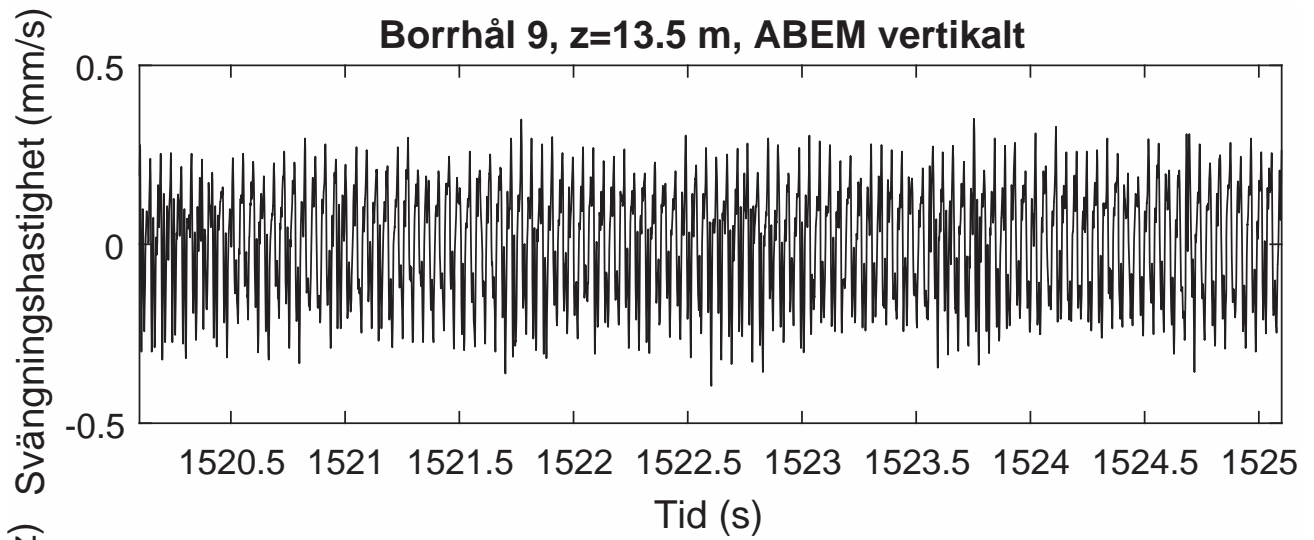
Borrhål 9, z=13.5 m, ABEM radiellt



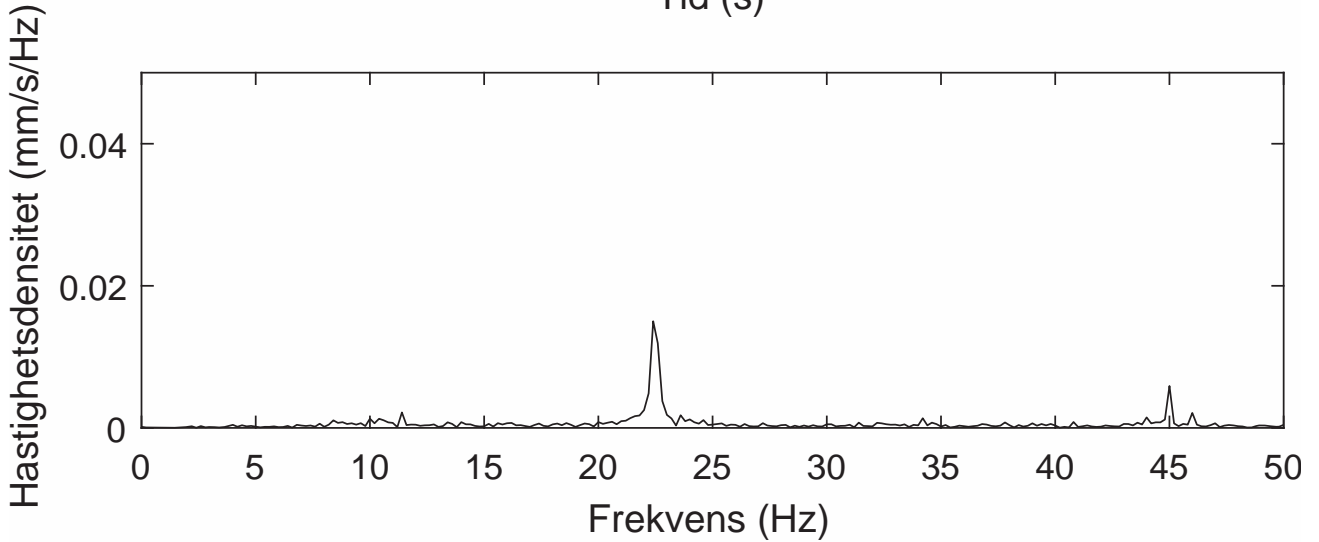
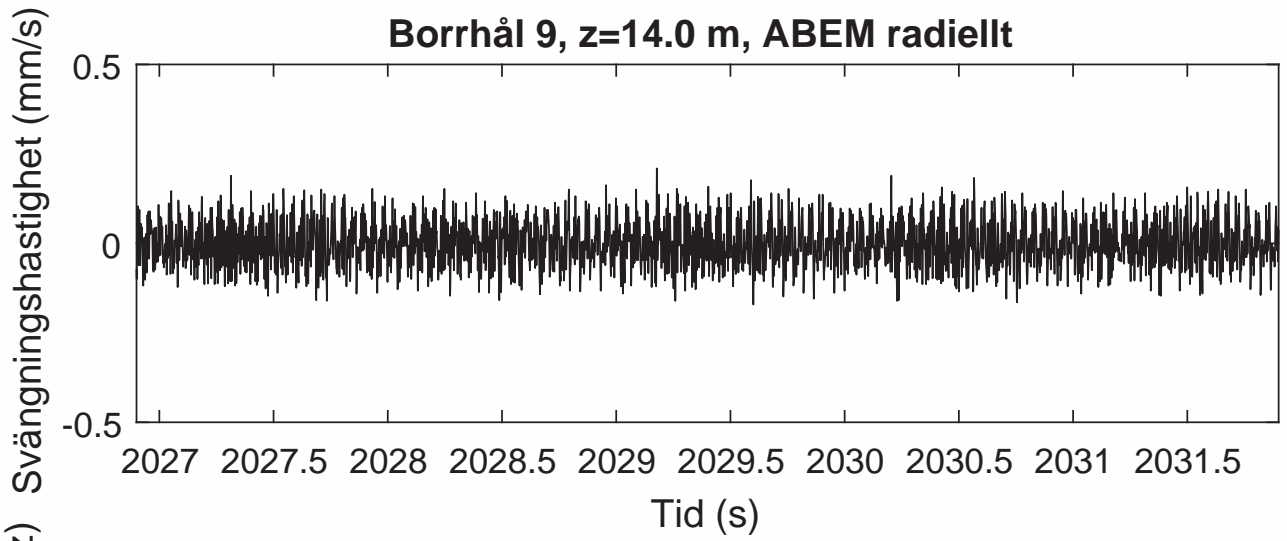
Borrhål 9, z=13.5 m, ABEM transverselt



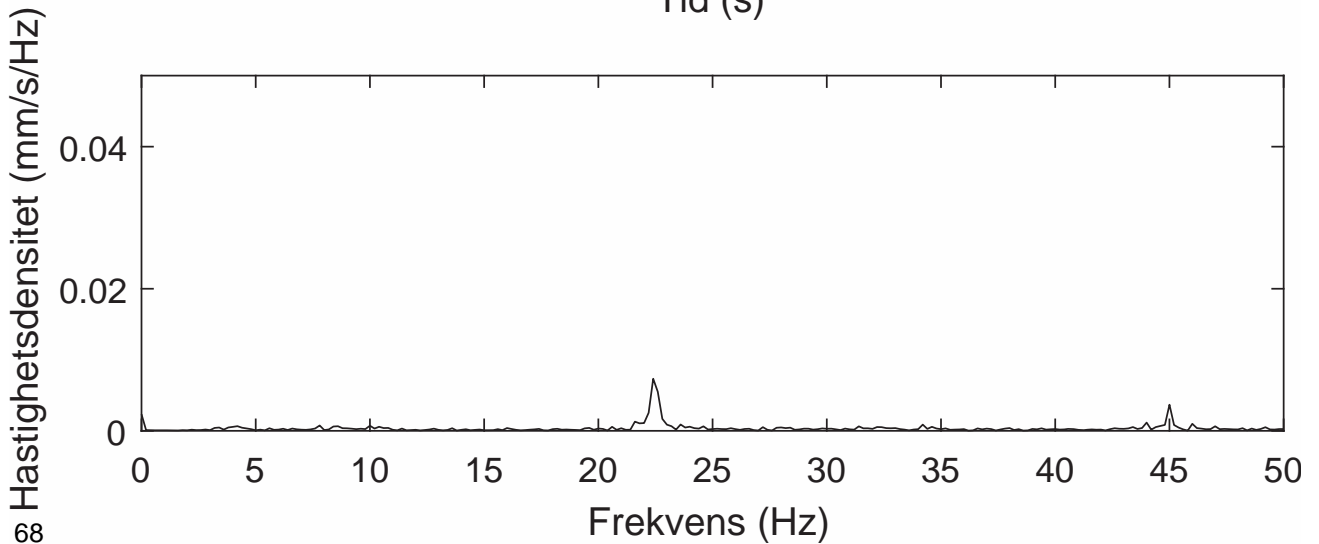
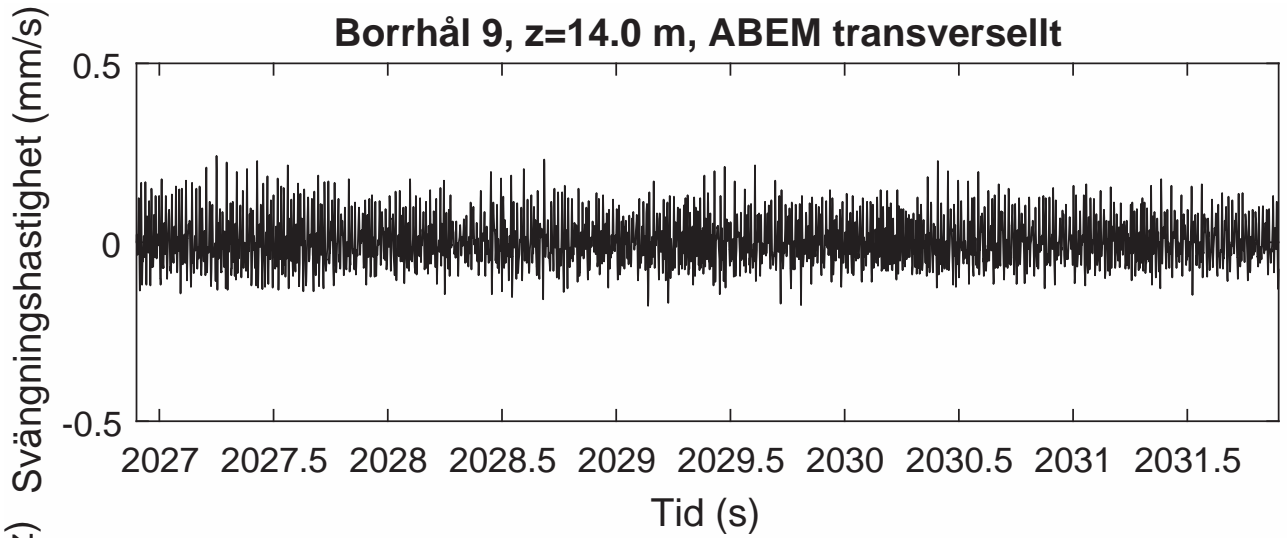
Borrhål 9, z=13.5 m, ABEM vertikalt



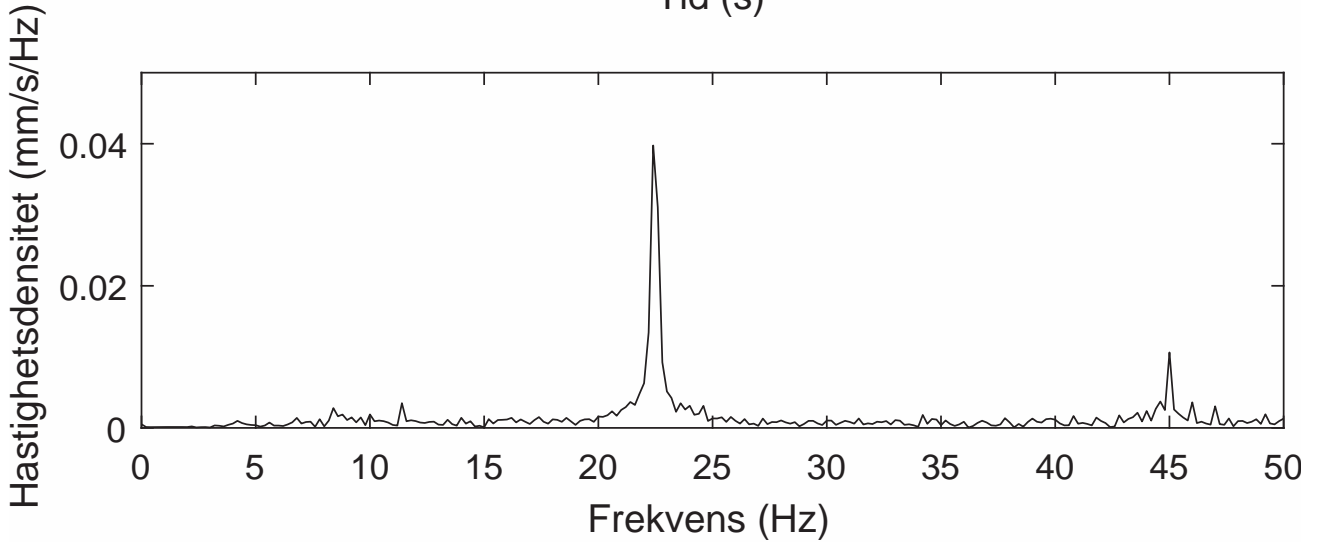
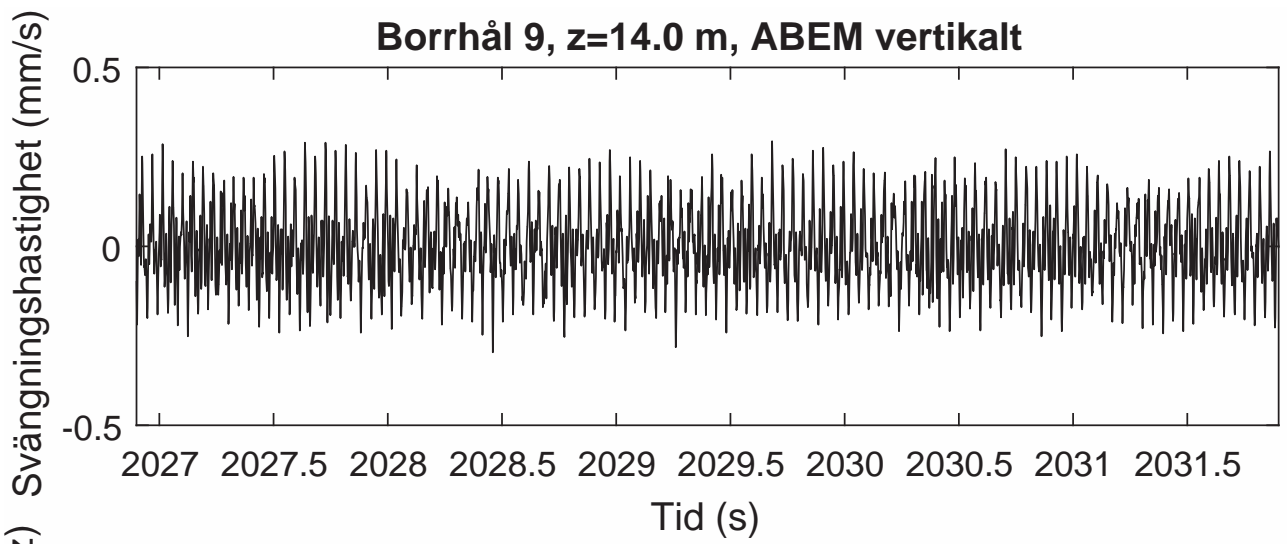
Borrhål 9, z=14.0 m, ABEM radiellt



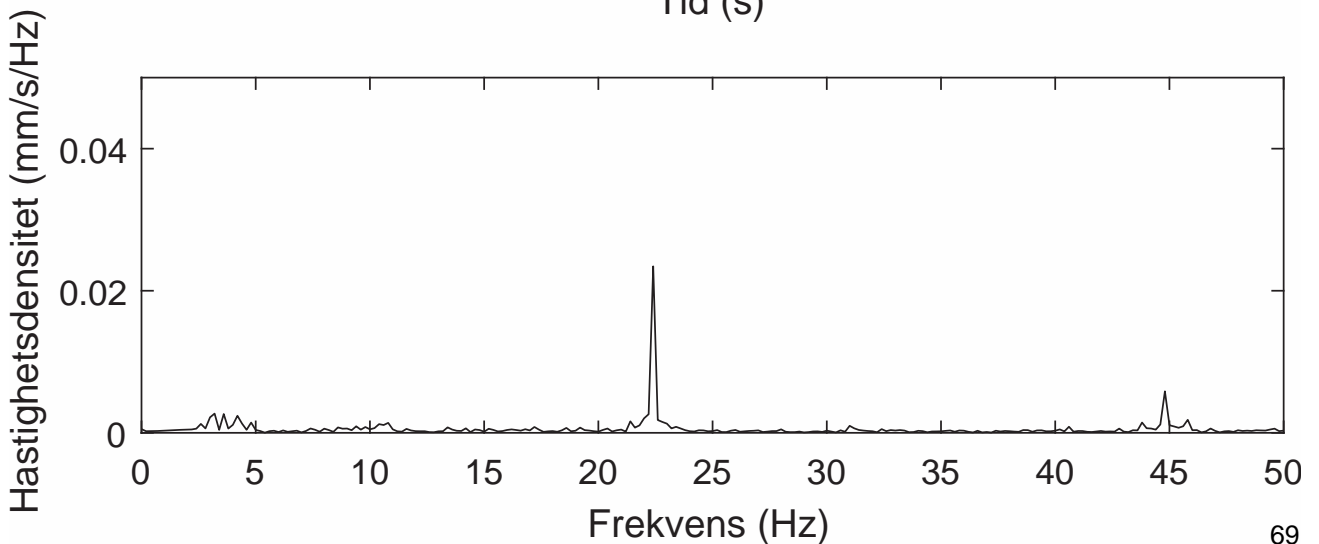
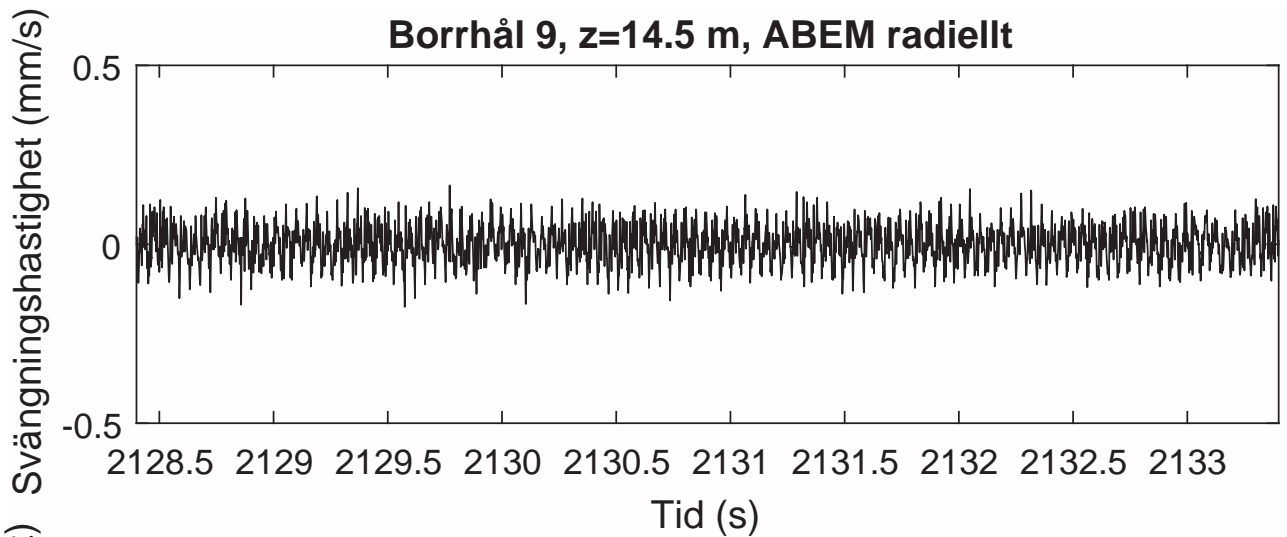
Borrhål 9, z=14.0 m, ABEM transversellt



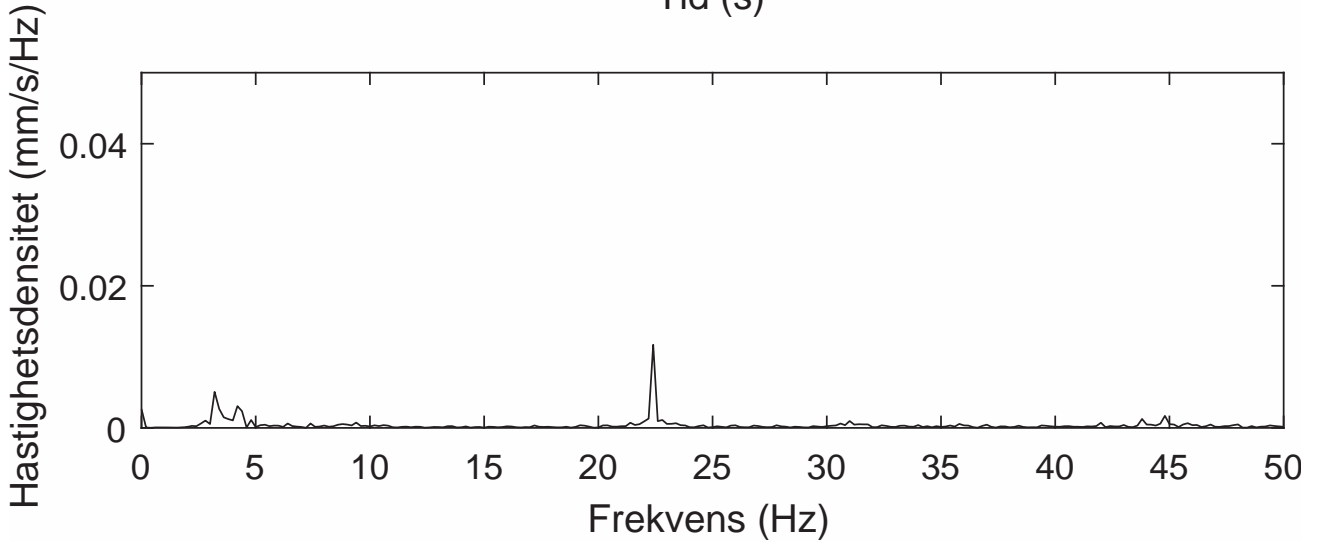
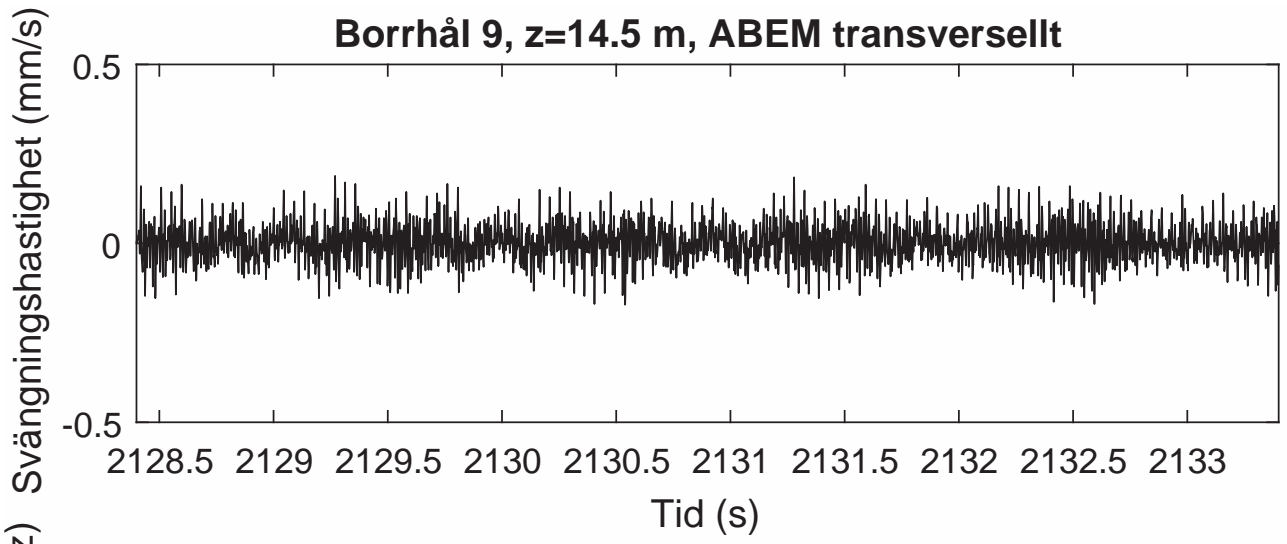
Borrhål 9, z=14.0 m, ABEM vertikalt



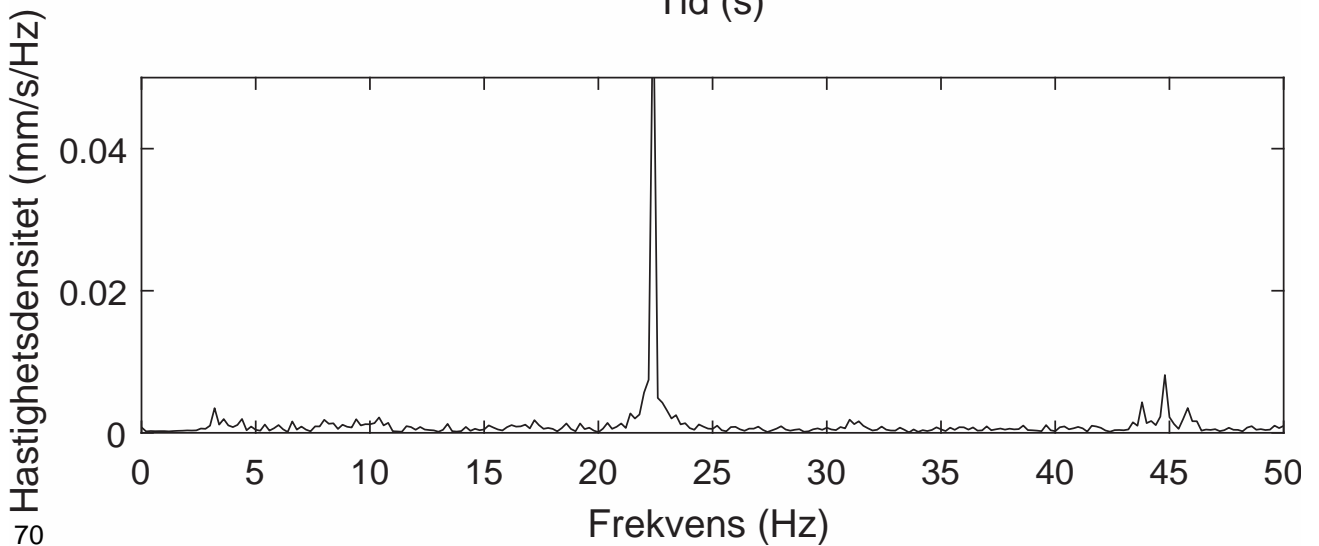
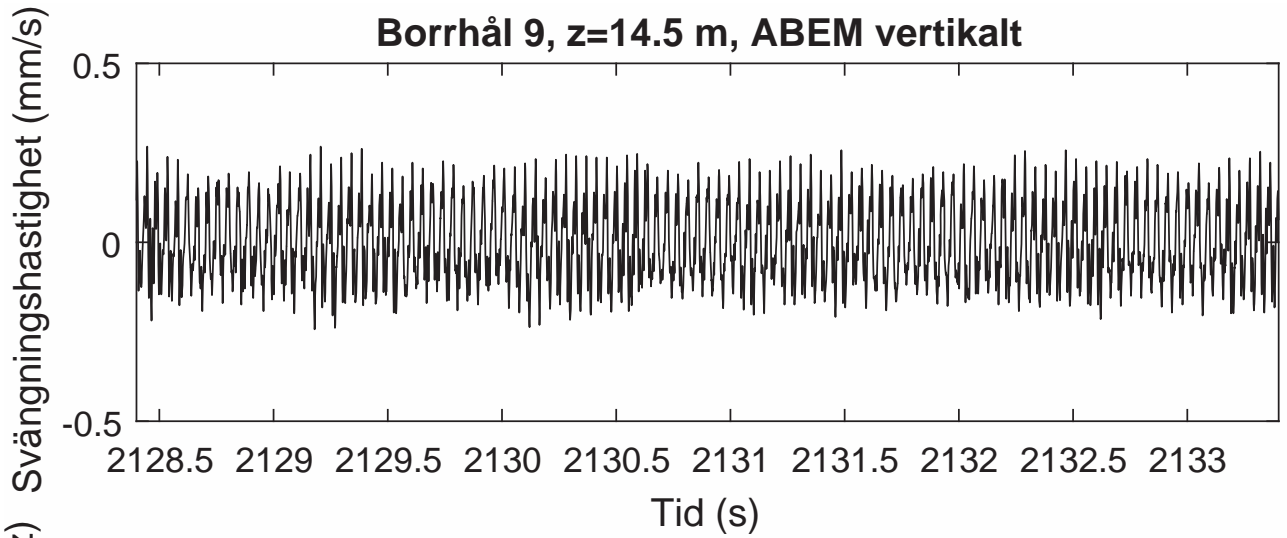
Borrhål 9, z=14.5 m, ABEM radiellt



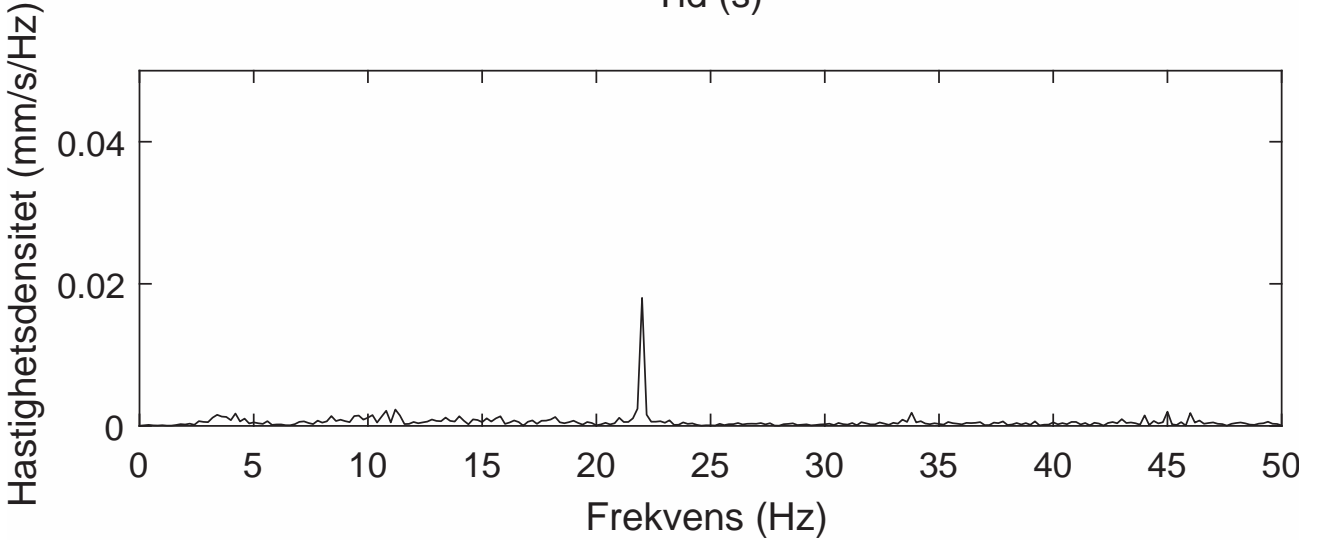
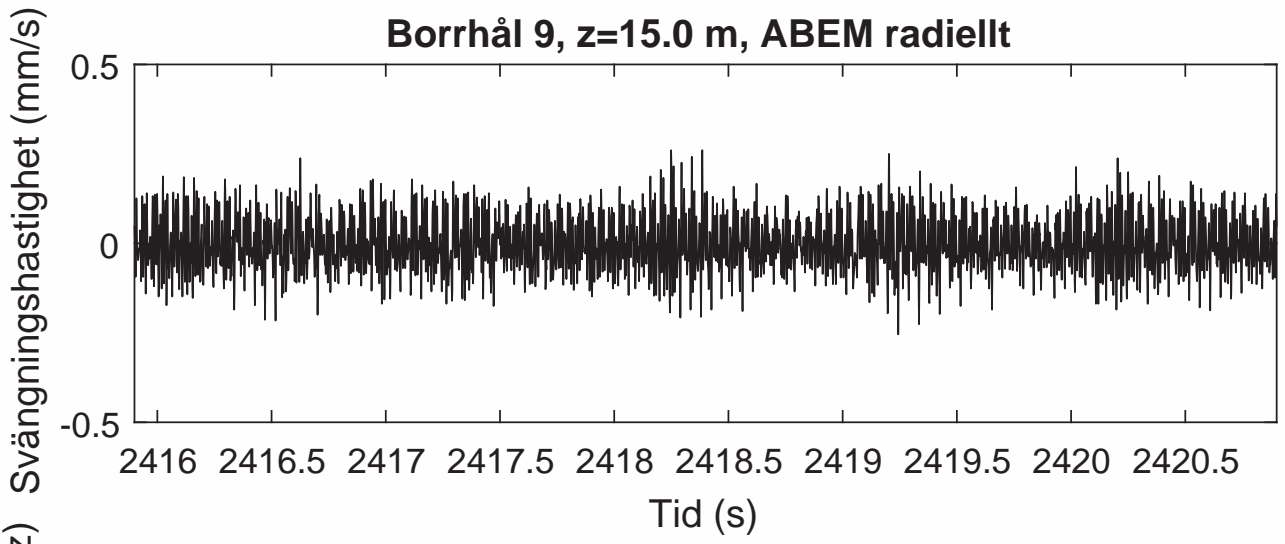
Borrhål 9, z=14.5 m, ABEM transverselt



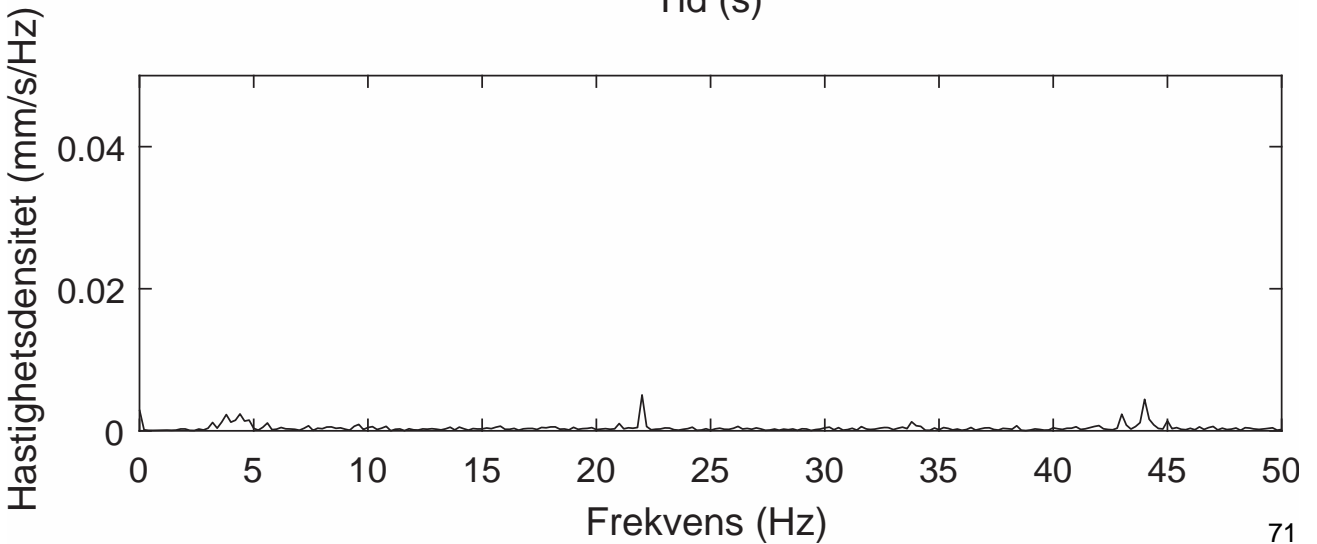
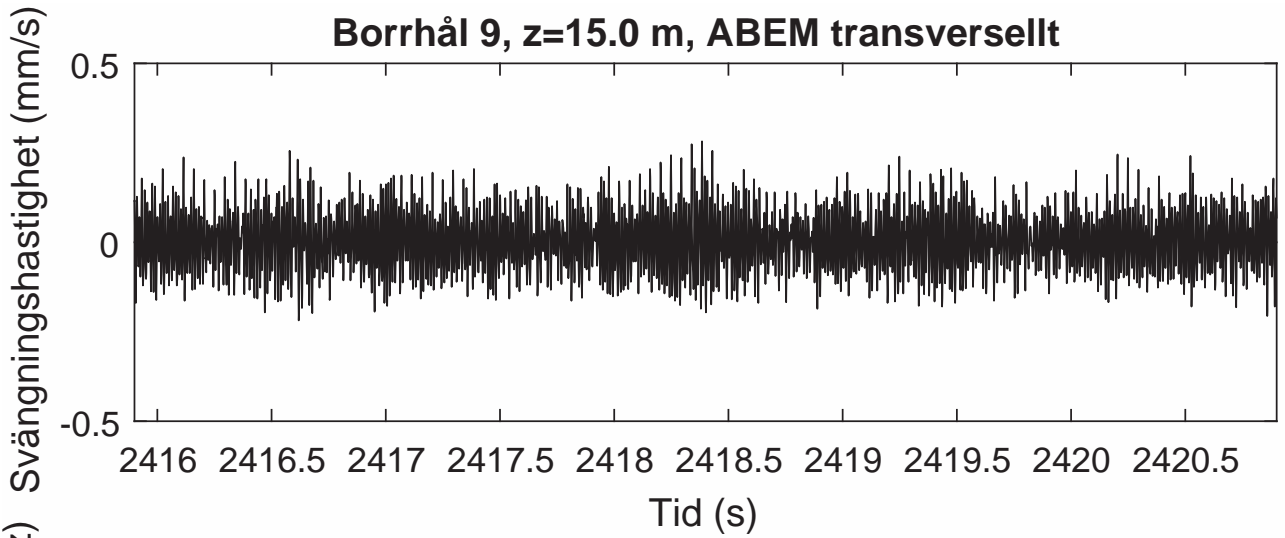
Borrhål 9, z=14.5 m, ABEM vertikalt



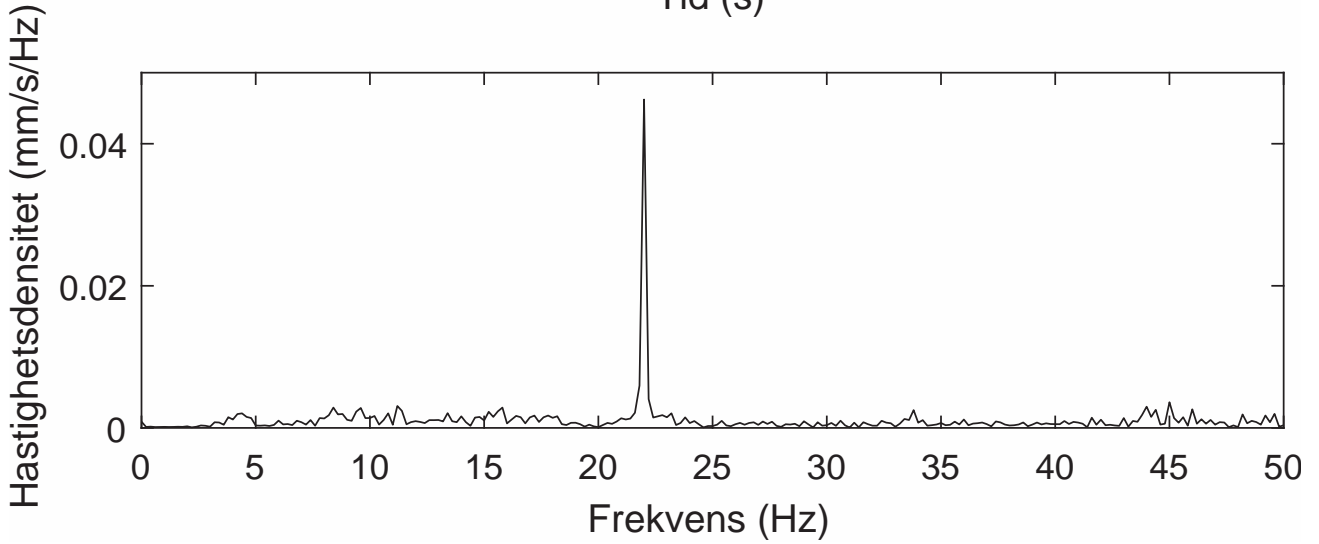
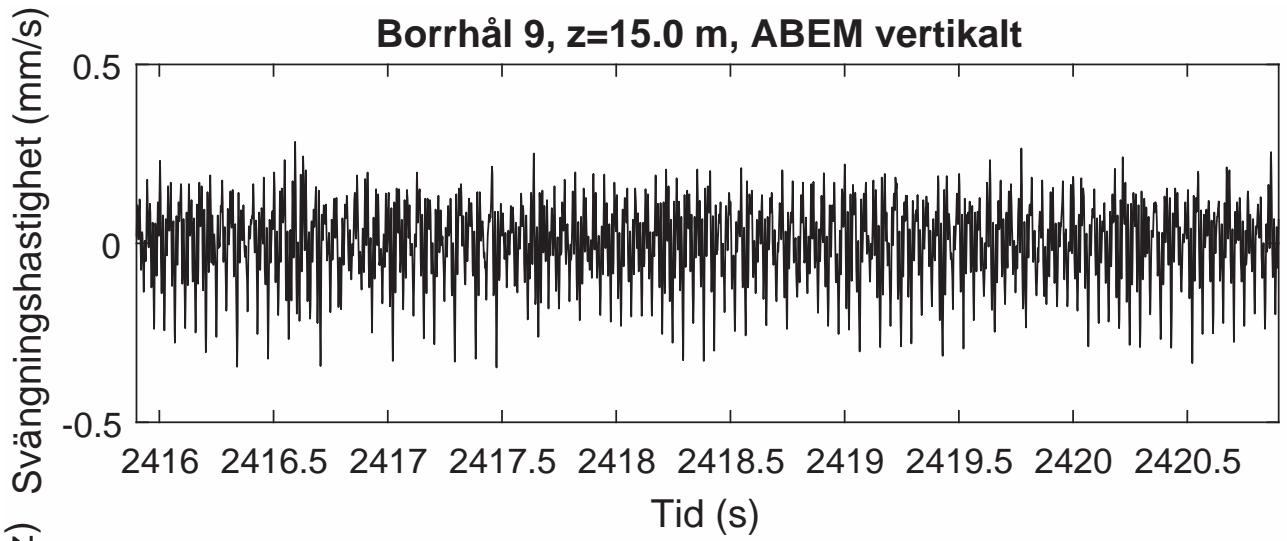
Borrhål 9, z=15.0 m, ABEM radiellt



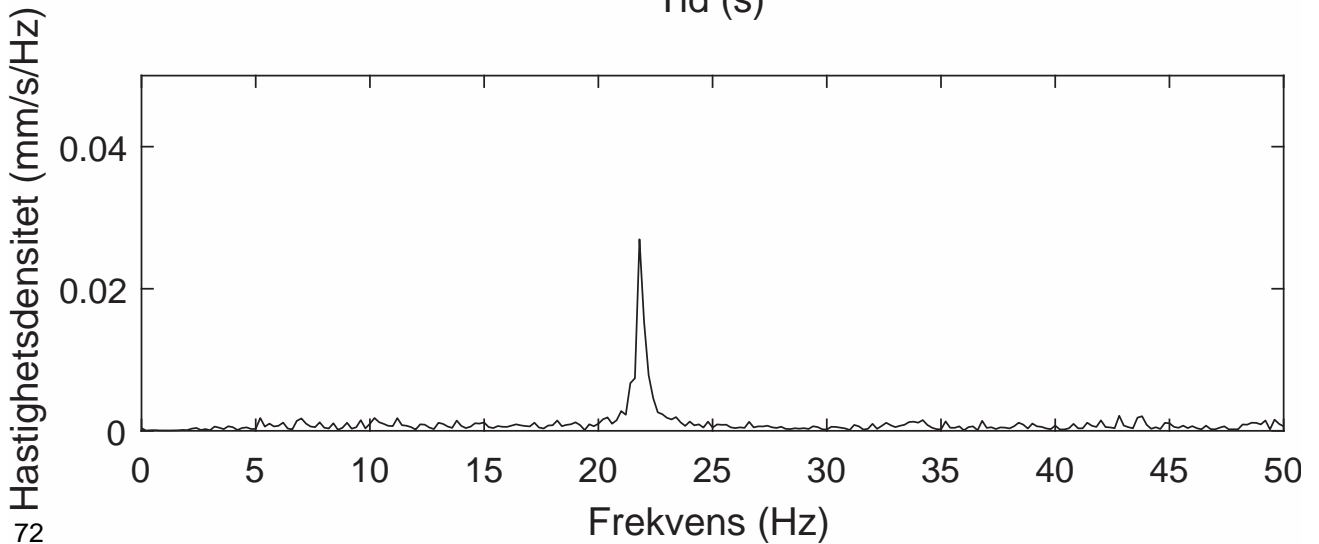
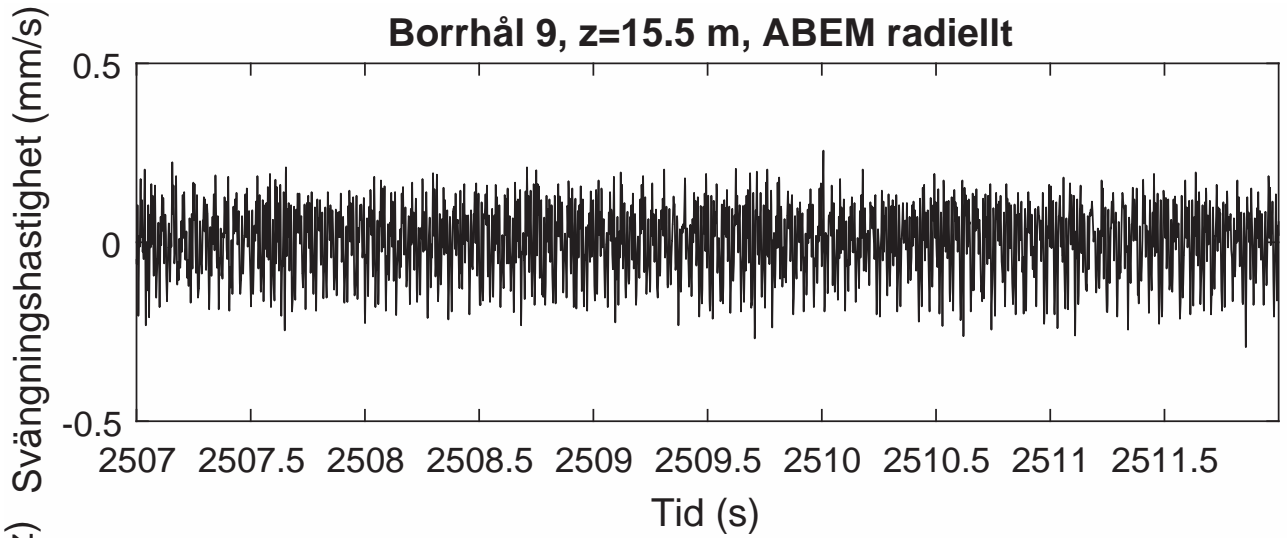
Borrhål 9, z=15.0 m, ABEM transversellt



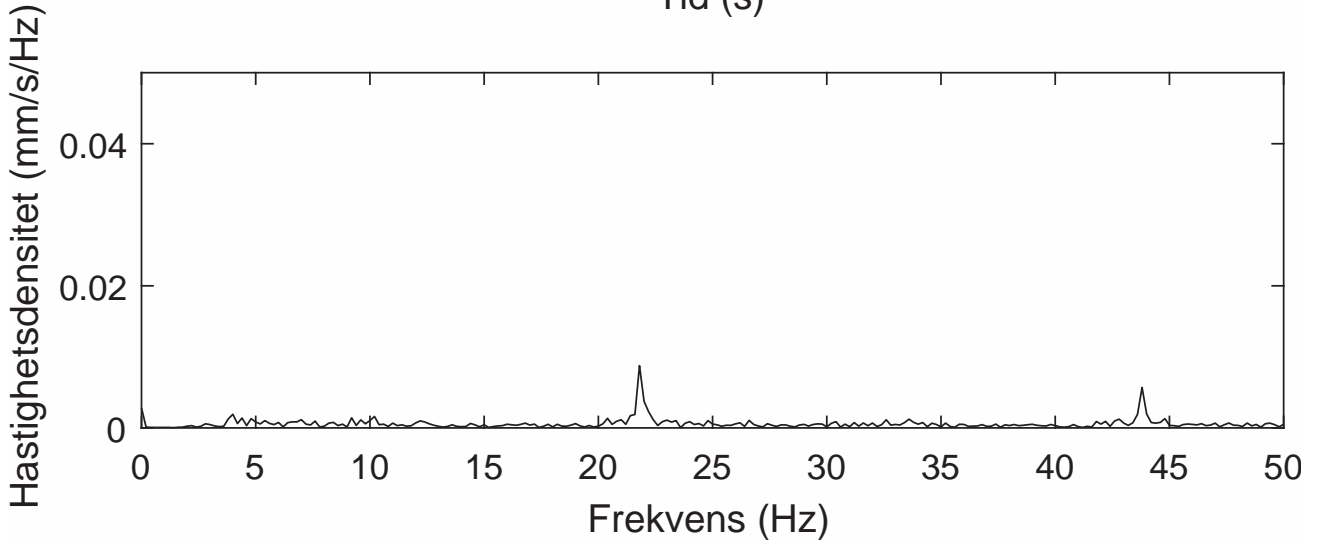
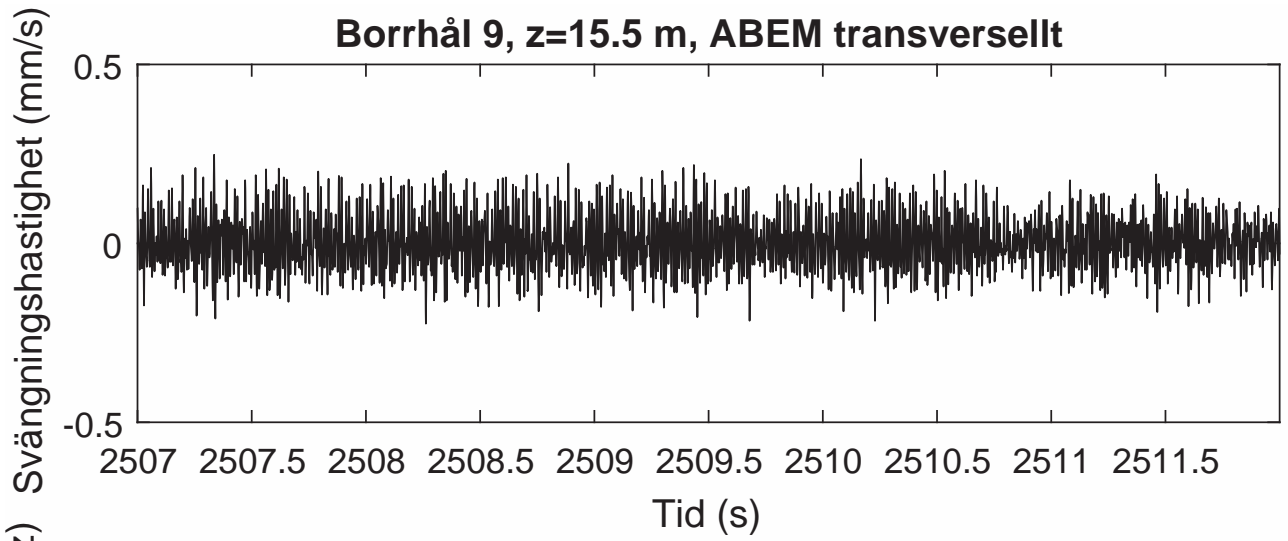
Borrhål 9, z=15.0 m, ABEM vertikalt



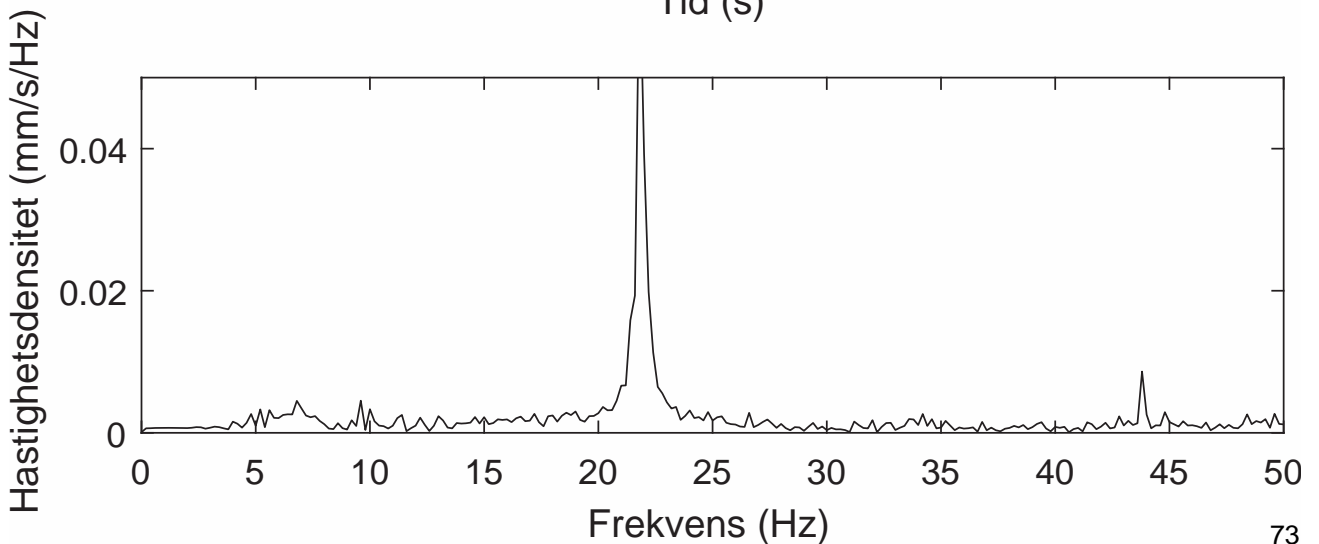
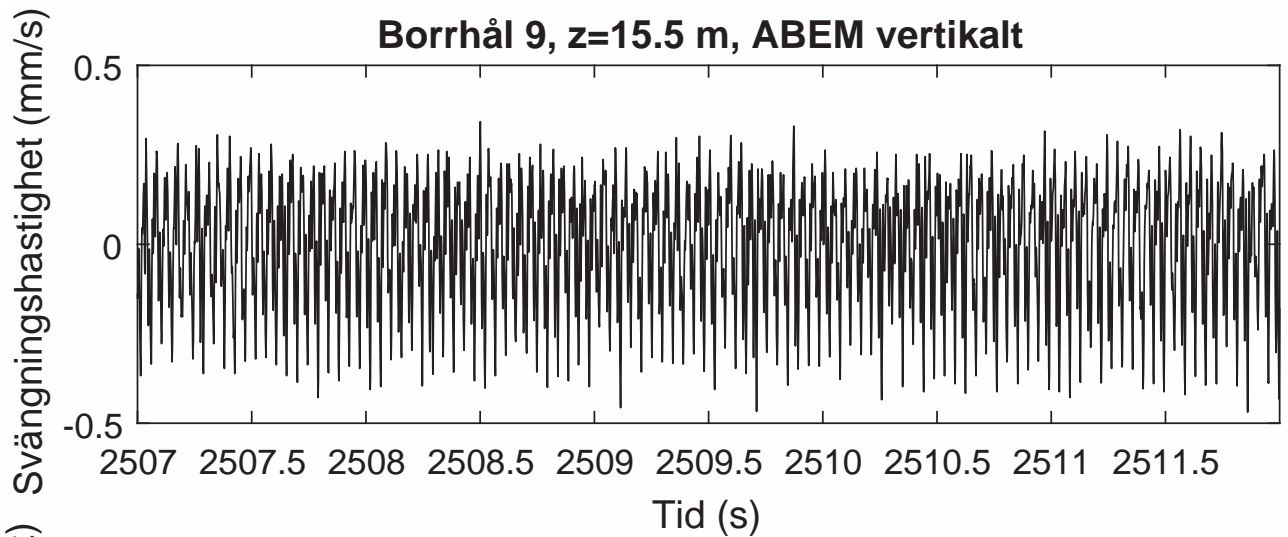
Borrhål 9, z=15.5 m, ABEM radiellt



Borrhål 9, z=15.5 m, ABEM transverselt



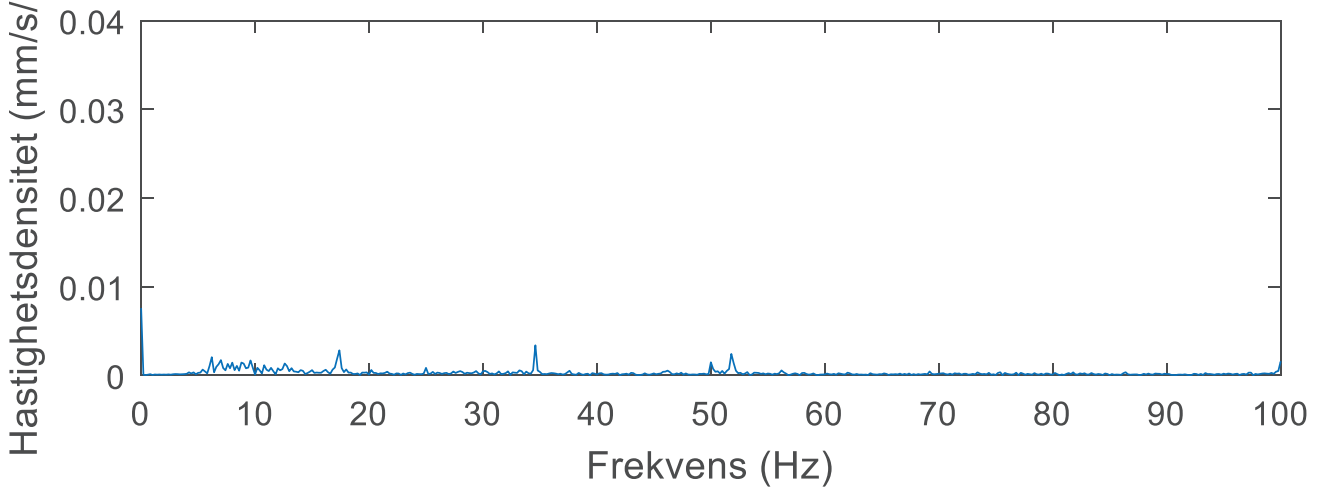
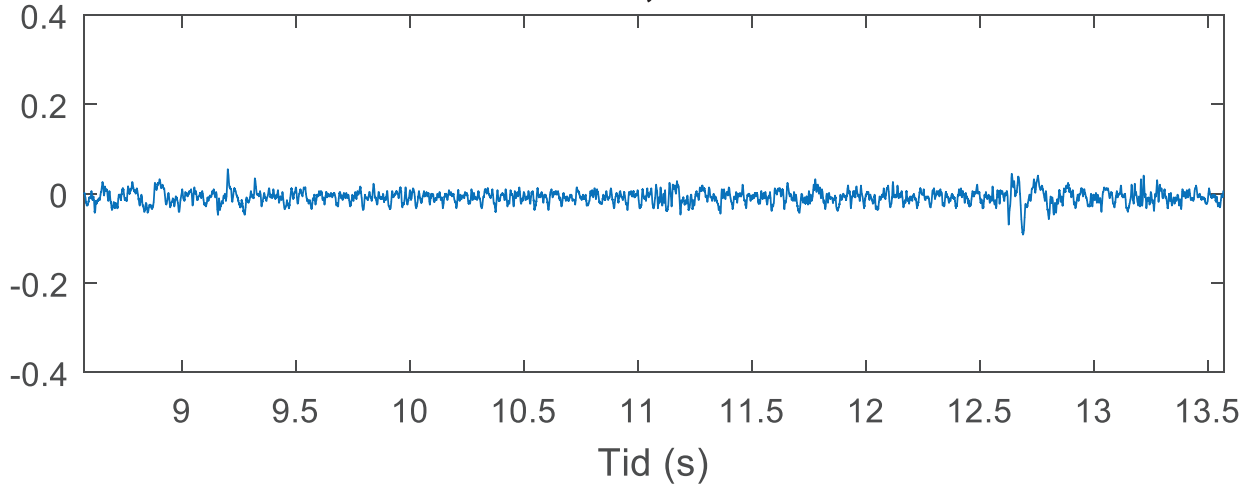
Borrhål 9, z=15.5 m, ABEM vertikalt



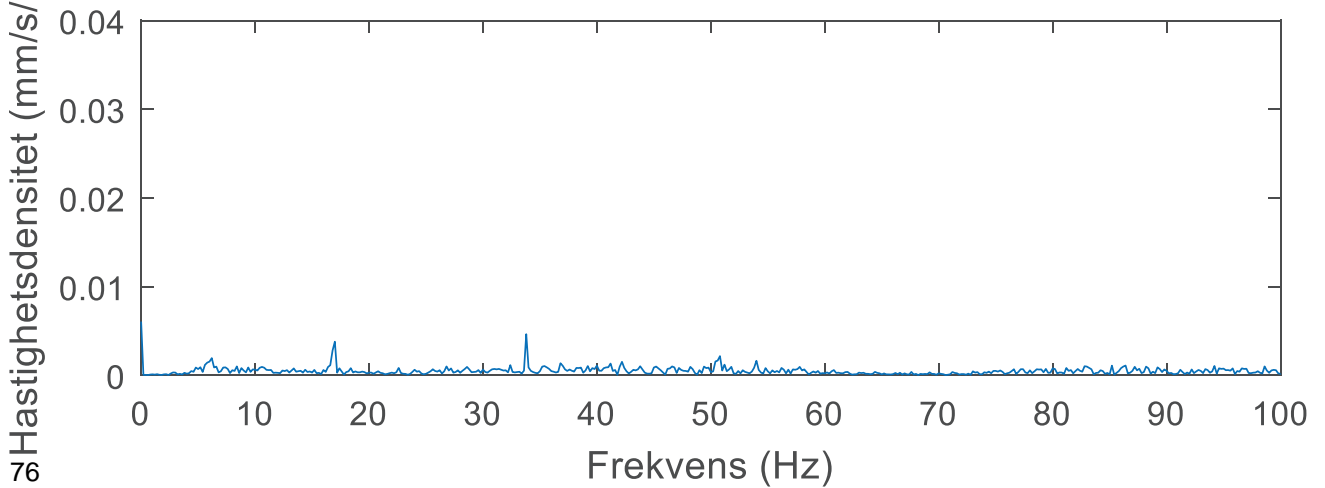
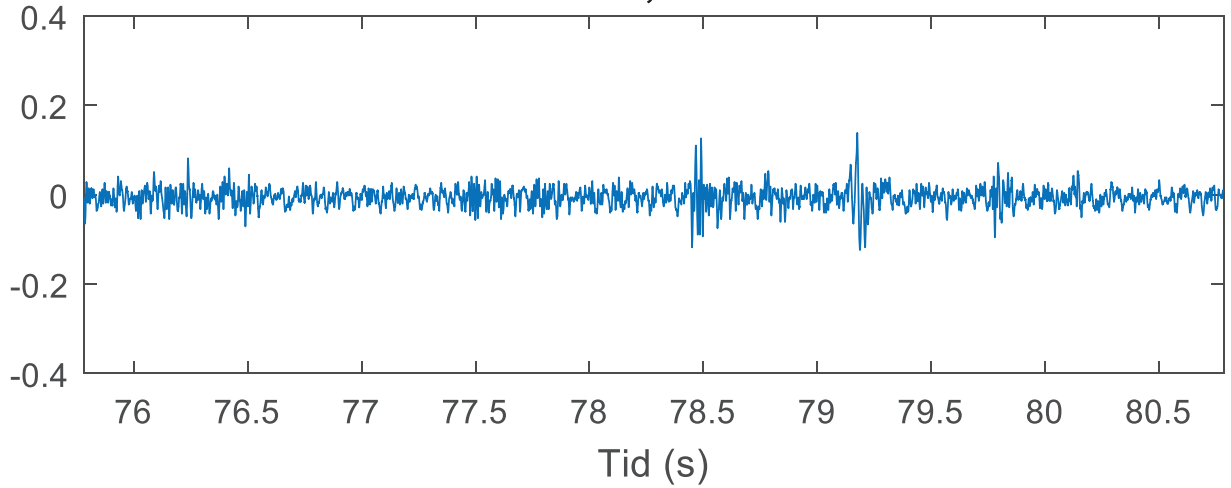
Bilaga B.

Svängningshastighetens tidsförlopp och tillhörande frekvensspektra, borrhål S001 och S002, Åkersberga

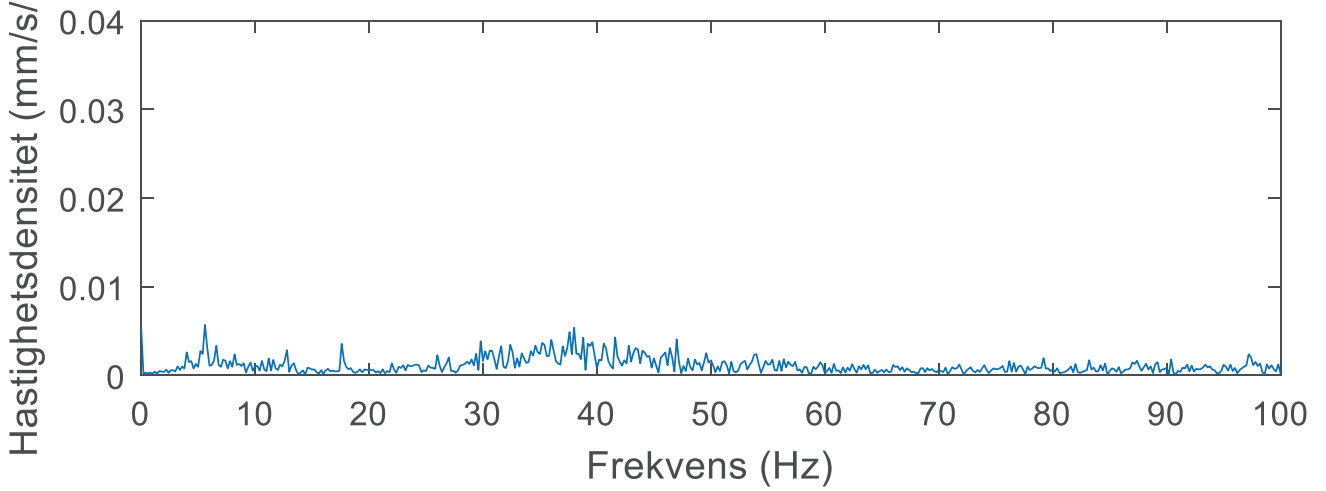
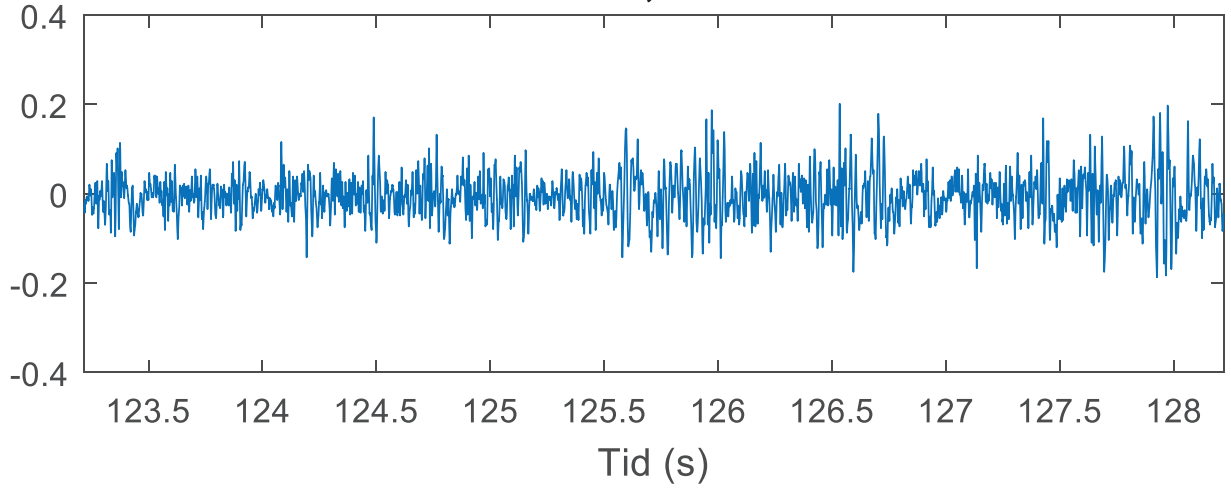
16s001001z, 0.56-1.18 m



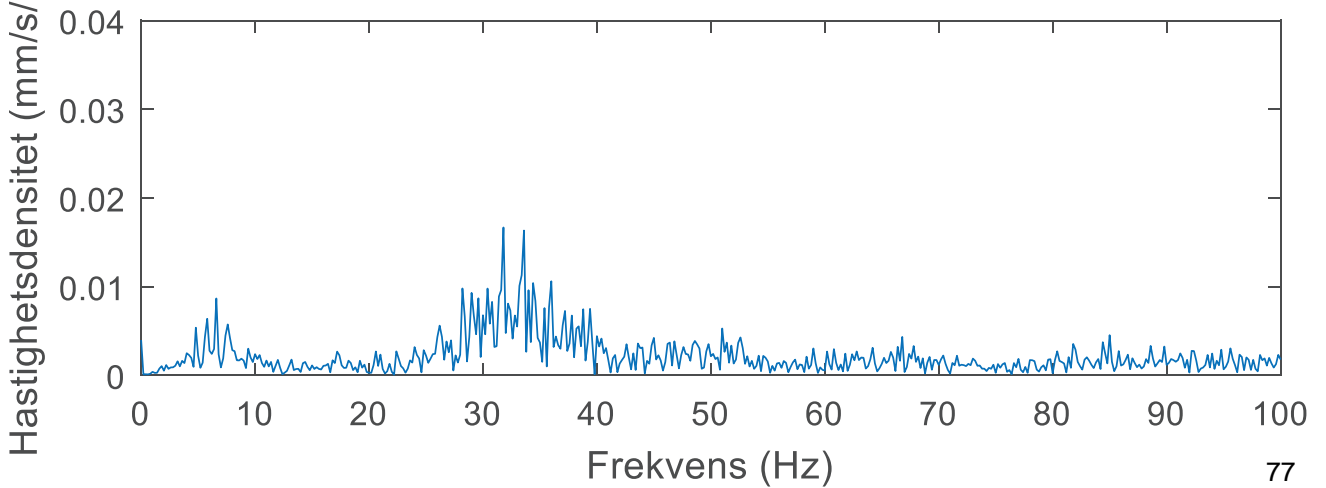
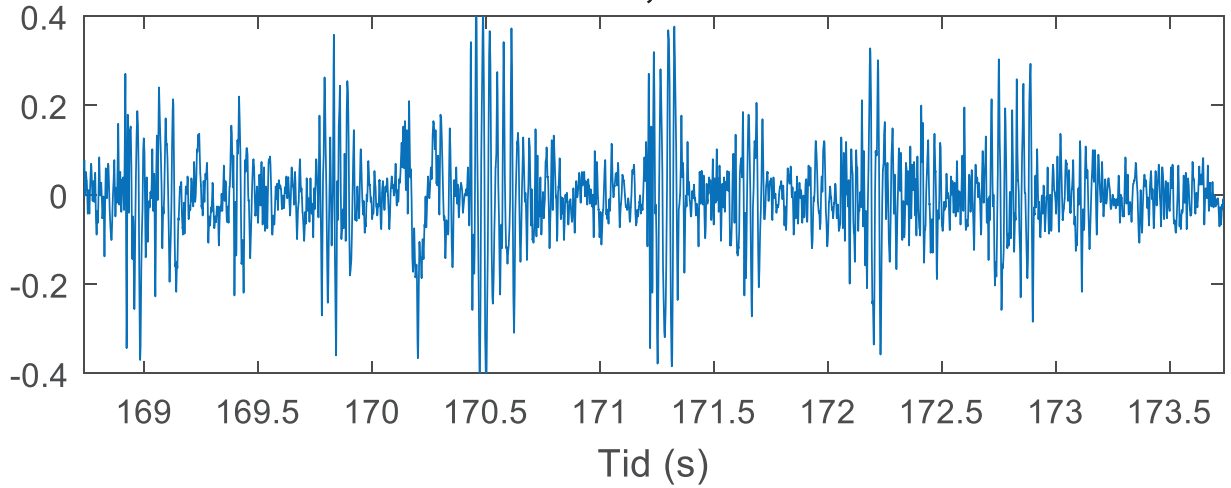
16s001001z, 2.29-2.99 m



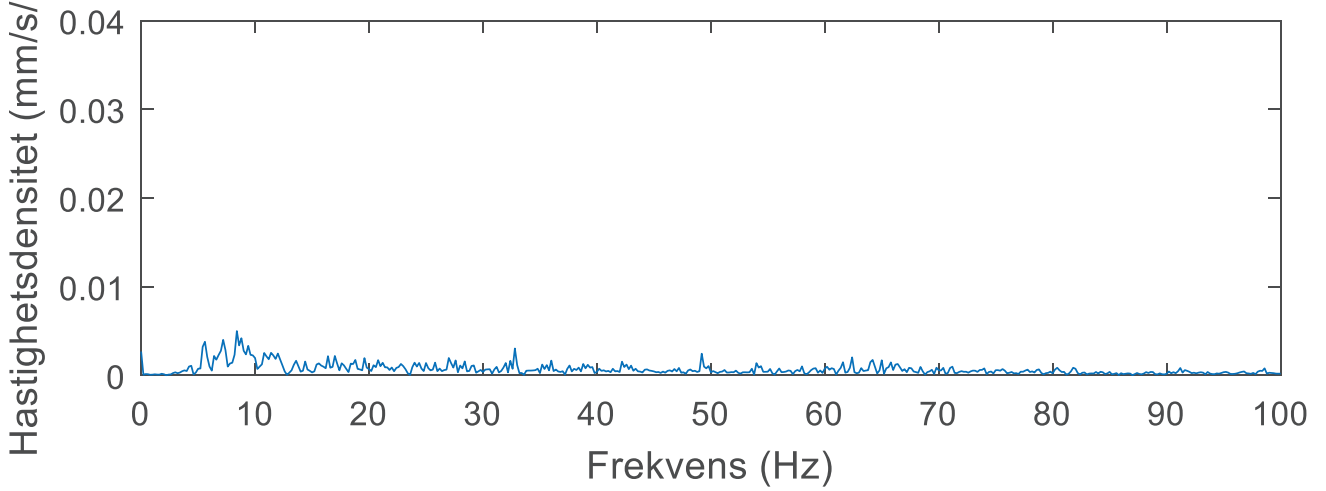
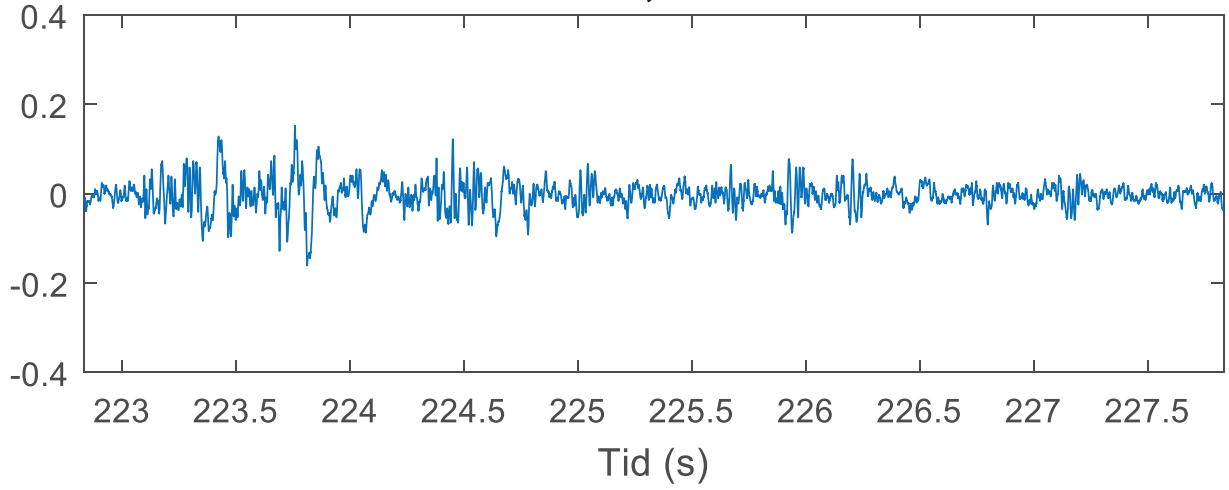
16s001001z, 4.19-4.90 m



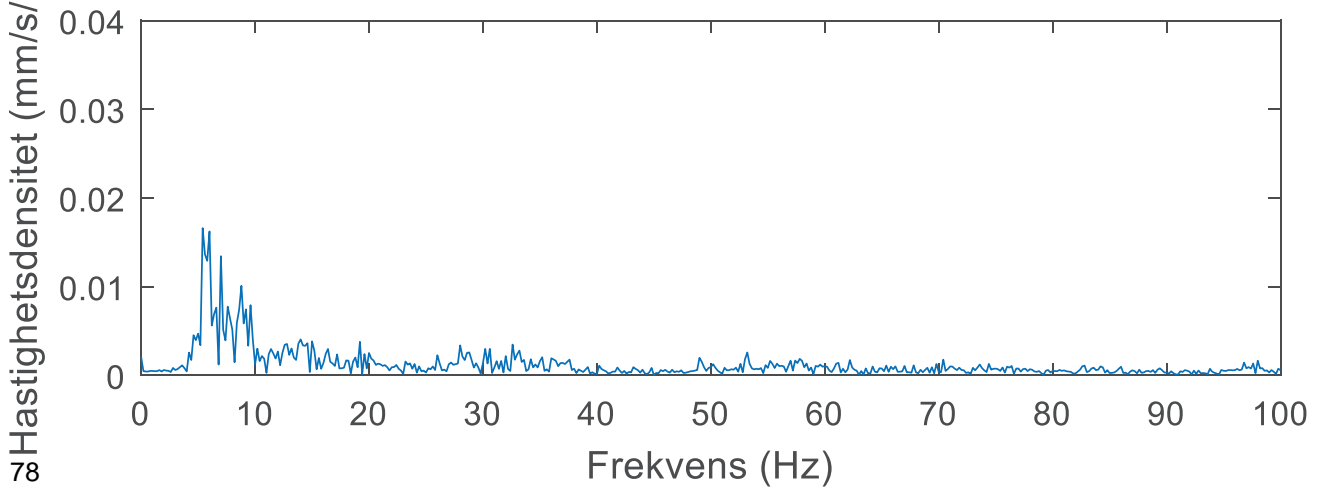
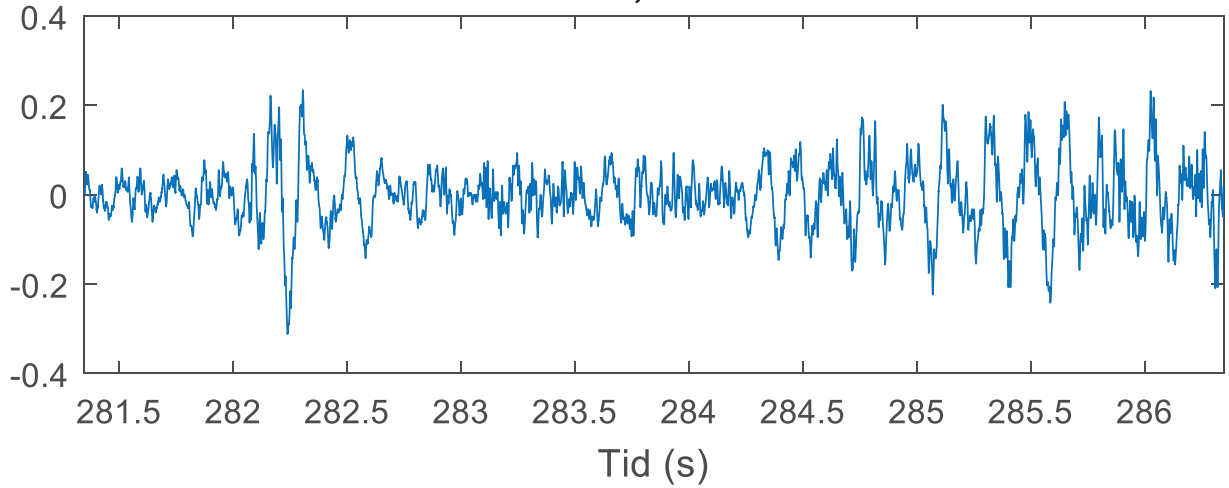
16s001001z, 5.83-6.53 m



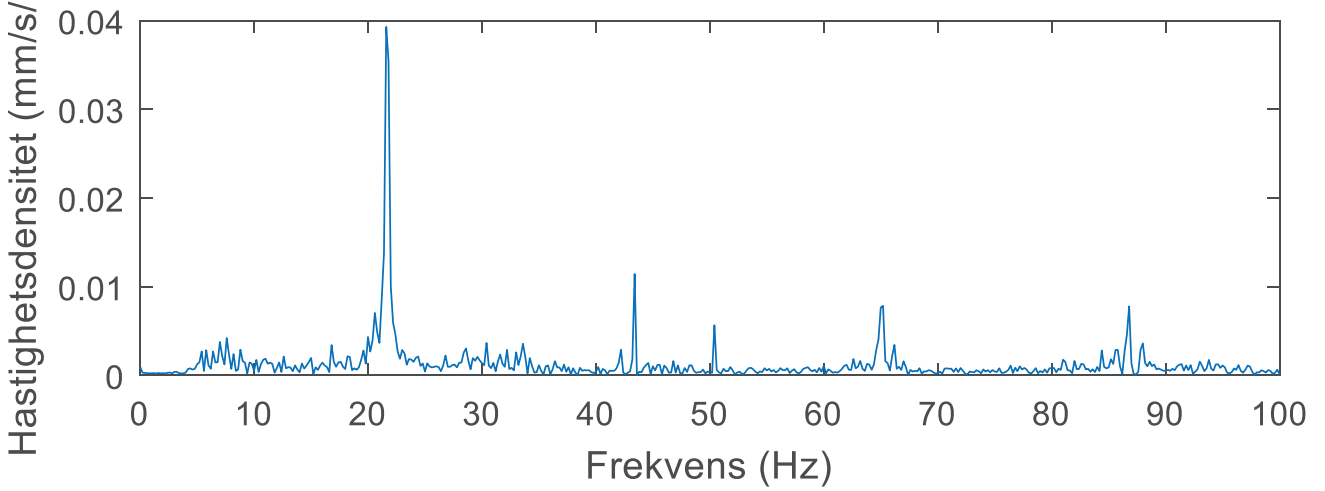
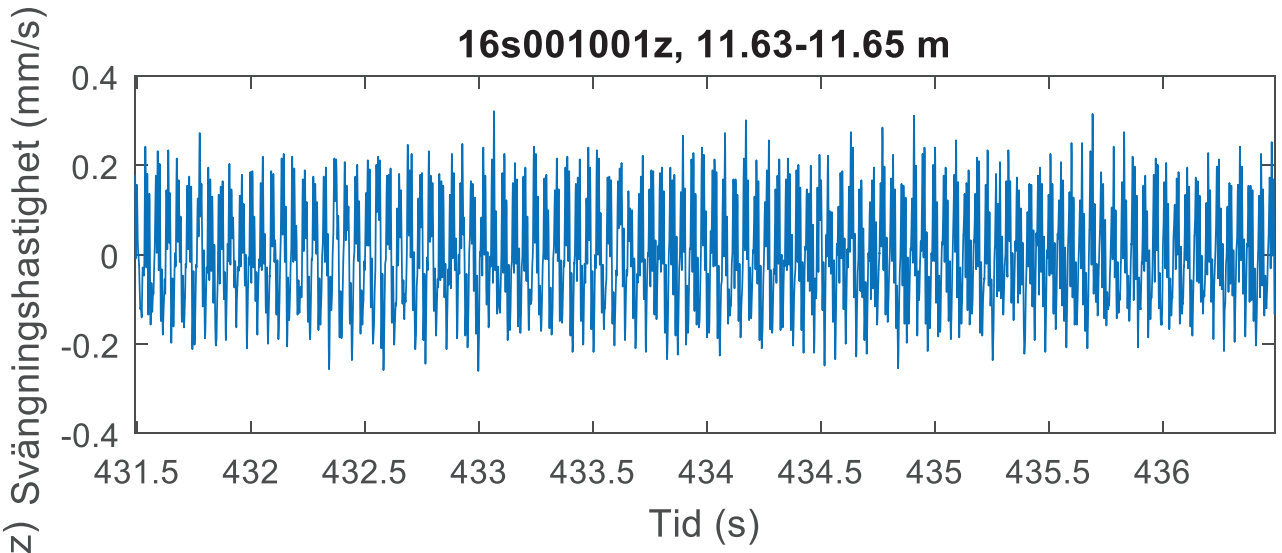
16s001001z, 7.81-8.34 m



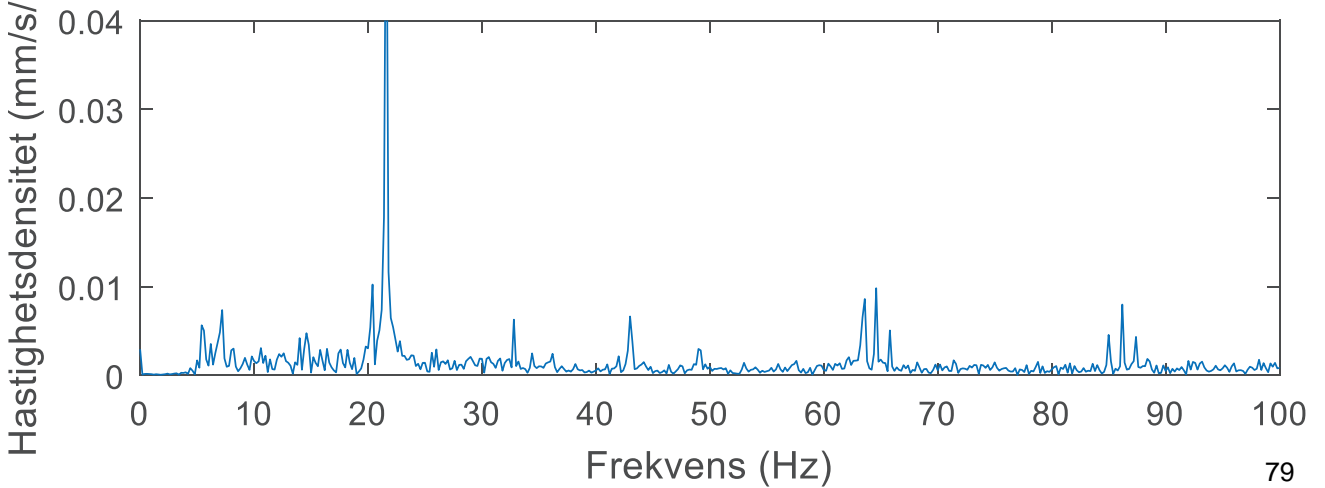
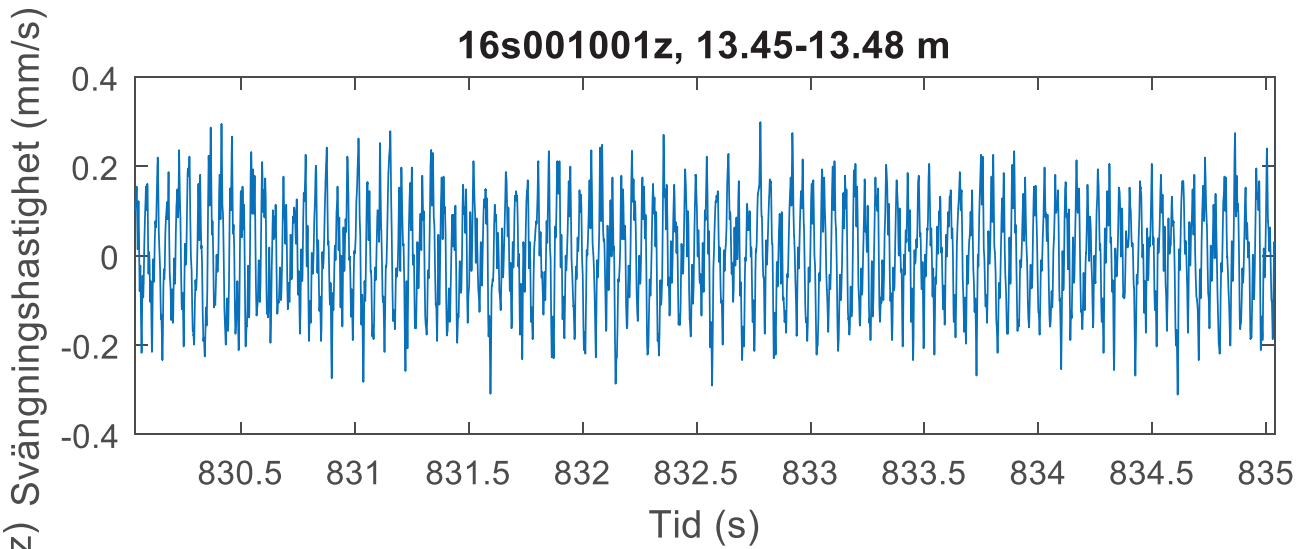
16s001001z, 9.66-10.04 m



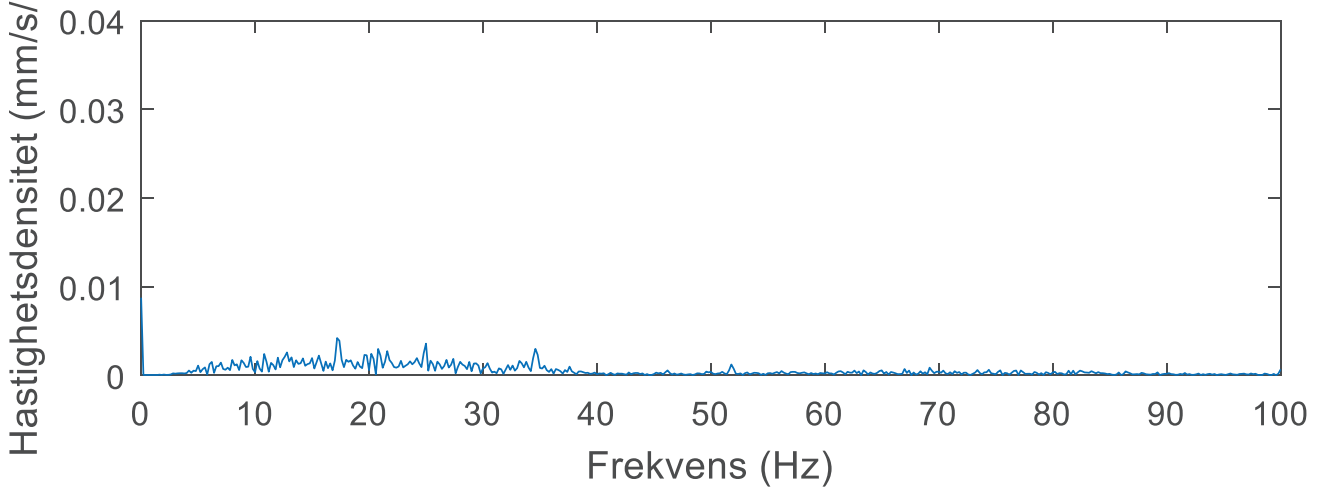
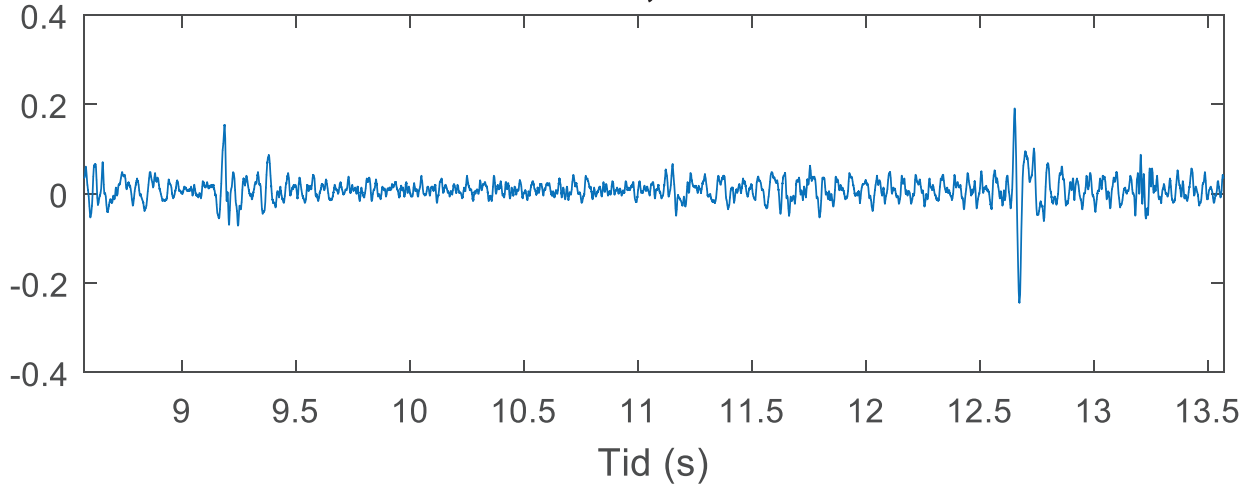
16s001001z, 11.63-11.65 m



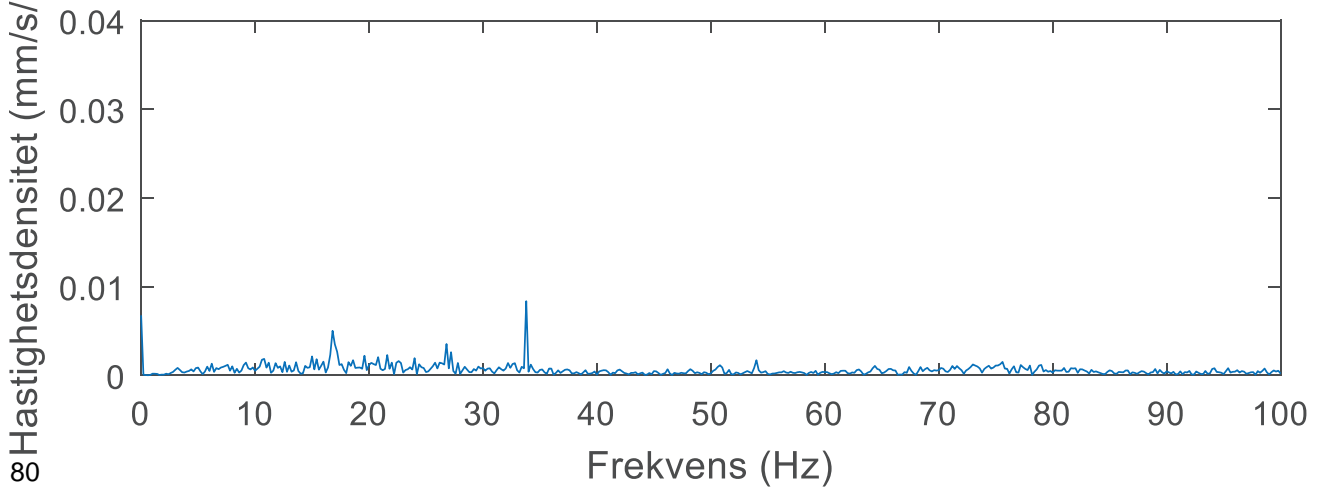
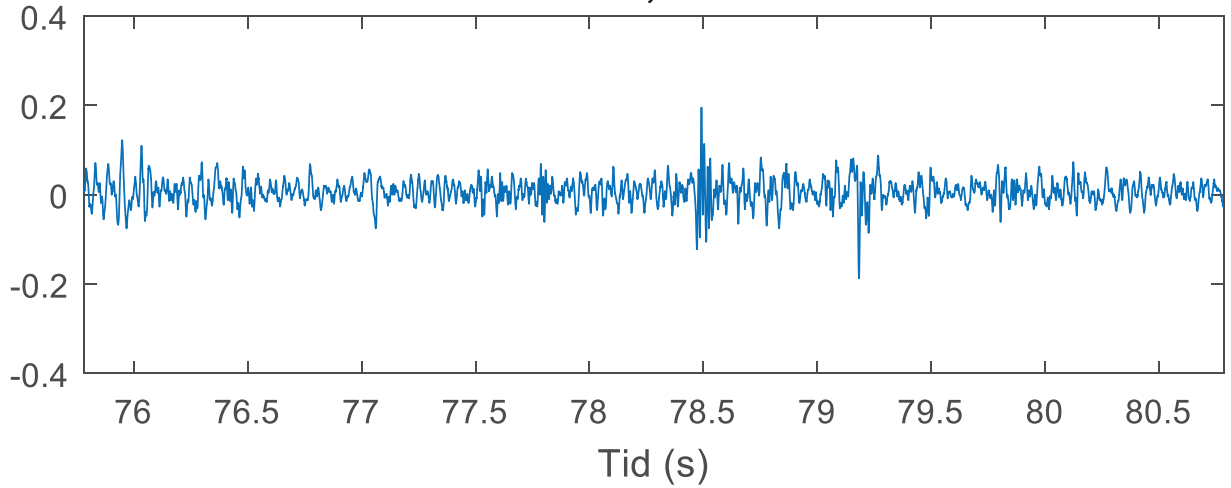
16s001001z, 13.45-13.48 m



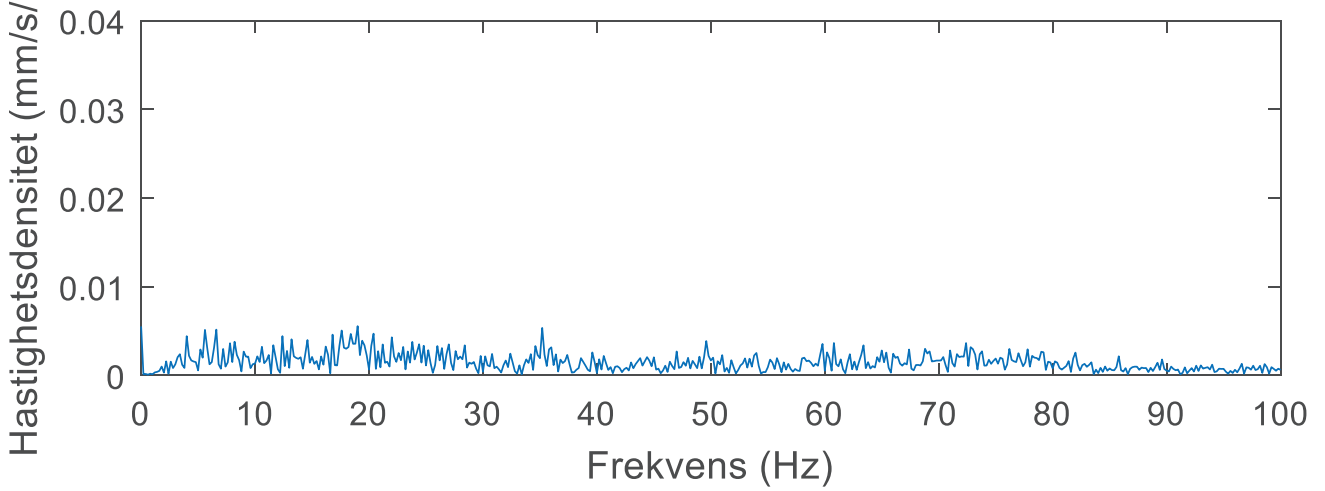
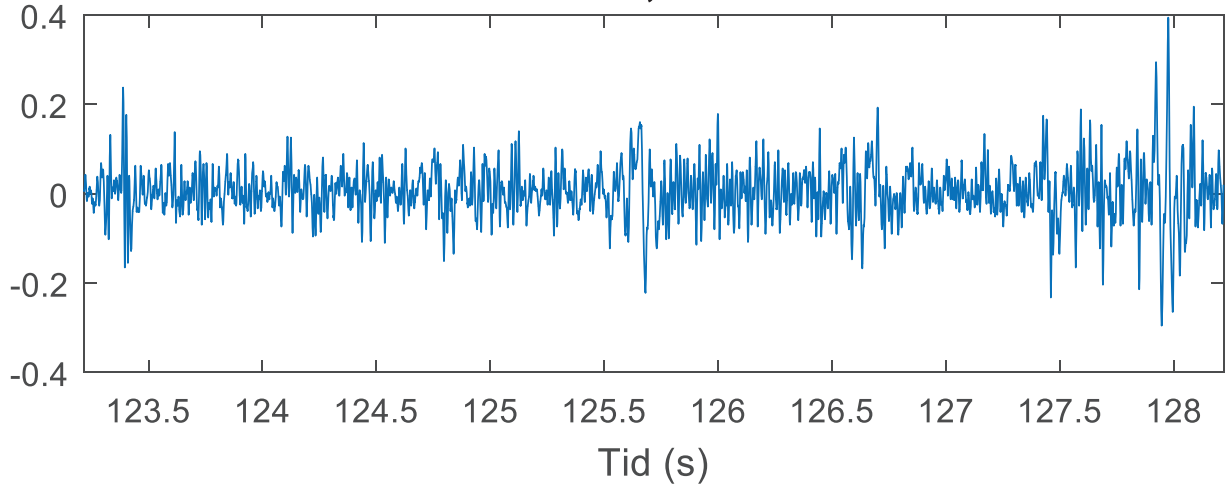
16s001001x, 0.56-1.18 m



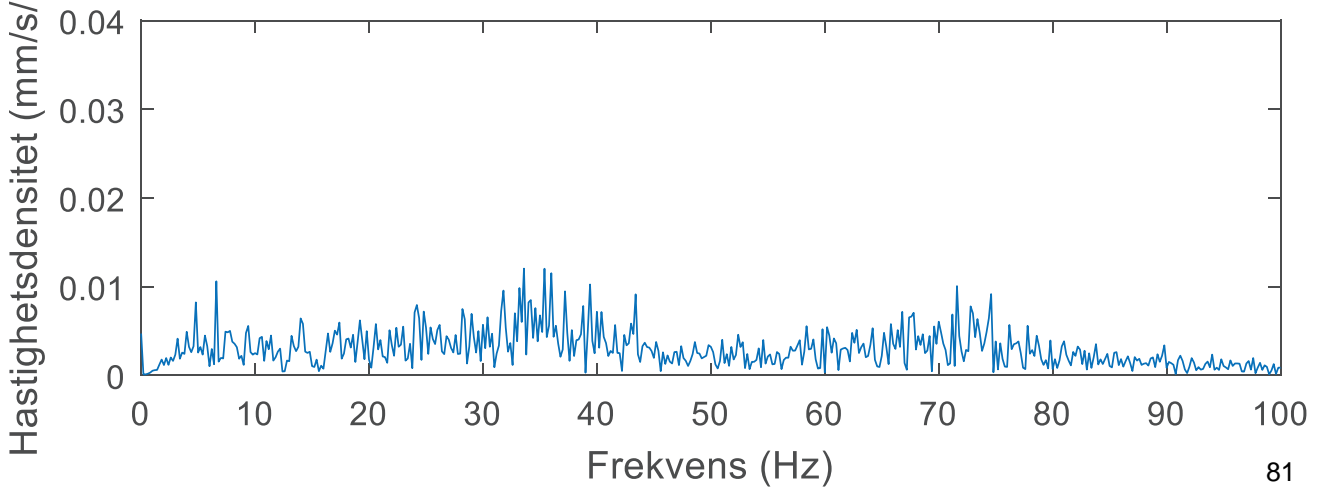
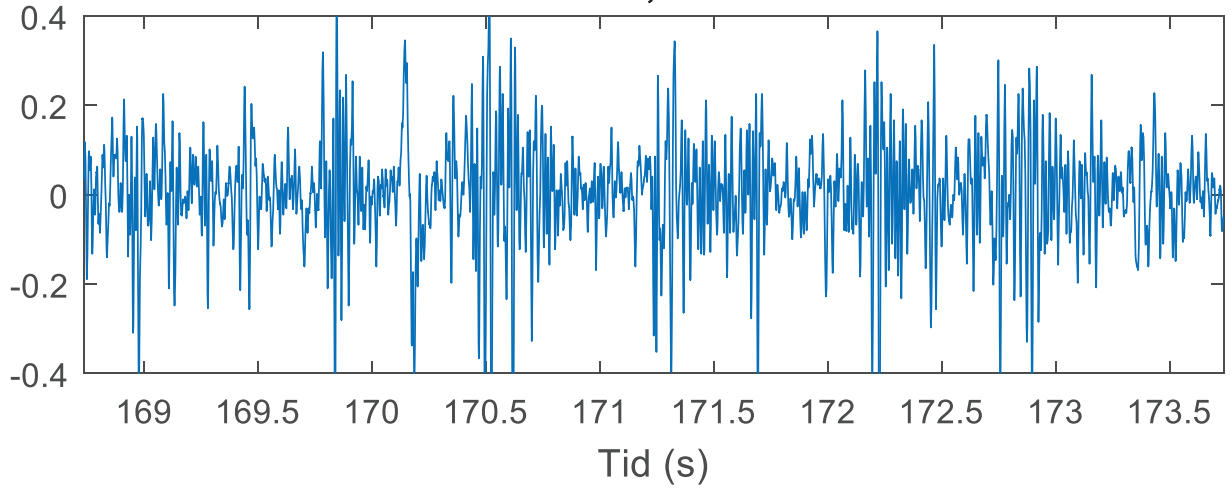
16s001001x, 2.29-2.99 m



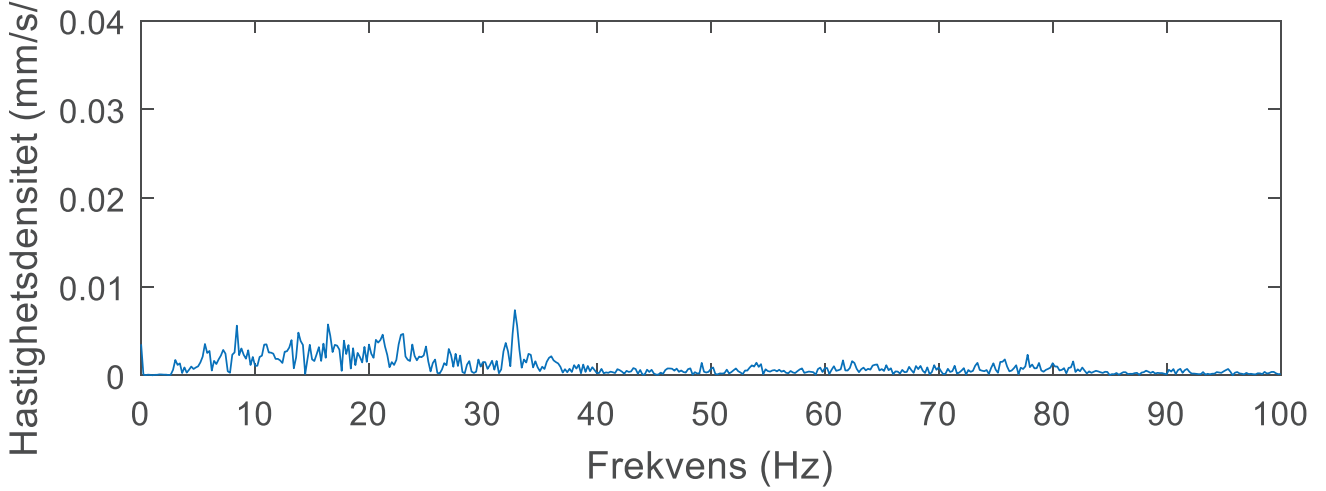
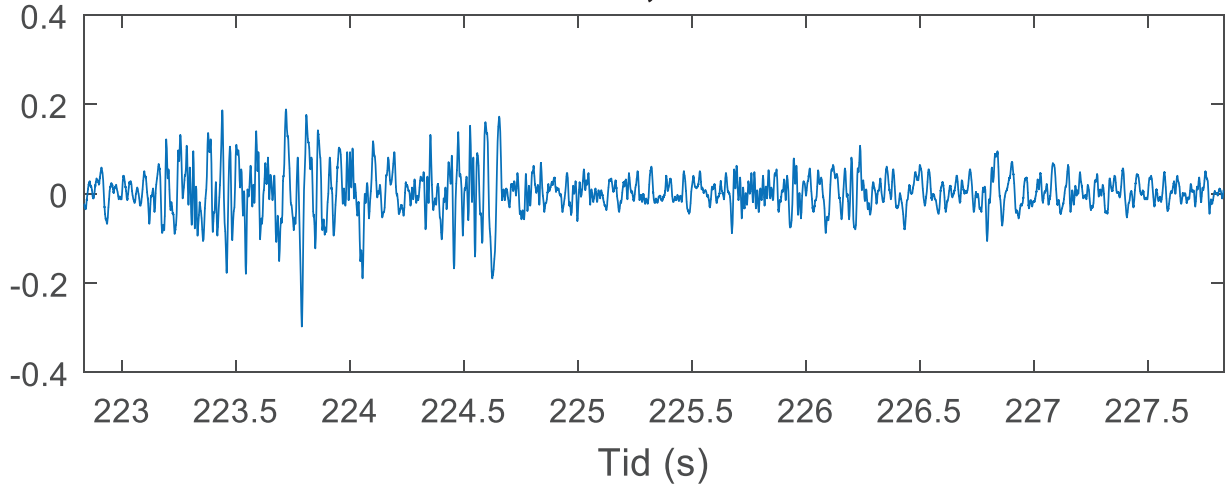
16s001001x, 4.19-4.90 m



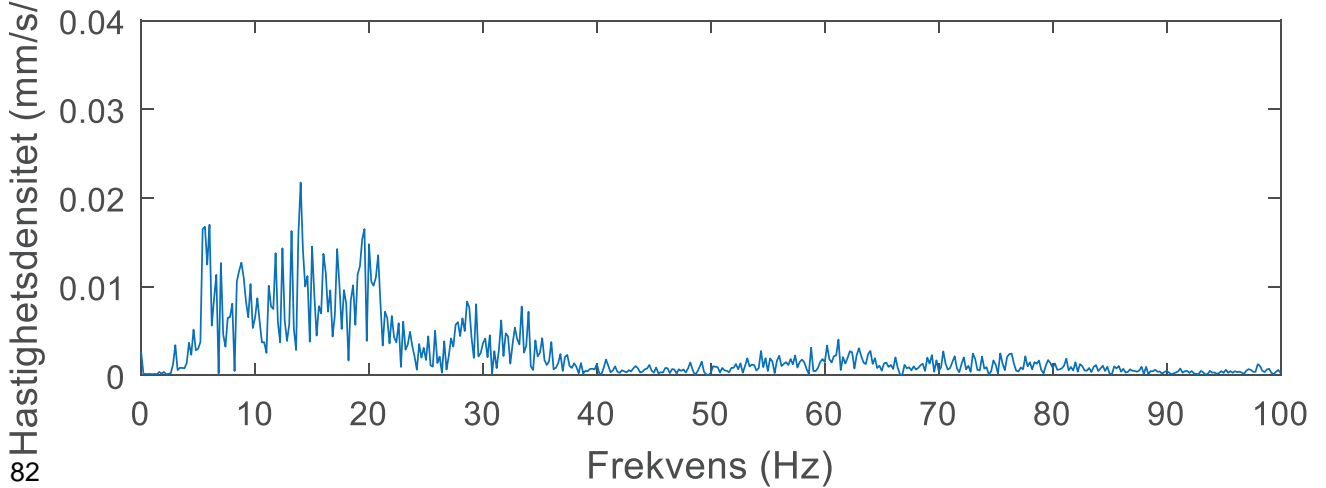
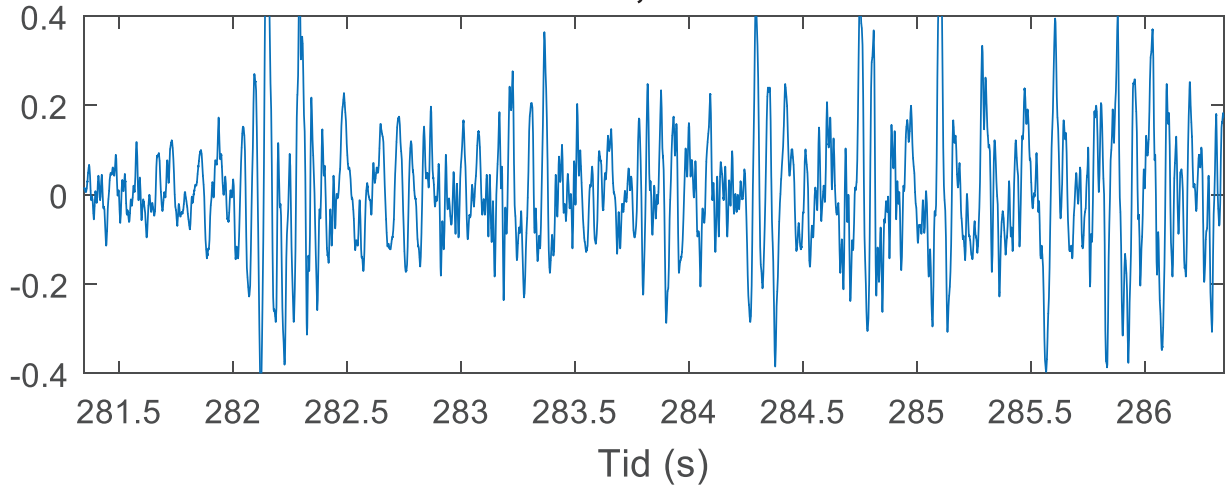
16s001001x, 5.83-6.53 m



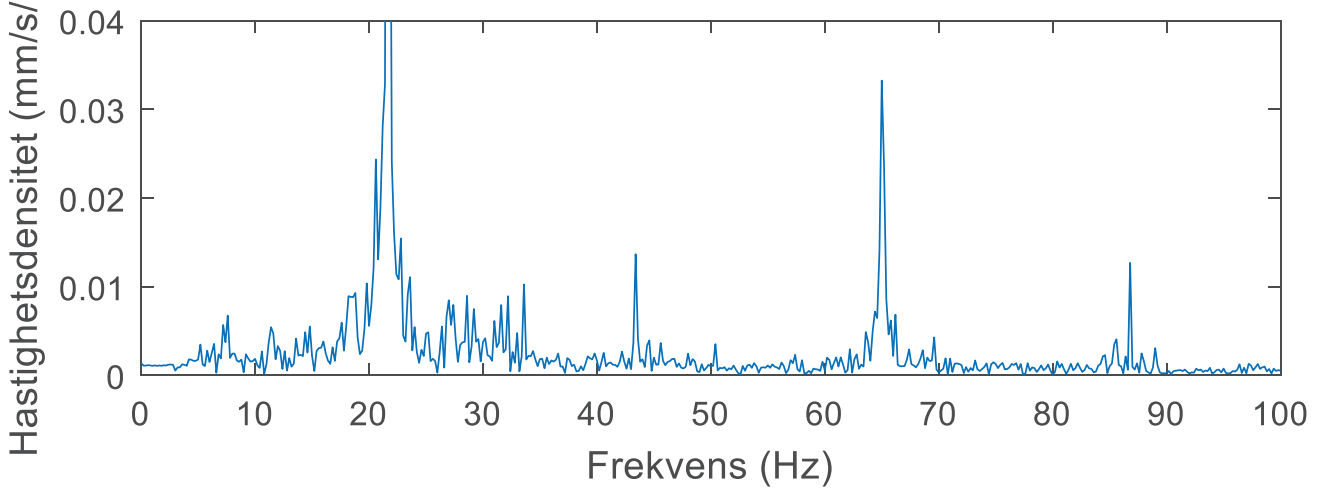
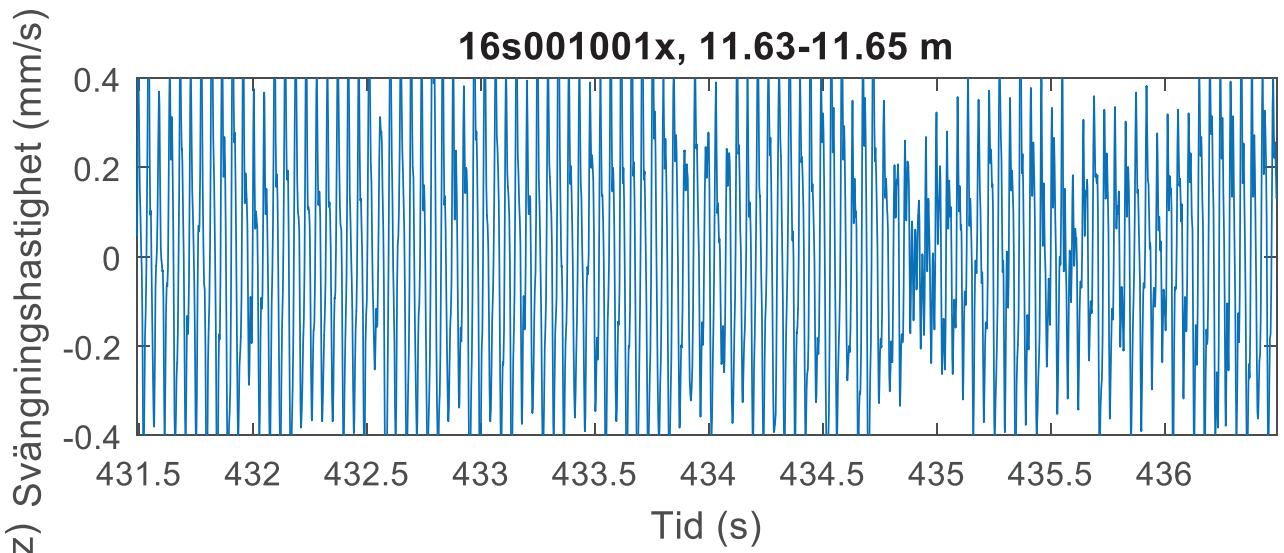
16s001001x, 7.81-8.34 m



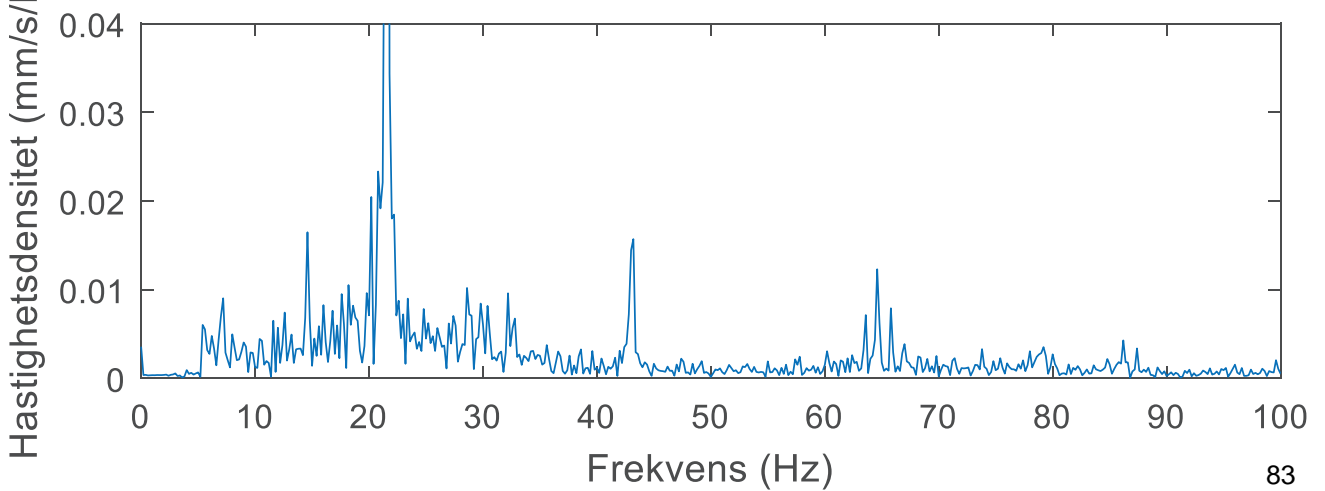
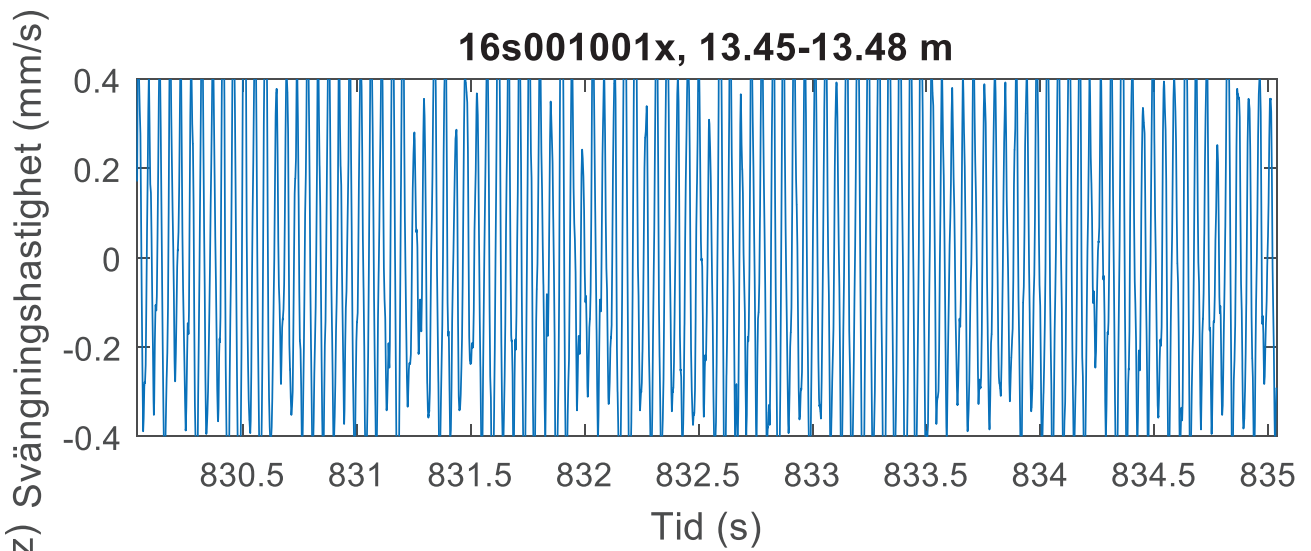
16s001001x, 9.66-10.04 m



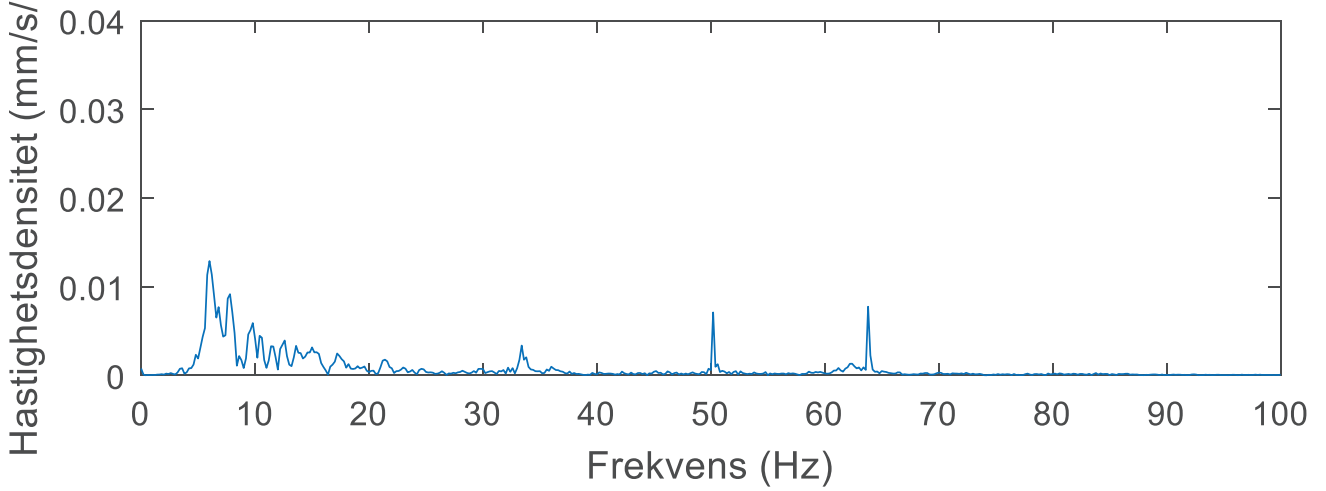
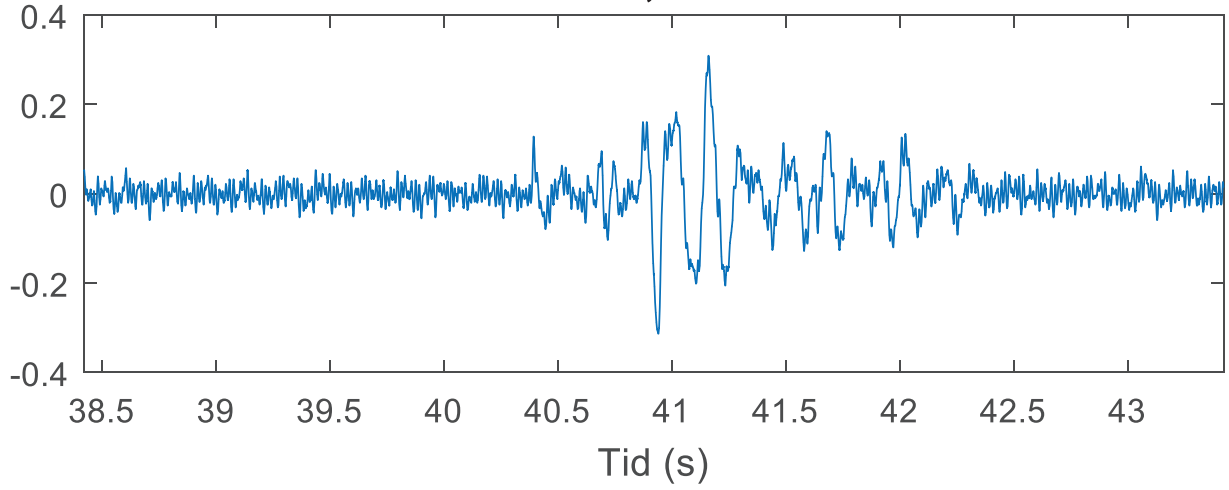
16s001001x, 11.63-11.65 m



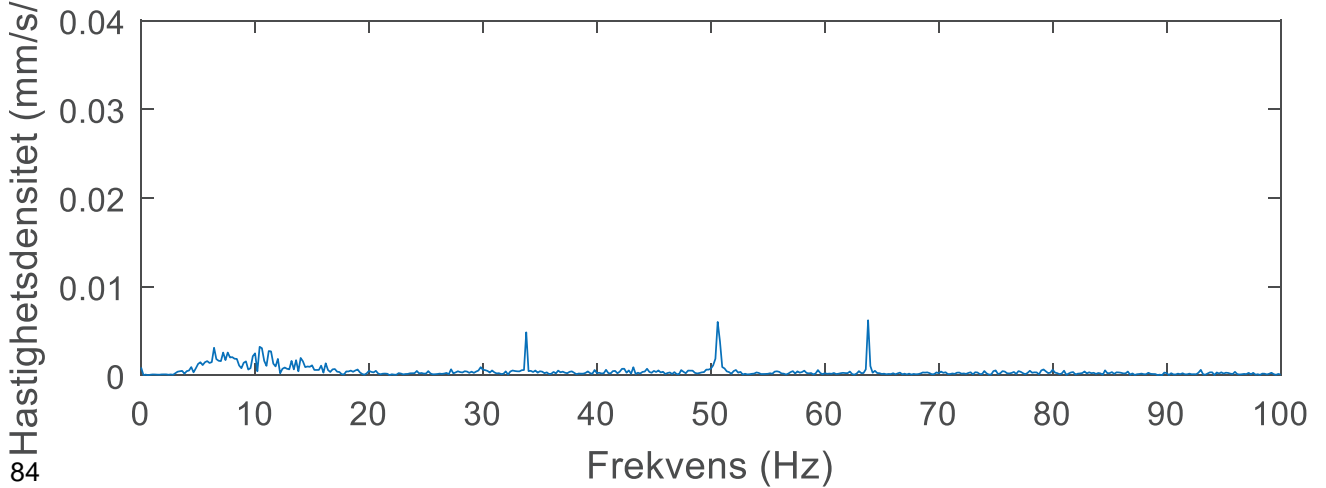
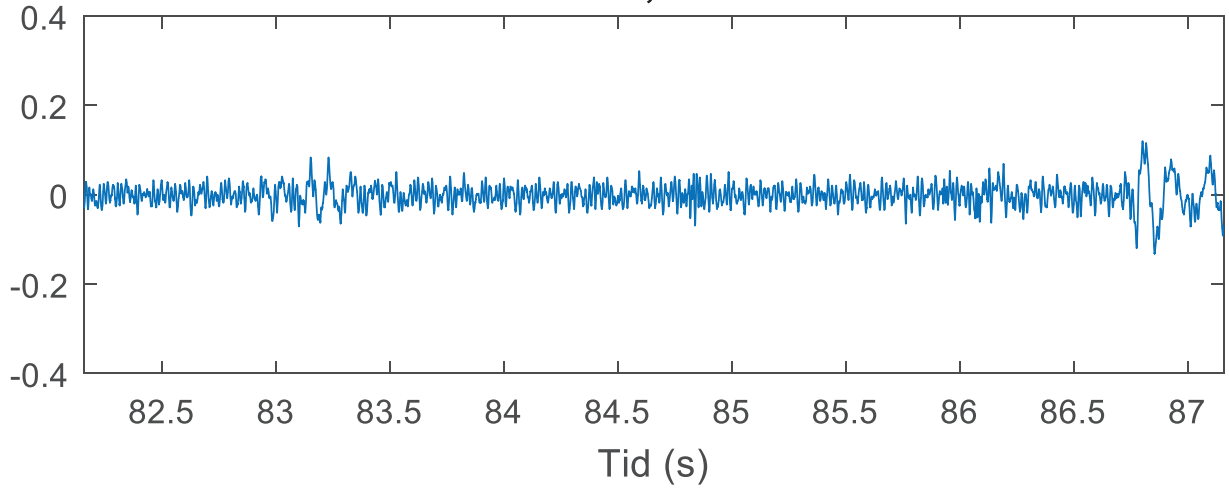
16s001001x, 13.45-13.48 m



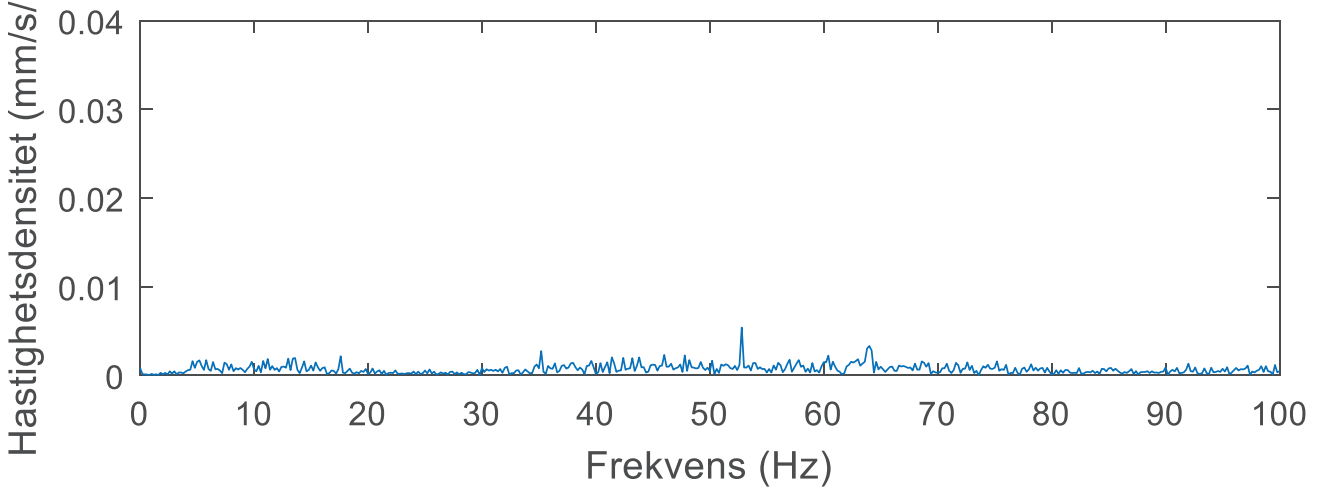
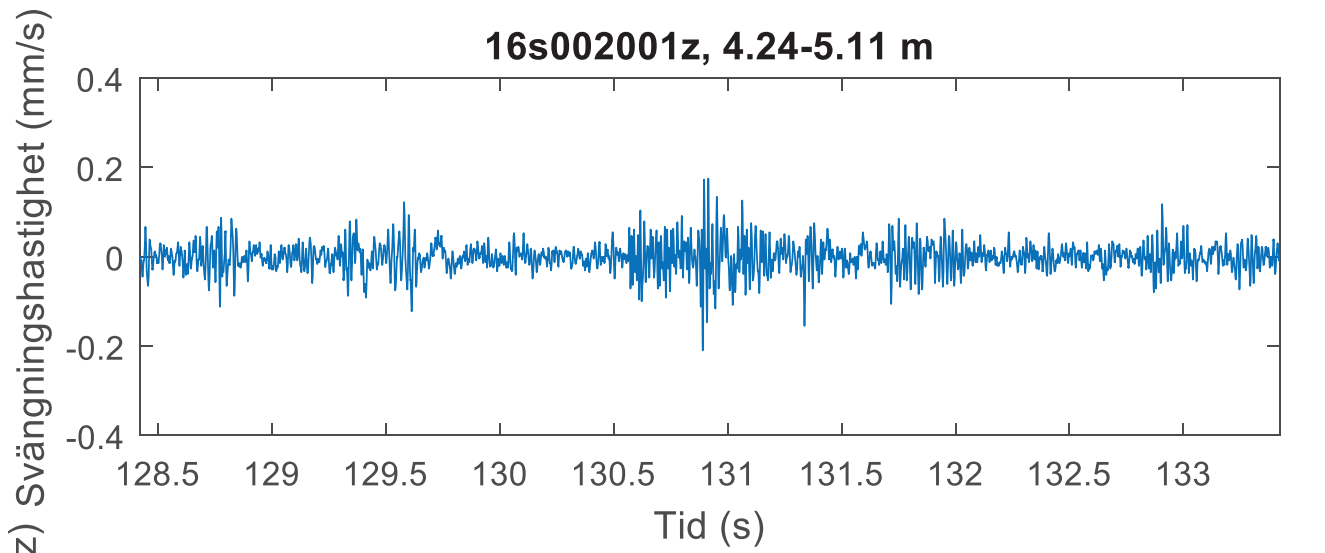
16s002001z, 0.52-1.14 m



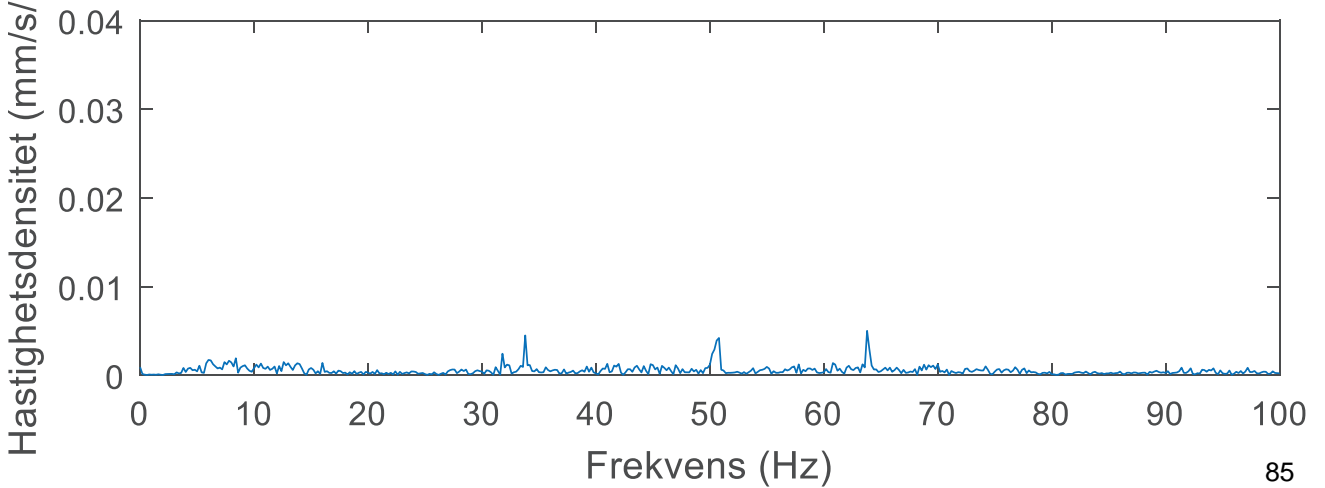
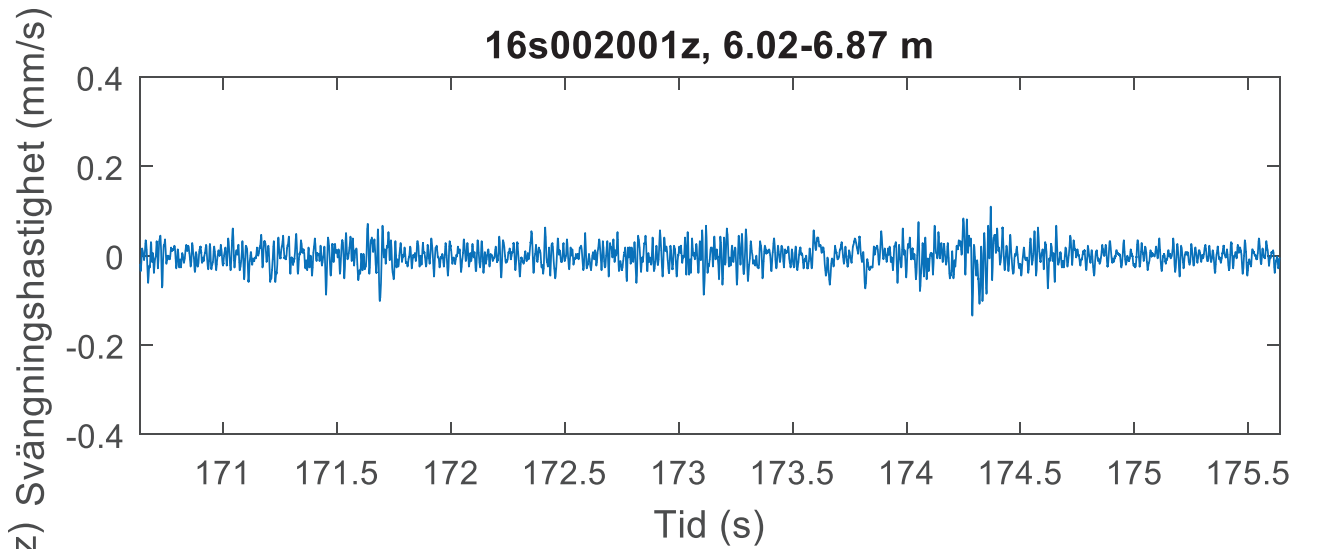
16s002001z, 2.29-3.11 m



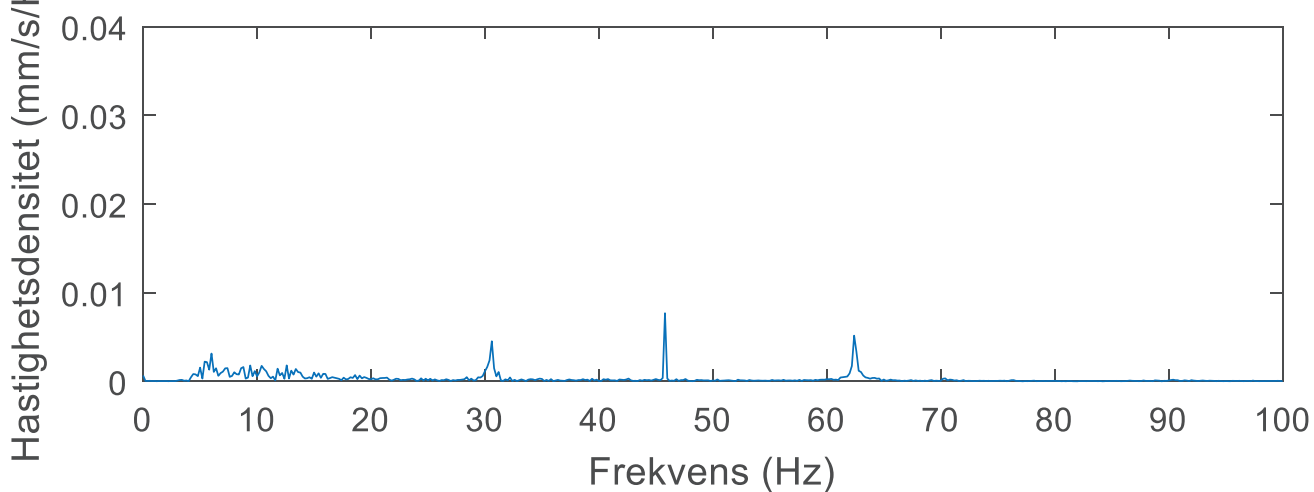
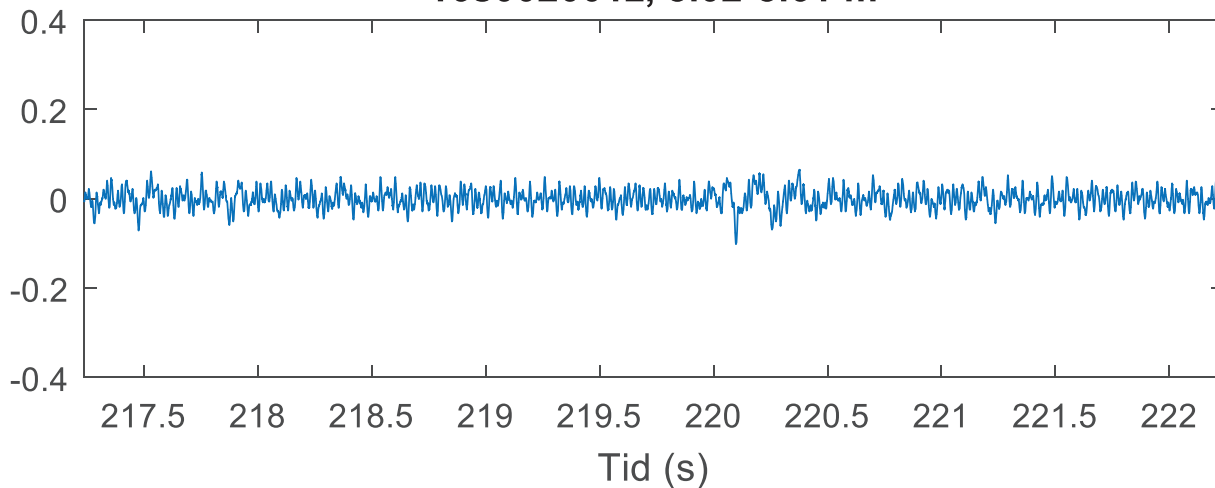
16s002001z, 4.24-5.11 m



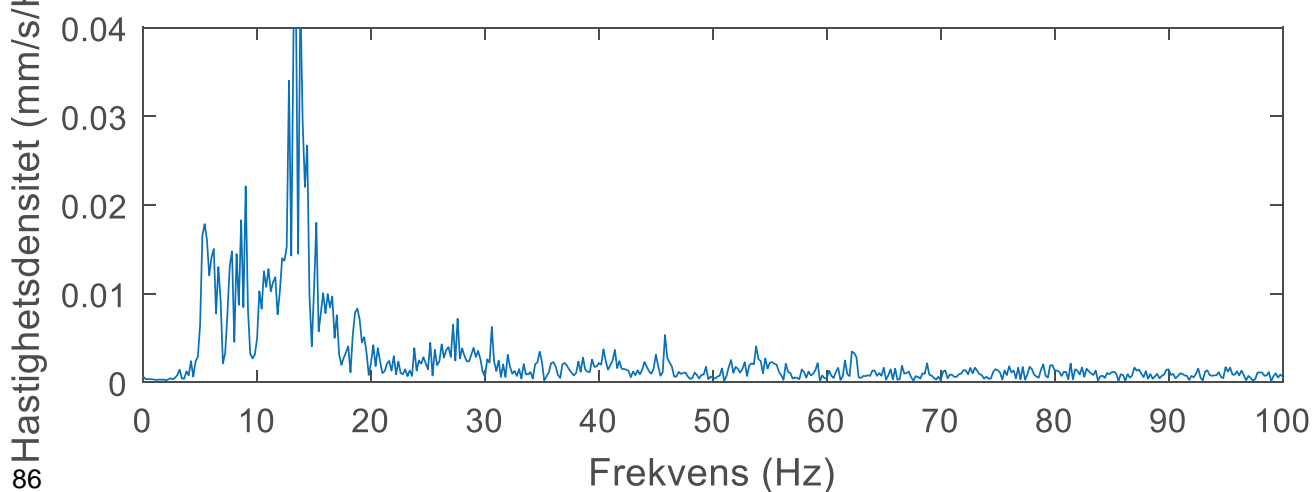
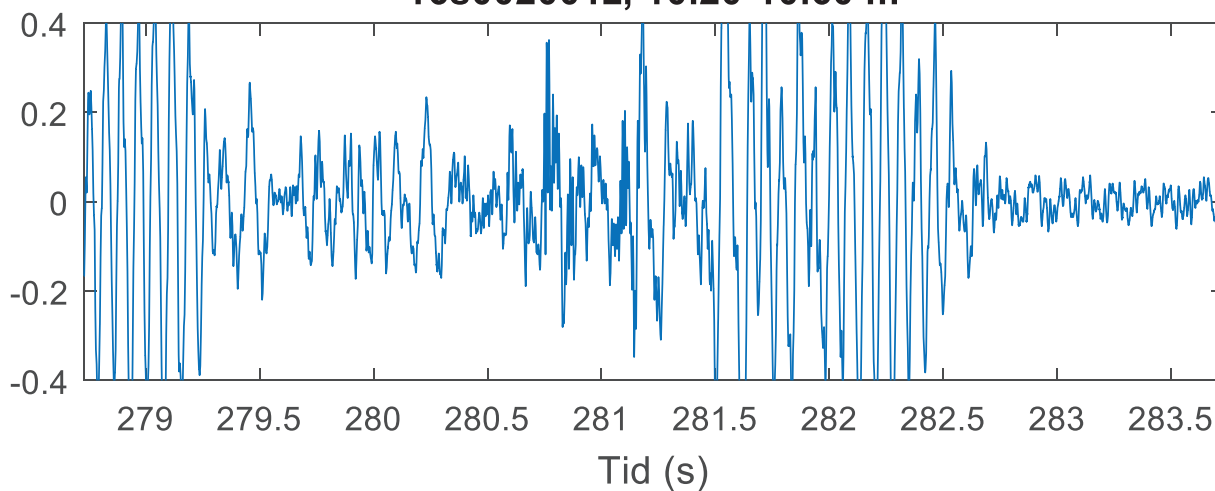
16s002001z, 6.02-6.87 m



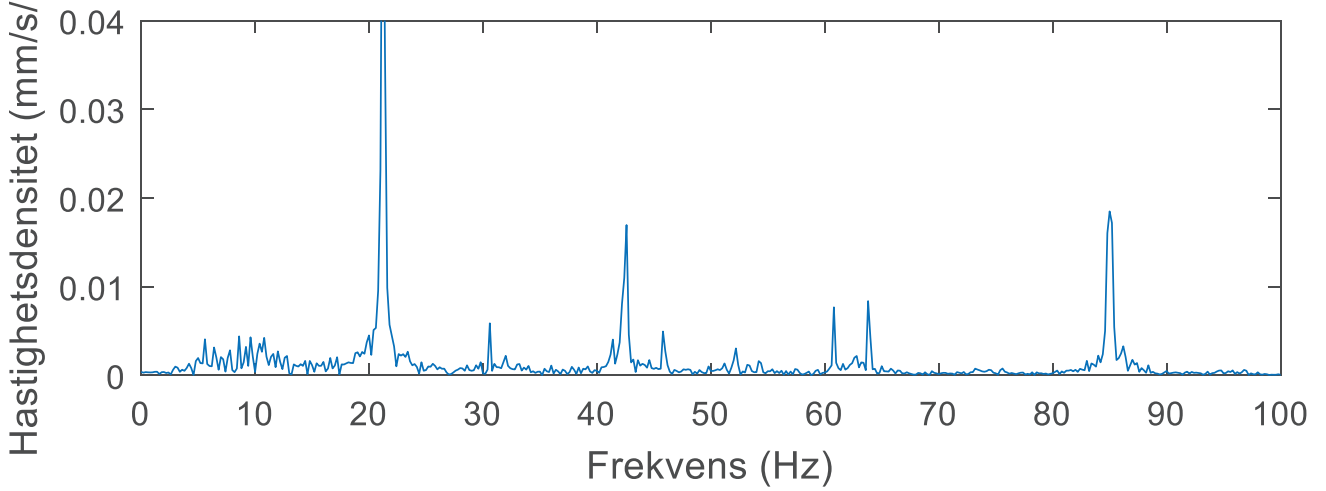
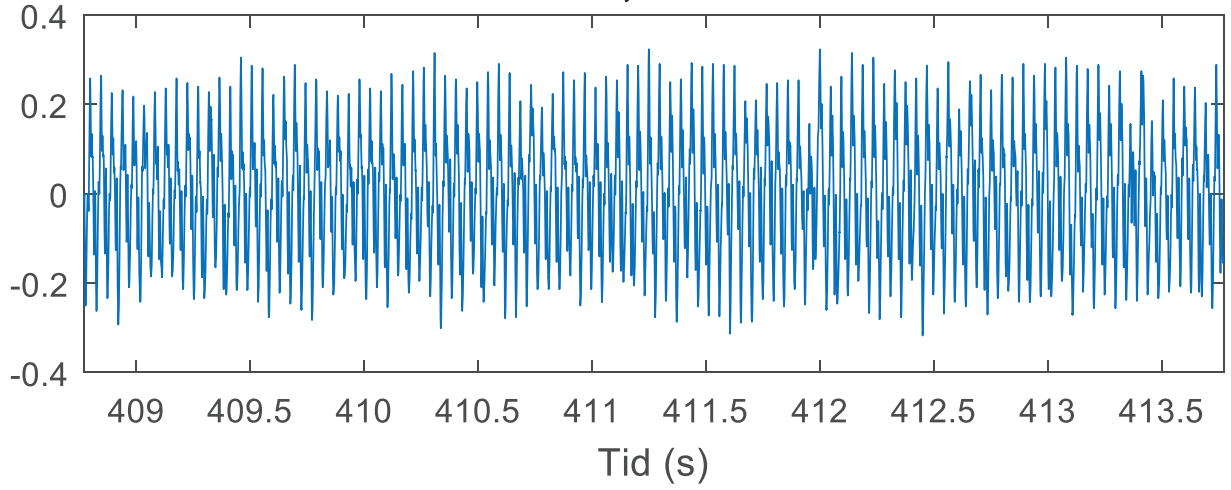
16s002001z, 8.02-8.61 m



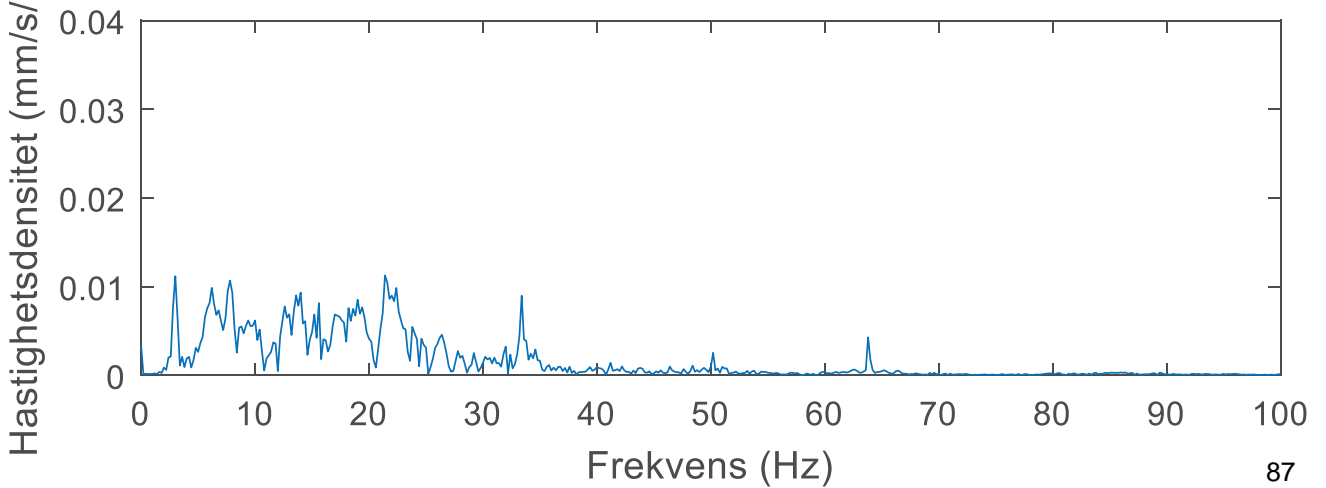
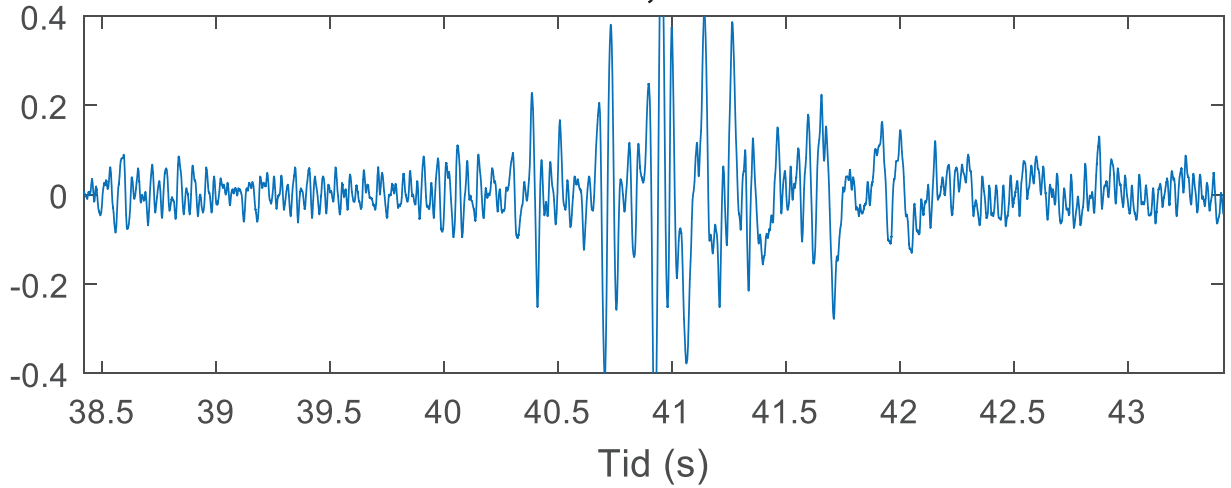
16s002001z, 10.20-10.60 m



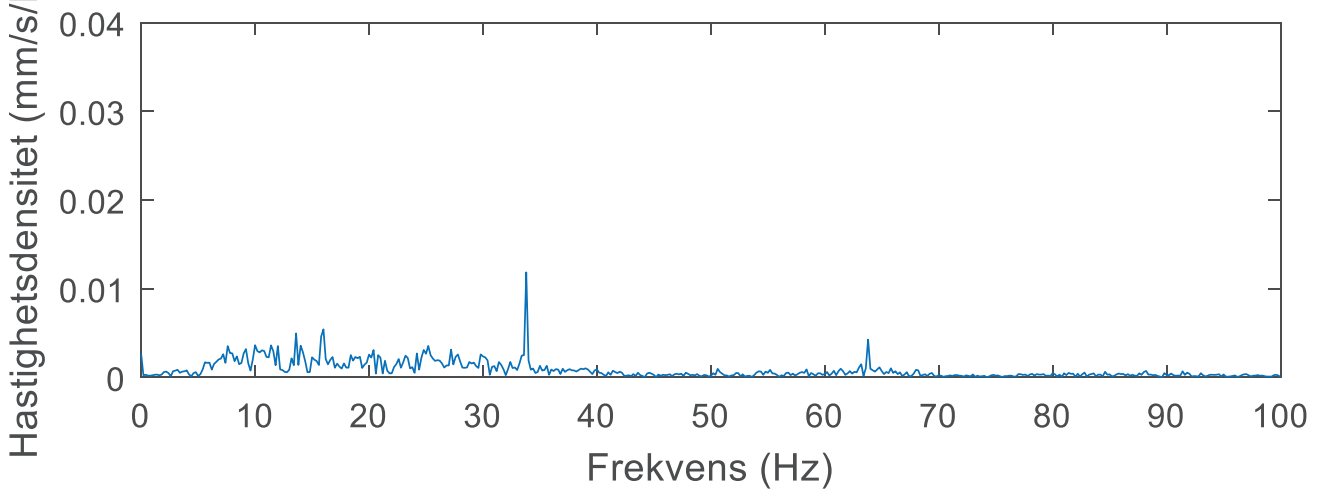
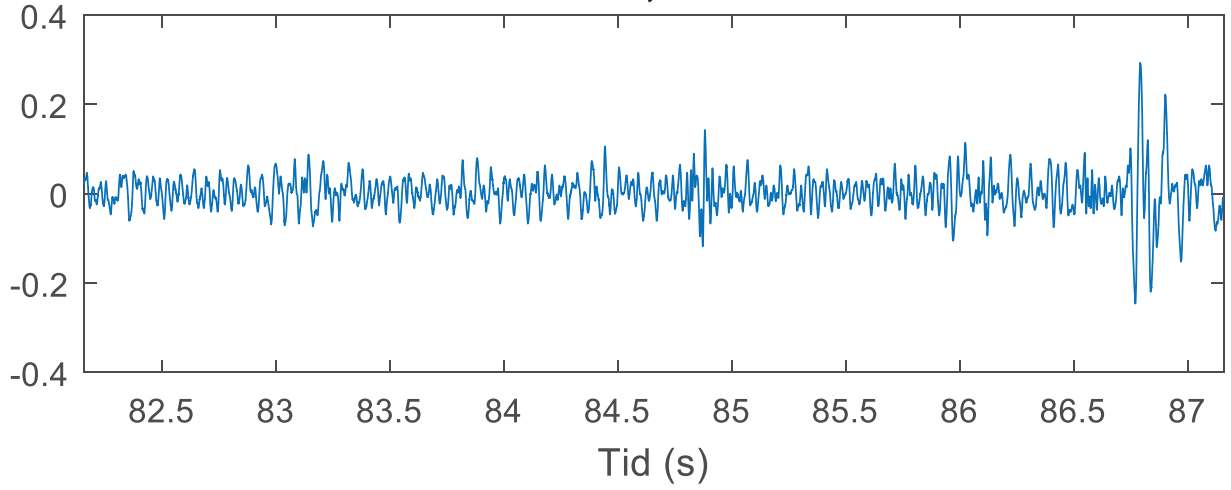
16s002001z, 12.01-12.04 m



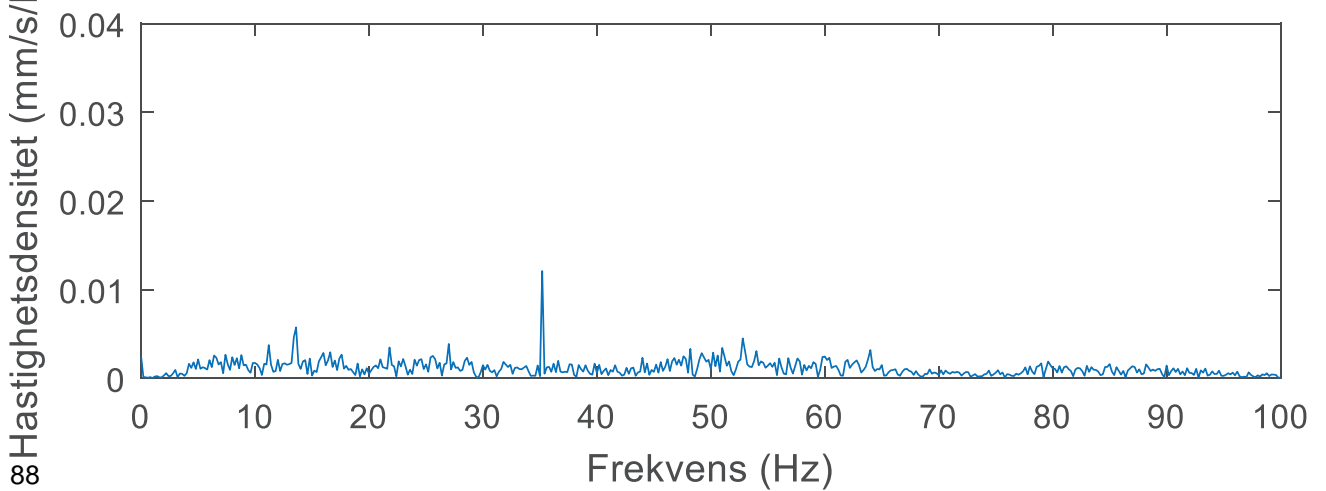
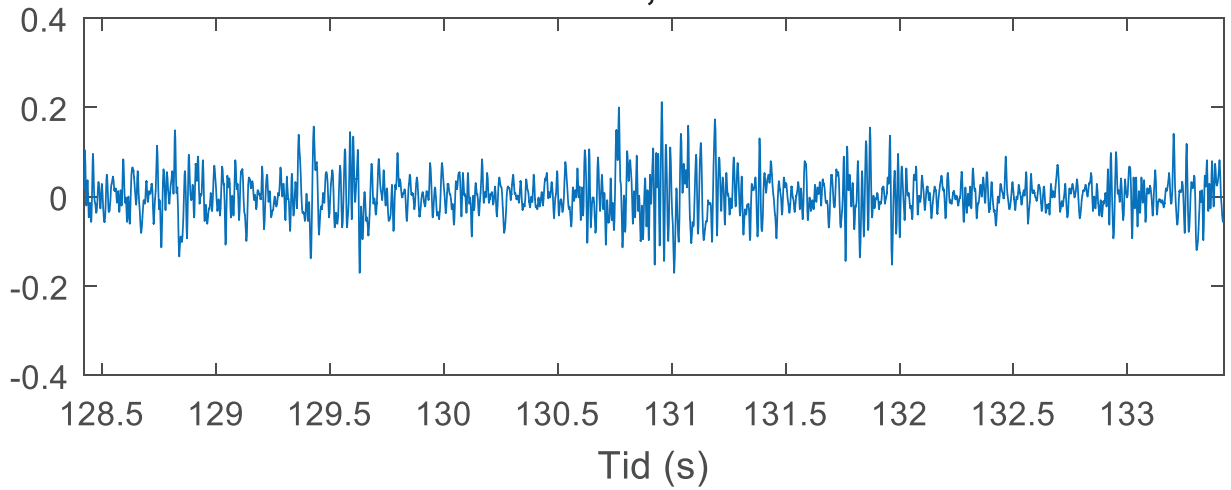
16s002001x, 0.52-1.14 m



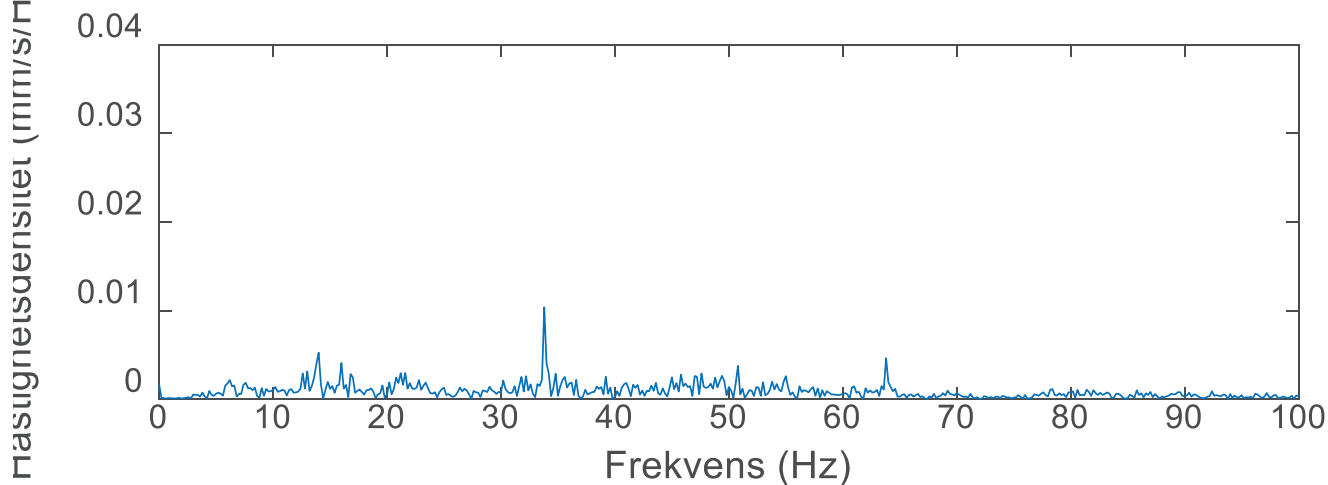
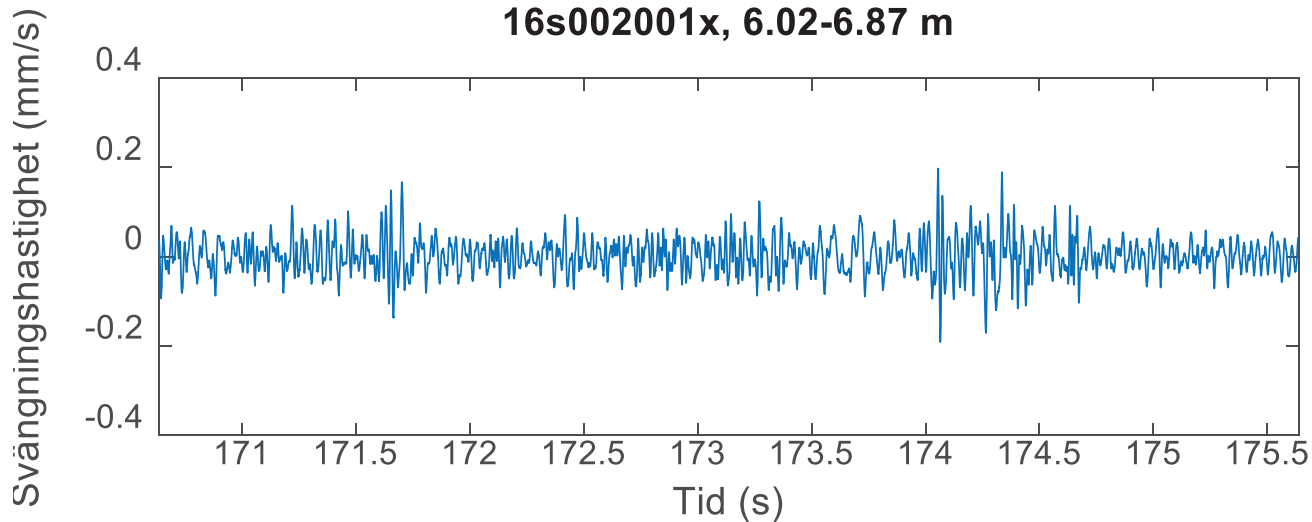
16s002001x, 2.29-3.11 m



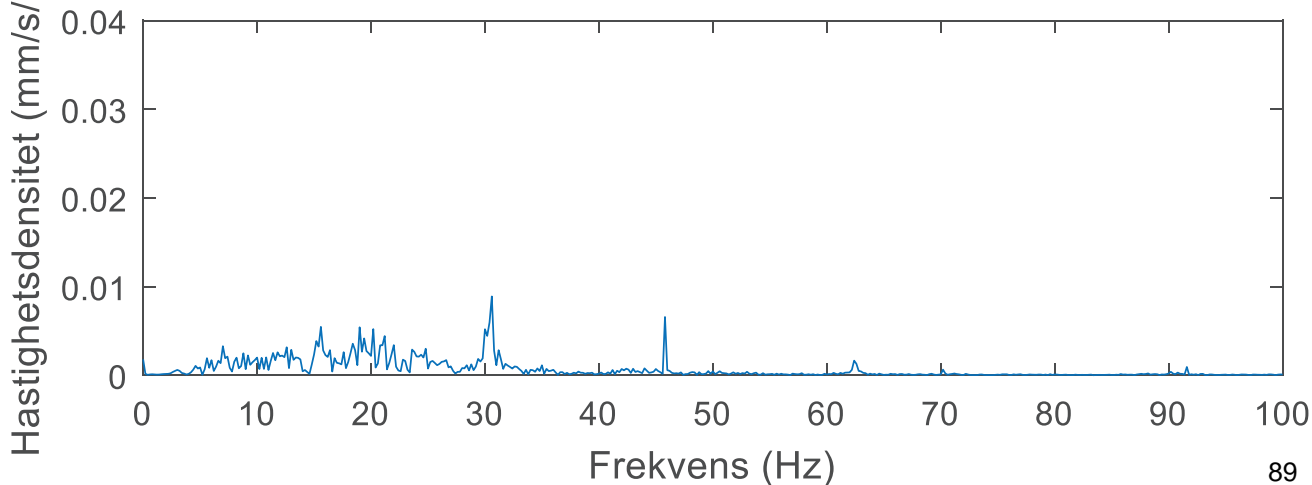
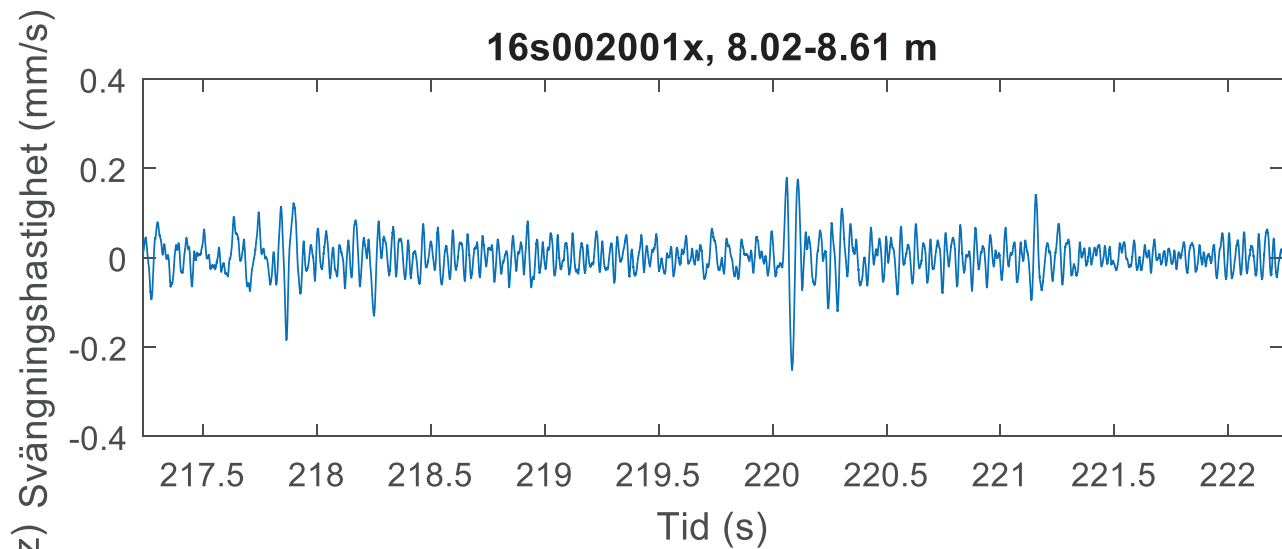
16s002001x, 4.24-5.11 m



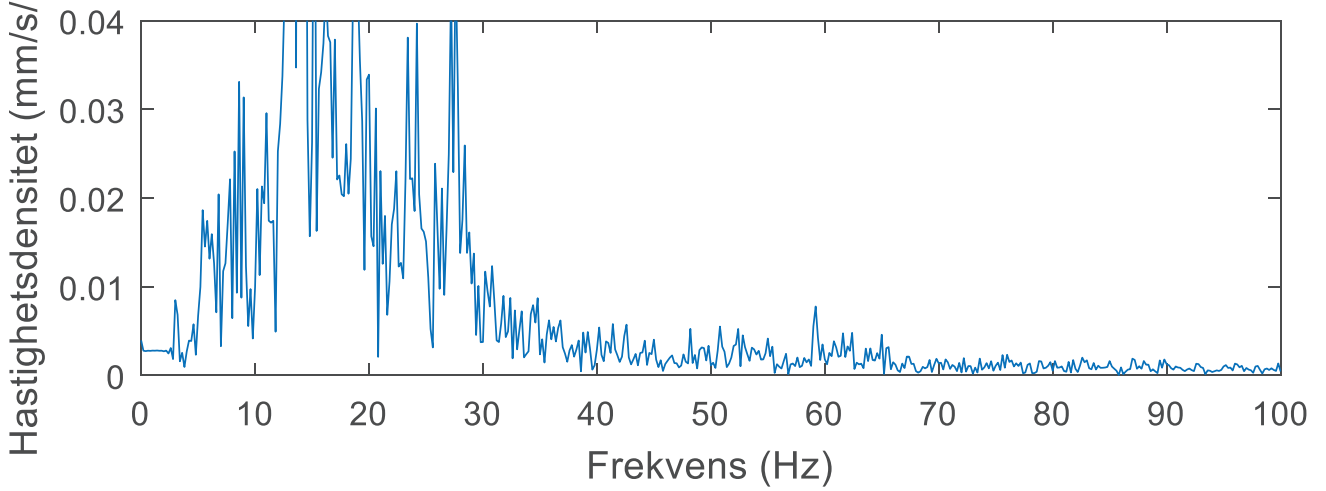
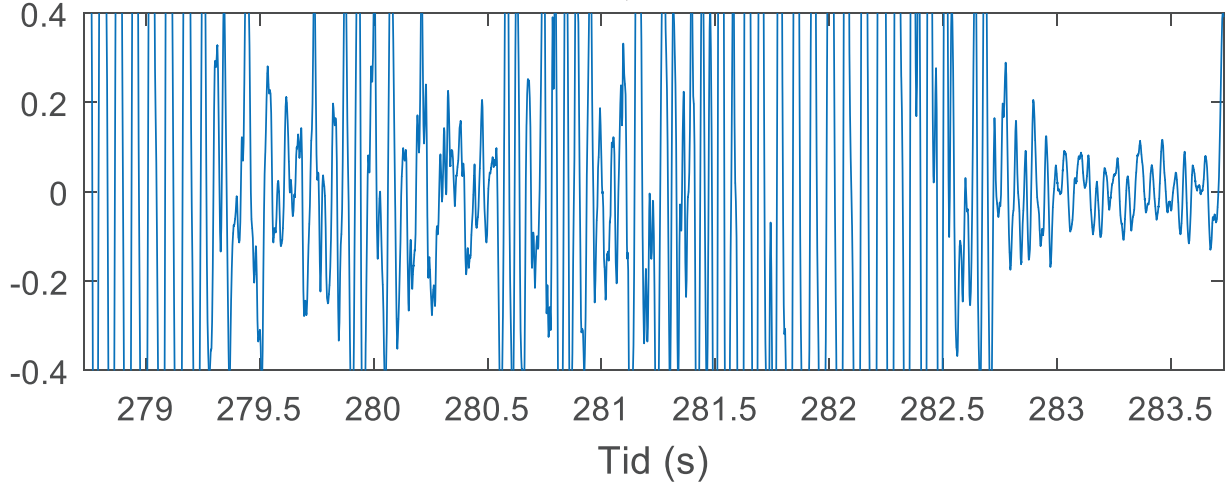
16s002001x, 6.02-6.87 m



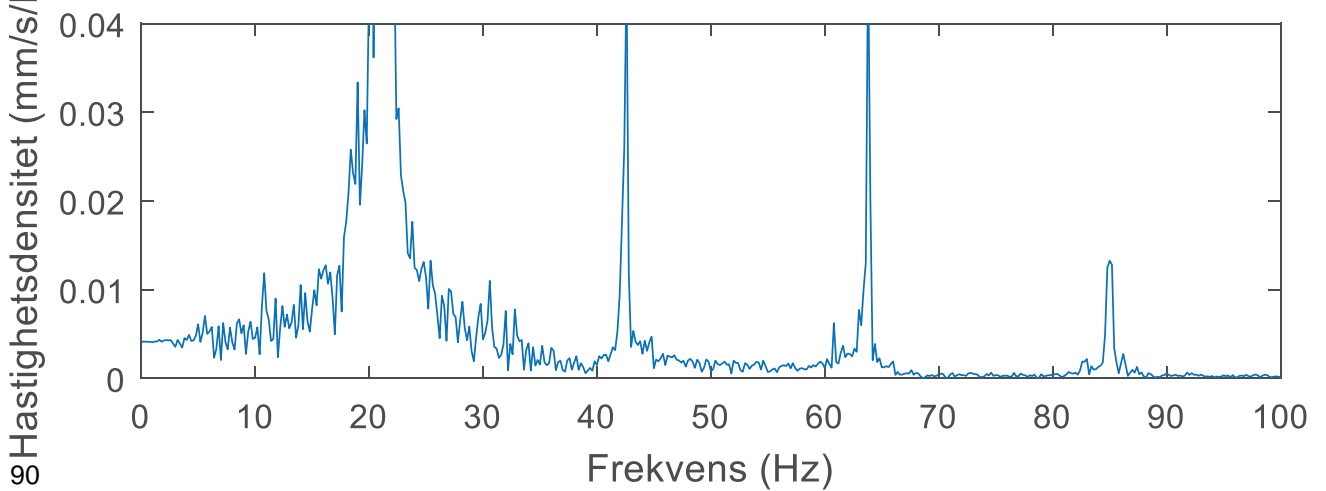
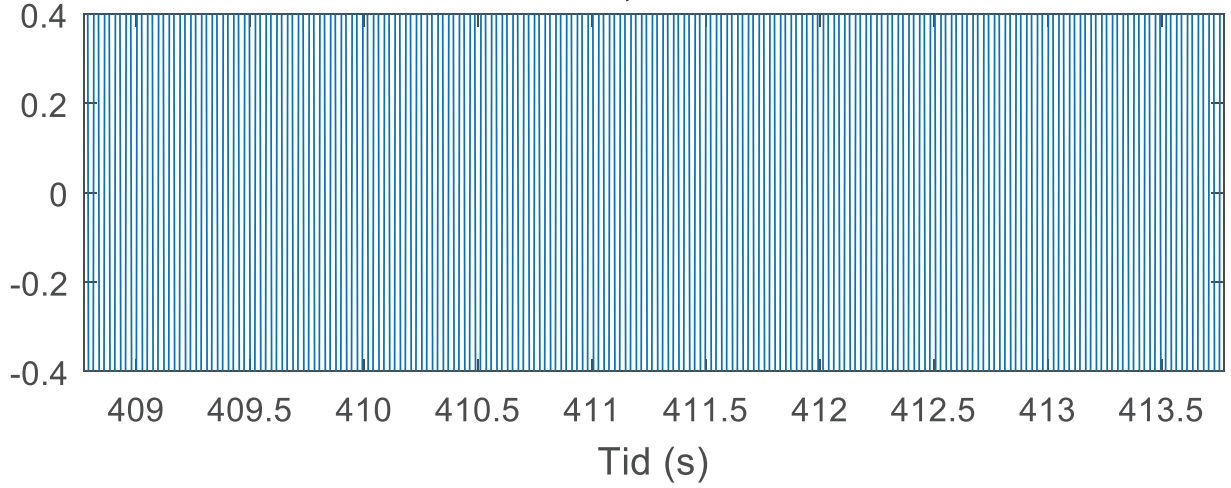
16s002001x, 8.02-8.61 m



16s002001x, 10.20-10.60 m



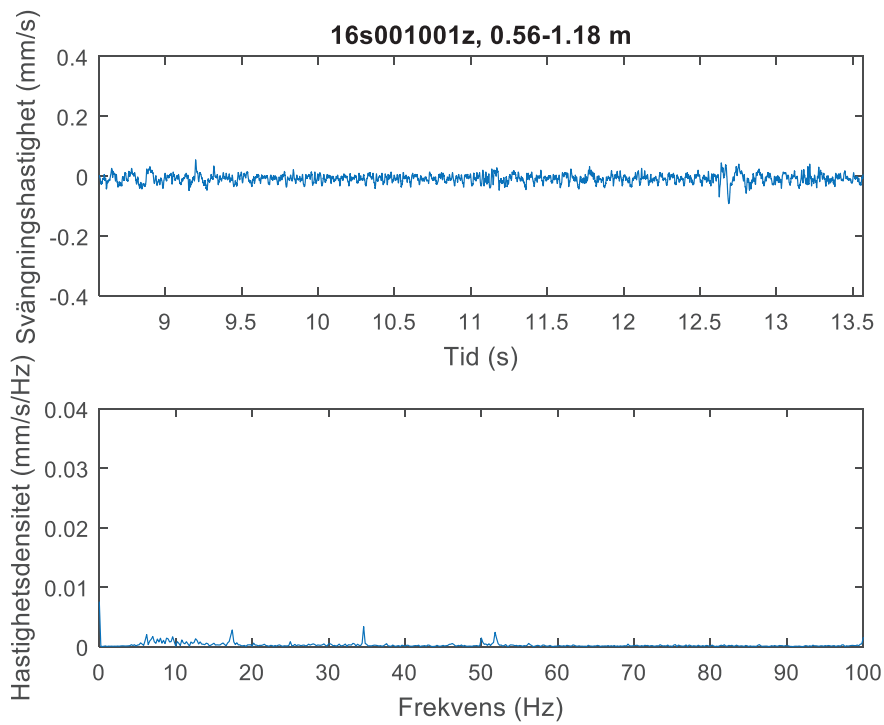
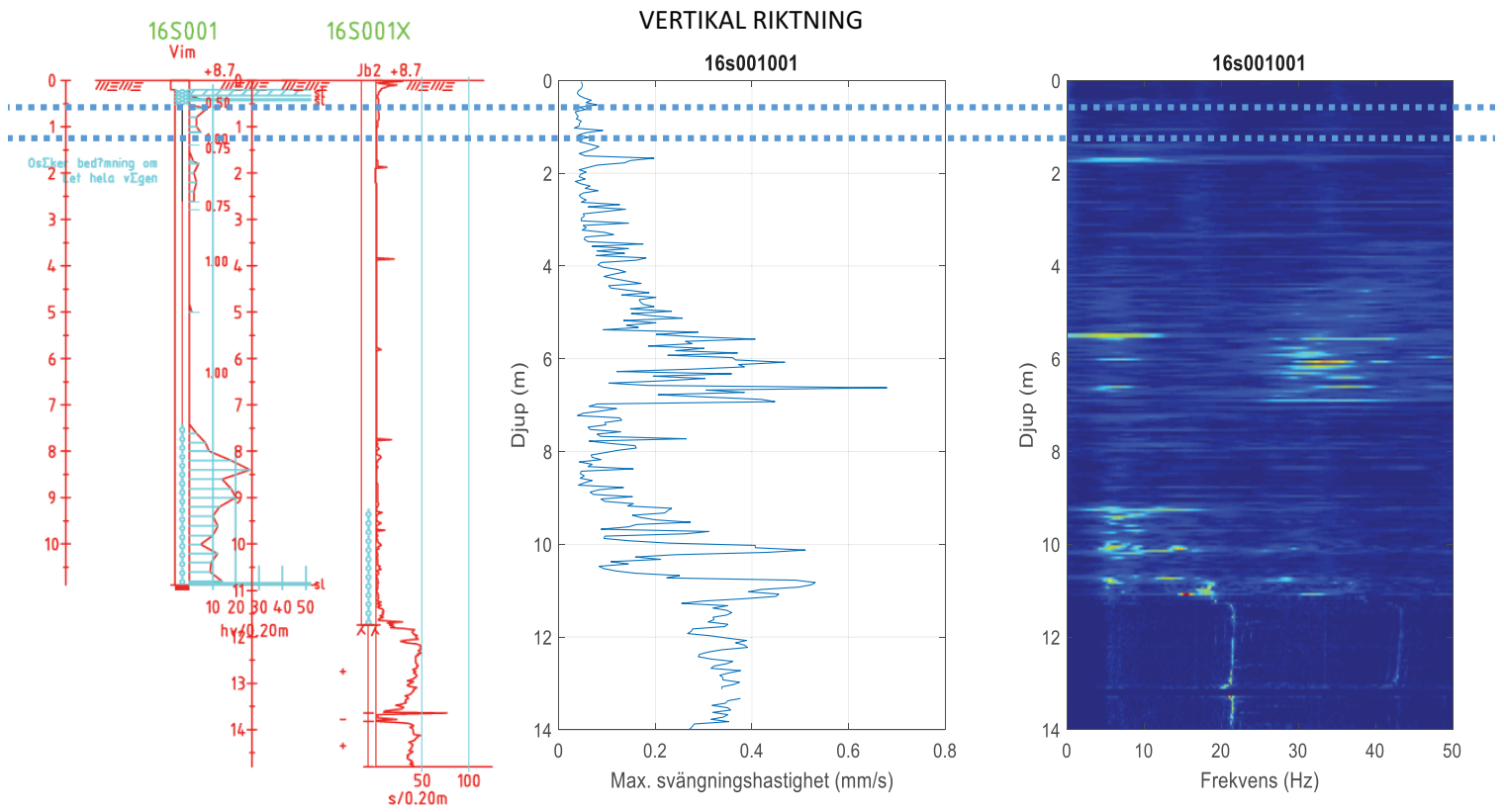
16s002001x, 12.01-12.04 m

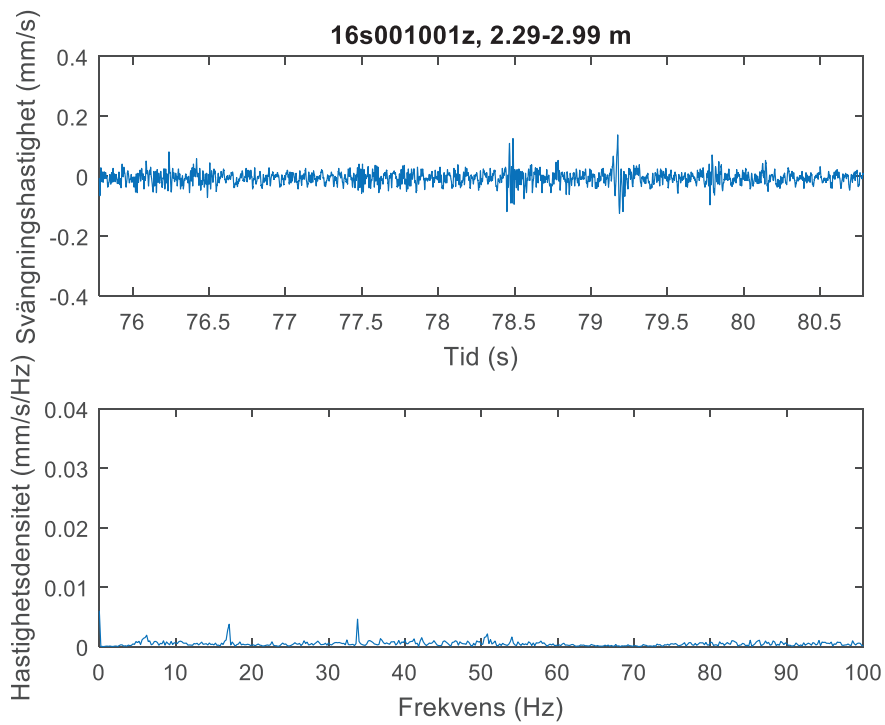
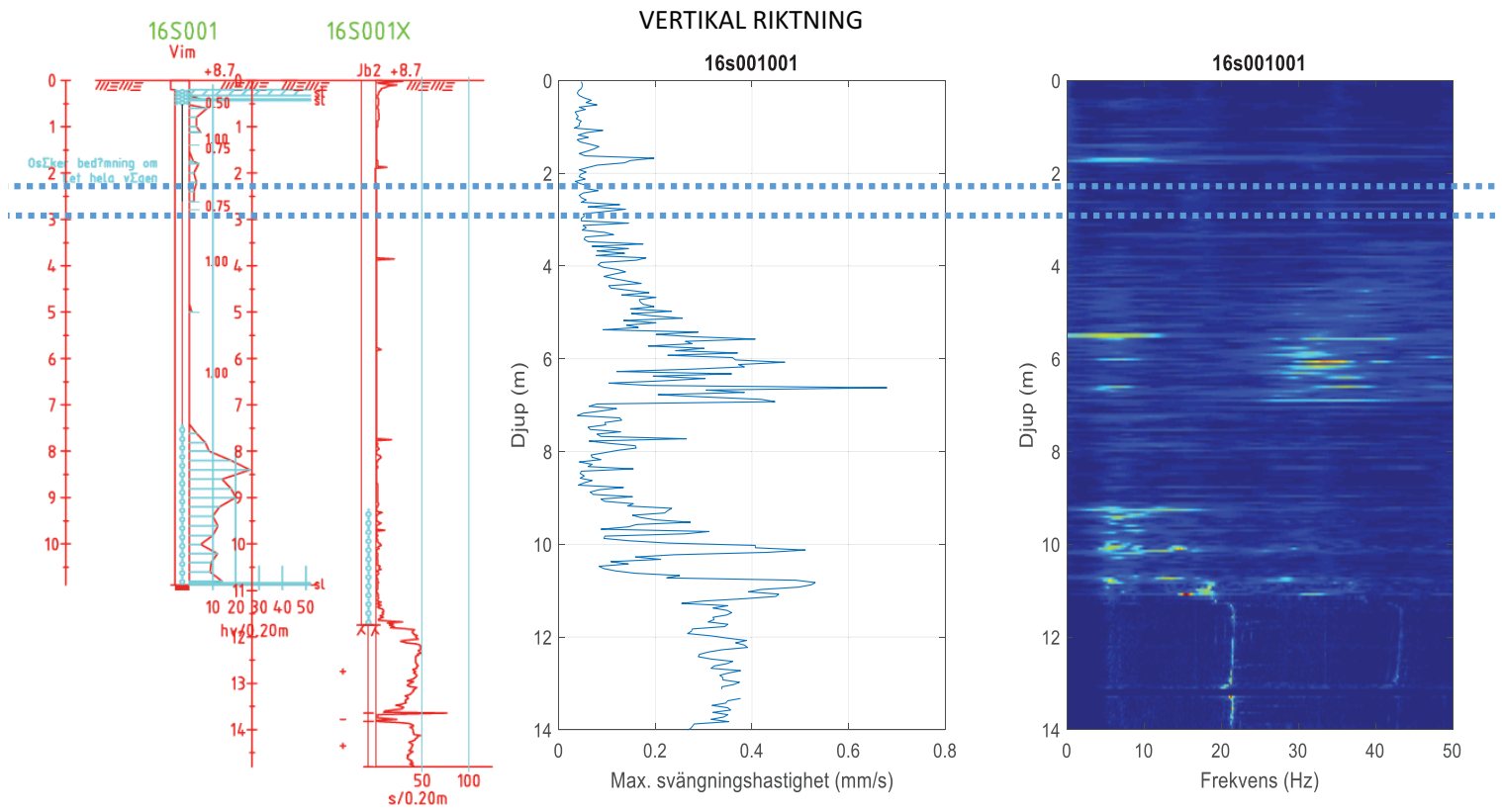


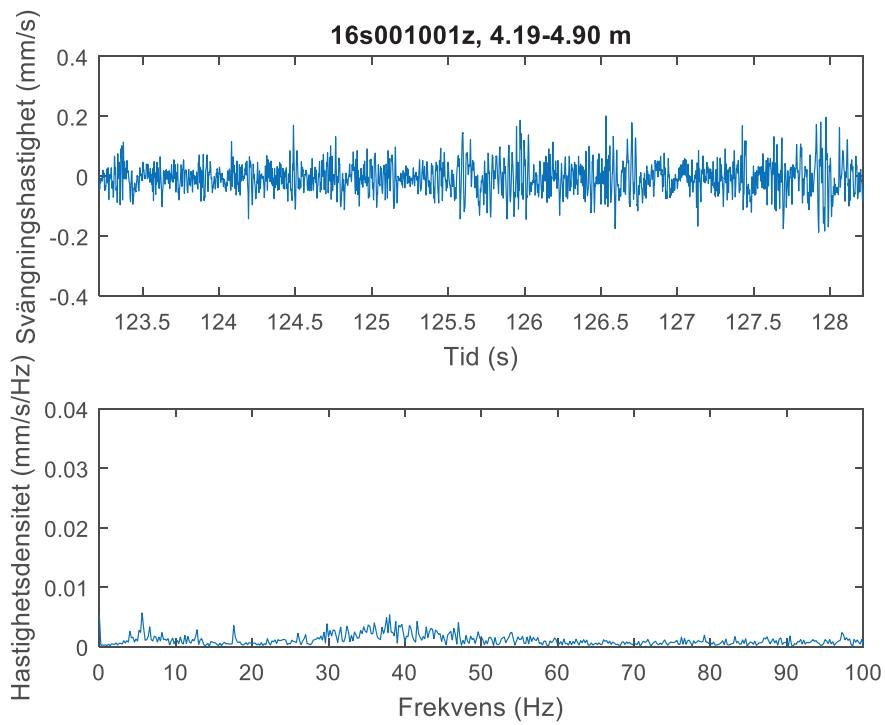
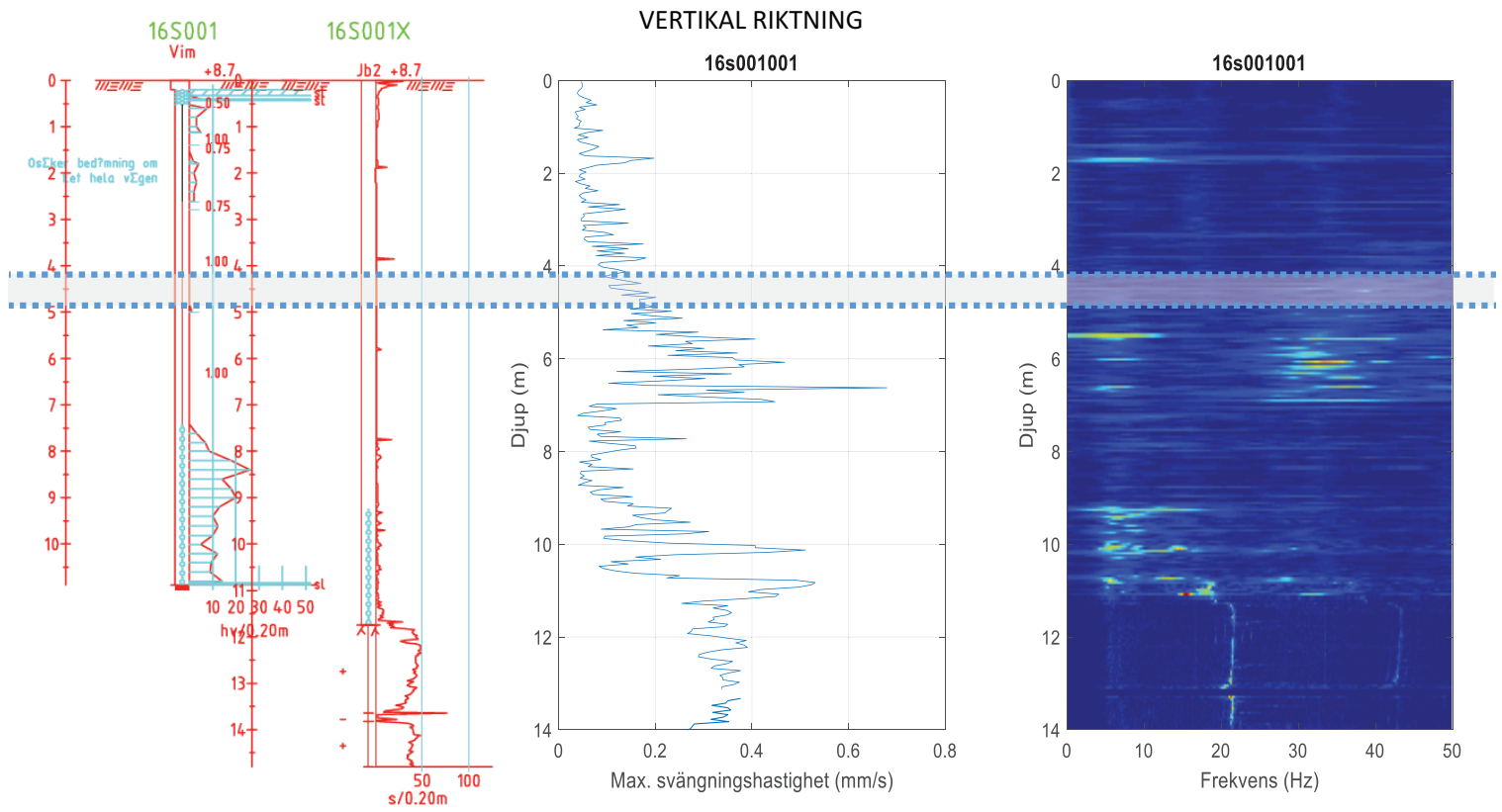
Bilaga C.

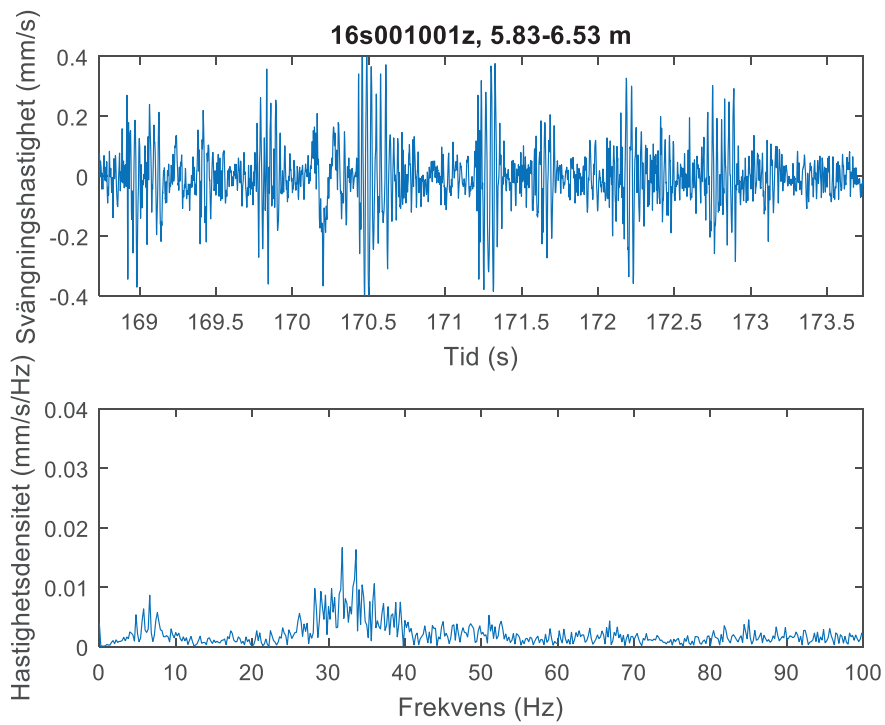
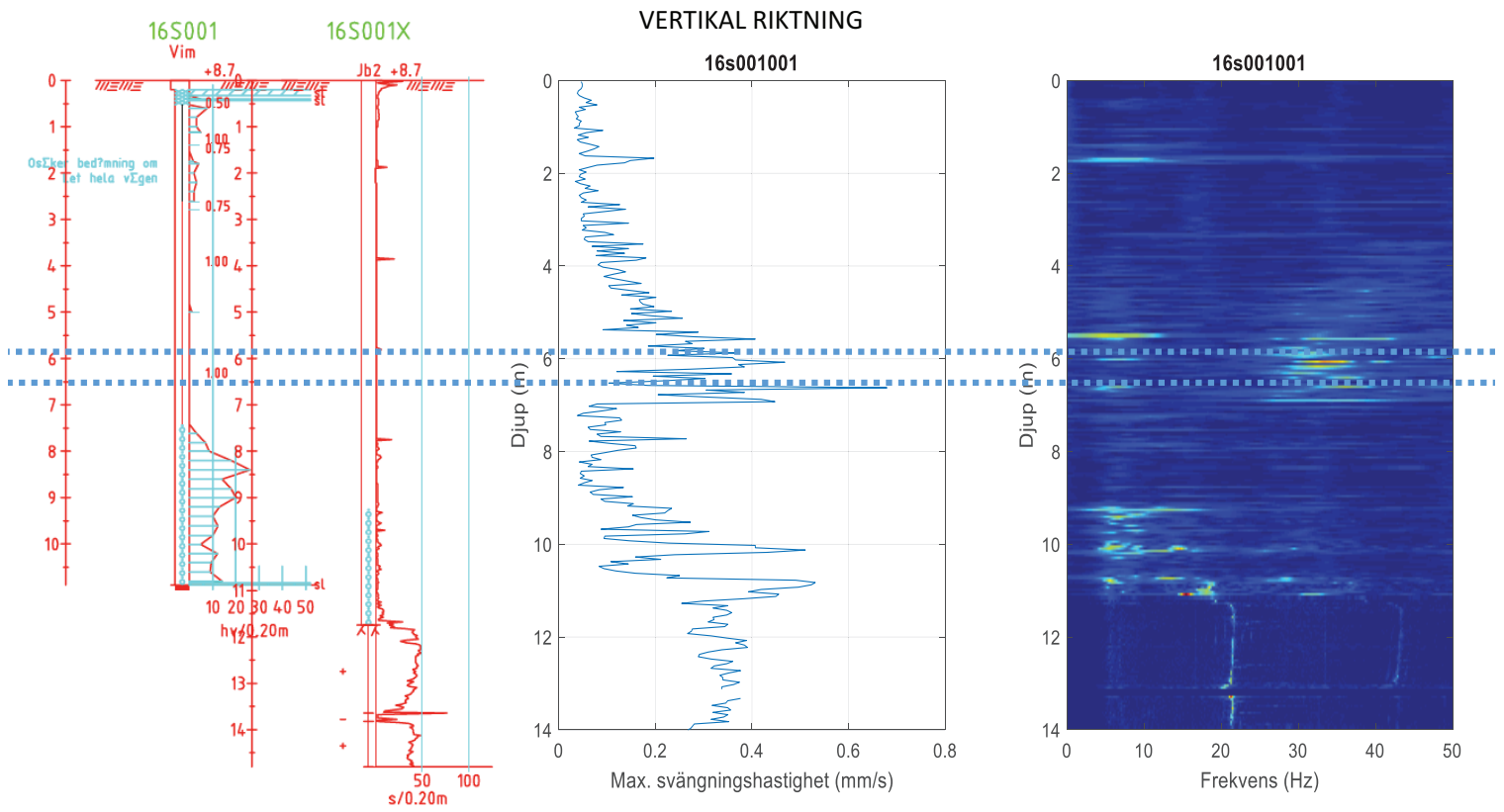
Jämförelse av Jb-sonderingsresultat med seismiska mätningar (svängningshastighet och spektrogram) Borrhål S001 och S002, Åkersberga

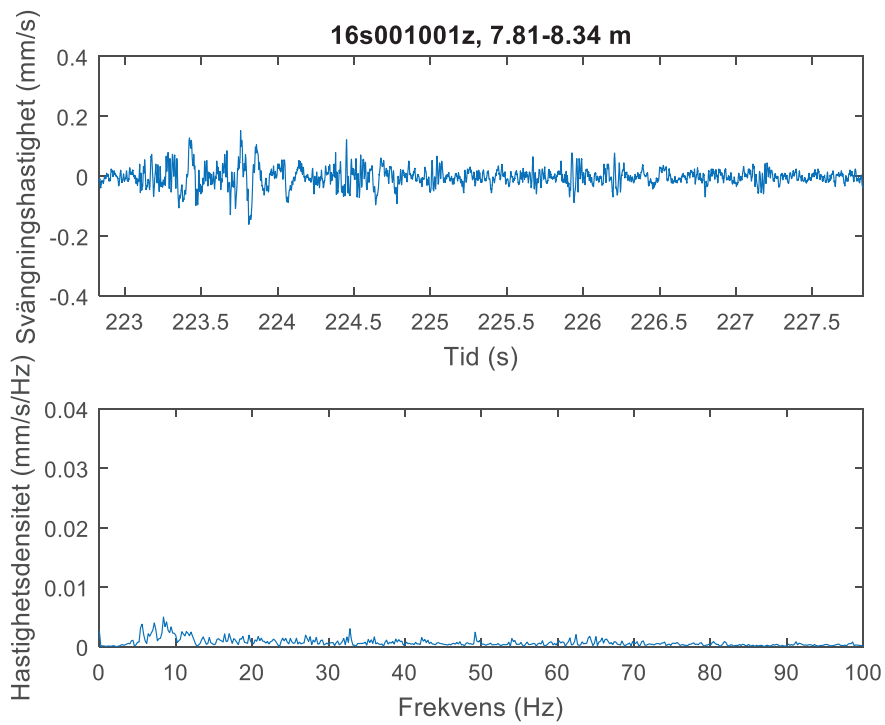
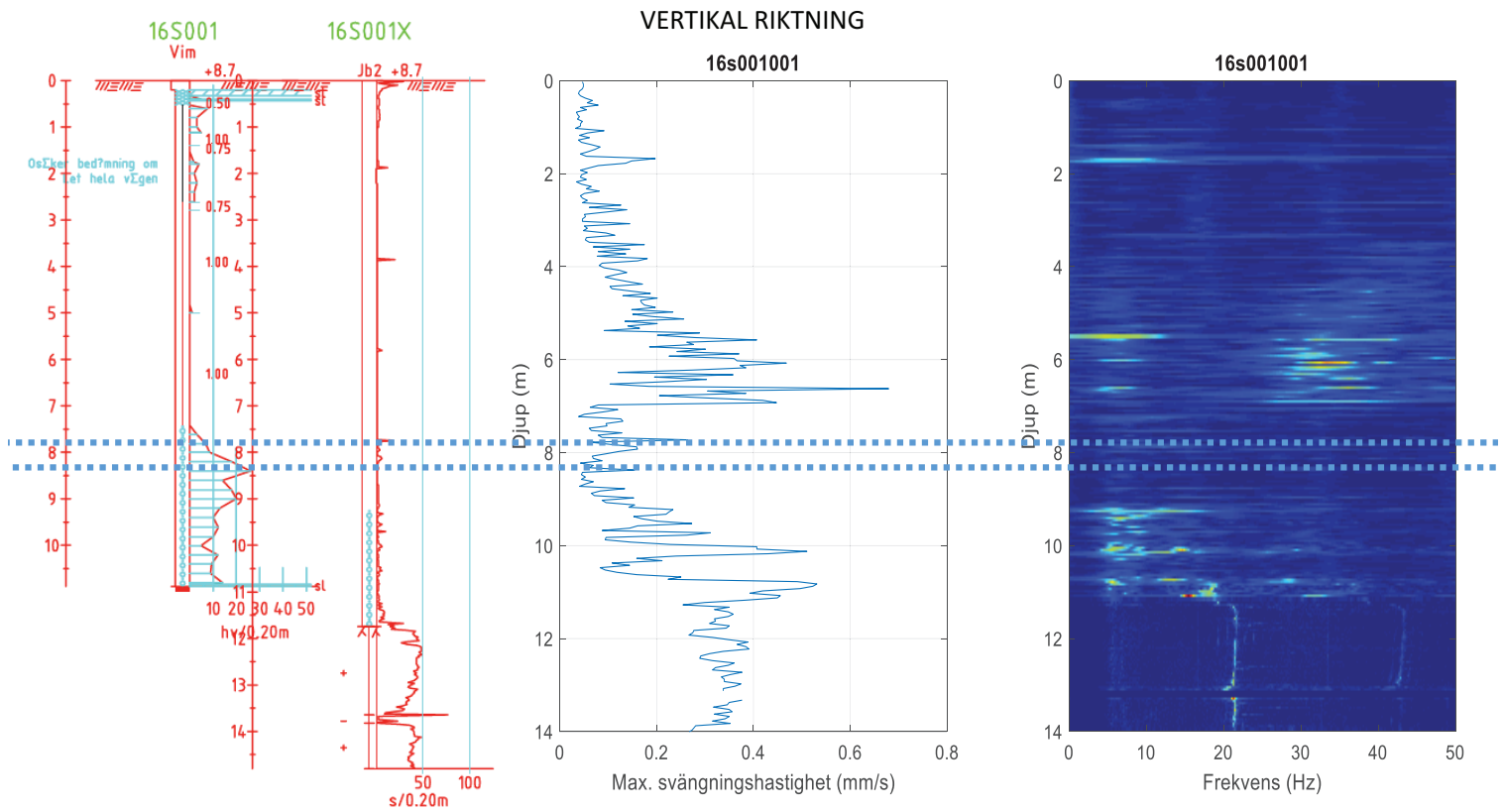
Blå linjer i övre figurer i Bilaga C avgränsar det djupintervall där signalen har analyserats. Signalen finns redovisad i efterföljande diagram.

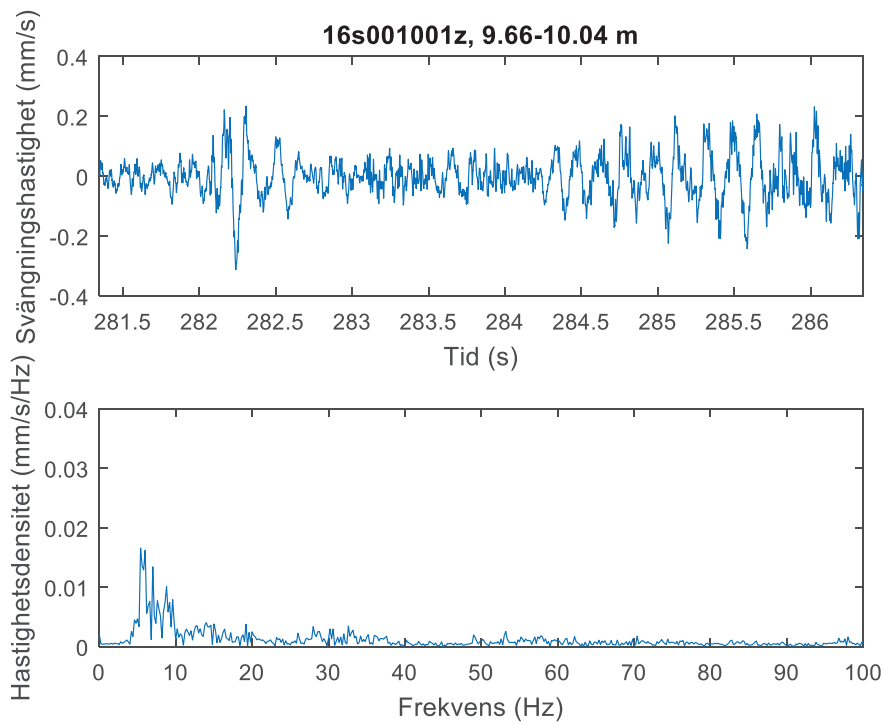
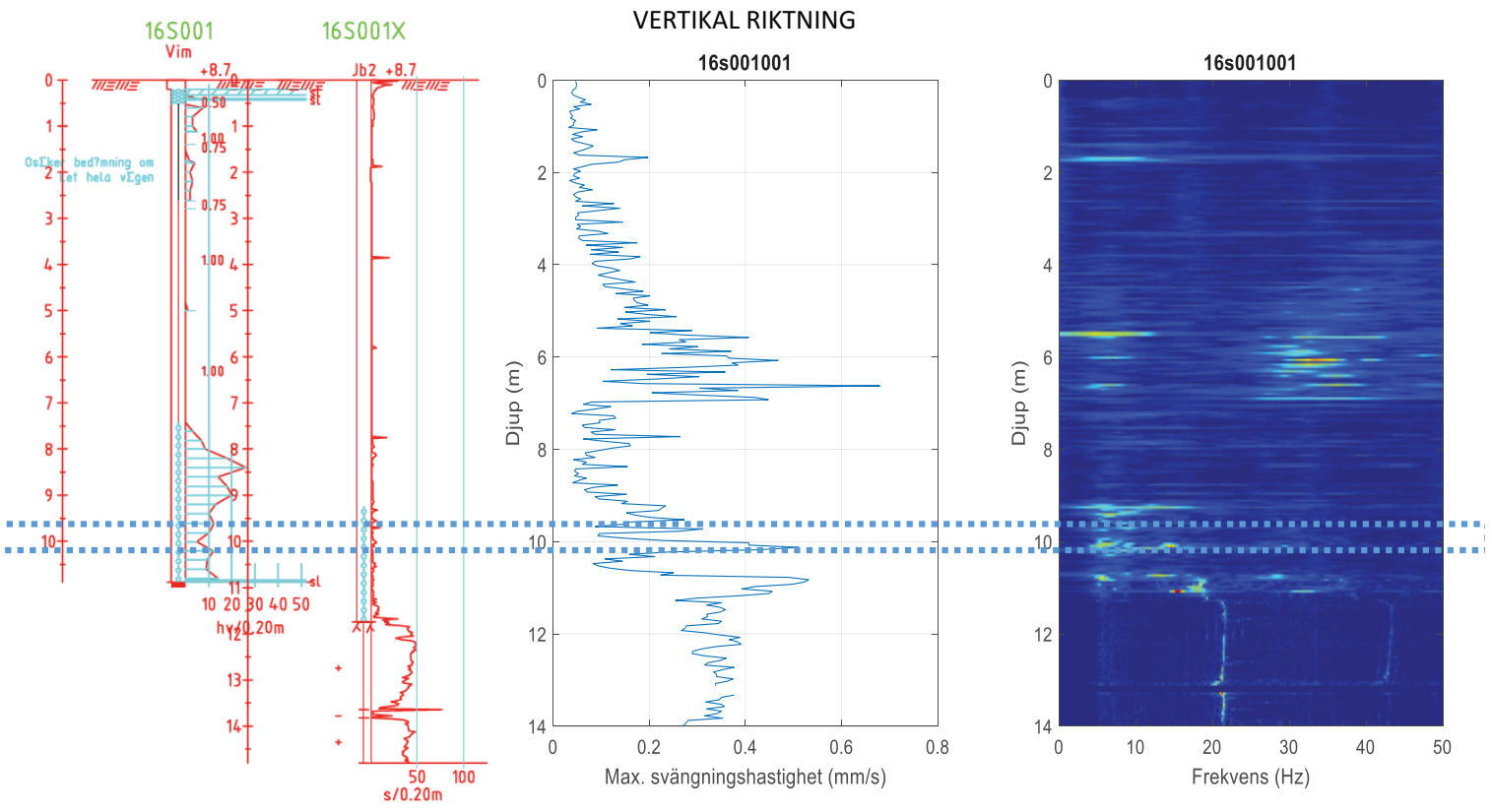


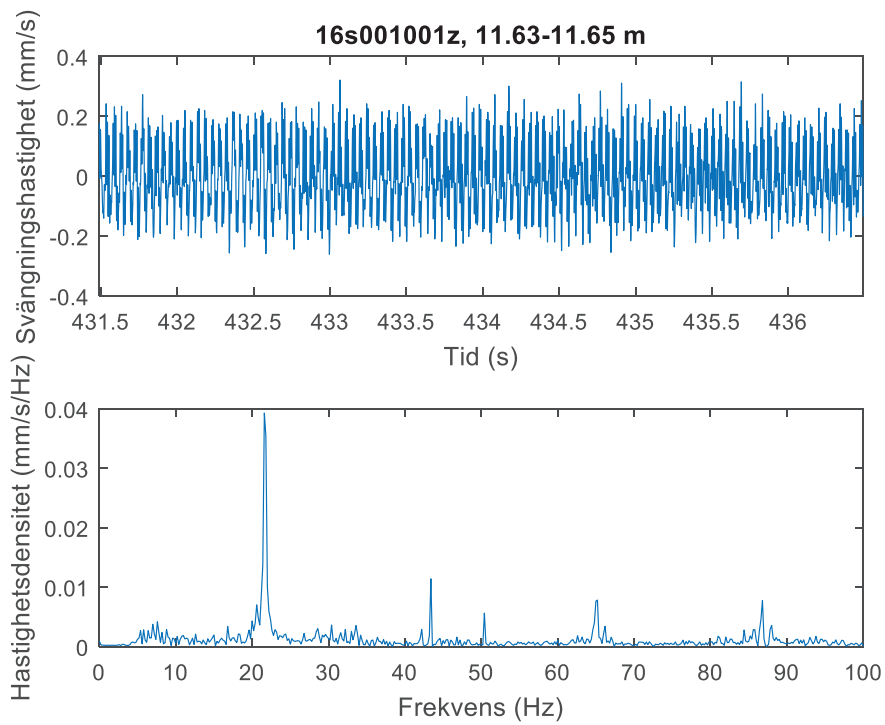
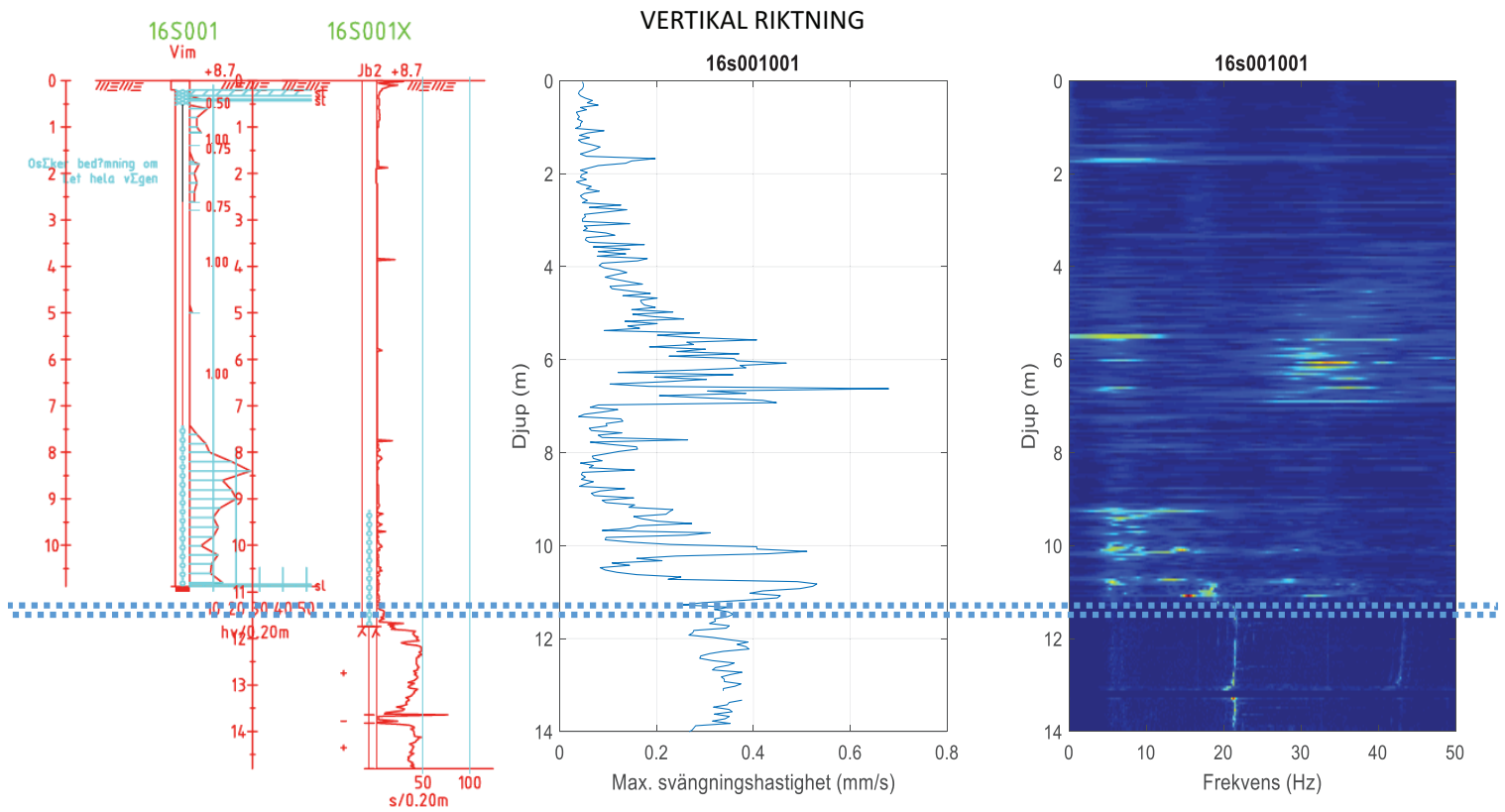


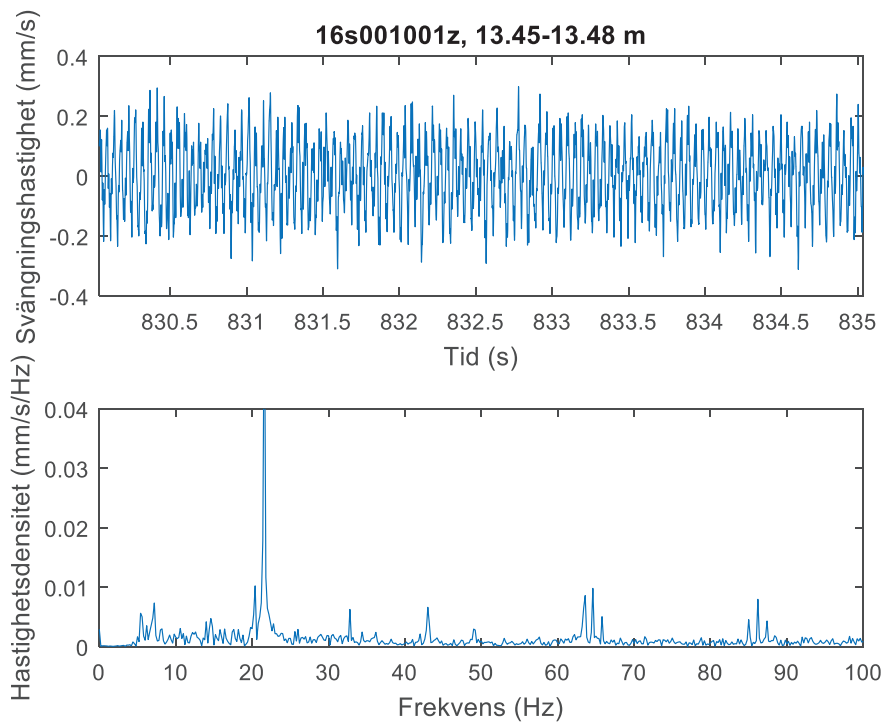
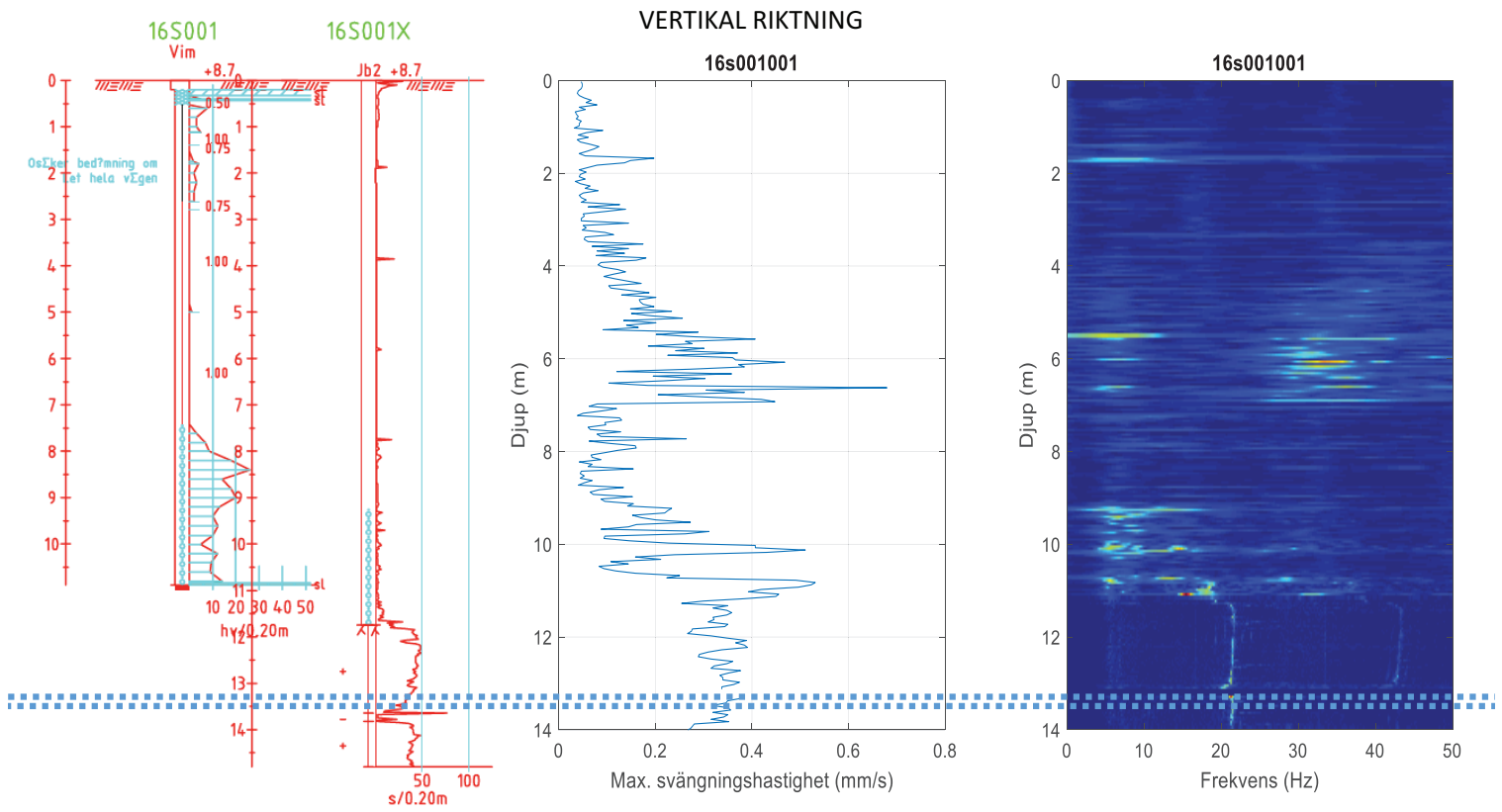


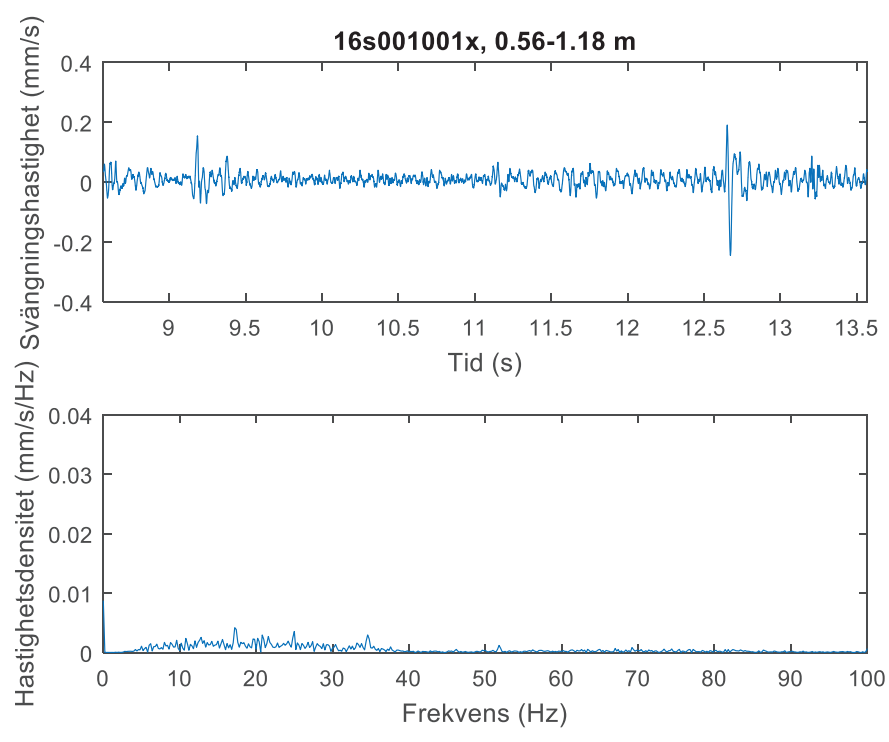
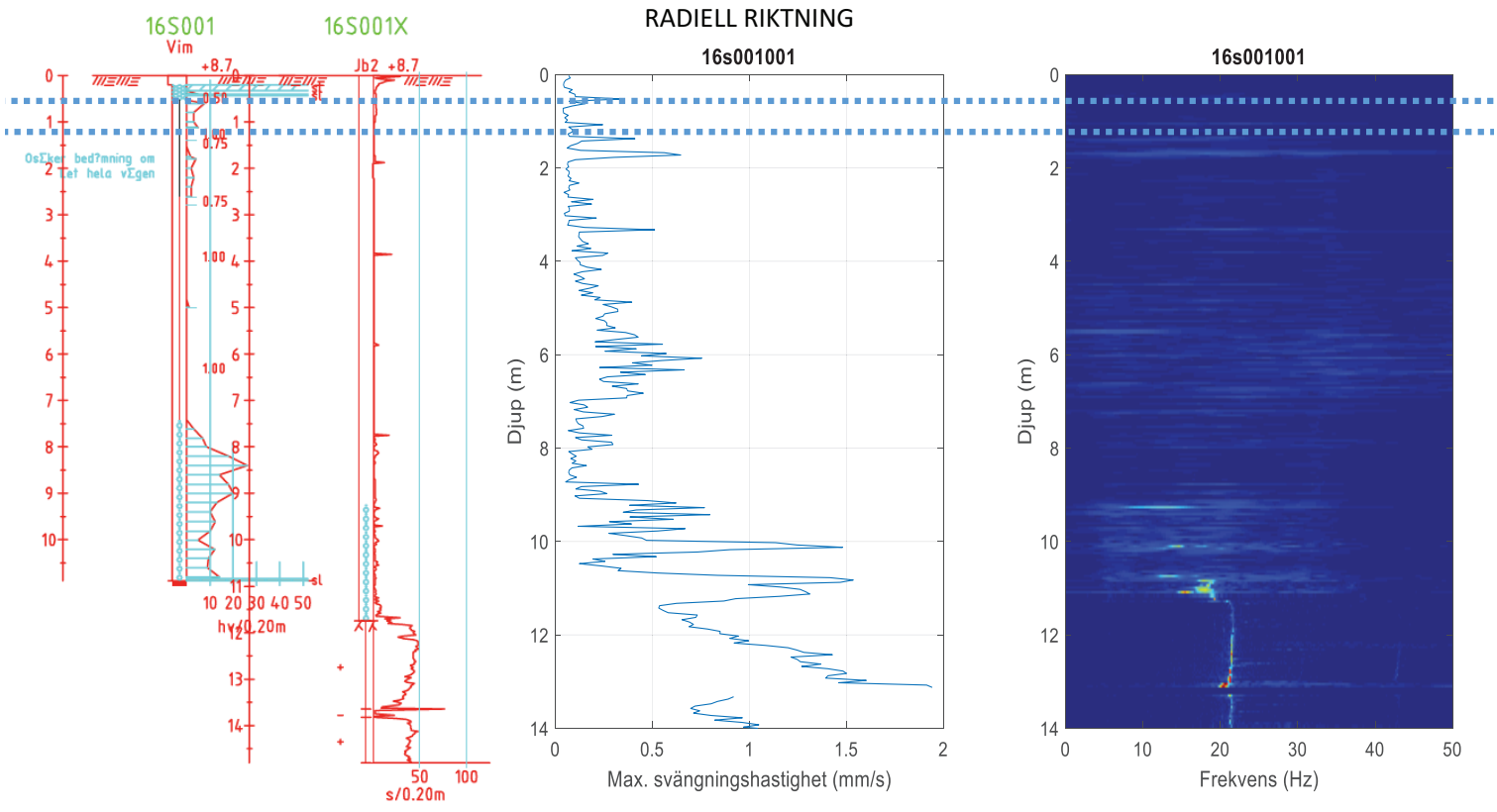


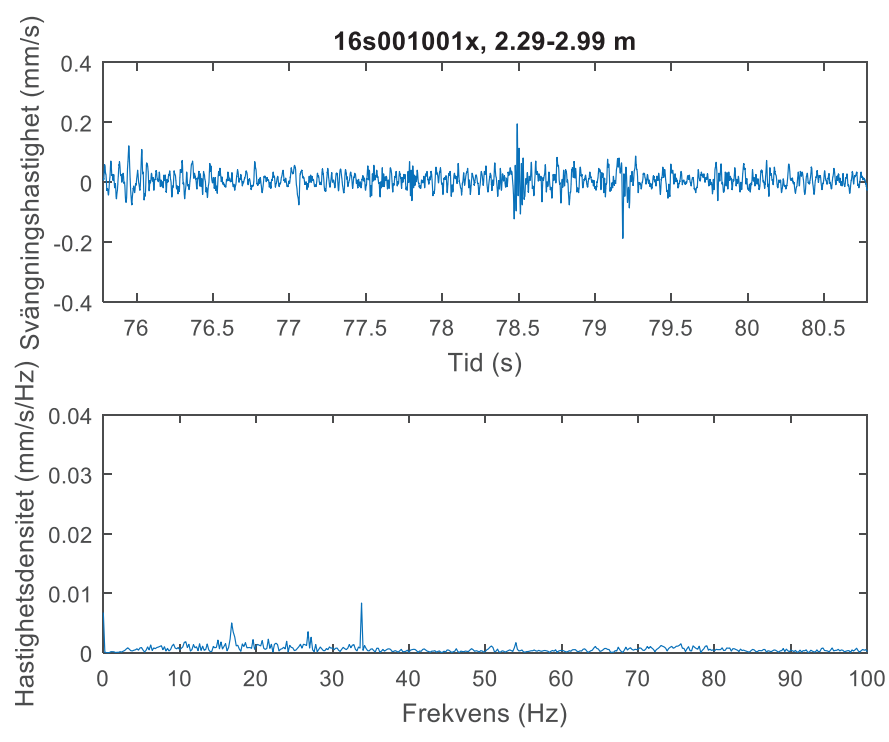
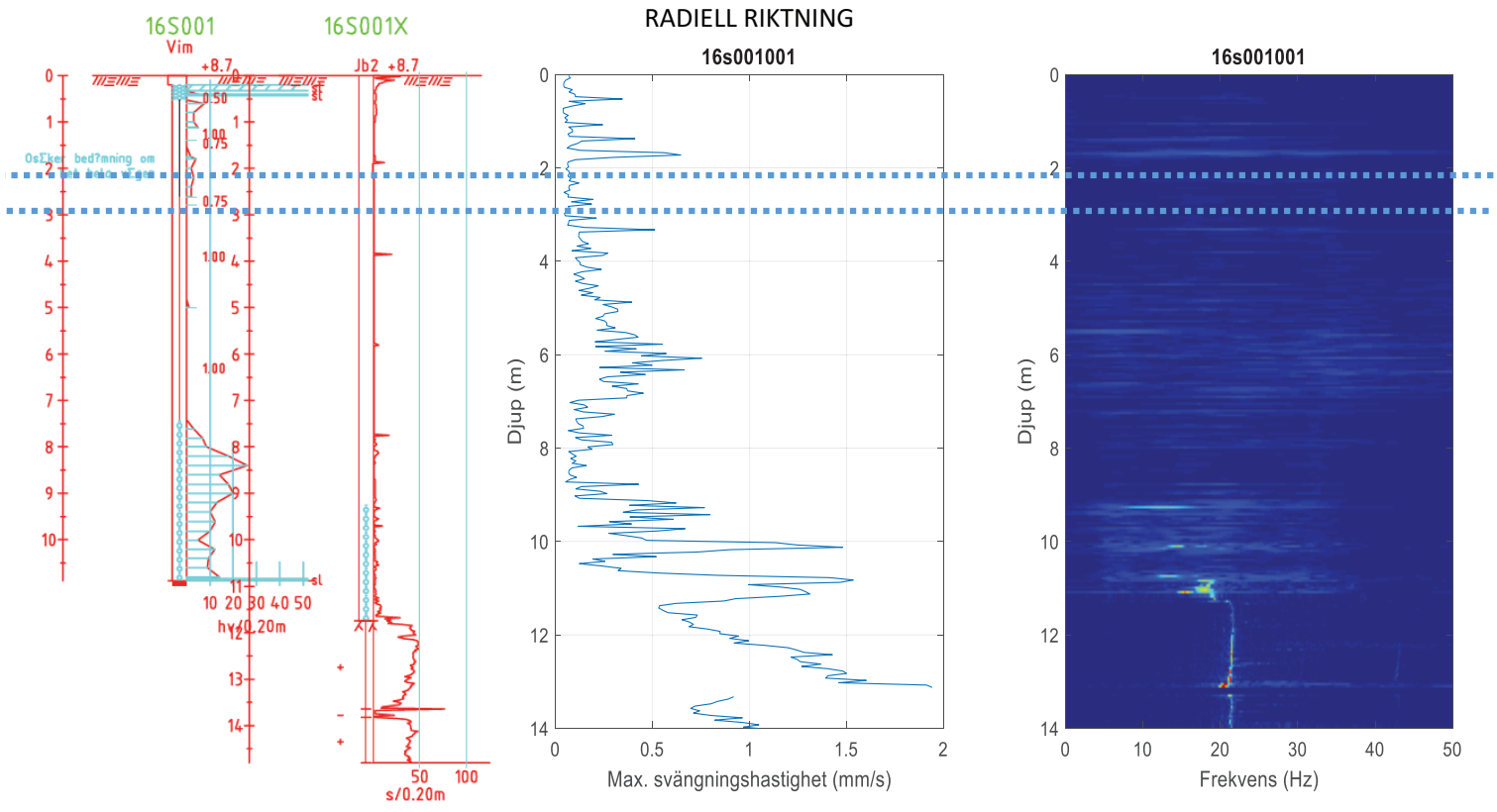


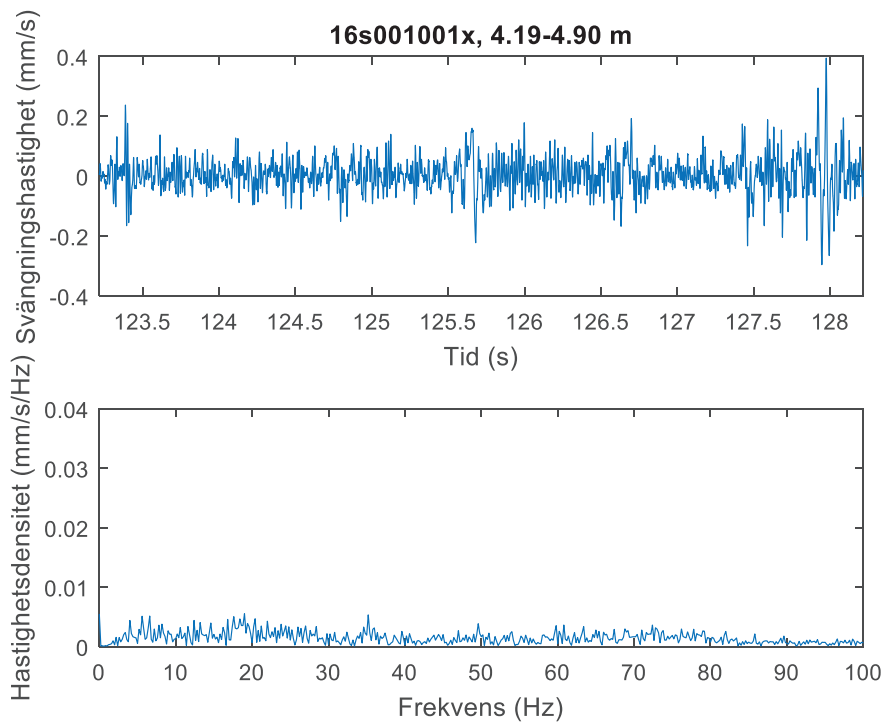
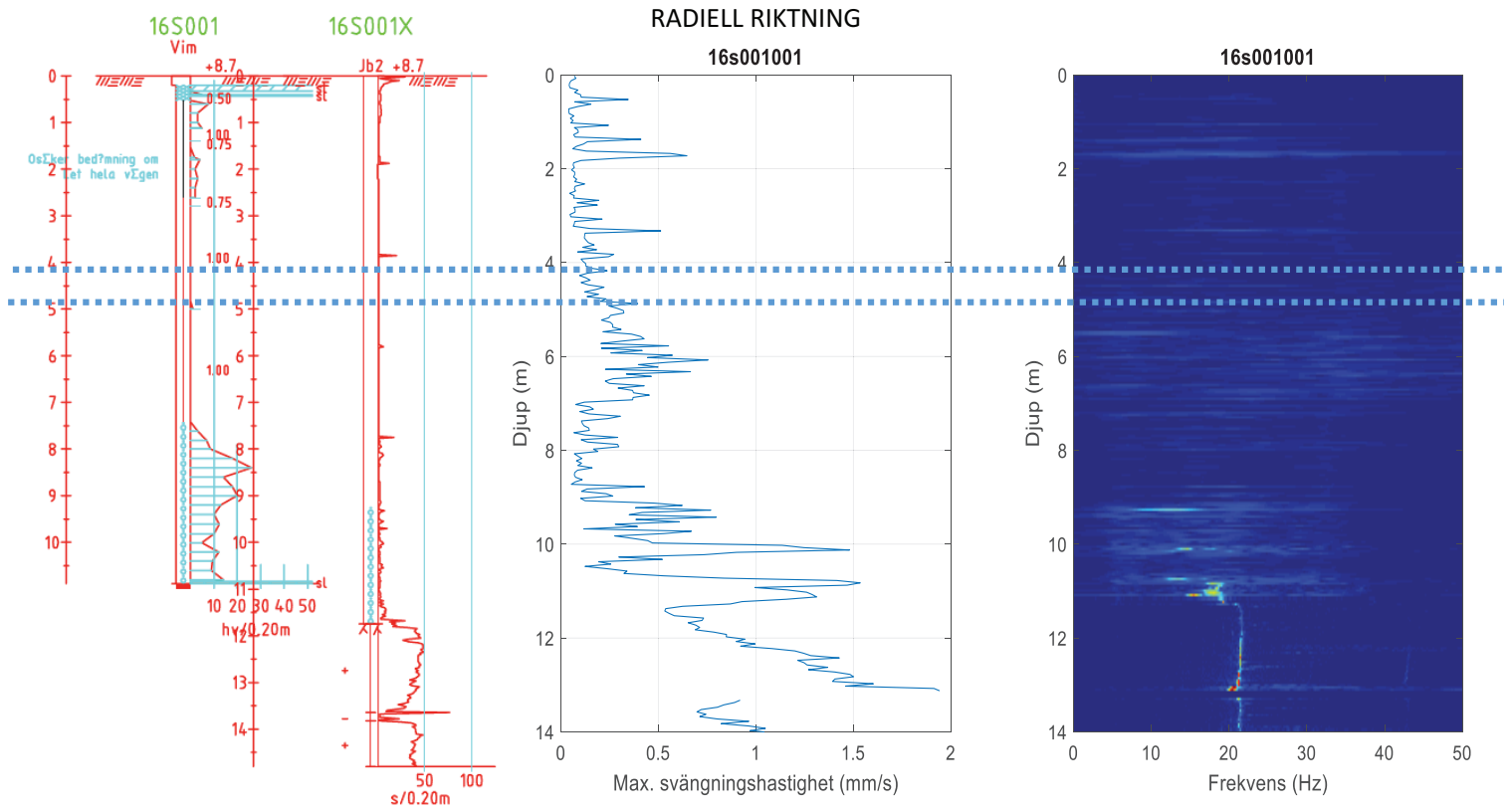


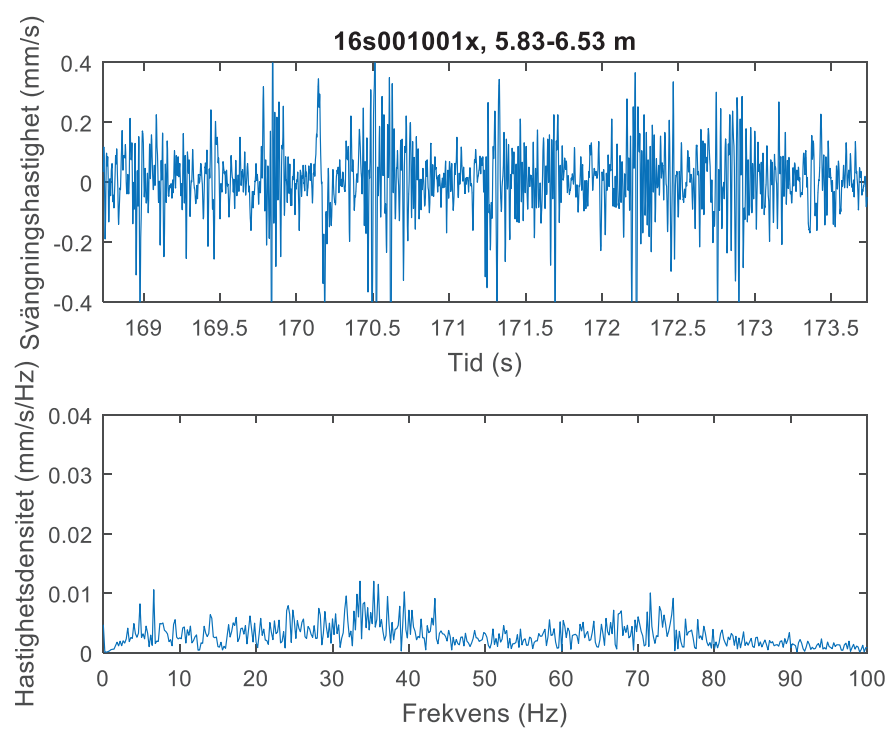
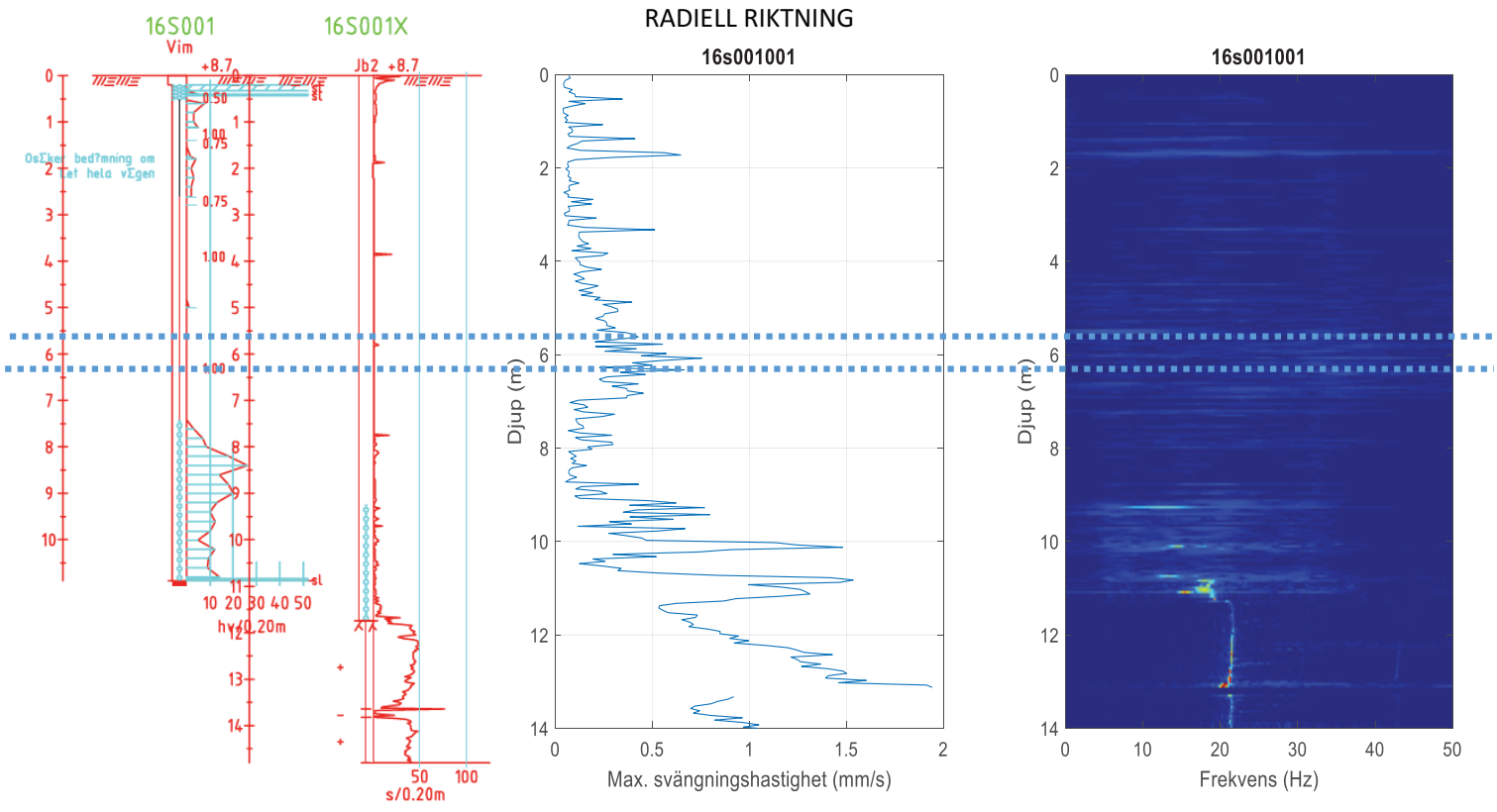


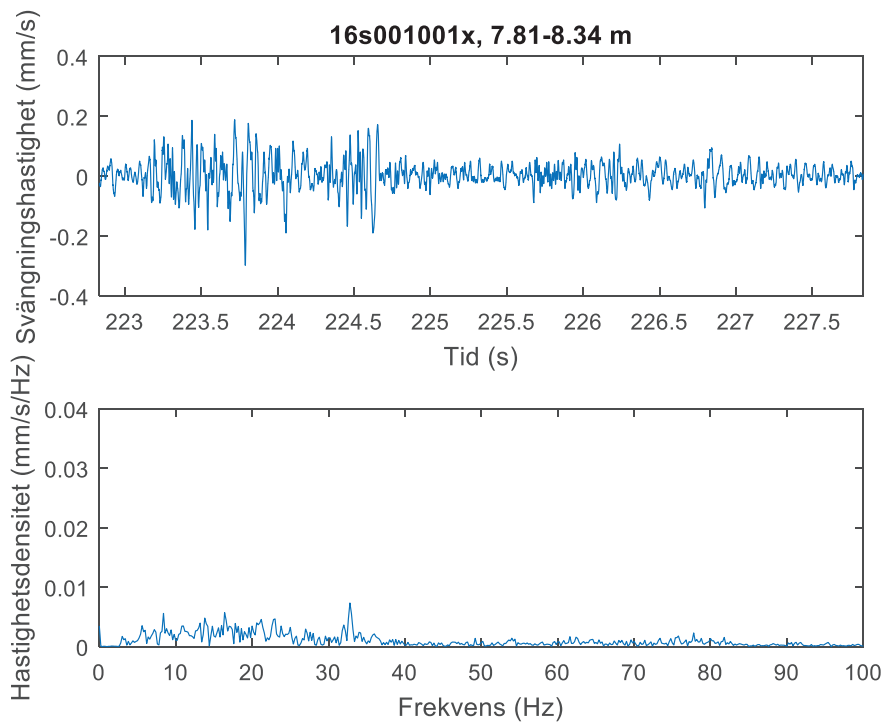
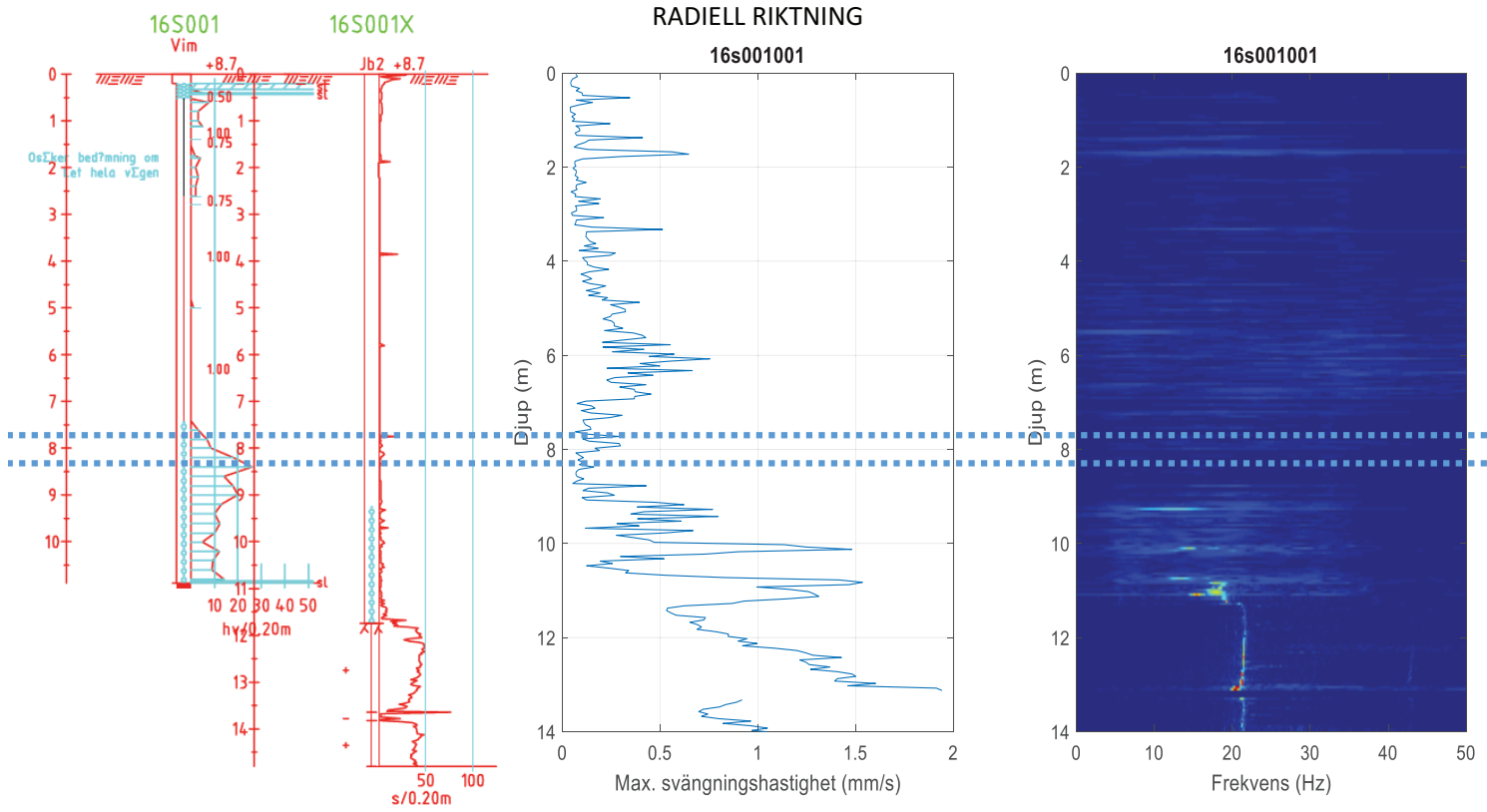


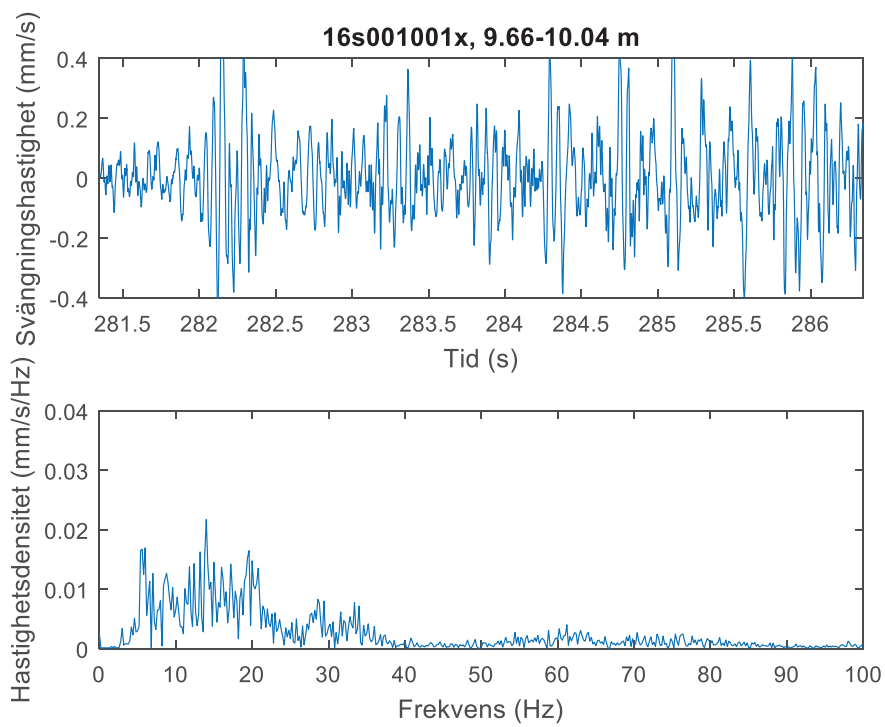
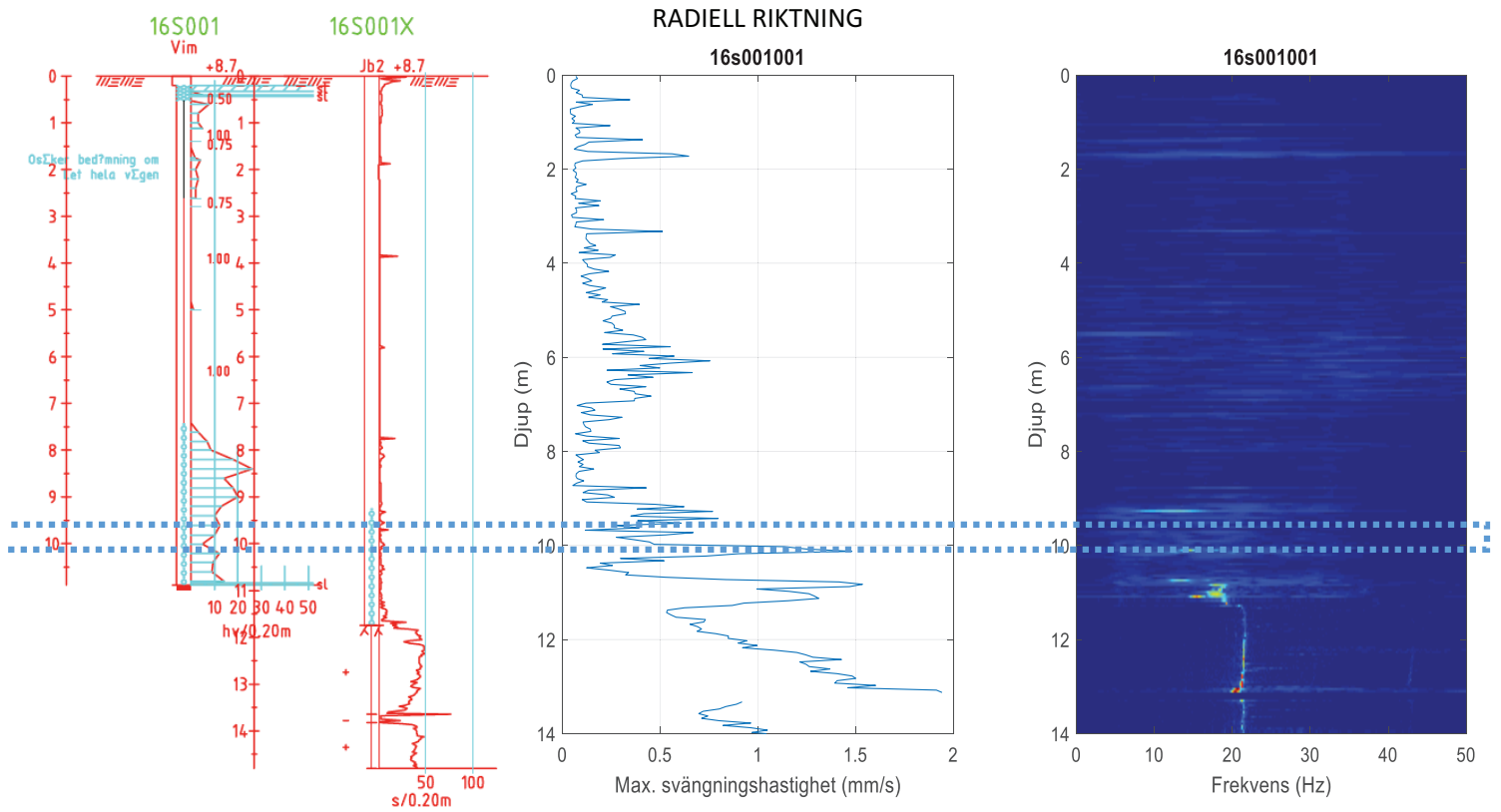


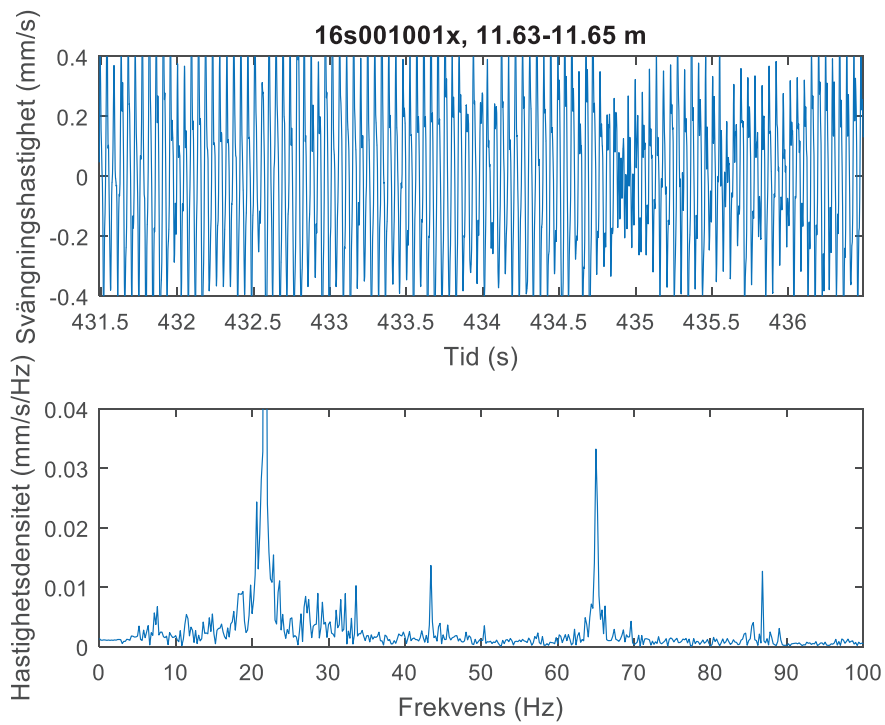
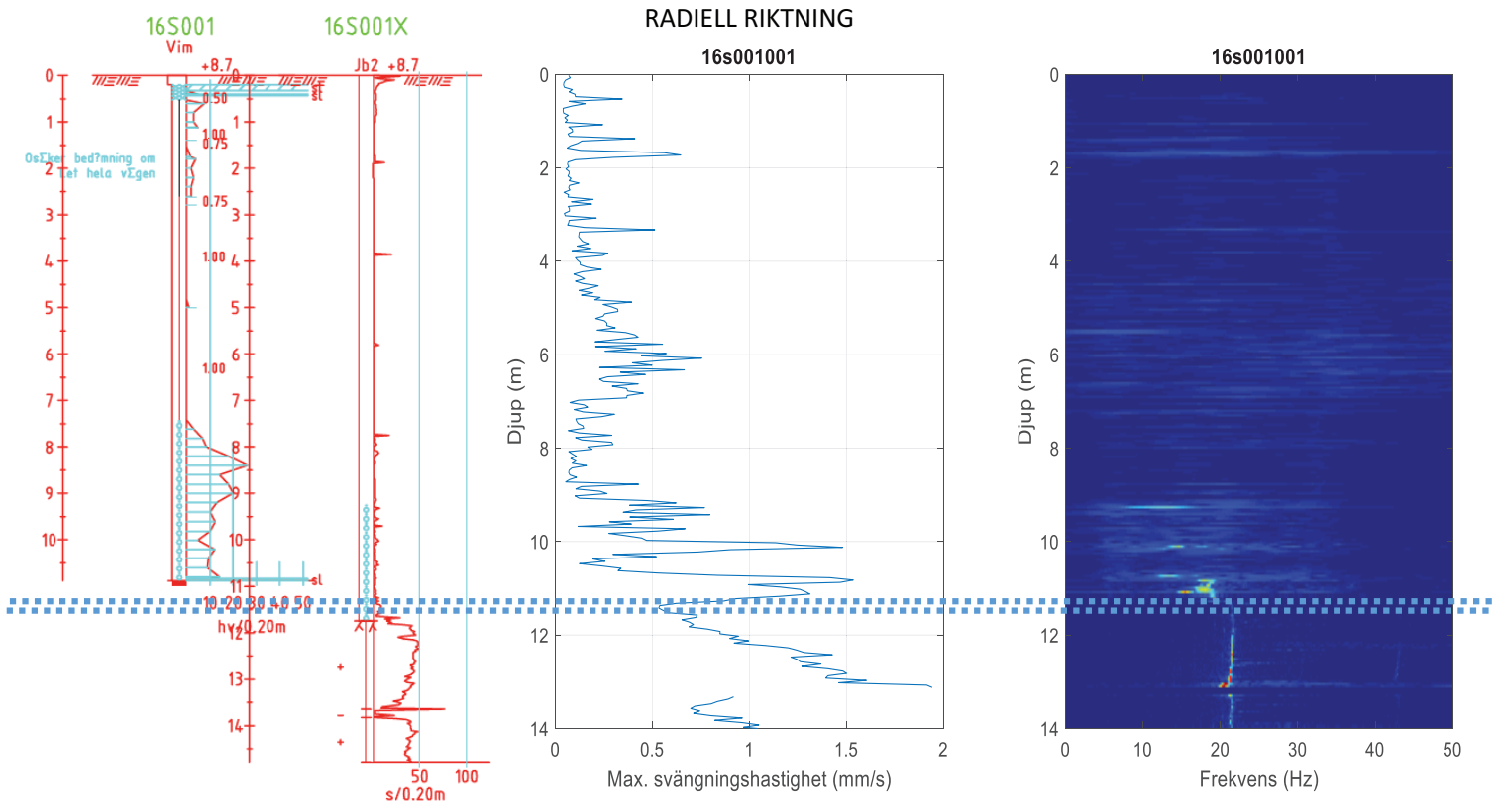


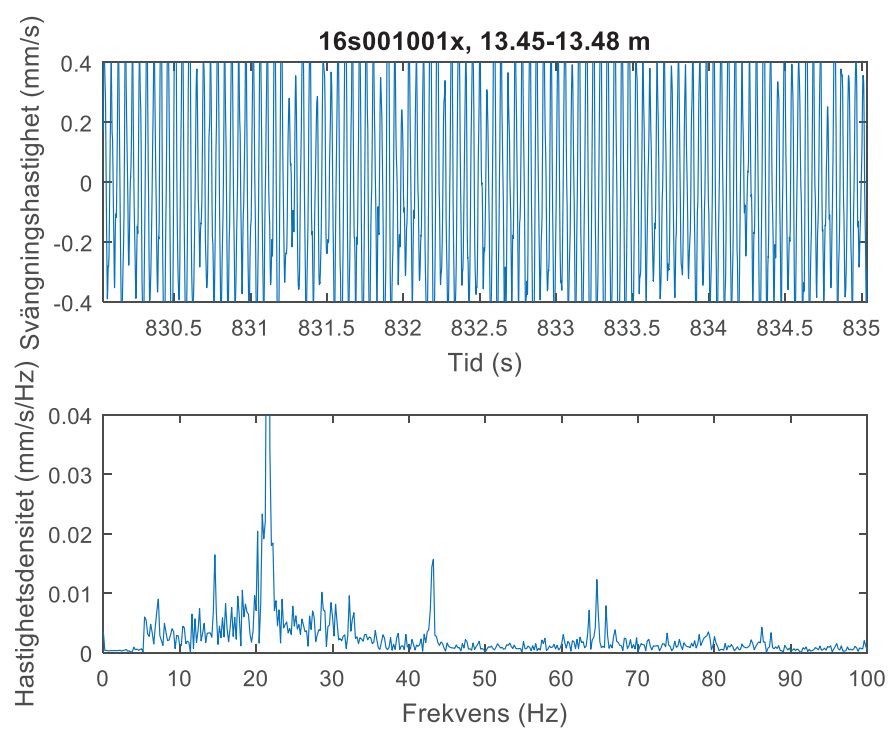
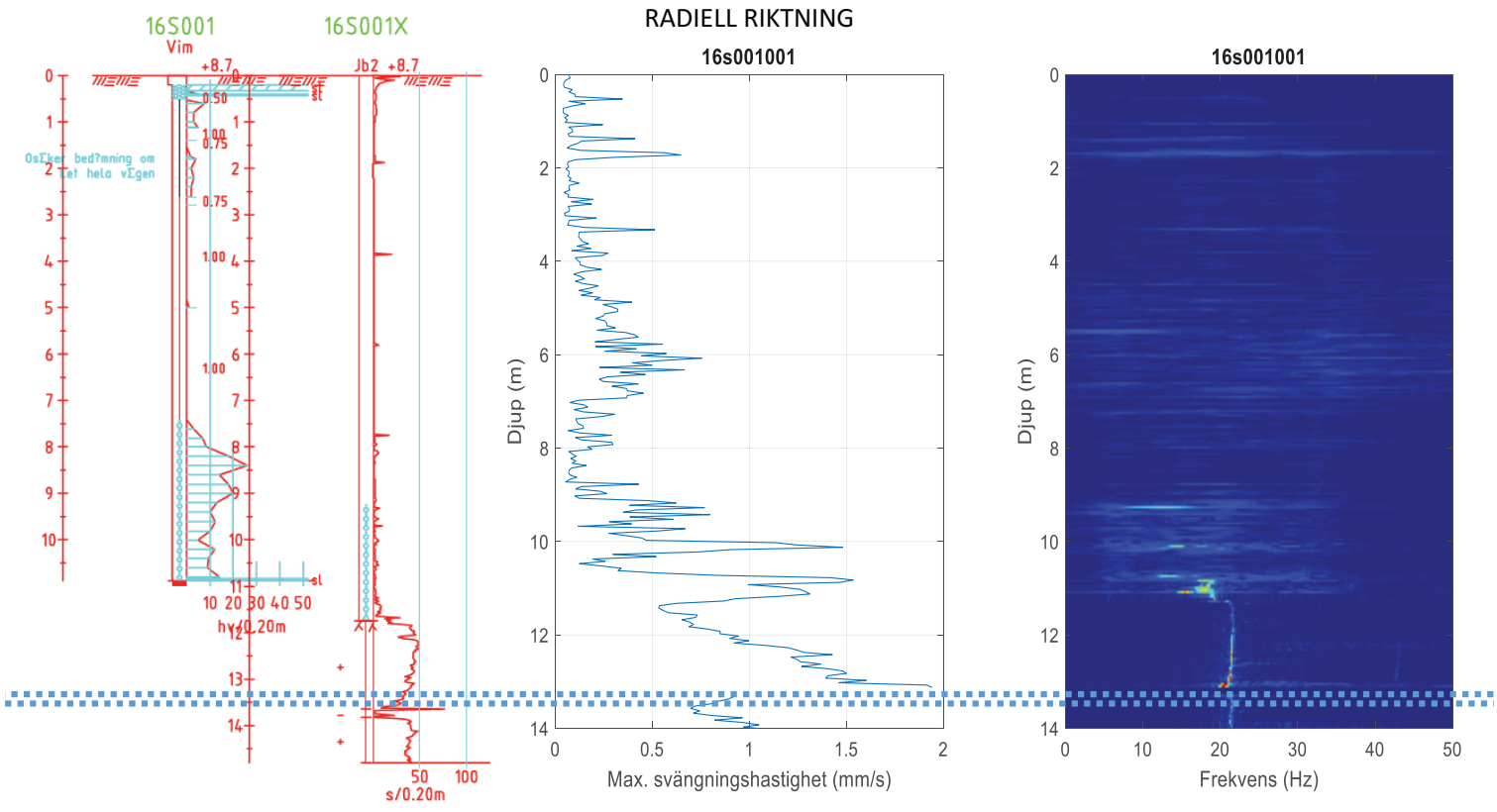


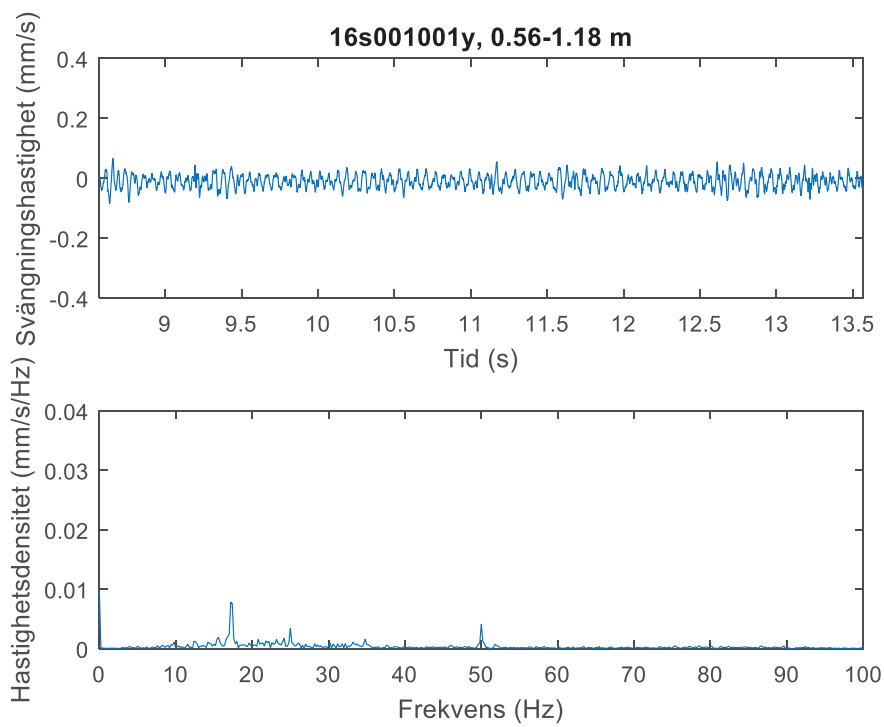
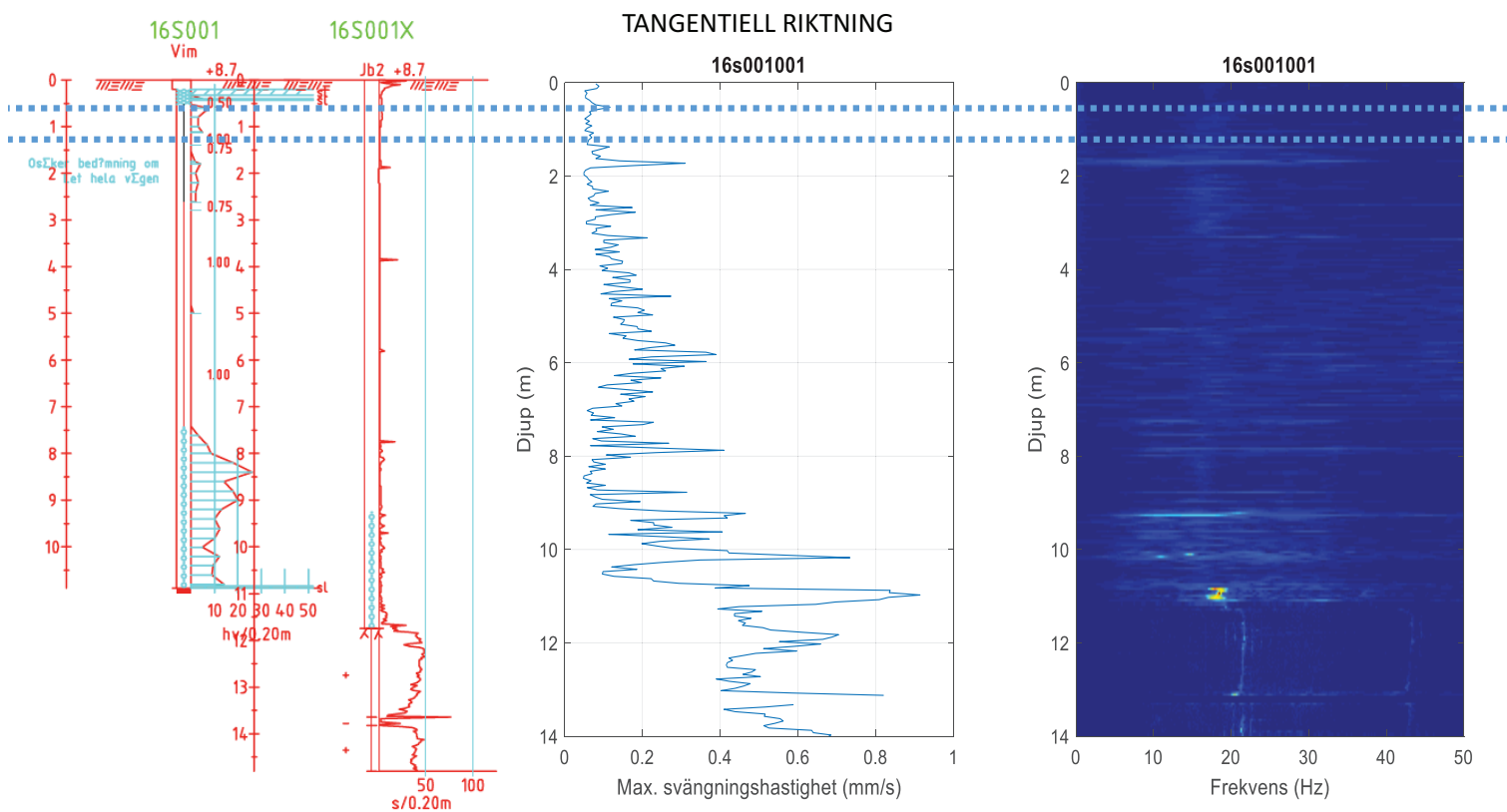


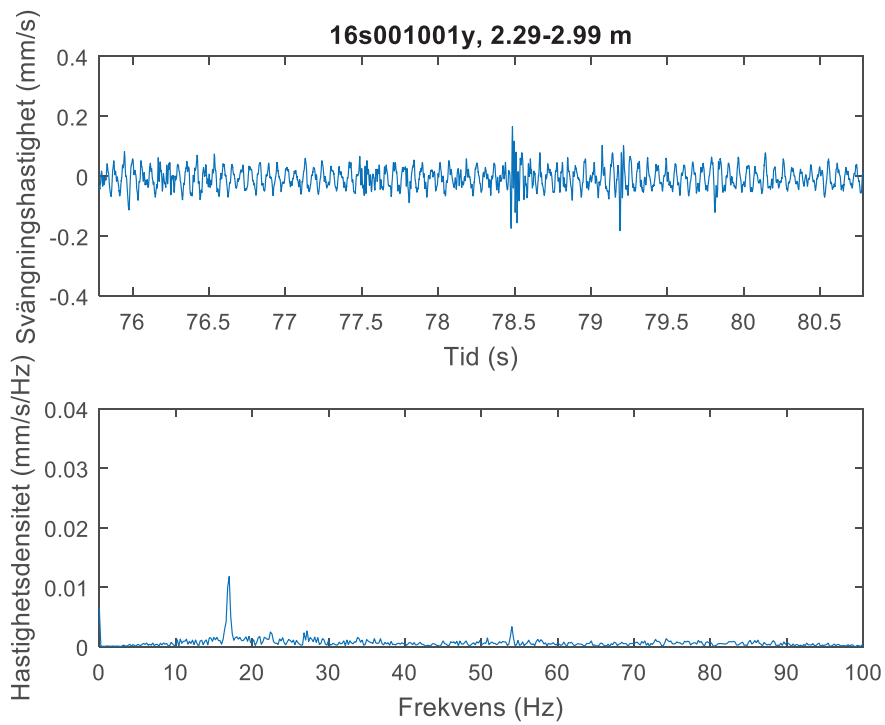
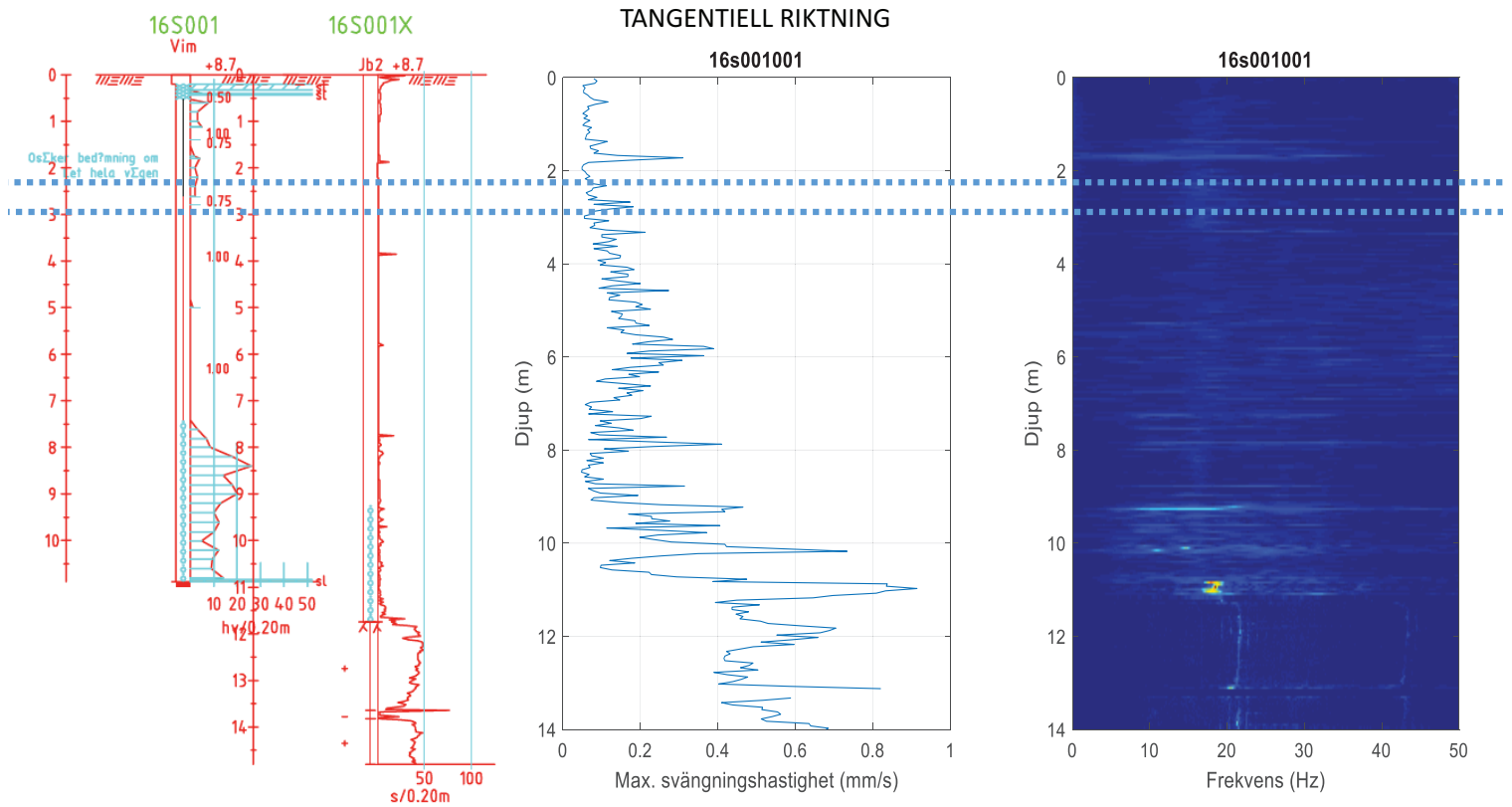


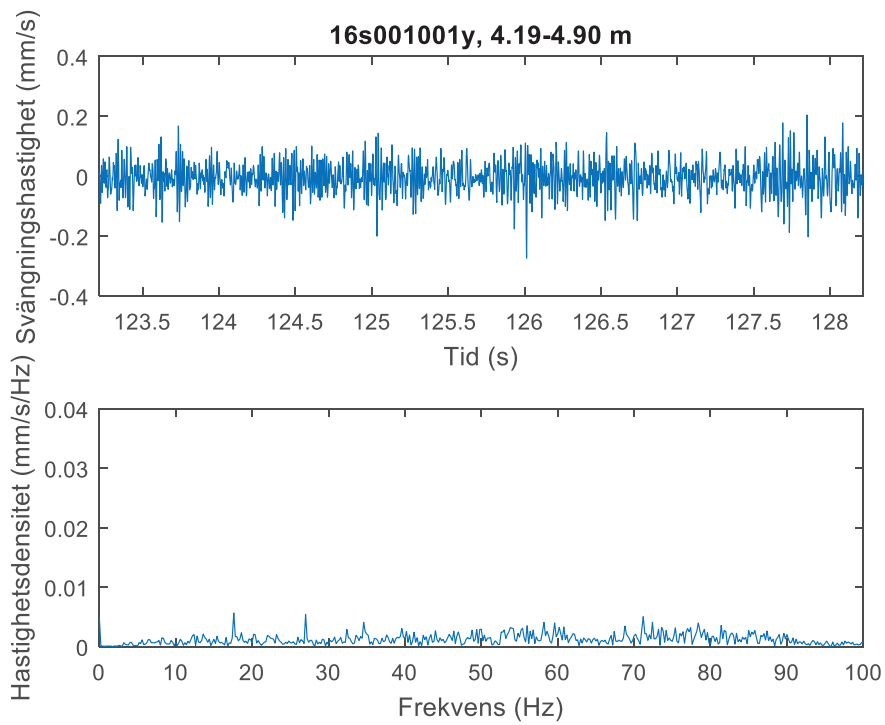
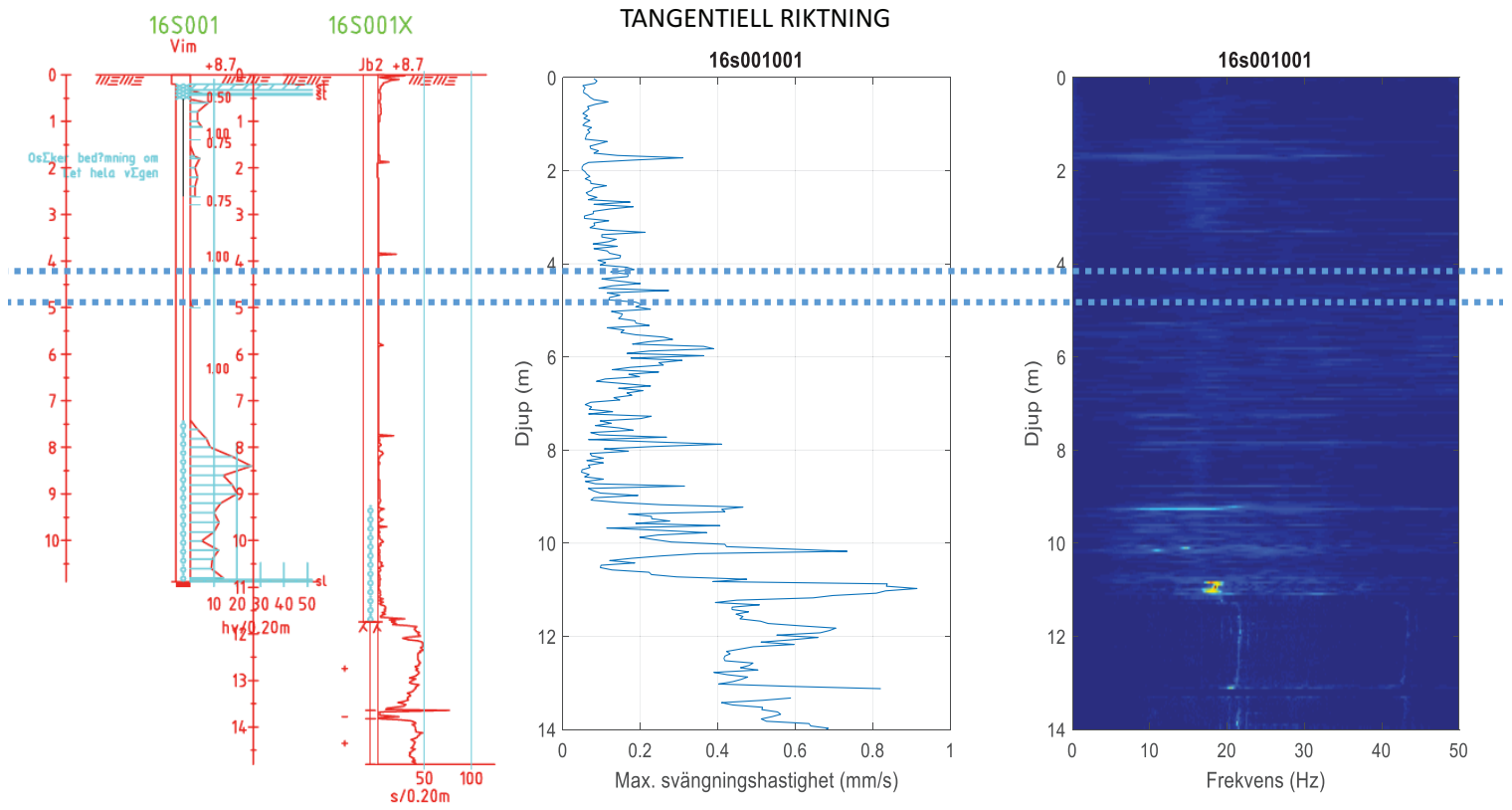


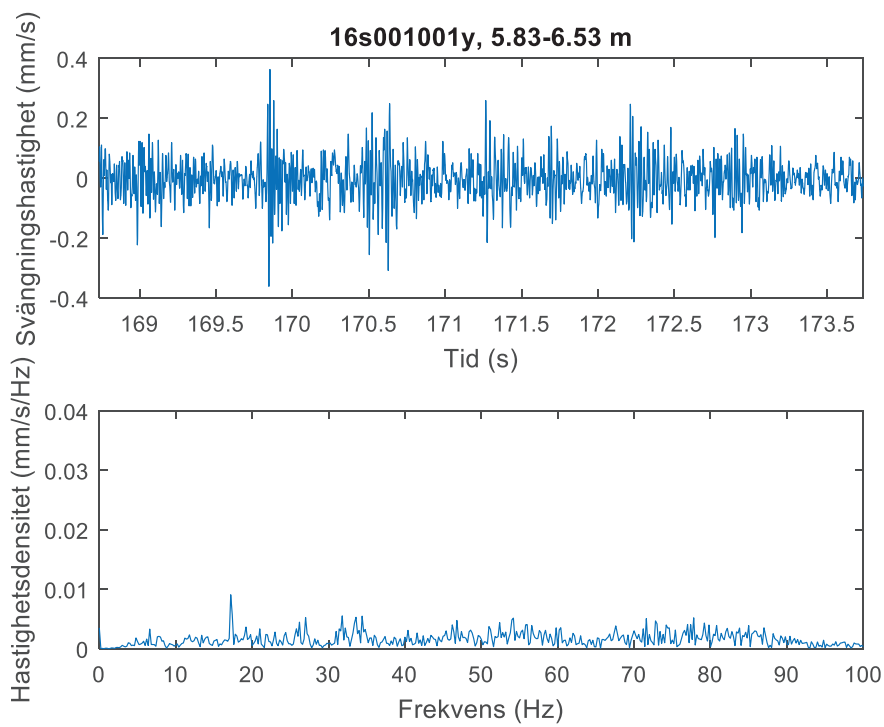
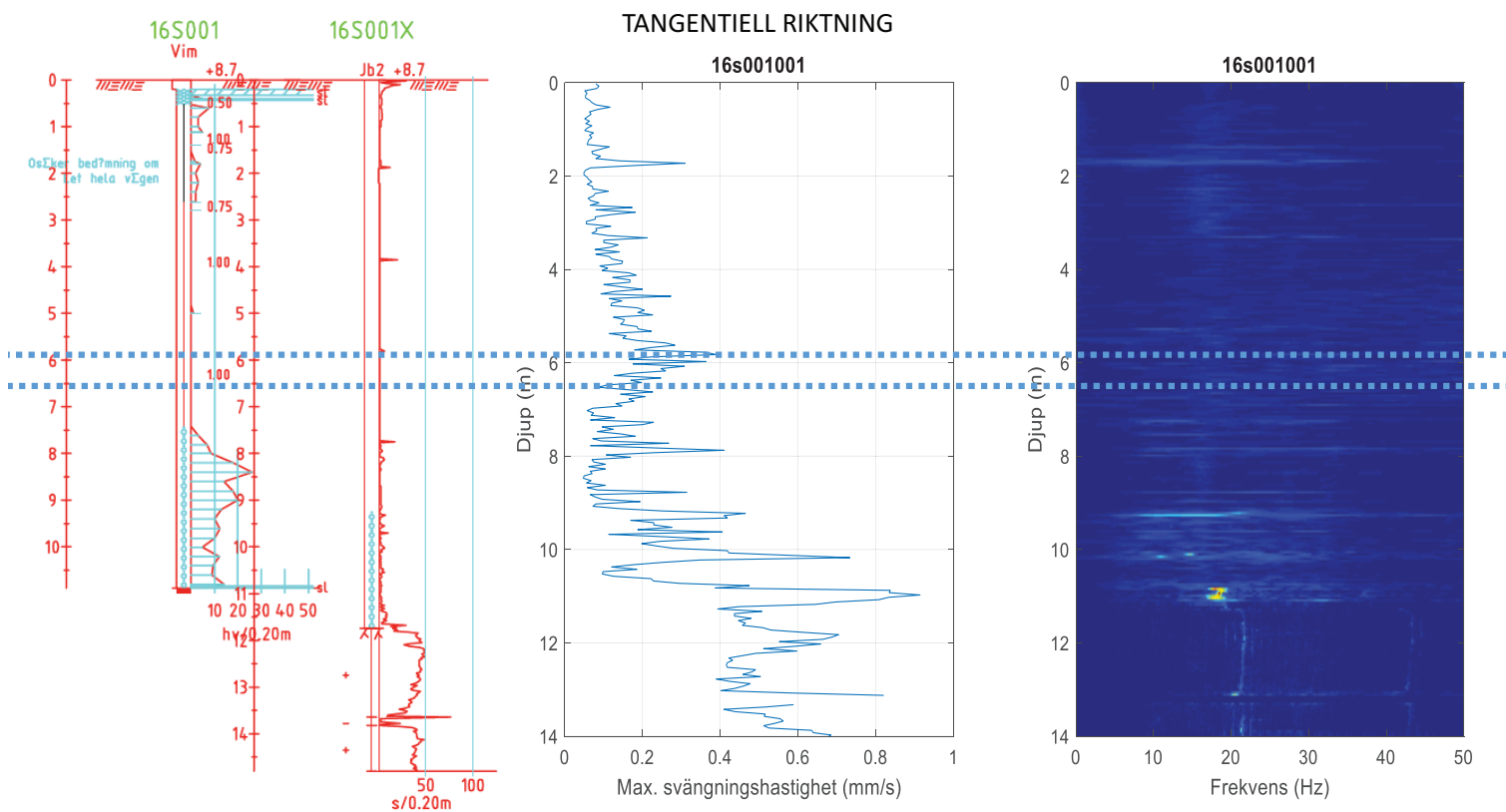


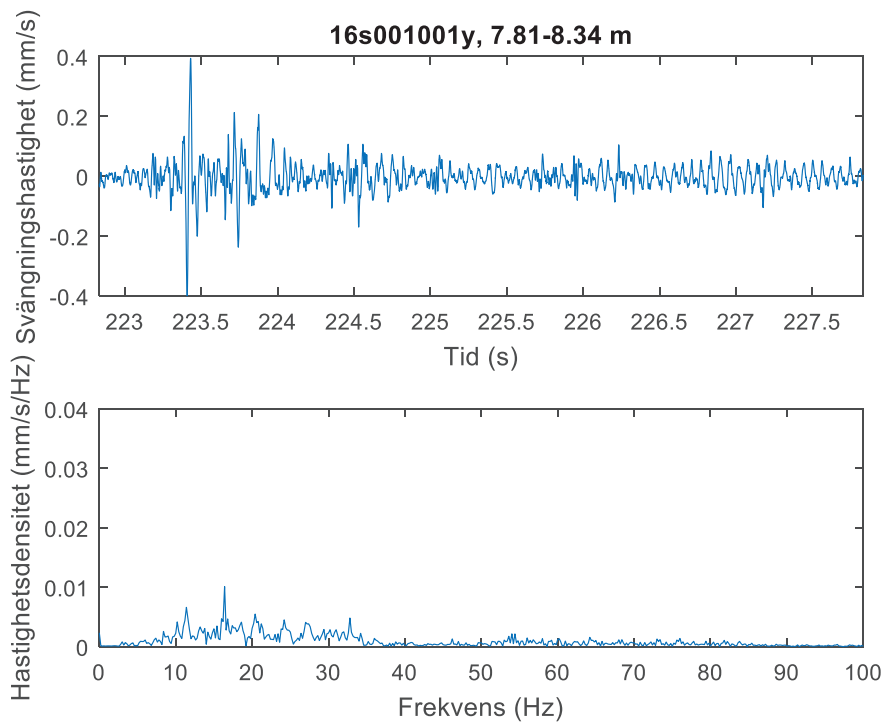
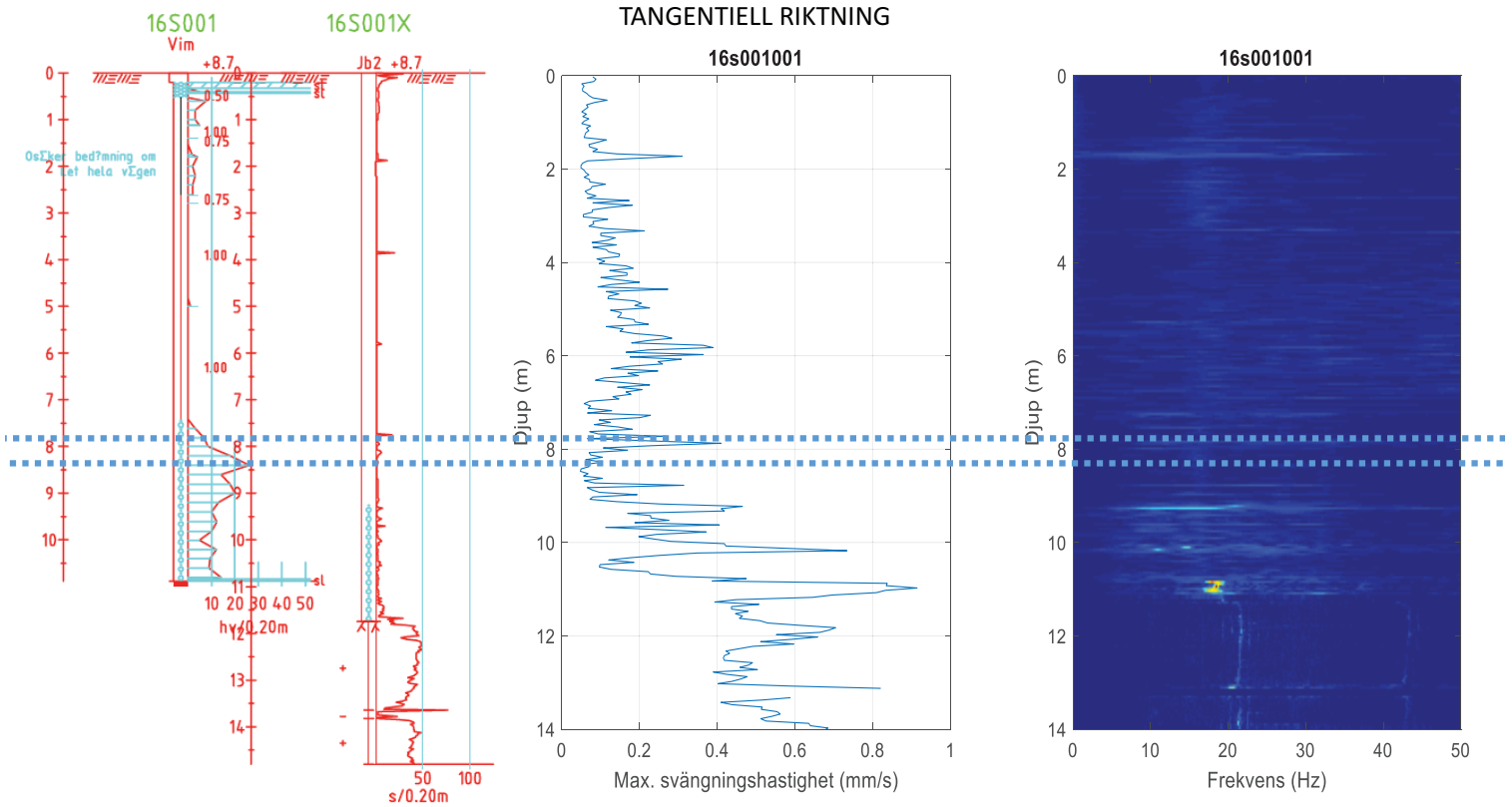


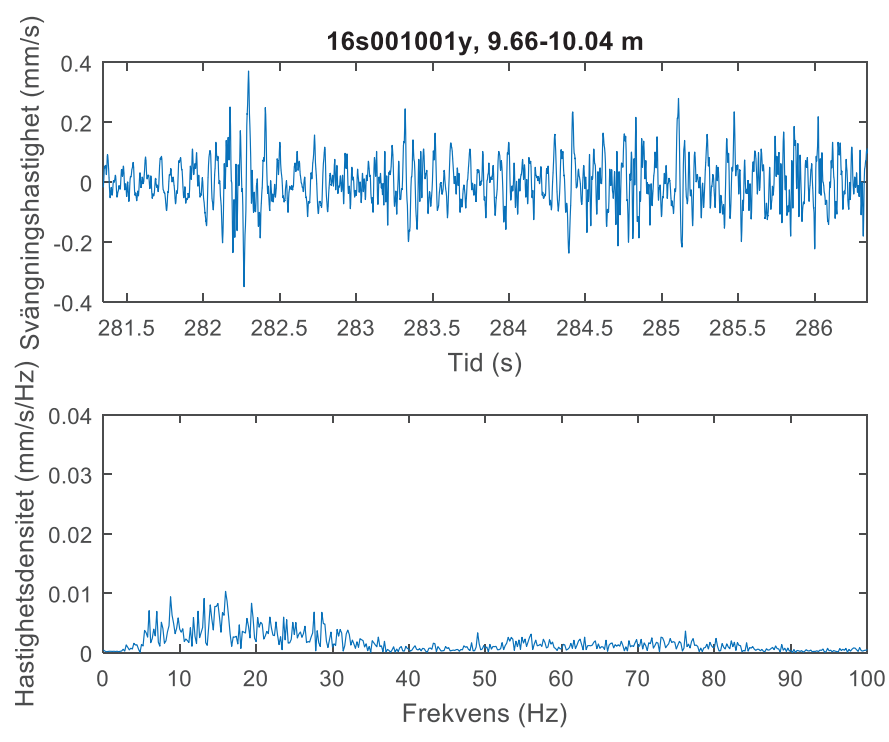
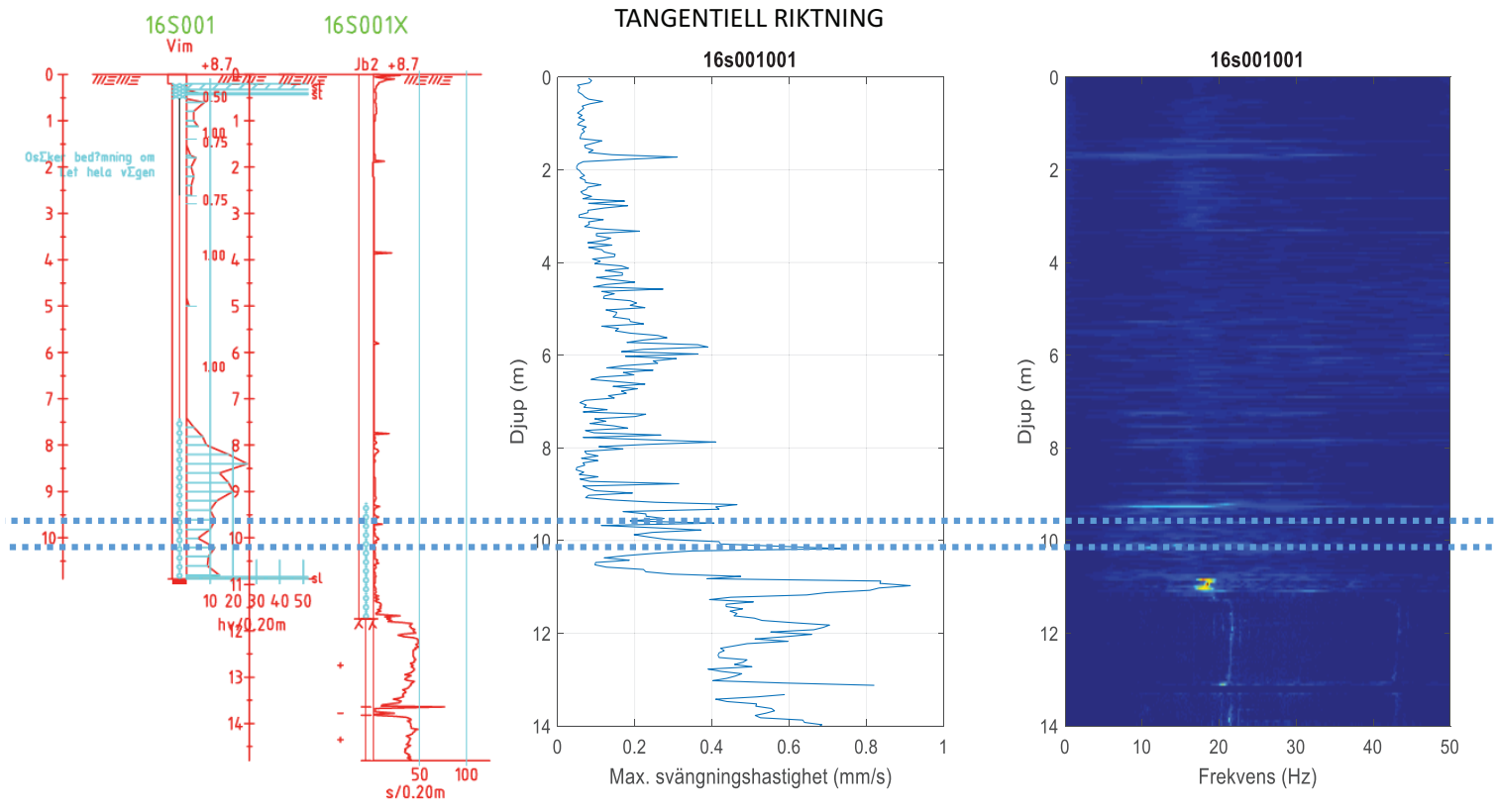


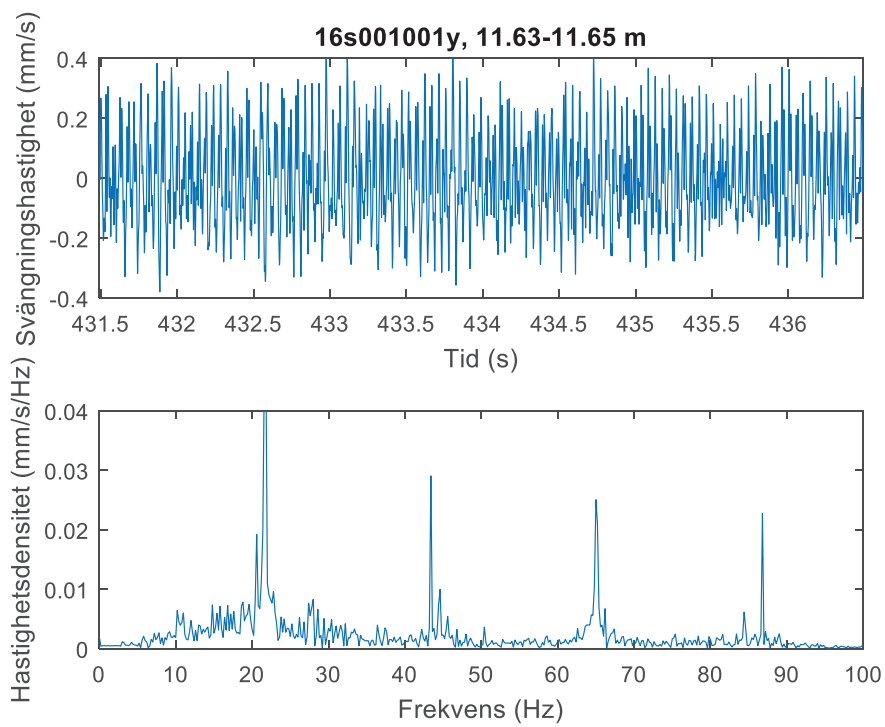
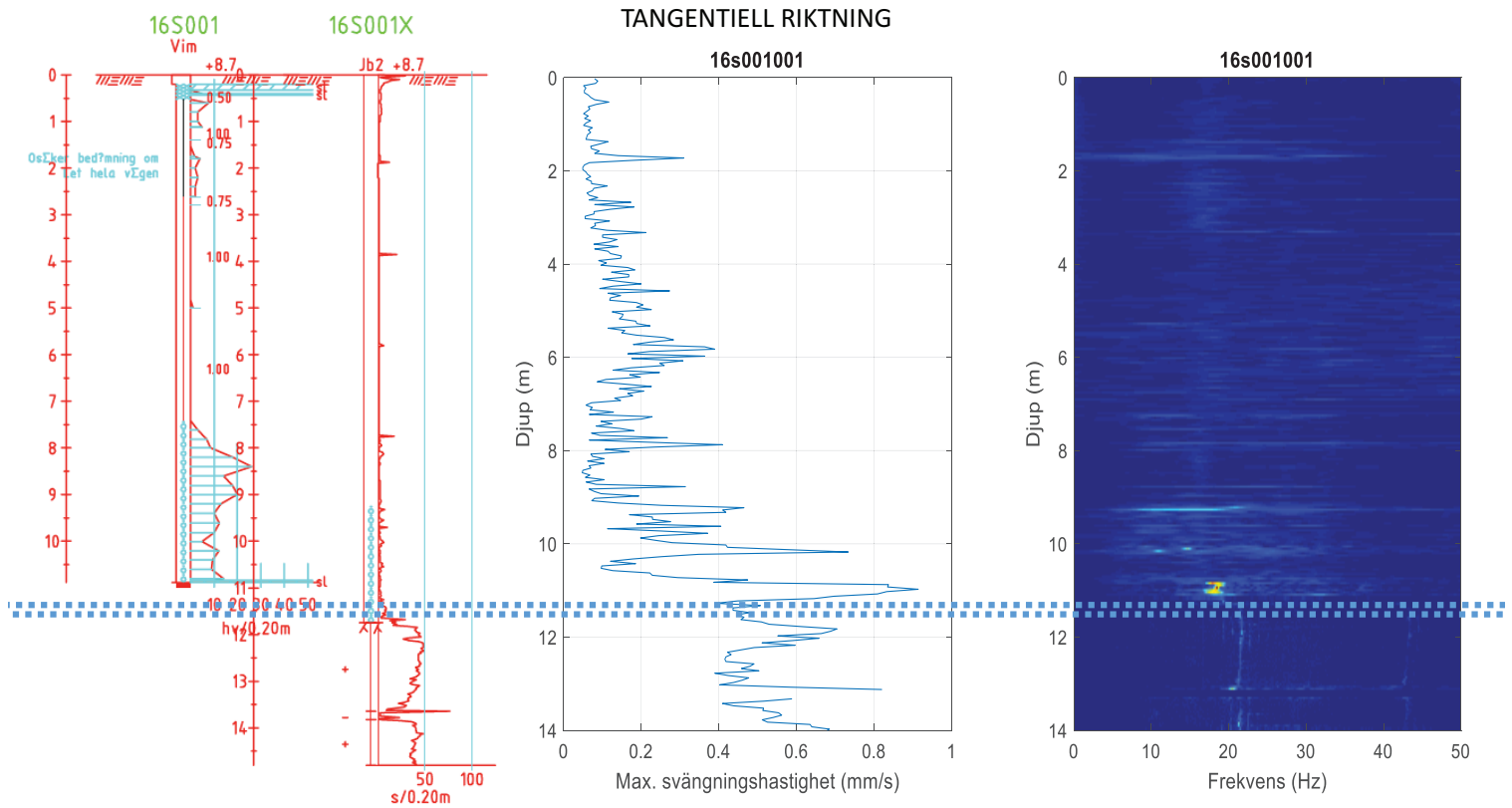


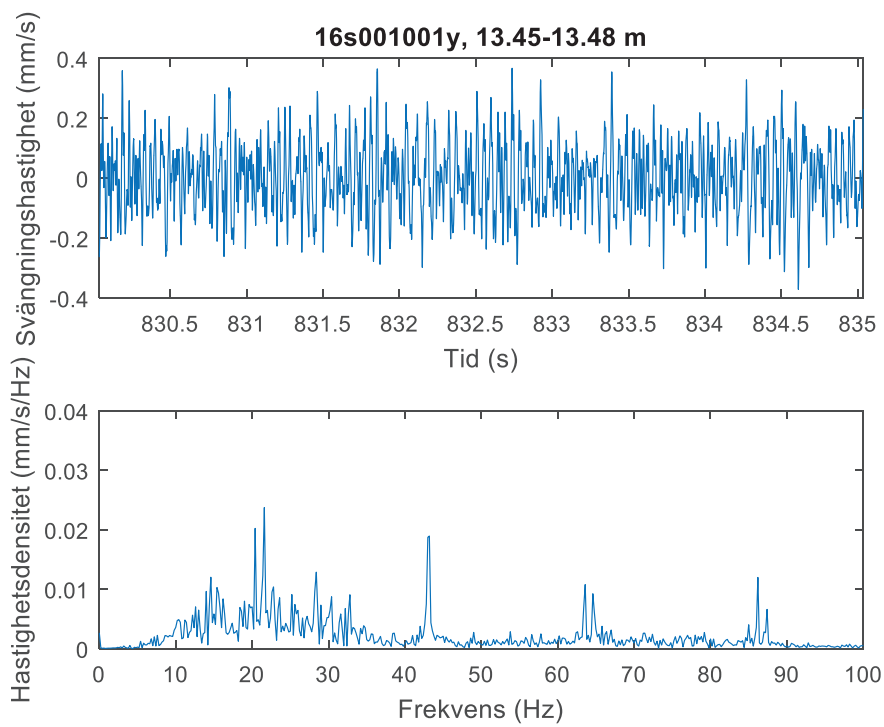
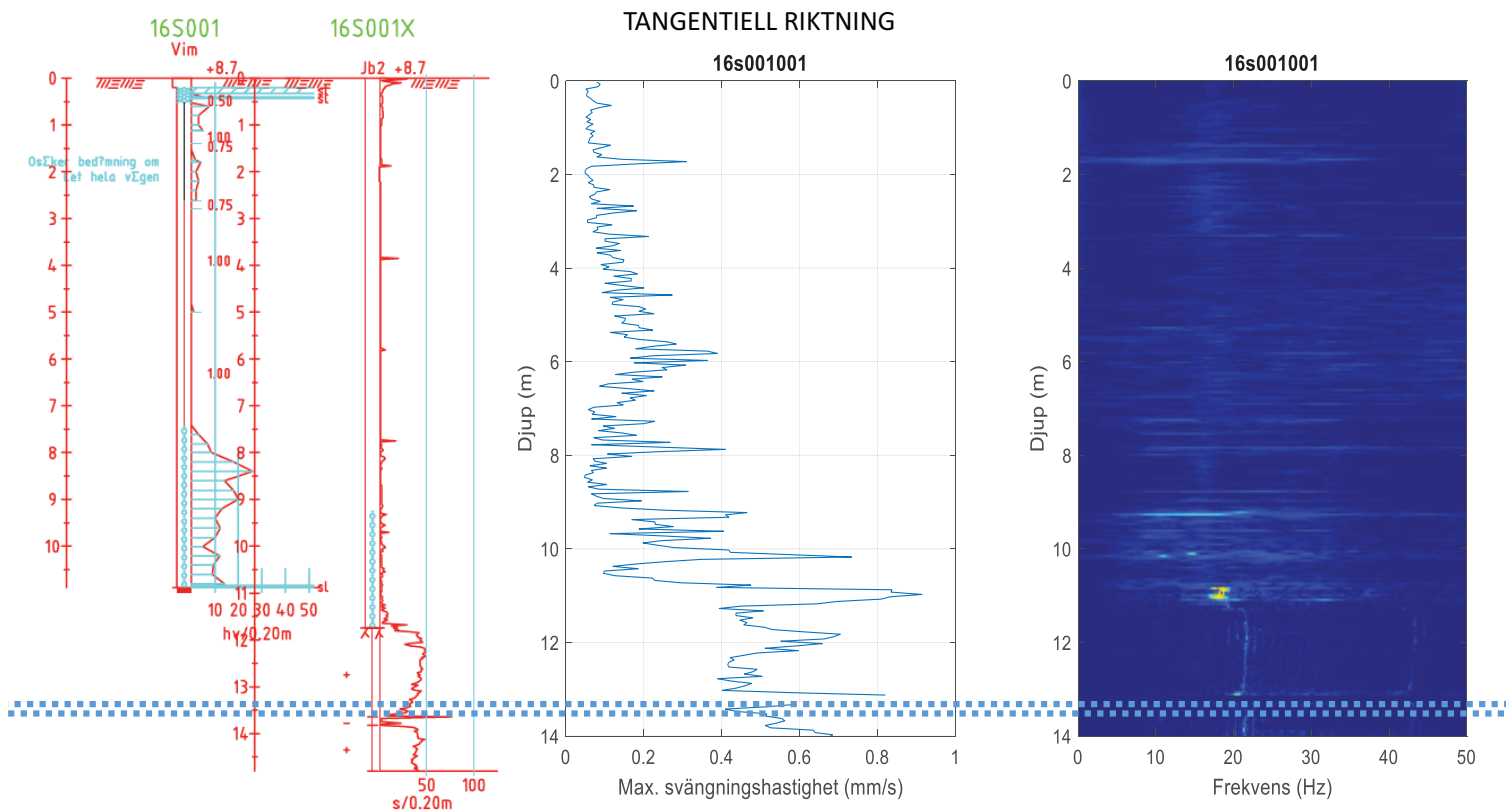


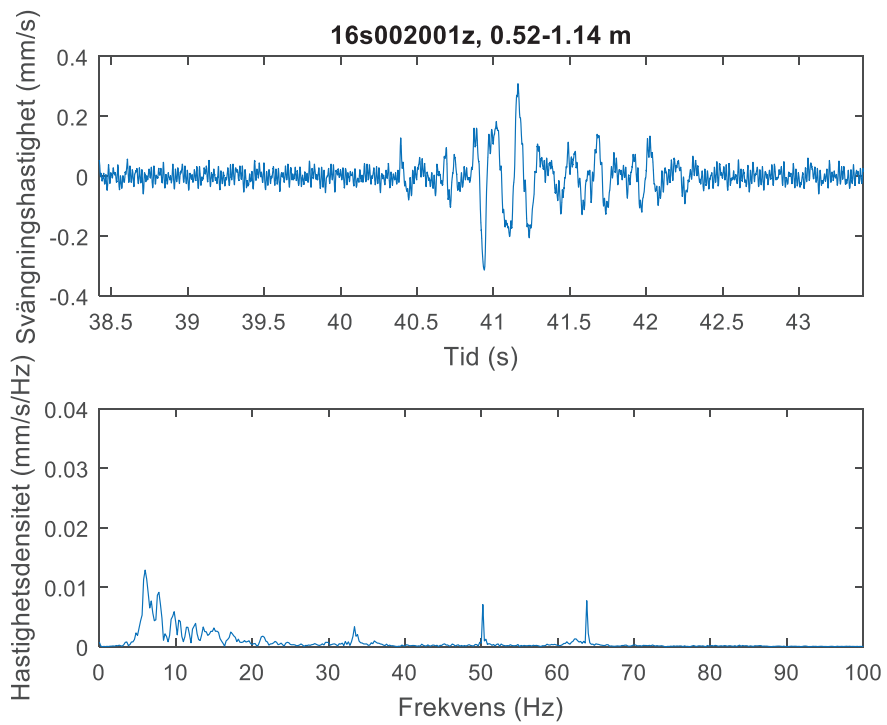
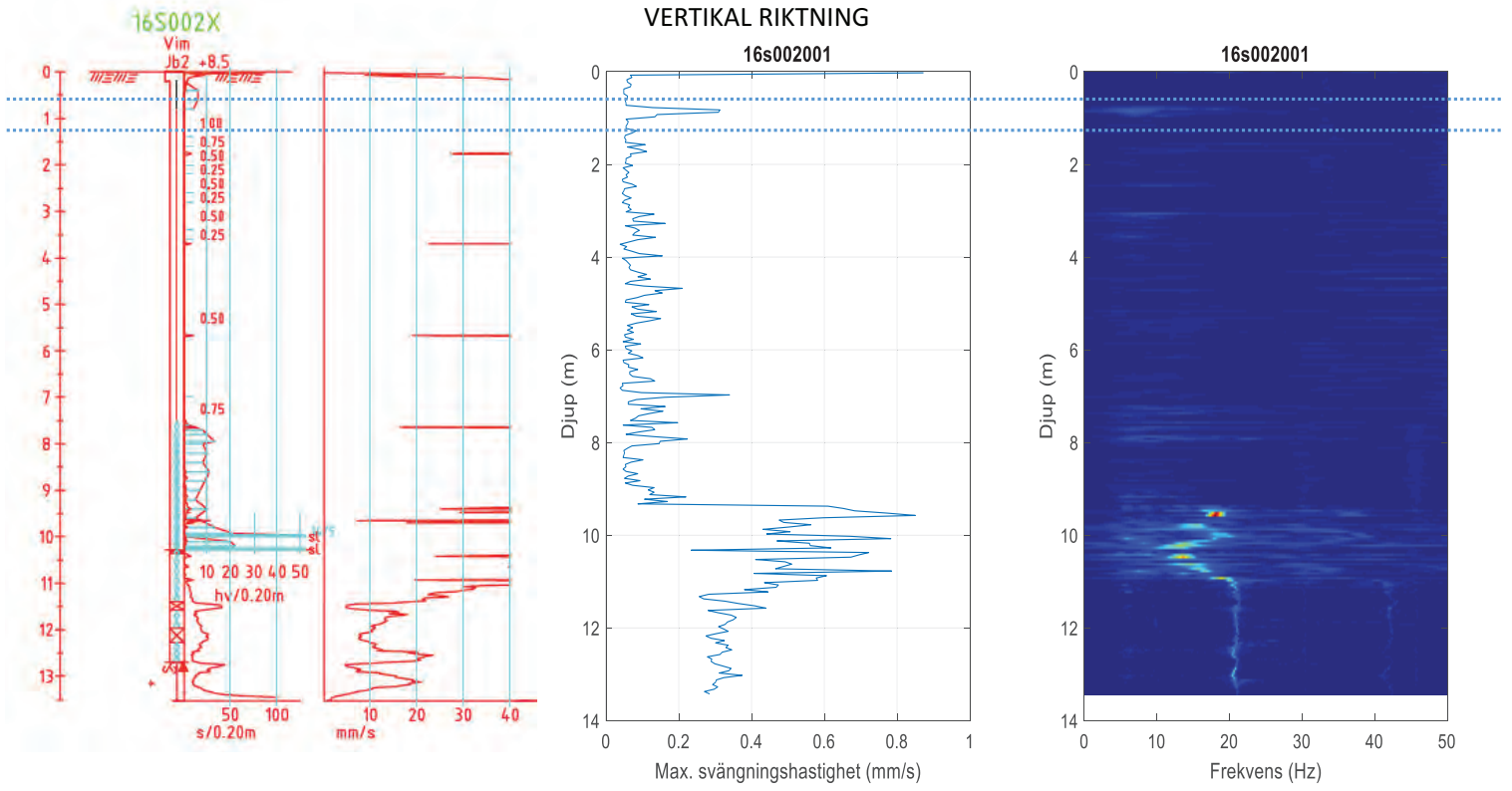


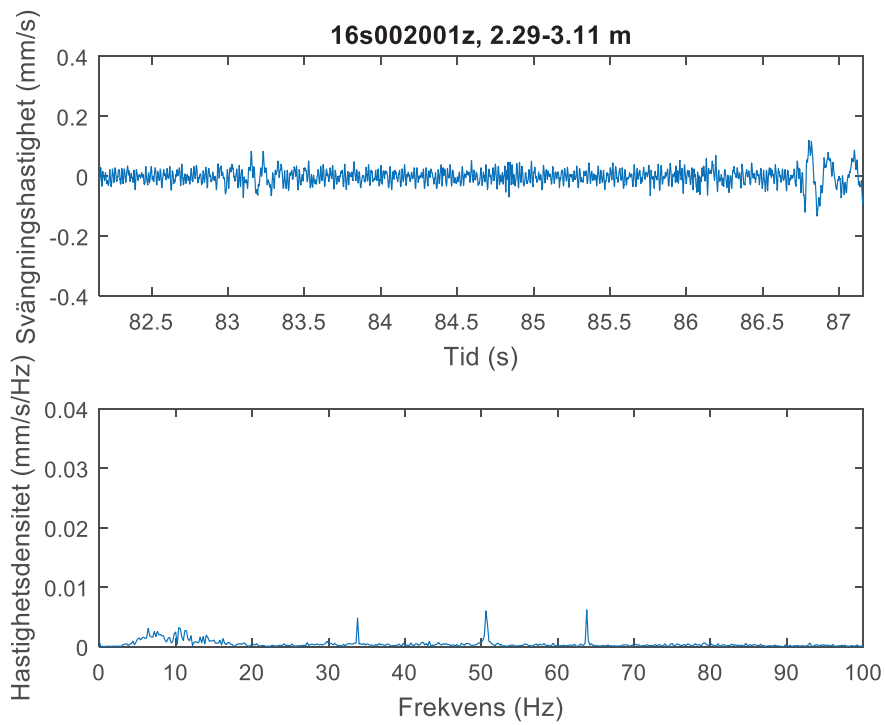
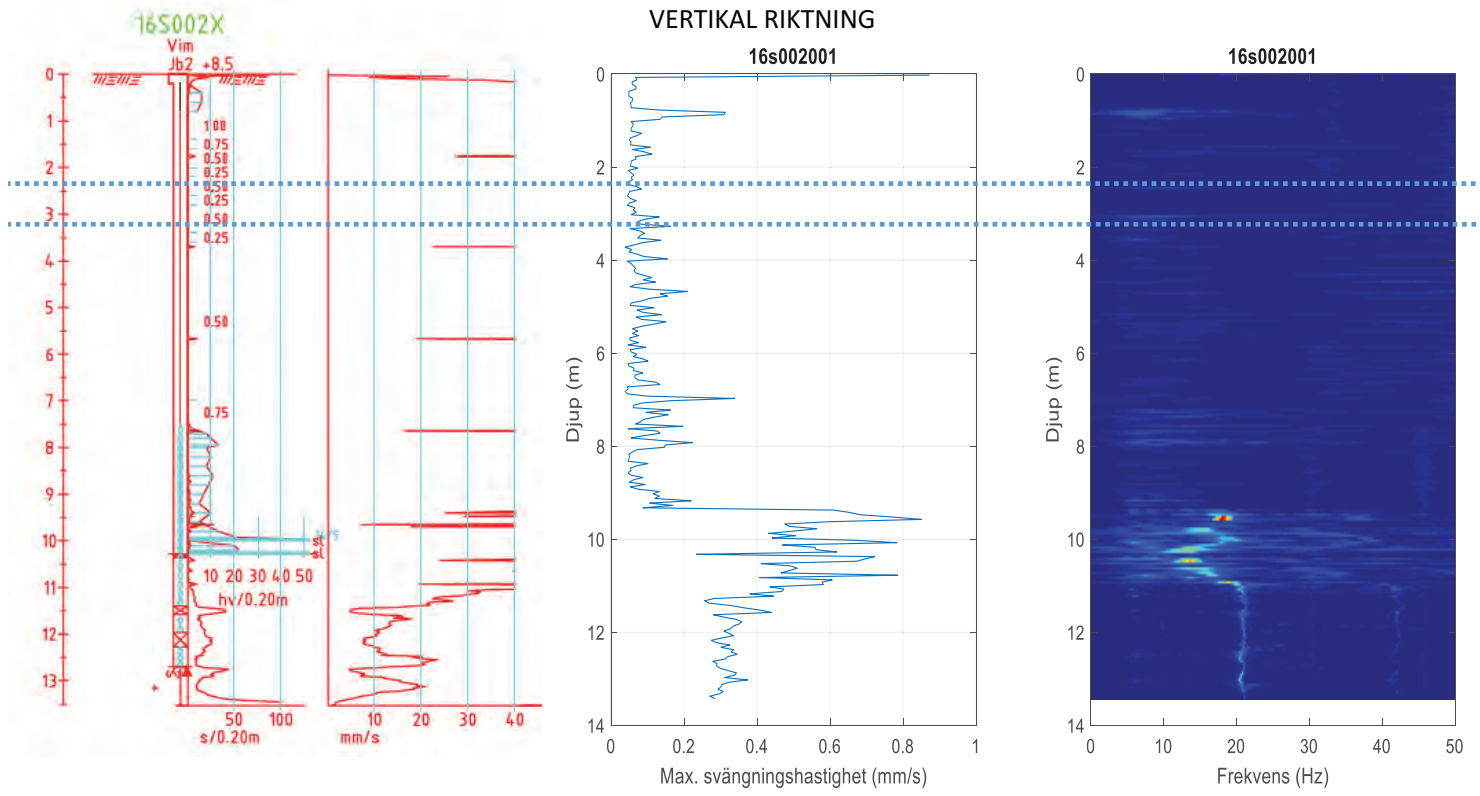


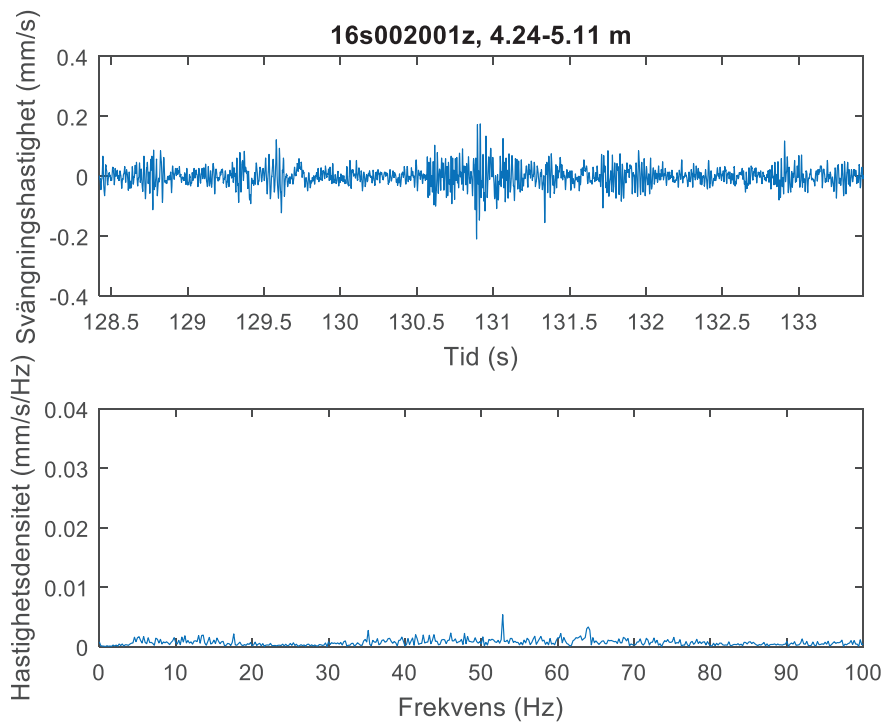
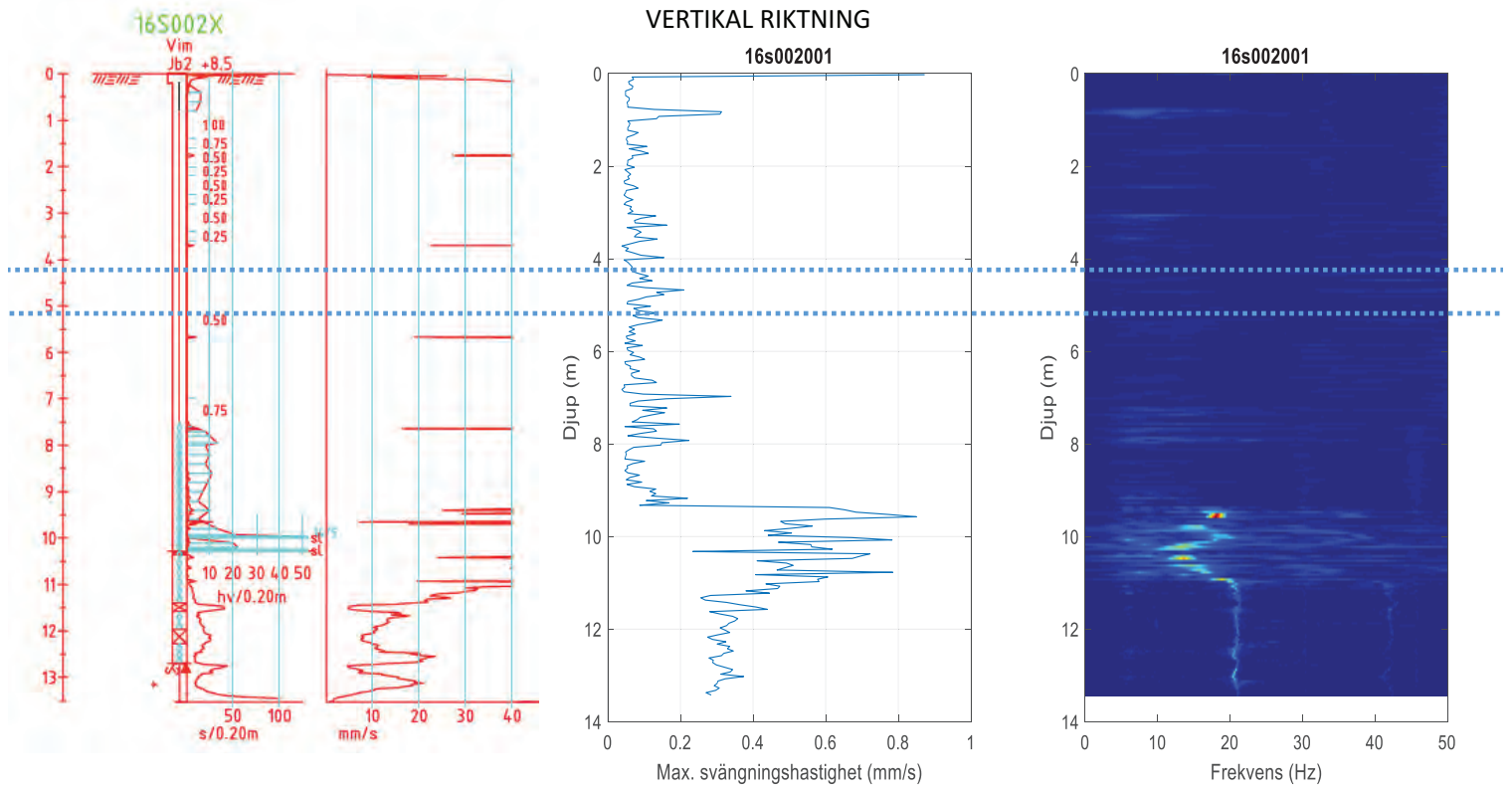


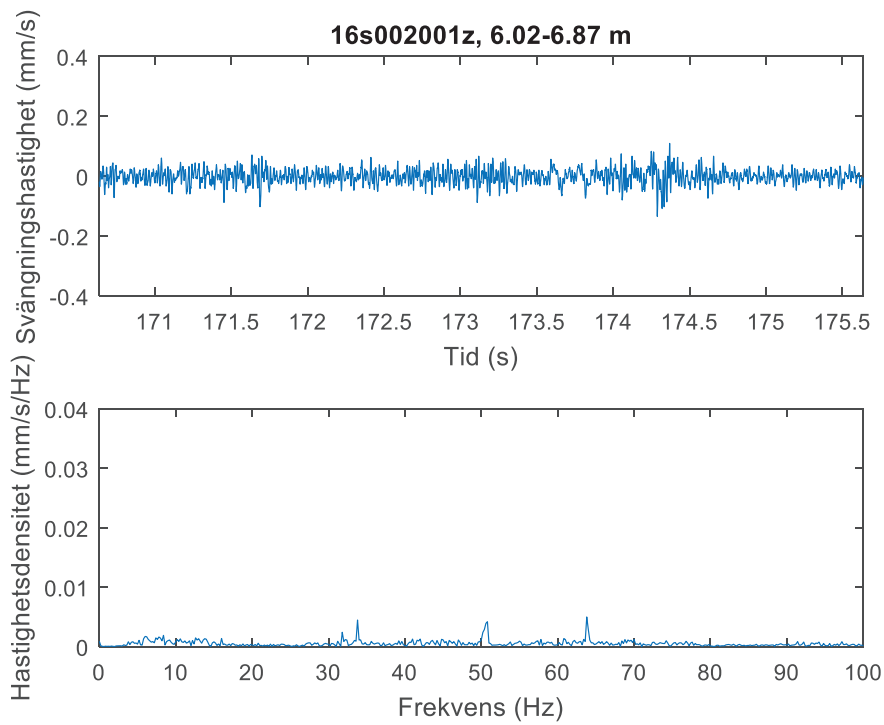
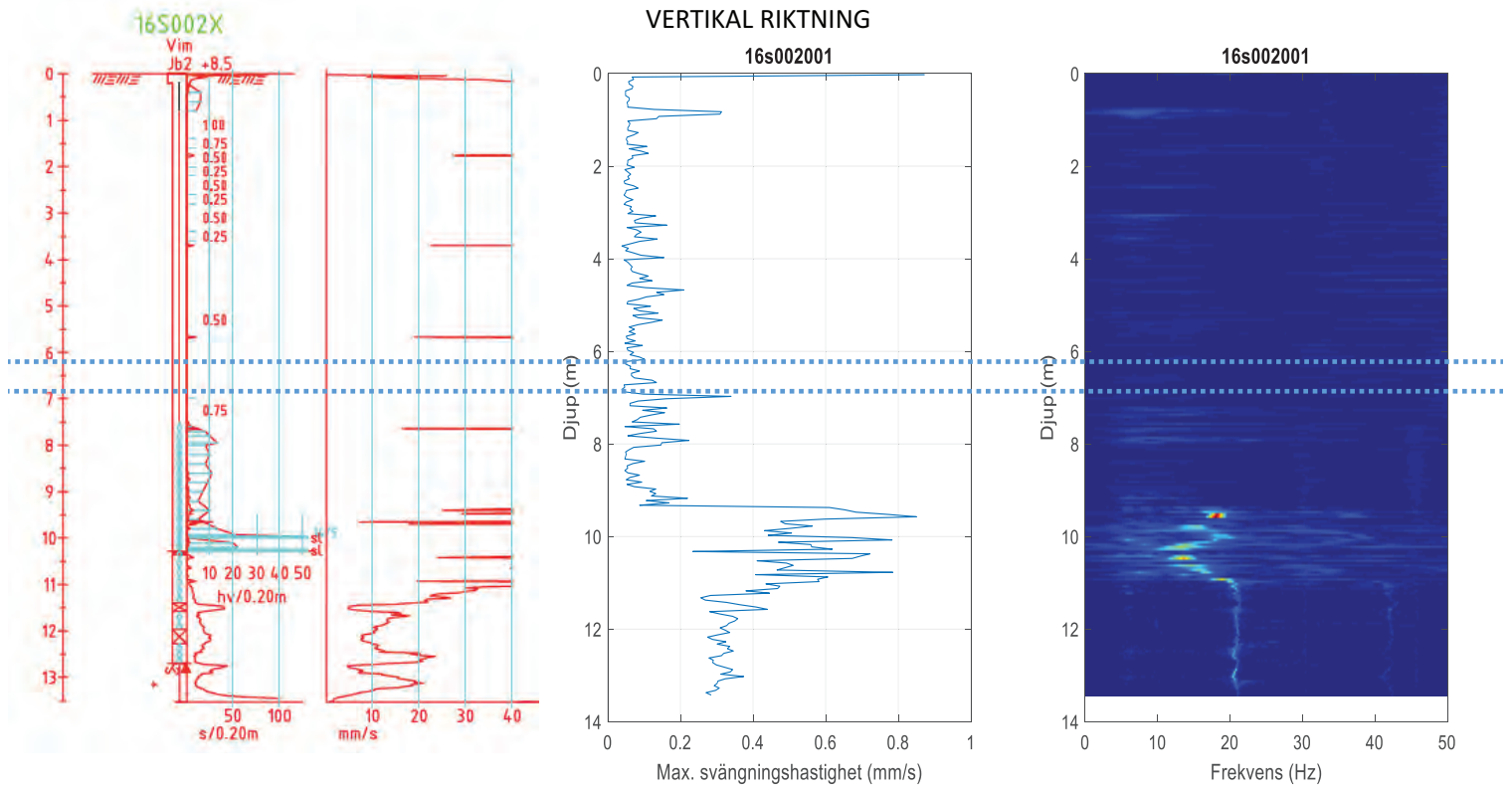


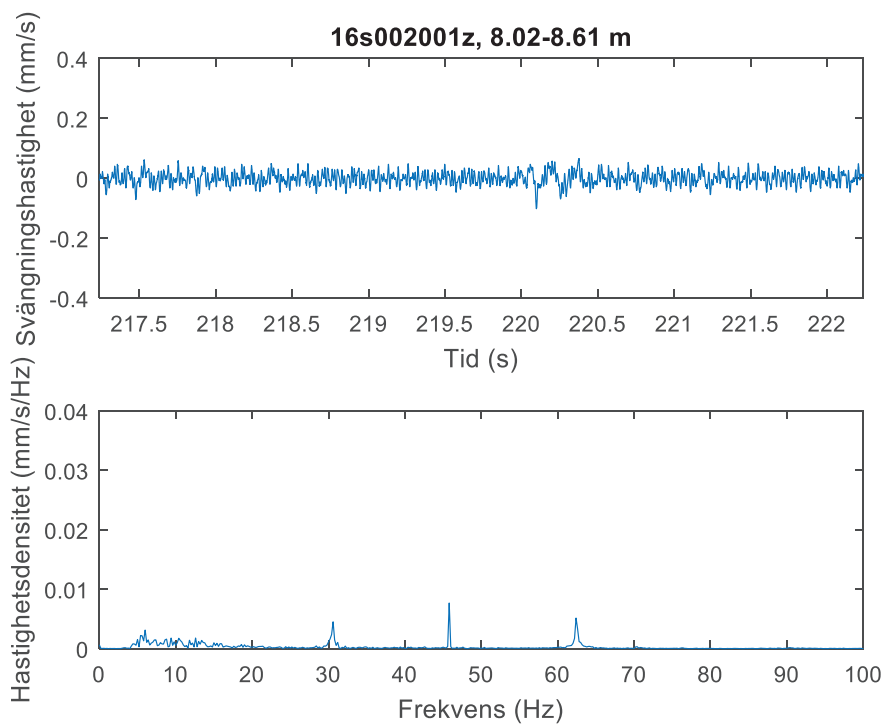
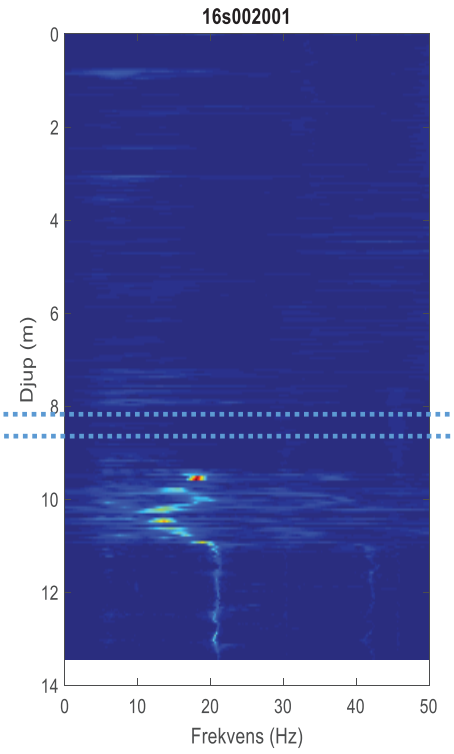
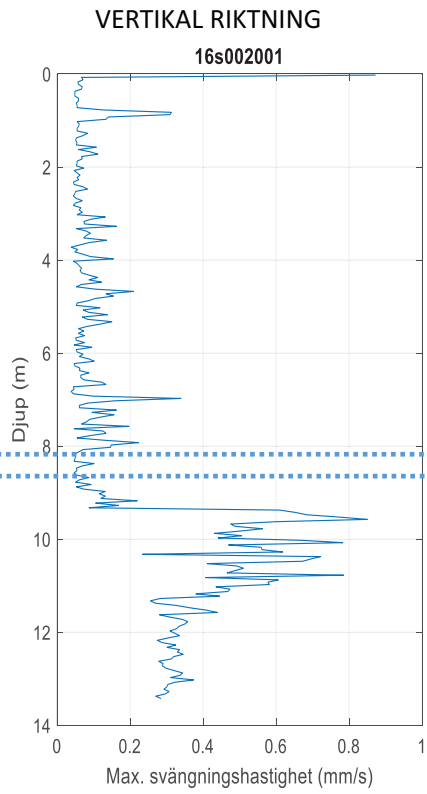
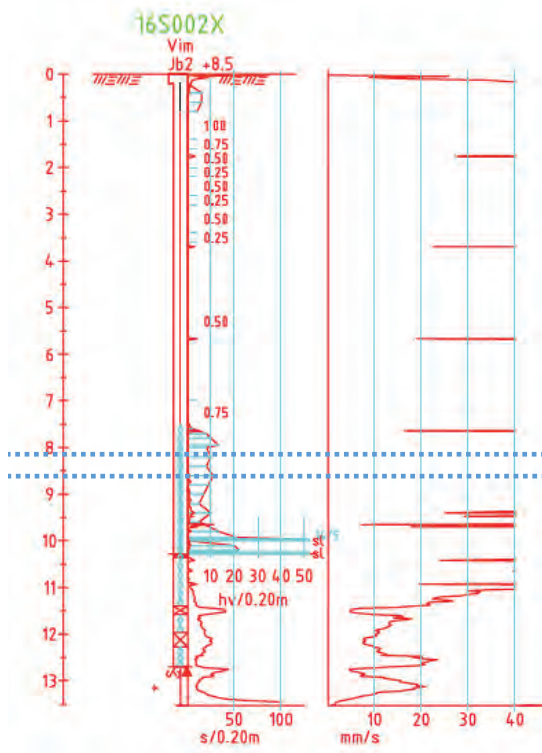


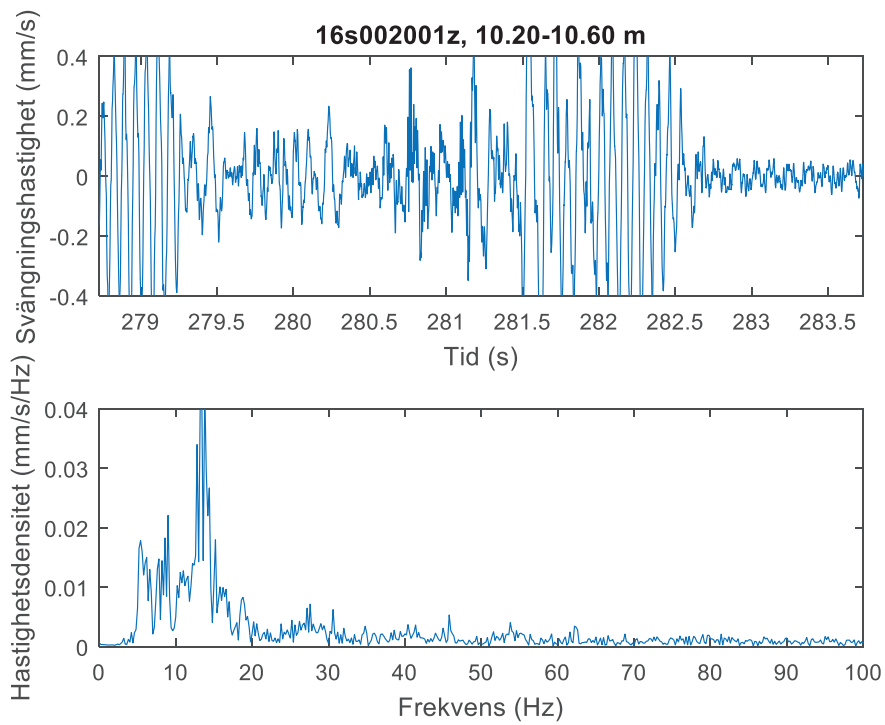
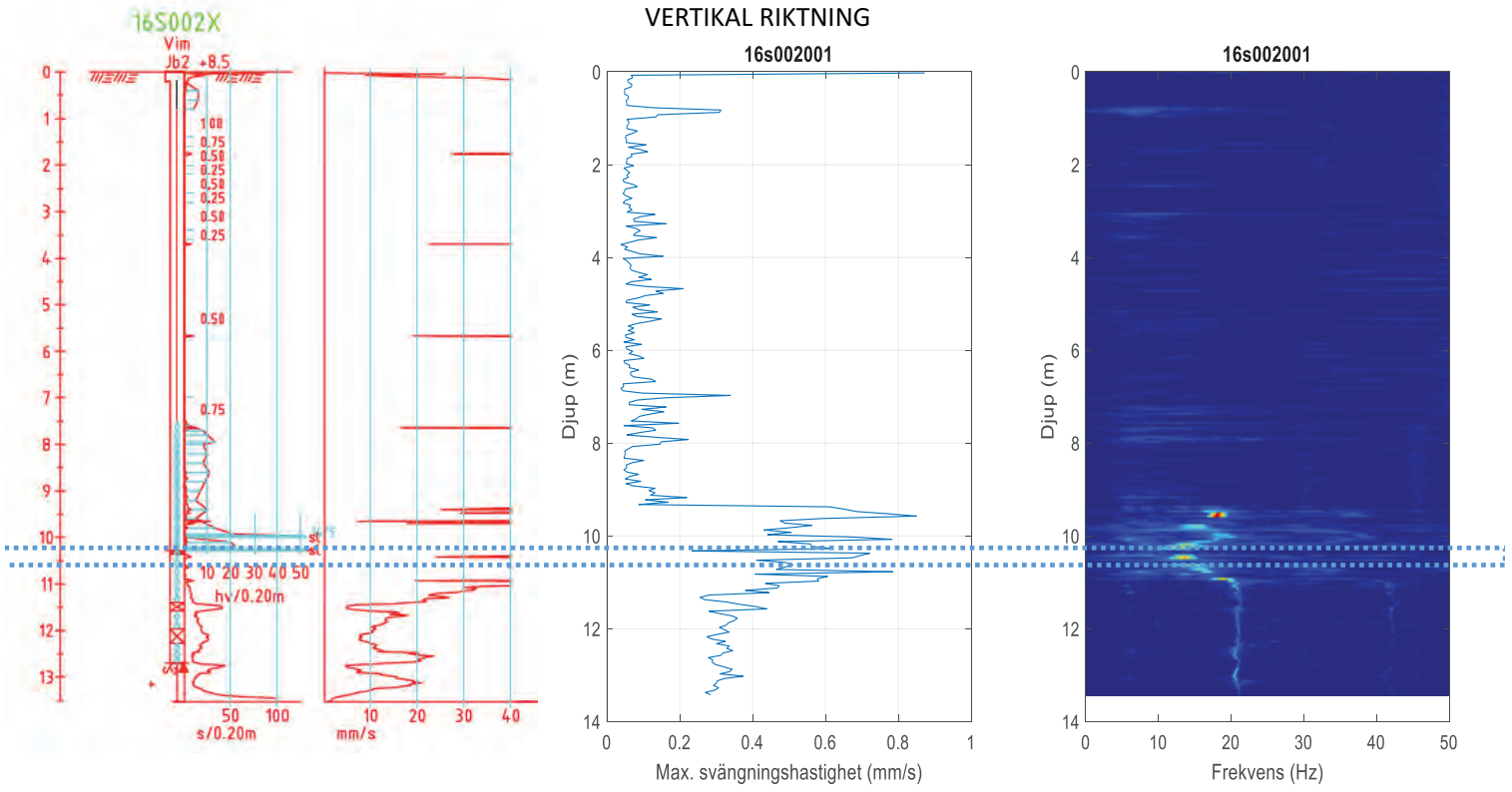


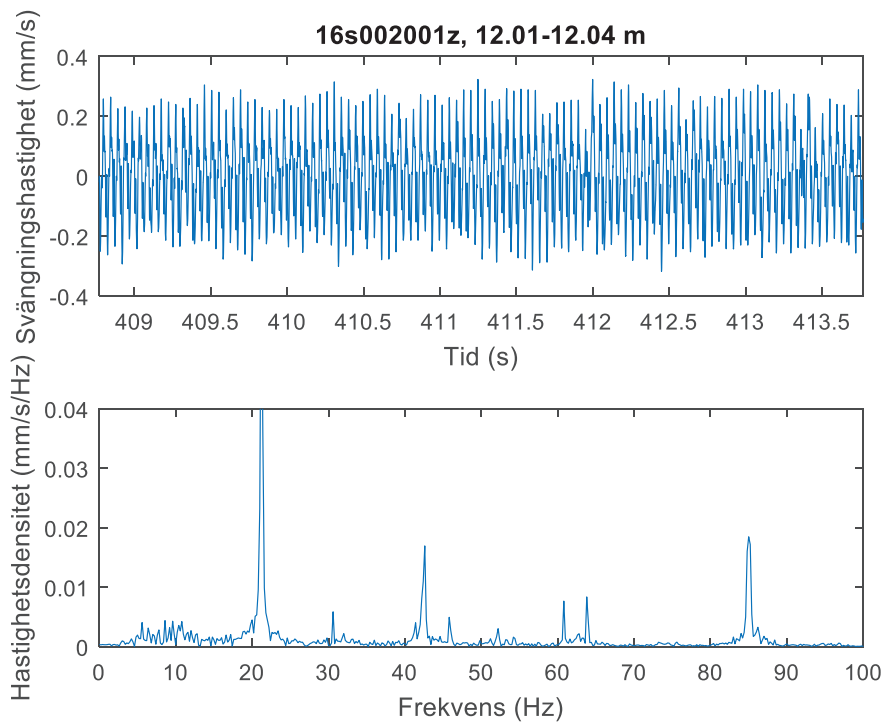
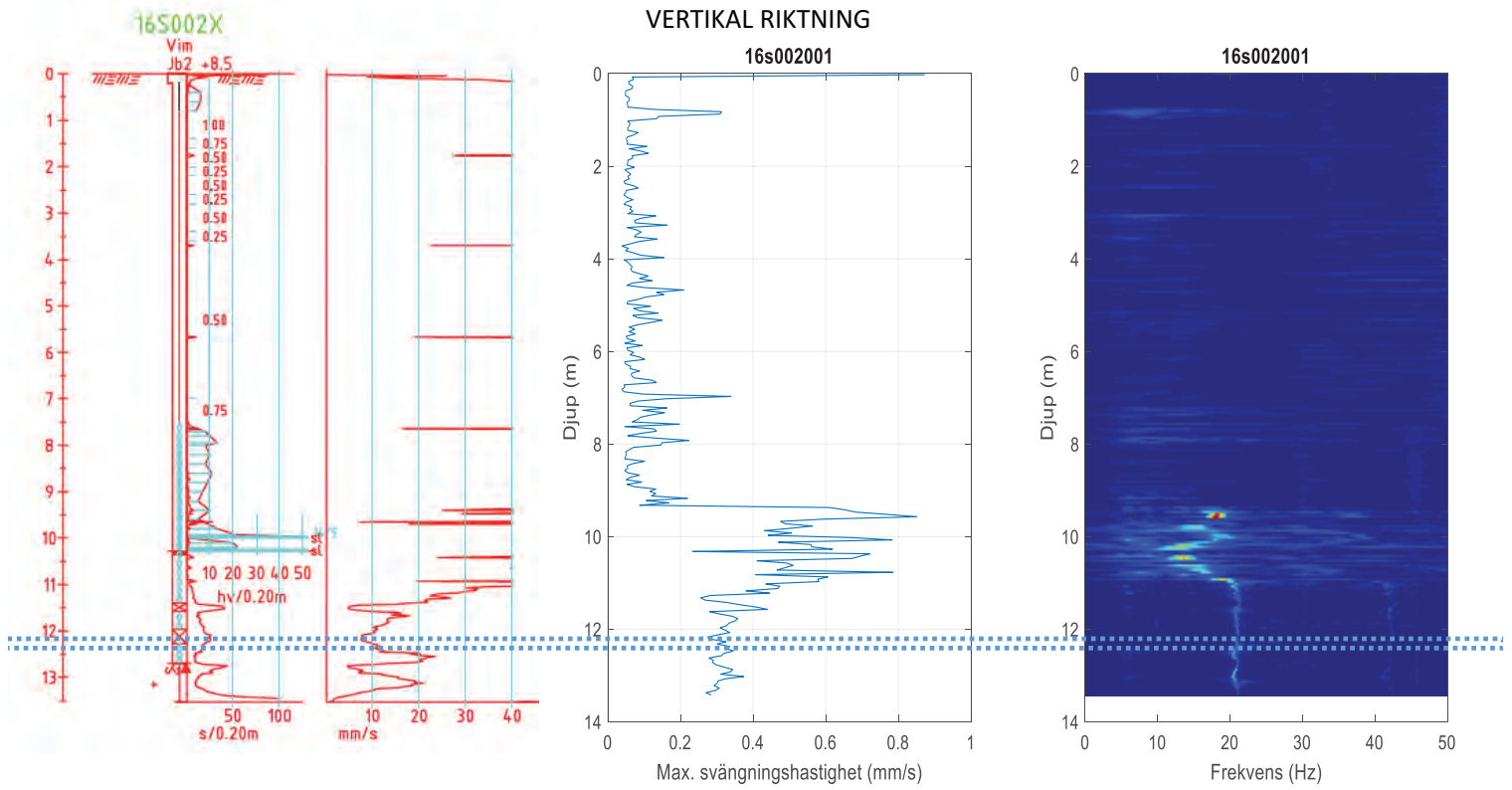


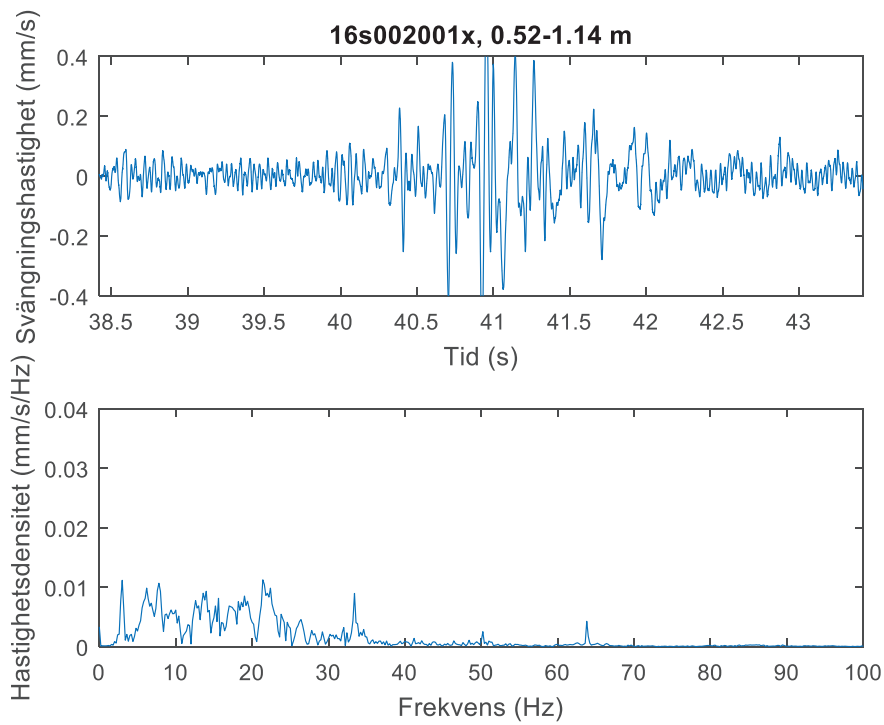
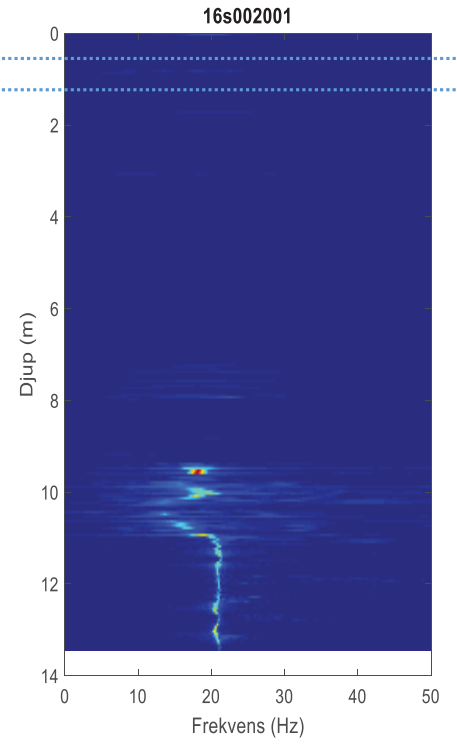
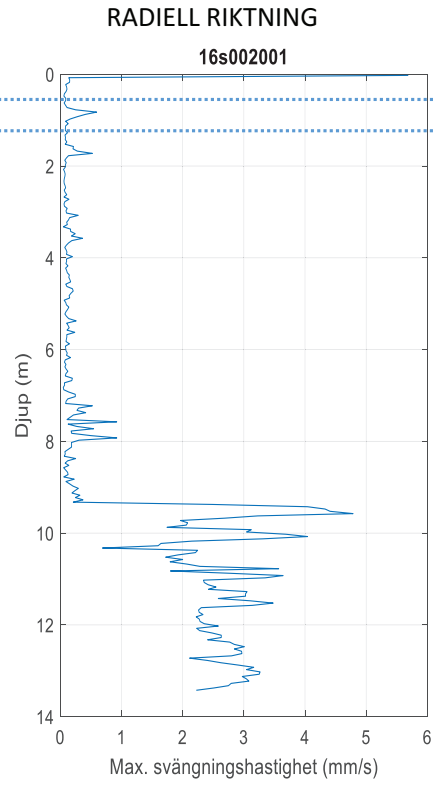
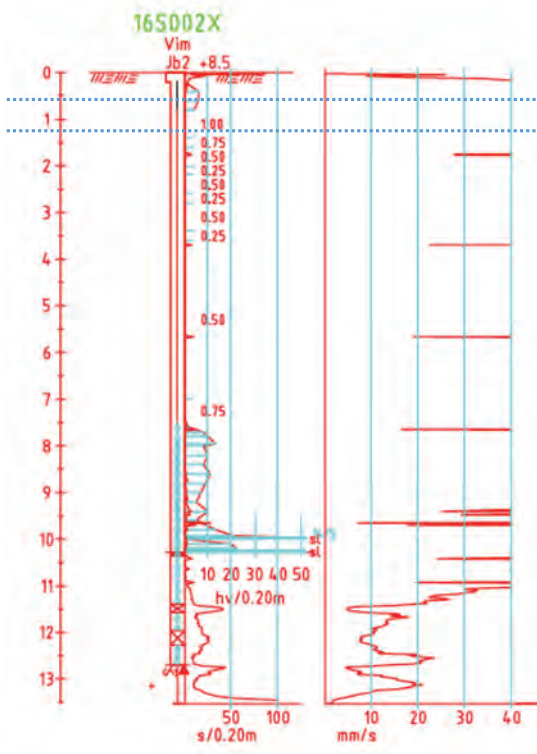


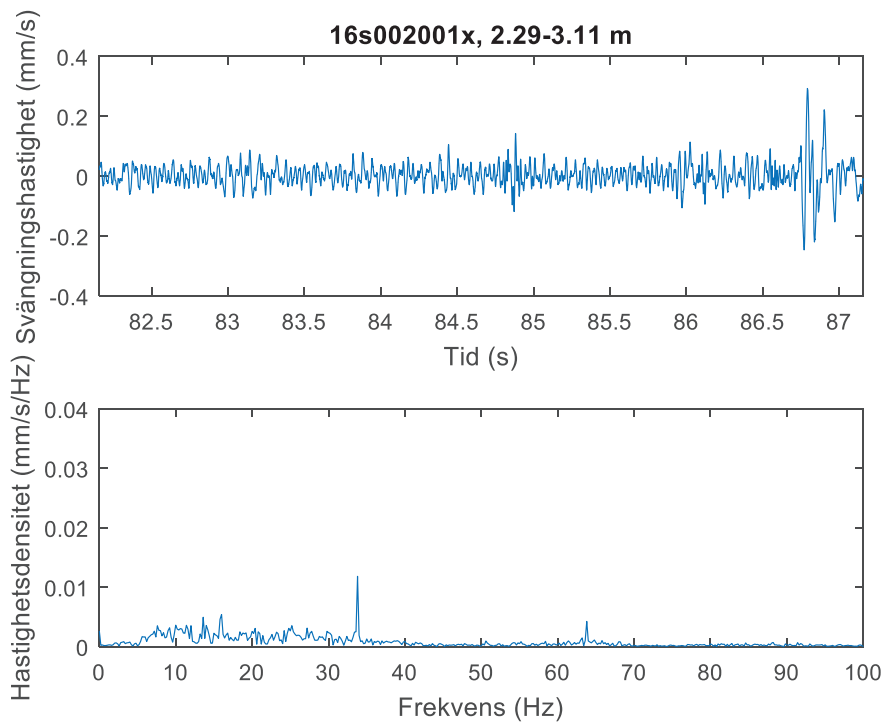
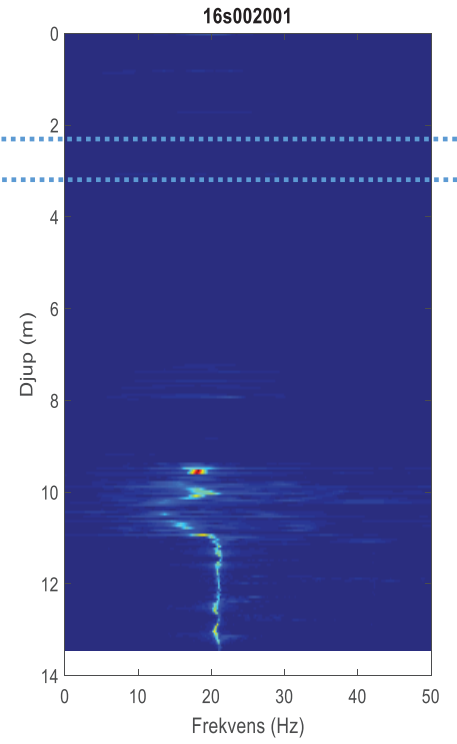
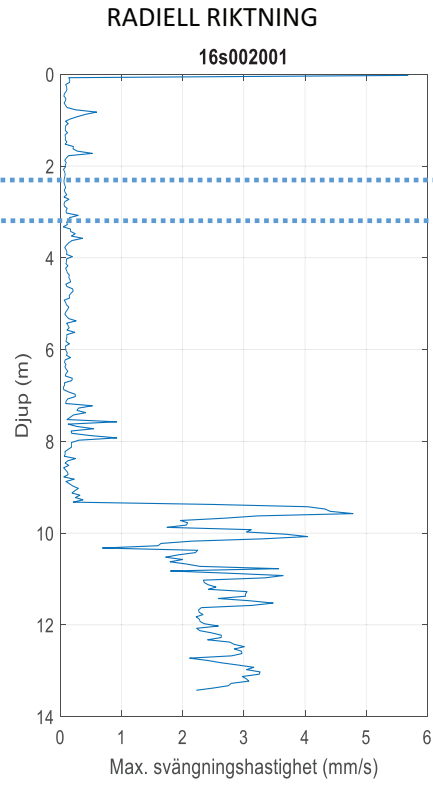
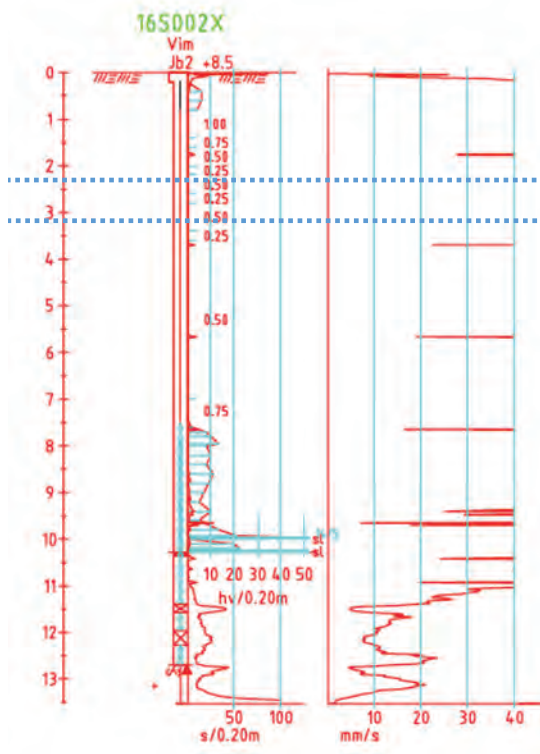


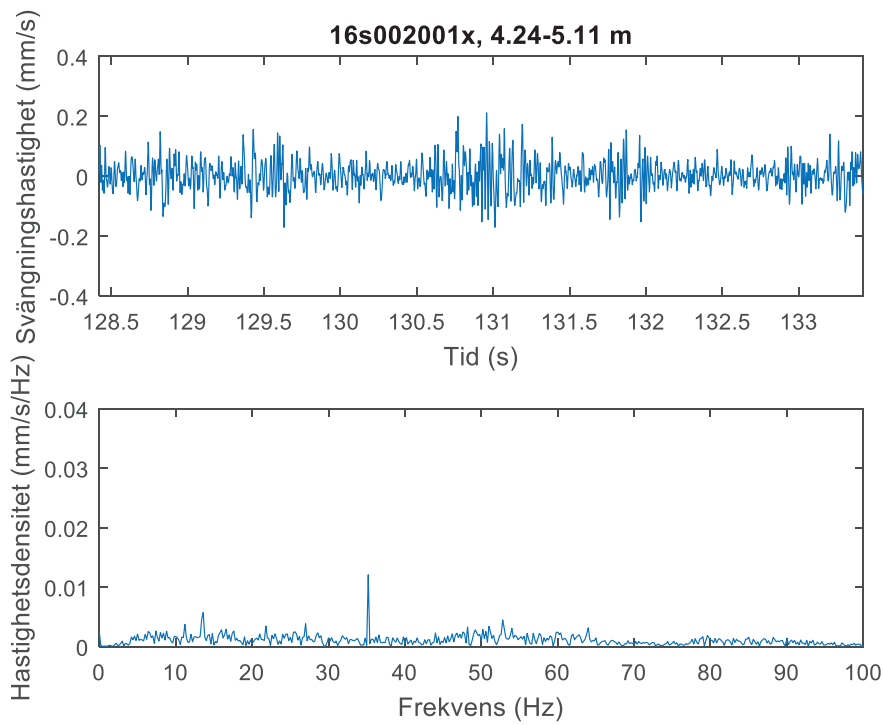
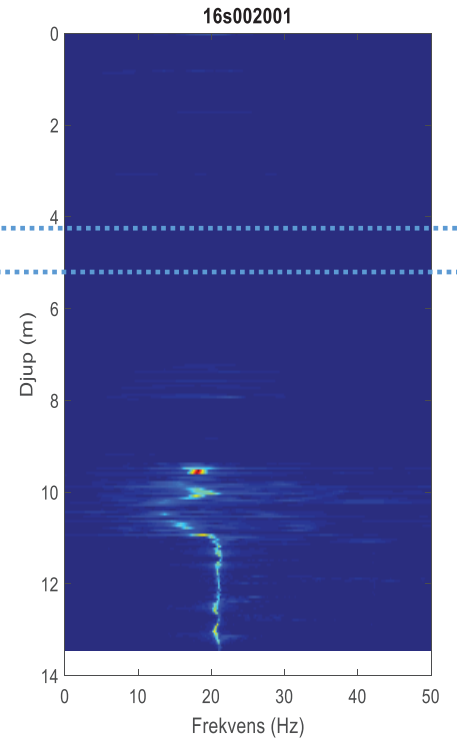
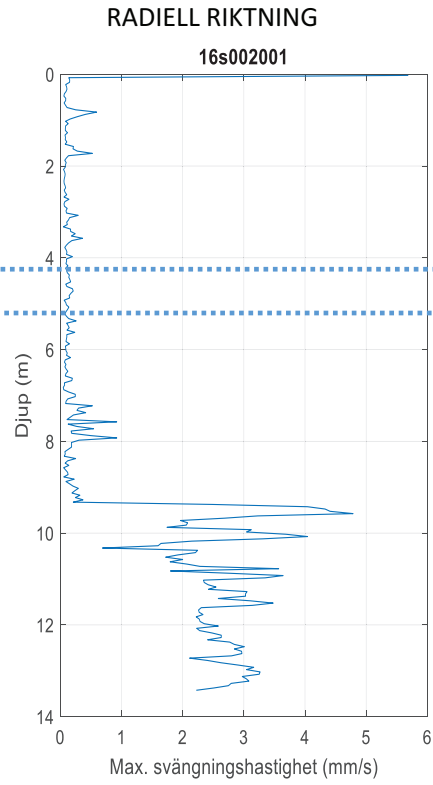
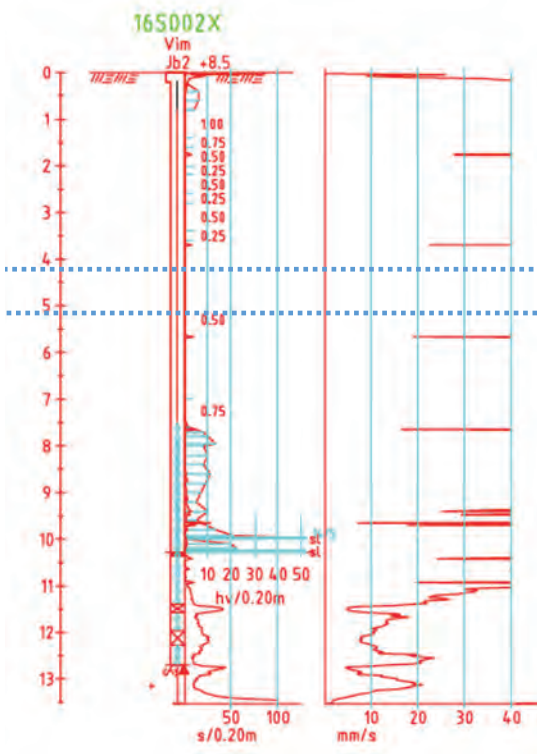


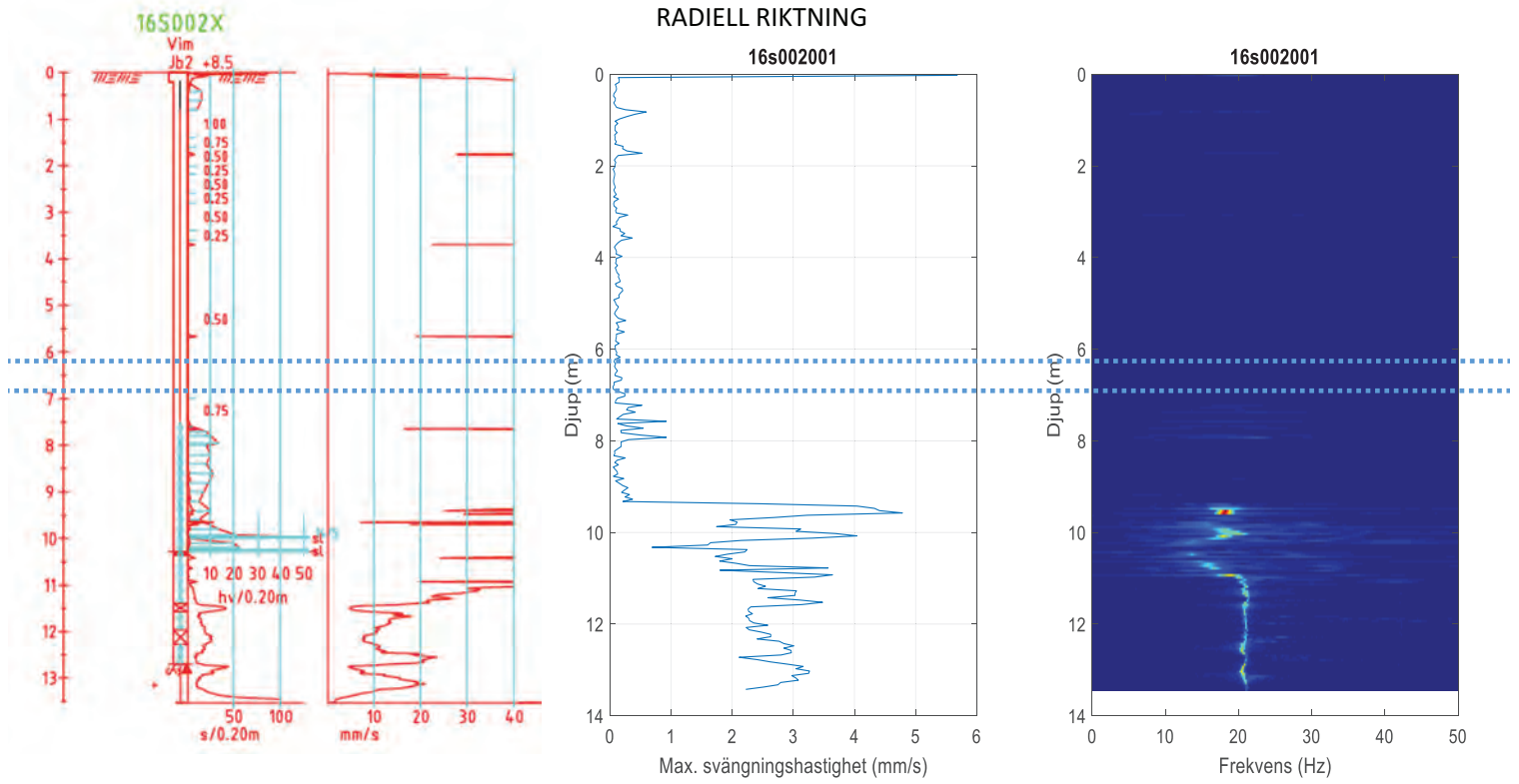










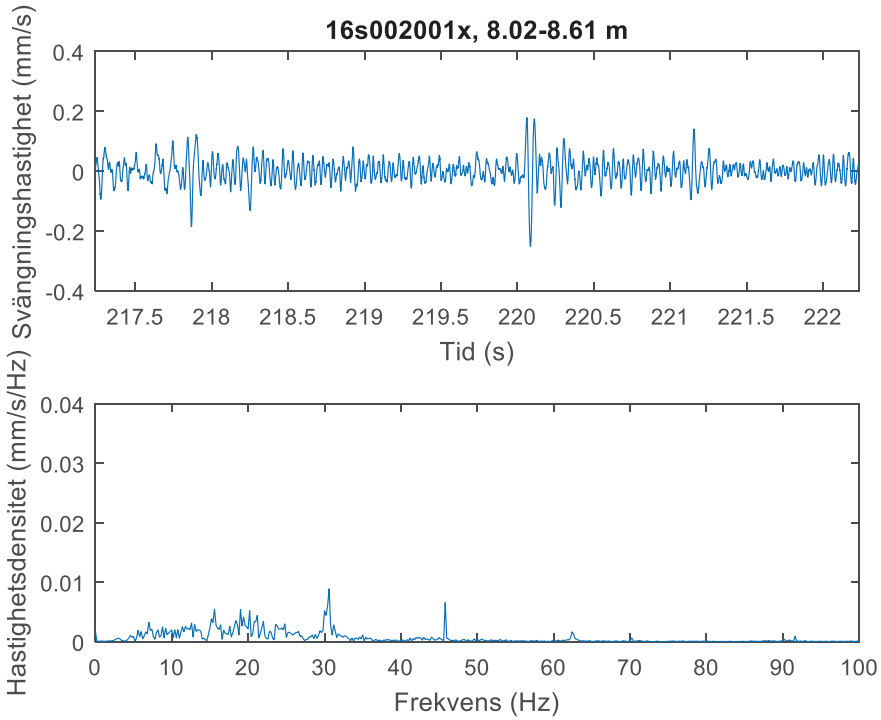
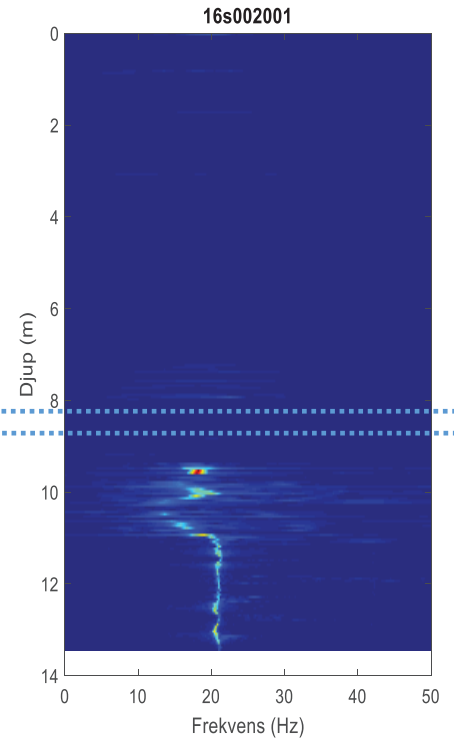
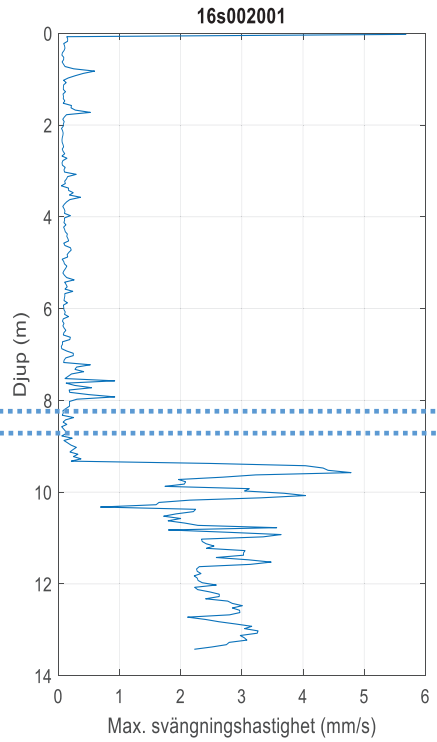
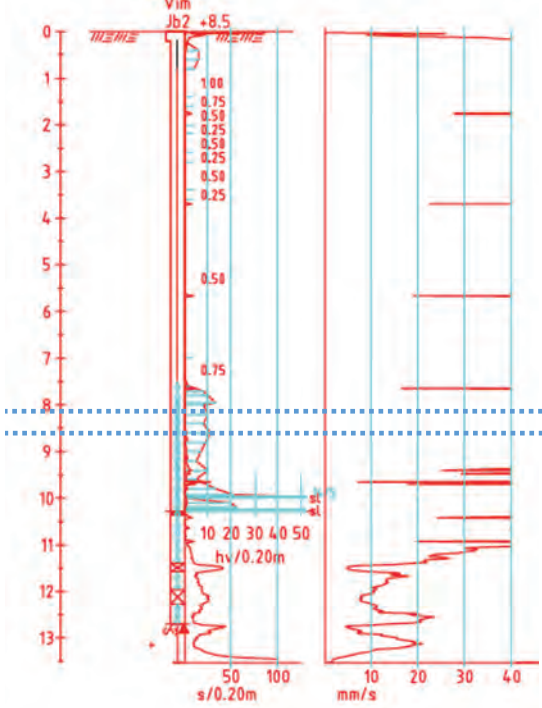


16S002X

RADIELL RIKTNING

16s002001

16s002001

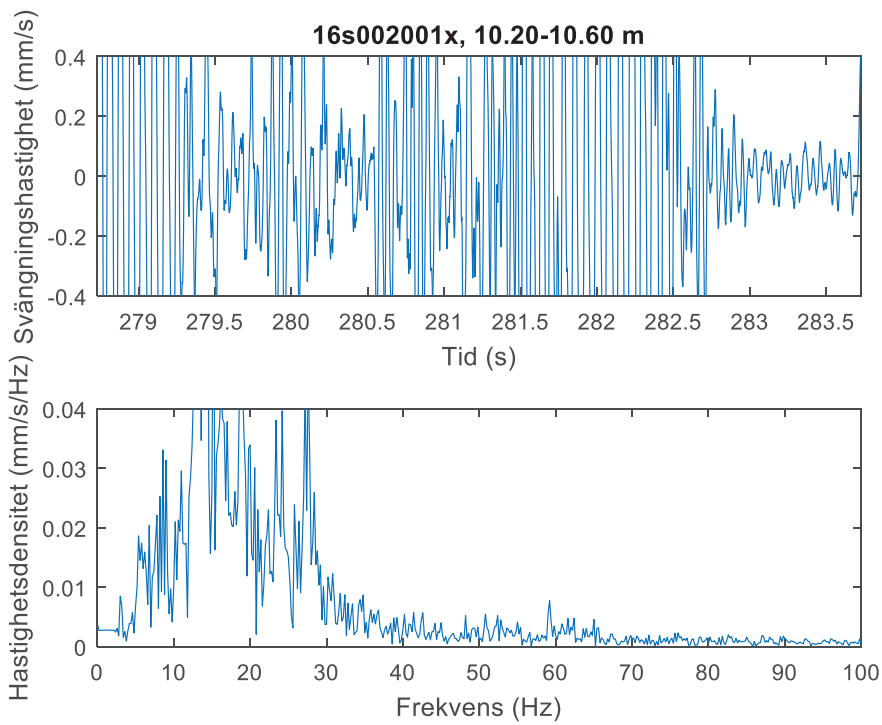
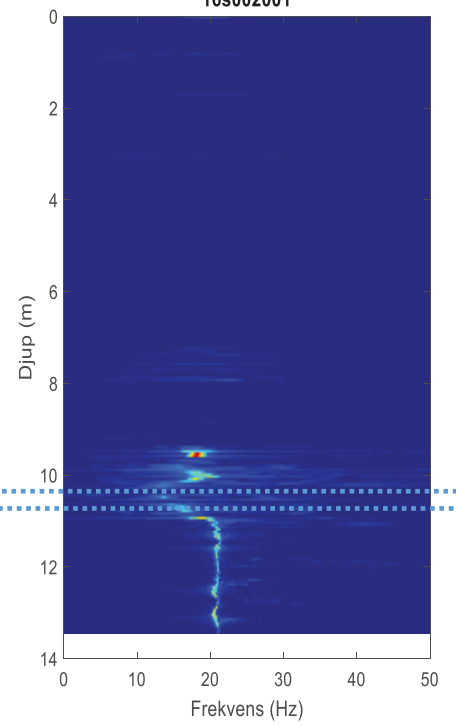
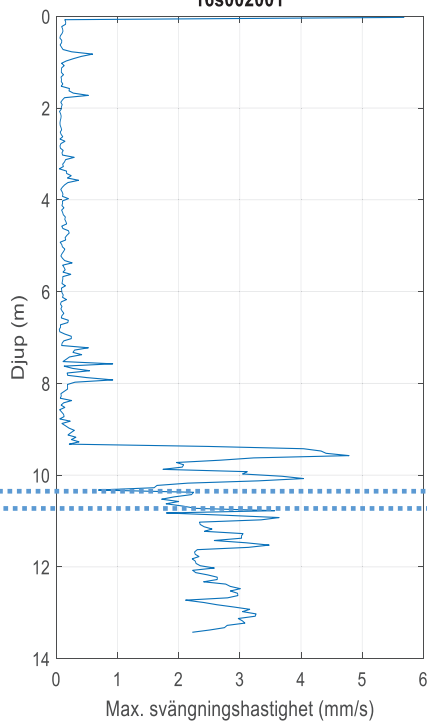
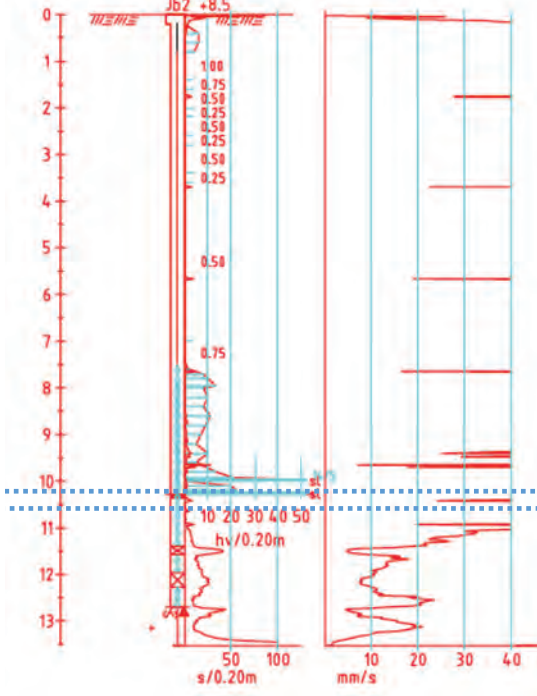


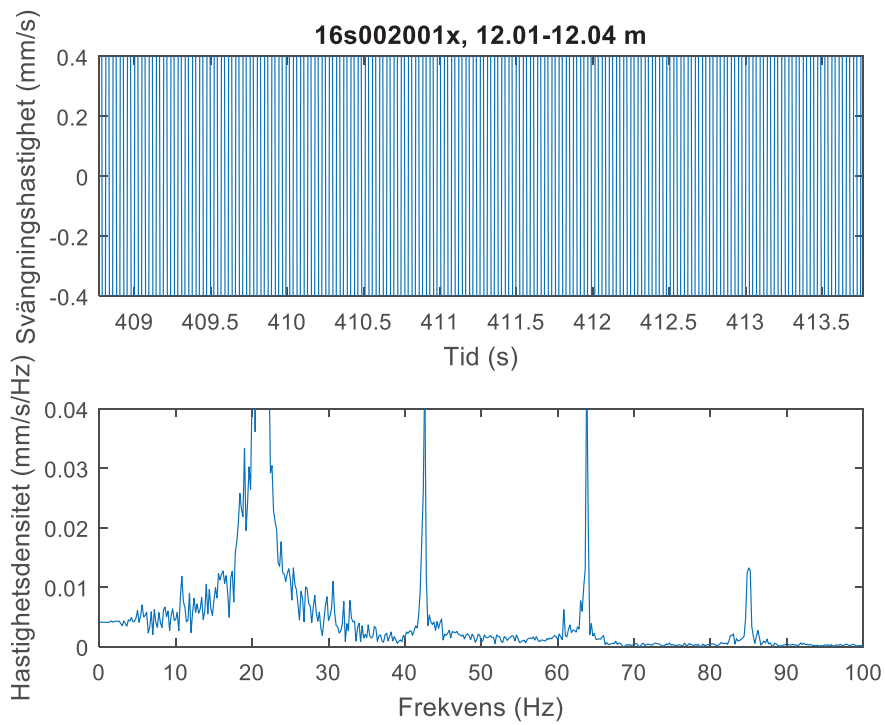
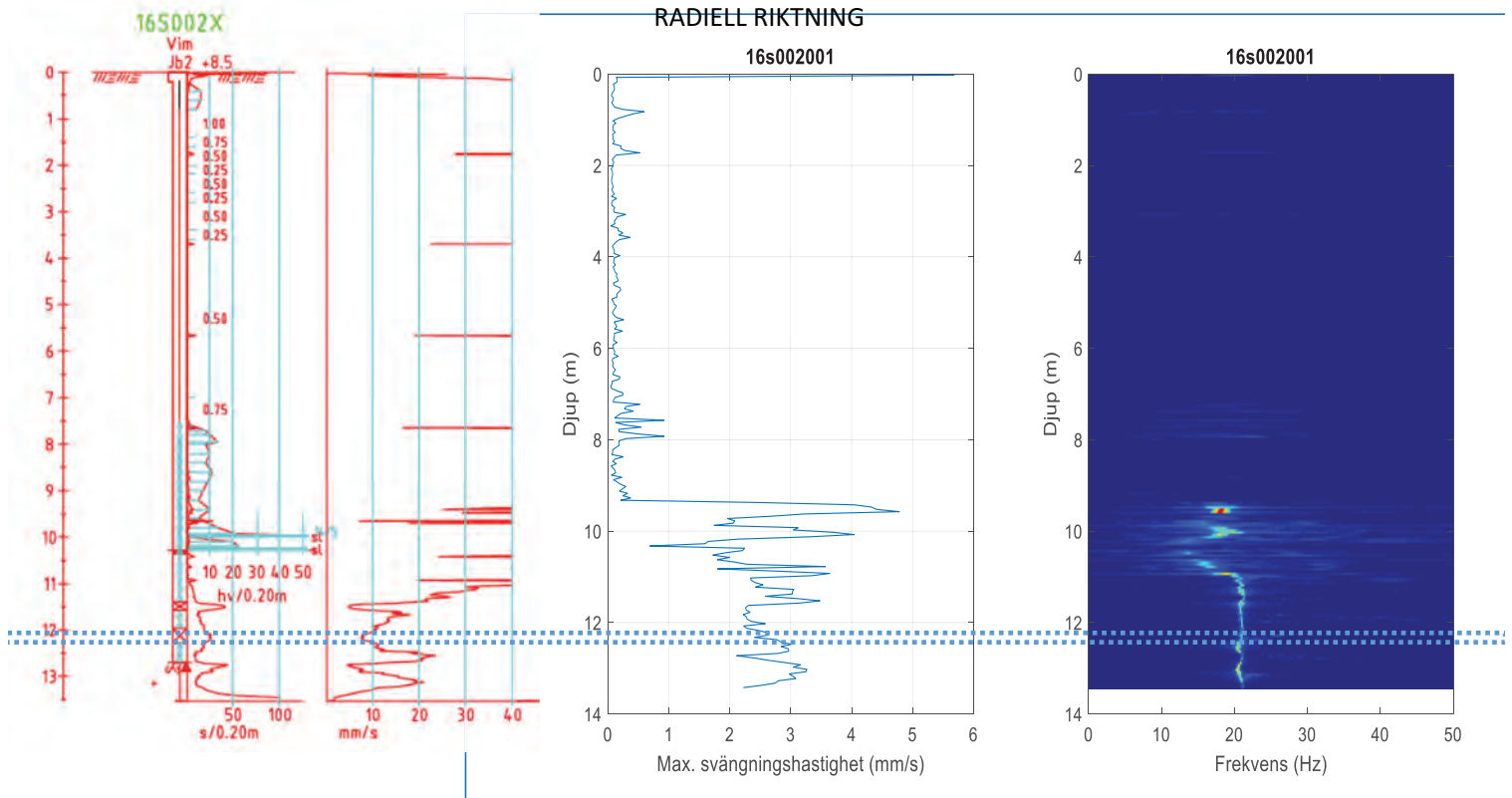
16S002X

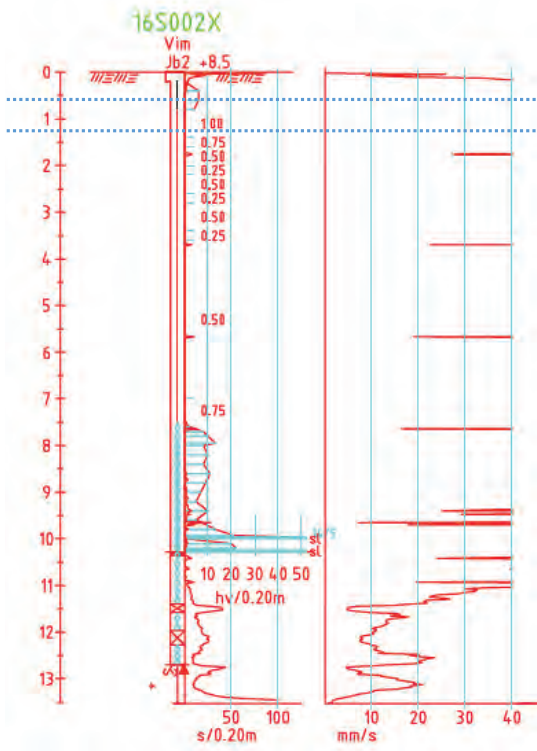
RADIELL RIKTNING

16s002001

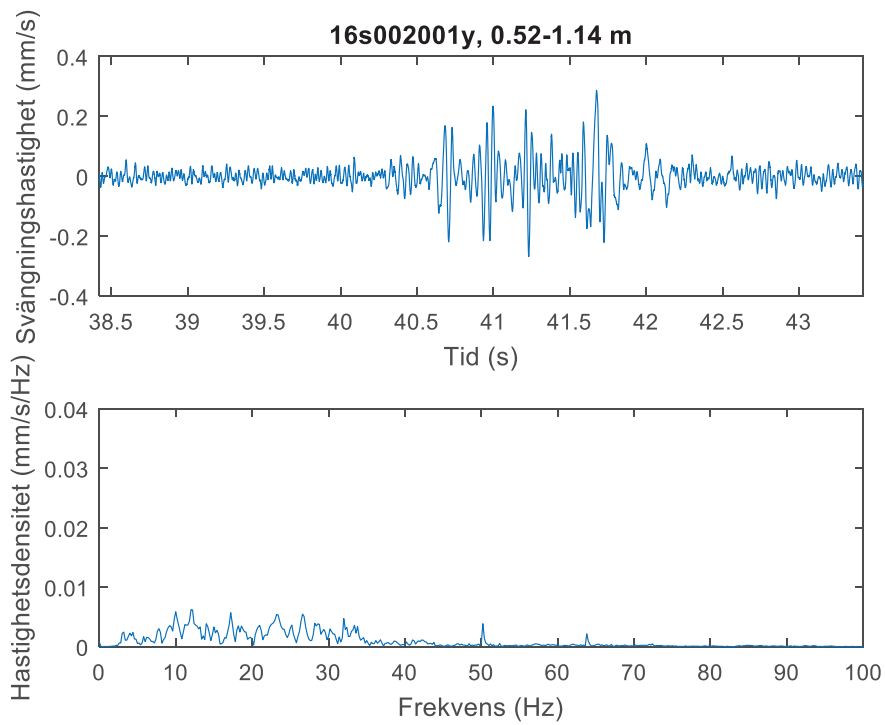
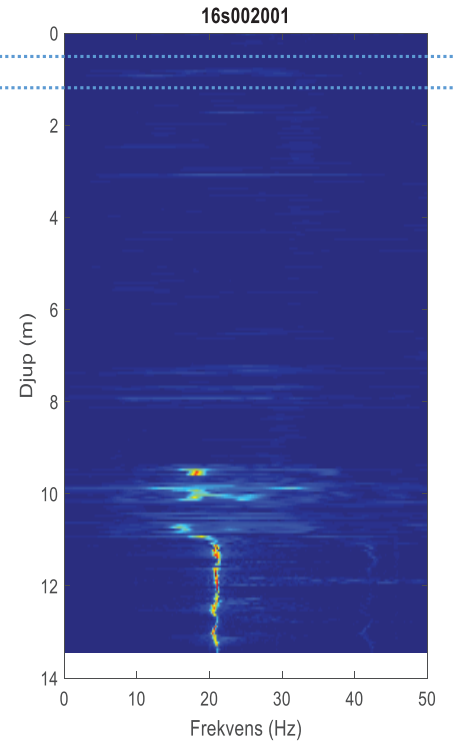
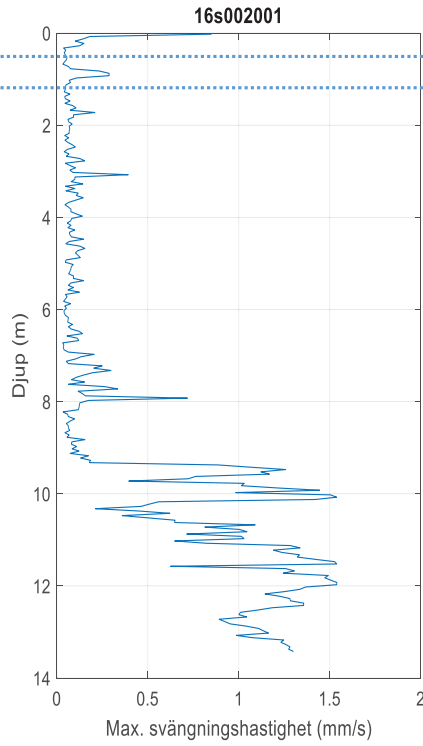
16s002001

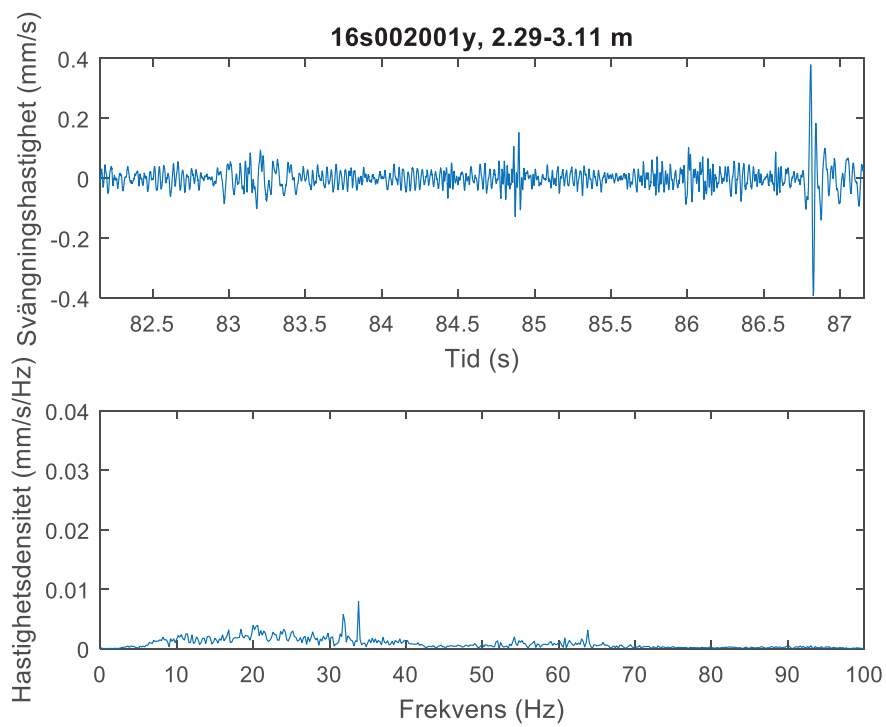
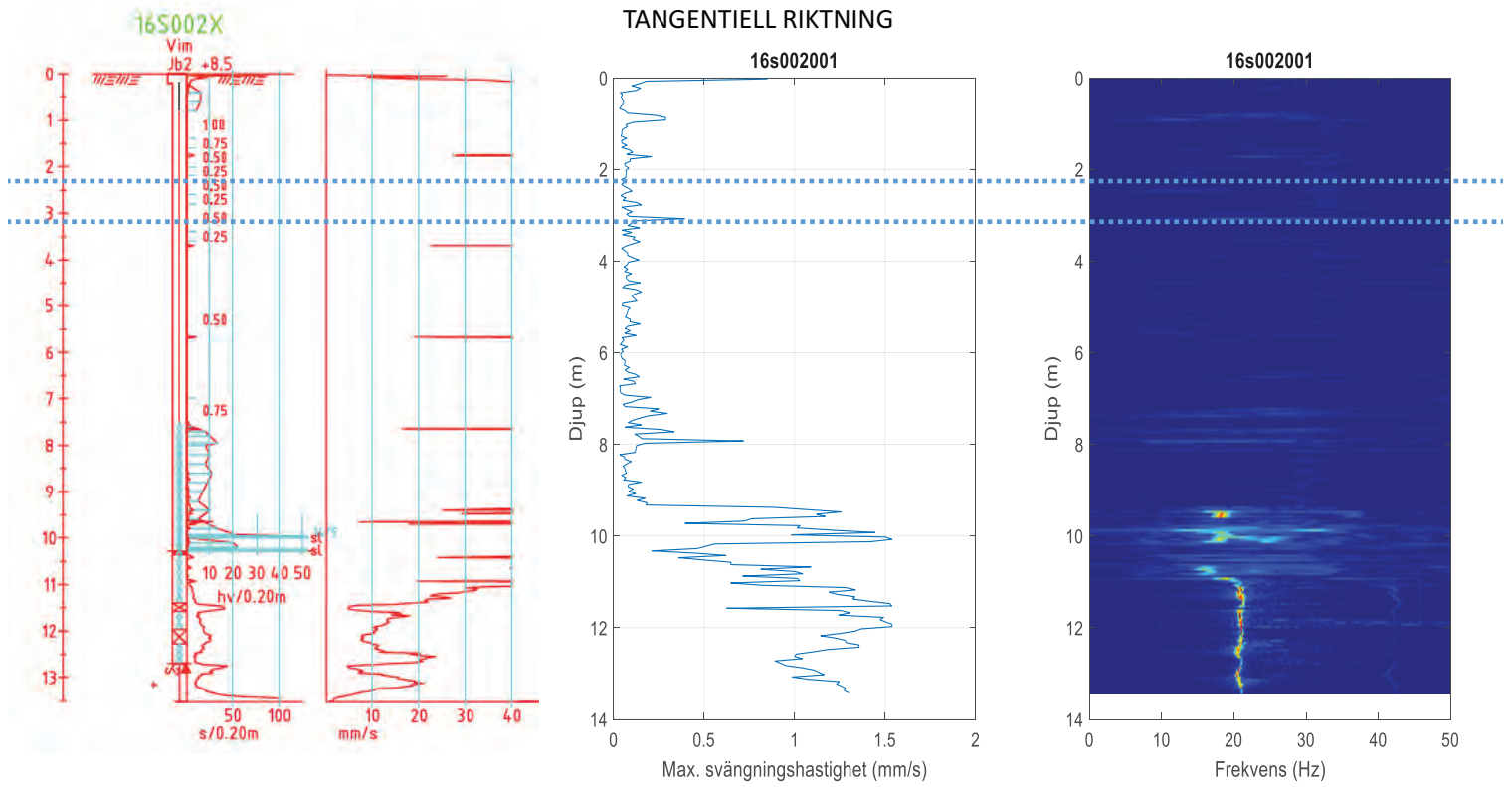


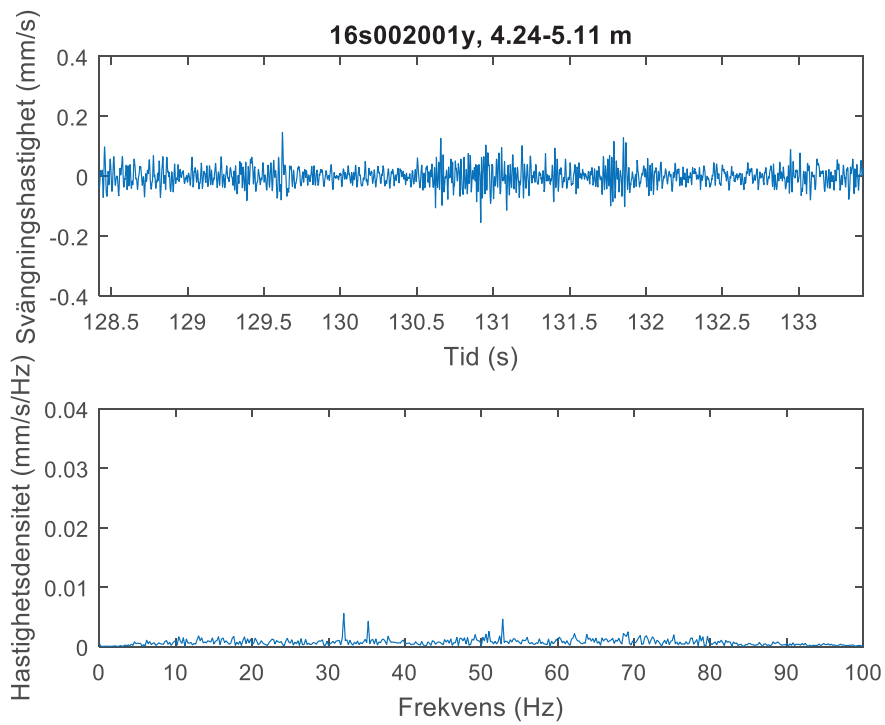
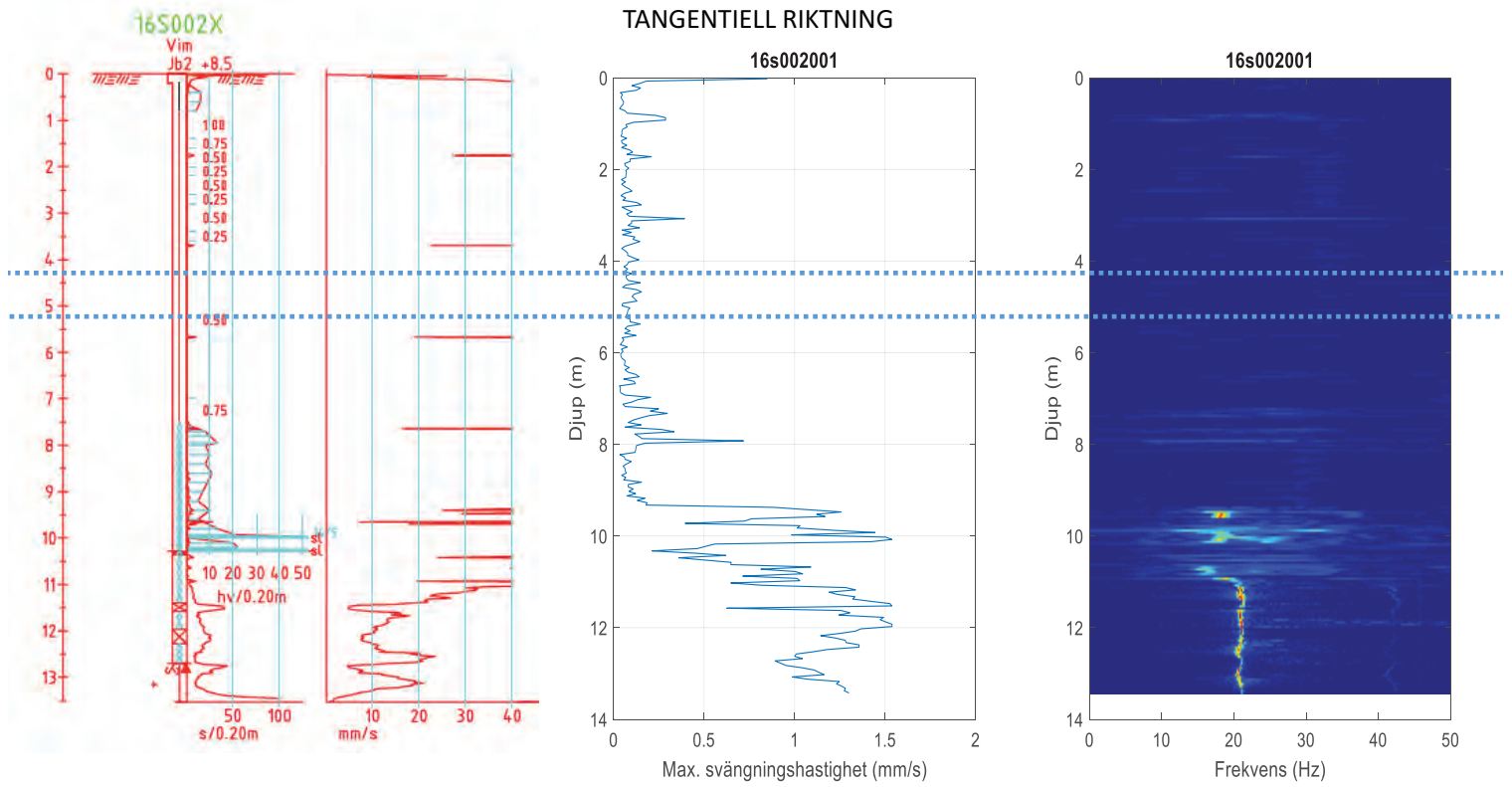


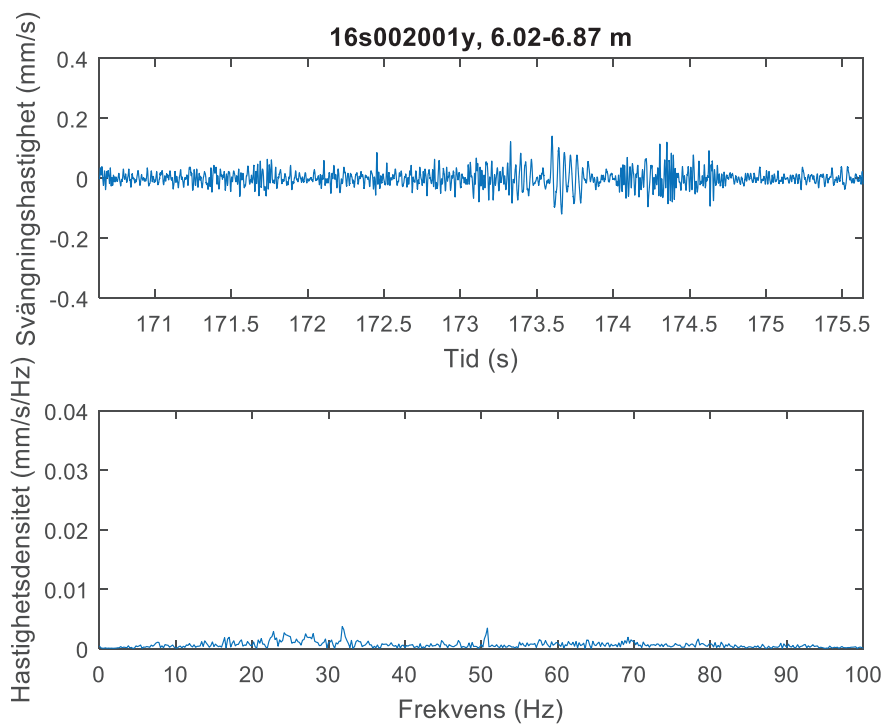
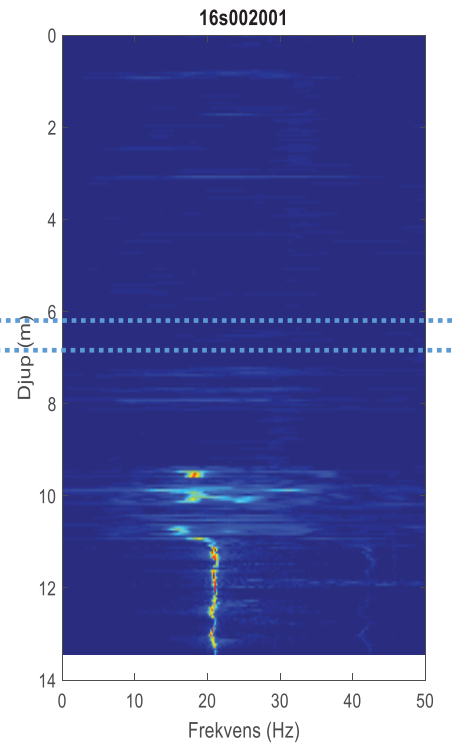
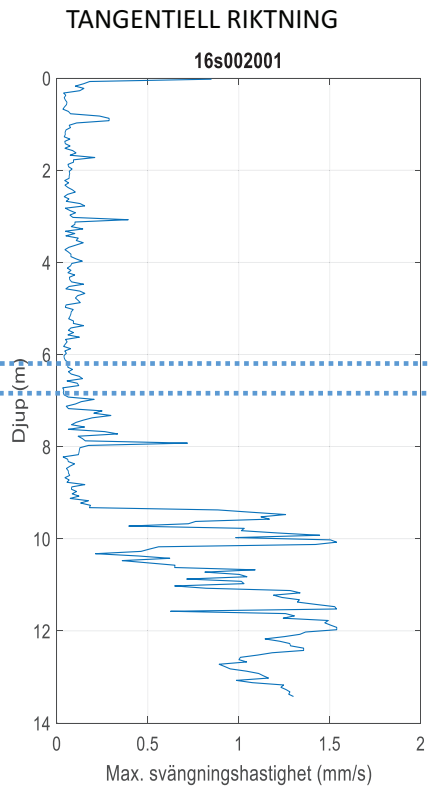
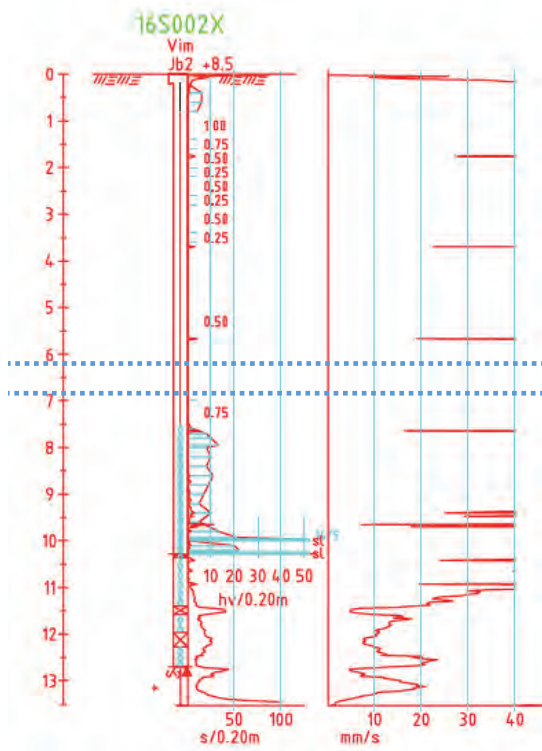


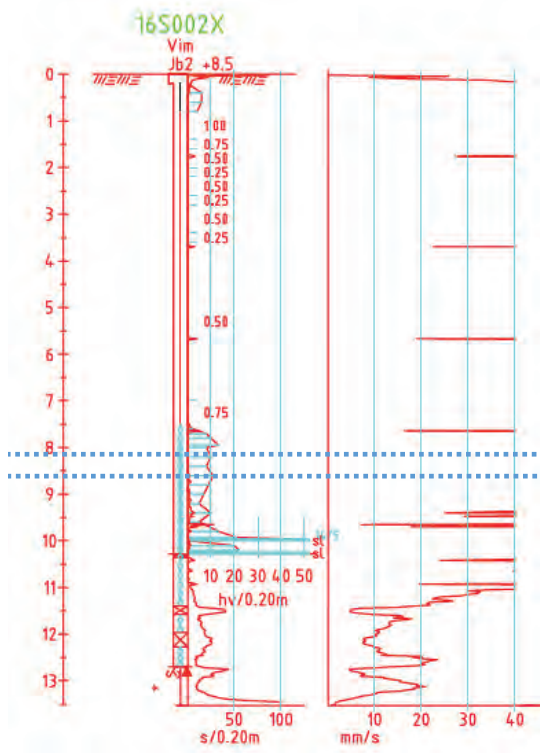
TANGENTIELL RIKTNING



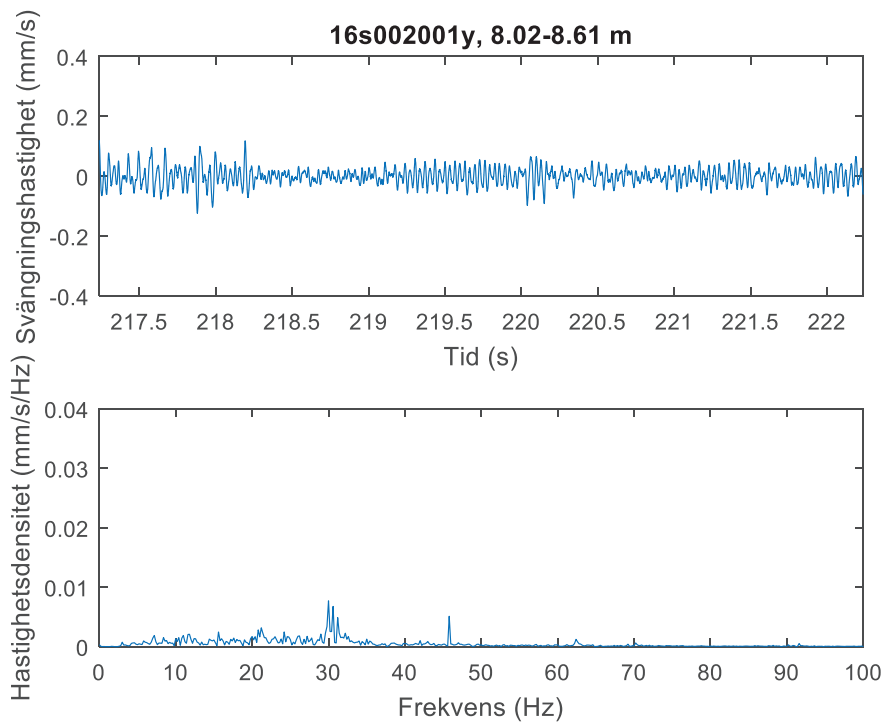
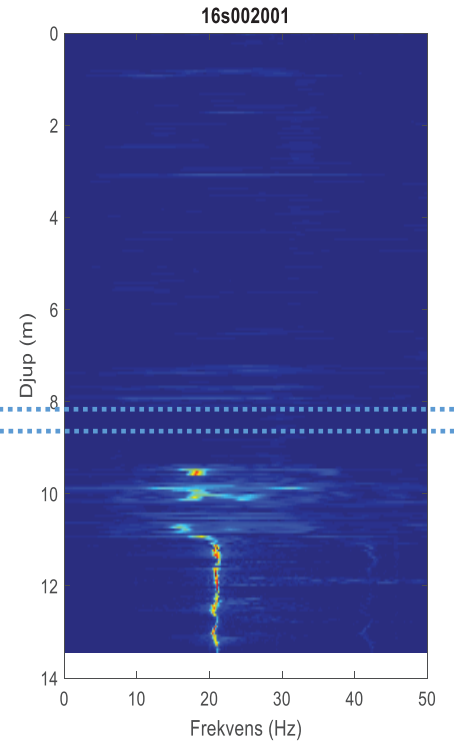
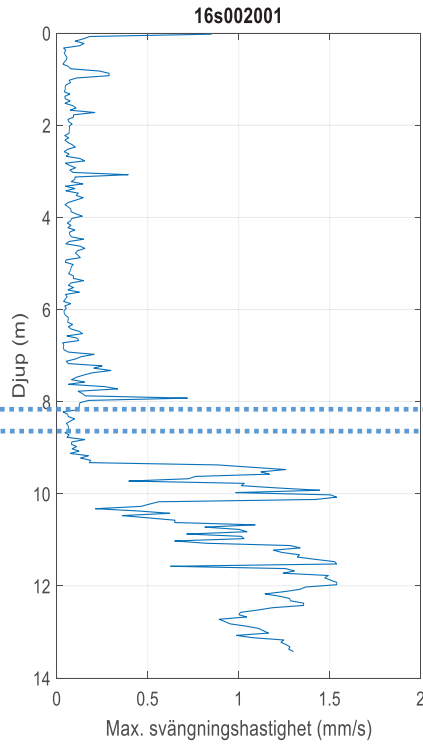


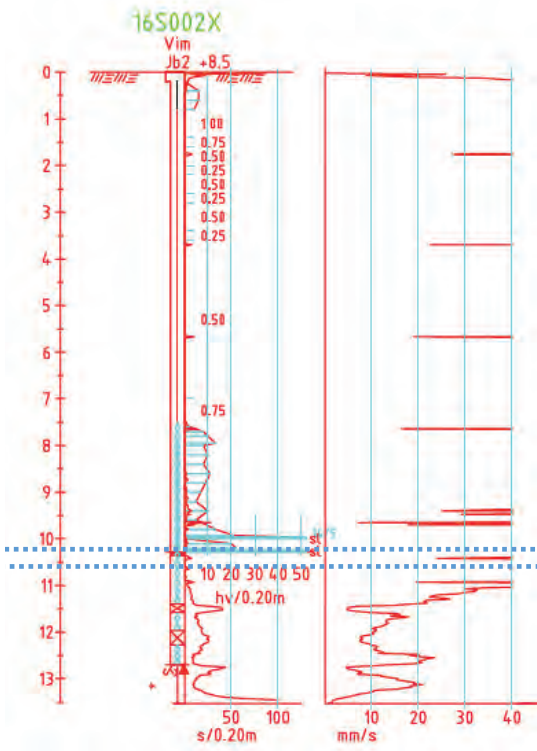




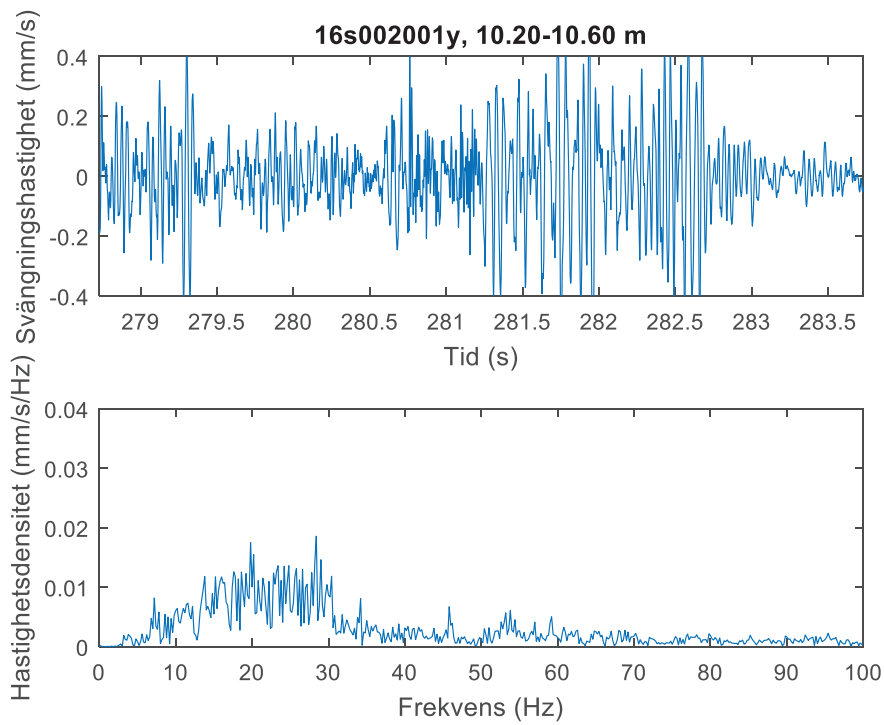
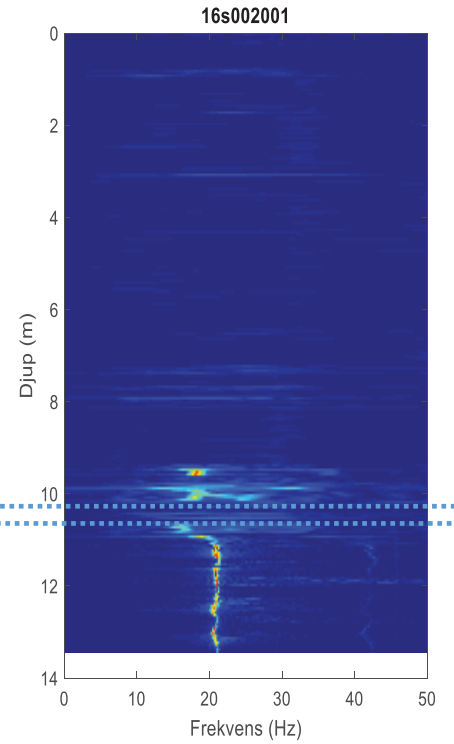
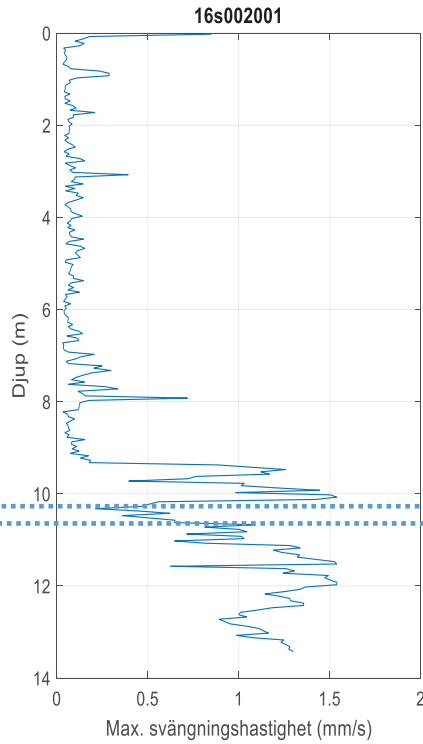


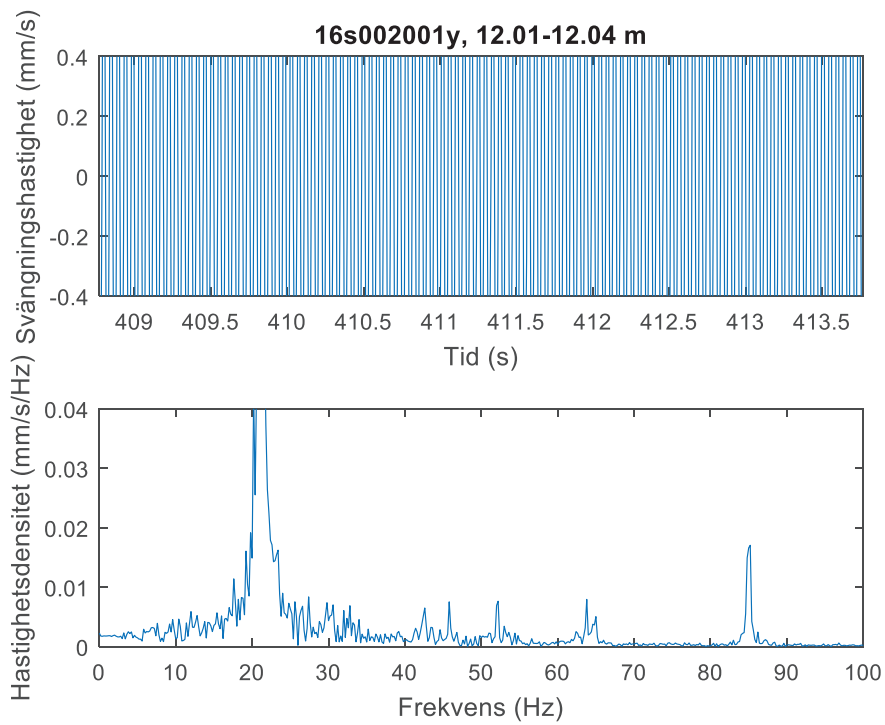
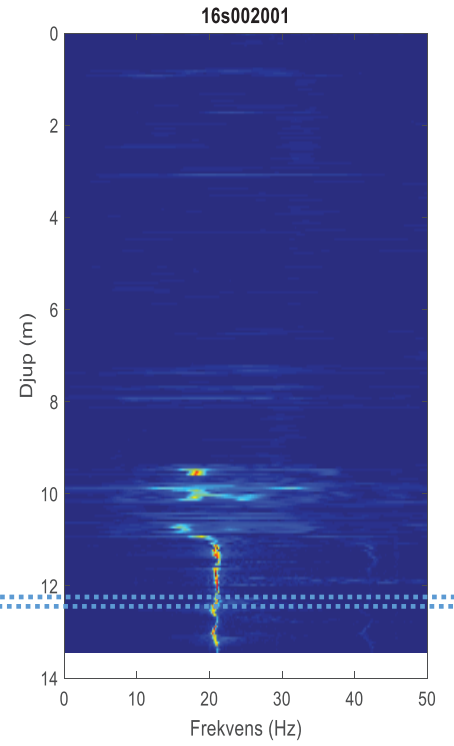
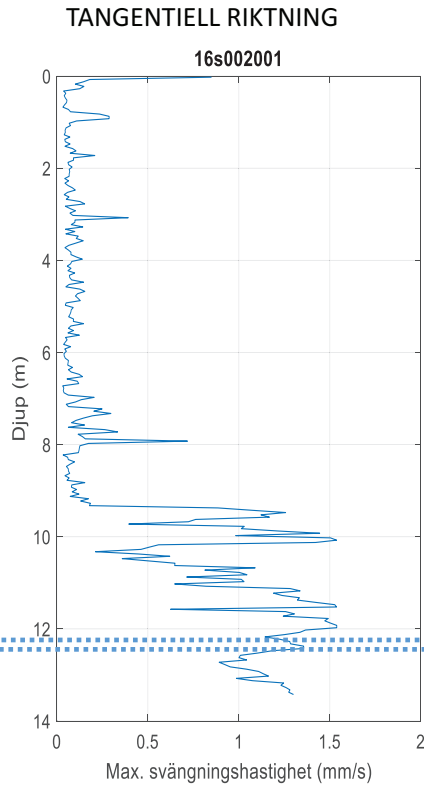
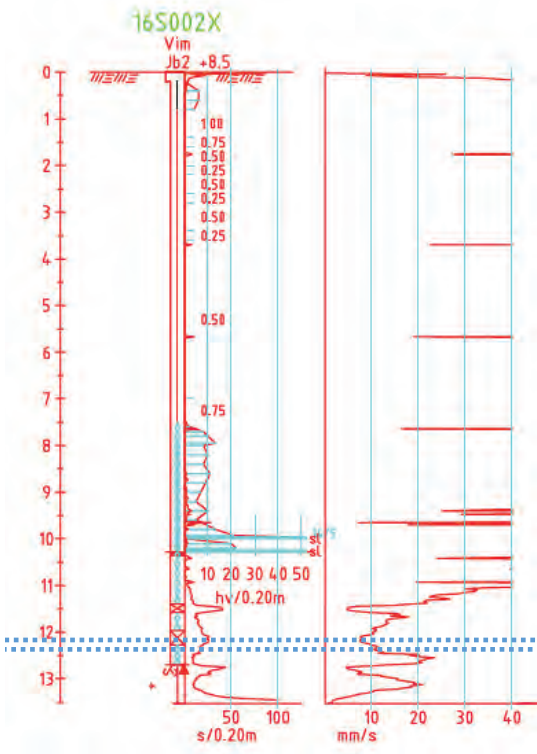
TANGENTIELL RIKTNING





TANGENTIELL RIKTNING





SGF Rapport/Report

- 1:93 Rekommenderad standard för CPT-sondering.
- 1:93E Recommended Standard for Cone Penetration Tests.
- 2:93 Rekommenderad standard för vingförsök i fält.
- 2:93E Recommended Standard for Field Vane Shear Test.
- 1:95 Rekommenderad standard för dilatometerförsök.
- 1:95E Recommended Standard for Dilatometer Tests.
- 2:95 Några pionjärprofiler i svensk geoteknik. SJ Geotekniska Kommission 1914–1922.
- 3:95 Proceedings of the International Symposium on Cone Penetration Testing, CPT'95.
- 4:95 Kalk- och kalkcementpelare. Vägledning för projektering, utförande och kontroll.
- 4:95E Lime and Lime Cement Columns. Guide for Project Planning, Construction and Inspection.
- 1:96 Geoteknisk fälthandbok. Allmänna råd och metodbeskrivningar.
- 1:99 Tätskikt i mark. Vägledning för beställare, projektörer och entreprenörer.
- 2:99 Metodbeskrivning för Jord-bergsondering.
- 3:99 Metodbeskrivning för Viktsondering.
- 1:2000 Geotekniken i Sverige 1920–1945.
- 2:2000 Kalk- och kalkcementpelare. Vägledning för projektering, utförande och kontroll.
- 1:2001 Fälthandbok – Miljötekniska markundersökningar (ersätts av 1:2004).
- 1:2003 Att bygga med avfall. Miljörättsliga möjligheter och begränsningar för återvinning av avfall i anläggningsändamål
- 1:2004 Fälthandbok – Miljötekniska markundersökningar.
- 2:2004 Armerad jord och fyllning – Nordisk vägledning.
- 3:2004 NGM 2004 – XIV Nordic Geotechnical Meeting. May 19th – 21th 2004.
- 1:2006 Metodbeskrivning för Jb-totalsondering
- 2:2006 Metodbeskrivning för installation av inklinometerrör
- 1:2008 Användning av restprodukter inom EU
- 1:2009 Metodbeskrivning för provtagare med standardkolvprovtagare. - Ostörd provtagning i finkornig jord
- 2:2009 Åtgärds mål vid in-situsanering. Formulering och kontroll av åtgärds mål.
- 1:2010 Förorenade byggnader. Provtagning och riskbedömning.
- 1:2011 Stimulerad reaktiv deklorering. En praktisk handledning
- 2:2011 Klorerade lösningsmedel i mark och grundvatten – Att tänka på inför provtagning och upphandling
- 3:2011 Hantering och analys av prover från förorenade områden - Osäkerheter och felkällor
- 1:2012 EYGEC 2012 - Setting the scene for future European geotechnical research
- 2:2012 Triaxialförsök – en vägledning
- 3:2012 SGF:s dataformat
- 4:2012 Metodbeskrivning för jord- bergsondering
- 1:2013 Fälthandbok – Geoteknik
- 2:2013 Fälthandbok – undersökningar av förorenade områden
- 1:2014 Hantering av geotekniska risker i projekt – krav. Metodbeskrivning
- 2:2014 Riskidentifiering - Metoder för att hitta hot och möjligheter. Metodbeskrivning
- 1:2015 Förbättrad utvärdering av resultat från jord-bergsondering/MWD
- 1:2016 Jordarters indelning och benämning

Svenska Geotekniska Föreningen (SGF) bildades 1950 och består av drygt 1400 enskilda medlemmar, med minst två års praktisk erfarenhet av geoteknik. Dessutom ingår ca 30 korporativa medlemmar i form av institutioner, högskolor, myndigheter, konsult- och entreprenadföretag samt tillverkare inom det geotekniska området.

SGF har till ändamål att främja utvecklingen inom geoteknik med grundläggning, ingenjörsgéologi och miljöteknik i ett nationellt och internationellt perspektiv.

Föreningen företräder i Sverige den internationella föreningen, the International Society of Soil Mechanics and Geotechnical Engineering (ISSMGE).

I SGF:s Rapport- och Notatserie utges föreningens metodbeskrivningar, monografier och dokumentation från konferenser, temadagar m.m.



Svenska Geotekniska Föreningen
Swedish Geotechnical Society

c/o Ermax, 439 37 Fjärås Tel: 070-813 77 73
Internet: www.sgf.net E-post: info@sgf.net